# PHYSIKALISCHE BERICHTE

Herausgegeben vom

## VERBAND DEUTSCHER PHYSIKALISCHER GESELLSCHAFTEN E.V.

unter der Redaktion von

H. EBERT und M. SCHÖN

Wissenschaftlicher Beirat:

J. BARTELS, W. GENTNER, P. GÖRLICH, D. HAHN, F. HUND
M. PFLÜCKE, R. W. POHL, B. RAJEWSKY, R. ROMPE, A. SCHEIBE †
F. TRENDELENBURG, R. VIEWEG, K. WOLF

Mitglied des I. C. S. U. Abstracting Board (International Council of Scientific Unions)



FRIEDR. VIEWEG & SOHN · BRAUNSCHWEIG

BAND 37

AUGUST 1958

HEFT 8



# PHYSIKALISCHE BERICHTE

Herausgegeben vom Verband Deutscher Physikalischer Gesellschaften e. V. unter der Redaktion von H. Ebert und M. Schön

Band 37

August 1958

Héft 8

## I. Allgemeines

8101 \*Fladt-Seitz. Astronomie. 208 S. und 16 Abb. Ernst Klett Verlag, Stuttgart, 1956, 15,80 DM. (Halbl.) Das von beiden Vff. im Jahre 1929 herausgegebene Lehrbuch der Astronomie für höhere Schulen wird in Anbetracht der großen Fortschritte in der Astrophysik völlig neu bearbeitet, und es wird gezeigt, auf welchem Wege die Wissenschaft zu ihren Erkenntnissen gelangt ist. Vff. waren bemüht, "mit den mathematischen und physikalischen Kenntnissen eines Absolventen der höheren Schule in ihrer Darstellung auszukommen". — Inhalt: I. Unmittelbare Beobachtungen. II. Unser Sonnensystem. III. Astrophysik (Sonnensystem und Fixsterne). IV. Welt der Fixsterne. V. Bau und Entwicklung des Weltalls. VI. Math. Anhang. Tabellen über die Planeten.

Weidem ann.

- 8102 \* A. Sommerfeld. Vorlesungen über theoretische Physik. B VI: Partielle Differentialgleichungen der Physik. 4. Aufl. bearbeitet und ergänzt von Fritz Sauter. XII u. 300 S. mit 47 Abb. Akademische Verlagsgesellschaft, Leipzig, 1958. 16,50 DM (geb.).
- 8103 \* M. Auwärter. Ergebnisse der Hochvakuumtechnik und der Physik dünner Schichten. Mit einem Geleitwort von W. Gerlach. Unter Mitwirkung von 30 Fachwissenschaftlern. VIII u. 282 S. mit 209 Abb. und 14 Tabellen. Wissenschaftl. Verlagsges. m. b. H., Stuttgart, 1957. 52,— DM (Lw.)
- 8104 \*Erich Blechschmidt. Präzisionsmessungen von Kapazitäten, Induktivitäten und Zeitkonstanten. II. Induktivitäten, Spulenverluste und Zeitkonstanten. 166 S. mit 74 Abb. 2. neubearbeitete Aufl. 1957. Heft 14 der Verfahrens- und Meßkde d. Naturwiss., Friedr. Vieweg u. Sohn, Braunschweig. 11,80 DM (kart.).
- 8105 \* Wolfgang Riezler und Wilhelm Walcher. Kerntechnik. Physik. Technologie. Reaktoren. Unter besonderer Mitwirkung von Wolfgang Finkelnburg und Heinz Maler-Leibnitz, bearbeitet von zahlreichen Fachleuten aus Wissenschaft und Industrie. 1. Lieferung. S. 1—160 mit 116 Abb. B. G. Teubner Verlagsges., Stuttgart. 1958. 2. Lieferung. S. 161—320. B. G. Teubner, Verlagsgesellschaft mbH., Stuttgart, 1958.
- 8106 \*Georg Wüst. Quantitative Untersuchungen zur Statik und Dynanik des Atlantischen Ozeans. Stromgeschwindigkeiten und Strommengen in den Tiefen des Atlantischen Ozeans unter besonderer Berücksichtigung des Tiefen- und Bodenwassers. Wissensch. Erg. d. Dtsch. Atlant. Exp. a. d. Forsch.- u. Vermessungsschiff "Meteor" 1925—1927, herausgegeben i. Auftr. d. Dtsch. Forschungsgem. von A. Defant. 6, 2. Teil, 5. Lieferung. Walter de Gruyter u. Co., Berlin, 1957, S. 261—420, mit 6 Textabbildungen, 36 Tafeln u. 1 Beilage. 54,— DM (br.).

- 8107 \*Wilhelm Beetz. Elektrizitätszähler. Tarifgeräte und Schaltuhren. Heft 9 d. Verfahrens- und Meßkunde der Naturwissenschaft, herausgegeben von Hermann Ebert 3., verbesserte Auflage, VI. u. 73 S. mit 35 Abb. Friedr. Vieweg u. Sohn, Braunschweig, 1958. 8,80 DM (kart.) . . ., Das vorliegende Heft soll einen Überblick über das gesamte Gebiet der Elektrizitätszähler geben und ein Nachschlagewerk sein, . . . . . . . . . . . . . . . Elektrolytzähler. Tarifgeräte. Schaltuhren. Münzzähler. Zähler für besondere Verwendungszwecke. Einstellung und Prüfung der Zähler.
- 8108 \*Wolfgang Reinöhl. Über neue Einelektroneneigenfunktionen für Atome mit zwei und mehr Elektronen. 39 S. Ferd. Dümmlers Verlag, Bonn, Hannover, Hamburg. 1958. H. Ebert.
- 8109 \*Albert Einstein. Lettres à Maurice Solovine. Reproduites en facsimilé et traduites en français avec une introduction (de M. Solovine) et trois photographies.
  139 S. Paris, 1956. Gauthier-Villars, éditeur-imprimeur-libraire. EINSTEIN, wird in der Erinnerung künftiger Geschlechter weiterleben, nicht nur als ein genialer Mann der Wissenschaft von ungewöhnlichem Format, sondern auch als ein Mensch, der die höchsten sittlichen Ideale verkörperte." H. Ebert.
- 8110 Abridged scientific publ. Kodak Res. Lab. Bd. 33 (1951). 591 S. Eastman Kodak Company, Rochester New York 1957. H. Ebert.
- 8111 W. Heltler. Kurt Artmann†. Phys. Bl. 14, 123, 1958, Nr. 3. (März.) (Zürich.)
- 8112 Johannes Fischer. Hermann Backhaus†. Phys. Bl. 14, 124—125, 1958, Nr. 3. (März.) (Karlsruhe.) Beggerow.
- 8113. Professor M. A. Catalan. An. Soc. esp. Fis. Quim. (A) 53, vor S. 217, 1957, Nr. 11/12. (Nov./Dez.)
- 8114 John Sealy Edward Townsend, gest. am 16. Febr. 1957. Bearb. phys. Soc., Lond. 1957, S. 106—110.

  H. Ebert.
- 8115 A. von Engel. Sir John Townsend. Nature, Lond. 179, 757-758, 1957, Nr. 4563. (13. Apr.) Weidemann.
- 8116 Cl. Schaefer. 60. Geburtstag von L. Bergmann. Z. Naturf. 13a, 63, 1958, Nr. 2. (Febr.) Beggerow.
- 8117 H. Holthusen, Heinrich Franke zum 70. Geburtstag. Fortschr. Röntgenstr. 87, 1, 1957, Nr. 1. (Juli.)
- 8118 Heinrich Franke zur Vollendung seines 70. Lebensjahres. Röntgenblätter 10, 161-164, 1957, Nr. 6. (Juni.) V. Weide mann.
- 8119 Walter Gerlach. Eduard Rüchardt zum 70. Geburtstag. Phys. Bl. 14, 129, 1958, Nr. 3. (März.) (München.)
- 8120 Walter Steubing. Clemens Schaefer 80 Jahre. Phys. Bl. 14, 125—126, 1958, Nr. 3. (März.) (Hamburg.)
- 8121 Matthias Schramm. Hans Schimank zum 70. Geburtstag. Phys. Bl. 14, 126—127, 1958, Nr. 3. (März.) (Frankfurt.)
- 8122 H. Nowotny und R. Kieffer. Franz Skaupy zum 75. Geburtstag. Z. Elektrochem. 61, 1273—1274, 1957, Nr. 10. (31. Dez.)
- 8123 W. Glaser. Hans Thirring zum 70. Geburtstag. Phys. Bl. 14, 127—128, 1958, Nr. 3. (März.) (Wien.) Beggerow.

- 8124 Fritz Bopp und Walther Gerlach. Heinrich Hertz zum hundertsten Geburtstag am 22. 2. 1957. Naturwissenschaften 44, 49—52, 1957, Nr. 3. (Febr.)
  - V. Weidemann.
- 8125 W. H. Hansen. 100 Jahre VDI. Elektrotech. Z. (A) 77, 393-394, 1956, Nr. 12. (11. Juni.) Weidemann.
- 8126 Arthur H. Compton. Röntgen, die Atomenergie und die "familia humana". Röntgenblätter 10, 164—169, 1957, Nr. 6. (Juni.) (Saint Louis, Miss., Washington Univ.)
- 8127 B. Rajewsky. 38. Tagung der Deutschen Röntgengesellschaft in Berlin vom 30. September bis 3. Oktober 1956. Strahlentherapie 102, 339—496, 1957, Nr. 3. (März.)
- 8128 Relations between the sun and the ionosphere. Diskussion d. Royal Astron. Soc. am 22. Febr. 1957. Nature, Lond. 179, 804—806, 1957, Nr. 4564. (20. Apr.)

  Weidemann
- 8129 \*Viktor Kemula. Proceedings of the Polarographic Conference in Warsaw 1956. 547 S. mit über 90 Beiträgen.
- 8130 A. E. Shearer. Famous electrical pioneers on stamps. J. Instn. elect. Engrs (NS) 2, 414-415, 1956, Nr. 19. (Juli.) H. Ebert.
- 8131 Maurice Parodi. Sur deux méthodes de localisation des fréquences propres des réseaux électriques linéaires maillés. Ann. Télécomm. 13, 39—41, 1958, Nr. 1/2. (Jan./Febr.)
- 8132 Julien Loeb. Canaux binaires en cascade. Ann. Télécomm. 13, 42—44, 1958, Nr. 1/2. (Jan./Febr.)
- 8133 René Cazenave. Origines et particularités du calcul opérationnel. Ann. Télécomm. 13, 35—38, 1958, Nr. 1/2. (Jan./Febr.) Beggerow.
- 8134 S. N. Bhatt. On negative order summability of a Fourier series. Proc. nat. Inst. Sci. India (A) 22, 298—304, 1956, Nr. 5. (26. Sept.) (Allahabad Univ., Dep. Math.)
- 8135 Kurt Arbenz. Integralgleichungen für einige Randwertsprobleme für Gebiete mit Ecken. Z. angew. Math. Phys. 8, 251—254, 1957, Nr. 3. (Zürich ETH, Inst. angew. Math.)
  V. Weidemann.
- 8136 R. B. Dingle. The method of comparison equations in the solution of linear second-order differential equations (generalized W. K. B. method). Appl. sci. Res. Hague (B) 5, 345—367, 1956, Nr. 5. (Nedlands, Univ. W. Aust., Dep. Phys.)
- 8137 F. H. Lange. Korrelationselektronik. Wiss. Z. Hochsch. Elektrotech. Ilmenau 3, 133—142, 1957, Nr. 2. (Rostock, Univ., Schiffbautech. Fak., Fernmeldew. u. Hochfrequenzt.) Nach Erläuterung der grundlegenden Begriffe der Korrelationsrechnung geht Vf. auf die Anwendung in der Elektroakustik und Nachrichtentechnik ein. Es werden die Versuche von Goff zur Messung der Absorption von schalldämpfenden Platten und zur Ortung von Störquellen beschrieben, ferner werden die Sprachuntersuchungen (Kurzzeit-Korrelationsanalysen) von Bennett geschildert. Auf dem Gebiete der Nachrichtentechnik wird das Korrelations-Peilungsverfahren von GUANELLA erwähnt. Ein vom Vf. und seinen Mitarbeitern entwickelter Korrelatograph wird dargestellt.

Kallenbach.

- 8138 I. J. Good. Random motion and analytic continued fractions. Proc. Camb. phil. Soc. 54, 43—47, 1958, Nr. 1. (Jan.) (Cheltenham, Scott House.) Gegeben sei ein eindimensionales, diskretes Punktgitter und ein Teilchen, das sich in diesem Gitter schrittweise und zufällig von Punkt zu Punkt bewegt. Die Wahrscheinlichkeit für einen Schritt nach links oder rechts im Gitter hänge von der jeweiligen Position des Teilchens ab. Das hierdurch gegebene Wahrscheinlichkeitsproblem wird unter Verwendung der Kettenbruchtheorie behandelt.
- 8139 G. Marsaglia. A note on the construction of a multivariate normal sample. Trans. Inst. Radio Engrs., N. Y. IT-3, 149, 1957, Nr. 2. (Juni.) Vf. weist auf die Überflüssigkeit einer von STEIN und STORER (Ber. 36, 1425, 1957) angegebenen Methode bei der Bildung einer Normalverteilung von Proben bei mehreren Veränderlichen hin. Die Autoren hatten das Verhalten einer kovarianten Matrix bei linearer Transformation nicht beachtet. Kallen bach.
- 8140 D. Bohm and W. Schützer. The general statistical problem in physics and the theory of probability. Suppl. Nuovo Cim. (10) 2, 1004—1047, 1955, Nr. 4. (Sao Paulo, Univ., Fac. Filos. Ciênciase Letras.) Wagenfeld.
- 8141 Friedrich L. Bauer. Das Verfahren der Treppeniteration und verwandte Verfahren zur Lösung algebraischer Eigenwertprobleme. Z. angew. Math. Phys. 8, 214—235, 1957, Nr. 3. (T. H. München. Math. Inst.)
- 8142 Marcel J. E. Golay. The logic of bidirectional binary counters. Trans. Inst. Radio Engrs, N. Y. EC-6, 1957, Nr.1, (März.) S. 1—4. (Philadelphia, Philco. Corp.)
- 8143 Rajko Tomovich. Picard's method and analog computation. Trans. Inst. Radio Engrs., N. Y. EC-6, 1957, Nr. 1, (März.) S. 34. (Belgrad, Boris Kidrich Inst. Nucl. Sci.) V. Weidemann.
- 8144 Philip F. O'Brien. A luminous analog computer. J. opt. Soc. Amer. 47, 118, 1957, Nr. 1. (Jan.) (S. B.) (Los Angeles, Calif., Univ., Dep. Engng.)
- 8145 Walter Glaser. Die Masse-Energie-Beziehung. Phys. Bl. 14, 101-107, 1958, Nr. 3. (März.) (Wien.) Beggerow.
- 8146 Karl Vogtherr. Die Ermittlung der Gleichzeitigkeit. "Methodos" 1955, S. 309-323. Vf. setzt sich mit der Frage auseinander, ob die Feststellung der Gleichzeitigkeit zweier Ereignisse an verschiedenen Orten wirklich prinzipiell unmöglich ist und durch eine konventionelle Definition ersetzt werden muß. An physikalischen Beispielen zeigt er zunächst die Geltung des Satzes: "Sind kongruente Strecken und symmetrische Bewegungs- und Fortpflanzungsvorgänge feststellbar, so ist auch Gleichzeitigkeit feststellbar." Unter "symmetrischen" Fortpflanzungsvorgängen werden insbesondere solche verstanden, die (unter sonst gleichen Bedingungen) in entgegengesetzten Richtungen in gleicher Weise ablaufen. Da eine Anisotropie der Lichtfortpflanzung erfahrungsgemäß nicht existiert, seien symmetrische Lichtfortpflanzungen feststellbar. Sie wären aber in passend gewählten Richtungen auch herstellbar, wenn eine Anisotropie existierte. Daher sei die Definition der Gleichzeitigkeit zweier Ereignisse an verschiedenen Orten eindeutig und willkürfrei vorgeschrieben. Um sie festzustellen, benötige man - entgegen der Meinung bekannter Physiker - nicht die Kenntnis einer Signalgeschwindigkeit, sondern nur die Gewißheit, daß das Signal in zwei entgegengesetzten Richtungen die gleiche Geschwindigkeit hat. (Die Äquivalenz gegeneinander gleichförmig bewegter Bezugssysteme für den Ablauf des Naturgeschehens wird in die Erörterung nicht miteinbezogen.)

8147 G. Ludwig und K. Just. Zur Jordanschen Theorie der Materie-Entstehung. Z. Phys. 143, 472—476, 1955, Nr. 4. (22. Dez.) (Berlin-Dahlem, Freie Univ., Inst. theor. Phys.) Die von Jordan erweiterte Gravitationstheorie enthält in ihren Grundlagen zwei unbestimmte Konstanten. Wählt man die eine von ihnen so, daß die Lagrange-Funktion der Materiefelder in ihren Hauptgliedern keinen von der veränderlichen Gravitationszahl abhängigen Faktor enthält, so lassen sich diese Felder wie üblich quantisieren. Die Entstehung neuer Materie wäre in diesem Falle nur gewissen Zusatzgliedern zu verdanken, die den neuartigen Materie-Skalar b von Null verschieden machen.

8148 H. Hönl und A. W. Maue. Über das Gravitationsfeld rotierender Massen. Z. Phys. 144, 152—167, 1956, Nr. 1/2. (17. Jan.) (Freiburg/Br., Univ., Inst. theor. Phys.) Die Betrachtungen von Thirring (Ber. 2, 719, 1921) werden vereinfacht und korrigiert durch Beachtung der elastischen Spannungen, die zum Zusammenhalt der rotierenden Hohlkugel erforderlich sind, letzteres wie bei Bass und Pirani (Ber. 35, 715, 1956). Das Ergebnis wird verglichen mit einem entsprechenden der Maxwellschen Theorie und dem einer vektoriellen Modell-Theorie im Sinne von Hund (Z. Phys. 124, 742, 1948).

8149 Leopold Infeld. Einige Bemerkungen über die Relativitätstheorie. Ann. Phys., Lpz. (6) 16, 229—240, 1955, Nr. 5/8. (20. Sept.) (Warschau, Univ., Inst. theor. Phys.) Nach grundsätzlicher Klarstellung der relativen und absoluten Begriffe von klassischer Mechanik, spezieller und allgemeiner Relativitätstheorie grenzt Vf. seinen Standpunkt ab gegen den von Fock, der nicht nur den Feldgleichungen, sondern auch gewissen Koordinaten-Bedingungen eine physikalische Bedeutung zuschreibt (s. nachst. Ref.). Bei philosophischen Betrachtungen kommt Vf. zu dem Schluß, daß die Relativitätstheorie "mit dem dialektischen Materialismus übereinstimmen muß", weil sie "mit der Praxis übereinstimmt". Just.

8150 H. J. Meister und A. Papapetrou. Die Schwarzschildsche Lösung in den Donderschen Koordinaten. Z. Phys. 145, 403—411, 1956, Nr. 4. (15. Juni.) (Berlin, Humboldt-Univ., Inst. theor. Phys.; Dtsch. Akad. Wiss. Forschungsinst. Math.) Transformiert man die Schwarzschildsche Lösung auf ein Koordinaten-System, das die oft geforderte Bedingung  $\mathfrak{g}^{a_y}|_{\nu}=0$  erfüllt, so treten zwei Integrations-Konstanten  $C_1$  und  $C_2$  auf. Während sich  $C_2$  aus einer Grenzbedingung im Unendlichen ergibt, bleibt  $C_1$  willkürlich; von Belinfante (Ber. 35, 1493, 1956) wurde es gleich Null gesetzt. Verlangt man jedoch, daß auch das Feld im Inneren des kugelsymmetrischen Zentralkörpers jene Koordinatenbedingung erfüllt, so hängt  $C_1$  von dessen Materie-Verteilung ab. Die beobachtbaren Effekte (Lichtablenkung, Periheldrehung) bleiben natürlich von der Koordinatenzahl unberührt; die praktische Bedeutung der ganzen Betrachtung hängt also ab von der alten Streitfrage, ob die zusätzliche Bedingung  $\mathfrak{g}^{a_y}|_{\nu}=0$  einen physikalischen Sinn habe (Fock, Rev. mod. Phys. 29, 325, 1957) oder nicht (Infeld, Rev. mod. Phys. 29, 398, 1957).

8151 H. J. Meister. Die Bewegungsgleichungen in der Theorie des Gravitationsfeldes mit einer Feldfunktion. Z. Phys. 147, 531—543, 1957, Nr. 5. (Jan.) (Berlin, Humboldt-Univ., Inst. theor. Phys.) Nach der Methode von Fock werden die Bewegungsgleichungen für die vereinfachte Gravitations-Theorie von Papapetrou (Ber. 34, 841, 1955) untersucht. Für den Fall eines Planeten im Felde der Sonne ergibt sich dieselbe Periheldrehung wie nach Einstein; die Drehung des Periastrons bei einem Doppelstern ist etwas kleiner als in der allgemeinen Relativitätstheorie (ROBERTSON, Ann. Math. 39, 101, 1938).

Just.

- 8152 Ernst Schmutzer. Beitrag zur projektiven Relativitätstheorie. Z. Phys. 149, 322—339, 1957, Nr. 3. (19. Okt.) (Rostock, Univ., Inst. theor. Phys.) Der mathematische Formalismus der fünfdimensionalen Theorie wird erweitert durch Benutzung einer total (nicht nur bezüglich der fünften Koordinate) nichtholonomen Vektor-Basis. Die Wahl der Feldgleichungen und die physikalische Deutung erfolgt nicht wie bei Jordan, Ludwig und anderen. sondern im Anschluß an Lichnerowicz (Théories relativistes de la gravitation et de l'électromagnetisme, Paris 1955). Ein Vergleich mit der Erfahrung der bei der Theorie von Lichnerowicz zu einem krassen Widerspruch führt (D. Ref.) wird nicht unternommen.
- 8153 L. Marder. On uniform acceleration in special and general relativity. Proc. Camb. phil. Soc. 53, 194—198, 1957, Nr. 1. (Jan.) (London, King's Coll.) Neben der üblichen Hyperbel-Bewegung wird eine neue Definition gleichförmiger Beschleunigung aufgestellt und diskutiert, die auch in der allgemeinen Relativitäts-Theorie einer kovarianten Gleichung genügt.
- 8154 Willy Scherrer. A propos des théories unitaires du champ. C. R. Acad. Sci., Paris 237, 554—555, 1953, Nr. 11. (14. Sept.) Kurze Andeutung über des Vf. "lineare Feldtheorie" (Ber. 35, 1295, 1956).

  Just.
- 8155 Willy Scherrer. Berichtigung und Ergänzung "zur linearen Feldtheorie". Z. Phys. 140, 160—163, 1955, Nr. 2. (12. Febr.) (Bern, Univ., Math. Sem.) Betrachtungen über das Weltalter. Just.
- 8156 J. I. Horváth. Contribution to Stephenson-Kilmister's unified theory of gravitation and electromagnetism. Nuovo Cim. (10) 4, 571—576, 1956, Nr. 3. (1. Sept.) (Szeged, Hungary, Univ., Dep. Theor. Phys.) Die Theorie von Stephenson, Kilmister (Nuovo Cim. 10, 230, 1953), die schon mehrmals vorher vorgeschlagen wurde (Reichenbächer: Ber. 9, 1932, 1928; Randers: Ber. 22, 1847, 1941; Novobatzky: Ber. 33, 2245, 1954) wird hergeleitet als Spezialfall einer Theorie auf Grund Finslerscher Geometrie (Horvath, Moor: Z. Phys. 131, 544, 1952). Ferner wird eine "Gausssche Krümmung" definiert, die statt des Riemannschen Skalars R die Lagrange-Funktion  $R + \frac{1}{2}F^{\nu\mu}$   $F_{\nu\mu}$  der Einstein-Maxwellschen Theorie des Vakuums liefert.
- 8157 J. I. Horváth. Contributions to the unified theory of physical fields. Nuovo Cim. (10) 4, 577—581, 1956, Nr. 3. (1. Sept.) (Szeged, Hungary, Univ., Dep. Theor. Phys.) Von den Einsteinschen Forderungen an eine "einheitliche Feldtheorie" (Ann. Math. 46, 578, 1945) wird die zweite etwas abgeschwächt. Ferner wird als dritte Bedingung hinzugefügt, daß aus den Feldgesetzen die richtige Bewegungsgleichung für die Materie folgen soll. In Einsteins Theorie mit unsymmetrischem Fundamental-Tensor ist dies bekanntlich nicht der Fall.

Just.

8158 B. Bertotti. On gravitational motion. Nuovo Cim. (10) 4, 898—906, 1956, Nr. 4. (1. Okt.) (Dublin, Dublin Inst. Advanced Stud.) Die Metrik und der Energie-Impuls-Tensor der Materie werden entwickelt nach Potenzen der Gravitationszahl. Dadurch erhält man die Bewegungsgleichungen mehrerer Körper in einer für schwache Felder gültigen Näherung. Anders als bei der Methode von Einstein und Infeld (Canad. J. Math. 1, 209, 1949) wird jedoch nicht die Langsamkeit der Bewegungen vorausgesetzt. Bei Anwendung auf das Zwei-Körper-Problem ergibt sich daher schon in erster Näherung eine Verbesserung der Newtonschen Gleichung, so daß in zweiter Näherung eine genauere als die von Einstein und Infeld zu erwarten ist.

- 8159 B. Bertotti. A remark on the paper "gravitational motion and Hamilton's principle". Nuovo Cim. (10) 6, 755—756, 1957, Nr. 3. (1. Sept.) (Pavia, Univ., Ist. Fis.) Es wird ausführlicher besprochen, wie der Einfluß des Probekörpers auf das Gravitationsfeld zum Verschwinden gebracht wird, weil dieses Problem in einer früheren Arbeit (Ber. 35, 2278, 1956) zu knapp behandelt war. Just.
- 8160 R. S. Mishra. Basic principles of unified field theory. Nuovo Cim. (10) 4, 907—916, 1956, Nr. 4. (1. Okt.) (Delhi, Univ., Dep. Math.) Algebraisch-geometrische Betrachtungen über die Tensoren, die auftreten in den Feldgleichungen von Einstein, Schrödinger und Bonnor (Proc. roy. Soc.(A) 226, 336, 1954).
- 8161 R. L. Brahmachary. A generalization of Reissner-Nordström solution. I. Nuovo Cim. (10) 4, 1216—1218, 1956, Nr. 5. (1. Nov.) (Hamburg Univ., Inst. theor. Phys.) Strenge statische Lösung der Einstein-Maxwellschen Feldgleichungen mit konstanter Ladungsdichte und kugelsymmetrischer Materieund Druckverteilung.
- 8162 R. L. Brahmachary. A class of exact solutions of the combined gravitational and electromagnetic field equations of general relativity. Nuovo Cim. (10) 6, 1502 bis 1506, 1957, Nr. 6. (1. Dez.) (Calcutta, Indian Statist Inst., Res. Train. School.) Vf. findet eine statische kugelsymmetrische Lösung der allgemein-relativistischen Feldgleichungen (mit "kosmologischem Term"), die einer speziellen kugelsymmetrischen Materieverteilung mit einem geladenen Teilchen im Mittelpunkt entspricht. Das Regularitätsbereich dieser Lösung ist eine Kugelschale von endlicher Breite, so daß ein Zwischenraum zwischen der zentralen elektrischen Ladung und der sie umgebenden Materie vorhanden sein muß.
- 8163 Emilie Clauser. Movimento di particelle nel campo unitario einsteiniano. R. C. Accad. Lincei 21, 408—416, 1956, Nr. 6. (Dez.) In der EINSTEINSCHEN Gravitationstheorie wurden die Bewegungsgleichungen ursprünglich aus dem Postulat der Bahnkurven als geodätischer Linien abgeleitet. Später gelang es dann EINSTEIN und INFELD, die Bewegungsgleichungen aus den nichtlinearen Feldgleichungen abzuleiten, wobei das Teilchen eine Singularität im Feld darstellt. Auf der anderen Seite lassen sich Bewegungsgleichungen nach BERG-MANN, GOLDBERG u. a. aus nichtlinearen Feldgleichungen ableiten, welche aus einem Variationsprinzip entstehen, das gegenüber irgendeiner Transformationsgruppe invariant ist und freie Parameter enthält. Die auf diese Weise abgeleiteten Gleichungen haben dieselbe Integralform wie die Gleichungen nach EINSTEIN und INFELD. Demgegenüber leitet Vf. die Bewegungsgleichungen aus den Gleichungen der unitären EINSTEINSchen Theorie von 1953 unter der Annahme ab, daß jedes Teilchen eine Singularität mit sich führe. Die Ergebnisse stimmen mit denen nach BERGMANN u. a. überein, doch fehlt die Voraussetzung eines freien Variationsprinzips, da die Einsteinsche Theorie von 1953 mit einem eingeschränkten Variationsprinzip arbeitet. Vf. hofft, später den Einfluß des elektromagnetischen Feldes auf die Bewegung eines Teilchens oder eines Systems von Partikeln berechnen zu können.
- 8164 Kurt Just. Strenge kugelsymmetrische Lösungen der Einsteinschen Feldgleichung. Z. Phys. 145, 235—240, 1956, Nr. 2. (18. Apr.) (Berlin, Freie Univ., Inst. theor. Phys.)
- 8165 S. Bhattacharya. On certain hydrodynamical considerations of an imperfect fluid in a general relativistic field. Nuovo Cim. (10) 4, 501—502, 1956, Nr. 2. (1. Aug.) (Calcutta.)
- 8166 Julio Palacios. Se debe revisar la teoria de la relatividad? An Soc. esp. Fis. Quim. (A) 53, 31—42, 1957, Nr. 1/2. (Jan./Febr.) (Inst. Alonso de Santa Cruz.) (S. B.)

- 8167 Julio Palacios. Revisión de la teoria de le relatividad. Rev. Acad. Madr. 51, 21—101/165—183/245—292, 1957, Nr. 1/2/3.
- 8168 L. Infeld. The equations of motion in general relativity theory and the action principle. Acta phys. polon. 16, 177—210, 1957, Nr. 3.

  H. Ebert.
- 8169 P. K. Feyerabend. Eine Bemerkung zum Neumannschen Beweis. Z. Phys. 145, 421—423, 1956, Nr. 4. (15. Juni.) (Bristol, Univ., Dep. Phil.) Die Richtigkeit der Überlegungen v. NEUMANNS über verborgene Parameter der Quantentheorie wird nicht bestritten, wohl aber seine Behauptung, daß dadurch diese Theorie eine Sonderstellung gegenüber der klassischen erhält. Als Beispiel führt Vf. an, daß es auch beim Würfelspiel nicht möglich ist, streuungsfreie Gesamtheiten zu erzeugen (s. jedoch das nachst. Ref.)
- 8170 P. Bocchieri und A. Loinger. Einige Bemerkungen über die Frage der verborgenen Parameter. Z. Phys. 148, 308—313, 1957, Nr. 3. (8. Mai.) (Pavia, Italien, Univ., Ist. Fis.; Milano, Ist. Naz. Fis.) Der Einwand von FEYERABEND (vorst. Ref.) ist nicht haltbar, weil die klassische Theorie prinzipiell doch gestattet, streuungsfreie Gesamtheiten zu erzeugen (auch beim Würfelspiel). Daß diese Möglichkeit nicht praktisch zu verwirklichen ist, besagt nur die Ungültigkeit der klassischen Theorie; nicht ihre mangelnde Verschiedenheit von der Quantentheorie. Richtig ist jedoch, daß v. Neumanns Folgerungen für alle Theorien gelten, die hinsichtlich ihrer Wahrscheinlichkeits-Aussagen dieselbe formelle Struktur wie die Quantentheorie aufweisen, weil sie dann einfach aus den Prinzipien der Wahrscheinlichkeits-Rechnung folgen.
- 8171 E. L. Hill. Function spaces in quantum-mechanical theory. Phys. Rev. (2) 104, 1173—1178, 1956, Nr. 4. (15. Nov.) (Minneapolis, Minn., Univ.) Mathematische Diskussion zur Verwendung von nicht-normierbaren Eigenfunktionen der Schrödinger-Gleichung (uneigentlichen Vektoren des Hilber-Traumes) bei quantenmechanischen Berechnungen; insbesondere ebene, Zylinder- und Kugelwellen sowie Entwicklung von ebenen nach Kugelwellen usw.
- 8172 R. E. Prange and R. H. Pratt. Applications of a high-energy Coulomb wave function. Phys. Rev. (2) 103, 139—143, 1957, Nr. 1. (1. Okt.) (Chicago, Ill., Univ., Enrico Fermi Inst. Nucl. Stud., Dep. Phys.) Es wird gezeigt, daß die bekannte Coulomb-Wellenfunktionnäherung, die im wesentlichen die asymptotische Form der exakten Wellenfunktion darstellt, für bestimmte Hochenergie-Kleinwinkel-Prozesse gültig ist. Eine explizite Berechnung des atomaren photoelektrischen Effekts liefert das Ergebnis von Hall in einer etwas geeigneteren Form. Näherungen dieses Ergebnisses und der Grenzfall Ze²/ħc = 1 werden erörtert. Für Bremsstrahlung und Paarerzeugung erweist sich die Wellenfunktion als nicht so gut geeignet, ist aber immer noch nützlich. Auch der Coulomb-Streuquerschnitt dürfte berechenbar sein.
- 8173 S. Gartenhaus and C. Schwartz. Center-of-mass motion in many-particle systems. Phys. Rev. (2) 108, 482—490, 1957, Nr. 2. (15. Okt.) (Stanford, Calif., Univ.) Es wird ein unitärer Operator gefunden für die freie Bewegung des Massenmittelpunktes der Wellenfunktion für das Mehrkörperproblem. Dieses ist im Falle des harmonischen Oszillators exakt lösbar. Zehler.
- 8174 P. G. Dickens and J. W. Linnett. Electron configurations in ground state systems. Trans. Faraday Soc. 53, 1037—1041, 1957, Nr. 8. (Aug.) (Oxford, Inorganic Chem. Lab.) Die allgemeinen Grundlagen zur Berechnung der Wahrscheinlichkeit bestimmter Elektronenkonfigurationen von Systemen im Grundzustand, wobei die interelektronische Abstoßung unberücksichtigt bleibt, werden überprüft. Als Beispiele werden die acht äußeren Elektronen des Neonatoms und die sechs

Bindungselektronen des Stickstoffmoleküls betrachtet. Dabei wird untersucht, warum LINNETT und Poe einerseits und LENNARD-JONES sowie BRICKSTOCK und Pople andererseits zu verschiedenen Ergebnissen kamen.

G. Schwarz.

- 8175 V. N. Golubenkov and Ia. A. Smorodinskii. The Lagrangian function for a system of identically charged particles. Soviet Phys.-JETP 4, 442, 1957, Nr. 3. (Apr.) (Engl. Übers. aus: J. exp. theor. Phys. (russ.) 31, 330, 1956, Aug.) DARWIN hat gezeigt, daß man die LAGRANGE-Funktion für ein System geladener Teilchen korrekt bis zu Gliedern zweiter Ordnung in v/c (v = Teilchen-, c = Lichtgeschwindigkeit) angeben kann, da die Lichtstrahlung ein Effekt dritter Ordnung in v/c ist. Nun ist bekanntlich die Strahlung in einem System identischer Teilchen (mit genau gleichem Verhältnis Ladung/Masse) proportional zu (v/c)5. Daher kann in diesem Falle die LAGRANGE-Funktion bis zu Gliedern mit (v/c)4 korrekt angeschrieben werden. Die Rechnung zeigt, daß das Glied dritter Ordnung verschwindet. Der Ausdruck für das Glied vierter Ordnung wird angegeben und erörtert. Es wird auf die Anwendung dieser LAGRANGE-Funktion bei der Untersuchung der relativistischen Korrektur bei der Streuung schneller Protonen und bei der Verallgemeinerung der bekannten Breitschen Formel für die Wechselwirkung von Elektronen hingewiesen. Jörschel.
- 8176 D. N. Zubarev. Generalization of the method of supplementary variables. Soviet Phys.-Doklady 1, 437—440, 1956, Nr. 4. (Juli/Aug.) (Engl. Übers. aus: Proc. Acad. Sci. USSR (russ.) 109, 489, 1956, Nr. 3.) (Acad. Sci. USSR, Steklov, Math. Inst.) Zur Beschreibung kollektiver Bewegungen ist es üblich, als Hilfsvariable die Fourlier-Komponenten des Teilchendichteoperators einzuführen. Vf. gibt eine Verallgemeinerung dieser Methode, so daß sie neben der Anwendung auf Plasmaschwingungen, Fermi- und Bose-Gase auch zur Behandlung des Kernmodells nach Bohr und Mottelson verwendbar wird. Der Hamilton-Operator des Problems zerfällt dabei in verschiedene Anteile, deren einer die kollektiven Freiheitsgrade des Systems darstellt.
- 8177 O. Costa de Beauregard. Covariance relativiste à la base de la mécanique quantique. II. J. Phys. Radium 17, 872—875, 1956, Nr. 10. (Okt.) (Paris, Inst. Henri-Poincaré.) Wagenfeld.
- 8178 W. R. Davis. Bemerkungen hinsichtlich der Verallgemeinerung von Feldtheorien und der Allgemeinheit der Feldgrößen. Z. Naturf. 12a, 658—659, 1957, Nr. 8. (Aug.) (Hannover, T. H., Inst. theor. Phys.) Die Herleitung von Feldgleichungen und starken Erhaltungssätzen nach dem Formalismus von BERGMANN (Ber. 34, 1583, 1955) wird besprochen für den Fall von Transformationen, bei denen die Lagrange-Funktion nicht invariant bleibt, sondern um eine Divergenz vermehrt wird.
- 8179 J. C. Polkinghorne. Causal products in quantum field theory. Proc. Camb. phil. Soc. 53, 261—262, 1957, Nr. 1. (Jan.) (Univ. Edinburgh, Tait Inst. Math. Phys.) Definition und Eigenschaften einer neuen Art von Produkten aus Operatoren der Quanten-Feldtheorie.
- 8180 T. W. B. Kibble and J. C. Polkinghorne. On Schwinger's variational principle. Proc. roy. Soc. (A) 243, 252—263, 1957, Nr. 1233. (24. Dez.) (Edinburgh, Univ., Tait Inst. Math. Phys.) Es werden die klassischen und die Quantentheorien dynamischer Systeme, deren Lagrange-Funktionen linear in den Koordinatenableitungen sind, mit dem Ziele untersucht, einige Unstimmigkeiten im Zusammenhang mit dem Schwingerschen quantenmechanischen Variationsprinzip zu klären. Es wird gezeigt, daß sich lineare Variationen der dynamischen Variablen konsistent in den Schwingerschen Formalismus einbeziehen lassen. Ferner

ist es möglich, für eine geeignet beschränkte Klasse von LAGRANGE-Funktionen durch Ausschließen der c-Zahl-Variationen aus der Theorie die verallgemeinerten Greenschen Vertauschungsrelationen zu gewinnen. Jörchel.

- 8181 J. C. Polkinghorne. On the strong interactions. Nuovo Cim. (10) 6, 864—868, 1957, Nr. 4. (1. Okt.) (Edingburgh, Univ., Tait Inst.) Es wird zwischen mittelstarker Wechselwirkung zwischen Baryonen und K-Mesonen und sehr starker Wechselwirkung zwischen Baryonen und π-Mesonen unterschieden. Die Darstellung dieser Wechselwirkung wird nach Symmetriegründen angegeben. Heintz.
- 8182 W. Heitler. Renormalization in non-relativistic field theories. (Remarks about the paper by Enz.) Nuovo Cim. (10) 5, 302—305, 1957, Nr. 1. (1. Jan.) (Univ. Zürich, Sem. theor. Phys.) Es ist nicht möglich, die nichtrelativistische Quanten-Elektrodynamik von ENZ (Ber. 36, 943, 1957) in ihrer vollständigen Form als Grenzfall einer relativistischen Theorie zu erhalten.
- 8183 K. Hilda and M. Sawamura. Some relations among Green's functions. Nuovo Cim. (10) 5, 896—906, 1957, Nr. 4. (1. Apr.) (Univ. Hiroshima, Dep. Phys.) Integral-Darstellungen von Greenschen Funktionen der Quanten-Feldtheorie und Beziehungen zwischen ihren Integranden.
- 8184 Y. Nambu. Parametric representations of general Green's functions. Nuovo Cim. (10) 6, 1064—1083, 1957, Nr. 5. (1. Nov.) (Chicago, Ill., Univ., Enrico Fermi Inst. Nucl. Stud.) Eine gegenüber einer früher angegebenen allgemeinere Darstellung für die Greensche Funktion der Feldtheorie wird nach der Störungstheorie abgeleitet. Die neue Formel enthält nur einen Nenner, der die Abhängigkeit der Funktion von allen Impulsen bestimmt. Die Darstellungen sind für jeden Term der Störungsreihe gültig, der einem Feynman-Diagramm entspricht. Als Beispiel wird gezeigt, daß die Greensche Drei-Körper-Funktion (Vertex-Funktion) einer Dispersionsbeziehung genügt, wenn zwei der drei Impulse festgelegt sind, aus der sich die richtige Lage der Singularitäten ergibt, wie sie aus den Schwellenwerten der entsprechenden Realprozesse zu erwarten sind.

Jörchel.

Bd. 37, 8

- 8185 D. I. Blohlneev. The non-linear field theory and the theory of relativity. Suppl. Nuovo Cim. (10) 3, 629—634, 1956, Nr. 4. (Moscow, Acad. Sci. USSR.) Eine Klassifikation und kurze Diskussion nichtlinearer Feldtheorien. Die LORENTZ-Invarianz des Variationsprinzips ist für die Verträglichkeit mit der Relativitätstheorie nicht hinreichend, weil trotzdem zu große Signalgeschwindigkeiten auftreten können.

  Just.
- 8186 K. A. Ter-Martirosian. Charge renormalization for an arbitrary, not necessarily small, value of  $e_o$ . Soviet Phys.-JETP 4, 443—444, 1957, Nr. 3. (Apr.) (Engl. Übers. aus: J. exp. theor. Phys. (russ.) 31, 157—159, 1956, Juli.) Es wird kritisch Stellung genommen zu einer Arbeit von J. C. TAYLOR (Ber. 35, 1093, 1956), der zu beweisen suchte, daß nur im Falle einer renormierten Ladung  $e_c=0$  die heutige Elektrodynamik nicht auf Widersprüche stößt, da sonst die "isolierte" Ladung  $e_o$  imaginär und der Wechselwirkungsoperator nicht hermitisch sind. Unter Beschränkung auf ein einfacheres Problem wird gezeigt, daß man unter der Annahme,  $e_o^2$  sei eine beliebige feste Größe und  $e_c^2=e_o^2(e_o^2,L)$ , wo  $L=\ln\Lambda^2/m^2$ ,  $\Lambda$  der Begrenzungswert des Impulses, das Ergebnis  $e_o^3\to 0$  für  $L\to\infty$  erhält, und zwar nicht nur für  $e_o^2\ll l$ , sondern für beliebige  $e_o^2 \geq l$ .

8187 Susumu Kamefuchi. A comment on Landau's method of integration in quantum electro-dynamics. Dan. Mat. Fis. Medd. 31, 12 S., 1957, Nr. 6.

H. Ebert.

- 8188 Gerhard Heber. Zur Theorie der Elementarteilchen. III. Quantenfeldtheorie für ausgedehnte Nukleonen. Z. Phys. 144, 39—55, 1956, Nr. 1/3. (17. Jan.) (Jena, Univ., Theor.-Phys. Inst.) Es wird versucht, eine nichtlineare, nicht relativistische Feldtheorie so zu quantisieren, daß sie ausgedehnte Elementarteilchen enthalten kann; dies geschieht durch Ersetzen der &-Funktion in den Vertauschungsrelationen durch eine reguläre Funktion und Unterdrücken gewisser Freiheitsgrade des Systems. Die Methode steht in Beziehung zur Gitterraumquantisierung und zu nichtlokalen Feldtheorien. Die Schrödinger-Gleichung wird zur Differenzengleichung.
- 8189 R. Ascoli und W. Heisenberg. Zur Quantentheorie nichtlinearer Wellengleichungen. IV. Elektrodynamik. Z. Naturf. 12a, 179—189, 1957, Nr. 3. (März.) (Göttingen, Max-Planck-Inst. Phys.) Fortsetzung früherer Arbeiten über die von Heisenberg angegebene nichtlineare Spinor-Gleichung. Kräfte langer Reichweite werden untersucht und analog den Coulomb-Kräften gefunden. Die nichtlineare Gleichung enthält ganz allgemein die Elektrodynamik, wobei der Wert der Feinstrukturkonstanten aus dem Modell berechnet werden kann. (Grober Näherungswert hier 1/267.) Ferner diskutieren Vff. Erweiterungen des Modells durch Einführung eines Isotopenspins.
- 9190 L. Castillejo, R. H. Dalitz and F. J. Dyson. Low's scattering equation for the charged and neutral scalar theories. Phys. Rev. (2) 101, 453—458, 1956, Nr. 1. (1. Jan.) (Ithaca, N. Y., Cornell Univ., Lab. Nucl. Stud.) Für die in der Näherung für festgehaltene Nukleonen und ein Meson gültige Näherungsgleichung von Low (Phys. Rev. 97, 1392, 1955) wird eine allgemeine Lösung gefunden, die unendlich viele unbestimmte Parameter enthält. Ohne weitere Nebenbedingung bestimmt daher die Lowsche Gleichung das physikalische Streuproblem nicht eindeutig, sondern unterwirft es nur der Bedingung, daß es einer Dispersions-Relation genüge. (Siehe jedoch das nachst. Ref., D. Ref.)
- 8191 R. Haag. On the physical significance of the redundant solutions of the Low equation. Nuovo Cim. (10) 5, 203—215, 1957, Nr. 1. (1. Jan.) (Göttingen, Max-Planck-Inst. Phys.) Obwohl die Lowsche Näherungsgleichung für die Pion-Nukleon-Streuung mathematisch unendlich viele Lösungen hat (vorst. Ref.), ist nur eine von ihnen physikalisch sinnvoll, nämlich die von Chew und Low (Ber. 36, 495, 1957). Diesem Ergebnis scheint jedoch ein späteres von Dyson (Phys. Rev. 106, 157, 1957) zu widersprechen (D. Ref.).
- 8192 D. Kleitman. Heavy-fermion mass spectrum. Phys. Rev. (2) 107, 1453 bis 1454, 1957, Nr. 5. (1. Sept.) (Cambridge, Mass., Harvard Univ.) Für eine bestimmte Klasse von Lagrange Dichten, die man zur Beschreibung der starken Wechselwirkungen der Felder schwerer Teilchen einführen kann, wird das Massenspektrum der schweren Fermionen berechnet. Bei den Lagrange-Dichten wurden folgende Annahmen gemacht: (1) ohne Wechselwirkungen sollständige Symmetrie innerhalb der Felder der schweren Fermionen herrschen; (2) alle starken Wechselwirkungen sollen durch dimensionslose Kopplungskonstanten beschrieben werden; (3) die starke x-Mesonen-Wechselwirkung soll die Symmetrie innerhalb der schweren Fermionen erhalten.
- 8193 Adam M. Bincer. Scattering of longitudinally polarized fermions with anomalous magnetic moments. Phys. Rev. (2) 107, 1467—1468, 1957, Nr. 5. (1. Sept.) (Upton, N. Y., Brookhaven Nat. Lab.) Im Anschluß an eine frühere Veröffentlichung des Vf. wird die Streuung longitudinal polarisierter Fermionen nit einem anomalen magnetischen Moment behandelt.
- 3194 Andrew Lenard. Spin reversal in scattering processes. Phys. Rev. (2) 107. 1712—1713, 1957, Nr. 6. (15. Sept.) (New York, N. Y., Columbia Univ., Dep.

Phys.) Der Einfluß auf die Streumatrix bei Spinumkehr aller Teilchen wird untersucht. Eine exakte Beziehung ergibt sich als Konsequenz der Invarianz der kombinierten Raum- und Zeitkoordinaten und der Unitarität der S-Matrix. Mit der niedrigsten Ordnung einer Störungsrechnung ergibt sich eine Symmetrisierung der Matrixelemente. Die Verwicklungen für Teilchen in beliebigen Zuständen der Polarisation werden angedeutet.

Bd. 37, 8

- 8195 A. P. Stone. Expressions for certain Wigner coefficients. Proc. phys. Soc. Lond. (A) 70, 908—909, 1957, Nr. 12 (Nr. 456 A). (1. Dez.) (Alwaye, S. India. Union Christian Coll.) Aus einem früher (Proc. Camb. phil. Soc. 52, 424, 1956) vom Vf. angegebenen geschlossenen Ausdruck für  $C_{m-1}^{j}$  if wird eine vereinfachte Summation für  $C_{m+\mu-1}^{j+s}$  if  $C_{m+\mu-1}^{j}$  hergeleitet und für die Beispiele s = 1/2 und 1 explizit ausgeführt. G. Schumann.
- 8196 A. Proca. Particules de très grandes vitesses en mécanique spinorielle. Nuovo Cim. (10) 2, 962—971, 1955, Nr. 5. (1. Nov.) (Paris, Inst. Henri Poincaré.) Ein Massenpunkt kann in der Spinormechanik nur dann Lichtgeschwindigkeit erreichen, wenn seine Ruhemasse Null ist. Die Klasse von Teilchen, die diesen Grenzfall erreichen lassen, umfaßt auch das Photon. Eigenschaften dieser Klasse werden angegeben.
- 8197 A. Proca. Interférences en mécanique spinorielle. Nuovo Cim. (10) 2, 972 bis 979, 1955, Nr. 5. (1. Nov.) (Paris, Inst. Henri Poincaré.) Durch die Wechselwirkung eines dem Massenpunkt beigegebenen zusätzlichen periodischen Feldes werden die Interferenzerscheinungen erklärt. Für Teilchen verschwindender Masse gibt dieses Feld die elektromagnetischen Eigenschaften des Photons wieder.
- 8198 P. G. Bergmann. Introduction of "true observables" into the quantum field equations. Nuovo Cim. (10) 3, 1177—1185, 1956, Nr. 6. (1. Juni.) (Syracuse Univ., Dep. Phys.) Um die Gravitationstheorie mit Hilfe des Hamiltonschen Formalismus zu quantisieren, müßte man sie vorher in eine Form kleiden, die nur noch von den "wahren Observablen" Gebrauch macht. Diese sind dadurch definiert, daß sie nicht abhängen von den vier willkürlichen Funktionen, die durch die Koordinaten-Invarianz bedingt sind. Die Auffindung dieser "wahren Observablen" ist jedoch bisher nicht gelungen. Daher behandelt Vf. das prinzipiell gleichartige Problem der eich-invarianten Elektrodynamik, in der nur eine willkürliche Funktion aus den Observablen zu eliminieren ist. (Weiteres s. Rev. mod. Phys. 29, 443, 1957. D. Ref.)
- 8199 I. Pomeranuk. Vanishing of the renormalized charge in electrodynamics and in meson theory. Nuovo Cim. (10) 3, 1186—1203, 1956, Nr. 6. (1. Juni.) (Moscow, Acad. Sci. URSS.) Von Landau, Abrikosov, Halatnikov (Dokl. Akad. Nauk 95, 1177, 1954) war gezeigt worden, daß in der Quanten-Elektrodynamik das Verhältnis der beobachtbaren (renormierten) Ladung e zur Ladung e1 des nackten Elektrons verschwindet, wenn e1 st und man von einer "verschmierten" Wechselwirkung zur punktförmigen übergeht. Mit Hilfe eines später (Dokl. Akad. Nauk 108, 993, 1955) entwickelten Verlahrens, bei dem die Elektronen- und Lichtoperatoren in verschiedener Weise verschmiert werden, wird hier bewiesen, daß jenes Ergebnis nicht nur für e1 st, sondern für beliebiges e1 richtig ist. Ferner wird gezeigt, daß diese vollständige Kompensation einer "nackten" Ladung durch die Vakuum-Polarisation auch in der pseudoskalaren Mesonen-Theorie gilt, also zu vermuten ist, daß sie bei jeder punktförmigen Wechselwirkung auftritt (s. auch das nachst. Ref.)
- 8200 I. Ya. Pomeranchuk, V. V. Sudakov and K. A. Martirosyan. Vanishing of renormalized charges in field theories with point interaction. Phys. Rev. (2) 103.

784—802, 1956, Nr. 3. (1. Aug.) (Moscow, Acad. Sci. USSR.) Die Ergebnisse, die an anderer Stelle zusammenfassend besprochen wurden (vorst. Ref.), werden hier sehr ausführlich hergeleitet und ausgedehnt auf den Fall pseudovektorieller Kopplung. Dieser ist in der üblichen Störungstheorie nicht renormierbar, hier aber gelingt eine Renormierung ohne Reihenentwicklung und mit dem Ergebnis, daß die renormierte Konstante auch der pseudo-vektoriellen Kopplung im Vergleich mit der "nackten" verschwindet.

Just.

8201 W. Królikowski and J. Rzewuski. One-time formulation of the relativistic two-body problem. Separation of angular variables. Nuovo Cim. (10) 4, 975—990, 1956, Nr. 5. (1. Nov.) (Warsaw, Polish Acad. Sci., Inst. Phys.; Wroclaw, Polish Acad. Sci., Inst. Phys.) Die Lösung des im Titel genannten Problems führt im allgemeinen (Spin des Systems  $j=1,2,3,\ldots$ ) zu acht Integralgleichungen für acht Funktionen des Impulsbetrages, im Falle j=0 nur zu vier solchen Gleichungen für vier Funktionen. Eine strenge Lösung dieser Systeme ist noch nicht gefunden, jedoch stellt die Zurückführung auf Gleichungen mit nur einer unabhängigen Veränderlichen eine beträchtliche Vereinfachung des ursprünglich so komplizierten Zwei-Körper-Problems dar.

8202 W. Królikowski and J. Rzewuski. A new proof of the one-time equation in the theory of bound states. Nuovo Cim. (10) 4, 1212—1215, 1956, Nr. 5. (1. Nov.) (Warsaw, Polish Acad. Sci., Inst. Phys.; Wroclaw, Polish Acad. Sci., Inst. Phys.) Die einzeitige Viel-Teilchen-Gleichung, die nunmehr für das Zwei-Körper-Problem teilweise gelöst ist (vorst. Ref.), war von den Vff. bisher nur unter einschränkenden mathematischen Bedingungen hergeleitet worden (Ber. 35, 719, 1956), (Nuovo Cim. 3, 260, 1956). Hier wird sie auf einem ganz anderen Wege bewiesen, der von jenen Einschränkungen frei ist.

8203 B. E. Laurent. On covariant quantization with application to the scattering of gravitating Dirac particles. Nuovo Cim. (10) 4, 1445—1460, 1956, Nr. 6. (1. Dez.) (Univ. Stockholm, Inst. Theor. Phys.) Vf. benutzt zur Quantisierung das Verfahren von Feynman, Matthews, Salam. Behandelt werden Dirac-Feld mit elektromagnetischem Feld (Frage der Eichinvarianz) und das Dirac-Feld in Wechselwirkung mit dem Gravitationsfeld. Elektron-Elektron-Streuung auf Grund der Gravitation.

8204 P. Boechieri and P. Gulmanelli. Gravitational forces and quantum theory. Nuvo Cim. (10) 5, 1016—1017, 1957, Nr. 4. (1. Apr.) (Pavia, Univ., Ist. Fis.; Milano, Univ., Ist. Sci. Fis.) Hypothetische Zurückführung der Gravitation auf die β-Wechselwirkung, modifiziert durch Einführung eines hypothetischen X-Mesons, das schwerer als das Nukleon sein muß.

8205 Florence Aeschlimann et Jean-Louis Destouches. L'électromagnétisme non linéaire et les photons en théorie fonctionelle des corpuscules. J. Phys. Radium 18, 632—637, 1957, Nr. 11. (Nov.) (Paris, Inst. Henri-Poincaré.) Es wird gezeigt, daß die nichtlinearen Theorien von MIE und BORINFELD aus einer nichtlinearen Theorie des Photons eines der Vff. zum Teil hergeleitet werden kann.

Leisinger.

3206 Jean-Louis Destouches. La gravitation en théorie microphysique non linéaire. J. Phys. Radium 18, 642—643, 1957, Nr. 11. (Nov.) (Paris, Inst. Henri-Poincaré.) Ausgehend von einer Gleichung der Form  $\varepsilon$  (u,  $\nabla$ ) = Q (u,  $\nabla$ ) für die ein Teilchen (Graviton) darstellende physikalische Welle u wird ein nichtlineares Gleichungssystem (S<sub>2</sub>) angegeben, das zwei durch Linearkombinationen der Komponenten u<sub>iklm</sub> von u gebildete Tensoren verknüpft und das die mit den Gravitonen (Spin 2) verbundenen Felder beschreibt. Die Gleichungen stellen die Analoga zu den aus der nichtlinearen Photonentheorie abgeleiteten elektro-

magnetischen Gleichungen dar. Unter vier näher angegebenen Bedingungen lassen sich diese Felder  $(S_2)$  mit Gravitationspotentialen  $g(\mu\nu)$  verknüpfen, die als Fundamentaltensor eines RIEMANNschen Raumes mit komplexer Metrik betrachtet werden können. Der Zusammenhang mit anderen Theorien wird kurz angedeutet.

- 8207 Ia. P. Terletskii. On a rational system of symbols for fundamental particles. Soviet Phys.-JETP 4, 575—576, 1957, Nr. 4. (Mai.) (Engl. Übers. aus.: J. exp. theor. Phys. (russ.) 31, 703—704, 1956, Okt.) (Moscow, State Univ.) Es werden die vier fundamentalen Parameter E,  $\varepsilon$  (an Stelle von S nach Gell-Mann) n und  $\lambda = -v$ , welche den Typ der Entstehung und des Zerfalls von Elementarteilchen bestimmen, dazu benutzt, um ein Schema aufzustellen, das den Platz von Elementarteilchen in der natürlichen Systematik angibt. An Hand dieses Systems lassen sich drei Sorten von Elementarteilchen voraussagen: 1. Schwere Mesonen  $M_+^+$ , 2. Barionen oder Antibarionen  $B_+^+$ ,  $_1B_-$ ,  $_{-1}B_-^-$ ,  $_{-1}B_+^+$ , 3. Leptonen (analog zu allen möglichen Barionen). Dabei wurde folgende Symbolistik angewandt:  ${}^{h}Z_{\varepsilon}^{E}$ . Knecht.
- 8208 Iu. A. Gol'fand. Transformation properties of the electron-positron field nmplitudes. Soviet Phys.-JETP 4, 446—447, 1957, Nr. 3. (Apr.) (Engl. Übers. aus.: J. exp. theor. Phys. (russ.) 31, 535—536, 1956, Sept.) (Acad. Sci., Lebedev Phys. Inst.) Es wird gezeigt, daß sich die Feldamplituden nicht entsprechend der Spinordarstellungen der Lorentz-Gruppe transformieren und daß sich die den Elektron- und Positronzuständen entsprechenden Amplituden unabhängig voneinander gemäß denselben Darstellungen transformieren. Betrachtet wird die inhomogene Lorentz-Gruppe einschließlich Raumspiegelungen, jedoch ohne die gesonderte Betrachtungen erfordernden Zeitspiegelungen. Jörchel.
- 8209 J. S. Långer. Strange-particle effects in S-wave pion-nucleon scattering. Nuovo Cim. (10) 6, 674—681, 1957, Nr. 3. (Sept.) (Univ. Birmingham, Dep. Math. Phys.) Bisherige Unstimmigkeiten der pseudoskalaren Mesonen-Theorie werden beseitigt durch Beachtung virtueller Effekte der "strange particles".

Just.

- 8210 B. H. Bransden and R. G. Moorhouse. Approximate methods in S wave pion nucleon scattering. Nuvo Cim. (10, 6, 693-700, 1957, Nr. 3. (1. Sept.) (Glasgow, Univ., Dep. Natur. Philos.) Die Näherungsmethoden von Tamm, Dancoff und Cini, Fubini (Ber. 33, 1376, 1954) werden verglichen an Hand eines Problems, von dem man auch die exakte Lösung kennt (Ber. 36, 1899, 1957). Es ergibt sich, daß unter den praktisch wichtigsten Bedingungen die Näherung von Tamm, Dancoff der von Cini, Fubini überlegen ist.

  Just.
- 8211 A. Houriet. Méthode des champs adhérents. Helv. phys. acta 29, 430—432, 1956, Nr. 5/6. (15. Dez.) (Fribourg.) Die üblichen Gleichungen der pseudoskalaren Mesonen-Theorie haben auch solche Lösungen, die für verschwindende Kopplungs-Konstante nicht in die ebenen Wellen der "en!koppelten" Nukleonen und Mesonen übergehen. Sie wurden benutzt zu einer mit der Erfahrung verträglichen Beschreibung des Nukleons und des Deuterons (S. B., ohne Beweise.)

  Just.
- 8212 V. L. Pokrovskii. A theorem on the equality of the cross sections for photoproduction of charged  $\pi$ -mesons on nuclei with isotopic spin zero. Soviet Phys.-JETP 4, 459—460, 1957, Nr. 3. (Apr.) (Engl. Übers. aus: J. exp. theor. Phys. (russ.) 31, 537—538, 1956, Sept.) (Acad. Sci., West Siberian Branch.) Aus der Hamiltonschen Wechselwirkungsfunktion für Nukleonen und Pi-Mesonen mit dem elektromagnetischen Feld, dargestellt als Summe eines Skalars S und der 3. Komponente eines Vektors  $V_3$  in bezug auf die Drehgruppe im isotopen Spin-

raum, erhält man einen Erhaltungssatz für die Projektion des isotopen Spins des Systems auf die 3-Achse (Ladungserhaltung) und die Auswahlregel für den gesamten isotopen Spin T des Systems  $\Delta$  T = 0,  $\pm$  1. Es wird gezeigt, daß das Matrixelement ( $\Psi_{\mathbf{f}} \mid S \mid \Psi_{\mathbf{i}}$ ) für Photoerzeugung geladener Mesonen an Kernen mit isotopem Spin Null verschwindet, daß der isotope Spin des Kerns im Endzustand entweder 1 oder 2 ist und daß der Photoerzeugungsquerschnitt für geladene Mesonen entgegengesetzten Vorzeichens für beide möglichen Spinwerte im Endzustand durch d $\sigma$  ( $\pi$ ) = d  $\sigma$  ( $\pi$ ) gegeben ist. Die experimentellen Werte  $\mathbf{r} = \mathrm{d}\sigma$  ( $\pi$ )/d $\sigma$  ( $\pi$ ) für leichte Kerne (D,  $\mathrm{C}^{14}$ ,  $\mathrm{N}^{14}$ ,  $\mathrm{O}^{16}$ ) sind innerhalb der Meßfehler gleich 1.

8213 R. Arnowitt and G. Feldman. Behavior of the meson-nucleon cross section at high energies. Phys. Rev. (2) 108, 144—147, 1957, Nr. 1. (1. Okt.) (Syracuse, N. Y., Univ., Dep. Phys.; Madison, Wisc., Univ., Dep. Phys.) Es wird gezeigt, daß im Rahmen einer lokalen kausalen Feldtheorie für den totalen  $\pi$ -Nukleonenquerschnitt  $\sigma$  ( $\omega$ ) bei hohen Energien  $\lim \omega$   $\sigma$  ( $\omega$ ) > 0 gilt. Jörchel.

8214 M. T. Burgy, R. J. Epstein, V. E. Krohn, T. B. Novey and V. L. Telegdi. Measurement of beta asymmetry in the decay of polarized neutrons. Phys. Rev. (2) 107. 1731-1733, 1957, Nr. 6. (15. Sept.) Lemont, Ill., Argonne Nat. Lab.; Chicago, Ill., Univ.) Es wurden die relativen Wahrscheinlichkeiten der β-Emission parallel bzw. antiparallel zum Neutronspin gemessen. Der polarisierte Neutronenstrahl wurde durch Reflexion eines thermischen Reaktorneutronenstrahls an einem magnetisierten Co-Fe-Spiegel erzeugt. Der unter einem Winkel von 8 min gegenüber der Metalloberfläche reflektierte Strahl war zu 87 % polarisiert und besaß einen Neutronenfluß von 7·107 Neutronen/s. Der Neutronenzerfall wurde durch (verzögerte) Koinzidenzen eines  $\beta$ -Detektors (plastischer Szintillator) und eines Protonendetektors (Nachweis der nachträglich bis auf 12 keV beschleunigten Protonen mit einem Multiplier) nachgewiesen. Gemessen wurde die Zahl der Koinzidenzen bei β-Emission in Spinrichtung bzw. antiparallel zur Spinrichtung. Daraus wurde auf die Winkelverteilung der emittierten β-Teilchen geschlossen und zu W  $(\Theta) = 1 - (0.37 \pm 0.11) v/c \cdot \cos \Theta$  bestimmt. Andresen.

8215 T. Tietz. Über eine Approximation der Thomas-Fermi-Funktion. Nuovo Cim. (10) 4, 1192—1194, 1956, Nr. 5. (1. Nov.) (Lodz, Univ., Phys. Inst.) Die Lösung der Gleichung  $y'' = \sqrt{y/x}$  y mit y(0) = 1,  $y(\infty) = 0$  läßt sich gut annähern durch  $y^2 = (1 + a x + b x^2)^{-3}$  mit a = 0,7105 und b = 0,03919.

118 t.

8216 A. S. Kompaneets and E. S. Pavlovskii. The self-consistent field equations in an atom. Soviet Phys.-JETP 4, 328—336, 1957, Nr. 3. (Apr.) (Engl Übers. aus: J. exp. theor. Phys. (russ.) 31, 427—438, 1956 Sept.) (Acad. Sci., USSR, Inst. Chem. Phys.) Nach der Fockschen self consistent Feldmethode werden die Thomas-Fermi-Gleichungen für das Potential in einem Atom abgeleitet und zwar mit allen Korrektionen der Ordnung Z-2/3 (Z Ordnungszahl). Es zeigt sich, daß die früher von WEIZSÄCKER vorausgesagte Quantenkorrektion um einen Faktor 9 zu groß ist, während die von DIRAC gefundene Austauschkorrektion im wesentlichen nur stimmt, wenn sie klein gegenüber dem Hauptterm des Potentials ist.

8217 Charlotte Froese. The self-consistent field with exchange for some 10 and 12 electron systems. Proc. Camb. phil. Soc. 53, 206—213, 1957, Nr. 1. (Jan.) (Cambridge, Univ., Math. Lab.)

8218 Kailash Kumar. Tables of certain Clebsch-Gordan coefficients and of matrix elements of  $P_2$ ,  $P_2^2$ , and  $P_2^3$  between single-particle states. Canad. J. Phys. 35, 341—345, 1957, Nr. 3. (März.) (Montreal, Que., McGill Univ., Math. Dep.)

Clebsch-Gordan-Koeffizienten für die Kopplung zweier Drehimpulse (j,m) und (j',-m) zu (2,0) wurden für  $^1/_2\leqslant m\leqslant ^{13}/_2$  und  $^1/_2\leqslant j,$   $j'\leqslant ^{17}/_2$  berechnet. Die Ergebnisse sind tabelliert. Nöldeke.

- C. Carter, N. H. March and D. Vincent. X-ray and electron scattering by molecular hydrogen. Proc. phys. Soc. Lond. 71, 2-16, 1958, Nr. 1 (Nr. 457). (1. Jan.) (Harwell, Berks., Atom. Energy Res. Establ.; Sheffield, Univ., Dep. Phys.) Wellenfunktion, Elektronendichte und Potential werden als Entwicklung in Legendre-Polynomen dargestellt. Eine self-consistent-field-Wellenfunktion in Form einer solchen, nach dem ersten Term abgebrochenen Entwicklung wird zunächst benutzt, um die Elektronendichte zu berechnen, und die Ergebnisse werden verglichen mit denen, die man mit aus linearen Kombinationen atomarer Eigenfunktionen aufgebauten molekularen Eigenfunktionen sowie mit Eigenfunktionen nach Gurnee und Magee (Ber. 30, 186, 1951) erhält. Entsprechend wird für diese drei Fälle, die kohärente und inkohärente Streuung von Röntgenstrahlen berechnet. Die Resultate stimmen untereinander und mit dem Experiment gut überein. Bei der Berechnung der elastischen Streuung langsamer Elektronen wird auch Elektronenaustausch diskutiert, dessen Effekt jedoch nicht quantitativ abgeschätzt werden kann. Die Übereinstimmung mit MASSEY und RIDLEY (Ber. 36, 831, 1957) ist befriedigend. Der Beitrag des Quadrupolterms ist klein gegen den des kugelsymmetrischen Feldes, die aller übrigen Multi-G. Schumann. pole verschwinden praktisch.
- 8220 J. Hubbard. The description of collective motions in terms of many-body perturbation theory. II. The correlation energy of a free-electron gas. Proc. roy. Soc. (A) 243, 336—352, 1958, Nr. 1234. (7. Jan.) (Harwell, Didcot, Berks., Atom. Energy Res. Establ.) Die Korrelationsenergie eines freien Elektronengases ei verschiedenen Gasdichten wird mit Hilfe der vom Vf. in einer früheren Arbeit (Proc. roy. Soc. (A) 240, 539, 1957) entwickelten Vorstellungen berechnet. Die Ergebnisse sind in guter Übereinstimmung mit den von Bohm und Pines (Phys. Rev. (2) 92, 609, 1953) aus der Plasma-Oszillations-Theorie erhaltenen Resultaten.
- 8221 L. D. Landau. The theory of a Fermi liquid. Soviet Phys. JETP 3, 920 bis 925, 1957, Nr. 6. (Jan.) (Engl. Übers. aus: J. exp. theor. Phys., Moskau 30, 1058 bis 1064, 1956, Juni.) (USSR, Acad. Sci., Inst. Phys. Probl.) Beim allmählichen Übergang vom FERMI-Gas (Wechselwirkung der Partikeln = Null) zur FERMI-Flüssigkeit wird die Rolle der Gaspartikeln von den "elementary excitations" (Quasi-Partikeln) übernommen, von denen jedes ein bestimmtes Moment besitzt. Die Energie des Gesamtsystems ist nicht mehr gleich der Summe der Energie der Partikeln, sondern ein Funktional der Verteilungsfunktion. Es wird die effektive Masse dieser Quasipartikeln berechnet, ferner die Kompressibilität und die magnetische Suszeptibilität der FERMI-Flüssigkeit. Schließlich werden bei H = 0 und unter Vernachlässigung der Spin-Bahnmoment-Kopplung Ausdrücke für den Momenten- und Energiefluß abgeleitet. K. M. Koch.
- 8222 B. C. Carlson and Joseph M. Keller. Orthogonalization procedures and the localization of Wannier functions. Phys. Rev. (2) 105, 102—103, 1957, Nr. 1. (1. Jan.) (Ames, Iowa, State Coll., Inst. Atom. Res., Dep. Phys.) In vielen Problemen der Festkörperphysik ist es erwünscht, von orthogonalen Einelektronen-Eigenfunktionen auszugehen. Die sich anbietenden Ausgangsfunktionen, die Atom-Eigenfunktionen der Elektronen überlappen sich im allgemeinen. Zur Orthogonalisierung dieser Funktionen kann man z. B. das Schmidtsche Verfahren der schrittweisen Orthogonalisierung anwenden. Eine zweite Methode, die der "symmetrischen Orthogonalisierung" von Landshoff und Löwdin (Advanc. in Phys. 5, 1, 1956) führt auf orthonormale Funktionen wie z. B. die

Wannier-Funktionen. Es ist der Zweck der vorliegenden Arbeit zu zeigen, daß dieses zweite Verfahren der symmetrischen Orthogonalisierung eine einfache geometrische Deutung zuläßt, die einem zu verstehen erlaubt, warum dieses Verfahren auf lokalisierte Funktionen führt. Vff. beweisen, daß die nach Landshoff und Löwdin ermittelten orthonormalen Funktionen die Summe der Quadrate der Abstände zwischen einer jeden Ausgangsfunktion fi und einer Funktion  $\varphi_i$  des Satzes zum Minimum machen. Unter Abstand ist der Abstand im Hilbert-Raum zu verstehen:  $\mathcal{L}i_f \mid \varphi_i - f_i \mid ^2 ds$ . Die Lokalisierung der Wannier-Funktionen rührt daher, daß sie im Sinne dieser kleinsten Quadrate die Atomeigenfunktionen besser approximieren als irgendein anderer Satz von orthonormalen Funktionen.

8223 B. Segall. Calculation of the band structure of "complex" crystals. Phys. Rev. (2) 105, 108—115, 1957, Nr. 1. (1. Jan.) (Schenectady, N. Y., Gen. Electr. Res. Lab.) Vf. entwickelt eine Methode zur Berechnung der Energiebandstruktur von komplexen Kristallen, d. h. Kristallen mit mehr als einem Gitterbaustein in der Elementarzelle. Die vorliegende Arbeit stellt eine Erweiterung der Untersuchungen von Korringa, Kohn und Rostoker (Physica 13, 392, 1947 und Ber. 34, 1055, 1955) über die Energiebandstruktur von einfachen Kristallen dar. Voraussetzung zur Anwendung der Methode ist, daß das Kristallpotential innerhalb nichtüberlappender Kugeln um die Gitterbausteine durch eine sphärisch symmetrische Funktion dargestellt werden kann und daß es in den Zwischenräumen konstant ist.

8224 G. Burniston Brown. Have we abandoned the physical theory of nature? Sci. Progr. 44, 619—634, 1956, Nr. 176. (Okt.) (London, Univ.)

8225 A. G. McNish. Dimensions, units and standards. A talk presented at a meeting of the staff of the National Buerau of Standards. Phys. To-day 10, 1957, Nr. 4, S. 19—25. (Apr.) (Washington, Nat. Bureau Standards.)

8226 J. de Boer. Recommendations of the International Union of pure and applied Physics. Commission for Symbols, Units and Nomenclature. Ned. Tijdschr. Natuurk. 23, 327—331, 1957, Nr. 12. (Dez.) (Amsterdam, Inst. Theor. Phys.)

8227 Simboli e unità. Nuovo Cim. (10) 4, 172, 1956, Nr. 1. (1. Juli.) Weidemann.

8228 K. Matsuura. An experimental atomic clock. II. Measurement of the centre frequency of the absorption line. Bull. electrotech. Lab., Tokyo (jap.) 21, 518—538, (551) 1967, Nr. 7. (Juli.) (Orig. jap. m. engl. Zfg.) Im zweiten Teil der Arbeit über den experimentellen Aufbau einer NH<sub>3</sub>-Atomuhr mit Absorptionszelle werden die Meßfehler diskutiert, die sich infolge der Reflexion an den beiden Enden der Absorptionszelle ergeben. Die Bedingungen für die größtmögliche Genauigkeit werden aufgestellt. Es erwies sich dabei als günstig, die Absorptionszelle möglichst lang zu machen. Mit einer Zelle von 23 m Länge konnten die Abweichungen unter 10-9 gehalten werden.

8229 William G. Fastie. An iodine absorption line as a primary standard of length. J. opt. Soc. Amer. 47, 120, 1957, Nr. 1. (Jan.) (S. B.) (Baltimore, Maryl., Johns Hopkins Univ.)

Beggerow.

8230 J. Fischer. Die Einheiten der elektrischen Ladung und der Versuch von Kohlrausch und Weber. Arch. Elektrotech. 43, 212—215, 1957, Nr. 3. (T. H. Karlsruhe.) Als bedenklich werden die Definitionen  $[q]_e = \sqrt{g} \text{ cm}^3/\text{s}$  und  $[q]_m = \sqrt{g} \text{ cm}$  für die absolute elektrostatische bzw. elektromagnetische Einheit der elektrischen Ladung, gebildet allein aus den drei Grundeinheiten der

Mechanik, angesehen, da zwei Einheiten derselben physikalischen Größe verschiedene Dimensionen aufweisen und weitere Ableitungen aus diesen Gleichungen zu absurden Beziehungen führen. Die Annahme, daß es sich um physikalisch verschiedene Größen (ruhende und bewegte Ladung) handelt, bleibt ein unbefriedigender Versuch zur Auflösung der Schwierigkeiten. Überwunden werden diese erst bei Einführung einer vierten unabhängigen Grundeinheit, z. B. der Verschiebungskonstante  $\varepsilon_0$  oder der Induktionskonstante  $\mu_0$ . Es wird dann  $[Q]_e = \sqrt{4} \pi g \text{ cm}^3 \varepsilon_0$ /s und  $[Q]_m = \sqrt{4} \pi g \text{ cm}/\mu_0$ . Einfach ergibt sich dann auch das durch den klassischen Versuch von Kohlrausch und Weber bestimmte Einheitenverhältnis  $[Q]_m/[Q]_e$ , das gleich wird dem Zahlenwert der Vakuumwellengeschwindigkeit, diese in cm/s gemessen.

8231 W. Praxmarer. Betrachtungen über ein Wärmeleitungsvakuummeter. Nachrichtentechnik, Berl. 7, 61—65, 1957, Nr. 2. (Febr.) (Berlin, Dtsch. Akad. Wiss.) Aus Berechnung der Wärmegleichgewichte (Wärmeverluste) ergibt sich, daß der Meßwiderstand einen großen Temperaturkoeffizienten (NTC-Widerstand), kleine Oberfläche, große Temperaturbelastbarkeit haben soll. Ferner müssen die Halterungsdrähte dünn sein und die Wärme schlecht leiten. Das Meßgefäß ist möglichst groß zu machen und innen zu verspiegeln. Meßbereich 10-3 bis 10-6 Torr.

H. Ebert.

8232 Rudolf Jaeckel und Franz-Josef Schittko. Gasabgabe von Werkstoffen ins Vakuum. Nr. 369 d. Forschungsber. d. Wirtschafts- u. Verkehrsmin. Nordrhein-Westfalen. 35 S. mit 20 Abb. Westdeutscher Verlag, Köln u. Opladen. 1957. 13,30 DM (kart.)

H. Ebert.

8233 Mitchell B. Bain. A multipressure measuring system. Trans. Inst. Radio Engrs. N. Y. I—6, 1957, Nr. 1, (März.) S. 18—22. (Pasadena, Yet Propulsion Lab., Calif. Inst. Tech.) Zum Registrieren von Drucken aus 192 Anzapfstellen wird ein entsprechender Verteiler, ein Analog-Auswahl-Ventil und ein Analog-Ziffern-Umwandler zum Eintragen der Druckwerte auf Lochkarten beschrieben.

H. Ebert.

- 8234 Werner Bächler und Hans-Georg Nöller. Fraktionierung und Entgasung in Öldiffusionspumpen. Z. angew. Phys. 9, 612—616, 1957, Nr. 12. (Dez.) (Köln-Bayental, Leybold's Nachf.) Fraktionieren und Entgasen machen organische Treibmittel für den Gebrauch bei Diffusionspumpen geeigneter. Bestimmte Stoffe lassen sich besonders gut verbessern. Optimale Ergebnisse werden durch Zusammenwirkung der genannten Verfahren erreicht.

  H. Ebert.
- 8235 G. Reich und H. G. Nöller. Partialdruckanalysen des Enddruckes von Oeldiffusionspumpen mit dem Omegatron. Z. angew. Phys. 9, 617—621, 1957, Nr. 12. (Dez.) (Köln, Leyhold's Nachf., Hochvakuumlab.) Es wurde ein zur Messung von Partialdrucken geeignetes Omegatron entwickelt. Mit diesem wurde festgestellt, daß es immer zweckmäßig ist, auch dann Öldiffusionspumpen und Treibmittel für sehr niedrige Enddrucke zu verwenden, wenn im Rezipienten selbst bei wesentlich höheren Drucken gearbeitet werden kann. Es gelingt mit maschinengekühlten Baffles, den Dampfdruck des Treibmittels herabzusetzen, nicht aber, leichtflüchtige Zersetzungsprodukte daran zu hindern, in den Rezipienten zu gelangen. Es ist also wichtig, daß die Treibmittel der Pumpe keine solche Zersetzungsprodukte haben.
- 8236 Klaus Zioek. Die Dimensionierung von Pumpenkombinationen mit Rootspumpen. Vakuum-Tech. 6, 98—101, 1957, Nr. 5. (Aug.) Es wird ein Verfahren angegeben, wie aus der statischen Vorvakuumbeständigkeit einer Rootspumpe und der Sauggeschwindigkeitskurve der Vorpumpe die Sauggeschwindigkeitskurve der Rootspumpe rechnerisch ermittelt werden kann. Einige Beispiele wer-

den ausgeführt und die Folgerungen untersucht, die sich für die praktische Auswahl von Vorpumpen ergeben. Ziock.

8237 H. Haas. Über eine Lichtzeigeranordnung für Nullinstrumente. Optik, Stuttgart 15, 135—137, 1958, Nr. 2/3. (Febr./März.) (Berlin, Deutsch. Amt Maß u. Gew.) Mit Hilfe eines Porroprismas wird der Lichtzeiger des zu verwendenden Instruments in zwei Teilbündel zerlegt, die sich bei Ausschlag gegenläufig bewegen. Das Zusammenfallen der Teilbilder kann als empfindliche Nullanzeige benutzt werden und macht eine Ableseskala oder besondere Nullmarke entbehrlich.

8238 Tschistjakow. Bericht über ein kombiniertes Meßgerät. Feingeräte-Tech. 6, 413—414, 1957, Nr. 9. (Sept.) (Moskau, techn. wiss. Ges.) Die Kombination zweier Meßgeräte, die die gleiche Meßgröße nach verschiedenen Methoden bestimmen, zur Störbeseitigung wird als neues Prinzip aufgestellt. Beispiele: Kombination von magnetischem und Kreiselkompaß, von Fluggeschwindigkeitsmessern nach der Doppler-Effekt- und nach der Beschleunigungs-Integrationsmethode.

A. Deubner.

8239 Pol Duwez. Utilization of solar furnaces in high-temperature research. Trans. Amer. Soc. mech. Engrs 79, 1019-1023, 1957, Nr. 5, (Juli.) (Pasadena Calif., Inst. Technol.) Bei der Konstruktion von Überschallflugzeugen treten wärmetechnische Fragen auf, deren Bearbeitung im Laboratorium sehr hohe Wärmeströme erfordert. Will man diese durch Strahlungsenergie erzeugen, so benötigt man Strahler sehr hoher Temperatur. In diesem Zusammenhang wird die Verwendung der Strahlung der Sonne bei Abbildung mit einem Parabolspiegel behandelt. Es werden in Abhängigkeit von den Spiegelabmessungen für die erreichbaren Energiekonzentrationen und Temperaturen Formeln abgeleitet. aus denen sich die im Einzelfall günstigsten Verhältnisse entnehmen lassen. Schwer zu erfassen ist der Einfluß der (geometrischen) Unvollkommenheit der Spiegeloberfläche, vor allem bei Spiegeln, die aus mehreren Teilflächen zusammengesetzt sind. Wegen der für viele Experimente erforderlichen Größe des Sonnenbildes benötigt man aber große Spiegel, die sich aus konstruktiven Gründen nicht in einem Stück herstellen lassen. Die notwendige Verbesserung solcher zusammengesetzten Spiegelflächen wird als grundsätzlich möglich angesehen, für praktische Zwecke dürfte die Kostenfrage ausschlaggebend sein.

8240 Y. Nakaji. A method to equalize temperature distribution in a cylindrical furnace. Bull. electrotech. Lab. Tokyo (jap.) 21, 509—511 (551), 1957, Nr. 7. (Juli.) (Orig. jap. m. engl. Zfg.) Es wurde die Temperaturverteilung eines elektrisch beheizten Rohrofens untersucht. Um ein axiales Temperaturgefälle zu vermeiden, ist es nicht erforderlich, den Heizdraht unterschiedlich dicht zu wickeln; vielmehr vermag bei gleichmäßiger Bewicklung je eine Zusatzheizung an den Rohrenden den axialen Wärmefluß zu unterbinden.

8241 J. S. Cammerer. Meßtechnische Fortschritte im Kälteschutzwesen. Kältetechnik 8, 121—125, 1956, Nr. 4. (Apr.) (Tutzing.) Der Schmidtsche Wärmeflußmesser wurde durch Verwendung dünner Kunststoffolien verfeinert; durch Verwendung elektronischer Instrumente und durch die geringe Dicke der Meßschicht (bis 0,1 mm) konnten beachtlich kurze Einstellzeiten (Sekunden) erzielt werden. Verwendungsmöglichkeiten wurden angegeben. — Für die Messung und Überwachung von Temperaturen und Wärmeströmen werden Möglichkeiten und Vorteile des elektronischen Zählprinzips diskutiert.

8242 Rud. F. Staritz. Elektrisch-mechanische Kompensationsverstärker in der Meßtechnik. Elektronik, München 5, 65—70, 1956, Nr. 3. (März.) Der Aufsatz ist eine Zusammenstellung der nach verschiedenen Prinzipien arbeitenden elektrisch-mechanischen Kompensationsverstärker. Zuerst werden Geräte beschrieben, die nach dem Prinzip der Drehmomentkompensation arbeiten, daran anschließend Gleichstromkompensatoren mit selbsttätiger Abgleicheinstellung, deren grundsätzliche Schaltungen Poggendorf-Du Bois Reymond und Lindeck-Rothe angegeben haben.

8243 D. Gross. High-voltage paper electrophoresis of inorganic cations: Alkali, alkaline-earth and other metals. Nature, Lond. 180, 596—598, 1957, Nr. 4586. (21. Sept.) (Keston, Kent, Tate a. Lyle, Res. Lab.) Die Trennung anorganischer Kationen durch Papierelektrophorese wird wirksamer bei Verwendung höherer Spannungen als allgemein üblich. Auch Ionen mit nur um 1,2% verschiedenen Wanderungsgeschwindigkeiten wie Rb und Cs lassen sich mit Feldstärken von 100 V/cm trennen (sie durchlaufen dabei etwa in 37 min eine Strecke von rund 70 cm). Untersucht wurden ferner noch folgende Gruppierungen: Mg, Li, Na, K, Rb; Cu, Fe, Ni, Co, Pb, Mn, Hg; Ca, Mg, Sr, Ba; Al, Zn, Cd, Ca, Mg; Fe, Mo, U, Bi, Cu, Pb; Ni, As, Co, Cd, Tl. Die relativen Wanderungsgeschwindigkeiten sind z. T. durch Änderung des pH-Wertes der Trägerlösung gegeneinander verschiebber.

8244 E. Samal. Verbesserung der Regelgüte durch Störgrößenaufschaltung. Teil II. Regelungstechnik 5, 154—158, 1957, Nr. 5. (Heiligenhaus, Bez. Düsseldorf.) Nach der im I. Teil seiner Arbeit beschriebenen starren Aufschaltung von Störgrößen zeigt Vf. im II. Teil eine Reihe von Vorteilen bei nachgebender Aufschaltung und neue Möglichkeiten zur Verbesserung der Regelgüte. So werden bei Aufschaltung auf die Stellgröße dauernd falsche Steuerimpulse bei nichtlinearen Regelstrecken vermieden und die Regelgüte insbesondere bei Störungen nahe der Regelgröße verbessert. Eine nachgebend ausgeführte Störgrößenaufschaltung greift nur bei sprungweisen Störgrößenänderungen mit der maximalen Stärke ein, dagegen um so schwächer, je langsamer die Störgrößenänderung verläuft. Überflüssige Verstellungen des Stellgliedes werden somit vermieden. Nachteilig ist allerdings der erhöhte Aufwand für das nachgebende Glied. Bei einem P-Regler kann eine ausschließlich nachgebende Störgrößenaufschaltung auf den Reglereingang die störende, bleibende Regelabweichung nicht beseitigen und ist daher gegenüber der starren Aufschaltung im Nachteil. Bei einem Regler mit integralem Anteil kann dagegen eine nachgebende Störgrößenaufschaltung beträchtliche Vorteile bringen, indem sie nach Art eines Vorhaltimpulses wirkt. An Hand von Prinzipschaltbildern werden verschiedene Anwendungsbeispiele beschrieben und kritisch beurteilt.

8245 Mario Romano. La teoria ed il progetto dei sistemi asserviti. I. Sistemi lineari. Strumentaziono 5, 155—162, 1957, Nr. 4. (Apr.) Weidemann.

#### II. Mechanik

8246 Hanan Rubin and Peter Ungar. Motion under a strong constraining force. Commun. pure appl. Math. 10, 65—87, 1957, Nr. 1. (Febr.) Zur analytischen Darstellung einer erzwungenen Bewegung können Potentiale eingeführt werden, die stark anwachsen, wenn die erzwungene Bahn verlassen wird. Untersucht wird, wann mittels Folgen von Potentialen freie Bewegungen dargestellt werden können, die gegen eine gegebene erzwungene Bewegung konvergieren. Maßgebend ist, ob die Anfangsgeschwindigkeit der Folge von unbeschränkten Bewegungen

tangential zum Orte der Zwangskraft ist. Dann läßt sich für eine gegebene Zwangsbewegung eine die Lagrangeschen Gleichungen erster Art befriedigende Funktion darstellen als Grenzwert einer Funktionenfolge, die den Gleichungen für die freie Bewegung in Kraftfeldern genügt, welche durch Addition einer Folge von Potentialen erhalten werden. Es konvergieren die Ortsfunktionen und auch ihre zeitlichen Ableitungen und zwar die Normalkomponenten gleichmäßig gegen Null. Bei nicht tangentialer Anfangsgeschwindigkeit konvergieren zwar Ortsfunktionen und Ableitungen, die Normalbewegung behält aber einen endlichen Wert und zur Tangentialbewegung kommt ein Beitrag durch die Reaktionskräfte hinzu.

8247 D. E. Hull. Effect of temperature on the precision and performance of a microchemical balance. Analyt. Chem. 29, 1202—1204, 1957, Nr. 8. (Aug.) (Richmond, Calif., Res. Corp.) Bei Laboratoriumswägungen im üblichen Tempo (etwa 12 Wägungen/h) auf einer Ainsworth-Mikrowaage Type FDJ wurde eine Standardabweichung von  $\pm 10^{-3}$  mg erreicht, wenn die Raumtemperatur auf 30  $\pm 0.2^{\circ}$ C gehalten wurde. Wurde die Temperatur auf 25°C eingestellt, war die Wägegenauigkeit geringer, da durch die Körperwärme des Beobachters beim Bedienen der Waage thermische Störungen auftraten, die sich in einer Veränderlichkeit des Nullpunktes auswirkten. Bei normaler Raumtemperatur lassen sich die Temperatureinflüsse durch Einhalten eines gewissen Rhythmus beim Wägen verringern.

8248 A. W. Czanderna and J. M. Honig. Sensitive quartz beam microbalance. Analyt. Chem. 29, 1206—1210, 1957, Nr. 8. (Aug.) (Lafayette, Ind., Purdue Univ., Dep. Chem.) Es wird eine auf dem Prinzip der Gasdichtewaage beruhende Mikrobalkenwaage beschrieben. Der Waagebalken besteht aus Quarz. Er ruht mit zwei Wolframspitzen in Hohlkegeln aus Quarz. Die Nullage wird mittels eines Mikroskopes beobachtet. Der Lastausgleich erfolgt elektromagnetisch. Die Waage ist in ein evakuierbares Glasgehäuse eingebaut. Es können Masseänderungen bis zu 5·10-5 mg beobachtet werden, die Meßunsicherheit wird mit 10-4 mg angegeben; die Höchstlast wird nicht genannt. Im Verhältnis zu ihrer Empfindlichkeit verträgt die Waage rauhe Behandlung. Zum Bau und zur Bedienung ist besondere Handfertigkeit nicht nötig.

8249 M. Goldblatt and E. S. Robinson. Density of liquid deuterium bromide. J. phys. Chem. 60, 1588—1589, 1956, Nr. 11. (Nov.) (Los Alamos, N. M., Univ. Calif., Los Alam. Sci. Lab.) Pyknometrisch wurde bestimmt: d (in g/cm³) =  $1,961 - 5,981 \cdot 10^{-3} t + 3,503 \cdot 10^{-8} t^2$  im Bereich 0 bis  $25^{\circ}$ C. H. Ebert.

8250 R. I. Rush, D. C. Ames, R. W. Horst and J. R. MacKay. Some properties of the systems dioxane-butyl alcohols. J. phys. Chem. 60, 1591—1593, 1956, Nr. 11. (Nov.) (Danville, Ky., Centre Coll., Chem. Lab.) Gemessen wurden die Dichten pyknometrisch, die Brechungsindizes mittels Abbeschen Refraktometer und die Viskositäten mittels der Ostwald-Finsk-Pipette. Ergebnisse für Alkohol-Dioxan-Gemische in Tabellen und Diagramm bei 25°C. Hier ein Auszug:

	Molbruch		Dichte	Bruch-	Viskosität
	Butyl- Alkohol	Dioxan	g/ml	Index nD	mP
	0,0000	1,0000	1,0286	1,4200	11,65
n'	0,0528	0,9472	1,0148	1,4180	11,26
	0,5280	0,4720	0,9042	1,4060	11,69
	1,0000	0,0000	0,8060	1,3974	24,14
iso	0,0581	0,9419	1,0127	1,4180	11,65

	0.5261	0.4739	0.9003	1,4047	12,31
	1,0000	0,0000	0,7980	1,3940	32,95
sec-	: 0,0577	0,9423	1,0125	1,4271	11,19
	0,5825	0,4175	0,8881	1,4026	11,73
	1,0000	0,0000	0,8031	1,3950	29,34
t—:	0,1214	0,8786	0,9935	1,4142	11,18
	0,5305	0,4695	0,8854	1,4980	13,04
	1,0000	0,0000	0,7806	1,3849	49,99

H. Ebert.

- 8251 John S. Wollam and W. E. Wallace. A comparison of pycnometric and X-ray densities for the sodium chloride-sodium bromide and potassium chloridepotassium bromide systems. J. phys. Chem. 60, 1654-1656, 1956, Nr. 12. (Dez.) (Pittsburgh, Penn., Univ., Dep. Chem.) Die röntgenographisch gefundenen Dichten sind meist größer als die pyknometrisch gewonnenen. Die jetzt gefundenen Unterschiede sind kleiner als früher gemessene (bessere Vorbehandlung, Vermeidung okkludierter Luft), aber größer als bei den reinen Verbindungen. Die festen Lösungen haben eine größere Anzahl von Gitterdefekten. Die Dichtewerte H. Ebert. liegen allgemein höher.
- 8252 K. Klotter und E. Krevszig. Über eine besondere Klasse selbsterregter Schwingungen. Ingen.-Arch. 25, 389-403, 1957, Nr. 6. (26. Sept.) (Stanford, Calif., Univ. Div. Engng. Mech.; Columbus, Ohio, State Univ., Dep. Math.) Es wird die "modifizierte VAN DER Polsche Differentialgleichung" a — (sen a  $\beta/2$  (1—  $\alpha^2$  q²) q² +  $\kappa^2$  f (q) = 0, mit  $\beta > 0$  behandelt, die zu den allgemeineren Differentialgleichungen der Form  $\ddot{q} + \beta \dot{q} g$  (q,  $\dot{q}$ ) +  $\kappa^2$  f (q) = 0 gehört.
- 8253 H. Mintrop. Die experimentelle Ermittlung des Kraftverlaufs beim Stoß einer Kugel gegen eine ebene Platte. Z. angew. Phys. 9, 442-446, 1957, Nr. 9. (Sept.) (Braunschweig, Phys.-Techn. Bundesanst.) Untersuchungen über die HERTZsche Theorie des Stoßes führen zu Angaben über ihre praktische Anwendbarkeit und die Grenzen letzterer. Mintrop.
- 8254 Friedrich Jindra. Eindimensionale Probleme bei einem nichtlinearen Elastizitätsgesetz. Z. angew. Math. Phys. 6, 345-355, 1955, Nr. 5. (25. Sept.) (Stuttgart.) Vf. benutzt ein allgemeines nichtlineares Elastizitätsgesetz für kleine Verzerrungen, das die klassische Theorie als Grenzfall enthält. In kartesischen Koordinaten erhält er daraus sofort die Gleichungen des einfachen Zugversuches, durch den die zwei willkürlichen Funktionen des nichtlinearen Elastizitätsgesetzes experimentell bestimmt werden. Als Beispiele werden die Spannungsverteilungen in einem dickwandigen Rohr in Zylinderkoordinaten und in einer dickwandigen Hohlkugel in Kugelkoordinaten berechnet. Die numerische Auswertung demonstriert in beiden Fällen schon bei kleinen Abweichungen des Elastizitätsgesetzes von der Linearität eine beträchtliche Abnahme des Spannungsmaximums. Es ergibt sich, daß die Abnahme der Tangentialspannungen um so größer wird, je größer das Halbmesserverhältnis  $\varrho=r_{a}/r_{o}$  ist.

8255 R. Hill. On uniqueness and stability in the theory of finite elastic strain. J. Mech. Phys. Solids 5, 229-241, 1957, Nr. 4. (Nottingham, Univ., Dep. Math.) Vf. zeigt, daß zwischen dem Stabilitätskriterium für einen, endlichen Verzerrungen unterworfenen festen Körper und der Eindeutigkeitsbedingung für die Lösung des zugehörigen Randwertproblems (vorgegebene Geschwindigkeiten und Zugkräfte auf Teilen der Körperoberfläche, Ber. S. 406) ein direkter Zusammenhang besteht. Päsler.

- 8256 R. Hill. On the problem of uniqueness in the theory of a rigid-plastic solid. IV. J. Mech. Phys. Solids 5, 302—307, 1957, Nr. 4. (Nottingham, Univ., Dep. Math.) Die vom Vf. schon mehrfach durchgeführten Eindeutigkeitsuntersuchungen der Lösung der Plastizitätstheorie fester Körper (Ber. S. 406) werden fortgesetzt und es wird eine weitere (hinreichende) Bedingung für die Eindeutigkeit in Form einer Extremalaussage gemacht.
- 8257 H. Schwieger und G. Haberland. Die Anwendung der Äquidensitometrie in der Spannungsoptik. Wiss. Z. Martin-Luther-Univ. 4, 853—858, 1955, Nr. 4. (20. Juni.) (Halle, II. Phys. Inst.) Zur Anwendung der Äquidensiometrie in der Spannungsoptik werden die Isoklinen photographiert und mit Hilfe des Sabatier-Effekts auf photographischem Wege in zwei Linien aufgespalten. Diese Linien verbinden dann auf der photographischen Platte die Orte gleicher Schwärzung. Längs dieser Kurven der Äquidensiten können die optischen Gangunterschiede gewonnen werden, die zur Bestimmung der maximalen Schubspannungen notwendig sind. Das Verfahren ist bei den spannungsoptischen Modellversuchen von Bedeutung, bei denen keine Isochromaten auftreten. Es erübrigt sich eine punktweise Kompensation, und die Meßergebnisse können dokumentarisch festgehalten werden. Das Verfahren wird an einem einfachen Versuchsbeispiel demonstriert.
- 8258 G. Bradfield and F. A. Levi. Measurement of elasticity and anelasticity of small disks by an inductor method. Brit. J. appl. Phys. 9, 13—16, 1958, Nr. 1. (Jan.) (Teddington, Middlesex, Nat. Phys. Lab.; Peruggia, Italy, Univ.) Eine Apparatur wird beschrieben, die nach dem Induktionsverfahren eine Scheibe in radiale Schwingungen versetzt, so daß die elastischen Konstanten aus den Resonanzfrequenzen bestimmt werden können. Die Methode gestattet ebenfalls eine Messung der inneren Reibung. Die Resonanz wird mit einer relativen Genauigkeit von mindestens 2·10-5, die Reibung von mindestens 2·10-2 gemessen. Poltz.
- 8259 E. Wetterstrom. Alignment fixture for calibration of photoelastic fringe value by tension. Proc. Soc. exp. Stress Anal. 14, 53—54, 1956, Nr. 1. (East Lansing, Mich. State Univ.)

  V. Weidemann.
- 8260 H. Deresiewiez and R. D. Mindlin. Waves on the surface of a crystal. J. appl. Phys. 28, 669—671, 1957, Nr. 6. (Juni.) (New York, Columbia Univ.) Oberflächenwellen bilden sich auf elastischen Körpern dann aus, wenn diese hochfrequente Schwingungen ausführen. Die Untersuchung einiger Eigenschaften derartiger Wellen insbesondere auf der Oberfläche von Kristallen ist das Ziel der vorliegenden Arbeit. Es wird gefunden, daß sich beim AT-Schnitt eines Quarz-kristalls eine und nur eine Oberflächenwelle längs der Diagonalachse ausbreiten kann. Im Fall von orthorhombischer Symmetrie liegen die Verhältnisse etwas verwickelter und werden im einzelnen besprochen. Die Berechnung der Ausbreitungsgeschwindigkeit verlangt die simultane Lösung von algebraischen Gleichungen 3. und 5. Grades.
- 8261 P. Liénard. Les mesures d'amortissement dans les matériaux plastiques ou fibreux. Ann. Télécomm. 12, 359—366, 1957, Nr. 10. (Okt.) Nach kurzer Darstellung der Theorie der linearen gedämpften Schwingungen, wobei auf die verschiedenen Dämpfungsursachen eingegangen wird, behandelt Vf. die Formen der Biegeschwingungen eines homogenen Stabes mit rechteckigem Querschnitt. Die Wirkung von schwingungsdämpfenden Materialien läßt sich durch Aufbringen von Proben auf schwach gedämpfte metallische Stäbe ermitteln. Eine geeignete Meßapparatur mit elektromagnetischer Schwingungsanregung und photoelektrischer Amplitudenabtastung wird beschrieben. Messungen an schwach

gedämpften Stäben zeigten eine starke Diskrepanz (1:3) zwischen den Dämpfungswerten, die sich aus der Messung der Resonanzbreite ergaben gegenüber denen durch Beobachtung des Abklingens der freien Schwingung. Der Unterschied wird auf nichtlineare Effekte zurückgeführt. Meßergebnisse von verschiedenen Dämpfungsmaterialien (Vinylazetat, Vinylchlorid, Faserstoffe und bituminöse Produkte) werden mitgeteilt.

8262 R. N. Arnold, G. N. Byeroft and G. B. Warburton. Forced vibrations of a body on an infinite elastic solid. J. appl. Mech. 22, 391—400, 1955, Nr. 3. (Sept.) (Edinburgh, Univ.; Wellington, Dep. Sci. a. Industr. Res.)

8263 Jiri Vaněk. Theory of elastic waves produced by a spherical source for generalized boundary conditions. Czech. J. Phys. (tschech.) 6, 303—309, 1956, Nr. 4. (Aug.) (Orig. engl.) (Prag, Czechosl. Acad. Sci., Geophys. Inst.)

V. Weidemann.

8264 Hugh Ford and George Lianis. Plastic yielding of notched strips under conditions of plane stress. Z. angew. Math. Phys. 8, 360—382, 1957, Nr. 5. (25. Sept.) (London, Univ., Imperial Coll. Sci. Technol., Dep. Mech. Engng.) Von der Aufgabe, die Verformung dünner gekerbter, unter Zug stehender Flachstäbe zu bestimmen, sind bisher nur einige Teillösungen bekannt. Für die beiden Sonderfälle, daß es sich um eine an beiden Seiten des Stabes symmetrisch angebrachte V-förmige bzw. kreisförmige Kerbung handelt, konnten zunächst obere Grenzlösungen angegeben werden, von denen die eine als strenge Lösung für das Problem des V-förmig gekerbten Flachstabes später nachgewiesen wurde. Für den kreisförmig gekerbten Flachstab liegt ein entsprechender Beweis bisher noch nicht vor. Vf. greifen in vorliegender Arbeit diese beiden Probleme erneut auf und geben zunächst für sie ein statisch zulässiges mögliches Spannungsfeld an, das die untere Grenzlösung darstellt. Daraufhin wird (als Hauptzweck der Arbeit) die Bestimmung der Verformung einfach gekerbter Flachstäbe bei Beanspruchung auf Biegung in der Flachebene durchgeführt. Dafür werden wiederum für Vund kreisförmige Kerben sowohl obere wie auch untere Grenzlösungen hergeleitet und im einzelnen diskutiert. Päsler.

8265. Siegfried Kästner und Eckard Schlosser. Zur phänomenologischen Theorie der Visko-Elastizität. I. Die Grundbeziehungen der linearen skalaren Relaxationstheorie. Kolloidzschr. 152, 115—121, 1957, Nr. 2. (Juni.) (Berlin, Dtsch. Akad. Wiss., Lab. Kunstst.) Es werden die Grundbeziehungen der linearen skalaren Theorie des phänomenologischen Verhaltens visko-elastischer Stoffe zusammenfassend dargestellt, wobei keine einschränkenden Voraussetzungen über die zugrunde liegenden Stoffe gemacht werden. Bei der Formulierung der Theorie wird eine verallgemeinerte Spektraldarstellung angegeben, die im Gegensatz zu der bisher üblichen Schreibweise das gesamte visko-elastische Verhalten eines Stoffes umfaßt (Zfg.).

8266 Yoh-Han Pao. Hydrodynamic theory for the flow of a viscoelastic fluid. J. appl. Phys. 28, 591—598, 1957, Nr. 5. (Mai.) (Wilmington, Delaware, Du Pont Exper. Station, Polychem. Dep.) Die Strömung einer viskoelastischen Flüssigkeit, z. B. eines Hochpolymers, wird theoretisch untersucht. Wie üblich werden die viskoelastischen Eigenschaften der Flüssigkeit durch ein Relaxations- bzw. Retardationsspektrum festgelegt. Zeitabhängige elastische Dehnungen werden hinsichtlich eines mit dem Flüssigkeitsteilchen bewegten und rotierenden Koordinatensystem definiert. Die Theorie wird dadurch linearisiert, daß man diesen Dehnungsanteil als klein annimmt, obwohl die gesamten Verschiebungsgradienten der Flüssigkeit sehr groß sein können. Als Anwendungsbeispiel wird die zweidimensionale, stationäre Scherströmung gerechnet und ein Ausdruck für die Abhängigkeit der scheinbaren Zähigkeit und der elastischen Nachgiebigkeit von

der Scherstärke hergeleitet. Das Resultat stimmt mit Meßergebnissen einigermaßen überein. Falls die Flüssigkeit nur eine einzige Relaxationszeit hat, hängt die scheinbare Zähigkeit nicht mehr von der Scherstärke ab. Die Strömung durch ein Kreisrohr wird ebenfalls behandelt.

E. Becker.

8267 D. S. Berry. A note on stress pulses in viscoelastic rods. Phil. Mag. (8) 3, 100—102, 1958, Nr. 25. (Jan.) (Shawbury, Shrewsbury, Res. Assoc. Brit. Rubber Manufact.) Vf. gibt eine kurze mathematische Behandlung der Beziehung zwischen der Durchgangsspannung (transient stress) in einem halbunendlichen visko-elastischen Stab und dem Dämpfungskoeffizienten und der Phasengeschwindigkeit als Funktionen der festen Zustandsfrequenz. Die erhaltenen Ergebnisse stimmen nur in einem speziellen Fall mit denen von Kolsky (Ber. S. 286) überein, wobei zum Schluß die Ursachen für die Diskrepanzen diskutiert werden.

8268 P. G. Hodge ir. A general theory of piecewise linear plasticity based on maximum shear. J. Mech. Phys. Solids 5, 242—260, 1957, Nr. 4. (Brooklyn, Polytech. Inst.) Es wird, von der Annahme der Gültigkeit stückweiser Linearität ausgehend, eine Plastizitätstheorie für ein isotropes Material entwickelt, das die Bedingung anfänglicher maximaler Scherspannungen erfüllt. Es zeigt sich, daß die allgemeinste stückweise lineare Theorie von fünf elastischen Konstanten abhängt. Die Theorie wird dreidimensional entwickelt und ein Sonderfall behandelt, der die Integration der Grundgleichungen erlaubt. Päsler.

8269 Peter Haasen und Rolf Siems. Wachstum von Gleitlinien auf Einkristallen aus Aluminium und Zink. Z. Metallk. 48, 315-326, 1957, Nr. 6. (Juni.) (Göttingen, Univ. theor. Phys.) Vff. dehnten Einkristalle aus Al (99,99 %) und Zn (99,995 %) durch stufenweise Belastung direkt unter mikroskopischer Beobachtung. Das Tiefenwachstum der dabei entstehenden Gleitlinien wurde kinematographisch aufgenommen. Bei Al steigt mit wachsender Zusatzspannung die Tiefenwachstumsgeschwindigkeit der Gleitlinien merklich an und ist auf Grund der Reibung, die einen bedeutenden Einfluß auf die Versetzungsbewegung hat, etwa 10-4 mal kleiner als eine ohne Reibung berechnete. Bei Al treten im Mittel in einer Gleitlinie auf der Seitenfläche mehr Versetzungen durch die Oberfläche als auf der Scheitelfläche. Auch ist die Zeit, während der ein Gleitband wächst, auf der Scheitelfläche mit 0,4 s nur etwa halb so groß wie auf der Seitenfläche (0,9 s). Diese beobachteten Unterschiede des Gleitlinienwachstums auf dem Scheitel und auf der Seite werden auf die stärkere Behinderung von Schraubenversetzungen als von Stufenversetzungen zurückgeführt. Eine Abschätzung der auf eine Versetzung wirkenden Reibungsspannung im Modell der Versetzungsspirale ergab Werte von etwa 2500 kg/mm² für Al und 80 kg/mm² für Zn. Dabei ist eine der Geschwindigkeit proportionale Reibung angenommen. Die gesamten Meßergebnisse sind tabellarisch angegeben. Röhm.

8270 A. H. Nissan. The rheological behaviour of hydrogen-bonded solids. Part. I. Primary considerations. Trans. Faraday Soc. 53, 700—709, 1957, Nr. 5 (Nr. 413). (Mai.) (Leeds, Univ., Dep. Text. Ind.) Bei Papier, Pappe und ähnlichen Erzeugnissen aus Zellulose werden bei einer rheologischen Beanspruchung zuerst die Wasserstoffbrücken gedehnt. Es wird eine Gleichung abgeleitet, aus der sich die Spannung f ermitteln läßt, wenn ein Stoff mit Wasserstoffbrücken eine Dehnung  $\sigma$  erfährt. Für kleine Dehnungen ergibt sich  $f = E\sigma - K\sigma^2$ . E ist der Young-Modul und K wird zweiter Koeffizient der Elastizität genannt. Sowohl E als auch K lassen sich aus Parametern der Wasserstoffbindungen berechnen. Durch Einsetzen von Zahlenwerten wurde gefunden, daß K anscheinend eine universelle Konstante mit dem Zahlenwert  $(1,1\pm0,3)\cdot 10^{12}$  dyn/cm² ist. Experimentelle Werte an Papier, plastizierter Zellulose, Viskose und Nylon führen

innerhalb der Meßgenauigkeit auf die gleichen Werte von K. E hängt. neben von anderen Parametern auch von dem im allgemeinen nicht bekannten mittleren Volumen 1³ einer Wasserstoffbindung ab. Bei Eis, wo diese Zahlenwerte und 1³ bekannt sind, ergibt sich eine gute Übereinstimmung zwischen Theorie und Experiment. Wird 1³ aus den gemessenen Werten von E berechnet, so ergeben sich Werte von 1, die nicht in Widerspruch mit Ergebnissen anderer Abschätzungen sind.

W. Weber.

8271 A. H. Nissan. The rheological behaviour of hydrogen-bonded solids. Trans. Faraday Soc. 53, 710—721, 1957, Nr. 5 (Nr. 413). (Mai.) (Leeds, Univ. Dep. Text. Ind.) In Fortsetzung der Untersuchung über das rheologische Verhalten von Stoffen mit Wasserstoffbrücken (vorst. Ref.) wurde theoretisch der Einfluß der Temperatur auf den Modul E untersucht. Die theoretischen Zahlenwerte für d InE/dt von 2·10-3 bis 6·10-3 stimmen mit Messungen an Papier und Kunstseide überein. Der Einfluß des Wassergehaltes auf den E-Wert von Zellulose im amorphen Bereich läßt sich durch verhältnismäßig einfache Beziehungen wiedergeben. Die Spannungsrelaxation bei Zellulose wird als rheologischer Zeiteffekt untersucht. Die Theorie ergibt einen Zahlenwert für die Anzahl n der Wasserstoffbindungen je cm³ des gedehnten Materials. Es wird gefunden, daß die Relaxationserscheinung durch zwei Reaktionen erklärt werden kann, bei denen n abnimmt. Da n ~ E³, widersprechen die Ergebnisse der Theorie früheren Vorstellungen mit mechanischen Modellen mit konstantem E und variabler oder konstanter Viskosität. E selbst wird hier variabel gefunden. W. Weber.

8272 Manfred Kaminsky. Experimentelle Untersuchungen über die Konzentrations- und Temperaturabhängigkeit der Zähigkeit wäßriger Lösungen starker Elektrolyte. III. KCl-, K<sub>2</sub>SO<sub>4</sub>-, MgCl<sub>2</sub>-, BeSO<sub>4</sub>- und MgSO<sub>4</sub>-Lösungen. Z. phys. Chem. (NF) 12, 206-231, 1957, Nr. 3/4. (Aug.) (Marburg, Univ., Phys. Inst.) Mit der gleichen Meßanordnung wie in Teil I und II der Arbeit (Ber. 36, 787, 1956) wurden genaue Messungen der relativen Viskosität wäßriger Lösungen starker Elektrolyte in Abhängigkeit von der Konzentration und Temperatur ausgeführt. Die bereits beim Li<sub>2</sub>SO<sub>4</sub> gefundene Erscheinung, daß der Temperaturkoeffizient der B-Werte der JONES-DOLE-Gleichung negative Werte annimmt, wurde auch bei BeSO4 und MgSO4 beobachtet. Die von anderen Autoren für MgCl<sub>2</sub> mitgeteilten Abweichungen von der Jones-Dole-Geraden konnten nicht bestätigt werden. Die experimentell ermittelten A-Werte der JONES-DOLE-Gleichung werden mit solchen verglichen, die theoretisch nach FALKENHAGEN berechnet wurden; die Übereinstimmung ist sehr gut. Für einige Salzlösungen ist es zweckmäßig, die Jones-Dole-Gleichung mit einem Glied Dy2 zu erweitern. Die D-Werte werden mit wachsender Temperatur kleiner. Die Größe der Koeffizienten D nimmt mit festgehaltenem Anion für die Kationen der Alkaligruppe in der Reihenfolge Li, Na, K ab. Für BeSO4 und MgCl2 wurde die Konzentrationsabhängigkeit der relativen Dichte pyknometrisch bestimmt. Die eigenen B-Werte werden denen anderer Autoren gegenübergestellt und eine Reihe von Unstimmigkeiten aufgezeigt.

8273 Robert Euler und Helmut G. F. Winkler. Über die Viskositäten von Gesteins- und Silikatschmelzen. Glastech. Ber. 30, 325—332, 1957, Nr. 8. (Aug.) (Marburg, Univ., Mineralog. Inst.) Mit einem Drage-Viskosimeter, bei dem ein zylindrischer Drehkörper aus Platinrhodium über einen Keramikstab mit dem Meßwerk verbunden ist, wurden Viskositätsmessungen an Schmelzen im Temperaturbereich zwischen 1000 und 1500°C und Viskositäten von 10 bis 4000 P vorgenommen. Neben zehn magmatischen Natursteinen wurden eine technische Steinwolle, zwei Glasfasernprodukte, zwei Fenstergläser, sowie zehn künstliche Silikatschmelzen untersucht. Im Bereich höherer Viskositäten zeigen die Gesteine und die Silikatschmelzen untersucht. Im Bereich höherer Viskositäten zeigen die Gesteine und die Silikatschmelzen untersucht.

schmelzen eine starke zeitliche Abhängigkeit der Viskosität infolge Kristallbildung. Die Viskosität-Temperaturkurven lassen sich durch die Andrade-Gleichung darstellen. Aus den Meßergebnissen wurden die Aktivierungsenergien ermittelt, da diese einen Einblick in die Struktur der Schmelzen erlauben. Es wird gezeigt, daß bei Gehalten von  $\mathrm{SiO}_2 + \mathrm{Al}_2\mathrm{O}_3 > 60$  Mol-% das Verhältnis (Si + Al):O in Atomprozent maßgebend für die Aktivierungsenergie und damit auch für die Struktur einer Silikatschmelze ist. Bei  $\mathrm{SiO}_2 + \mathrm{Al}_2\mathrm{O}_3$ -Gehalten unter 60 Mol-Prozent streuen die Aktivierungsenergien in Abhängigkeit von (Si + Al):O sehr stark. Hier dürfte sich eine spezifische Wirkung der anderen Kationen bemerkbar machen.

8274 Kurt Kirsehke und Hans Umstätter. Versuche über den Temperaturausgleich bei viscosimetrischen Messungen. Erdöl u. Kohle 10, 375—377, 1957, Nr. 6. (Juni.) (Berlin-Dahlem, Bundesanst. f. Materialprüf.) Es werden experimentelle Werte für den Temperaturausgleich zwischen der Flüssigkeit in einem Viskosimeter und einem umgebenden Thermostatenbad mitgeteilt. Die logarithmische Auftragung der Differenzen zwischen Badtemperatur und Flüssigkeitstemperatur gegen die Zeit ergibt Geraden, d. h. der Ausgleich erfolgt nach dem Newtonschen Abkühlungsgesetz. Für Ubbelohde-, Vogel-Ossag- und Freifluß-Viskosimeter ergeben sich Temperierzeiten von 20 bis 30 Minuten, wenn der Angleich mindestens auf 0,01°C erfolgen soll.

8275 Herbert Stolte. Der Differentialquotient der Viscosität nach der Temperatur als Maß für das Viscosität-Temperatur-Gefälle. Erdöl u. Kohle 10, 451, 1957, Nr. 7. (Juli.) (Hamburg-Wilhelmsb., Ölwerke Julius Schindler GmbH, Werk Neuhof.) Es wird gezeigt, daß es praktischer ist, die Steigung der Viskosität-Temperatur-Kurve aus dem Differentialquotienten der Gleichungen von Walther und Umstätter zu berechnen, als sie aus dem Differenzenquotienten von Viskositäten bei dicht beieinanderliegenden Temperaturen zu ermitteln.

W. Weber.

8276 J. Schenk. Some properties of liquid sulfur and the occurrence of long chain molecules. Physica 's Grav. 23, 325—337, 1957, Nr. 4. (Apr.) (Delft, T. H., Lab. Tech. Phys.) Die Viskosität von reinem Schwefel steigt von 0,07 P bei 157°C auf 930 P bei 188°C an. Der unterhalb 160°C bestehende ringförmige Schwefel  $S_8$  wandelt sich in diesem Temperaturbereich in Schwefel mit langen Kettenmolekülen um. Ein Zusatz von nur 4 % Jod genügt, um die Viskosität des Maximums um den Faktor 100 zu verkleinern, da das Jod die Kettenbildung behindert. Wird dagegen Selen zugesetzt, so ist sein Einfluß auf die Viskositätserhöhung nur gering, da die Selenatome in die Ketten eingebaut werden können. Arsen hat in einer Beimengung von 3/4 % den stärksten Einfluß auf das Viskositätsmaximum des Schwefels. Das Verhalten von Wärmeleitung, Brechungsindex, Leitfähigkeit und spezifischer Wärme im Umwandlungsbereich wird gezeigt, alle Eigenschaften sind in diesem Gebiet unstetig. Das Verhalten bestätigt die Annahme der Bildung von Kettenmolekülen. Die Bildung von kettenförmigem Schwefel aus der Dampfphase deutet auf das Vorhandensein anderer Arten instabiler kleinerer Molekeln hin, die sich leicht in kettenförmigen Schwefel umwandeln. Der kettenförmige Schwefel ist ziemlich stabil und wandelt sich bei Zimmertemperatur erst nach vielen Tagen in rhombischen Schwefel zurück.

8277 E. McLaughlin and A. R. Ubbelohde. Structure and viscosity of melts of aromatic hydrocarbons. Trans. Faraday Soc. 53, 628—634, 1957, Nr. 5 (Nr. 413). (Mai.) (London, Imp. Coll., Dep. Chem. Engng. Appl. Phys. Chem.) Von Triphenylen, Pyren, Fluoranthen, 1:2 Benzanthracen und Fluoren wurden die Schmelzparameter und die Viskosität vom Schmelzpunkt (zwischen 110 und 198°C)

bis etwa 280°C gemessen. Aus den Molarvolumen der Schmelzen läßt sich folgern, daß die mehr symmetrischen Moleküle Pyren, Fluoranthen und Triphenylen um ihre z-Achse rotieren, nicht aber um die beiden anderen Hauptachsen. Bei den beiden anderen Stoffen ist die Rotation in der Schmelze behindert. Für Aktivierungsenergie und Entropie des viskosen Fließens werden die höchsten Werte bei 1:2 Benzanthracen gefunden (E $_{\rm visc}=8.8~{\rm kcal/Mol})$ . Etwa 30°C oberhalb des Schmelzpunktes werden die Entropien und Aktivierungsenergien aller untersuchten Verbindungen nahezu gleich (E $_{\rm visc}\approx4.5~{\rm kcal/Mol})$ .

W. Weber.

8278 Joseph Simkin and Roger L. Jarry. The viscosity and surface tension of perchloryl fluoride. J. phys. Chem. 61, 503—504, 1957, Nr. 4. (Apr.) (Wyndmoor, Penn., Penn. Salt Manufact. Co., Res. a. Develop. Dep., Whitemarsh Res. Labs.) Im Temperaturbereich von —70 bis  $+54\,^{\circ}\mathrm{C}$  wurde die Viskosität von Perchlorylfluorid gemessen. Unter 0° wurde mit einem Kapillar-Pipetten-Viskosimeter vom Scarpa-Typ gearbeitet, im Bereich darüber längs der Sättigungslinie mit einem Viskosimeter nach Koenen und Visser, das bis 20 at verwendet werden konnte. Die Meßwerte lassen sich durch die Gleichung log  $\eta = (299/\mathrm{T} - 1,755)$  darstellen ( $\eta$ incP). Die Oberflächenspannung wurde bei —75° zu 24,1dyn/cm gefunden. W. Weber.

8279 Robert L. Merker and Mary Jane Scott. Viscometric properties of salicyloxymethyldimethyl end-blocked dimethylpolysiloxanes. J. Polym. Sci. 24, 1—9, 1957, Nr. 105. (März.) (Pittsburgh, Penn., Mellon Inst., Corning Glass Works; Dow Corning Corp. Multiple Fellowship.) Es wurde eine Reihe von Dimethylpolysiloxanen untersucht, bei denen je eine Methylendgruppe durch eine Salicyloxymethylgruppe ersetzt war. Die Molekulargewichte der Proben lagen zwischen 430 und 1250. Es sollte der Übergang zwischen einem Stoff mit polarem organischem Charakter und den Dimethylpolysiloxanen gezeigt werden. Viskositätsmessungen wurden im Bereich 0 bis 150 °C mit Ostwald-Fenske-Viskosimetern ausgeführt. Die logarithmische Auftragung der Viskosität über dem Logarithmus des Molekulargewichtes ergibt Kurven, die durch ein Minimum gehen. Das Minimum wandert mit sinkender Temperatur zu höheren Molekulargewichten. Mit wachsendem Molekulargewicht, d. h. mit zunehmendem Siloxancharakter nimmt die Aktivierungsenergie des viskosen Fließens E visc ab und wird weniger ahhängig von der Temperatur. Es gilt die empirische Beziehung E visc = 2500 + (1,97 · 105)/(T —  $T_{\rm E}_{\infty}$ ). Bei Auftragung von T —  $T_{\rm E}_{\infty}$  gegen E visc fallen alle Meßwerte auf eine Kurve.

8280 Frank Kreith and Raymond Eisenstadt. Pressure drop and flow characteristics of short capillary tubes at low Reynolds numbers. Trans. Amer. Soc. mech. Engrs. 79, 1070—1078, 1957, Nr. 5. (Juli.) (Bethlehem, Pa., Lehigh Univ.; Schenectady, N. Y., Union Coll., Dep. Mech. Engng.) Der Druckabfall in kurzen Kapillaren und ihre Fließcharakteristik wurde experimentell für Verhältnisse von Kapillarlänge zum Kapillardurchmesser (L/D) zwischen 0,45 und 18 untersucht. Die Messungen gingen über den Bereich der Reynolds-Zahlen Re = 8 his 1500. Experimentell wurden die Kapillaren durch eine Reihe von Löchern (bis zu 50) dargestellt, die in Platten entsprechender Dicke gebohrt waren. Die Bohrungen waren scharfkantig abgeschnitten. Durch die Kapillaren wurde mit konstantem Überdruck ein Luftstrom geschickt und der Druckabfall längs der Kapillaren gemessen. Im Bereich der Kennzahl L/D Re > 0,3 ergibt sich reine Poiseuille-Strömung, darunter bis L/D Re = 4·10-3 gilt eine von Langhaar angegebene Theorie. Für sehr kurze Kapillaren L/D < 0,5 weichen die experimentellen Ergebnisse von Langhaars Theorie ab und bei L/D Re = 5·10-4 ist der Druckabfall doppelt so groß wie er nach der Theorie sein sollte. Die Durch-

flußgeschwindigkeit Q ist proportional  $\Delta p^N$  ( $\Delta p$  Druckabfall in der Kapillare). Der Exponent N ist eine Funktion von L/D und geht von N = 0,5 bei L/D = 0,45 auf N = 0,91 b i L/D = 18 und nähert sich asymptotisch dem Wert N = 1 für die Poiseuille-Strömung. In einer Diskussion wird darauf hingewiesen, daß N nicht allein eine Funktion von L/D ist, sondern allgemeiner von L/D Re. Außerdem wird der Einfluß der Strahlkontraktion bei sehr kleinen L/D-Werten behandelt.

W. We ber.

8281 N. F. Zhdanova. Temperature dependence of the viscosity of liquid nitrogen at constant density. Soviet Phys. JETP 4, 19—22, 1957, Nr. 1. (Febr.) (Engl. Übers. aus: J. exp. theor. Phys., Moskau 31, 14—17, 1956, Juli.) (Khar'kov State Univ.) Mit einem Fallkörperviskosimeter wurde die Temperaturabhängigkeit der Viskosität von flüssigem Stickstoff bei konstanter Dichte gemessen. Die Versuche umfassen den Dichtebereich  $\varrho=0,38$  bis 0,86 g/cm³, die Temperaturen reichen jeweils von der Verflüssigungstemperatur bis  $300^{\circ}$  K. Wird die Fluidität über der Temperatur mit der Dichte als Parameter aufgetragen, so ergibt sich, daß die Viskosität mit steigender Temperatur abnimmt, wenn  $\varrho>2\varrho_{\rm c}$  ( $\varrho_{\rm c}$  Dichte beim kritischen Punkt), für  $\varrho\approx2\varrho_{\rm c}$  konstant bleibt und für Dichten  $\varrho<2\varrho_{\rm c}$  mit steigender Temperatur ansteigt. Die Viskositätsisothermen über der Dichte aufgetragen schneiden sich bei  $\varrho\approx2\varrho_{\rm c}$ . Für Dichten  $\varrho>2\varrho_{\rm c}$  ist die Beziehung zwischen  $\ln\eta$  und  $1/{\rm T}$  linear, die Temperaturabhängigkeit der Viskosität kann durch die Andrade-Gleichung dargestellt werden. Die Aktivierungsenergie des Fließens nimmt mit wachsendem Molvolumen zu. W. Weber.

8282 Syoten Oka. An exact solution of the problem of the end-effect in the cylindrical rotational viscometer. Bull. Kobayasi Inst. phys. Res. (jap.) 6, 108—114, 1956, Nr. 2/3. (Apr./Sept.) (Orig. jap. m. engl. Zfg.) Der Einfluß der Randeffekte wurde für das Couette-Viskosimeter streng berechnet. Die sich ergebende Korrektur läßt sich als additives Glied  $\Delta h$  zur Eintauchtiefe h des inneren Zylinders (Radius a) in der Margules-Gleichung  $M = 4\pi (h + \Delta h) \cdot \eta \Omega/(1/a^2 - L^2)$ 

1/b²) schreiben. Es gilt  $\Delta h = a(H_1 + H_2)$ , wobei  $H_1 = (1 - \sigma^2)/2\sigma \cdot \sum_{\infty}^{n=1} A_n$ 

 $\cosh \lambda_n \text{ s } J_2 (\sigma \lambda_n) \text{ und } H_2 = (1 - \sigma^2)/\pi \sigma^2 \cdot \sum_{n=1}^{\infty} B_n \sinh \mu_n \tau/\mu_n \cosh \mu_n (s + \tau). H_1$ 

rührt von der Bodenwirkung des inneren mit konstanter Winkelgeschwindigkeit bewegten Zylinders her,  $H_2$  kommt durch den Widerstand seitlich des inneren Zylinders zustande. Die dimensionslosen Parameter bedeuten s=1/b (l Bodenabstand),  $\sigma=a/b$  (Radienverhältnis der Zylinder) und  $\tau=h/b$ . Die  $\lambda_n$  sind die n-ten positiven Wurzeln der Bessel-Funktion 1. Ordnung  $J_1(x)$ , die  $\mu_u$  sind die positiven Wurzeln der Gleichung  $J_1(x)$   $Y_1$   $(\sigma x)$   $\cdots$   $J_1(\sigma x)$   $Y_1(x)$  = 0, wobei  $Y_1(x)$  die Bessel-Funktion 2. Art 1. Ordnung ist. Das Verhältnis Torsion zu Winkelgeschwindigkeit ist keine lineare Funktion von h, da  $\Delta h$  auch von  $\sigma$ ,  $\tau$  und  $\sigma$ 0,  $\sigma$ 1 where  $\sigma$ 2 and  $\sigma$ 3 abhängig ist.

8283 Michio Kawata, Kimio Kurase and Yasutoshi Yamatogi. Continuous capillary visco meter. Rep. cent. Insp. Inst. Wghts Meas. Tokyo (jap.) 5, 306—317 (22—33), 1956, Nr. 3. (Nr. 8.) (Orig. jap. m. engl. Zfg.) Es wird ein Viskosimeter für die kontinuierliche Messung der Viskosität einer durch eine Rohrleitung strömenden Flüssigkeit beschrieben. Ein Teilstrom wird einmal durch ein Bündel paralleler Kapillaren und dann durch einen Strömungsmesser geleitet, ein anderer Teil wird direkt durch einen Strömungsmesser geschickt. Die Anzeige der Strömungsmesser, die abhängig von der Viskosität ist, wird elektromagnetisch abgetastet und registriert.

W. Weber.

8284 Michio Kawata and Yoshiyuki Ito. Suspended level master viscometer. A study of the precise measurement with suspended level master viscometer (3 rd report.) Rep. cent. Insp. Inst. Wghts Meas. Tokyo (jap.) 5, 338—344 (54—60), 1956, Nr. 3. (Nr. 8.) (Orig. jap. m. engl. Zfg.) Langkapillar-Ubbelohde-Viskosimeter (master viscometer) wurden mit Zuckerlösung und Spindelöl kalibriert und der Einfluß der Oberflächenspannung wurde abgeschätzt (Teil II Ber. S. 204). Es wird gezeigt, daß der Einfluß der Oberflächenspannung verbunden ist mit der wirksamen Druckhöhe. Der Einfluß der Oberflächenspannung betrug bei zwei Geräten mit 46 und 26 cm wirksamer Druckhöhe etwa 0,05 % für das Spindelöl gegenüber der Zuckerlösung.

8285 Michio Kawata and Kiyoshi Isozaki. Suspended level master viscometer. A study of the precise measurement with suspended level master viscometer (4 th report). Rep. cent. Insp. Inst. Wghts Meas. Tokyo (jap.) 5, 345—354, (61—70), 1956, Nr. 3. (Nr. 8.) (Orig. jap. m. engl. Zfg.) Der Zusammenhang zwischen dem Einfluß der Oberflächenspannung und der mittleren wirksamen Druckhöhe wurde beim Ubbelohde-Viskosimeter untersucht (vgl. vorst. Ref.). Zu diesem Zweck wurde die Viskosität von n-Heptan und Äthylalkohol mit Viskosimetern gemessen, die mit Wasser kalibriert waren. Die Geräte mit Kapillaren von 40; 20; 10 und 5 cm Länge waren gleich gebaut, d. h. die Kugeln zwischen den Meßmarken waren gleich, ebenfalls die Übergänge von den Kapillarenden zum hängenden Niveau. Trotzdem ließ sich kein eindeutiger Zusammenhang zwischen dem Oberflächenspannungseinfluß und der Druckhöhe finden. Für das Viskosimeter mit der längsten Kapillare beträgt die Wirkung der Oberflächenspannung beim Übergang Wasser-Kohlenwasserstoff etwa 0,1%. W. Weber.

8286 Michio Kawata. A study of the precise measurement with suspended level master viscometer (5th report). Rep. cent. Insp. Inst. Wghts Meas. Tokyo (jap.) 5, 370—376 (16—22), 1956, Nr. 4. (Nr. 9.) (Orig. jap. m. engl. Zfg.) Die in den vorangegangenen Teilen der Arbeit behandelten Einflüsse, die bei genauen Messungen mit "master"-Viskosimetern zu beachten sind (HAGENBACH-Korrektur, Nachlaufkorrektur, Oberflächenspannung) werden zusammenfassend gebracht. Die nach den Erkenntnissen der Arbeit günstigsten Formen für Kapillaren und Meßvolumen werden angegeben. W. Weber.

8287 P. Mariens and O. van Paemel. Theory and experimental verification of the oscillating disk method for viscosity measurements in fluids. Appl. sci. Res., Hague (A) 5, 411—424, 1956, Nr. 6. (Leuven, Belg., Lab. lage temper. tech. phys.)

W. Weber.

8288 Klaus Oswatitsch. Was ist Gasdynamik? Phys. Bl. 14, 108—116, 1958, Nr. 3. (März.) (Aachen.) Beggerow.

8289 K. Meetz. Das zeitliche Abklingen der Energiespektren in der homogenen isotropen. Turbulenz als Anfangswertproblem. Z. Naturf. 11a, 832—848, 1956, Nr. 10. (Okt.) (Göttingen, Max-Planck-Inst. Strömungsforschg.) Nach einer Einführung in die Heisenbergsche Turbulenz-Theorie und einer Diskussion ihrer "ähnlichen" Lösungen wendet sich Vf. den allgemeineren Lösungen zu. Die Gleichung für die mittlere spektrale Energiedichte F(k, t) wurde als parabolisches Problem numerisch integriert, nachdem die Anfangsverteilung  $F(k, t_0)$  aus den Beobachtungen von Stewart und Townsend (Phil. Trans. (A) 243, 359, 1953) erschlossen wurde. Dem unbestimmten Parameter in der Heisenbergschen Gleichung wurden dabei vier Werte erteilt (100  $\varkappa=0$ , 47, 75, 140); von diesen zeigt  $\varkappa=0.75$  die beste Übereinstimmung des Abklingens der Turbulenz-Energie mit den Beobachtungen von Batchelor und Townsend (Procroy. Soc. (A) 193, 539, 1948).

8290 K. Meetz. Das zeitliche Abklingen der Geschwindigkeits- und Druckkorrelationen in der homogenen isotropen Turbulenz als Anfangswertproblem. Z. Naturf. 11a, 849—858, 1956, Nr. 10. (Okt.) (Göttingen, Max-Planck-Inst. Strömungsforschg.) Beim Vergleich seiner numerischen Lösungen der HEISENBERG schen Turbulenz-Theorie mit den Beobachtungen der abklingenden Energie hatte Vf. die beste Übereinstimmung für den Parameter  $\varkappa=0,75$  erzielt (vorst. Ref.). Hier vergleicht er die abklingenden Geschwindigkeits- und Druck-Korrelationen mit den Beobachtungen von STEWART und TOWNSEND (Phil. Trans. (A) 243, 359, 1951), wobei er die beste Übereinstimmung für  $\varkappa=0.47$  findet. Just.

8291 A. G. Mackie. The calculation of the drag in problems solved by the hodograph method. Phil. Mag. (8) 3, 140—142, 1958, Nr. 26. (Febr.) (St. Andrews, St. Salvator's Coll.) Das Problem der inkompressiblen oder kompressiblen, reibungsfreien, ebenen Umströmung einer bestimmten Klasse von Körpern, auf deren Oberfläche stückweise entweder Betrag oder Richtung der Geschwindigkeit konstant ist, sei durch die Hodographenmethode gelöst. Die Stromfunktion liegt dann in Abhängigkeit von den Geschwindigkeitskoordinaten vor. Vf. leitet hieraus geschlossene Ausdrücke für den Strömungswiderstand der betreffenden Körper her.

W. B. Kunkel and F. C. Hurlbut. Luminescent gas flow visualization for 8292 low density wind tunnels. J. appl. Phys. 28, 827—835, 1957, Nr. 8. (Aug.) (Berkeley, Calif., Univ.) Zur Sichtbarmachung von Strömungen stark verdünnter Gase in einem Windkanal versagen die üblichen Methoden, z. B. Schlieren- oder Interferenzverfahren, weil die optische Dicke des Windkanalstromes zu klein wird. Für derartige Strömungen, bei denen der statische Druck unter ca. 1 mm Hg liegt, schlagen die Vff. ein neues Verfahren zur Sichtbarmachung vor, das die Luminiszenzerscheinungen in verschiedenen Gasen ausnutzt. Vor Eintritt in die Windkanaldüse wird das strömende Gas durch eine elektrische Entladung angeregt. Es sendet dann unter geeigneten Bedingungen über eine längere Strecke des Windkanals eine Luminiszenzstrahlung aus, deren Intensität hauptsächlich von der Zahl der Stöße der an der Luminiszenz beteiligten Teilchen abhängt und damit auch von Dichte und Temperatur des Gases. Örtliche Dichteund Temperaturänderungen im Strömungsfeld werden daher als Intensitätsunterschiede sichtbar. Dies wird an Hand verschiedener Abbildungen der Strömung von Ar und He bzw. von mit NO angereicherter Luft um Kugel, Kegel und Zylinder mit MACH-Zahlen zwischen 2 und 4 gezeigt.

E. Becker.

8293 J. A. Shereliff. Electromagnetic flowmeter without external magnet. J. appl. Phys. 23, 140, 1957, Nr. 1. (Jan.) (Cambridge Univ., Dep. Engng.) Die Vorteile und Nachteile eines elektromagnetischen Strömungsmessers für Flüssigkeiten mit elektrischer Leitfähigkeit auf der Basis des Vorschlags von Kolin werden diskutiert. Eine kurze mathematische Beweisführung zeigt, daß bei solchen Strömungsmessern mit longitudinaler Flußrichtung die axiale Symmetrie der Strömungsgeschwindigkeit der Flüssigkeit nur wenig Ungenauigkeit mit sich bringt.

8294 William F. Hughes and J. Fletcher Osterle. On the adiabatic Couette flow of a compressible fluid. Z. angew. Math. Phys. 8, 89—96, 1957, Nr. 2. (25. März.) (Pittsburgh, Penn., Carnegie Inst. Technol., Dep. Mech. Engng.) Die laminare, adiabatische Luftströmung zwischen einer ruhenden, ebenen Wand und einem an dieser vorbeigleitenden, wandparallelen, ebenen Gleitschuh wird unter vereinfachenden Annahmen berechnet. Infolge der Kompressibilität tritt bei adiabatischer Strömung der sogenannte "thermische Keileffekt" auf und es entsteht eine nicht konstante Druckverteilung unter dem Gleitschuh, obwohl dieser wandparallel ist. Für ein numerisches Beispiel sind Temperatur und Druck-

verteilung zwischen Anfang und Ende des Gleitschuhs in einem Diagramm aufgetragen.

E. Becker.

8295 E. J. Gabbay. Graphical estimation of flow through orifices. Aircr. Engng 29, 175—177, 1957. Graphisches Verfahren zur Bestimmung des Luftstromes durch scharfkantige Öffnungen bei unterkritischem Druckverhältnis; Formel von SAINT-VENANT und WANZEL.

H. Ebert.

8296 W. H. Reid. On the stability of viscous flow in a curved channel. Proc. roy. Soc. (A) 244, 186-198, 1958, Nr. 1237. (11. März.) (Chicago, Univ., Yerkes Obs.) Eine zähe Flüssigkeit ströme laminar in einem Kanal, der durch zwei koaxiale, kreiszylindrische Wände gebildet wird. Die Flüssigkeit soll in Umfangsrichtung strömen; die Strömung wird durch ein Druckgefälle in Umfangsrichtung aufrecht erhalten. Vf. untersucht theoretisch die Stabilität dieser laminaren Strömung gegenüber Störungen vom zellularen Typ. Für die Lösung des entsprechenden Eigenwertproblems werden zwei Ansätze gemacht: Einmal wird die Stromfunktion der Störströmung nach einem System von Eigenfunktionen entwickelt, die erst vor kurzem von Chandrasekhar und Reid für solche Zwecke eingeführt wurden (Ber. S. 940), das andere Mal wird eine FOURIER-Entwicklung benutzt. In beiden Fällen ergibt sich in Übereinstimmung mit einem früheren Resultat von Dean (Ber. 11, 2681, 1930) die Stabilitätsgrenze für R·√d/R₁ ≈ 36, wobei R die mit der mittleren Durchflußgeschwindigkeit und der Kanalbreite d gebildete REYNOLDS-Zahl ist, R1 der Radius der inneren, zylindrischen Wand. Das Stromlinienbild für die neutrale, zellulare Störströmung ist in einem Bild E. Becker. dargestellt.

8297 Francis R. Hama, James D. Long and John C. Hegarty. On transition from laminar to turbulent flow. J. appl. Phys. 28, 388—394, 1957, Nr. 4. (Apr.) (Univ. Maryland, Inst. Fluid Dynamics Appl. Math.) Versuche im Wassertank. Es wurden Platten mit Geschwindigkeiten bis zu 33 cm/s durch den Tank geschleppt. Mit einem quer zur Strömung auf die Platte gespannten Draht oder mit einer Stufe der Platte wurde die laminare Grenzschicht gestört. Die resultierenden Strömungsvorgänge in der Grenzschicht wurden mit Farbe sichtbar gemacht, die durch Schlitze der Platte kontinuierlich in die Grenzschicht eingeführt wurde. War die Strömung hinreichend intensiv, so bildeten sich zweidimensionale Wirbel, die im Geschwindigkeitsgefälle der Grenzschicht verstärkt wurden, zu dreidimensionalen Wirbeln mit charakteristischer Periodizität quer zur Hauptströmungsrichtung ausgezogen wurden, und die sich schließlich ausgehend von zufällig verteilten Punkten am Rande der Grenzschicht in Turbulenz auflösten. Qualitative Diskussion im Hinblick auf die bekannten Stabilitätstheorien der laminaren Grenzschicht und die bisher veröffentlichten Vermutungen über den Elementarvorgang des Grenzschichtumschlages.

Oertel.

8298 Lakshmi Sanyal. Three-dimensional boundary layer equations. Z. angew. Math. Mech. 37, 169—177, 1957, Nr. 5/6. (Mai/Juni.) (Calcutta, Univ. Coll. Sci.) In einer vorangegangenen Arbeit (Ber. S. 410) hat Vf. die Navier-Stokesschen Gleichungen für die laminare, inkompressible, dreidimensionale Strömung an einer gekrümmten Oberfläche in einem der Oberfläche angemessenen Parallel-koordinatensystem angegeben. In der vorliegenden Arbeit werden hiervon und von einer Anzahl genau formulierter Annahmen ausgehend die Grenzschichtgleichungen hergeleitet.

E. Becker.

8299 I. I. Glass and J. G. Hall. Shock sphere — an apparatus for generating spherical flows. J. appl. Phys. 28, 424—425, 1957, Nr. 4. (Apr.) (Univ. Toronto, Inst. Aerophys.) Es wurden Glasballone von etwa 2,5 cm bis 10 cm Durchmesser mit Luft, He oder SF<sub>6</sub> mit einem Druck bis zu 21Kp/cm<sup>2</sup> gefüllt und durch An-

stechen in Luft zur Explosion gebracht. Schattenaufnahmen und x, t-Schlierendiagramme des so erzeugten sphärischen Verdichtungsstoßes und der hinter diesem ablaufenden Strömungsvorgänge. Oertel.

8300 W. E. Deal. Shock Hugoniot of air. J. appl. Phys. 28, 782—784, 1957, Nr. 7. (Juli.) (Los Alamos, New Mex., Univ. Calif., Sci. Lab.) Es wurden Metallplatten in Luft mittels Sprengstoff auf so hohe Geschwindigkeiten beschleunigt, daß sich von diesen ebene Stoßwellen mit Druckverhältnissen zwischen 43 und 232 ablösten. Mit Hilfe einer leuchtenden Stoßwelle in Argon als Lichtquelle und mit Hilfe einer Drehspiegelkamera wurden die Frontgeschwindigkeiten der Platten und Stoßwellen gemessen. Der mit diesen Geschwindigkeiten berechnete Zusammenhang zwischen dem Dichteverhältnis und Druckverhältnis im Stoß stimmte gut überein mit dem von R. E. Duff mit einer Dissoziationsarbeit des Stickstoffs von 9,764 eV berechneten.

8301 H. Lawton and I. C. Skidmore. Hugoniot curves for inert solids and condensed explosives. Disc. Faraday Soc. 1956, Nr. 22, S. 188—195, 212—226. (Aldermaston, Berks., Atomic Weapons Res. Est.) Es wird eine Methode beschrieben, die es gestattet, Druck und Dichte hinter einer ebenen Stoßwelle in Festkörpern zu bestimmen. Nach Messung der Stoßwellengeschwindigkeit U und der Teilchengeschwindigkeit u kann mit Hilfe der Gleichungen der Erhaltung der Masse und des Impulses  $\varrho_0 \mathbb{U} = \varrho \cdot (\mathbb{U} - \mathbb{u})$  und  $\mathbb{P} = \varrho_0 \mathbb{U}$  und der Druck und das Verdichtungsverhältnis  $\varrho/\varrho_0$  in einem Festkörper bestimmt werden. So werden Hugoniot-Kurven für Aluminium, weichen Stahl und Armco-Eisen ermittelt, die mit Resultaten anderer Vff. gut übereinstimmen. Es wird gezeigt, daß man die Ergebnisse unter Annahme der Stetigkeit des Druckes und der Teilchengeschwindigkeit auch dazu benutzen kann, die Hugoniot-Kurven für die Explosionsprodukte zu ermitteln. Als Beispiel wird dies für RDX + TNT 60/40 durchgeführt.

8302 M. Z. v. Krzywoblocki. On the bounds of the thickness of a steady shock wave. Appl. sci. Res., Hague (A) 6, 337—350, 1957. (Univ. Illinois, USA.) In Fortführung einer Untersuchung von v. Mises (J. Aero. Sci. 17, 551, 1950) fragt Vf., ob die dort gewonnene Abschätzung für die Dicke einer Stoßfront in einem vollkommenen Gase (p =  $\varrho$ RT und c<sub>v</sub> = const) sich verschärfen läßt, wenn man die höheren Glieder der Formeln von Chapman-Enskog-Burnett mitberücksichtigt. Es ergibt sich keine Verbesserung. Wecken.

8303 Hans J. Stetter. Beiträge zum Wechselwirkungsproblem in linearisierter Überschallströmung. S. B. bayer. Akad. Wiss. 1956, S. 61—86. (T. H. München.) V. Weidemann.

8304 R. Brunlak. Über die Ablösung der Grenzschicht beim Verdichtungsstoß. Öst. Ing. Arch. 10, 129—133, 1956, Nr. 2/3. (23. Juli.) (Wien.)

Weidemann.

8305 P. Suquet. Diffusion des gaz au voisinage d'une bulle de cavitation. J. Phys. Radium 18, 676—680, 1957, Nr. 12. (Dez.) Die Diffusion eines Gases aus einer kugelförmigen Kavitationsblase in die umgebende Flüssigkeit wird theoretisch untersucht. Dies führt auf die Wärmeleitungsgleichung für den kugelsymmetrischen Fall, die mit dem Hilfsmittel der Laplace-Transformation gelöst wird. Folgende Einzelfälle werden behandelt: 1. Die Gasblase grenzt an eine unendlich ausgedehnte Flüssigkeit von der anfänglichen Gaskonzentration 0. 2. Eine gasfreie Flüssigkeitskugel grenzt an ein unendlich ausgedehntes Flüssigkeitsgebiet mit der konstanten Anfangskonzentration C<sub>0</sub>. 3. Eine Gasblase ist von einem gasfreien Flüssigkeitsring umgeben, an den nach außen eine unendlich ausgedehnte Flüssigkeit der Anfangskonzentration C<sub>0</sub> anschließt. Der letztere

Fall wird zur Berechnung derjenigen Zeit benutzt, die bis zum vollständigen Auflösen einer Gasblase in der umgebenden Flüssigkeit vergeht. Wie ein Zahlenbeispiel zeigt, ist es sehr unwahrscheinlich, daß bei Kavitationsblasen, wie sie bei Ultraschall auftreten, an eine anfangs adiabate Kontraktion eine weitere Kontraktion nach dem beschriebenen Diffusionsmechanismus auftritt.

E. Becker.

- 8306 H. B. Squire. The motion of a simple wedge along the water surface. Proc. roy. Soc. (A) 243, 48—64, 1957, Nr. 1232. (10. Dez.) (London, Imperial Coll. Sci. Technol., Aeronautics Dep.) Das untersuchte Problem hat für den Startvorgang von Flugbooten Bedeutung. Ein teilweise in Wasser eintauchender Keil, dessen Fläche mit der Wasseroberfläche den (kleinen) Winkel  $\alpha$  bildet und dessen Hinterkante sepkrecht abgeschnitten ist, wird mit der Geschwindigkeit U horizontal bewegt. Vf. berechnet mit Hilfe einer linearisierten Theorie die zweidimensionale Strömung an dem Keil unter der Annahme, daß die Hinterkante des Keils nicht umströmt wird. Die Ergebnisse werden als Funktion einer dimensionslosen Geschwindigkeit  $V = U(\varrho\alpha/gL)^{1/4}$  dargestellt ( $\varrho$  = Wasserdichte, g = Schwerebeschleunigung, L = Auftrieb pro Längeneinheit des Keils). Bei der Bewegung aus der Ruhe heraus erhöht sich zunächst die Eintauchtiefe der Keilhinterkante. Mit weiter wachsender Geschwindigkeit wird sie schließlich sehr klein. Der Reibungswiderstand erreicht bei einer Geschwindigkeit, die in der Theorie definiert wird, ein Maximum und fällt dann bei hoher Geschwindigkeit auf einen konstanten Wert ab.
- 8307 G. Collette et R. Labrousse. Un altimètre radioélectrique à modulation de fréquence. Onde élect. 37, 589—598, 1957, Nr. 363. (Juni.) (Soc. Franç. Radioélect.) Es wird ein Höhenmesser für Flugzeuge für Höhen bis 1500 m ausführlich beschrieben. Das Verfahren der Frequenzmodulation der zur Erdoberfläche ausgestrahlten Welle (440 MHz) ist bei niedrigen Höhen Impulsverfahren überlegen, mit denen kleinere Höhen als 150 m nicht gemessen werden können. Die Höhenmessung beruht auf einer Messung der Schwebungsfrequenz zwischen der ausgesendeten und reflektierten Welle. Technische Daten: Frequenzhub 20 MHz, Modulationsfrequenz 27 bzw. 135 Hz, Schwebungsfrequenz pro m 14,4 bzw. 72 Hz, Fehlergrenze bei 30 bis 1500 m 10 %.
- 8308 Kenneth Jarmolow. Dynamics of a spinning rocket with varying inertia and applied moment. J. appl. Phys. 28, 308—313, 1957, Nr. 3. (März.) (Baltimore, Md., Martin Co.) Die dynamische Bewegung einer sich drehenden Rakete von veränderlichem Trägheitsmoment unter dem Einfluß eines veränderlichen Drehmoments bedingt durch den Brennstoffverbrauch wird analysiert. Das veränderliche Drehmoment bei konstantem asymmetrischen Schub wird dadurch verursacht, daß der Schwerpunkt der Rakete beim Abbrand sich verlagert. Die aerodynamischen Kräfte werden vernachlässigt. Das Problem wird mit den EULERschen Gleichungen gelöst. Die Bewegung wird mit der eines Körpers verglichen, der ein festes Trägheitsmoment besitzt und auf den ein Drehmoment fester Größe wirkt. Es wird gezeigt, daß diese beiden Bewegungen sehr verschieden sind und der allgemeine Fall verwendet werden muß, um brauchbare Konstruktionskriterien zu erhalten.
- 8309 E. V. Laitone. Spin-stabilized unsymmetrical bodies. J. Amer. Rocket Soc. 27, 417—419, 1957, Nr. 4. (Apr.) (Berkeley, Calif., Univ.) Es werden die Bedingungen diskutiert, unter denen ein unsymmetrischer Flugkörper beim Eintritt in die Erdatmosphäre drallstabilisiert ist. Weiter wird gezeigt, wie in den meisten Fällen die Jakobischen elliptischen Funktionen, die den klassischen Eulerschen Gleichungen genügen, durch gewöhnliche trigonometrische Funktionen ersetzt werden können.

8310 J. F. Vandrey. Upper bounds and conservative estimates for aerodynamic heating at great altitudes. J. Amer. Rocket Soc. 27, 522—526, 1957, Nr. 5. (Mai.) (Baltimore, Md., Martin Company.) Abschätzung der beim Flug in großen Höhen maximal zu erwartenden Wandtemperaturen bei Gleichgewicht der zusließenden und abgestrahlten Wärme und während der Auffüllung der Wärmekapazität. Hierzu Vereinfachung der von H. Mirels angegebenen den Bereich der Kontinuumsströmungen, Gleitströmungen und Molekularströmungen erfassenden Interpolationsformel für den Reibungskoeffizienten. Abschätzung des Einflusses der bei hohen Mach-Zahlen austretenden Dissoziation. Anwendungsbeispiel: Wandtemperaturen beim Ausstieg einer Satellitenrakete.

Oertel.

8311 Ernest E. H. Schurmann. Optimum staging technique for multistaged rocket vehicles. J. Amer. Rocket Soc. 27, 863—865, 1957, Nr. 8. (Aug.) (Fort Worth, Tex., Convair Div. Gen. Dyn. Corp.) Vf. behandelt die Frage nach der günstigsten Stufenzahl der Raketen für ballistische Flugkörper und Erdsatelliten. Er macht die folgenden vereinfachenden Annahmen: 1. Jede Stufe arbeitet mit konstantem Schub und konstantem spezifischem Impuls. 2. Der Luftwiderstand ist null. 3. Die Schwerebeschleunigung bleibt konstant. Nach Einführung dimensionsloser Ausdrücke für die Stufenbrenndauer, den Geschwindigkeitszuwachs je Stufe und die Endgeschwindigkeit der letzten Stufe wird die Lösung eines Minimalproblems angegeben, wodurch sich eine Abhängigkeit der jeweiligen Stufenbrenndauer  $\tau_{\rm n}$  von der Brenndauer  $\tau_{\rm 1}$  der ersten Stufe finden läßt. Für ein vorgegebenes  $\tau_{\rm 1}$  lassen sich dann alle  $\tau_{\rm n}$  der n Stufen und hiermit die Endgeschwindigkeit berechnen, wobei die Rechnung so lange zu wiederholen ist, bis die berechnete Endgeschwindigkeit mit dem gewünschten Wert übereinstimmt. An einem Beispiel wird das Verfahren erläutert, das der Vorausberechnung von Vielstufenraketen dient.

8312 A. W. Crook. The lubrication of rollers. Phil. Trans. 250, 387-409, 1958, Nr. 981. (Jan.) (Aldermaston, Berks., Assoc., Electr. Ind. Ltd., Res. Lab.) Im Hinblick auf die Vorgänge in Wälzlagern wurde die Dicke eines Ölfilms zwischen zwei rotierenden, aufeinandergepreßten Walzen experimentell bestimmt. Hierzu wurde die elektrische Kapazität des Films gemessen. Es zeigt sich, daß bei niedriger Walzenpressung (bis etwa 3·106 dyn pro cm Walzenlänge) die Filmdicke der Pressung umgekehrt und der Drehgeschwindigkeit der Walzen direkt proportional ist, wie nach der hydrodynamischen Theorie von MARTIN (1916) zu erwarten war. Allerdings ergeben sich die Filmdicken nur etwa halb so groß wie nach dieser Theorie. Bei höheren, für die Praxis wichtigen Pressungen bis zu 108 dyn/cm ändert sich die Filmdicke nur wenig mit der Pressung und ist von der Größenordnung 1  $\mu$ , d. h. größer als nach der Theorie. Es wird plausibel gemacht, daß dies durch Änderung der Zähigkeit infolge des hohen Druckes im Ölfilm und durch Verformung der Walzen verursacht wird. Die Versuche wurden sowohl für den Fall reinen Abrollens der Walzen aufeinander als auch für Abrollen mit Gleiten durchgeführt. Im letzteren Falle ist die Abhängigkeit der Filmdicke von der Pressung größer als im ersten. Die Ergebnisse wurden durch Temperaturbestimmung im Ölfilm durch Messung seines elektrischen Widerstandes ergänzt. E. Becker.

8313 S. C. De. Kinematic wave theory of bottlenecks of varying capacity. Proc. Camb. phil. Soc. 52, 564—572, 1956, Nr. 3. (Juli.) (Manchester, Univ., Dep. Math.) Von LIGHTHILL und WHITHAM wurde eine Theorie eindimensionaler Strömungen entwickelt und angewandt auf das Wasser eines Flusses und den Verkehr auf einer Straße (Proc. roy. Soc. (A) 229, 281, 317, 1955). Während bereits dort untersucht wurde, wie sich ein zeitlich unveränderlicher Engpaß bei veränder-

licher Stärke des ankommenden Stromes auswirkt, wird hier der letztere als konstant, die Durchlässigkeit des Engpasses als veränderlich angesehen. Es ergeben sich Stoßwellen, die sich zunächst dem Strome entgegen, später auch in seiner Richtung und durch den Engpaß hindurch bewegen. Just.

- 8314 W. T. Thomson and M. V. Barton. The response of mechanical systems to random excitation. J. appl. Mech. 24, 248—251, 1957, Nr. 2. (Juni.) (Los Angeles, Univ. Calif., Engng. Dep.; Los Angeles, Ramo-Wooldridge Corp., Aeromech. Dep.) Vff. untersuchen die Bewegungen eines linearen mechanischen Systems mit bekannten Eigenfrequenzen und vorgegebener Dämpfung bei Anregung mit statistisch schwankenden Kräften. Ausgehend von den Lagrangeschen Gleichungen des Systems und dem Leistungsspektrum der anregenden Kraft wird das mittlere Quadrat der Bewegung des Systems berechnet. Die Wahrscheinlichkeit der Bewegung wird unter der Annahme einer Normalverteilung ermittelt. Als Beispiele werden die longitudinalen Schwingungen eines dünnen Stabes und die Biegeschwingungen eines Balkens betrachtet.
- 8315 J. H. Halton. Elliptical whirl of flooded journal bearings. Proc. Camb. phil. Soc. 54, 119—127, 1958, Nr. 1. (Jan.) (Oxford, Balliol Coll.) Vf. betrachtet ein aus einer kreiszylindrischen Lagerschale und einer entsprechenden kreiszylindrischen Welle bestehendes Gleitlager. Der Spalt zwischen Welle und Lagerschale sei vollständig mit einem Schmiermittel konstanter Dichte und Zähigkeit ausgefüllt. Ausgehend von der Reynoldsschen Gleichung für Schmiermittelreibung wird die relative Bewegung der einander parallelen Achsen von Lagerschale und Welle untersucht. Dabei wird entweder die Lagerlänge als groß gegen den Durchmesser oder umgekehrt der Durchmesser als groß gegen die Lagerlänge angenommen. Es treten zwei Arten von Bewegungen auf, die kreisförmige und die elliptische. Letztere entspricht einem Lager mit konstanter Belastung. Der Vergleich mit den wenigen, vorliegenden experimentellen Daten ist quantitativ befriedigend.
- 8316 W. T. Bane and N. Ream. Automation of experimental tests on a gas turbine. J. Electronics 3, 595—630, 1957, Nr. 6. (Dez.) Es wird eine Anordnung zur laufenden automatischen Überwachung und Aufzeichnung der Vorgänge in Gasturbinen angegeben. Gemessen werden die Temperaturen und Drücke in einer vorgegebenen Reihe von Punkten am Ausgang der Verbrennungskammer. Es werden eingehend die Überlegungen mitgeteilt, die zur Ermittlung des zweckmäßigsten Aufbaus der Meß- und Registriereinrichtung, zur Wahl der Kontrollfolgen und der Schlüssel für die Übertragungsvorgänge führen. Poltz.
- 8317 George P. Sutton. Ein Vergleich möglicher Antriebssysteme für Raumfahrzeuge. Raketentechn. Raumfahrtforsch. 1, 73—75, 1957, Nr. 3. (Okt.) (Canoga Park, Calif., North Am. Aviation, Rocketdyne.) Erläutert werden: Flüssigkeitstriebwerke, kernenergetische Antriebe, Freie Radikale (Atomare Gase), Aufheizung durch Sonnenenergie und Lichtbogen-Entladung, sowie Ionenantriebe. Antriebserfordernisse für verschiedene Flugaufträge als Funktion des Massenverhältnisses in Diagrammform.
- 8318 Irvin Glassman. Impulse expressions for rocket systems containing a solid phase. J. Amer. Rocket Soc. 27, 542—543, 1957, Nr. 5. (Mai.) (Univ. Princeton, N. J.) Vf. sucht eine Beziehung für den spezifischen Impuls eines Raketentriebwerkes zu finden, wenn die ausströmenden Verbrennungsprodukte neben gasförmigen auch feste Bestandteile enthalten. Indem er das Verhältnis der spezifischen Wärmen und das mittlere Molekulargewicht des Gemisches von Gas und festen Teilchen zweckentsprechend neu definiert, kommt er hier zu ähnlich aufgebauten Ausdrücken für den spezifischen Impuls, wie sie für reine Gasgemische bereits bekannt sind.

8319 J. A. Nieholls, H. R. Wilkinson and R. B. Morrison. Intermittent detonation as a thrust-producing mechanism. J. Amer. Rocket Soc. 27, 534—541, 1957 Nr. 5. (Mai.) (Univ. Michigan, Ann Arbor. Mich.) In ein einseitig offenes Rohr werden zwei Gase, die ein detonierbares Gemisch bilden, kontinuierlich eingeleitet und periodisch gezündet. Die Schubwirkung wird experimentell und (mit vereinfachenden Annahmen) theoretisch untersucht für verschiedene Gemische und Zündfrequenzen. Ähnliche Arbeiten hatte Hoffman 1941 in Deutschland ausgeführt. Vff. halten das Verfahren für technisch entwicklungsfähig.

Wecken.

8320 J. F. Archard. Elastic deformation and the laws of friction. Proc. roy. Soc. (A) 243, 190—205, 1957, Nr. 1233. (24. Dez.) (Aldermaston, Berks. Aldermaston Court, Assoc. Elect. Ind., Ltd., Res. Lab.) Es wird geprüft, ob die Hypothese der elastischen Deformation der Oberflächenprotuberanzen übereinstimmend mit dem Gesetz von Amonton ist, das die Reibung proportional zu der aufgewandten Last stellt. Experimente werden beschrieben, die zeigen, daß beim allgemeinen Gesetz die Reibung proportional zu der wahren Auflagefläche ist; ob Amontons Gesetz erfüllt ist oder nicht, hängt von der Oberflächentopographie ab. Für Materialien mit einem großen elastischen Bereich, wie z. B. Perspex, ist die Deformation primär elastisch, jedoch Amontons Gesetz ist erfüllt, ausgenommen dann, wenn die Last hochkonzentriert ist. Zum Schluß wird gezeigt, daß aus Experimenten mit geschmierten Messingproben einzelne Schlüsse auf die Metalle insgesamt übertragen werden können.

8321 B. S. Jain. Internal ballistics of a leaking gun. Proc. nat. Inst. Sci. India (A) 22, 324—335, 1956, Nr. 5. (26. Sept.) (Delhi, Hindu Coll.) Für Waffen mit unvollständiger Gasabdichtung, insbesondere für rückstoßfreie Waffen mit Ausströmdüse lassen sich nach Thiruvenkatechar und Venkatesan (Ber. 34, 25, 1955) ziemlich exakte Lösungen des innerballistischen Gleichungssystems als Potenzreihen eines Ausströmparameters darstellen. Beide führen ihre Berechnungen aber nur bis zu dem in  $\psi$  linearen Glied durch, während Vf. auch den Koeffizienten des quadratischen Gliedes berechnet. Insbesondere bei rückstoßfreien Waffen kann der  $\psi^2$ -Term nicht vernachlässigt werden. Zobel.

## III. Akustik

8322 F. Linhardt. Über die Berechnung von Wellenfeldern durch Fourieranalyse. Z. Instrum. Kde. 65, 144—147, 1957, Nr. 8. (Aug.) (Braunschweig, Phys.-Tech. Bundesanst.) Vf. berechnet eine Querverteilungskurve des Schallwechseldrucks im Nahfeld eines rechteckigen Senders, auf dessen strahlender Fläche die Schwingungsamplitude zum Rand hin abnimmt. Die analytische Darstellung der Amplitudenverteilung auf dem Sender durch eine Kosinusfunktion ermöglicht, die gestellte Aufgabe in kurzer Zeit durch Ausführung von FOURIER-Analysen mit einem mechanischen Apparat (nach M. GRÜTZMACHER) zu lösen. F. Linhardt.

8323 A. van Itterbeek, W. de Rop and G. Forrez. Measurements on the velocity of sound in nitrogen under high pressure. Appl. sci. Res., Hague (A) 6, 421—432, 1957. (Leuven, Belg. Inst. Lage Temp. Tech. Phys.) In Ergänzung früherer Untersuchungen (Physica, Haag 4, 207 und 609, 1937) werden Schallgeschwindigkeitsmessungen in Stickstoff vorgelegt, die den Bereich p < 60 atm, 227° K < T < 299° K erfassen. Sie sind mit einem akustischen Interferometer bei 525 kHz durchgeführt. Die Ergebnisse werden benutzt zur Berechnung von C p

und C<sub>v</sub>, sowie zur Kontrolle bestehender Zustandsgleichungen. Die Arbeit ergänzt andere Untersuchungen bei hohen Drücken, vgl. z. B. LACAM (Ber. 33, 429, 1954).
Wecken.

- 8324 B. H. Krishnamurty. Ultrasonic studies in electrolytes. J. sci. industr. Res. (B) 16, 337—339, 1957, Nr. 8. (Aug.) (Waltair, Andhra Univ., Dep. Phys.) Die Geschwindigkeiten von Schallwellen, deren Frequenz oberhalb der Hörgrenze liegt, wurden in wässerigen Lösungen von acht verschiedenen Salzen bestimmt (KCl, NaCl, NH4Cl, NH4NO3, (NH4)2SO4, MnSO4, MgSO4 und ZnSO4). Die Konzentration wurde von 0,01 bis 1,0 Mol/l variiert. Die adiabatische ( $\beta=1/v^2 \cdot \varrho$ , wobei v die Geschwindigkeit und  $\varrho$  die Dichte ist) und die scheinbaren molaren Kompressibilitäten ( $\beta=\beta_0+A\cdot c+B\cdot c^{3/2}$ , wobei A und B Konstanten sind) wurden für 25°C errechnet. Die Resultate bestätigen die Anwendbarkeit der Debye-Hückelschen Theorie für diese Verbindungen.
- 8325 H. S. Heaps. Reflection of plane waves of sound from a sinusoidal surface. J. appl. Phys. 28, 815—818, 1957, Nr. 7. (Juli.) (Halifax, Can., Nova Scotia Tech. Coll.) Untersuchung der Reflexion von ebenen Schallwellen an einer sinusförmigen Oberfläche. Vf. setzt den von der Wand zurückgeworfenen Teil der Schallwellen als eine Summe ebener ungedämpfter Wellen an und bestimmt deren Amplituden so, daß das mittlere Quadrat des Schalldrucks auf der reflektierenden Wand ein Minimum wird. Die auf diese Weise berechneten Beträge für die Amplituden stimmen mit Meßwerten (nach LACASCE und TAMARKIN) sehr gut überein, und zwar besser als alle anderen bisher theoretisch ermittelten Werte mit Ausnahme des Falles, daß Spiegelreflexion vorliegt.
- 8326 P. G. Corran, J. D. Lambert, R. Salter and B. Warburton. Temperature dependence of vibrational relaxation times in gases. Proc. roy. Soc. (A) 244, 212 bis 219, 1958, Nr. 1237. (11. März.) (Oxford, Univ., Phys. Chem. Lab.) Neuere Bestimmungen der Relaxationszeit aus Ultraschalldispersionsmessungen bei C<sub>2</sub>H<sub>4</sub>, C<sub>3</sub>H<sub>6</sub>, CF<sub>4</sub>, CH<sub>3</sub>Cl und CH<sub>3</sub>Br im Temperaturbereich 290···580°K ergeben gemeinsam mit älteren Beobachtungen an CH<sub>3</sub>F und SO<sub>2</sub> folgendes Bild: Bei nichtpolaren Gasen wächst die Wahrscheinlichkeit des Energieüberganges von Translation zu Schwingung monoton mit zunehmender Temperatur entsprechend der theoretisch zu erwartenden Abhängigkeit mit exp(—T<sup>-1/3</sup>). Polare Gase verhalten sich bei hohen Temperaturen ähnlich, zeigen aber bei tiefen Temperaturen eine Zunahme der Übergangswahrscheinlichkeit mit sinkender Temperaturun. Dieser Effekt wird mit orientierten Zusammenstößen erklärt, die bei niederen Temperaturen mit zunehmender Häufigkeit auftreten und für den Energieaustausch besonders günstig sind.
- 8327 P. D. Edmonds and J. Lamb. A method for deriving the acoustic absorption coefficient of gases from measurement of the decay-time of a resonator. Proc. phys. Soc. Lond. 71, 17—32, 1958, Nr. 1 (Nr. 457). (1. Jan.) (London, Imp. Coll., Elect. Engng. Dep.) Ein mit dem zu untersuchenden Gas gefüllter Zylinder wird intermittierend mit einer seiner Eigenfrequenzen erregt und der Abfall des Schallfeldes in den Pausen dazwischen registriert. Das Verfahren ist anwendbar im Bereich 1 bis 45 kHz pro atm. Die allgemeine Lösung der Wellengleichung in Zylinderkoordinaten enthält Parameter m, n, die den Schwingungstyp bestimmen, während die Resonanzbedingungen außerdem durch einen weiteren Parameter 1 charakterisiert sind. Messungen erfolgten für longitudinale Schwingungen (m = n = 0) zwischen 1 kHz und der ersten Abschneidefrequenz  $f_{011}$  einer nicht ebenen Schwingung, sowie radiale Schwingungen (n = 0), insbesondere vom Typ (1,0) zwischen  $f_{010}$  und  $f_{021}$  und (2,0) zwischen  $f_{020}$  und  $f_{031}$ . Als Beispiele sind Messungen an Ar,  $N_2$  und Cyclopropan wiedergegeben. Im letztgenannten Fall ist der Beitrag der Relaxation beträchtlich. G. Schumann.

- 8328 T. L. Cottrell and P. E. Martin. Transition probability in molecular encounters. III. Experimental values for relaxation time in methane. Trans. Faraday Soc. 53, 1157—1159, 1957, Nr. 9. (Sept.) (Stevenston, Ayrshire, Res. Dept., Nobel Div., Imp. Chem. Ind. Ltd.) Unter Verwendung des Ultraschall-Interferometers (PIERCE, 1925; TELFAIR und PIELEMEIER, 1942) wird die Vibrations-Relaxationszeit in Methan zwischen 30 und 60°C zu 1,7·10-6 s bestimmt. Dieser Wert ist etwa um 70 % größer als der nach Eucken und Aybar (1940) extrapolierte.

  H. Ebert.
- 8329 R. Lamoral. La qualité acoustique des grandes salles. Rev. Son 1957, S. 238—239, Nr. 53. (Sept.) Vf. gibt einen Überblick über die insbesondere für große Räume gültigen akustischen Gesetzmäßigkeiten. Er weist auf Möglichkeiten zu deren Berücksichtigung beim Entwurf solcher Räume durch Berechnungen und Modellversuche hin.

  Dämmig.
- 8330 A. N. Hunter, R. D. Legge and E. Matsukawa. Loss factor measurements in dry sand. Proc. phys. Soc. Lond. 71, 135—136, 1958, Nr. 1 (Nr. 457). (1. Jan.) (Leicester, Univ.) Die Fortpflanzung von Schallwellen mit Frequenzen von 7 bis 27 kHz durch Sandschichten unter Belastung wurde untersucht. Es ergab sich, daß der Verlustfaktor innerhalb der experimentellen Fehlergrenzen für den Schwächungskoeffizienten (10%) von Frequenz und Druck unabhängig war.

  G. Schumann.
- 8331 J. Peyssou. Bilames en céramique piézoélectrique utilisés comme transformateurs électroacoustiques. Cas des microphones. Ann. Radioélect. 12, 33—44, 1957, Nr. 47. (Jan.) Vf. berechnet u. a. die von einem einseitig eingespannten piezoelektrischen Biegeschwinger in Abhängigkeit von den Dimensionen der Streifen und der Größe der anregenden Kraft erzeugte Leerlaufspannung. Er wendet die Resultate auf ein federungskontrolliertes Mikrophon an. Der Einfluß von Form, Profil, Anordnung, Montage, Metallisierung der Streifen wird untersucht. Die günstigste Form stellt ein rechteckiger Biegeschwingerstreifen dar, dessen eines Ende eingespannt ist, während das andere Ende mit dem Zentrum der Mikrophonmembran verbunden wird.
- 8332 Paul Riety. Le dispositif d'étalonnage absolu des microphones dudépartement acoustique du C. N. E. T. Ann. Télécomm. 13, 16—34, 1958, Nr. 1/2. (Jan./Febr.)

  Beggero w.
- 8333 C. Kleesattel. Näherungsformeln für einige häufig vorkommende Schalleiter-Kombinationen. Acust. Zür. 6, 288—294, 1956, Nr. 3. (New York, Cavitron Equipment Corp.) Weidemann.
- 8334 S. Parthasarathy and P. P. Mahendroo. Relation between efficiency of quartz transducers and ultrasonic absorption coefficient of liquids. I. Z. Phys. 147, 573—576, I957, Nr. 5. (Jan.) (New Delhi, Nat. Phys. Lab. India.) Die erneute Diskussion früherer Messung ergibt, daß sich die Beziehung zwischen dem Gesamtwirkungsgrad (Verhältnis von in Wärme umgesetzter Energie zu hineingesteckter elektrischer Energie) durch zwei Parameter ausdrücken läßt, die frequenzabhängig sind. Für niedrige Frequenzen und niedrigen Schallabsorptionskoeffizienten der Flüssigkeit ergibt sich ein hoher Gesamtwirkungsgrad.

M.-L. Beyer.

8335 S. Parthasarathy and P. P. Mahendroo. Relation between efficiency of quartz transducers and ultrasonic absorption coefficient of liquids. II. Z. Phys. 147, 577 bis 581, 1957, Nr. 5. (Jan.) (New Delhi, Nat. Phys. Lab. India.) Die Diskussion früherer Messungen führt zu dem Ergebnis, daß der akustische Wirkungsgrad am größten ist bei Flüssigkeiten mit großem Schallabsorptionskoeffizienten und bei niedrigen Frequenzen.

M.-L. Beyer.

8336 P. Phariseau. The diffraction of light by two perpendicular ultrasonic waves. Physica, 's Grav. 23, 651—656, 1957, Nr. 7. (Juli.) (Gent, Belg., Lab. Kristall-kunde.) Zur Beschreibung der Beugung wird ein System von Differenzen-Differential-Gleichungen aufgestellt. Wenn die beiden Überschallwellen annähernd die gleichen Intensitäten haben, läßt sich die Integration auf zwei Systeme vom Raman-Nath-Typ zurückführen. Im andern Fall werden die Gleichungen recht kompliziert; aber es ist noch möglich, die Integration auf ein System vom Raman-Nath-Typ und ein System von einem komplizierteren Typ zurückzuführen. Näherungslösungen sollen in einer weiteren Veröffentlichung gebracht werden. (A. d. Zfg.)

## IV. Wärme

- 8337 W. P. Hutchinson and A. G. White. A simple microcalorimeter for heat of solution measurements. J. sci. Instrum. 32, 309—314, 1955, Nr. 8. (Aug.) (Harwell Berks., Atom. Energy Res. Est.)
- 8338 A. R. Anderson and R. J. Waite. A calorimeter for measuring energy absorption from pile radiation. J. sci. Instrum. 33, 46—51, 1956, Nr. 2. (Febr.) (Harwell, Berks., Atomic Energy Res. Est.)
- 8339 J. B. Stott. An isothermal micro-calorimeter. J. sci. Instrum. 33, 58—63, 1956, Nr. 2. (Febr.) (Dunedin, N. Zeal., Univ. Otago, School Min.)
- 8340 D. W. Plester, S. E. Rogers and A. R. Ubbelohde. Calorimetry by the method of mixtures. J. sci. Instrum. 33, 211—212, 1956, Nr. 6. (Juni.) (London, Imp. Coll. Sci. a. Technol.)
- 8341 0. J. Kleppa. A new high-temperature reaction calorimeter. The heats of mixing of liquid lead-tin alloys. J. phys. Chem. 59, 175—181, 1955, Nr. 2. (Febr.) (Chicago, Ill., Univ., Inst. Study Met.)
- 8342 W. D. Good, D. W. Scott and Guy Waddington. Combustion calorimetry of organic fluorine compounds by a rotating-bomb method. J. phys. Chem. 60, 1080—1089, 1956, Nr. 8. (18. Aug.) (Bartlesville, Oklahoma, Bur. Mines, Petrol. Exp. Stat., Thermodynam. Lab.)
- 8343 L. W. Phipps. An adiabatic calorimeter for measuring the specific heats of liquids in the range 0 to 100°C. J. sci. Instrum. 32, 109—113, 1955, Nr. 3. (März.) (Reading, Berks., Univ., Nat. Inst. Res. Dairying, Phys. Dep.)
- 8344 Ralph S. Jessup. A new Bunsen-type calorimeter. J. Res. nat. Bur. Stand. 55, 317—322, 1955, Nr. 6. (Dez.)
- 8345 L. S. Dzung und W. Rohrbach. Neue thermodynamische Diagramme für Wasserdampf und Wasser. Brown-Boveri Mitt. 43, 16—19, 1956, Nr. 1/2. (Jan./Febr.)
- 8346 Edward P. Egan jr. Extrapolation of cooling curves in measurements of heat capacity. J. phys. Chem. 60, 1344, 1956, Nr. 9. (Sept.) (Wilson Dam, Alabama, Tenn. Valley Author., Div. Chem. Dev.)
- 8347 P. F. Helfrey, D. A. Heiser and B. H. Sage. Isobaric heat capacities at bubble point. Two trimethylbenzenes and n-heptane. Industr. Engng Chem. 47, 2385—2388, 1955, Nr. 11. (4. Nov.) (Pasadena, Calif. Inst. Technol.)

- 8348 Matts Bäckström. Entropy-enthalpy diagram for water vapour and liquid extended to higher temperatures and pressures. K. tekn. Högsk. Handl. 1956, Nr. 105, 23 S. V. Weidemann.
- 8349 T. M. Dauphinee, Douglas L. Martin and H. Preston-Thomas. The specific heats of potassium, rubidium and caesium at temperatures below 330° K. Proc. roy. Soc. (A) 233, 214—222, 1955, Nr. 1193. (20. Dez.) (Ottawa, Can., Nat. Res. Council.) Die spezifische Wärme von K, Rh und Cs wurde im Temperaturbereich von etwa 20° K bis etwa 330° K in einem Kalorimeter bei kontinuierlicher Wärmezufuhr bestimmt. Der Verlauf der spezifischen Wärme der aufgeführten Alkalimetalle zeigt Anomalien in einem ausgedehnten Temperaturbereich. Die in diesen Bereichen beobachteten thermischen Hystereseerscheinungen bei Rh und Cszeigten, daß die thermische Vorgeschichte der Proben den Wert der spezifischen Wärme beeinflußt. Da die Cs-Probe 0,3 % Verunreinigungen durch Sauerstoff enthielt, geben die Messungen Aufschluß über das binäre System Cs 02. Eine hinreichende Erklärung der beobachteten Anomalien und Hystereseerscheinungen erfordert nach Ansicht der Vff. Untersuchungen über andere physikalische Eigenschaften dieser Metalle.
- 8350 E. E. Budzinski and H. Schiff. Characteristic temperatures of cubic metals. Canad. J. Phys. 35, 507—511, 1957, Nr. 5. (Mai.) (Edmonton, Univ. Alberta, Dep. Phys.) Eine Näherung für die Bestimmung der charakteristischen Debyetemperatur von kubischen Kristallen wird entwickelt. Es wird gezeigt, daß diese Methode genauere Resultate liefert, als die Formeln von Houston bzw. Betts, Bathia und Wyman. Die charakteristischen Temperaturen  $\theta$  der Elemente Ag, Cu, Pb, K und Na werden berechnet und mit den Werten verglichen, die sich nach den anderen beiden Formeln ergeben. Für Na wird ein Zahlenwert von  $\theta = 150$  ermittelt, dessen Genauigkeit auf 1% abgeschätzt wird. Dehoust.
- 8351 Sir C. V. Raman. The specific heats of some metallic elements. III. The characteristic frequencies. Proc. Indian Acad. Sci. (A) 45, 59—64, 1957, Nr. 2. (Febr.) (Bangalore, Raman Res. Inst.) Betrachtungen über den Zusammenhang von elastischen Konstanten, Wärmeausdehnung und spezifischer Wärme in Abhängigkeit von der Temperatur. Eine Abweichung von der EINSTEINSchen Formel wird mit der Anharmonizität der Gitterschwingungen erklärt, die eine Abnahme ihrer Frequenz mit zunehmender Temperatur zur Folge hat.

A. Deubner.

- 8352 A. Schneider und O. Hilmer. Wärmeinhalte und Schmelzentropien von NaTl-Phasen. Z. anorg. Chem. 286, 97-117, 1956, Nr. 3/4. (Juli.) (Göttingen, Univ., Anorg.-chem. Inst.)
- 8353 Friedrich Krauß und Heinz Warncke. Die spezifische Wärme von Nickel zwischen 180 und 1160°. Z. Metallk. 46, 61—69, 1955, Nr. 1. (Jan.) (Köln, Univ., Inst. theor. Phys.)
- 8354 P. L. Smith. The specific heats of magnesium and zinc. Phil. Mag. (7) 46, 744—750, 1955, Nr. 378. (Juli.) (Oxford, Clarendon Lab.)
- 8355 P. L. Smith and N. M. Wolcott. The specific heats of cadmium and mercury. Phil. Mag. (8) 1, 854—865, 1956, Nr. 9. (Sept.) (Oxford, Clarendon Lab.)
- 8356 Douglas L. Martin. The specific heats of lithium fluoride, sodium chloride and zinc sulphide at low temperatures. Phil. Mag. (7) 46, 751—758, 1955, Nr. 378. (Juli.) (London, Univ., Queen Mary Coll., Dep. Phys.)
- 8357 G. L. Booth, F. E. Hoare and B. T. Murphy. The low temperature (11°-20° K) specific heat of  $\alpha$  and  $\beta$  manganese. Proc. phys. Soc. Lond. (B) 68, 830-832, 1955, Nr. 11 (Nr. 431 B). (1. Nov.) (Leeds, Univ., Phys. Labs.) Weidemann.

- 8358 Thomas B. Douglas, Leo F. Epstein, James L. Dever and William H. Howland. Lithium: Heat content from 0 to 900°, triple point and heat of fusion, and thermodynamic properties of the solid and liquid. J. Amer. chem. Soc. 77, 2144 bis 2150, 1955, Nr. 8. (20. Apr.) (Washington, Nat. Bur. Stand.; Schenectady, N. Y., Knolls Atom. Power Lab.)
- 8359 K. R. Bonnickson. High temperature heat contents of some titanates of aluminium, iron and zinc. J. Amer. chem. Soc. 77, 2162—2154, 1955, Nr. 8. (20. Apr.) (Berkeley, US Dep. Interior, Bur. Min., Minerals Thermodyn. Branch.)
- 8360 E. G. King. Low-temperature heat capacities and entropies at 298,16° K of some titanates of aluminium, calcium, lithium and zinc. J. Amer. chem. Soc. 77, 2150—2152, 1955, Nr. 8. (20. Apr.) (Berkeley, US Dep. Interior, Bur. Min., Minerals Thermodynamics Branch.)
- 8361 C. C. Stephenson, D. R. Bentz and D. A. Stevenson. The heat capacity of ammonium nitrate from 15 to 315° K. J. Amer. chem. Soc. 77, 2161—2164, 1955, Nr. 8. (20. Apr.) (Cambridge, Mass. Inst. Technol., Dep. Chem.)
- 8362 E. G. King. Low temperature heat capacity and entropy at 298.16° K of analcite. J. Amer. chem. Soc. 77, 2192—2193, 1955, Nr. 8. (20. Apr.) (Berkeley, US Dep. Interior, Bur. Min., Thermodyn. Branch.)
- 8363 D. F. Smith, Duane Brown, A. S. Dworkin, D. J. Sasmor and E. R. van Artsdalen. Low temperature heat capacity and entropy of molybdenum trioxide and molybdenum disulfide. J. Amer. chem. Soc. 78, 1533—1536, 1956, Nr. 8. (20. Apr.) (Oak Ridge, Tenn., Oak Ridge Nat. Lab.)
- 8364 Edward P. Egan jr. and Zachary T. Wakefield. Thermodynamic properties of calcium metaphosphate, 10 to 1400°K. J. Amer. chem. Soc. 78, 4245—4249, 1956, Nr. 17. (5. Sept.) (Wilson Dam, Alabama, Tenn. Valley Author., Chem. Dev.)
- 8365 Edgar F. Westrum jr. and George Grenier. The heat capacities and thermodynamic properties of crystalline and vitreous anhydrous sodium tetraborate from 6 to 350° K. J. Amer. chem. Soc. 79, 1799—1802, 1957, Nr. 8. (20. Apr.) (Ann Arbor, Mich., Univ., Dep. Chem.)
- 8366 Tutô Nakamura and Norikiyo Uryû. On the interionic contributions to the specific heat of cobalt ammonium tutton salt  $Co(NH_4)_2(SO_4)_26H_2O$  at very low temperatures. J. phys. Soc. Japan 11, 760—769, 1956, Nr. 7. (Juli.) (Hukuoka, Kyusyu Univ., Fac. Sci., Dep. Phys.)
- 8367 D. W. Scott, W. D. Good and Guy Waddington. Tetraethyllead: heat of formation by rotating-bomb calorimetry. J. phys. Chem. 60, 1090—1095, 1956, Nr. 8. (18. Aug.) (Barlesville, Oklahoma, U. S. Dep. Interior, Bur. Mines, Petrol. Exp. Stat., Thermodynam. Lab.)

  V. Weidemann.
- 8368 W. R. Moore and G. E. Styan. Volumes and heats of mixing of some binary systems containing benzyl acetate. Trans. Faraday Soc. 52, 1556—1563, 1956, Nr. 12 (Nr. 408). (Dez.) (Bradford, Tech. Coll., Dep. Chem. Dyeing.)
- 8369 R. A. Alikhanov. Heat of vaporization of oxygen in the temperature range 80—106°K. Soviet Phys. 2, 771—773, 1956, Nr. 4. (Juli.) (Engl. Übers. aus: J. exp. theor. Phys., Moskau 29, 902—903, 1955, Dez.) (USSR, Acad. Sci., Inst. Phys. Probl.)

  V. Weidemann.

- 8370 T. I. Campan, D. Anghelache und Vitalie Belous. Über die Bestimmung der Wärmeleitfähigkeit der Stoffe. Bul. Inst. Polit. Iasi (rum.) (6) 2, 321—330, 1956, Nr. 1/2. (Orig. rum. m. russ. u. dtsch. Zfg.) Beschreibung des Plattenverfahrens mit Schutzring.
- 8371 L. v. Szalay und K. H. Löcherer. Zur allgemeinen Lösung von Randwertaufgaben der Übertragung von Wärme oder elektrischer Energie. Frequenz 11,
  97—106, 1957, Nr. 4. (Apr.) Durch eine Funktionaltransformation nach Picone
  wird die partielle Wärmeleitungsdifferentialgleichung, in der Wärmeleitfähigkeit,
  spezifische Wärme und Dichte konstant sind, in eine gewöhnliche verwandelt.
  Sodann wird für beliebige Randbedingungen ein homogenes Randwertproblem
  formuliert und eine entsprechende Reihe mit Orthogonalfunktionen entwickelt.
  Für Quader, Zylinder und Kugel werden die Berechnungen für verschiedene
  Randbedingungen durchgeführt.
- 8372 Herbert Schlitt. Lösung einer Wärmeleitungsaufgabe durch Analogie-betrachtungen. Arch. Elektrotech. 43, 51—58, 1957, Nr. 1. (Jan.) Für einen Draht, dem an einem Ende durch ein bestrahltes Plättchen Energie zugeführt wird, wird eine vereinfachte Differentialgleichung für den Temperaturverlauf im stationären Zustand formuliert (Stoffgrößen temperaturunabhängig, Strahlung und Konvektion linear temperaturabhängig), die formal mit der Telegraphengleichung eines analogen Kabelproblems übereinstimmt. Dessen Lösung, auf das Wärmeleitungsproblem übertragen, ermöglicht die Berechnung des Temperaturverlaufes im Draht.
- 8373 Werner Matz. Die Wegabhängigkeit bei der Energieübertragung. Allg. Wärmetech. 8, S. 32—38, 1957, Nr. 2. Die Wegeabhängigkeit der Energieübertragung wird vektoriell formuliert. Am mechanischen Beispiel des Blattrührers und am thermodynamischen Beispiel des Gegenstromkühlers werden die zuvor abgeleiteten Gesetze demonstriert.
- 8374 S. M. Genensky. A problem in self-heating of a spherical body. J. Res. nat. Bur. Stand. 59, 79—81, 1957, Nr. 2. (Aug.) (Providence, Brown Univ.) Die stationäre Wärmeleitungsgleichung einer Kugel, die ortsunabhängige Wärmequellen der Form A·exp (—E/RT) (formuliert nach einem unimolekularen Reaktionsgesetz erster Ordnung) enthält, und die an ihrer Oberfläche Wärme nach den Newtonschen Abkühlungsgesetz abgibt, wird für temperaturunabhängige Wärmeleitfähigkeit und Wärmeübergangszahl gelöst.
- 8375 Herbert Schuh. Differenzenversahren zum Berechnen von Temperatur-Ausgleichsvorgängen bei eindimensionaler Wärmeströmung in einfachen und zusammengesetzten Körpern. Forschungsh. Ver. dtsch. Ing. (B) 23, 1957, Nr. 459, 43 S. (Linköping/Schweden.) Das bekannte Differenzenversahren wird ergänzt und erweitert, um in einfachen und zusammengesetzten Körpern das instationäre Temperaturseld mit erträglichem Aufwand berechnen zu können. Durch Zusammensassen von Wärmespeichern und Widerständen zu größeren Einheiten kann das Versahren vereinfacht werden. Aufwand und Genauigkeit werden eingehend diskutiert. Ebenso die Verwendung elektronischer Rechenmaschinen zur Lösung instationärer Wärmeleitungsprobleme. An Beispielen zusammengesetzter Körper werden schließlich die entwickelten Versahren demonstriert.

Bode.

8376 Jiří Klátil. Das stabilisierte Temperaturfeld in einer aus zwei Schichten bestehenden unendlich großen ebenen Platte mit allgemeiner Temperaturverteilung an den Randwänden. Czech. J. Phys. 6, 551—557, 1956, Nr. 6. (Dez.) (Orig. russ. m. dtsch. Zfg.) (Pilsen, Hochsch. Maschinenb. Elektrotech.) Der Wärmefluß zwischen den Berührungsebenen beider Platten soll durch Wärmeübergang charakterisiert sein. Lösung durch Fourier-Integral.

- 8377 A. Michels, A. Botzen, A. S. Friedman and J. V. Sengers. The thermal conductivity of argon between 0°C and 75°C at pressures up to 2500 atmospheres. Physica, 's Grav. 22, 121—128, 1956, Nr. 2. (Febr.) (Amsterdam, Gemeente Univ., Van der Waals-Lab.) Messungen erfolgten in einer Plattenapparatur. Während die Übereinstimmung der Meßergebnisse für 1 at mit der Enskogschen Theorie gut ist, treten bei höheren Drucken Abweichungen bis zu 100% auf.
- 8378 R. L. Nuttall and D. C. Ginnings. Thermal conductivity of nitrogen from 50° to 500° C and 1 to 100 atmospheres. J. Res. nat. Bur. Stand. 58, 271—278, 1957, Nr. 5. (Mai.) (Lemont, Ill., Argonne Nat. Lab.) Die Messungen wurden nach einem Parallelplattenverfahren mit einem Abstand von etwa 0,5 mm zwischen warmer und kalter Platte durchgeführt. Abstand und Fläche der Platten wurden unter Versuchsbedingungen mit einem Kapazitätsmeßverfahren bestimmt; hierdurch kann auf feste Bauelemente zwischen den Platten verzichtet werden. Zur Verminderung der Strahlung wurden die versilberten Flächen hochglanzpoliert; sie wurde als Korrektur nach Messungen mit evakuierter Zelle berücksichtigt. Als Unsicherheit wird mit Ausnahme der höheren Drucke 0,5 % angegeben.
- 8379 K. P. Srivastava. Force constants for like molecules on exp-six model from thermal conductivity. Indian J. Phys. 31, 404—414, 1957, Nr. 8. (Aug.) (Calcutta, Cultivation Sci., Indian Ass.) Nach kürzlich von Kannuluik und Carman mitgeteilten experimentellen Wärmeleitfähigkeiten einiger Edelgase wurden die Potentialparameter des Lenard-Jones bzw. des modifizierten Buckingham-Modells bestimmt, mit den gewonnenen Werten Zähigkeit, Diffusion und der zweite Virialkoeffizient berechnet und mit experimentell bestimmten Werten verglichen. Theorie und Experiment stimmen befriedigend überein.
- 8380 G. K. White and S. B. Woods. Thermal conductivity of solid argon at low temperatures. Nature, Lond. 177, 851—852, 1956, Nr. 4514. (5. Mai.) (Ottawa, Can., Nat. Res. Counc., Div. Pure Phys.) Die Wärmeleitfähigkeit festen Argons steigt nach Messungen der Vff. bis zu 7°K mit T² an, hat dort ein Maximum von 0,045 Watt/cm Grad und fällt nach höheren Temperaturen hin wieder ab. Oberhalb 15°K ist die Leitfähigkeit angenähert darzustellen durch (0,28/T) Watt/cm Grad. Methode und Ergebnisse sollen später ausführlicher beschrieben werden.
- 8381 David A. Ditmars and Defoe C. Ginnings. Thermal conductivity of beryllium oxide from  $40^\circ$  to  $750^\circ$  C. J. Res. nat. Bur. Stand. 59, 93—99, 1957, Nr. 2. (Aug.) Ein kreisrunder Stab (0.5'') Durchmesser, 6'' Länge) hoher Reinheit und der Dichte 2.62 g/cm³ wurde nach dem Stabverfahren untersucht. Schutzrohr; mehrere elektronisch gesteuerte Schutzheizungen; zwischen Stab und Schutzrohr Aluminiumoxydpulver. Die Gesetzmäßigkeit der Wärmeverluste für Abweichungen der Schutzheizungen vom idealen Zustand wurde eingehend untersucht und diskutiert, die thermische Ausdehnung des Probekörpers berücksichtigt. Unsicherheit  $\pm$  3%. Aus der Tabelle: Bei 30°C Wärmeleitfähigkeit 2,155 Watt/cm Grad;  $100^\circ$ C: 1,581;  $300^\circ$ C:0,845;  $500^\circ$ C:0,541;  $700^\circ$ C:0,406.

Bode.

8382 H. Glaser. Neuere Ergebnisse wärmetechnischer Grundlagenforschung. Chem.-Ing.-Tech. 29, 176—186, 1957, Nr. 3. (März.) (S. B.) Zusammenfassender Bericht über die Ergebnisse mehrerer Forschungsaufgaben. Im einzelnen: Wärmeübergang und Druckabfall im rauhen Rohr; Einfluß von Schmutzschichten im Rohr auf den Wärmeübergang; Wärmeübergang und Druckverlust bei Linsenrohren; Einfluß des Staubgehaltes in Gasen auf den Wärmeübergang; Strömungsverhalten von Rieselfilmen.

8383 F. Boesehoten and E. F. M. van der Held. The thermal conductance of contacts between aluminium and other metals. Physica, 's Grav. 23, 37-44, 1957, Nr. 1. (Jan.) (Den Haag, Reactor Centrum.) Der Wärmefluß durch metallische Kontakte wurde gemessen; hierbei wurde der Raum zwischen den Metallflächen mit Luft, Helium oder Wasserstoff bei Drucken von 1 bis 750 Torr gefüllt, gelegentlich auch mit Öl. Bei allen Experimenten betrug die Temperatur der Kontaktstelle 150°C. — Im Einklang mit Messungen von Weills und Ryder scheint bei kleinem Kontaktdruck der Wärmetransport vornehmlich durch das Gas zu erfolgen, während mit steigendem Kontaktdruck mehr und mehr die metallische Leitung überwiegt. — Nach der Holmschen Kontakttheorie wurden Größe und Zahl der Kontaktbrücken abgeschätzt; auf Grund von Wärmeflußund Härtemessungen ergab sich ein durchschnittlicher Kontaktradius von etwa 30 μ mit etwa 100 solcher Kontaktstellen je cm² bei einem Kontaktdruck von 35 kp/cm2. — Der Kontaktdruck hat geringen Einfluß auf die Größe der Kontaktstelle, deren Anzahl hingegen wächst proportional mit dem Kontaktdruck. Oberhalb eines gewissen Druckes beginnen die Kontaktstellen ineinander zu zerfließen, ihre Anzahl nimmt ab. — Darüber hinaus scheint die Größe der Kontaktbrücken unabhängig vom verwendeten Metall zu sein, da die erwähnten 30 µ für Aluminium, Uran, Stahl, Kupfer, Nickel und Graphit unter verschiedensten Versuchsbedingungen gefunden wurden. Diese Unabhängigkeit ermöglicht eine Abschätzung des Wärmedurchganges bei willkürlichem Kontaktmaterial.

8384 D. S. Johnson. Velocity, temperature, and heat-transfer measurements in a turbulent boundary layer downstream of a stepwise discontinuity in wall temperature. J. appl. Mech. 22, 2—8, 1957, Nr. 1. (März.) (Whippany, N. J.) Es wurden die Profile der mittleren Strömungsgeschwindigkeit und der mittleren Temperatur in der turbulenten Grenzschicht einer geheizten Platte gemessen, die in eine kältere Kanalwand eingesetzt war. Strömungsgeschwindigkeit der Außenströmung 7,6 m/s. Länge der Platte 1,8 m. Temperatur der Platte 15°C über der Temperatur der Außenströmung. Dicke der Geschwindigkeitsgrenzschicht am Plattenende 13 cm. Während sich die Geschwindigkeitsprofile in der bekannten Weise durch eine einzige Funktion einer geeignet gewählten dimensionslosen Variablen darstellen ließen, zeigten die Temperaturprofile keine Ähnlichkeit. Aus den Profilen wurden die Reibungsbeiwerte und Stanton-Zahlen längs der Platte berechnet.

8385 E. R. G. Eckert and T. F. Irvine jr. A new method to measure Prandtl number and thermal conductivity of fluids. J. appl. Mech. 24, 25—28, 1957, Nr. 1. (März.) (Minneapolis.) Unter gewissen leicht realisierbaren Voraussetzungen besteht ein gut bekannter Zusammenhang zwischen der Prandtl-Zahl Pr =  $\eta c_p / \lambda$  eines Gases und dem Rückgewinnungsfaktor  $\mathbf{r} = (\mathbf{T_r} - \mathbf{T})/(\mathbf{T_t} - \mathbf{T})$ , mit dem sich die Wandtemperatur  $\mathbf{T_r}$  eines Körpers in einer stationären Strömung des betreffenden Gases unter laminarer Grenzschicht bei gegebener statischer Temperatur T und Stautemperatur  $\mathbf{T_t}$  einstellt. Es besteht also die Möglichkeit, Pr durch Messung von r zu bestimmen statt wie bisher durch Messung der dynamischen Zähigkeit  $\eta$ , der spezifischen Wärme  $c_p$  bei konstantem Druck und der Wärmeleitzahl  $\lambda$ . Es wird eine Anordnung zur Messung des Rückgewinnungsfaktors r eines axial überströmten Drahtes beschrieben. Die Anordnung wurde in Luft bei  $15 < \mathbf{T_t}/^{\circ}\mathbf{C} < 180$  und Atmosphärendruck erprobt. Vff. vermuten, daß sich mit dieser Anordnung eine genauere Bestimmung von Pr und damit auch von  $\lambda$  bei höheren Temperaturen vornehmen läßt als bisher.

8386 E. R. G. Eckert und T. F. Irvine. Ein neues Verfahren zum Messen der Prandtlzahl und der Wärmeleitzahl von Gasen. Forsch. Ing. Wes. (B) 23, 91—94, 1957, Nr. 3. (Univ. Minnesota, Minneap., Wärmeüberg. Lab.) Deutsche Übersetzung der vorst. referierten Veröffentlichung.

8387 A. G. Ostroumov and G. A. Ostroumov. On thermoelectric convection. Soviet Phys., Tech. Phys., 4, 610—614, 1956, Nr. 3, (Febr.) (Engl. Übers. aus: J. tech. Phys., Moscow 26, 636, 1956, Nr. 3, März.) Der von einem elektrisch geheizten Draht aufsteigenden Luftströmung überlagert sich ein elektrischer Wind, wenn an den Draht eine hinreichend hohe Spannung gegen eine darunter angebrachte

an den Draht eine hinreichend hohe Spannung gegen eine darunter angebrachte Platte angelegt wird. Schlierenaufnahmen der Luftströmung, Messungen der Strömungsgeschwindigkeit am Draht mit dem Draht als Hitzdrahtanemometer und Messungen des elektrischen Stromes zwischen Draht und Platte zeigten, daß der elektrische Wind nur dann auftritt, wenn ein Koronastrom fließt. Die vermutete thermoelektrische Konvektion allein infolge der Änderung der Dielektrizitätskonstanten der Luft mit der Temperatur wurde nicht beobachtet.

Oertel.

Bd. 37, 8

- 8388 H. Geisel. Die Hydrodynamik des wassergekühlten Kupferrohres für Induktionsspulen. Elektrotech. u. Maschinenb. 73, 553—557, 1956, Nr. 24. (15. Dez.)
- 8389 J. P. Llewellyn and T. Smith. The thermal expansion of iron ditelluride. Proc. phys. Soc. Lond. (B) 70, 1113—1122, 1957, Nr. 12 (Nr. 456 B). (1. Dez.) (Aberdeen, Univ., Marischal Coll.) Röntgenographisch sind die orthorhombischen FeTe<sub>2</sub> und FeTe<sub>2</sub>, zwischen 17 und 550°C untersucht worden (Pulververfahren). Beim erstgenannten sind die Grüneisenschen Beziehungen erfüllt; nicht befriedigend ist die Theorie von Grüneisen und Goens. Aus einem Vergleich mit FeSb<sub>2</sub> wird das Vorhandensein zusätzlicher Bindungen Metalloid-Metalloid bei FeSb<sub>2</sub> wahrscheinlich. Der Unterschied FeTe<sub>2</sub> und FeTe<sub>2</sub>, kann nicht durch zusätzliche kovalente Bindungen erklärt werden, vielmehr ist er in dem Anwachsen des ionischen Charakters der Bindungen, assoziiert mit Fehlstellen in der Te-reicheren Zusammensetzung, zu vermuten.
- 8390 Peter Hidnert. Thermal expansion of some nickel alloys. J. Res. nat. Bur. Stand. 58, 89—92, 1957, Nr. 2. (Febr.) (Washington.) Untersucht wurden nach einem mikrometrischen Verfahren (HIDNERT-SONDER, 1950) die Legierungen: Mg-Ni, Hoskins Legierung 667, Inconel, Evanohm, Monelmetall, M-M-M-Legierung, Illium-Legierung und Waspalloy, im Temperaturbereich von 20 bis 1000°C. Unregelmäßiges Verhalten trat lediglich bei Inconel während des ersten Erhitzens bei 700°C auf. Im Bereich 20 bis 300°C liegen die Koeffizienten zwischen 13,1 und 15,5. 10<sup>-6</sup> je °C. Zum Schluß wird ein Diagramm gezeigt, aus dem der Einfluß zusätzlicher Elemente zu Ni-Cr-Legierungen auf die Wärmeausdehnung zu entnehmen ist.
- 8391 R. A. Flinn, W. E. Wallace and R. S. Craig. Volume-temperature relationships in magnesium-cadmium alloys. I. Thermal expansivities in the order-disorder range. II. Kinetics of the order-disorder transformation in MgCd<sub>3</sub>. J. phys. Chem. 61, 234—236/236—239, 1957, Nr. 2. (Febr.) (Pittsburgh, Penn., Univ., Dep. Chem.) Volumenausdehnungsmessungen sind pyknometrisch (Einsetzen der Probestückchen in Flüssigkeit) durchgeführt. Aus Vergleich dieser mit röntgenographisch gefundenen Werten wird ein geringes prozentisches Anwachsen der Gitterleerstellen bei steigender Temperatur gefunden. Die üblichen Erklärungen über das Verhalten der Leerstellen reichen nicht aus. Wahrscheinlich müssen innere Spannungen angenommen werden. Aus Versuchen mit MgCd<sub>3</sub> ergibt sich, daß der Übergang Ordnung-Unordnung ein Prozeß erster Ordnung ist und von der thermischen Vorgeschichte abhängt.
- 8392 M. Munakata and H. Namikawa. A few devices in measurement of coefficient of linear thermal expansion of glass and plastics. Bull. electrotech. Lab., Tokyo

1958

(jap.) 21, 214—215, 226, 1957, Nr. 3. (Orig. jap. m. engl. Zfg.) Relativ zu Quarz (Spiegelsystem) wird die Wärmeausdehnung gemessen. Ein doppelwandiges Gefäß für den Methylen-Chlorid-Siedepunkt (+ 39,95°C) wird angegeben.

8393 V. Heine. The thermodynamics of bodies in static electromagnetic fields. Proc. Camb. phil. Soc. 52, 546—552, 1956, Nr. 3. (Juli.) (New Zealand, Univ. Otago, Phys. Dep.) Das thermodynamische Verhalten von Körpern in statischen Feldern wurde von Guggenheim (Thermodynamics, Amsterdam 1949, Kapitel 13) zurückgeführt auf die tatsächlich in ihnen vorhandenen Feldstärken. Hier wird die praktisch wichtige Frage erledigt, wie sich jene Ergebnisse ausdrücken lassen durch die von außen angelegten Felder, darunter auch die von permanenten Magneten.

8394 W. B. Riesenfeld and K. M. Watson. Equation of state of gases and liquids at low temperatures. Phys. Rev. (2) 108, 518-536, 1957, Nr. 3. (1. Nov.) (Madison, Wisc., Univ., Dep. Phys.) Vff. wenden die Methoden der quantenmechanischen Vielkörper-Störungsrechnung auf die Bestimmung der Zustandsgleichung von Gasen und Flüssigkeiten bei tiefen Temperaturen an. Sie benutzen dabei das Verfahren des "nächsten Nachbarn", ein Spezialfall von Brueckners Methode des "verbundenen Haufens" ("linked cluster"). Kondensation, Mischphasen, kritischer Punkt und kritische Temperatur werden behandelt. Es wird gezeigt, daß schon die Näherung niedrigster Ordnung eine physikalisch vernünftige Theorie dieser Erscheinungen liefert. Spezielle Rechnungen befassen sich mit dem Zustand ober- und unterhalb der kritischen Temperatur, und es wird eine Beschreibung kollektiver Erscheinungen in einem quantenmechanischen System gegeben. Kallenbach.

8395 A. Giacalone. A quantity analogous to Trouton's constant. Nature, Lond. 178, 1246-1247, 1956, Nr. 4544. (1. Dez.) (Catania, Univ., Ist. Chim. Fis.) VAN DER WAALS hat für die Dampfdruckkurve die Beziehung ln (pc/p) = A (Tc - T)/T, in der p<sub>e</sub> und T<sub>e</sub> sich auf den kritischen Punkt beziehen, abgeleitet und für A den allgemein gültigen Wert 6,9 berechnet. Aus der Gleichung von CLAU-SIUS-CLAPEYRON ergibt sich weiterhin für niedrige Dampfdrücke mit der molaren Verdampfungswärme  $\lambda$  und der auf 1 Mol bezogenen Gaskonstanten R  $A = \lambda$ RT<sub>c</sub>, woraus die Verwandtschaft dieser Größe mit der Troutonschen Konstanten zu erkennen ist. Aus einer für das Molvolumen der Flüssigkeit und ihre Oberflächenspannung geltenden Beziehung errechnet sich A zu 6,5. Wendet man die CLAUSIUS-CLAPEYRON sche Gleichung in ihrer allgemeinen Form an, dann erhält man für eine beliebige Temperatur T  $AT_c/T = \lambda/p\Delta v$ , wobei  $\Delta v$  die Zunahme des Molvolumens bei der Verdampfung bedeutet. Für die Siedetemperatur Te folgt hieraus  $\lambda \approx 10 \cdot \text{p} \, \Delta \text{v}$ , d. h. die Verdampfungswärme ist rund 10 mal so groß wie die bei der Verdampfung geleistete äußere Arbeit. Hierbei gilt schließlich auch  $12 \cdot \Delta v \approx T_a$ .

8396 Lang S. Dzung. Thermostatische Zustandsänderungen des trockenen und des nassen Dampfes. Z. angew. Math. Phys. 6, 207—223, 1955, Nr. 3. (25. Mai.) (Baden.)

8397 Ernst Terres und Alexander Doerges. Zur Kenntnis der Schmelzdiagramme binärer Systeme von aromatischen Kohlenwasserstoffen mit selektiven Lösungsmitteln und der Bildung von Molekülverbindungen. Brennst Chemie 37, 385-389, 1956, Nr. 23/24. (12. Dez.) (Karlsruhe, T. H.)

8398 K. A. Cooper and J. G. Watkinson. The supercooling of aqueous hydrogen peroxide. Trans. Faraday Soc. 53, 635-641, 1957, Nr. 5 (Nr. 413) (Mai.) (London, Min. Supply, Direct. Mater. Explos. Res. Dev.) Weidemann.

- 8399 C. H. McLellan. An investigation of the melting of bodies due to aerodynamic heating. Trans. Amer. Soc. mech. Engrs 77, 727—733, 1955, Nr. 5. (Juli.) (Langley Field. Va., Langley Aeronaut. Lab., NACA., Hypersonic Tunnel Sec.)
- 8400 Helmut E. Drechsel. Modified Hershberg melting point apparatus. Analyt. Chem. 29, 859—860, 1957, Nr. 5. (Mai.) (Philadelphia, Smith, Kline French Labs.)
- 8401 D. A. Craw and J. L. Rogers. The melting point and magnetic susceptibility of zinc chloride. J. chem. Soc. 1956, S. 217, Jan. (Ottawa, Nat. Res. Counc., Div. Appl. Chem.)

  V. Weidemann.
- 8402 L. A. Ramdas and S. Narasimhan. Effect of temperature on the efficiency of monomolecular films in suppressing evaporation. J. sci. industr. Res. (A) 16, 357—358, 1957, Nr. 8. (Aug.) (New Delhi, Nat. Phys. Lab., Heat Power Div.) Die Verdampfung aus einer Wasseroberfläche, die mit einem Film von Cetylalkohol bedeckt ist, nimmt mit steigender Temperatur zu und erreicht bei 60° 87% des normalen Wertes, während die Verdampfung bei 20°C nur 40% beträgt.

  Brukner.
- 8403 R. P. Seward. The lowering of the freezing point of sodium hydroxide on addition of salts. J. Amer. chem. Soc. 77, 5507—5508, 1955, Nr. 21. (5. Nov.) (University Park, Penn., Penn. State Univ., Dep. Chem.)
- 8404 \*Rudolf Jaeckel und Franz Gross. Die Löslichkeit von Gasen in schwerflüchtigen organischen Flüssigkeiten. Forsch. Ber. Wirtsch.-Verkehrs-Min. Nordrh.-Westf. Nr. 404, 1957, 34 S. mit 17 Abb. Westdeutscher Verlag, Köln und Opladen. 11,50 DM.

  H. Ebert.
- Sigemaro Nagakura. Study of metallic carbides by electron diffraction. I. Formation and decomposition of nickel carbide. J. phys. Soc. Japan 12, 482-494, 1957, Nr. 5. (Mai.) (Tokyo Inst. Technol., Oh-okayama, Meguro.) Durch Aufdampfen hergestellte Ni-Folien (200 · · · 300 Å) wurden im CO-Gasstrom bei Temperaturen bis 500°C zu Ni<sub>3</sub>C karburiert. Andere Karbide traten dabei nicht auf. Die Formierung wurde stufenweise durch Elektronenbeugungsaufnahmen verfolgt. Gegenüber Röntgenbeugungsbildern, aus denen die hexagonal dichteste Packung der Ni-Atome im Karbid bekannt ist, machen sich hier auch die C-Atome in einem Übergitter bemerkbar. Danach muß für NigC auf eine vergrößerte Elementarzelle mit  $a = \sqrt{3} \cdot 2.628 \, \text{Å}$ ,  $c = 3 \cdot 4.306 \, \text{Å}$  geschlossen werden. — Das Karbid bildet sich am raschesten bei ca. 350°C. Oberhalb 500°C ist nur Abscheidung von amorphem C zu beobachten. Im Vakuum zersetzt sich NieC rapide bei einer kritischen Temperatur nahe 431°C, in H. dagegen erfolgt zwischen 400 und 500°C nur eine langsame thermische Zersetzung, keine Hydrierung. — Aus Ni-Einkristallfolien (auf NaCl-Spaltflächen aufgedampft) formiert sich Ni<sub>3</sub>C (offenbar infolge erschwerter C-Diffusion) erheblich langsamer und bis zu kleinen Kristallitgrößen auf der Ni-Unterlage orientiert: Ni<sub>3</sub>C(001) || Ni(111), Ni<sub>3</sub>C(100) ||, Ni(101). Bei Zersetzung des Karbids zeigt dann das Elektronenbeugungsbild, daß das restliche Ni-Gitter die alte, orientierte Anordnung auf der Ni-Unterlage annimmt. Das Ni-Gitter bildet sich demnach bei der Aufnahme und Abgabe der C-Atome in relativ definierter Weise aus einem kubisch flächenzentrierten in ein hexagonal dichtestes um und zurück. Für den Mechanismus dieser Umwandlung wird ein Schema von Netzebenengleitungen aufgestellt und diskutiert. Niehrs.
- 8406 F. J. Weinberg. The thickness of laminar flames in pre-mixed reactants: optical considerations. Proc. roy. Soc. (A) 243, 107—118, 1957, Nr. 1232. (10. Dez.) (London, ImperialColl., Dep. Chem. Engng.) Die bei der Definition der Dicke der Brennzone einer Flamme und ihrer Messung auftretenden Probleme werden

besprochen. Im besonderen verursacht die Krümmung der von der Brennzone ausgehenden Lichtstrahlen infolge der Brechungsindexgradienten in verschiedenen heißen Gasgebieten eine scheinbare Verbreiterung des Brennzonenbildes, die für eine unendlich dünne Brennzone berechnet wird. Vergleich mit Flammenphotographien zeigt, daß die mit dem Eigenlicht der Flamme beobachtete Breite der Brennzone bei Atmosphärendruck allein durch diesen Effekt vorgetäuscht wird. Wahre Flammendicken können entsprechend der verschiedenen Definitionen nach der Schlierenmethode aus der Ablenkung von Fremdlicht in der Flamme bestimmt werden. Hierfür geeignete Anordnungen werden besprochen und bei einfachen Flammenformen experimentell angewandt und ausgewertet.

Methfessel.

8407 W. Taylor. The reaction mechanism in the detonation of solid high explosives. Disc. Faraday Soc. 1956, Nr. 22, S. 172—181, 212—226. (Stevenston, Ayrshire, Imp. Chem. Industr., Ltd., Nobel Div., Res. Dep.) Es wird ein Überblick über die Mechanismen der chemischen Reaktion in oder hinter der Stoßwellenfront, die einen hochexplosiven Stoff durchläuft, gegeben. Es wird die Hypothese betrachtet, daß diese Reaktionsmechanismen auch vor dem Eintreffen einer Stoßwelle wirksam sind und die Empfindlichkeit der Sprengstoffe gegen Stoß und Reibung und die Übertragung der Detonation von einem Primärsprengstoff bestimmen. Für drei Reaktionsmechanismen wird dies für möglich gefunden. Zur Erklärung werden Explosionsdaten von Sprengstoffen gleicher Zusammensetzung aber verschiedener Mischungsverhältnisse betrachtet. Zobel.

8408 Paul A. Giguère. Inhibition by hydrogen peroxide of the second explosion limit in hydrogen-oxygen mixtures. J. Amer. chem. Soc. 79, 5073—5074, 1957, Nr. 18. (20. Sept.) (Quebec, Canada, Laval Univ., Dep. Chem.) vom Berg.

8409 J. Melxner. Zur statistischen Thermodynamik irreversibler Prozesse. Z. Phys. 149, 624-646, 1957, Nr. 5. (25. Nov.) (Aachen, Rhein.-Westf. T. H., Inst. theor. Phys.) Die Methoden der Thermodynamik irreversibler Prozesse werden auf irreversible GIBBsche Gesamtheiten angewandt, die damit an die Stelle von Systemen treten, die eine Brownsche Bewegung erleiden. Abgeleitet werden die KRAMERS sche Gleichung, aus ihr die SMOLUCHOWSKISCHE Diffusionsgleichung (ohne die Voraussetzung konstanter Koeffizienten Lik) sowie allgemeinere Gleichungen, die das Verhalten dieser Gesamtheiten beschreiben. Mittels des eingeführten Prinzips für gehemmte Vorgänge lassen sich die Übergangswahrscheinlichkeiten in einen mechanischen und einen stochastischen Anteil separieren. Beschreibt man den Zustand der Systeme durch diskrete gerade und ungerade innere Variable, so erkennt man die CASIMIRschen Koeffizienten der phänomenologischen Beziehungen unmittelbar als die Matrixelemente eines mechanischen (Poissonschen Klammer-) Operators, während sich die Onsagerschen Beziehungen als Folge des Prinzips des detaillierten Gleichgewichts ergeben, das für den stochastischen Anteil gilt. Die Entwicklung der Verteilungsfunktion nach einem geeigneten Orthogonalsystem erlaubt schließlich - wie an einem Beispiel erläutert -, die Relaxationseigenschaften gealterter Systeme in einfacher Weise aus den Differentialgleichungen für die Verteilungsfunktion zu gewinnen.

8410 Helmut G. Reik. Die Thermodynamik irreversibler Prozesse als Näherung der Enskogschen Gastheorie. I. Einkomponentensysteme. Z. Phys. 148, 156—176, 1957, Nr. 2. (2. Okt.) (Aachen, Rhein.-Westf. T. H., Inst. theor. Phys.) Nach ausführlicher Einführung in die Enskogsche Lösungsmethode der Boltzmannschen Fundamentalgleichung wird die Entropiebilanz in nullter, erster und zweiter Näherung aufgestellt. Im Gegensatz zur entsprechenden Behandlung

durch Prigogine (Ber. 29, 961, 1950) werden dabei auch innere Freiheitsgrade des Einkomponentengases zugelassen, zunächst ohne, dann aber auch mit Relaxationserscheinungen. In beiden Fällen ergibt sich, daß die thermodynamische Beschreibung irreversibler Prozesse solange gleichwertig ist der kinetischen, wie diese mit Enskogs erster Näherung auskommt, daß aber die zweite Enskogsche Näherung den Rahmen der thermodynamischen Behandlung irreversibler Prozesse übersteigt.

- 8411 Helmut G. Reik. Die Thermodynamik irreversibler Prozesse als Näherung der Enskogschen Gastheorie. II. Mehrkomponentensysteme. Z. Phys. 148, 333—354, 1957, Nr. 3. (8. Mai.) (Aachen, Rhein.-Westf. T. H., Inst. theor. Phys.) In derselben Weise wie vorher für eine einzige Komponente (vorst. Ref.) wird hier die kinetische Entropie-Bilanz für ein zweikomponentiges Gas ohne und mit chemischen Reaktionen diskutiert. Auch dahei erweist sich die erste Enskogsche Näherung als gleichwertig der Thermodynamik irreversibler Prozesse, die zweite jedoch nicht. Da es auch bei mehrkomponentigen Gasen nur auf solche Prozesse ankommt, die bereits in zweikomponentigen auftreten, überträgt sich dieses Ergebnis auf beliebige Gasmischungen. Da bei der Herleitung das modellabhängige Stoßintegral nicht explizit benutzt wird, gilt es aber nicht nur für Gase, sondern für alle Stoffe, deren Kinetik sich durch Gleichungen vom Typ der Boltzmannschen beschreiben läßt.
- 8412 W. F. Cammerer. Messung des Feuchtigkeitsgehaltes durch elektrische Verfahren. Allg. Wärmetech. 7, 219—225, 1956, Nr. 10. Zur Messung des Feuchtigkeitsgehaltes von Baustoffen und Wänden eignen sich Kapazitätsmeßverfahren unter Verwendung von Hochfrequenz (10 MHz). Die Luftschichten zwischen Elektroden und Wandoberflächen müssen besonders beachtet werden.

H. Ebert.

- 8413 L. Prins. Untersuchung eines neuartigen Taupunktmeβgerätes. Kältetechnik 7, 265—270, 1955, Nr. 9. (Sept.) (Göttingen, Max-Planck-Inst. Strömungsf., Forschungsgr. Wärme- u. Kältetech.) V. Weidemann.
- 8414 F. Patat und J. Hartmann. Zur Morphologie der Gefriertrocknung. Angew-Chem. (A) 69, 197—198, 1957, Nr. 6. (21. März.) (München, T. H., Inst. chem. Technol.) Bei der Gefriertrocknung von Lösungen fadenförmiger und kugel. förmiger hochpolymerer, niedermolekularer Zucker und sogar anorganischer Salze wurden Gerüststrukturen von teilweise bemerkenswerter Festigkeit erhalten. Das makroskopische Bild der Trockensubstanzen wird bei allen Stoffgruppen durch die Textur des ausfrierenden Lösungsmittels bestimmt. (Zfg.)

  H. Ebert.
- 8415 Kiyoshi Okada and Masumi Ishikawa. Selected ordinates method in spectroradiometry for Planckian radiators. I. Bull. Electr. Lab. Denkisik. iho (jap.) 19, 334—338, 391, 1955, Nr. 5. (Mai.) (Orig. jap. m. engl. Zfg.) Die in der Kolorimetrie weit verbreitete Methode der ausgewählten Ordinaten wird auf den unsichtbaren Spektralbereich ausgedehnt. Dadurch wird die Berechnung der Gesamtenergie für Reflexion oder Durchlässigkeit durch einfache Summation von Werten der Probencharakteristik  $f(\lambda)$  bei bestimmten Wellenlängen ermöglicht, ohne das Produkt  $f(\lambda)$  mit den Werten der Planck schen Strahlungsformel  $E(\lambda,T)$  zu bilden. Die Ergebnisse, die sich aus der numerischen Integration einer Differentialgleichung ergeben haben, sind als Funktion von  $x=c_2/\lambda \cdot T$  dargestellt. 25 ausgewählte Ordinatenwerte für verschiedene Temperaturen sind tabelliert.
- 8416 D. K. C. MacDonald. Brownian movement. Phys. Rev. (2) 108, 541—545, 1957, Nr. 3. (1. Nov.) (Ottawa, Can., Nat. Res. Counc., Div. Pure Phys.) Vf.

entwickelt eine allgemeine Analysis der Brownschen Bewegung, die nicht auf Systeme mit linearem Relaxationsmechanismus beschränkt ist. Ins einzelne gehende Resultate ergeben sich unter der Voraussetzung mäßiger Nichtlinearität, welche bei den meisten physikalischen Problemen gegeben ist. Als Anwendungsbeispiel wird das Modell des Metalloxyd-Gleichrichter-Kontaktes von Mott und Gurney behandelt.

Kallenbach.

- 8417 A. Dvoretzky, P. Erdös, S. Kakutani and S. J. Taylor. Triple points of Brownian paths in 3-space. Proc. Camb. phil. Soc. 53, 856—862, 1957, Nr. 4. (Sept.) (Jerusalem, Hebrew Univ.; New Haven, Yale Univ.; Birmingham, Univ.)
- 8418 E. T. Jaynes. Information theory and statistical mechanics. II. Phys. Rev. (2) 108, 171-190, 1957, Nr. 2. (15. Okt.) (Stanford Univ., Calif., Dep. Phys.) In einer früheren Arbeit hatte Vf. die Voraussage der Eigenschaften des thermodynamischen Gleichgewichtes als Form einer statistischen Aussage auf Grund des Shannonschen Informationsmaßes entwickelt. Diese Methode wird in der vorliegenden Arbeit auf den Formalismus der Dichtematrix erweitert, wodurch die Behandlung zeitabhängiger Phänomene ermöglicht wird. Es wird ein Prinzip der "statistischen Ergänzung" abgeleitet, nach welchem die empirisch nachprüfbaren Wahrscheinlichkeiten der statistischen Mechanik mit den unvollständigen Vorhersagen korrespondieren. Der zweite Hauptsatz der Thermodynamik und gewisse irreversible Prozesse werden behandelt. Es wird gezeigt, daß die Dichtematrix im allgemeinen nicht alle für die Vorhersage des Verhaltens notwendigen Informationen enthält. Im Falle von Systemen, die durch Schwankungserscheinungen gestört sind, erfordert die strenge Theorie stochastische Gleichungen. Eine allgemeine Theorie der irreversiblen Prozesse kann daher nicht auf Differentialgleichungen basieren, die auf zeitproportionalen Übergangswahrscheinlichkeiten beruhen. Trotzdem stellen solche Gleichungen oft Kallenbach. nützliche Näherungen dar.
- 8419 Sid Deutsch. A note on some statistics concerning typewritten or printed material. Trans. Inst. Radio Engrs. N. Y. IT-3, 147—148, 1957, Nr. 2. (Juni.) (Brooklyn, N. Y., Polytech. Inst.) An einer Probe eines gedruckten Textes wird erläutert, daß es durch eine geeignete Codierung grundsätzlich möglich sein muß, bei gedrucktem oder maschinengeschriebenem Informationsmaterial ca. 50 % am Zeit-Bandbreite-Produkt einzusparen.
- 8420 Helmut G. Reik. Reibungsdrucktensor, Diffusions- und Wärmestrom in stark inhomogenen Gasen. Z. Naturf. 12a, 663—665, 1967, Nr. 8. (Aug.) (Aachen, T. H., Inst. theor. Phys.) Auf Zwei-Komponenten-Gase wird das Verfahren angewandt, das durch geeignete Mittelbildung über die Enskogsche Integralgleichung für die Störfunktion zweiter Näherung den Wärmefluß, den Reibungsdruck-Tensor und (hier auch) das modifizierte Diffusionsgesetz zu berechnen gestattet.
- 8421 Gustav Schweikert. Kinetische Theorie des Ausströmens von Gasen aus Druckgefäßen. Explosivstoffe, Mannh. 5, 177—183, 1957, Nr. 8. (Aug.) Zum Abschluß der ausgeführten Rechnungen wird der gaskinetische Effusionsvorgang mit der thermodynamischen Entspannung nach Poisson verglichen und die Problematik des Versuches von Clément und Désormes zur Bestimmung des Verhältnisses der spezifischen Wärmen aufgezeigt. Schall.
- 8422 E. G. D. Cohen, M. J. Offerhaus, J. M. J. van Leeuwen, B. W. Roos and J. de Boer. The transport properties and the equation of state of gaseous para- and ortho-hydrogen and their mixtures below 40° K. Physica, 's Grav. 22, 791—815,

1956, Nr. 9. (Sept.) (Amsterdam, Univ., Inst. theor. phys.) Die Viskosität, die Wärmeleitfähigkeit und die Diffusionskoeffizienten sowie der zweite Virialkoeffizient von Para- und Orthowasserstoff und von deren Gemischen werden quantenmechanisch berechnet. Zur Beschreibung der Wechselwirkung von zwei Wasserstoffmolekülen wird hierbei ein kugelsymmetrisches Potentialfeld der Gestalt  $\varphi(\mathbf{r}) = \text{const} \left[ (\sigma/\mathbf{r})^{12} - (\sigma/\mathbf{r})^6 \right]$  zugrunde gelegt, worin r die Entfernung, g den Moleküldurchmesser bedeuten. Im Gegensatz zu früheren theoretischen Ansätzen stimmen die neu berechneten Werte der genannten Transporteigenschaften mit experimentellen Ergebnissen von BECKER und STEEL und von VAN ITTERBEEK und COREMANS gut überein. Insbesondere findet nunmehr auch die Tatsache ihre theoretische Begründung, daß die Viskosität von Parawasserstoff höher ist als die von Orthowasserstoff. Eine bis zu 10 % betragende Abweichung tritt indessen zwischen den rechnerischen und experimentellen Werten des zweiten Virialkoeffizienten auf, was nach Ansicht der Vff. wahrscheinlich auf Abweichungen von der vollen Kugelsymmetrie des Potentialfeldes zurückzuführen Hausen. ist.

8423 J. K. Clarke and A. R. Ubbelohde. Isotope effects in diffusion crosssections for flexible hydrocarbons. J. chem. Soc. 1957, S. 2050—2055, (Mai. (London, S. Kensington, Imp. Coll. Sci. Technol., Dep. Chem. Engng.) V. Weidemann.

## V. Aufbau der Materie

8424 Mirko M. Vojinović. Secondary emission tubes in coincidence circuits. Bull. Inst. Nuclear Sci. "Boris Kidrich", Belgrad 7, 1957, (März.) S. 103—108. (Orig. engl.) (Inst. Nuclear Sci. "Boris Kidrich", Dep. Elect.) Für Triggerstufen mit Sekundäremissionsröhren werden die Impulsformen an Gitter und Dynode angenähert berechnet und die "Schaltzeit" der Anordnung für Steuerimpulse verschiedener Höhe und Anstiegszeit bestimmt und mit dem Experiment verglichen. Die Anwendung in einer Koinzidenzschaltung wird an einem praktischen Beispiel gezeigt.

8425 Dobrivoje T. Jovanović. Fast differential pulse-height analyzer. Bull. Inst. Nuclear Sci., Boris Kidrich", Belgrad 7, 1957, (März.) S. 157—159. (Inst. Nuclear Sci., Boris Kidrich", Elect. Dep.) (Orig. engl.) Kurze Beschreibung eines Einkanal-Impulshöhenanalysators mit einer Auflösezeit von 0,4 \(\mu\), bei dem die Antikoinzidenzstufe durch einen bistabilen Multivibrator gesteuert wird.

- 8426 H. Guillon. Eléments fonctionnels standardisés de l'électronique du Commissariat à l'Energie Atomique. Onde élect. 57, 388—391, 1957, Nr. 361. (Apr.) (Saclay, Centre Etudes Nucl., Serv. construct. élect.) V. Weidemann.
- 8427 M. Huybrechts. Théorie statistique du comptage de particules alpha émises par des désintégrations successives d'éléments radioactifs. Nuovo Cim. (10) 6, 811 bis 831, 1957, Nr. 4. (1. Okt.) (Bruxelles, Inst. Interuniv. Sci. Nucl.)
- 8428 D. Blanc. Influence de la longueur efficace et du diamètre du cylindre sur la courbe de palier des compteurs de Geiger-Müller à parois de verre et graphitage externe. Nuovo Cim. (10) 6, 974—976, 1957, Nr. 4. (1. Okt.) (Toulouse, Fac. Sci., Lab. Phys. Corpuscul.)

  Weiß.

- 8429 E. Florini, R. Giacconi e C. Succi. Una nuova camera di Wilson di grandi dimensioni. Nuovo Cim. (10) 6, 963—973, 1957, Nr. 4. (1. Okt.) (Milano, Univ., Ist. Sci. Fis.) Vff. beschreiben den Aufbau einer großen Wilson-Kammer von mehr als einem m³ Inhalt und einem beleuchteten Volumen von 120 × 114 × 50 cm³ Die Kammer kann sowohl bei Untersuchungen auf dem Gebiet der kosmischen Höhenstrahlung als auch bei Messungen an Beschleunigern verwandt werden. Die Zusatzapparaturen sind so ausgelegt, daß auch ein Betrieb bei Überdruck möglich ist.

  H. M. Weiß.
- 8430 Tsai-Chü. Determination of distortion vectors in nuclear emulsions. Nuovo Cim. (10) 5, 1128—1135, 1957, Nr. 5. (1. Mai.) (Paris, Sorbonne, Fac. Sci.) Die Deformation photographischer Kernspur-Emulsionen wurde durch Messungen der Vielfachstreuung an geneigt verlaufenden Bahnspuren bestimmt. Das Ergebnis ist in guter Übereinstimmung mit den nach anderen Meßmethoden bestimmten Werten.

  H. M. Weiß.
- 8431 S. Biswas, N. Durga Prasad and S. Mitra. Multiple scattering measurements on high energy protons with long cell lengths. Proc. Indian Acad. Sci. (A) 46, 167 bis 181, 1957. Nr. 2. (Aug.) (Bombay, Tata Inst. of Fundament Res.) Bei Untersuchung schneller Teilchen mittels ihrer Spuren in photographischen Schichten stören oft unregelmäßige ("spurious") Streuungen, die durch "Versetzungen" im Schichtmaterial hervorgerufen werden. Daher wurde diese unregelmäßige Streuung bei Protonen von ca. 6 GeV (Berkeley-Bevatron) untersucht. Es zeigt sich, daß sie wesentlich von dem Ort in der Photoschicht abhängt, z. B. schwach ist auf der "Glasseite", stärker jedoch auf der "Luftseite" jeder Schicht. Will man also zwei dicht nebeneinanderliegende Spuren bezüglich der Streuung vergleichen, so dürfen sie das ist das Ergebnis in Richtung der Schichtebene bis zu mindestens 200  $\mu$  auseinanderliegen, senkrecht zu ihr aber höchstens 50  $\mu$ . A. Deubner.
- 8432 F. D. Ryder and H. V. Hardison. Large-sensitive-area portable alpha monitor. Nucleonics 15, 1957, Nr. 7, (Juli.) S. 82. (Aiken, S. Carol., E. I. du Pont de Nemours & Co., Savanna River Lab.) Ein tragbares  $\alpha$ -Warngerät wurde entwickelt mit folgenden Kennzeichen: ZnS(Ag)-Szintillator mit 125 cm² Fläche, zum Lichtschutz mit aluminisiertem Mylar versehen, Gewicht 2,4 kg, Hochspannungsversorgung des Vervielfachers durch Oszillator mit Hg-Zellen und Transistoren, Anzeige durch Strommesser in zwei Bereichen oder Kopfhörer hinter einstufigem Verstärker; Ansprechvermögen 100 Imp./min für Pu-Quelle mit 700 Zerfällen/min, Anzeige nicht empfindlich gegenüber der Lage der Quelle zum Szintillator. W. Schneider.
- 8433 William H. Venable jr. Simple recording gamma-ray spectrometer. Nucleonics 15, 1957, Nr. 7, (Juli.) S. 84—86. (Gainesville, Florida, Univ.) Der Versuchsaufbau eines automatischen Impulshöhenanalysators als γ-Spektrometer unter weitgehender Verwendung kommerzieller Teile wird beschrieben. Er enthält u. a. Szintillationszähler, Einkanaldiskriminator mit Motorenantrieb für Kanalhöhe und -breite (0,7% der ersteren), Integrator. Die Anzeige erfolgt auf einem Oszillographenschirm, der photographiert wird. Dabei stellt die x-Ablenkung die Impulshöhe, die y-Ablenkung die Impulshäufigkeit dar. Kalibrierung und Einschränkungen der Genauigkeit (z. B. durch Verstärkungs- und statistische Schwankungen, Integratorzeitkonstante, kleinen Darstellungsmaßstab, langsame Durchmusterung) werden diskutiert.
- 8434 G. S. Brunson. Transistorized photomultiplier has 0.1-µsec resolution. Nucleonics 15, 1957, Nr. 7, (Juli.) S. 86—87. (Idaho Falls, Idaho, Argonne Nat. Lab.) Ein Szintillationszähler mit einem Transistor am Vervielfacherausgang an Stelle des üblichen Anodenwiderstands wird beschrieben. Die gewählte

Kopplung eliminiert die beim geläufigen Vakuumröhrenverstärker auftretende RC-Konstante. Beim Auftreffen von 1 MeV- $\gamma$ -Strahlen auf einen Pilot B-Szintillator speist der Verstärker ein 0,2 V-Signal in eine 200  $\Omega$ -Last. Die Impulsbreite beträgt 0,1  $\mu$ s. W. Schneider.

8435 Arthur F. Dratz. Well-bottom container improves gamma counting. Nucleonics 15, 1957, Nr. 8, (Aug.) S. 83—85. (Atlanta, Georgia, Veterans Administr. Hospital.) Zur Verbesserung der geometrischen Zählausbeute bei der Messung großer Flüssigkeitsmengen niedriger spezifischer Aktivität wird ein zylindrischer Plexiglasbehälter benutzt, der am Boden eine Einbuchtung zur Aufnahme des NaJ(Tl)-Kristalls enthält. Für Co-60-Messung mittels Impulshöhenanalyse ergeben sich damit folgende Daten: 9 % Energieauflösung der beiden Linien bei 2,5  $\mu$ C in 1 l Flüssigkeit bei enger Fenstereinstellung; 3 % mittlerer Fehler bei 0,005  $\mu$ C in 1 l Flüssigkeit bei weitem Fenster oder Einseitendiskriminierung mit 12 bis 20 min Meßzeit.

8436 H. Wende. Linsengleichung und Bildkurve des Zylinder-Kondensators bei schiefem Ein- und Austritt der Ionenbündel an den Feldgrenzen. Z. Naturf. 12a, 967—970, 1957, Nr. 12. (Dez.) (Mainz, Max-Planck-Inst. Chem.) Die ionenoptische Linsengleichung des Zylinderkondensators wird mittels der Theorie zweiter Näherung auf den Fall schiefen Ein- und Austritts an den Feldgrenzen verallgemeinert. Es werden Angaben über die Lage der Bildkurve und die Eigenschaften eines "Energie-Spektrographen" gemacht.

8437 F. Everling und H. Wende. Die Justierung von Massenspektrographen. Z. Naturf. 12a, 971—973, 1957, Nr. 12. (Dez.) (Mainz, Max-Planck-Inst. Chem.) Am Beispiel des Mattauch-Herzogschen Massenspektrographen wird nachgewiesen, daß eine kleine Abweichung der Dimensionen eines Massenspektrographen von den nach der allgemeinen Mattauch-Herzogschen Theorie berechneten durch eine geeignete Justierung ausgeglichen werden kann. Die zu erfüllenden Gleichungen werden angegeben und ein systematisches Justierverfahren zu ihrer Realisierung beschrieben.

8438 Curt Mileikowsky. A robot device for measurement of angular distributions with high energy resolution. Ark. Fys. 12, 353—357, 1957, Nr. 4. (3. Sept.) Die bei geringen Energiedifferenzen zwischen benachbarten Teilchengruppen erforderliche Auflösung wird erreicht durch ein drehbar angeordnetes, doppeltfokussierendes magnetisches Spektrometer. Dies wird auch für den Monitor benutzt, indem es jeweils zwischen den Messungen auf eine Kontroll-Photoplatte umgeschwenkt wird. Die Schwenkungen des Spektrometers können ausgeführt werden, ohne die Vakuumkammer zu öffnen. Diese besteht aus zwei übereinanderliegenden, gegeneinander drehbaren Teilen, wobei der einfallende Strahl durch eine Öffnung im unteren Teil tritt, die Sekundärteilchen die Kammer durch eine Öffnung im oberen Teil verlassen. Die Bedienung ist weitgehend automatisiert.

8439 A. V. Dubrovin and G. V. Balabina. Use of the mass-spectrometer with an inhomogeneous magnetic field for determining atomic masses. Soviet Res. Phys. 1956, Coll. Nr. 5, S. 5—7. (Engl. Übers. aus: Ber. Akad. Wiss. SSSR 102, 719—721, 1955, Nr. 4.) (S. B.) (USSR, Acad. Sci., S. I. Vavilov Inst. Phys. Probl.) Vff. benutzten ein einfachfokussierendes Massenspektrometer mit inhomogenem Feld zur Präzisions-Massenbestimmung. (S. N. E. ALEKSEEVSKY, G. P. PRUDKOOSKY, G. I. KOSOUROV and S. I. FILIMONOV, Soviet Res. Phys. 1956, Coll. Nr. 5, S. 4—4.) Verwendet wurde ein 180° Feld, mit einem Radius von 152,5 mm, und einem Feldabfall n = —  $\partial H/\partial r \cdot r H = 0.82$ . Der Abstand der Fokussierungspunkte vom Feldrand betrug 450 mm. Mit einer Elektronenstoß-Ionenquelle wurde bei 0,05 mm Spaltbreite und einer Beschleunigungsspannung

von 1960 V ein Halbwerts-Auflösungsvermögen von 11000 erreicht. Die Masse des He³-Atoms wurde zu  $3,016\,986\pm10\cdot10^{-6}$  ME bestimmt. Taubert.

8440 H. Daniel. Prinzip eines Linsenspektrometers mit Enveloppenblenden. Z. Naturf. 12a, 940—941, 1957, Nr. 11. (Nov.) (Heidelberg, Max-Planck-Inst. med. Forschg., Inst. Phys.) Vf. skizziert das Prinzip eines Beta-Spektrometers mit zwei magnetischen Linsen, das es ermöglicht, trotz sphärischer Aberration in jeder Einzellinse im Idealfall die Auflösungsbreite Null bei nichtverschwindender Lichtstärke zu erreichen. Die Elektronen gelangen zunächst in eine stark ablenkende Linse geringer sphärischer Aberration und danach in eine schwach ablenkende Linse starker sphärischer Aberration. Zwischen beiden Linsen und hinter der zweiten Linse befinden sich Blenden, die das Bündel der Elektronen gewünschten Impulses von außen umhüllen. Es werden Formeln für die Lage der Blenden, die zulässige bzw. nötige sphärische Aberration u. ä. angegeben. Wegen des etwas komplizierten Aufbaus empfiehlt sich das Gerät wohl nur dort, wo es bei hoher Auflösung extrem auf die Lichtstärke ankommt, etwa bei einem Paarspektrometer.

8441 Milorad S. Mladjenović. A large permanent magnet beta-ray spectrograph. Bull. Inst. Nuclear Sci. "Boris Kidrich," Belgrad 6, 1956, (März.) S. 53—68. (Orig. engl.) Ausführliche Beschreibung eines großen  $\beta$ -Spektrographen mit permanentem Magneten. Die Fläche der Polschuhe beträgt  $100\times60$  cm², der maximale Bahnradius 44 cm. Als Detektor können wahlweise Photoplatten oder GM-Zähler verwendet werden. R. Fuchs.

8442 F. H. Wells and J. G. Page. A 1000-channel neutron-velocity spectrometer using ferrite data storage. Suppl. Nr. 7 zu Proc. Inst. elect. Engrs (B) 104, 470 bis 482, 1957. (U. K. A. E. A.) Für den Energiebereich 1 bis 1000 eV wurde ein Laufzeitspektrometer konstruiert, dessen elektronischer Teil hier in allen Einzelheiten beschrieben wird. — Ein am Kernreaktor montierter rotierender Verschluß erzeugt Neutronenpakete von 0,25 µs Länge und einer Wiederholungsfrequenz von 1000 Imp/s. Nach Durchdringen der Versuchsprobe gelangen die Neutronen in eine 100 m lange, evakuierte Röhre, an deren Ende ein Szintillationszähler angeordnet ist. Der ZnS-B<sub>2</sub>O<sub>3</sub>-Szintillator hat eine Fläche von 1 m<sup>2</sup>, die mit 50 5"-Photovervielfachern belegt ist. Die Breite des Ausgangsspannungsimpulses beträgt 0,25 µs. Die Neutronen-Zählrate liegt in der Größenordnung 100 Imp/s, im Mittel gelangt also nur alle 10 Verschlußöffnungen ein Neutron in den Detektor. Das Startsignal wird von einer Lichtquelle über einen am Verschluß angebrachten Spiegel einem Photovervielfacher zugeführt, der den 1000-Kanal-Zeitanalysator steuert. Die Kanalbreite ist wählbar zwischen  $0.25 \mu s$ ,  $0.5 \mu s$  und  $1 \mu s$ , jeder Kanal hat ein Speichervermögen von 1000 Impulsen. Als Impulsspeicher dienen Ferrit-Ringkerne. Am Ende des einige Stunden dauernden Experiments kann die gespeicherte Information automatisch auf eine Lochstreifen-Maschine zur Auswertung übertragen werden. Ausführliche Schaltskizzen der einzelnen Apparate-W. Kolb. teile werden angegeben.

8443 Vigo N. Smith. Radioactivity analyzes liquids and gases. Control Engng. 4, 1957, Nr. 8, (Aug.) S. 86—93. 1. Gase: Da sich die Ionisierungsquerschnitte verschiedener Elemente gegenüber  $\alpha$ - und  $\beta$ -Strahlung z. T. beträchtlich unterscheiden, ist eine Analyse durch Messung des Ionisationsstromes in einer mit dem zu untersuchenden Gasgemisch gefüllten Ionisationskammer ohne Schwierigkeiten möglich. Da der totale Ionisierungsquerschnitt von binären Gasgemischen normalerweise keine lineare Funktion der Konzentration der einen Komponente ist, sind vorherige Eichmessungen notwendig. 2. Flüssigkeiten: Gemessen wird die Absorption von  $\beta$ - bzw.  $\gamma$ -Strahlung in den zu untersuchenden Flüssigkeiten.

Daraus können Dichte und Wasserstoffgehalt erschlossen werden. Bei binären Gemischen kann die Dichte besser als auf 0,02 g/l bestimmt werden.

Taubert,

- 8444 Yu. V. Gushchin, L. V. Meltzer, M. L. Tolokonnikov and N. N. Shumilovsky. Utilization of radioactive radiation in automatic control devices. Automat. Telemech., Moscow 13, 814—840, 1957, Nr. 9. (Orig. russ. m. engl. Zfg.) Methoden zur Ausnutzung der Strahlung radioaktiver Stoffe bei automatischen Kontrolleinrichtungen werden untersucht. Die dabei notwendigen Strahlendetektoren und Geräte werden in groben Zügen beschrieben und einige praktische Anwendungsbeispiele gegeben. H. M. Weiß.
- 8445 H. A. Shillibeer and R. D. Russell. The argon-40 content of the atmosphere and the age of the earth. Geochim. et cosmoch. Acta 8, 16—21, 1955, Nr. 1/2 (Toronto, Univ.) Vff. berechnen das Erdalter aus dem A $^{40}$ -Gehalt der Erdatmosphäre zu  $5300\cdot10^6$  Jahren. Dabei werden folgende Voraussetzungen gemacht: Das gesamte A $^{40}$  der Atmosphäre ist radiogen. Es stammt aus dem vulkanischen Gestein, aus dem sich die Kontinente aufbauen und wurde in der Zeit  $t_0$ —t zwischen Erdentstehung und Erstarrung der Erdkruste an die Atmosphäre abgegeben. Der Zeitpunkt t der Erstarrung ist dabei mit  $1500\cdot10^6$  a vor der Gegenwart angenommen.
- 8446 R. E. Folinsbee, J. Lipson and J. H. Reynolds. Potassium-argon dating. Geochim. et cosmoch. Acta 10, 60—68, 1956, Nr. 1/2. (Aug.) (Edmonton, Univ., Dep. Geol.; Berkeley, Calif., Univ., Dep. Phys.) Es werden erste Ergebnisse eines umfangreichen Untersuchungsprogramms mitgeteilt. Durch Anwendung neuester technologischer Erfahrungen auf dem Gebiet der Höchstvakuum-Technik beim Bau eines Spezial-Massenspektrometers und der Apparatur zur Argon-Extraktion konnte die Genauigkeit der Argon-Kalium-Methode weiter gesteigert werden, was sich besonders bei der Datierung geologisch junger Gesteine auswirkt. Der Argon-Gehalt wurde mit der Isotopen-Verdünnungsmethode unter Verwendung von reinem A<sup>38</sup> bestimmt. Die Genauigkeit der Kaliumbestimmung lag bei ±3%, die Genauigkeit des Verhältnisses A<sup>40</sup>/K<sup>40</sup> bei ±5%. Die Ergebnisse von zwölf untersuchten Proben liegen zwischen 67·106 a und 4640·106 a, wobei das Höchstalter von 4640·106 a an einem Meteoriten gemessen wurde.
- 8447 Arthur Belser. Variations in the geomagnetic dipole in the past 15.000 years. J. geophys. Res. 62, 235—239, 1957, Nr. 2. (Juni.) (New York, Univ. Heights.) Diskrepanzen zwischen der Altersbestimmung von archäologischen Proben nach deren Gehalt an radioaktivem C14 und derjenigen nach zuverlässigen anderen Methoden werden auf langfristige Schwankungen des magnetischen Dipolmoments M der Erde zurückgeführt. (Die C14-Häufigkeit wird durch eine ihrerseits wieder von M abhängige - (n, p)-Reaktion zwischen kosmischen Strahlungs-Neutronen und N14-Kernen gesteuert.) Die relativen Momentschwankungen  $\Delta M/M$  lassen sich durch eine empirische Exponentialfunktion ausdrücken. Für einen zwischen rund 5000 bis 15000 a zurückliegenden Zeitraum ergibt sich, daß über mehrere 108 a sich erstreckende M-Änderungen höchstens 10% des M-Mittelwertes (für das betreffende Zeitintervall) betragen haben. Kürzere, insbesondere oszillatorische M-Schwankungen, die sich nicht auf die  $C^{14}$ -Häufigkeit auswirkten, können ein stärkeres Ausma $oldsymbol{\mathfrak{g}}$  erreicht haben. Jedoch erscheinen Umkehrungen des Magnetfeldes der Erde während der verflossenen 15000 a völlig ausgeschlossen, vielmehr hat M grobgesehen einen nahezu konstanten Mittelwert beibehalten. H. G. Macht.

8448 Sait Akpinar. Rapid method for dating nuclear explosions. Nucleonics 15, 1957, Nr. 7, (Juli.) S. 88-89. (Istanbul, Univ., Dep. Exp. Phys.) Zur Datierung

nuklearer Explosionen mittels aus der Luft entnommener Proben radioaktiven Staubs werden gewöhnlich Zerfallskurven verwendet. Hier wurde die Abhängigkeit der  $\beta$ -Absorptionskurve vom Alter des Staubs benutzt, wozu eine empirische Kurve von 16 Staubproben über drei Jahre (1954—56) ausgemessen wurde. Die Datierung verlangt nach Abklingen der Rn- und Tn-Folgeprodukte nur einige Stunden. Der wahrscheinliche Fehler der Methode ist wegen der geringen Aktivität der Proben hoch und wird mit etwa 10 % angegeben.

W. Schneider.

L. Jacob. Some characteristics of a hydrogen-filled electron gun. Proc. 3. Int. Conf. Electron Microsc. London, Roy. Micr. Soc. 1956, S. 628-636. (Liverpool, Univ., George Holt Phys. Lab.) Die Arbeit beschreibt im wesentlichen Raumladungseffekte, die bei Anwesenheit von Wasserstoff (10-6 bis 10-2 Torr) in den üblichen Elektronenstrahlquellen auftreten. Als weiterer Parameter wird der Abstand zwischen Wehnelt-Zylinder und Anode von 1 mm bis 17,6 mm variiert. Die Messungen erstrecken sich auf drei Fragen: 1. Strom-Spannungsmessungen: Dabei zeigt sich der Einfluß positiver Raumladung bei höheren Drucken insofern, als jeweils die gegenüber der Emissions-Einsatzspannung um 30 V positiver gewählte Anodenspannung mit steigendem Druck abnimmt. Die Abhangigkeit des Felddurchgriffs vor der Kathode von dem Anodenabstand zeigt sich ebenfalls in den Messungen. Zwischen Anodenstrom und Anodenspannung wird das Gesetz  $I = kV^n$  bestätigt, der Wert von n hängt nur vom Druck ab und wird zwischen 1,2 bei niedrigem Druck und 1,4 bei hohem Druck angegeben. Die Konstante k erweist sich als druck- und abstandsabhängig. 2. Anwachsen des Stromes mit höherem Gasdruck: Neben einzelnen detaillierten Angaben teilt der Autor mit, daß der Strom unter sonst gleichen Bedingungen proportional zur Quadratwurzel des Druckes zunimmt. 3. Intensitätsverteilung im Überkreuzungspunkt vor der Kathode: Hierbei wird der Überkreuzungspunkt mittels einer Elektronenlinse auf eine Registrieranordnung projiziert. (Der Ref. ist der Meinung, daß die damit erzielten Ergebnisse nur zeigen, daß ein Einfluß der Raumladung auf die Lage des Überkreuzungspunktes vorhanden ist, nicht jedoch auf die Intensitätsverteilung innerhalb des Überkreuzungspunktes.)

8450 J. Coutant, F. Prévot et R. Vienet. Production d'un faisceau continu d'ion de 12 mA. J. Phys. Radium 18, 644—645, 1957, Nr. 11. (Nov.) (Saclay, C. E. N.) Aus einer 20 MHz-Gasentladung in H<sub>2</sub> werden durch einen engen Kanal H-Ionen herausgesaugt und in einem statischen Linsensystem, das eingehend beschrieben wird, gebündelt und beschleunigt.

Methfessel.

8551 M. M. Gabovich and E. T. Kucherenko. The effect of plasma penetration on the focusing of an ion beam. Soviet Phys.-Tech. Phys. 1, 975—982, 1957, Nr. 5. (Engl. Übers. aus: J. tech. Phys. (russ.) 26, 996, 1956, Nr. 5, Mai.) An einer Ionenquelle mit thermischer Kathode (Entladungsgas: Wasserstoff, Druck: etwa 4·10-4 Torr, Entladungsstrom 630 mA, Entladungsspannung 88 V, axiales Magnetfeld 100 bis 200 Gauß, Kanaldurchmesser 3 mm, Gasverbrauch etwa 7 cm³/h, Extraktionslinse nach PIERCE mit Spannungen zwischen 1 und 10 keV, extrahierter Ionenstrom etwa 2,5 mA, Gesamtleistungsbedarf etwa 250 W) wurden Messungen mit beweglichen Sonden durchgeführt und die Kenngrößen des Plasmas in ihrer Ortsabhängigkeit graphisch dargestellt. Die am extrahierten Ionenbündel gemessenen Strom-Spannungskennlinien können durch Veränderungen in der Konfiguration des durch den Kanal hindurchtretenden Plasmas erklärt werden. Daraus folgt, daß die häufig gemachte Annahme einer Raumladungsbegrenzung des extrahierten Ionenstromes nicht experimentell bestätigt werden konnte.

- 8452 Iu. M. Ado and P. A. Cherenkov. Energy distribution of incoherent radiation from synchrotron electrons. Soviet Phys.-Doklady 1, 517—519, 1956, Nr. 5. (Sept./Okt.) (Engl. Übers. aus: Proc. Acad. Sci. USSR 110, 35, 1956, Nr. 1.) (Acad. Sci. USSR, Lebedev Phys. Inst.) Es wird die relative Energieverteilung der Lichtausstrahlung monoenergetischer Elektronen im Synchrotron des Lebedov-Instituts bei 150, 225, 250 MeV im Spektralbereich von 400 bis 6100 Å gemessen. Die Ergebnisse stimmen innerhalb der Fehlergrenzen mit der Theorie überein.
- 8453 F. A. Korolev, V. S. Markov, E. M. Akimov and O. F. Kulikov. An experimental investigation of the angular distribution and polarization of optical radiation from electrons in a synchrotron. Soviet Phys.-Doklady 1, 568—570, 1956, Nr. 5. (Sept./Okt.) (Engl. Übers. aus: Proc. Acad. Sci. USSR 110, 542, 1956, Nr. 4.) (Moscow, Lomonosov State Univ.) Die Theorie der Lichtausstrahlung hochbeschleunigter Elektronen in Kreisbeschleunigern macht Aussagen über die Winkelverteilung und Polarisation der Strahlung. Diese Aussagen wurden am Elektronensynchrotron des Laboratoriums von V. I. VEKSLER (250 MeV) experimentell geprüft. Insbesondere zeigt die mit ihrem elektrischen Vektor senkrecht zur Bahnebene polarisierte Strahlung deutlich zwei Maxima, eines ober- und eines unterhalb der Bahnebene. Es besteht gute Übereinstimmung mit der Theorie.
- 8454 E. L. Burshtein and L. S. Solov'ev. On the theory of alternating-gradient focusing. Soviet Phys.-Doklady 1, 459—462, 1956, Nr. 4. (Juli/Aug.) (Engl. Übers. aus: Proc. Acad. Sci. USSR 109, 721, 1956, Nr. 4.) Die Berechnung der Fokussierung in Beschleunigern mit alternierenden Gradienten führt zu einer Differentialgleichung mit veränderlichen Koeffizienten. Diese werden durch eine Näherungslösung berechnet, wobei davon ausgegangen wird, daß sie periodisch sind mit einer langsam veränderlichen Amplitude und Periodenlänge. Reich.
- 8455 A. A. Kolomenskii. Elimination of critical energy in strong-focusing synchrotrons. Soviet Phys.-Tech. Phys. 1, 721—730, 1957, Nr. 4. (Engl. Übers. aus: J. tech. Phys. (russ.) 26, 740, 1956, Nr. 4, Apr.) (Moscow, Lebedev Inst. Phys.) Mit Hilfe von Sektoren für "umgekehrte Krümmung" der Teilchenbahn ist es möglich, die kritische Energie (bei welcher Phasen-Defokussierung eintritt) in Teilchenbeschleunigern mit starker Fokussierung vollkommen zu eliminieren. In der vorliegenden Arbeit wird in bequemer Matrixdarstellung ein Ausdruck für die kritische Energie E<sub>cr</sub> als Funktion verschiedener Maschinenparameter erhalten; daraus werden die Bedingungen hergeleitet, die E<sub>cr</sub> zum Verschwinden bringen.
- 8456 G. Calame, P. F. Cooper jr., S. Engelsberg, G. L. Gerstein, A. M. Koehler, A. Kuckes, J. W. Meadows, K. Strauch and R. Wilson. Some jeatures of regenerative deflection and their application to the Harvard synchrocyclotron. Nuclear Instrum. 1, 169—182, 1957, Nr. 4. (Juli.) Es wird das beim Harvard-Synchrocyklotron für 159 MeV-Protonen angewandte "wiedererneuernde" Ablenksystem beschrieben. (Prinzip dieser Herausführungsmethode s. Tuck und Teng, Ber. 31, 36, 1952.) Die Theorie von Le Couteur wird erweitert und gezeigt, daß während der Wiedererneuerung nur eine teilweise Monochromatisierung des Strahles stattfindet. Theorie und Experiment zeigen weiter, wie man die Energiebreite des erneuerten Strahles auf Kosten der Intensität verringern kann. Außer dem externen Protonenstrahl können auch besser monoenergetische Neutronen- und polarisierte Protonenstrahlen erhalten werden.
- 8457 V. I. Veksler, D. V. Efremov, A. L. Mints, M. M. Veishein, F. A. Vodopyanov, M. A. Gashev, A. I. Zeidlits, P. P. Ivanov, A. A. Kolomensky, I. F. Ma-

- lyshev, N. A. Monoszon, I. Kh. Nevyazhsky, V. A. Petukhov, M. S. Rabinovich, S. M. Rubchinsky, K. D. Sinelnikov and A. M. Stolov. The 10-GeV proton synchrotron of the USSR Academy of Sciences. J. Nuclear Energy 4, 333—339, 1957, Nr. 3. (März.) (S. B.)
- 8458 J. D. Lawson. On the adiabatic self-constriction of an accelerated electron beam neutralized by positive ions. J. Electronics 3, 587—594, 1957, Nr. 6. (Dez.) (Harwell, Berks., Atom. Energy Res. Establ.) Zur Diskussion des Verhaltens eines raumladungskompensierten Elektronenstrahls bei Beschleunigung der Elektronen durch ein elektrisches Feld geht Vf. von einem möglichst einfachen, idealisierten Modell aus, das sich aber nur im Fall kleiner Stromstärken als brauchbar erweist. Durch das elektrische Feld werden neben der Elektronengeschwindigkeit auch das mit dem Strahl verbundene Magnetfeld und der Strahlquerschnitt verändert. Vf. läßt offen, wie ein solcher Strahl realisiert werden kann, er hält das Modell aber für eine mögliche Übergangsstufe zwischen einem Plasma geringer Dichte und einer von BUDKER (Ber. 36, 1157, 1957) beschriebenen Entladung hoher Stromstärke.
- 8459 F. W. Fenning. Harwell's resaerch reactors. Atomics 8, 162—167, 174, 1957, Nr. 5. (Mai.) (Harwell, A. E. R. E.)
- 8460 R. Hurst, I. Wells and D. Newby. Homogeneous aqueous reactors. Atomics 8, 218—219, 225, 1957, Nr. 6. (Juni.) (Harwell, A. E. R. E.) Weidemann.
- 8461 H. Maler-Leibnitz. Der Forschungs-Reaktor München. Mit einem Geleitwort des bayerischen Ministerpräsidenten Dr. Hanns Seidel. 47 S. mit 31 Abb. Verlag Karl Thiemig KG. München. 1958. Die Schrift enthält u. a. den Beitrag: O. Kirschenhofer, E. Orlamünder, A. Wieser, G. Weber, W. Ende und F. Brosch. Der Bau. S. 10—22.
- 8462 M. D. Pollock. Reaktorkern und Kontrollsystem des FRM. Ebenda S. 23 bis 27.
- 8463 K. A. Müller und F. Sirach. Aufhängung, Kühlsystem, Stahlrohre und Nebeneinrichtungen zum FRM. Ebenda S. 28—33.
- 8464 M. Pollermann. Die Betriebssicherheit des Forschungsreaktors München. Ebenda S. 34-37.
- 8465 H. Maier-Leibnitz. Auswahl des Reaktortyps und geplante Verwendung. Ebenda S. 38—39.
- 8466 N. Riehl. Der Reaktor als Forschungsmittel für die Festkörperphysik. Ebenda S. 40-41. H. Ebert.
- 8467 Kurt Meetz. Zur Theorie des heterogenen Piles. II. Störstellen im ebenen, geschichteten Pile. Z. Naturf. 12a, 863—873, 1957, Nr. 11. (Nov.) (Karlsruhe, Reaktorstat.) Das Eigenwertproblem wird exakt gelöst für den Fall, daß ein Brennelement durch eine Schicht aus anderem Material ersetzt wird, das beliebige Absorptions- und Multiplikationseigenschaften haben kann. Die Lösungen werden aufgebaut aus den in Teil I (Ber. S. 807) gewonnenen Grundlösungen für den ebenen, regulären Pile. Eine Reihe von Beispielen beleuchtet das Verfahren.

Knech

8468 ORNL proposes molten salt reactor. Nucleonics 15, 1957, Nr. 8, (Aug.) S. 64—65. Eine neue Variante für den Bau homogener Reaktoren ist die Verwendung von geschmolzenen Fluoriden mit darin gelösten Verbindungen des Brennstoffs. Ein solches System, der ARE, hat 1954 einige Tage gearbeitet (Nucleonics 15, Nr. 6, S. 20, 1957). Vor- und Nachteile der geschmolzenen Fluoride gegenüber der U-Bi-Legierung des LMFR und den wäßrigen Brenn-

stofflösungen werden aufgezählt, ebenso die Verwendungsmöglichkeiten. Auf Grund der bisherigen Erfahrungen ist ein Kraftwerksreaktor mit Brutmantel für 240 MW entworfen worden. Külz.

8469 Moderator control extends burnup. Nucleonics 15, 1957, Nr. 8. (Aug.) S. 66—67. M. C. Edlund und G. K. Rhode schlagen einen Druckwasserreaktor vor (Moderator anfangs 85 % D<sub>2</sub>O, 15 % H<sub>2</sub>O), bei dem keine anfängliche Überschußreaktivität durch Regelstäbe kompensiert werden muß und der Abbrand durch weitere Verdünnung des D<sub>2</sub>O durch H<sub>2</sub>O kompensiert wird. Auf Grund der besseren Bremseigenschaften des H wird dadurch die Resonanzdurchgangswahrscheinlichkeit laufend vergrößert, das Neutronenspektrum des Reaktors verschiebt sich mehr ins thermische Gebiet. Dieses Verfahren erlaubt bei gleicher Konversionsrate einen größeren Abbrand. Außerdem wird die Neutronenflußverteilung nicht durch Regelstäbe gestört. Für einen mit diesem Regelprinzip arbeitenden 500 MW Kraftwerksreaktor werden die Kosten für die notwendige D<sub>2</sub>O-Destillationsanlage und deren Betrieb als tragbar bezeichnet; sie heben den Vorteil nicht auf.

- 8470 J. Halperin, R. W. Stoughton, C. V. Ellison and D. E. Ferguson. Effective capture cross section of Pa-233 for thermal reactor neutrons. Nuclear Sci. Engng 1, 1-3, 1956, Nr. 1. (März.) (Oak Ridge, Tenn., Oak Ridge Nat. Lab.) Stäbe aus Thorium wurden im LITR und in einem graphit-moderierten Reaktor bestrahlt. Das entstandene U<sup>233</sup> wurde massenspektroskopisch auf seinen Gehalt an U<sup>234</sup> untersucht; letzteres entsteht durch Neutroneneinfang von Th<sup>233</sup>, Pa<sup>283</sup> und U<sup>233</sup>, bei der gewählten Bestrahlungszeit jedoch wesentlich durch Neutroneneinfang des Pa<sup>288</sup>. Unter Annahme eines effektiven Wirkungsquerschnittes (der den Einfang thermischer und epithermischer Neutronen berücksichtigt) von Th<sup>232</sup> von 8,0 barn ergab sich ein effektiver Einfangquerschnitt des Pa<sup>233</sup> von (140 + 20) barn für die Neutronen thermischer Reaktoren. Dieser Wert steht nicht im Widerspruch zu dem von Smith angegebenen von 60 barn (unveröffentlicht), da die Resonanzabsorption des Pa<sup>233</sup> groß ist und die Messung von SMITH sich auf Neutronen von 0,025 eV bezieht. Die Differenz mit den Werten von KATZIN und HAGEMANN (unveröffentlicht) und KATZIN und STEVENS (Argonne Nat. Lab., Memo ANL-WMM 1080, March 23, 1953, priv. com.) von (37 ± 14) barn und (55 + 6) barn ist wahrscheinlich auf die Schwierigkeiten bei der Messung des Neutronenstroms (die in der Fehlerangabe nicht berücksichtigt sind) bei diesen vorangegangenen Arbeiten zurückzuführen. Külz.
- 8471 A. Peterlin and R. Kladnik. The physical parameters of the aqueous homogeneous reactor as functions of temperature and reflector thickness (RS 1). Rep. J. Stefan Inst. (jugosl.) 3, 5—18, 1956, Okt. Kritischer Radius und kritische Masse eines sphärischen, homogenen Null-Leistungs-Reaktors mit leichtem und schwerem Wasser und 20 % jeg angereichertem UO<sub>2</sub>SO<sub>4</sub> wurde berechnet, und zwar einmal für unendlich ausgedehnte Reflektoren aus leichtem Wasser, Graphit und schwerem Wasser sowie für verschiedene Dicken eines Schwerwasser-Reflektors im Temperaturbereich zwischen 25 und 200°C. Besonders behandelt wird das Problem der Stabilität des Reaktors und der Regulierung der Reaktivität bei verschiedenen Temperaturen allein durch Änderung der Reflektormenge. Im Falle des Leichtwasser-Moderators erfolgte die Berechnung nach der Eingruppentheorie, während für den Schwerwasser-Moderator die Zweigruppentheorie angewandt wurde.

8472 A. Peterlin. Boiling column homogeneous reactor with adjustable reflector level (RS 2). Rep. J. Stefan Inst. (jugosl.) 3, 19-30, 1956, Okt. Es werden

einige Vorschläge gemacht, die die Konstruktion und den Betrieb eines Homogenreaktors vereinfachen und unter günstigen Bedingungen erlauben, ihn zur Leistungserzeugung zu verwenden. H. M. Weiß.

8473 Richard M. Bildwell and Walter R. Wykoff. The parasite reactor, a pressure-bomb assembly for phase studies under irradiation. Nuclear Sci. Engng. 1, 443—451, 1956, Nr. 6. (Dez.) (Los Alamos, N. M., Univ. Calif., Sci. Lab.) Mit Hilfe der Druckbombe können Untersuchungen über die Zusammensetzung der festen, flüssigen und gasförmigen Phase von Uranylnitratlösungen bis zu 400°C und 35 at in einem Fluß thermischer Neutronen der Größenordnung 10<sup>11</sup> n/cm²·s im Graphitmantel des SUPO ausgeführt werden. Die untersuchten Lösungen erwiesen sich bis auf durch Radiolyse gebildete Gase (Wasserstoff, Sauerstoff, Stickstoff) als stabil bei Bestrahlung in obengenanntem Fluß bis mindestens 248°C. Der durch Radiolyse entstandene Wasserstoff und Sauerstoff rekombinierte; der durch ihn bewirkte Druck nahm mit der Zeit einen Sättigungswert an. Bei Unterbrechung der Bestrahlung für mehrere Stunden rekombinierten Wasserstoff und Sauerstoff vollständig, wenn die Temperatur der Druckbombe bei 248°C gehalten wurde. Keinerlei Rekombination zeigte jedoch der radiolytisch entstandene Stickstoff mit der entsprechenden Menge Sauerstoff (Messungen bis zu 4,52 at Stickstoff bei 248°C). Über die Mengen der radiolytisch entstandene Gase s. nachst. Ref.

8474 Richard M. Bildwell, L. D. P. King and Walter R. Wykoff. Radiolytic yields of nitrogen and hydrogen in water boilers. Nuclear Sci. Engng 1, 452—454, 1956, Nr. 6. (Dez.) (Los Alamos, N. M., Univ., Sci. Lab.) Die Ausbeute an durch Radiolyse gebildetem Stickstoff und Wasserstoff wurde für eine Uranylnitratlösung in der Druckbombe im Graphitmantel des SUPO gemessen (s. vorst. Ref.) und die Ergebnisse mit den Ausbeuten für verschiedene "water boiler" verglichen. Die Ausbeute für H<sub>2</sub> stimmte mit den im ORNL gemessenen überein, auch in bezug auf die Abhängigkeit von der Uranylnitratkonzentration. Die Übereinstimmung der Werte für N<sub>2</sub> war weniger gut, es zeigte sich aber dieselbe Abhängigkeit von der Nitratkonzentration wie für Lösungen von Thoriumnitrat.

8475 G. J. R. MacLusky. The application of analogue methods to compute and predict xenon poisoning in a high-flux nuclear reactor. Proc. Instn elect. Engrs (B) 104, 443—451, 1957, Nr. 17. (Sept.) (U. K. A. E. A., Atomic Energy Res. Est., Engl.) Es wird die Xenonvergiftung bei einem Reaktor mit hohem Neutronenflug diskutiert. Ein "Analogrechner" zeigt den jeweiligen Wert der Xenonvergiftung an und ein "Vorhersager" kann zur Planung des weiteren Reaktorbetriebs benutzt werden.

Reich.

8476 H. Sequenz. Regelung der Reaktoren. Elektrotech. u. Maschinenbau 74, 293—297, 1957, Nr. 13. (1. Juli.) Taubert.

8477 P. H. Margen. Entwurf von Schwerwasserreaktoren für Wärme- und Kraftwerke. Chem.-Ing.-Tech. 29, 161—165, 1957, Nr. 3. (März.) (Stockholm, A. B. Atomenergi.) Am Beispiel des für Schweden geplanten Atomkraftwärmewerks R 3 werden wirtschaftliche sowie konstruktive Probleme erörtert. H. Ebert.

8478 Alfred Schraud. Die Abhängigkeit der Leistung gasgekühlter Kernreaktoren vom Kühlgasdruck und den Reaktorabmessungen. Atomkernenergie 2, 204—207, 1957, Nr. 6. (Juni.) Unter der Annahme, daß das Verhältnis von Kupplungsleistung der Turbine zur Wärmeleistung des Reaktors konstant bleibt und daß außerdem das Verhältnis von Gebläseleistung zu Turbinenleistung konstant bleibt, wird die Abhängigkeit der Nettoleistung N der Anlage (Turbinenleistung minus Gebläseleistungsbedarf) von dem Kühlgasdruck und den Abmessungen

des Reaktors näherungsweise berechnet. Es gilt  $N \sim p^{0.66}~D^2 \cdot L^{0.74}~mit~p =$ Gasdruck, D = Reaktordurchmesser, L = Kühlkanallänge.

Fast breeder power reactors — their problems and prospects. Nucleonics 15, 1957, Nr. 4, (Apr.) S. 62-66. Auf Grund der Erfahrungen mit dem schnellen Reaktor EBR-I ist zur Zeit noch nicht zu sagen, ob schnelle Brutreaktoren als Leistungsreaktoren mit thermischen Reaktoren konkurrieren können. Im Augenblick gibt es vier grundsätzliche Schwierigkeiten, die den schnellen Reaktor weniger attraktiv für den Einsatz in großen Kraftwerken erscheinen lassen: 1. Hohe Leistungsdichte. Wegen der geringen Coregröße ist mit Leistungsdichten zu rechnen, die rund zehnmal größer sind als bei thermischen Reaktoren. Die Wärmeübergangsprobleme lassen sich nur durch Verwendung von Natrium als Kühlmittel und fein unterteiltem Brennstoff lösen. Deshalb sind strenge Toleranzen bei der Herstellung und der Montage der Brennelemente notwendig. 2. Natriumtechnologie. Ein schneller Reaktor braucht ein nichtmoderierendes Kühlmittel. Natrium scheint wohl das geeignetste Kühlmittel zu sein, da es die häufig benutzten Behältermaterialien nicht angreift. Es muß jedoch dafür gesorgt werden, daß der Gehalt an Natriumoxyd sehr gering ist. Pumpen, Ventile und Instrumente für flüssiges Natrium verlangen jedoch wesentlich mehr Entwicklungsarbeit als die entsprechenden Komponenten von Wasserkreisläufen. 3. Das spaltbare Material in den Brennelementen muß etwa 20 % ig vorliegen, während in einem thermischen Reaktor 1 bis 2% genügen. Außerdem muß die kritische Masse des Spaltmaterials vergleichsweise zwei- bis dreimal so groß sein. Infolge Strahlenschäden der Brennelemente ist ein Abbrand von nur 2 % möglich, d. h. ein U<sup>235</sup>-Atom muß im ungünstigsten Falle zehnmal eine chemische Aufbereitung durchlaufen, bevor es in einem schnellen Reaktor "verbrannt" wird. Dies bedeutet Extrakosten für die Aufbereitung. Auf der anderen Seite ist jedoch der schnelle Reaktor unempfindlich gegen Spaltproduktgifte, so daß der Einbau eines großen Reaktivitätsüberschusses nicht notwendig ist. 4. Sicherheit. Im promptkritischen Fall steigt die Leistung hundertmal rascher an als in thermischen Reaktoren. Die Möglichkeit, mit weniger als einem Dollar eingebauten Reaktivitätsüberschuß arbeiten zu können, macht jedoch von vornherein den promptkritischen Zustand vollkommen vermeidbar, es sei denn, daß durch irgendwelche Umstände ein Moderator in den Reaktor gelangt oder das Core nach Aussetzen der Kühlung schmilzt, was zu einem mehrfach promptkritischen Zustand führen kann. Am EBR-I wurde außerdem ein positiver Temperaturkoeffizient und eine Resonanzinstabilität festgestellt. Man ist jedoch der Ansicht, daß diese Mängel durch geeignete Konstruktion eliminiert werden können.

Knecht.

8480 Enrico Fermi Reactor. Design of first fast breeder. Nucleonics 15, 1957, Nr. 4, (Apr.) S. 68-72. Der Enrico Fermi-Reaktor ist ein schneller Brutreaktor mit einer thermischen Leistung von 300 MW (elektrische Leistung 100 MW), kritische Masse U285 485 kg, Brutverhältnis 1,2, primäres und sekundäres Kühlmittel Na, Temperaturkoeffizient  $\Delta k/k \,^{\circ}C = -24,0 \cdot 10^{-6}$ . Corelänge 31,2 inch, Durchmesser 30,5 inch, 27% angereichertes Uran, Brennelemente 91, Kühlmaterial Zr, maximale Urantemperatur 1300°F. Blanket innerer Durchmesser 30,5 inch, äußerer Durchmesser 78,5 inch, Material U238. Kontrolle: Zwei Shimstäbe, acht Sicherheitsstäbe, Absorber B10-Carbid. Physikalische Daten: mittlerer Neutronenfluß im Core 0,5 · 1016 n/cm2s, mittlere Neutronenenergie 0,25 MeV, Lebenszeit prompter Neutronen 0,2 µs, Blanketleistung zu totaler Leistung 0,074. Brennelementwechsel innerhalb eines Monats, Abschirmung: Bor-Graphitmantel, erster Betonschirm, zweiter Betonschirm (biologischer Schirm). Der primäre Na-Kreislauf befindet sich unterhalb des ersten Betonschirms, der sekundäre Na-Kreis zwischen dem ersten und zweiten Betonschirm. Knecht.

- 8481 C. B. Amphlett. Treatment of highly active wastes. Atomics 8, 116—120, 1957, Nr. 4. (Apr.) (Harwell, A. E. R. E., Chem.-Div.) Weidemann.
- 8482 H. J. Kaeppeler. Zur Frage der Verwendbarkeit thermonuklearer Reaktionen in Raketen. I. Raketentechn. Raumfahrtforsch. 1, 60—70, 1957, Nr. 3. (Okt.) (Stuttgart, Forsch. Inst. Phys. d. Strahlenantriebe.) Es wird gezeigt, daß die Verwendung thermonuklearer Reaktionen in Raketen eng mit der Entwicklung eines stationären Fusionsreaktors zusammenhängt. Beide Probleme werden wesentlich durch neue Erkenntnisse der Plasmaphysik beeinflußt. Eine Übersicht über Plasmaphysik, insbesondere über Transporterscheinungen in Plasmen, wird gegeben. (101 Schrifttumshinweise.)
- 8483 H. Bartel Williams. Three-dimensional potential well. Phys. Rev. (2) 107, 1451—1452, 1957, Nr. 5. (1.Sept.) (State College, Mex., Coll. Agric. Mechan. Arts, Phys. Sci. Lab.) Vf. beschreibt ein Verfahren, bei dem zwischen zwei kreisförmigen Elektroden, an denen eine Hochfrequenzspannung liegt, Elektronen innerhalb einer Halbperiode den Elektronenabstand durchfliegen. Auf ein positives Ion im Raum zwischen beiden Elektroden wird im Zeitmittel über eine volle Periode sowohl axial wie radial eine auf den Mittelpunkt zwischen beiden Elektroden gerichtete Kraft ausgeübt, d. h. durch die Elektronenraumladung wird ein dreidimensionaler Potentialtopf aufgebaut, in dem positive Ionen längere Zeit gehalten werden können. Die beschriebene Anordnung könnte im Hinblick auf die Kernfusion interessant werden, da man mit ihr Ionen hoher kinetischer Energie (Temperatur) "aufbewahren" kann.
- 8484 P. C. Clemmow and A. J. Willson. A relativistic form of Boltzmann's transport equation in the absence of collisions. Proc. Camb. phil. Soc. 53, 222—225, 1957, Nr. 1. (Jan.) (Cambridge, Cavendish Lab.) Für die Theorie von Plasma-Schwingungen bei sehr hohen Temperaturen wird die im Titel genannte Gleichung aufgestellt. Ihre nicht unmittelbar erkennbare Lorentz-Invarianz wird explizit bewiesen.

  Just.
- 8485 Ernst-Karl Aschmoneit. Nuklear-Batterien. Elektronik, München 6, 287 bis 290, 1957, Nr. 10. (Okt.) Die verschiedenen technischen Möglichkeiten, den radioaktiven Zerfall zum Zwecke einer Ladungsspeicherung auszunutzen, werden erläutert: 1. Betastrom-, 2. photoelektrischer, 3. Sekundärelektronen-, 4. Thermo-, 5. Halbleiter-Nuklearbatterie. Als Substanzen eignen sich Alphaund Betastrahler, während Gammastrahlen wegen der Gefährdung auf Grund der großen Reichweite der Gammastrahlen nicht in Betracht kommen. Für Alphastrahler eignet sich nur die vierte Methode. Die Nuklear-Batterien sind nicht für große Stromabnahme geeignet, sie liefern jedoch bei geringer oder verschwindender Stromabnahme Spannungen von 200 bis 250 V bei kleineren Abmessungen als eine Taschenlampenbatterie.
- 8486 E. Daniel. Emploi du positron pour l'étude de la structure électronique des métaux. J. Phys. Radium 18, 691—693, 1957, Nr. 12. (Dez.) (S. B.) (Paris, Phys. Solid.) Versuche, aus dem Verschwinden der in ein Metall eingedrungenen Positronen (Rekombination mit Elektronen unter Aussendung von 2 γ-Quanten pro Ladungsträgerpaar = Zerstrahlung) Rückschlüsse auf die elektrischen Eigenschaften des Metalles zu ziehen, werden diskutiert (z. B. die Bestimmung der Ladungsträgerdichte aus der Lebensdauer des Positrons). Die Experimente liefern Werte, die für die verschiedenen untersuchten Metalle nahezu gleich sind. Die Ursache dafür liegt darin, daß das Hilfsmittel der Untersuchung, das Positron, das Elektronengas infolge seines Couloms-Feldes polarisiert und durch die so gebildete Raumladung die zu untersuchende Größe (Elektronendichte) stört.

- 8487 D. F. Falla, M. W. Friedlander, F. Anderson, W. D. B. Greening, S. Limentani, B. Sechi-Zorn, C. Cernigol, G. Iernetti and G. Poiani. Parent stars of  $K^+$ -mesons. Nuovo Cim. (10) 5, 1203—1222, 1957, Nr. 5. (1. Mai.) (Univ. Bristol, Wills Phys. Lab.; Dublin, Univ. Coll., Phys. Dep.; Padova, Univ., Ist. Naz. Fis. Nucl.; Trieste, Univ., Ist. Naz. Fis. Nucl.) Durch die kosmische Höhenstrahlung ausgelöste Kernprozesse (Sterne), bei denen K-Mesonen erzeugt werden, wurden eingehend untersucht. Die Winkelverteilung und das Energiespektrum der emittierten K-Mesonen wird angegeben, sowie eine Verteilung der Sterngröße. Die Häufigkeit, mit der zugehörige weitere K-Mesonen, Hyperonen oder Hyperfragmente auftreten, wird abgeschätzt. Drei besonders interessante Ereignisse werden ausführlich beschrieben, darunter eines, das es ermöglicht, die Masse des negativen  $\Sigma$ -Hyperons zu bestimmen. Der hierbei erhaltene Wert beträgt 2344  $\pm$  6 m<sub>e</sub>.
- 8488 G. Alexander, R. H. W. Johnston and C. O'Ceallaigh. The relative frequencies of the decay modes of positive K-mesons and the decay spectra of modes  $K\mu_3$ ,  $\tau$  and  $K_{\beta}$ . Berichtigung. Nuovo Cim. (10) 6, 1515, 1957, Nr. 6. (1. Dez.) Ber. S. 814.
- 8489 E. Corinaldesi. Dispersion relations for photoproduction of mesons. Nuovo Cim. (10) 4, 1384—1398, 1956, Nr. 6. (1. Dez.) (Univ. Glasgow, Dep. Natur. Philos.) Dispersions relationen für den Prozeß  $\gamma$  + Nukleon  $\rightarrow \pi$  + Nukleon im Breitschen Koordinatensystem und im Schwerpunktssystem werden auf dem üblichen Wege abgeleitet. Grawert.
- 8490 W. John and G. Stoppini. A p,  $\gamma$  coincidence method for the measurement of  $\pi^0$  photoproduction. Nuovo Cim. (10) 6, 1206—1210, 1957, Nr. 5. (1. Nov.) (Urbana, Ill., Univ. Illinois, Phys. Res. Lab.) Unter Verwendung von flüssigem Wasserstoff wurde mit Photonen mit Energien unter 260 MeV die Photoerzeugung neutraler Pionen untersucht. Es wurden p,  $\gamma$ -Koinzidenzen gemessen. Das eine Zerfallsquant des  $\pi^\circ$  wurde mit einem Cerenkov-Zähler nachgewiesen, die Rückstoßphotonen mit einem Teleskop, bestehend aus einem Proportionalzähler von 20 cm Länge, gefüllt mit Xe und Methan, und einem Kunststoff-Szintillationszähler. Für die differentjellen Wirkungsquerschnitte unter 90° im Schwerpunktssystem wurden Werte von rund  $10 \cdot 10^{-30}$  cm²/Raumwinkel erhalten, die mit der Energie des einfallenden Photons anstiegen.
- 8491 I. A. Pless, A. E. Brenner, R. W. Williams, R. H. Milburn, A. M. Shapiro, K. Straueh, J. C. Street and L. A. Young. Asymmetry of low-energy positrons from muon decay. Phys. Rev. (2) 108, 159—160, 1957, Nr. 1. (1. Okt.) (Cambridge, Mass., Inst. Technol.; Chicago, Ill., Univ.) Vff. untersuchten die Asymmetrie in der Winkelverteilung der Positronen geringer Energie, die beim Zerfall polarisierter Muonen, die in einer Propan-Blasenkammer zur Ruhe kommen. entstehen. Es wurden nur die Positronenbahnen ausgewertet, die innerhalb der Blasenkammer zur Ruhe kamen, wodurch aus der Geometrie der Kammer die mittlere Energie der langsamen Positronen zu 6 MeV bestimmt wurde. Die Winkelverteilung läßt sich durch  $W(\theta) = 1 + a\cos\theta$  beschreiben. Die Energieabhängigkeit des Asymmetrieparameters a kann durch die Zweikomponententheorie des Neutrinos vorausgesagt werden; aus den genau untersuchten Asymmetrien der über alle Positronenenergien integrierten Winkelverteilung kann mit Hilfe der Zweikomponententheorie der Asymmetrieparameter für spezielle Energiewerte angegeben werden. Die von BERLEY u. a. (Ber. S. 816) für hohe Positronenenergien durch Absorptionsversuche untersuchte Energieabhängigkeit des Asymmetrieparameters zeigte angenäherte Übereinstimmung mit der Zweikomponententheorie. Für langsame Positronen ergab das Experiment den Wert a = (-0,02 + 0,06); aus der Zweikomponententheorie folgt für 6 MeV

Positronen unter Berücksichtigung von Bremsstrahlverlusten  $a_{low}=(+0.05\pm0.02)$ . Wenn das Experiment auch keinen Aufschluß über eine Asymmetrie der Winkelverteilung ergibt, so scheint der Versuch jedoch wenigstens nicht der Zweikomponententheorie zu widersprechen.

- 8492 J. Enoch, R. G. Sachs and K. C. Wall. Theory of photoproduction of pions from nucleons. Phys. Rev. (2) 108, 433—445, 1957, Nr. 2. (15. Okt.) (Madison, Wisc., Univ.) Ausgehend von einem sehr allgemeinen statischen Modell wird eine Resonanztheorie des Pion-Nukleon-Systems erweitert, um einen Ausdruck für die Pion-Photoproduktionsamplitude zu geben. Für Photonen-Energien unterhalb 500 MeV existieren zwei wichtige Terme in der Amplitude: Einer beschreibt die Photoejektion des Pions, der andere die Photoanregung des J=3/2, J=3/2 Resonanzzustandes des Nukleons.
- 8493 J. H. Smith, E. M. Purcell and N. F. Ramsey. Experimental limit to the electric dipole moment of the neutron. Phys. Rev. (2) 108, 120-122, 1957, Nr. 1. (1. Okt.) (Oak Ridge, Tenn., Nat. Lab.; Cambridge, Mass., Harvard Univ.) Um experimentell nachzuprüfen, ob bei den starken Wechselwirkungen der Kernkräfte die Parität erhalten bleibt, wurde in einer Versuchsanordnung, die der experimentellen Anordnung zur Bestimmung des magnetischen Neutronenmomentes sehr ähnlich war, die obere Grenze für das elektrische Dipolmoment des Neutrons bestimmt. Die Versuchsanordnung unterscheidet sich von der ursprünglichen BLOCH-ALVAREZ-Anordnung dadurch, daß parallel zum H-Feld ein sehr starkes elektrisches Feld angelegt wird, durch das die Resonanzfrequenz für den Spin-Umklapprozeß verändert wird, wenn das Neutron ein elektrisches Dipolmoment in Spinrichtung besitzt. Um schmale Resonanzlinien zu erhalten, wurde die RAMSEY-Anordnung mit zwei Hochfrequenzspulen benutzt, die in einem Abstand von 156 cm im statischen Magnetfeld angebracht waren. Der Einfluß des elektrischen Feldes auf die Resonanzbedingung wurde experimentell so kontrolliert, daß man auf einer möglichst steilen Flanke der Resonanzkurve den Effekt der Umkehrung der elektrischen Feldstärkenrichtung registrierte. Aus dem Experiment ergab sich, daß das elektrische Dipolmoment des Neutrons der Landung eines Elektrons, multipliziert mit der Länge D = (-0,1 ± 2,4). 10-20 cm, äquivalent ist.
- 8494 R. Gatto. The annihilation of a nucleon-antinucleon system into a K-anti K pair. Nuovo Cim. (10) 5, 1024—1025, 1957, Nr. 5. (1. Mai.) (Rom, Univ., Ist. Naz. Fis. Nucl.)
- 8495 Clyde L. Cowan jr. and Frederick Reines. Search for antineutrino interaction with deuterons. Phys. Rev. (2) 107, 1609—1611, 1957, Nr. 6. (15. Sept.) (Los Alamos, N. Mex., Univ., Los Alamos Sci. Lab.) Der durch ein Antineutrino ausgelöste Zerfall eines Deuterons  $\nu$  + d  $\rightarrow \beta$ <sup>+</sup> + n<sup>0</sup> + n<sup>0</sup> wurde im Antineutrino fluß eines Reaktors mit einem Flüssigkeitsszintillationstank und ähnlicher Nachweistechnik wie beim Nachweis des freien Neutrinos ohne Erfolg gesucht. Die Empfindlichkeitsgrenze des Experimentes konnte dadurch erheblich gesteigert werden, daß beide Produkt-Neutronen nachgewiesen werden sollten. Aus dem Experiment konnte die obere Grenze des Wirkungsquerschnittes zu  $4\cdot 10^{-45}$  cm² abgeschätzt werden. Theoretisch wurde der Wirkungsquerschnitt zu  $2\cdot 10^{-45}$  cm² vorausgesagt. Vff. diskutieren die Möglichkeiten, mit denen die Nachweisempfindlichkeit der Versuchsanordnung weiter gesteigert werden kann.

8496 E. Nuding. Kernpolarisation und Ebbe-Flut-Effekt beim µ--Meson-Atom. Z. Naturf. 12a, 189—194, 1957, Nr. 3. (März.) (Göttingen, Max-Planck-Inst.

Phys.) Vf. berechnet mit Störungsverfahren den Einfluß der Polarisation des Atomkerns auf die 1s-, 2p- und 3d-Terme des mesonischen Atoms für Sb, W, Pb und U. Als Kernmodell wird das von Jensen-Steinwedel benutzt. Für den 1s-Zustand wird ferner der Ebbe-Flut-Effekt abgeschätzt. Die Größenordnung beider Einflüsse ist vergleichbar etwa 5 bis 10 keV.

8497 F. Winterberg. Schalenmodell und Eigenschaften einiger leichter Kerne zwischen A=16 und A=41. Z. Naturf. 12a, 271—281, 1957, Nr. 4. (Apr.) (Göttingen, Max-Planck-Inst. Phys.) Magnetische Momente, Quadrupolmomente und Beta-Übergänge werden für eine Reihe von leichten Kernen zwischen A=16 und A=41 berechnet und mit der Erfahrung verglichen. Berechnung nach dem Schalenmodell, wobei die Wellenfunktionen aus den Einteilchen-Oszillator-Wellenfunktionen der außerhalb abgeschlossener Schalen befindlichen Nukleonen (meist) durch j-j-Kopplung aufgebaut werden.

8498 Rolf Hüper. Zur Gültigkeit des Schalenmodells als Näherung für einige leichte Kerne. Z. Naturf. 12a, 295—310, 1957, Nr. 4. (Apr.) (Göttingen, Max-Planck-Inst. Phys.) Kerne der Konfiguration (1s)<sup>4</sup>(2p)<sup>Δ-4</sup>, Massenzahl A zwischen 5 und 16, werden behandelt. Diskussion der Abhängigkeit der Energieschemata vom Ansatz für die Wechselwirkung der Nukleonen, wobei die Parameter im Einklang mit den Daten der Proton-Neutron-Streuung, des Deuterons und der Bindungsenergien leichter Kerne variiert werden. Berechnung magnetischer Momente. Diskussion der unerwartet großen Lebensdauer von C<sup>14</sup> gegenüber β-Zerfall.

Richard A. Ferrell. Time-dependent Hartree-Fock theory of nuclear collec-8499 tive oscillations. Phys. Rev. (2) 107, 1631—1634, 1957, Nr. 6. (15. Sept.) (College Park, Maryl., Univ.) Eine Theorie der kollektiven nuklearen Oszillationen wird gegeben, bei welcher eine Einführung zusätzlicher Koordinaten und Hilfsbedingungen nicht nötig ist. Die vorgeschlagene self-consistent Feldmethode wird auf den "atmenden" kugelsymmetrischen Kern angewandt und führt auf einen Wert für die Frequenz der Schwingung, welcher genauer ist als ein kürzlich angegebener, der auf Grund einer Näherung der Anregung eines Nukleons gewonnen wurde. Beide Werte stimmen überein bei schwacher Nukleonen-Wechselwirkung. In Fällen, wo Nukleonenaustausch vernachlässigt werden kann, wird die neue Berechnung auf den einfachen Fall der klassischen Theorie kompressibler Flüssigkeiten zurückgeführt. Durch Anwendung einer Summenregel für elektrische Monopole, welche für t = 0, T = 0 Übergänge abgeleitet wird, zeigt sich, daß im allgemeinen die klassische Formel die Oszillationsfrequenz zu groß bestimmt. Von der Summenregel folgt ebenfalls, daß der 6,06 MeV O+-Zustand im O16 nur indirekt auf die Oszillation Einfluß nimmt, welche bei einer höheren Energie liegen muß.

8500 James J. Griffin and John A. Wheeler. Collective motions in nuclei by the method of generator coordinates. Phys. Rev. (2) 108, 311—327, 1957, Nr. 2. (15. Ökt.) (Princeton, N. J., Univ.; Copenhagen, Denm., Inst. Theor. Phys.) Zunächst werden ein Überblick über die Methode der "Erzeugungskoordinaten" und ein Vergleich mit der Methode der "Produktwellenfunktionen" gegeben. — Für ein A-Teilchen-System wird eine triviale Wellenfunktion der Form  $\Psi(x_1, \dots, x_A) = \int \varphi(x_1, \dots, x_A; \alpha) f(\alpha) d\alpha$  konstruiert. Die vorläufige Funktion  $\varphi$  löst das Problem in einem "Konstruktionspotential", das von einem "Deformationsparameter" oder einer "Erzeugungskoordinate"  $\alpha$  abhängt. Durch Faltung der Kollektivwellenfunktion ("Erzeugungsfunktion")  $f(\alpha)$  mit  $\varphi$  wird eine Systemwellenfunktion $\Psi$  erzeugt, die nur noch von den Koordinaten  $x_1$  der Teilchen abhängt. Bei der Integration verschwinden die  $\alpha$ . In typischen Fällen, wenn  $f(\alpha)$  nur ein oder zwei Knoten enthält, erzeugt sie in  $\Psi$  Knoten, die die kollektive kinetische

Energie beschreiben. Durch Variation erhält man eine Integralgleichung ("Erzeugungswellenfunktion") für die  $f(\alpha)$ , die für zwei Grenzfälle gelöst wird: Quadratische Näherung und  $\delta$ -Funktion-Näherung. — Zum Schluß wird auf Probleme der effektiven Masse eingegangen. — (Praktisches Anwendungsbeispiel vgl. nachst. Ref.)

8501 James J. Griffin. Oxygen-16 by the method of generator coordinates. Phys. Rev. (2) 108, 328—335, 1957, Nr. 2. (15. Okt.) (Princeton, N. J., Univ., Palmer Phys. Lab.; Copenhagen, Denm., Inst. Theor. Phys.) Nach der vorher (vgl. vorst. Ref.) beschriebenen Methode werden Dilatations- und Kollektivquadrupol-anregungen im O¹6-Kern behandelt. Man geht von angenommenen Zweikörperkräften aus und berechnet Steifheit, Trägheit und Frequenz der Kollektivbewegung. Numerische Ergebnisse für diese Größen werden angegeben. Ferner werden die experimentellen Daten bezüglich kollektiver 0+- und 2+-Zustände in O¹6 zusammengestellt und andere theoretische Behandlungen dieses Problems erörtert. Die Kollektivmodelle enthalten alle ein zu großes Matrixelement für den Zerfall des 6,06 MeV (0+)-Zustandes. Es wird gefolgert, daß dieser Zustand keine reine Dilatationsanregung, sondern ein Gemisch aus Dilatations- und Kollektivanregung darstellen dürfte. Ähnliche Betrachtungen gelten für den 6,91 MeV (2+)-Zustand.

8502 R. Thieberger and A. De-Shallt. Binding energies of heavy nuclei. Phys. Rev. (2) 108, 378—383, 1957, Nr. 2. (15. Okt.) (Rehovoth, Israel, Weizmann Inst. Sci.; Tel Aviv, Israel, Atom. Energy Comm.) Unter Benutzung der Nukleonwellenfunktion nach der j-j-Kopplung-Schalenmodellnäherung werden die Kernbindungsenergien schwerer Kerne aus einer allgemeinen ladungsunabhängigen Zweikörper-Wechselwirkung, die Zentralkräfte, wechselseitige Spinbahnkopplung, Tensorkräfte usw. einschließen kann, berechnet. Die gewonnenen Formeln lassen sich den experimentellen Daten mit hoher Genauigkeit anpassen.

Jörchel.

8503 H. Suura. Contribution of recoil to charge distribution of nucleons. Phys. Rev. (2) 108, 470—476, 1957, Nr. 2. (15. Okt.) (Princeton, N. J., Inst. Adv. Study.) Zunächst werden die mittleren quadratischen Radien der Ladungsverteilung von Nukleonen in geschlossener Form in Termen der Mesonenfeldoperatoren abgeleitet. Das gelingt mit Hilfe einer relativistischen Einnukleonen theorie und durch Eliminierung der translatorischen Freiheitsgrade des Nukleons, indem vom Impulsgleichgewicht zwischen Nukleon und Mesonenfeld im Ruhsystem Gebrauch gemacht wird. Bei der Berechnung wird die Pionenverteilung benutzt, wie sie von einer Modifikation der "Ausgedehnte-Quellen-Theorie" von Chew geliefert wird. Eine derartige Theorie leitet sich aus der ursprünglichen Einnukleonentheorie durch eine Entwicklung nach umgekehrten Potenzen der Nukleonenmasse ab. — Es zeigt sich, das der Radius des Nukleonenrumpfes, der allein vom Rückstoß herrührt, viel kleiner als der Wert ist, der aus Elektron-Proton-Streuversuchen abgeleitet wurde (0,77·10-13 cm). Andererseits ist die Rückstoßkorrektur für die statische Ladungsverteilung der Pionenwolke negativ und so groß, daß sie den Pionenradius selber beinahe aufhebt. Jörchel.

8504 W. E. Frahn and R. H. Lemmer. Non-static effects on individual nucleons in a spheroidal potential. Nuovo Cim. (10) 6, 664—673, 1957, Nr. 3. (1. Sept.) (Pretoria, S. A., C. S. I. R., Nat. Phys. Res. Lab., Nucl. Phys. Div.) Unter Annahme eines anisotropen Oszillator-Potentials werden durch Störungsrechnung die nichtstatischen Effekte auf die Bewegung einzelner Nukleonen in deformierten Kernes (Quadrupol-Moment) die Anisotropie des fundamentalen Potentials nicht so stark sein muß wie in der statischen Näherung.

- 8505 Y. Nogami. On the charge distribution of the nucleon. Nuovo Cim. (10) 6, 985—988, 1957, Nr. 4. (1. Okt.) (Sakai, Univ. Osaka Prefect., Dep. Phys.) Es wird versucht, den mittleren Querschnitt der Ladungsverteilung von Proton und Neutron auf der Basis der Pion-Nukleon-Wechselwirkung nach der Methode der kovarianten Störung kombiniert mit einem Cut-off-Verfahren zu berechnen. Das Ergebnis stimmt mit den experimentell gefundenen Werten nicht überein. Vf. zeigt, daß auch die Berücksichtigung der "Neuen Teilchen" K,  $\Sigma$ ,  $\Lambda$  an dieser Diskrepanz nichts zu ändern vermag.
- 8506 J. J. Swart, R. E. Marshak and P. S. Signell. Effect of the spin-orbit potential on the magnetic moment of the deuteron. Nuovo Cim. (10) 6, 1189—1192, 1957, Nr. 5. (1. Nov.) (Rochester, New York, Univ. Rochester.) Es wird gezeigt, daß entgegen den Rechnungen von Feshbach (in Veröffentlichung) auf Grund der verfügbaren Daten zur Nukleon-Nukleon-Streuung bis 150 MeV die Annahme eines starken, anziehenden Spin-Bahn-Potentials kurzer Reichweite (zusätzlich zum Gartenhaus-Potential) kein ernsthaftes Dilemma für die Erklärung der Größe des magnetischen Moments des Deuterons bedeutet. Reich.
- 8507 D. D. Ivanenko and B. K. Kerlmov. Two-nucleon potential of intermolecular type and nuclear saturation. Soviet Phys.-JETP 4, 417—424, 1957, Nr. 3. (Apr.) (Engl. Übers. aus.: J. exp. theor. Phys. (russ.) 31, 105—112, 1956, Juli.) (Moscow, State Univ.) Auf der Grundlage eines Zwei-Nukleonen-Wechselwirkungs-Potentials vom Typ des intermolekularen Lennard-Jones-Potentials wird das statistische Modell des Kerns mit gleichförmiger Nukleonendichteverteilung behandelt. Es zeigt sich, daß man bei geeigneter Wahl der Potentialparameter eine Sättigung der Bindungsenergie bei einer normalen, dem Gleichgewicht des Kernradius entsprechenden Nukleonendichte erhält, während das Yukawa-Potential beim statistischen Modell zu keiner Stabilität führt.

Jörchel.

8508 S. J. Biel. The binding energy of <sup>8</sup>Be and <sup>12</sup>C. Proc. phys. Soc. Lond. (A) 70, 866—876, 1957, Nr. 12 (Nr. 456 Å). (1. Dez.) (London, Univ. Coll., Dep. Phys.) Ein gruppentheoretisches Verfahren für die Auswertung der bei der Anwendung der Methode der resonating group structure von Wheeler auf das α-Teilchen-Modell der <sup>4</sup>n-Kerne auftretenden Integrale wird allgemein entwickelt und speziell auf Be<sup>8</sup> und C<sup>12</sup> angewendet. Dabei werden Gauss sche Wellenfunktionen und ein Gauss sches Zentralpotential benutzt. Die Verwendung einer Yukawa-Wechselwirkung läßt keinen Vorteil erwarten. Bezüglich der Austauschkräfte liefert symmetrische Wechselwirkung gar keine Bindung, Serber-Wechselwirkung eine zu hohe Bindungsenergie. Jedoch gibt die gleiche Mischung von etwas über 30 % symmetrischer Kraft und etwas weniger als 70 % Serber-Kraft sowohl für Be<sup>8</sup> als auch für C<sup>12</sup> die richtige Bindungsenergie.

G. Schumann.

8509 P. M. Endt, W. W. Buechner, C. M. Braams, C. H. Paris and A. Sperduto. Atomic masses in the S-Ti region from precision Q-value measurements. Phys. Rev. (2) 105, 1002—1005, 1957, Nr. 3. (1. Febr.) (Utrecht, Netherl., Rijksuniv., Phys. Lab.; Cambridge, Mass., Inst. Technol., Phys. Dep., Lab. Nucl. Sci.) Vff. errechneten die Massen von 27 Kernen von S<sup>32</sup> bis Ti<sup>45</sup> auf Grund sehr genauer Q-Wert-Messungen. Als Bezugspunkt diente die von Nier und Mitarbeitern veröffentlichte Masse des Kerns S<sup>33</sup>. Ein Vergleich mit den aus massenspektrographischen Messungen gewonnenen Werten zeigt keine systematischen Abweichungen, wohl aber in Einzelfällen Unterschiede bis zu 0,2 mME.

Taubert.

8510 W. H. Johnson jr. and A. O. Nier. Atomic masses in the region xenon to europium. Phys. Rev. (2) 105, 1014—1023, 1957, Nr. 3. (1. Febr.) (Minneapolis,

Minn., Univ., Dep. Phys.) Vff. berechneten die Massen von 36 Kernen mit  $130 \leqslant A \leqslant 154$  und  $54 \leqslant Z \leqslant 63$  aus eigenen massenspektrographischen Messungen unter Benutzung einer neuen Nullmethode für die Messung von Dublettabständen (GIESE und COLLINS, Ber. 35, 1749, 1956). Durch Kombination dieser Ergebnisse mit Q-Werten und  $\beta$ -Energien konnten außerdem die Massen von 41 radioaktiven Kernen ermittelt werden. Es wurden berechnet: Mittlere Bindungsenergie pro Nukleon, Bindungsenergie des letzten Nukleons und Paarbildungsenergie. Die Ergebnisse ermöglichen ein genaues Studium der Schalenauffüllung bei N=82.

- 8511 W. H. Johnson jr. and V. B. Bhanot. Neutron separation energies and pairing energies for heavy nuclei. Phys. Rev. (2) 107, 1669—1673, 1957, Nr. 6. (15. Sept.) (Minneapolis, Minn., Univ., School Phys.) Mit einem 6-inch doppelt-fokussierenden Massenspektrometer wurden 32 Massendifferenzen zwischen benachbarten Isotopen von Elementen mit geradem Z im Bereich Z = 64 · · · 82 gemessen. Aus den Ergebnissen wurden die Neutronen-Bindungsenergien und die Neutronen-Paarungsenergien berechnet.
- 8512 K. S. Quisenberry, C. F. Giese and J. L. Benson. Atomic masses of  $H^1$ ,  $C^{12}$  and  $S^{32}$ . Phys. Rev. (2) 107, 1664—1667, 1957, Nr. 6. (15. Sept.) (Minneapolis, Minn., Univ.) Mit einem 16-inch doppeltfokussierenden Massenspektrometer wurden aus mehreren Dublettmessungen die Massen von  $H^1$ ,  $C^{12}$  und  $S^{32}$  neu bestimmt. Dabei diente insbesondere das Dublett  $\frac{1}{2}$   $C_4H_4O-H_2O_2$  zum direkten Anschluß der Masse  $C^{12}$  an die des  $O^{16}$ -Standards. Die resultierenden Massen waren:  $H^1=1,008$  1451  $\pm$  2,  $C^{12}=12,003$  8156  $\pm$  4 und  $S^{32}=31,982$  2388  $\pm$  9 ME.
- 8513 Jeremy Bernstein. Charge density in the deuteron. Phys. Rev. (2) 108, 349 bis 352, 1957, Nr. 2. (15. Okt.) (Cambridge, Mass., Harvard Univ., Nucl. Lab.) Die phänomenologische Theorie der Deuteron-Ladungsverteilung wird unter Berücksichtigung endlicher Kerngröße erörtert und auf das Deuteron-Quadrupolmoment, die energiearme Photokernreaktion  $\gamma + d \rightarrow n + p$  sowie die elastische Elektron-Deuteron-Streuung angewandt. Es zeigt sich, daß diese Erscheinungen unter einfachen Annahmen konsistent phänomenologisch behandelt werden können.
- 8514 M. E. Rose. Statistical tensors for oriented nuclei. Phys. Rev. (2) 108, 362—365, 1957, Nr. 2. (15. Okt.) (Oak Ridge, Tenn., Nat. Lab.) Einige Eigenschaften der von Fano eingeführten statistischen Tensoren, die die Winkelverteilung der von orientierten Kernen emittierten Strahlung beschreiben, werden erörtert. Vf. beschränkt sich dabei auf den Fall einer axialen Symmetrie in der die Orientierung bewirkenden Spin-Hamilton-Funktion. Die die statistischen Tensoren definierenden irreduziblen Tensoren werden mit den bekannten in der Spinkopplung auftretenden Tensoren identifiziert. Dadurch wird eine leichte Berechnung der Matrixelemente der ersten möglich. Schließlich wird die Temperaturabhängigkeit der statistischen Tensoren für den Fall kleiner Spinkopplung erörtert.
- 8515 Klaus Clusius und Hans-Ulrich Hostettler. Das Trennrohr. XIX. Zur Anreicherung der Isotope 79Br und 81Br. Z. Naturf. 12a, 974—982, 1957, Nr. 12. (Dez.) (Zürich, Univ., Phys.-Chem. Inst.) Zur Trennung der Bromisotope Br79 und Br81 mit Hilfe der Thermodiffusionsmethode wurde HBr als Trennrohrfüllgas benutzt. Eine Störung tritt durch die Dissoziation des HBr in H2 und Br2 ein. Der Dissoziationsgrad kann jedoch durch Zusatz kleiner Wasserstoffmengen erheblich zurückgedrängt werden. Die tatsächlich benötigten Wasserstoff-Zusatzmengen sind beträchtlich kleiner als die thermodynamisch berechneten. Die Ursache hierfür liegt in einem reaktionskinetischen Effekt. Das durch

heterogene Katalyse am heißen Platindraht gebildete Brom diffundiert zur kalten Wand und bildet mit dem H<sub>2</sub>-Überschuß in einer homogenen Kettenreaktion HBr zurück. Ein Zusatz von 3 % H<sub>2</sub> genügt, um selbst bei einer Drahttemperatur von 1300°K die Störungen durch die Dissoziation des HBr zu vermeiden. Es wurden Versuchsanlagen von 10 und 13 m Länge benutzt. Die maximale Anreicherung des Br<sup>39</sup> betrug 84,5 %, die des Br<sup>81</sup> 63,8 %. Ferner wird gezeigt, daß sich Bromwasserstoff als Hilfsgas für die Anreicherung der leichtesten Kryptonisotope bewährt.

8516 J. E. Lovett and J. O. Roberts. New ways in isotopic analysis of uranium. Nucleonics 15, 1957, Nr. 7, (Juli.) S. 72—75. (Washington, D. C., US Atomic En. Commission.) Die Ergebnisse der Erprobung verschiedener Methoden zur Isotopenanalyse von Uranproben werden in bezug auf ihre Genauigkeit, ihren Anwendungsbereich von U-235-Prozentgehalten und ihre sonstigen Vorund Nachteile diskutiert: Massenspektrometrie, optische Emissionsspektrographie, Neutronenaktivierung oder -absorption, γ- oder α-Spektrometrie. Die Massenspektrometrie scheint vorläufig die Standardmethode zu bleiben.

W. Schneider.

8517 Marcel Nicolet. The aeronomic problem of helium. Ann. Géophys. 13, 1—21, 1957, Nr. 1. (Jan./Febr.) (Uccle, Dep. Radiation, Royal Meteorol. Inst. Belgium.) He<sup>4</sup> entsteht beim radioaktiven Zerfall von U und Th, He<sup>3</sup> durch die Wirkung der Ultrastrahlung in der Atmosphäre. Die derzeitige Konzentration beider Gase liegt bei nur 1/2000 des Wertes, den man seit Bildung der Erdatmosphäre erwarten sollte. Es müssen also beide Gase in den interplanetarischen Raum abwandern. Berechnet man das Entweichen, so ergibt sich für He<sup>3</sup> ein viel größerer Verlust als für He<sup>4</sup>; es gelingt nicht eine Temperatur für die Tropopause zu finden, bei der He<sup>4</sup> noch ausreichend und He<sup>3</sup> nicht zu schnell entweichen. Es wird daraus geschlossen, daß der Aufwärtsluß beider Isotope nicht unabhängig ist, sondern ein Austausch (mixing) besteht, der zu einer Angleichung der effektiven Aufwärtsbewegung führt.

8518 Don B. Lichtenberg and Marc H. Ross. Pion contribution to hyperonnucleon forces. Phys. Rev. (2) 107, 1714—1721, 1957, Nr. 6. (15. Sept.) (Bloomington, Ind., Univ.) Unter der Annahme, daß die Kräfte zwischen Hyperonen und Nukleonen auf dem Austausch von Pionen beruhen, wird eine Berechnung dieser Kräfte durchgeführt. Die 1 und E werden mit dem Spin 1/2 und derselben Parität angesetzt. Die Hamilton-Funktion wird wie die bei dem statischen Modell der Pion-Nukleonkopplung angesetzt, ausgenommen in den Unterschieden des Isotopenspins und in der Stärke der Kopplung. Es werden alle üblichen Näherungen durchgeführt, die bei der Ermittlung des Nukleon-Nukleon-Potentials gemacht werden, obgleich im Fall, daß alle Pion-Barvon-Kopplungskonstanten gleich sind, die Hyperon-Nukleon-Potentiale lineare Kombinationen der beobachteten Nukleon-Nukleon-Potentiale sind. Die Konstante der Pion-Hyperon-Kopplung wird durch Vergleich mit den Potentialen aus der Analyse der Hyperfragmentdaten gewonnen. Der sich ergebende Wert ist nahezu der gleiche wie bei der Pion-Nukleon-Kopplung. Die Wirkungsquerschnitte der elastischen Hyperon-Nukleon und  $\Lambda + N \rightarrow \Sigma + N$ -Streuung werden ermittelt. Die Ergebnisse sind mit den Experimenten verträglich. Leisinger.

8519 G. Breit. Energy dependence of reactions at thresholds. Phys. Rev. (2) 107, 1612—1615, 1957, Nr. 6. (15. Sept.) (New Haven, Conn., Yale Univ.) Als Weiterentwicklung der Wignerschen Arbeit auf diesem Gebiet wird das Verhalten nuklearer Reaktionen an Schwellen diskutiert, indem der Formalismus der R-Matrix mit besonderer Beachtung von Schwellen in einem besonderen Kanal und deren Einfluß auf die Energieabhängigkeit in einem anderen Kanal behandelt

wird. Zusätzlich zu dem charakteristischen Verhalten für L=0,  $Z_1$ ,  $Z_2=0$  kann man einen anderen Typ der Auftragung von Wirkungsquerschnitt gegen Energie angeben. Der zweite Typ unterscheidet sich vom ersten durch einen Vorzeichenwechsel des zusätzlichen Effektes auf der einen Seite der Schwelle.

8520 J. Varma and W. Jack. The reaction  $^{24}$ Mg  $(p, \gamma)^{25}$ Al at the 418 keV resonance. Proc. phys. Soc. Lond. 71, 100—108, 1958, Nr. 1 (Nr. 457). (1. Jan.) (Glasgow, Univ., Nat. Philos. Dep.) Mit zwei NaJTl-Kristallen und einem 80-Kanal-Analysator wurden die  $\gamma$ -Emission sowie Koinzidenzen, Winkelverteilungen und Winkelkorrelationen gemessen. Für die unteren Anregungszustände des Al 25 werden ein Niveauschema sowie Spin- und Paritäts-Zuordnungen aufgestellt. Die gefundenen Mischungsverhältnisse M1: E 2 stimmen nicht mit früheren Angaben überein. Die vergleichbaren Intensitätsverhältnisse zwischen M1- und E 2-Übergängen lassen den Ursprung dieser Niveaus in der Kollektivbewegung des Kerns vermuten. Es zeigt sich aber, daß die Auswahlregeln für K nach Bohr-Mottelson nicht überall klar in den Beobachtungen herauskommen. Die 421  $\pm$  4 keV-Resonanz hat eine Breite von <1 keV. Die relativen Intensitäten der auftretenden  $\gamma$ -Übergänge 2,71; 2,26; 1,81; 1,36; 0,89 MeV betrugen 1:1,5:0,4:0,5:2,2.

8521 P. Brix und E. K. Maschke. Wirkungsquerschnitt der O<sup>16</sup> (γ, p)-Reaktion bei 28 MeV. Z. Naturf. 12a, 1013—1014, 1957, Nr. 12. (Dez.) (Heidelberg, Univ., I. Phys. Inst.) Zweck der Untersuchung war es, den (γ, p)-Querschnitt des O<sup>16</sup> bis zu höheren Energien als vorher zu messen. Dazu wurde Sauerstoffgas mit der Bremsstrahlung eines auf 32 MeV eingestellten Betatrons bestrahlt. Die Reaktionsprotonen wurden in 200 μ dicken C 2-Emulsionen nachgewiesen. Die Dosis wurde über den Prozeß C<sup>12</sup> (γ, n) C<sup>11</sup> mit Ausmessen der erzeugten C<sup>11</sup>-Aktivität bestimmt. Das (abgebildete) Photoprotonenspektrum von O<sup>16</sup> (γ, p) hat ein Maximum bei 11,2 MeV Protonenenergie. Neu ist die große Zahl von Protonen mit Energien größer als 14 MeV. Um 15 MeV Protonenenergie entsprechend etwa 28 MeV Gamma-Energie beträgt der Querschnitt 2,3 mbarn.

8522 B. ĉujee-Dobovišek. The mechanism of the reaction  $^{16}O$  ( $\gamma$ ,  $4\alpha$ ). Rep. J. Stefan Inst. (jugosl.) 3, 61—77, 1956, Okt.). Der Mechanismus der Reaktion <sup>16</sup>O (ν,4α) wurde durch Bestrahlung von Kernspurplatten mit der Bremsstrahlung eines 32 MeV Betatrons untersucht. 142 durch diese Reaktion entstandene Sterne wurden ausgemessen. Ein deutlicher Wechsel im Mechanismus wurde bei einer Photonenenergie von etwa 24 MeV beobachtet. Bei  ${
m E}_{\gamma} < 24$  MeV verläuft die Reaktion zu etwa 50 % der Fälle über den 9,6 und 10,8 MeV-Zustand des 12 C und den Grundzustand des Be. Für die restlichen 50 % konnte kein einheitlicher Mechanismus bestimmt werden, angenommen wird ein Verlauf über den 12,76 MeV Zustand des 12C und den 3 MeV Zustand des 8Be, doch ist ein direkter Zerfall in vier  $\alpha$ -Teilchen ebenso möglich. Bei E $_{\gamma} > 24$  MeV verläuft die Reaktion zu 80 bis 90 % über den 16,1 MeV-Zustand des 12C und den 3 MeV-Zustand des Be, während die restlichen 20 bis 10 % über den Grundzustand des Be führen. Winkel-Verteilungen und -Korrelationen beim Übergang in den 16.1 MeV-Zustand des 12C und den 3 MeV-Zustand des 8Be wurden bestimmt und mit theoretischen Werten verglichen. Der Wechsel im Reaktionsmechanismus bei etwa 24 MeV läßt sich durch die Auswahlregeln des isotopic spins erklären. H. M. Weiß.

8523 E. K. Hulet, R. W. Hoff, H. R. Bowman and M. C. Michel. Thermal-neutron fission cross sections for isotopes of plutonium, americium and curium. Phys. Rev. (2) 107, 1294—1296, 1957, Nr. 5. (1. Sept.) (Livermore, Calif., Univ.,

Rad. Lab.) In der thermischen Säule des MTR wurden folgende Spaltquerschnitte gemessen:  $Pu^{238}$ ,  $18,4\pm0,9$  barn;  $Am^{241}$ ,  $3,13\pm0,15$  barns;  $Am^{242}$ ,  $6390\pm500$  barns;  $Am^{243}$ , 0,072 barns;  $Cm^{243}$ ,  $690\pm50$  barns;  $Cm^{245}$ ,  $1880\pm150$  barns. Außerdem wurde ein Pileneutronen-Absorptionsquerschnitt von  $520\pm40$  barns für  $Pu^{338}$  gemessen.

8524 S. R. Gunn, H. G. Hicks, H. B. Levy and P. C. Stevenson. Calorimetric determination of the average total kinetic energy of fragments from fission of  $U^{235}$ . Phys. Rev. (2) 107, 1642—1645, 1957, Nr. 6. (15. Sept.) (Livermore, Calif., Univ., Radiat. Lab.) Die kalorimetrische Messung der Spaltfragmentenergie ergab den Wert 166  $\pm$  2 MeV. Dieser Wert ist in sehr guter Übereinstimmung mit anderen Messungen. Die Korrektion auf  $\beta$ -Absorption wird beschrieben. Durch eine radiochemische Analyse des Mo<sup>99</sup> wurde die Zahl der Spaltungen in der U<sup>235</sup>-Probe bestimmt. Die Halbwertszeit von Mo<sup>99</sup> ergab sich zu (66,00  $\pm$  0,15 h).

8525 William E. Stein. Velocities of fragment pairs from U<sup>233</sup>, U<sup>235</sup> and Pu<sup>239</sup> fission. Phys. Rev. (2) 108, 94—98, 1957, Nr. 1. (1. Okt.) (Los Alamos, N. Mex., Univ., Los Alamos Sci. Lab.) Nach einer Flugzeitmethode wurden die Geschwindigkeiten von Fragmentpaaren aus der Spaltung von U<sup>233</sup>, U<sup>235</sup> und Pu<sup>239</sup> gemessen. Die primären Massen und Energien der Spaltstücke wurden nach dem Prinzip der Erhaltung von Masse und Impuls bestimmt. Bei symmetrischer Spaltung wurde eine etwas kleinere totale kinetische Energie beobachtet, was in Übereinstimmung ist mit früheren Ionisationskammermessungen. Die Energiebreite der Fragmente der Masse 97 ergab sich zu 8,1 ± 1,6%. Knecht.

Clyde B. Fulmer and Bernard L. Cohen. Magnetic analysis of the longrange particles from fission of U<sup>235</sup>. Phys. Rev. (2) 108, 370—372, 1957, Nr. 2. (15. Okt.) (Oak Ridge, Tenn., Nat. Lab.) Mit einem hochauflösenden magnetischen Spektrographen wurden die weitreichenden Teilchen aus der Spaltung von U<sup>285</sup> untersucht. Als Detektor diente ein CsJ(Tl)-Szintillator, dessen Impulshöhen im Vergleich mit den entsprechenden Ho-Daten zeigten, daß die Teilchen den gleichen Wert von e²/m haben wie α-Teilchen. Die Energie-Reichweitebeziehung in Al ergab ein me³, das ebenfalls identisch ist mit dem Wert für α-Teilchen. Damit ist erwiesen, daß sowohl m als auch e identisch ist mit den entsprechenden Werten von α-Teilchen. Die gemessene Energieverteilung mit einem Maximum bei 15 MeV ist in Einklang mit früher gemessenen Verteilungen. Die Form der Energieverteilung weist darauf hin, daß die α-Teilchen im Augenblick der Spaltung entstehen und nicht vor oder nach dem Spaltprozeß. Bei 310 Spaltungen wurde im Mittel ein α-Teilchen beobachtet. Diese Zahl scheint jedoch vom Spektrum der spaltenden Pile-Neutronen abhängig zu sein. Die Spaltexperimente wurden im Zentrum des ORNL-Graphitreaktors ausgeführt. Knecht.

8527 A. B. Smith, P. R. Fleids and J. H. Roberts. Spontaneous fission neutron spectrum of  $Cf^{252}$ . Phys. Rev. (2) 108, 411—413, 1957, Nr. 2. (15. Okt.) (Lemont, Ill., Argonne Nat. Lab.; Evanston, Ill., Univ.) Es wurde das Neutronenspektrum aus der spontanen Spaltung von  $Cf^{252}$  von 0,2 bis 7,0 MeV gemessen. Der energiearme Teil des Spektrums wurde nach der Flugzeitmethode untersucht, während die energiereichen Neutronen über die Rückstoßprotonen in Photoemulsionen gemessen wurden. Das Spektrum kann innerhalb der experimentellen Genauigkeit durch die empirische Beziehung N(E) ~ exp [—0,88·E (MeV)]·Sin [2,0·E (MeV)] les chrieben werden. Die Ergebnisse werden verglichen mit dem theoretisch bestimmten Spektrum.

8528 N. S. Ivanova. Mean excitation energy of fissioning uranium nuclei on absorption of slow  $\pi$ -mesons. Soviet Phys.-JETP 4, 597—598, 1957, Nr. 4. (Mai.) (Engl. Übers. aus: J. exp. theor. Phys. (russ.) 31, 693—694, 1956, Okt.) (Acad.

Sci. USSR, Radio Inst.) Es wird die mittlere Anregungsenergie von spaltenden Urankernen durch Reichweitemessung der Kernbruchstücke bestimmt. Die Spaltung wurde mit langsamen n-Mesonen und mit 140 MeV-Protonen induziert. Die beiden Reichweiteverteilungen haben ein ausgeprägtes Maximum und sind praktisch identisch. Da bei Spaltung mit Nukleonen und für Anregungsenergien < 50 MeV von anderen Autoren zwei weitere Maxima beobachtet wurden, ist die mittlere Anregungsenergie sicher größer als 50 MeV. Da die mittlere Anzahl abdampfender geladener Teilchen bei Spaltung mit x-Mesonen kleiner ist als bei Spaltung mit 140 MeV-Protonen (mittlere Anregungsenergie ca. 80 MeV), ist mit 80 MeV eine obere Grenze der mittleren Anregungsenergie bei π-induzierter Spaltung gegeben. Den Spaltmechanismus mit n-Mesonen kann man folgendermaßen charakterisieren: Bei der Absorption eines  $\pi$ - in einem schweren Kern ist die Wechselwirkung des Mesons mit einem Nukleonenpaar an der Oberfläche des Kerns am wahrscheinlichsten. Dann ist es auch am wahrscheinlichsten, daß nur eines der beiden Nukleonen den Kern passiert. Daraus folgt die mittlere Anregungsenergie von 70 MeV, da jedes der beiden Nukleonen etwa 70 MeV erhält.

8529 V. I. Ostroumov and N. A. Perfilov. Angular distribution of the uranium fission fragments produced by high-energy neutrons. Soviet Phys.-JETP 4, 603 bis 604, 1957, Nr. 4. (Mai.) (Engl. Übers. aus: J. exp. theor. Phys. (russ.) 31, 716 bis 717, 1956, Okt.) Es wurde die Winkelverteilung von Uranspaltstücken relativ zur Einfallsrichtung sehr energiereicher Neutronen mit Hilfe von Photoplatten gemessen. Die Neutronen wurden durch Ladungsaustausch zwischen 680 MeV-Protonen und einem Berylliumtarget erhalten. Die Photoemulsion war mit Uransalz imprägniert und wurde bei der Exposition mit der Plattenebene parallel zum einfallenden Strahl gestellt. Die Verbindungslinie zwischen den Endpunkten der beiden Fragmentspuren sowie die Einfallsrichtung der Neutronen definierten den gesuchten Winkel. Der Anisotropiekoeffizient, der gegeben ist durch das Verhältnis von Anzahl der Ereignisse mit Winkeln zwischen 45° und 90° zur Anzahl der Ereignisse zwischen 0° und 45° beträgt 0,90 für einfache Spaltungen und 1,18 für Spaltungen mit begleitender Emission geladener Teilchen (Sterne). Die parallele Anisotropie für einfache Spaltungen ist in Einklang mit Ergebnissen mit 14 MeV-Neutronen, die senkrechte Anisotropie für "Sternspaltungen" ist in Einklang mit den Beobachtungen mit 460 bzw. 660 MeV-Protonen. Knecht.

8530 A. H. W. Aten jr. and A. C. Pieterse. Formation and properties of selenium 71. Physica, 's Grav. 23, 799—800, 1957, Nr. 8. (Aug.) (Amsterdam, Inst. kernphys. Onderzoek.) Das radioaktive Isotop <sup>71</sup>Se wurde über die Reaktion <sup>70</sup>Ge ( $\alpha$  3 n) <sup>71</sup>Se unter Beschuß eines GeO<sub>2</sub> Targets mit 52 MeV He<sup>++</sup> hergestellt. Es wurden Positronen von (4,5  $\pm$  0,5) min als Zerfallsteilchen nachgewiesen. Daneben waren anwesend: Positronen vom <sup>73</sup>Se (44 min)? und <sup>73</sup>Se (7,1 h). Durch Vergleich mit Standardabsorptionskurven ergab sich die maximale  $\beta$ <sup>+</sup>-Energie vom <sup>71</sup>Se zu 3,4 MeV. Daraus ergibt sich unter Verwendung theoretischer Erwägungen und von Daten aus Nachbarkernen eine Anregungsenergie des <sup>71</sup>Se von 4,8 MeV. Leisinger.

8531 Harmon Craig. Distribution production rate and possible solar origin of natural tritium. Phys. Rev. (2) 105, 1125—1127, 1957, Nr. 3. (1. Febr.) (La Jolla, Calif., Univ., Scripp. Inst. Oceanogr.) Aus der Kenntnis des Wirkungsquerschnittes für die Tritiumbildung aus Stickstoff und Sauerstoff durch die Primärkomponente der Höhenstrahlung läßt sich die Tritiumentstehung zu 0,2 Tritiumatomen pro s und cm² Erdoberfläche abschätzen. Vf. zeigt, daß dieser Prozeß nicht ausreicht, um die natürliche Tritiumkonzentration zu erklären. Vf. sieht in der Sonne eine mögliche außerirdische Tritiumquelle.

8532 F. S. Stephens jr., Frank Asaro, Saadia Amiel and I. Perlman. Plutonium-237 m, another case of E 3 isomerism for neutron number 143. Phys. Rev. (2) 107, 1456—1458, 1957, Nr. 5. (1. Sept.) (Berkeley, Calif., Univ., Rad. Lab.) Das Pu-237 m wurde auf folgendem Wege hergestellt: Pu-239 wurde mit 32 MeV Alphateilchen beschossen. Das entstandene Cm-241 wandelt sich durch Elektroneneinfang in Pu-237 um. Die Zerfallsrate vom Pu-237 und das Photonenspektrum mit einem Maximum von 145 keV der isomeren Umwandlung wurden bestimmt. Der E 3-Übergang im Plutonium geht von einem Zustand 1/2 + (6,3,1) mit einer mittleren Lebensdauer von 0,18 s, in einen 7/2-(7,4,3) Zustand über.

8533 H. E. Gove and A. E. Litherland. Comparison of the mirror nuclei Mg<sup>25</sup> and Al<sup>25</sup>. Phys. Rev. (2) 107, 1458—1459, 1957, Nr. 5. (1. Sept.) (Chalk, River, Can., Atom. Energy Lim., Phys. Div., Lab.) Von dreizehn Zuständen der Spiegelkerne Mg-25 und Al-25 werden mit einiger Willkür Spin und Parität identifiziert. Das Feld fehlender experimenteller Unterlagen wird aufgezeichnet.

Leisinger.

8534 N. P. Heydenburg, G. F. Pieper and C. E. Anderson. Coulomb excitation of krypton. Phys. Rev. (2) 108, 106—107, 1957, Nr. 1. (1. Okt.) (Washington, D. C., Carnegie Inst., Dep. Terr. Magn.; New Haven, Conn., Yale Univ.) An zwei Kryptonproben mit stark angereichertem Anteil der leichten Isotope werden Coulomb-Anregungen untersucht, die durch Beschuß mit  $\alpha$ -Teilchen der Energie 6,1 und 6,6 MeV erzeugt werden. Die Energien der angeregten Zustände werden durch Analyse der  $\gamma$ -Strahlung bestimmt und den einzelnen Isotopen eindeutig zugeordnet. Es zeigt sich, daß man für das einzige ug-Isotop Kr<sup>83</sup> keine  $\gamma$ -Strahlung findet.

8535 A. Stolovy and J. A. Harvey. Radiation widths of levels in nuclei near closed shells. Phys. Rev. (2) 108, 353—361, 1957, Nr. 2. (15. Okt.) (Upton, N. Y., Brookhaven Nat. Lab.) Die Änderungen in den Strahlungsbreiten der Kernenergieniveaus von Isotopen in den Bereichen magischer Neutronenzahlen, in denen die Schwankungen der Niveauabstände und der Neutronenbindungsenergien am größten sind, wurden experimentell bestimmt. Die Ergebnisse zeigen, daß die Schwankungen der Strahlungsbreiten klein sind verglichen mit den starken Schwankungen der Neutronenstreubreiten, daß sie (wie im wesentlichen von der Theorie von Blatt und Weisskoff verlangt) schwach vom Niveauabstand und stark von der effektiven Niveauanregungsenergie abhängen und daß bei den abgeschlossenen Schalen mit 82 und 126 Neutronen besonders große Abweichungen von der von Hughes und Harvey 1954 angegebenen Geraden im Strahlungsbreiten-Atomgewicht-Diagramm auftreten. Die Ergebnisse werden mit Vorhersagen auf Grund halbempirischer Formeln verglichen.

8536 Per Olof Fröman and Hans Ryde. An investigation of the decay scheme of  $Ta^{182}$  by means of a coincidence scintillation spectrometer. Ark. Fys. 12, 399—413, 1957, Nr. 5. (5. Sept.) (Lund, Sweden, Univ., Dep. Phys.) Das  $Ta^{182}$  wurde durch die Reaktion  $Ta^{181}$  (n,  $\gamma$ ) erzeugt und als Fluorid verwendet. Die Auflösung der früher von Johansson und Almquist (Ark. Fys. 5, 427, 1952) beschriebenen Apparatur betrug ca. 0,2  $\mu$ s. Bei jeder Messung war die Zahl der Koinzidenzenimpulse mindestens 10<sup>4</sup> und die der Zufallskoinzidenzen höchstens 10 %. Für  $\gamma$ - $\gamma$ -Koinzidenzen fanden NaJTl-Kristalle Verwendung, für  $\beta$ - $\gamma$ -Koinzidenzen ein Anthracen- und ein NaJTl-Kristall. Die Ergebnisse bestätigen im wesentlichen das früher von anderen Autoren aufgestellte Zerfallsschema. G. Schumann.

8537 A. G. W. Cameron. Nuclear radiation widths. Canad. J. Phys. 35, 666-671, 1957, Nr. 5. (Mai.) (Chalk River, Ontario, Atomic Energy Canada Ltd.) Unter

Benutzung der Formel von T. D. Newton über den Niveauabstand wurde die totale Strahlungsbreite nuklearer Energieniveaus ermittelt. Die einzige anzugleichende Konstante in dieser Berechnung ist der Normalisierungsfaktor, der durch Vergleich mit beobachteten Strahlungsbreiten bestimmt wurde. Die logarithmische mittlere Abweichung der beobachteten Strahlungsbreiten von den berechneten Werten ist danach gleich einem Faktor 1,37. Die berechneten Strahlungsbreiten werden für eine Anzahl Kerne in der Nähe des Tales der  $\beta$ -Stabilität bei Anregungsenergien, die der Energiefreigabe bei Neutroneneinfang entsprechen, dargeboten. Es zeigt sich, daß bei schweren Kernen mit großen Linienabständen die Strahlungsbreiten der elektrischen Dipolübergänge zum Grundzustand die nach der erwähnten Formel berechneten übersteigen können. Das entspricht der ungewöhnlichen Natur der Strahlungsübergänge im Blei.

8538 A. C. Knipper. Excited levels of cadmium 110. Proc. phys. Soc. Lond. 71, 77—81, 1958, Nr. 1 (Nr. 457). (1. Jan.) (Oxford, Clarendon Lab.) Aus Koinzidenzen zwischen den γ-Linien ergaben sich Kaskadenbeziehungen, für die Winkelkorrelationen untersucht wurden. Ein Niveauschem wird angegeben. Zwischen einer Reihe von Niveaus des Cd<sup>110</sup> und denen des Xe<sup>130</sup> besteht eine Analogie: die Energien liegen dort ca. 15 % niedriger als bei Cd<sup>110</sup>, und Spins und Paritäten scheinen in beiden Fällen dieselben zu sein. G. Schumann.

8539 B. van Nooijen, J. Kenijn, A. Heyligers, J. F. van der Brugge and A. H. Wapstra. On the decay of  $^{48}$ Sc and  $^{48}$ V. Physica, 's Grav. 23, 753—766, 1957, Nr. 8. (Aug.) (Delft, T. H., Lab. tech. Phys.) Durch Winkelkorrelations- und Konversionskoeffizienten-Messungen wurden die Spins der beim Zerfall des  $^{48}$ Sc und  $^{48}$ V entstehenden Niveaus des  $^{48}$ Ti bestimmt. Die Ergebnisse sind: Spin und Parität des 3,24 MeV-Niveaus ist 4<sup>+</sup>. Die  $\gamma$ -Energien betragen 986  $\pm$  3; 1040  $\pm$  3; 1314  $\pm$  4; 2253  $\pm$  15 keV. Die Grenzenergie des  $\beta$ -( $\beta$ <sup>+</sup>)-Spektrums des Sc 48 (V 48) (ist 654  $\pm$  7) keV ((698  $\pm$  4) keV). 55,6  $\pm$  0,8 % der V 48-Zerfälle sind Positronenübergänge. Die Halbwertszeit des V 48 beträgt (16,15  $\pm$  0,17) d. Nölde ke.

8540 H. de Waard und O. I. Poppema. Longitudinal polarization of beta-particles from 60Co, 32 P and 170Tm. Physica. 's Grav. 24, 597—598, 1957, Nr. 7. (Juli.) (Groningen, Nederl. Ryksuniv. Natuurk. Lab.). Die longitudinale Polarisation wurde durch elektrostatische 90°-Ablenkung (Radius 12 cm) in eine transversale übergeführt, die durch Weitwinkelstreuung an einer Au-Folie erzeugte Asymmetrie mit zwei Szintillationszählern gemessen. Ergebnisse:

	Asymmetrie	Polarisationsgrad
Co <sup>60</sup> .	$1,125 \pm 0,03$	$-0.49 \pm 0.11$
P <sup>32</sup>	$+1,11 \pm 0,025$	$-0.50 \pm 0.11$
Tm <sup>170</sup>	$1,10 \pm 0,036$	$-0.35 \pm 0.11$

Die Werte für Co<sup>60</sup> und P<sup>32</sup> scheinen etwas kleiner als | v/c | zu sein, was durch Depolarisation in der Streufolie bedingt sein könnte. Spin und Impuls der emittierten Elektronen sind sowohl bei den erlaubten Übergängen von Co<sup>60</sup> und P<sup>32</sup> als auch bei dem einfach verbotenen von Tm<sup>170</sup> entgegengesetzt gerichtet. Es läßt sich nicht ausschließen, daß der Effekt für Tm<sup>170</sup> dieselbe Größe hat wie für erlaubte Übergänge, da ein ziemlich dickes Präparat (1 mg/cm<sup>2</sup>) benutzt werden mußte.

G. Schumann.

8541 R. Gatto. Interference effects between members of parity doublets in the Lee-Yang theory. Nuovo Cim. (10) 5, 1021—1023, 1957, Nr. 5. (1. Mai.) (Rom, Univ., Ist. Naz. Fis. Nucl.) Beobachtbare Folgerungen aus der (inzwischen überholten) Theorie der Paritäts-Dubletts.

- 8542 G. Lüders. Verletzung der Spiegelungssymmetrie der Naturgesetze? Naturwissenschaften 44, 273—277, 1957, Nr. 9. (Mai.) (Cambridge, Mass., Inst. Technol., Dep. Phys.) Nach einer Erläuterung der Problemstellung und der Vorgeschichte, die zu den Experimenten von C. S. Wu u. a. (Phys. Rev. 105, 1413, 1957) führten, werden diese eingehend dargestellt und in einem Ausblick die sich daraus ergebenden Folgerungen für die relativistischen Feldtheorien diskutiert. Die erwähnten Experimente zeigen, daß außer der Spiegelungssymmetrie zumindest auch die Symmetrie bezüglich der Vertauschung von Teilchen und Antiteilchen verletzt ist; die Invarianz gegen Zeitumkehr müßte noch näher untersucht werden.
- 8543 M. Morita and R. Saito Morita. Time-reversal invariance and beta-gamma angular correlation. Phys. Rev. (2) 107, 1316-1321, 1957, Nr. 5. (1. Sept.) (New York, N. Y., Columbia Univ., Dep. Phys.) Zu gleicher Zeit und unabhängig von R. B. CURTIS and R. R. LEWIS (nachst. Ref.) geben Vff. die Winkelkorrelationsfunktionen zwischen  $\beta$ - und  $\gamma$ -Strahlen ausgerichteter Kerne für erlaubte  $\beta$ -Übergänge ( $\Delta I=0$ , no) und Quadrupol- $\gamma$ -Strahlung an, mit deren Hilfe die Invarianz gegenüber Zeitumkehr bei β-Wechselwirkungen experimentell geprüft werden kann. Wenn die  $\beta$ -Wechselwirkungen nicht invariant gegenüber Zeitumkehr sind, weist die Winkelkorrelationsfunktion Asymmetrien auf: W  $(\Theta;$  $(\theta, +\varphi) \neq W(\theta; \theta, -\varphi)$  und  $W(\theta; \theta, +\varphi; P) \neq W(\theta; \theta, -\varphi; P)$ , wobei die Kernorientierung als Polarachse und die Polarwinkel des emittierten  $\beta$ -Teilchens durch  $\theta$ ,  $\Phi \equiv 0$  und die Polarwinkel des  $\gamma$ -Quantes durch  $\theta$ ,  $\varphi$  gegeben werden. Mit P wird die zirkulare Polarisation der  $\gamma$ -Quanten bezeichnet, wobei P = +1(-1) für links (rechts) zirkular polarisierte Strahlung gelten soll. Die Asymmetrien sind von der Größenordnung p/W Im  $\{c_T^*c_S + c_T^*c_S - c_A^*c_V^* - c_A^*c_V^*\}$ . Wenn die zirkulare Polarisation des γ-Quantes nicht beobachtet werden soll, ist die für das Experiment günstigste Geometrie durch ein rechtwinklig zu der durch Kernorientierung und  $\gamma$ -Impuls bestimmten Ebene wegfliegendes  $\beta$ -Teilchen bestimmt, während bei gleichzeitiger Bestimmung der zirkularen Polarisation die günstigste Geometrie durch jeweiliges Senkrechtstehen von Kernorientierung sowie von  $\beta$ - und  $\gamma$ -Impuls gegeben ist. In einer kurzen Übersicht wird diskutiert, welche Kombinationsmöglichkeiten der Kopplungskonstanten geeignet sind, um die Invarianz gegenüber Zeitumkehr experimentell zu prüfen.
- 8544 R. B. Curtis and R. R. Lewis. Beta-gamma correlations from oriented nuclei. Phys. Rev. (2) 107, 1381—1382, 1957, Nr. 5. (1. Sept.) (Princeton, N. J., Inst. Adv. Study.) Vff. schlagen vor, die Messung der Korrelationsfunktion für  $\beta$ - $\gamma$ -Übergänge an ausgerichteten Kernen zur experimentellen Prüfung der Zeitunkehr-Invarianz bei  $\beta$ -Wechselwirkungen zu benutzen. Gleichzeitig stellt ein solches Experiment einen empfindlichen Nachweis für den Typ der Fermi-Wechselwirkung (S oder V, bzw. S + V) dar; experimentell ist der Versuch eine relativ einfache Verallgemeinerung des ursprünglichen Experimentes von Wu u. a. (Phys. Rev. 105, 1413, 1957) in dem die  $\beta$  und  $\gamma$ -Verteilungen jeweils einzeln, jedoch nicht in Koinzidenz gemessen wurden. Die Korrelationsfunktion wird für erlaubte Übergänge ( $\Delta$ I = 0, no) in allgemeiner Form dargestellt und in bezug auf die experimentell möglichen Aussagen über Wechselwirkungen und Invarianz gegenüber Zeitumkehr diskutiert.
- 8545 M. Morita. Angular correlations between  $\beta$  rays and circularly polarized  $\gamma$  rays in triple cascade transitions. Phys. Rev. (2) 107, 1729—1730, 1957, Nr. 6. (15. Sept.) (New York, N. Y., Columbia Univ., Dep. Phys.) Die Winkelkorrelationen zwischen emittierten  $\beta$ -Teilchen und zirkular polarisierten  $\gamma$ -Strahlen bei dreifach Kaskadenübergängen können Aufschluß über die relativen Größen

und Phasen der zehn Kopplungskonstanten  $C_i$  und  $C_i'$  (i=S,V,T,A,P) für  $\beta$ -Wechselwirkungen geben. Vf. gibt die Korrelationsfunktion für  $\beta$ -Teilchen und dem zirkular polarisierten ersten bzw. dem zweiten  $\gamma$ -Quant der Kaskade an, wobei jeweils ein  $\gamma$ -Quant nicht beobachtet werden soll. Die Formeln stellen eine Erweiterung der schon früher von M. Morita (Ber. 36, 1177, 1957) angegebenen Korrelationsfunktionen für Dreifachkaskaden-Übergänge dar, bei deren Ableitung noch sämtliche  $C_i'$  als Null angenommen wurden.

8546 F. Boehm and A. H. Wapstra.  $\beta$ - $\alpha$  circular polarization correlation in  $Au^{198}$  and  $Co^{58}$ . Phys. Rev. (2) 107, 1462, 1957, Nr. 5. (1. Sept.) (Pasadena, Calif., Inst. Technol.) Die Winkelverteilung zirkular polarisierter  $\gamma$ -Quanten, deren Richtung einen Winkel  $\vartheta$  gegenüber einem vorher emittierten  $\beta$ -Teilchen bildet, wird durch W ( $\vartheta$ ,  $\pm$ ) = 1  $\pm$  A v/c cos  $\vartheta$  (positives Vorzeichen für rechts-, negatives Vorzeichen für links zirkular polarisiertes  $\gamma$ -Quant) beschrieben. Vff. führten ihre Messungen an den  $\beta$ - $\gamma$ -Kaskaden von Au<sup>198</sup> und Co<sup>58</sup> durch, die beide das Zerfallsschema 2 ( $\beta$ ) 2 ( $\gamma$ ) 0 besitzen. Der Asymmetrieparam eter A wurde für Au<sup>198</sup> zu + 0,52  $\pm$  0,09; für Co<sup>58</sup> zu - 0,14  $\pm$  0,07 bestimmt. Andresen.

8547 E. M. Henley and B. A. Jacobsohn. Time reversal in nuclear interactions. Phys. Rev. (2) 108, 502—503, 1957, Nr. 2. (15. Okt.) (Seattle, Wash., Univ., Dep. Phys.; Upton, N. Y., Brookhaven Nat. Lab.) Da Paritätserhaltung, Invarianz gegenüber Ladungskonjugation und vielleicht auch die Invarianz gegenüber Zeitumkehr bei schwachen Wechselwirkungen nicht erfüllt sind, ist die Frage interessant, wieweit diese Invarianzforderungen bei den starken Wechselwirkungen erfüllt sind. Experimentell bestätigt ist, daß durch Kernkräfte Zustände entgegengesetzter Parität mit Amplituden von höchstens 10-3 bis 10-4 gemischt werden. Hinsichtlich der Invarianz gegenüber Zeitumkehr bei starken Wechselwirkungen kann aus den gegenwärtigen experimentellen Daten nur geschlossen werden, daß die obere Grenze der Zumischung von Kernkräften, die ungerade in bezug auf Zeitumkehr sind, bei 10 bis 20 % liegt. Vff. geben eine Übersicht über die verschiedenen Möglichkeiten, die Invarianz gegenüber Zeitumkehr bei starken Wechselwirkungen experimentell zu bestätigen.

E. Ambler, R. W. Hayward, D. D. Hoppes and R. P. Hudson. Absence of interference effects in the  $\beta$  decay of polarized  $\hat{Co}^{56}$  and  $Co^{58}$  nuclei. Phys. Rev. (2) 108, 503—505, 1957, Nr. 2. (15. Okt.) (Washington, D. C., Nat. Bur. Stand.) Die Messungen wurden im wesentlichen mit der früheren Apparatur von Wu et al. ausgeführt. Bei Co<sup>56</sup> wurde die Beta-Asymmetrie, bei Co<sup>56</sup> die Asymmetrie der Beta-Gamma-Richtungskorrelation gemessen. Die aus der Komplexität des Zerfallsschemas von Co<sup>56</sup> herrührenden Schwierigkeiten werden ausführlich diskutiert. Die Resultate werden im Zusammenhang mit der Zweikomponentenund der Zwillingstheorie des Neutrinos unter näherer Berücksichtigung von S-, T- und V-Wechselwirkung betrachtet. Co<sup>56</sup>: Es wurde ein WU-Koeffizient α' = 0,221 ± 0,021 gemessen. Kombinationen unter Einschluß von A-Kopplung sind nicht verträglich mit den Experimenten. Co58: Eine mögliche Erklärung für das schon früher beobachtete Fehlen von Interferenztermen bei der Beta-Asymmetrie ist, daß die gemischten Produkte von S- und T-Kopplungskoeffizienten imaginär sind. Das bedeutete Verletzung der Invarianz gegenüber Zeitumkehr. Das zu diesem Ende angestellte Korrelationsexperiment erbrachte keine große Asymmetrie der Korrelation (- 0,014 ± 0,034). Unter Annahme skalarer FERMI-Wechselwirkung und Gültigkeit der Zweikomponententheorie entsteht ein Widerspruch zu dem von GRIFFING und WHEATLEY angegebenen Mischungsverhältnis FERMI- zu GAMOW-TELLER-Wechselwirkung; dagegen sind die Resultate von BOEHM und WAPSTRA mit denen der Vff. in Übereinstimmung.

Daniel.

8549 Hans Jörg Mang. Zur Theorie des  $\alpha$ -Zerfalls. (Insbesondere der Kerne in der Umgebung von Pb<sup>208</sup>.) Z. Phys. 148, 582—592, 1957, Nr. 5. (22. Juli.) (Heidelberg, Univ., Inst. theor. Phys.) Zeitabhängiges Störungsverfahren zur Berechnung der Konstanten des  $\alpha$ -Zerfalls aus den Wellenfunktionen von Anfangskern, Restkern und  $\alpha$ -Teilchen. Die Zerfallskonstante ergibt sich als Produkt zweier Faktoren folgender Deutung: 1. Durchlässigkeit einer Potentialschwelle, 2. Wahrscheinlichkeit für das Vorhandensein einer Konfiguration Restkern plus  $\alpha$ -Teilchen am Kernrand in der Ausgangskonfiguration. Auswertung der Formeln mit Schalenmodell-Wellenfunktionen. Anwendung auf die Zerfälle <sup>211</sup>Po  $\rightarrow$  <sup>207</sup>Pb und <sup>212</sup>Po  $\rightarrow$  <sup>208</sup>Pb. Grawert.

8550 Per Olof Fröman. Alpha decay of deformed nuclei. K. danske vidensk. Selsk. (Dan. mat. Fys. Skr.) 1, 1957, Nr. 3, S. 1—76. Das Problem der Feinstruktur für die  $\alpha$ -Teilchen-Intensitäten wird auf Grund des kombinierten Kernmodells (unified model) behandelt. Entsprechend den möglichen Zerfallskanälen, bei denen der Endkern in verschiedenen Zuständen zurückbleibt, wird ein System gekoppelter Differentialgleichungen für die radialen Wellenfunktionen erhalten, welches auf einen analytischen Näherungsausdruck für die Intensitäten der  $\alpha$ -Gruppen führt. Die theoretischen Ergebnisse werden mit den experimentellen in einer ausführlichen Analyse verglichen. Dabei werden auch die Winkelverteilungen der  $\alpha$ -Teilchen aus polarisierten Kernen betrachtet. Wagner.

8551 W. G. Smith, R. L. Robinson, J. H. Hamilton and L. M. Langer. Beta decay of thulium-171. Phys. Rev. (2) 107, 1314—1315, 1957, Nr. 5. (1. Sept.) (Bloomington, Ind., Univ., Phys. Dep.) Der Zerfall von  $\mathrm{Tm}^{171}$  (1,9 a) wurde untersucht mit einem großen  $180^\circ$ -Magnetspektrometer mit inhomogenem Feld (Abschneidegrenze des Zählers unterhalb von 6 keV), einem Spektrographen mit permanentem Magnetfeld und einem Szintillationsspektrometer (Beta-Detektor plastischer Sandwich-Phosphor), das auch für Beta-Gamma-Koinzidenzmessungen benutzt wurde. Man fand zwei Beta-Kontinua,  $96,5\pm1$  keV und etwa 30 keV, sowie die L-, M- und N-Konversionslinien eines Übergangs von  $66,7\pm0,5$  keV. Betas von etwa 30 keV koinzidieren mit Gammas von etwa 60 keV. Die Intensität der weicheren Beta-Gruppe beträgt etwa 2 %. Nach den ft-Werten sind beide Beta-Komponenten einfach verboten. Die 67 keV-Gamma-Strahlung ist wahrscheinlich eine M 1-E 2-Mischung. Spin- und Paritätszuordnungen für die Niveaus werden diskutiert.

8552 Alex E. S. Green. Single electron shakeoff probability following the beta decay of krypton. Phys. Rev. (2) 107, 1646—1650, 1957, Nr. 6. (15. Sept.) (Tallahassee, Flor., State Univ., Dep. Phys.) Im Hinblick auf die experimentelle Untersuchung von SNELL und PLEASONTON, in der gefunden wurde, daß das Tochteratom nach Beta-Zerfall von Krypton häufig hochgradig ionisiert zurückgelassen wird, war es von Interesse, eine Berechnung der "Abschüttel"-Wahrscheinlichkeit für alle äußersten besetzten Konfigurationen zu versuchen. Die Rechenmethode folgt im wesentlichen denen von MIGDAL, von FEINBERG, von Levinger u. a. Die Einzelheiten der Rechnung hängen beträchtlich von der Verfügbarkeit über Hartree-Wellenfunktionen für Rb<sup>+</sup> ab. Neu gewonnen wurden analytische Näherungen der Hartree-Funktionen. Die Übereinstimmung zwischen Theorie und Experiment ist ziemlich zufriedenstellend. Einige der hier eingeführten Neuerungen mögen auch für andere Berechnungen an Atomen nützlich sein.

Daniel

8553 A. Pytte. Circular polarization of internal bremsstrahlung. Phys. Rev. (2) 107, 1681—1685, 1957, Nr. 6. (15. Sept.) (Cambridge, Mass., Univ., Lyman Lab. Phys.) Mit der üblichen  $\beta$ -Wechselwirkung wird eine Berechnung der zirkular polarisierten Bremsstrahlung bei erlaubten  $\beta$ -Zerfällen durchgeführt. Die Polari-

sation nimmt von Null an zu bei kleinen Energien bis zu einem Maximum am Ende hoher Energien. Der Maximalwert hängt stark von den relativen Größen der Kopplungskonstanten bei der  $\beta$ -Wechselwirkung ab. Mit der Zweikomponententheorie des Neutrinos und nur mit skalarer und tensorieller Wechselwirkung ist die Polarisation am Ende der hohen Energien vollständig. Es werden graphische Zeichnungen der Polarisation als Funktion der Photonenenergie für S³5 und P³2 unter Verwendung der Bornschen Näherung angegeben, wobei die erwähnte  $\beta$ -Wechselwirkung verwendet wurde. Der Einfluß nuklearer Coulomb-Felder auf das Gammastrahlenspektrum und die Polarisation wird erörtert.

Leisinger.

- 8554 B. J. Dropesky and L. M. Langer. Beta spectrum of Th<sup>233</sup>. Phys. Rev. (2) 108, 90—91, 1957, Nr. 1. (1. Okt.) (Los Alamos, N. Mex., Univ., Los Alamos Sci. Lab.) Das Beta-Spektrum von Th<sup>233</sup> wurde mit einem Ringfokus-Solenoid-spektrometer bei verschiedenen Quellen- und Unterlagendicken aufgenommen. Man fand, wie früher, eine Grenzenergie von 1,23 ± 0,01 MeV; jedoch konnte die früher beobachtete Formanomalie nicht bestätigt werden. Nach Gamma-Strahlung wurde über Konversionslinien (bis 5 keV hinab) und mit einem NaJ-Szintillationsspektrometer plus Hundertkanal-Analysator gesucht. Es sind höchstens sehr schwache Übergänge da (≲ 1%). Th<sup>233</sup> zerfällt also hauptsächlich über die 1,23 MeV-Beta-Gruppe direkt in den Grundzustand von Pa<sup>233</sup>. Die Halbwertszeit, gemessen mit verschiedenen Methanzählern, ergab sich zu (22,4 ± 0,1) min.
- 8555 R. D. Connor and I. L. Fairweather. The  $\beta$ -spectrum of sulphur 35. Berichtigung. Proc. phys. Soc. Lond. (A) 70, 909, 1957, Nr. 12 (Nr. 456 A). (1. Dez.) S. Ber. S. 830. Die mittlere  $\beta$ -Energie beträgt 48,8  $\pm$  0,2 keV (nicht 61 keV). G. Schumann.
- 8556 F. Barreira and M. Laranjeira. A graphical absolute method for range determination of  $\beta$ -particles. Int. J. appl. Radiat. Isotopes 2, 145—148, 1967, Nr. 2. (Lisbon, Estud. Energia Nuclear-Lab. Fis.) Es wird eine graphische Methode zur Bestimmung der Reichweite von  $\beta$ -Strahlern beschrieben, welche ohne Vergleich mit einem  $\beta$ -Strahler bekannter Reichweite einfach durchgeführt werden kann. Die gemessene Absorptionskurve wird in bestimmter Weise transformiert. Die so erhaltene neue Kurve ist nur schwach gekrümmt und gestattet durch graphische Extrapolation über den unbekannten Teil der Absorptionskurve die Bestimmung der Reichweite.
- 8557 Gérard-André Renard. Sur le spectre de freinage interne et les raies d'autoionisation des nuclides <sup>90</sup>Y et <sup>32</sup>P dans la région des basses énergies. J. Phys. Radium 18, 681—686, 1957, Nr. 12. (Dez.) (Paris, Coll. France, Lab. Phys. Chim. Nucl.) Das Spektrum der inneren Bremsstrahlung der Kerne <sup>90</sup>Y und <sup>32</sup>P wird im Bereich kleiner Energie mit einem Proportionalzählrohr vermessen. Es ergibt sich keine Übereinstimmung zwischen den gemessenen Spektren und den Aussagen der Theorie. Die mit derselben Anordnung gemessenen Häufigkeiten der Selbstionisation sind dagegen mit ihren berechneten Werten in Einklang.

H. D. Schulz.

8558 Th. Stribel. Zum Zerfall der Palladium-Isomere  $Pd^{105m}$  und  $Pd^{109m}$  Z. Naturf. 12 a, 939—940, 1957, Nr. 11. (Nov.) (Frankfurt/Main, Univ., Inst. Kernphys.; Hechingen, Hochspannungslab.) Die Isotope wurden mit schnellen Li(d, n)-Neutronen aus Pd erzeugt. Gemessen wurde mit NaJ-Szintillationsspektrometer plus Hundertkanal-Analysator. Pd $^{105m}$ : Halbwertszeit  $T=(21,3\pm0,5)$  s, Gamma-Energie (216  $\pm$  5 ke)V, K-Konversionskoeffizient  $\alpha_{\rm K}=0,30\pm0,05$ . Pd $^{109m}$ : Halbwertszeit  $T=(4,75\pm0,05)$  min, Gamma-Energie (188

 $\pm$  5 keV, K-Konversionskoeffizient  $\alpha_{\rm K}=0.60\pm0.1$ . Aus Konversionskoeffizienten und Lebensdauern zusammen folgt für beide Übergänge der Charakter E.3.

8559 R. E. Azuma and G. M. Lewis. Delayed  $\gamma$ -ray angular correlations in tantalum 181. Phil. Mag. (8) 2, 1325—1332, 1957, Nr. 23. (Nov.) (Glasgow, Univ., Dep. Nat. Philos.) Die nukleare Reorientierung von  $^{181}$ Ta im metastabilen Zwischenzustand, welcher der  $\gamma$ -Kaskade 133  $\rightarrow$  480 keV entspricht, konnte auf Grund der abnehmenden Winkelanisotropie während einer Zeit von  $3/2~\tau$  ( $\tau\approx 10^{-8}$  s Halbwertszeit) mit einer zeitlich hochauflösenden Koinzidenzapparatur nachgewiesen werden. Die Reorientierung erfolgt unter dem Einfluß extra nuklearer Kräfte in flüssiger Lösung. Die maximale Anisotropie (W 180° — W 90°)/W 90° betrug — (39  $\pm$  3) % und nahm während 3/2  $\tau$  auf etwa die Hälfte ab. Ihre Größe im ungestörten Zustand ( $\Delta$  t  $\rightarrow$  0) bestätigt das Übergangsschema  $^{1/2}$  (E 2) 5/2 (E 2 + M 1) 7/2, das von Heer et al. sowie Paul und Steffen schon früher angenommen wurde. Der gemischte Übergang E2 + M1 ist insofern ungewöhnlich, als der Quadrupolanteil mit 97¹/2 % weit überwiegt, während auf Grund des Einteilchenmodells der M1-Term dominieren sollte.

Pfotzer.

8560 F. K. McGowan and P. H. Stelson. Internal conversion coefficients for pure E2 and mixed E2 + M1 transitions. Phys. Rev. (2) 107, 1674—1680, 1957, Nr. 6. (15. Sept.) (Oak Ridge, Tenn., Nat. Lab.) Für eine Anzahl reiner E 2- und gemischter E 2 + M 1-Übergänge, die aus dem Zerfall niedrig liegender Rotationszustände resultieren, wurden die inneren Konversionskoeffizienten der KSchale gemessen. Diese Zustände wurden entweder durch Coulomb-Anregung oder durch radioaktiven Zerfall gebildet. Die experimentellen Werte liegen beträchtlich höher als die von SLIV et al. berechneten.

Leisinger.

Michal Gryzinski. Stopping power of a medium for heavy, charged particles. Phys. Rev. (2) 107, 1471-1475, 1957, Nr. 6. (15. Sept.) (Hoza, Warsaw, Pol., Univ., Inst. Exp. Phys.) Es wird gezeigt, daß die Bahnbewegung der Elektronen in den Molekülen eines Mediums für die Abbremsung langsamer geladener Teilchen von Bedeutung ist. Das hat seine Ursache in der starken Abhängigkeit der Übertragung von Impuls in einem COULOMB-Feld von der relativen Geschwindigkeit. Auf der Grundlage der klassischen Mechanik werden Gleichungen zur Ermittelung des absoluten Abbremsvermögens eines beliebigen Mediums im gesamten nichtrelativistischen Energiebereich abgeleitet. Im Bereich großer Energien entspricht die Formel der BETHEschen und für kleine Energien der von FERMI-TELLER. Aus der Formel und den experimentellen Ergebnissen wird geschlossen, daß der Elektroneneinfang unbedeutend für die Abbremsung von Protonen ist. Er wird interessant für Alphateilchen und entscheidend für Teilchen höherer Ladung. Das Abbremsvermögen von H, H2 und A für Protonen und für Alphateilchen von H2 wird berechnet. Gute Übereinstimmung mit den experimentellen Daten ergeben sich.

8562 Tai Tsun Wu. High-energy potential scattering. Phys. Rev. (2) 108, 466 bis 469, 1957, Nr. 2. (15. Okt.) (Cambridge, Mass., Harvard Univ., Div. Engng., Appl. Phys.) Für den Grenzfall hoher Energien werden sukzessive Näherungen für die Potentialstreuung abgeleitet, in der die totale Phasenverschiebung durch das Potential nicht klein ist. Behandelt wird nur die Schrödinger-Gleichung. Die Methode besteht darin, daß zunächst die stationäre Phasennäherung auf die Integralgleichung angewandt und dann die resultierende Gleichung durch Iteration gelöst wird, um das asymptotische Verhalten des Feldes abzuleiten. Insbesondere lassen sich einige Aussagen über das Strahlungsfeld gewinnen. Informationen über Weitwinkelstreuung vermag die Theorie nicht zu liefern.

Jörchel.

8563 G. W. Greenlees, L. Gioletta Kuo and M. Petravić. The elastic scattering of protons by carbon, aluminium, nickel, copper, zinc, niobium, silver and gold. Proc. roy. Soc. (A) 243, 206—216, 1957, Nr. 1233. (24. Dez.) (Birmingham, Univ., Dep. Phys.) Die elastische Streuung von Protonen von 9,37 MeV an C, Al, Ni, Cu, Zn, Nb, Ag und Au wurde für Winkel von 15° bis 165° im Laborsystem bestimmt. Weitere Messungen wurden an Al bei 9,06, 8,86, 8,61 und 8,11 MeV durchgeführt. Der differentielle Wirkungsquerschnitt wird mit einer geschätzten Genauigkeit von 3% angegeben. Die Winkelverteilungen zeigen Maxima und Minima und ändern sich gleichmäßig mit Massenzahl und Energie.

8564 V. I. Moskalev and B. V. Gavrilovskii. Total cross sections for the interactions of 650 Mev protons and nuclei. Soviet Phys.-Doklady 1, 607—609, 1956, Nr. 5. (Sept./Okt.) (Engl. Übers. aus: Proc. Acad. Sci. USSR (russ.) 110, 972, 1956, Nr. 6.) (Acad. Sci. USSR, Inst. Nucl. Probl.) Ergebnisse ( $\sigma_t$  = totaler Wirkungsquerschnitt,  $\sigma_s$  = Wirkungsquerschnitt für unelastische Streuung):

Element	$\sigma_{\mathbf{t}}$ .	$\sigma_{\rm p}$	$\sigma_{\rm a}/\pi~{ m R}^{\rm a}$
Be	$272 \pm 7 \cdot 10^{-27} \text{ cm}^2$	191 + 8	0,75
C	340 $\pm$ 10	$227 \pm 12$	0,73
0	$416 \pm 30$		
Al	$710 \pm 32$	$\pm$ 418 $\pm$ 22	0,79
Cu		$850 \pm 50$	0,90
Sn		$1285 \pm 70$	0,91
Pb		$1930 \pm 110$	0,94
U		$2215 \pm 104$	0,98

Ein Vergleich mit anderen Experimenten zeigt, daß  $\sigma_t$  für leichte Kerne zwischen etwa 400 MeV und 650 MeV um 10 bis 20 % ansteigt, während die  $\sigma_a$ -Werte für 134 MeV und 650 MeV-Protonen übereinstimmen. Mit Hilfe des optischen Kernmodells wurde aus den  $\sigma_a$ -Werten der Kernradius zu R =  $r_0A^{1/8}$  mit  $r_0 = (1.37 \pm 0.03) \cdot 10^{-13}$  cm bestimmt, wobei der Absorptionskoeffizient aus an anderen Stellen gemessenen Wirkungsquerschnitten der Nukleon-Nukleon-Wechselwirkung zu  $0.36 \cdot 10^{+13}$  cm<sup>-1</sup> zugrunde gelegt wurde. Die  $\sigma_t$ -Werte stimmen in diesem Modell für die leichten Elemente am besten dann mit den Experimenten überein, wenn der Realteil des komplexen Potentials zu 26 MeV angenommen wird.

8565 D. M. van Patter, M. A. Rothman, W. C. Porter and C. E. Mandeville. Inelastic proton scattering from phosphorus and zinc. Phys. Rev. (2) 107, 171-175, 1957, Nr. 1. (1. Juli.) (Swarthmore, Penn., Franklin Inst., Bartol Res. Found.) Mit einem doppeltfokussierenden magnetischen Spektrometer wurden die inelastisch unter 91° gestreuten Protonen analysiert und mit einem NaJ-Szintillationszähler nachgewiesen. Die Energie der einfallenden Protonen wurde im Bereich von 3,69 bis 4,71 MeV variiert. An P31 wurden folgende Niveaus beobachtet:  $1,264 \pm 0,004$ ,  $2,230 \pm 0,005$ ,  $3,134 \pm 0,006$  und  $3,292 \pm 0,005$  MeV. Die zwischen 4,55 und 4,70 MeV für diese vier inelastischen Protonengruppen bestimmten Anregungsfunktionen zeigen übereinstimmende Resonanzstruktur, die sich nur geringfügig in Details unterscheidet. Für  $E_{\rm p}=4,66~{
m MeV}$  wurden keine inelastischen Protonengruppen im Bereich von 0 bis 1,26 MeV mit Intensitäten > 2 % bezüglich der Protonengruppe des 1,264 MeV-Niveaus gefunden. - An Zink wurden vier inelastische Protonengruppen beobachtet, von denen sich drei auf Grund bekannter Niveaudaten in folgender Weise zuordnen lassen:  $Z_{n^{64}}$  0,991  $\pm$  0,005 MeV;  $Z_{n^{66}}$  1,038  $\pm$  0,005 MeV;  $Z_{n^{68}}$  1,078  $\pm$  0,005 MeV. Der Q-Wert der vierten Gruppe beträgt - 1,802 ± 0,005 MeV.

8566 Shoroku Ohnuma. Relativistic corrections to the polarization of protons at high energies. Phys. Rev. (2) 108, 460—462, 1957, Nr. 2. (15. Okt.) (New Haven, Conn., Yale Univ., Sloane Phys. Lab.) Es wird gefunden, daß 70% der relativistischen Korrektur von dem anomalen Teil des Protonendrehimpulses herrührt. Daraus ist geschlossen, daß die Werte der relativistischen Korrektur gegenwärtig sehr unzuverlässig sind. Diese Korrekturen sind jedoch in vielen Fällen kleiner als die Meßgenauigkeit bei der p-p-Streuung.

8567 F. D. Seward, I. Slaus and H. W. Fulbright. Reaction  $F^{19}(d,p)F^{20}$  and the spin of  $F^{20}$ . Phys. Rev. (2) 107, 159—160, 1957, Nr. 1. (1. Juli.) (Rochester, N. Y., Univ.) Die Protonenwinkelverteilung der Reaktion  $F^{19}(d,p)F^{20}$  wurde für Deuteronenenergien zwischen 3,5 und 4,1 MeV erneut untersucht. Kompoundkernmechanismus ist in diesem Energiebereich vorherrschend. Die Interpretation eines früheren Experiments durch Stripping-Prozesse erweist sich als ungerechtfertigt, weshalb auch der Spin von  $F^{20}$  nicht notwendig 1 ist. Lediglich die Winkelverteilung der Protonengruppe, die in das erste angeregte Niveau von  $F^{20}$  führt, weist bei allen Energien ausgeprägten Stripping-Charakter mit  $l_n=2$  auf.

B. Bock.

- 8568 C. K. Bockelman, C. M. Braams, C. P. Browne, W. W. Buechner, R. R. Sharp and A. Sperduto. Angular distribution of protons from the Ca<sup>42</sup>(d,p)Ca<sup>43</sup> reaction. Phys. Rev. (2) 107, 176—181, 1957, Nr. 1. (1. Juli.) Berichtigung ebenda 108, 1647, Nr. 6. (15. Dez.) (Cambridge, Mass., Inst. Technol., Phys. Dep., Lab. Nucl. Sci.) Winkelverteilungen und relative Wirkungsquerschnitte für die zwölf intensitätsreichsten Protonengruppen (entsprechend Ca<sup>43</sup>-Anregungsenergien bis 3,6 MeV) wurden gemessen. Zur Energieanalyse diente ein magnetisches Spektrometer. Die 7 MeV-Deuteronen wurden vom MIT-ONR elektrostatischen Generator geliefert. Drehimpulszuordnungen für die eingefangenen Neutronen erfolgen auf Grund einer Stripping-Analyse der Winkelverteilungen. R. Bock.
- 8569 R. O. Kerman and Roy Nilson. Deuteron-proton scattering at 11.7 Mev. Phys. Rev. (2) 107, 200—202, 1957, Nr. 1. (1. Juli.) (Kalamazoo, Mich., Coll., Phys. Dep.; Urbana, Ill., Univ., Phys. Dep.) Die Rückstoßprotonen wurden in Ilford-C2-Emulsionen bei 18 Winkeln zwischen 70° und 150° im Schwerpunktsystem nachgewiesen. Die benutzte Streukammer wurde bereits von Kreger beschrieben. Die gemessenen Wirkungsquerschnitte stimmen mit den von anderen Autoren publizierten Werten gut überein. R. Bock.
- 8570 A. P. French. Nucleon exchange in deuteron stripping reactions. Phys. Rev. (2) 107, 1655—1663, 1957, Nr. 6. (15. Sept.) (Columbia, S., Carol., Univ., Phys. Dep.) In der üblichen Theorie der Abstreifreaktion wird angenommen, daß das herausfliegende Neutron aus dem einfallenden Deuteron stammt. Es ist bekannt, daß dieses nicht ganz gerechtfertigt ist (obwohl es in vielen Fällen eine gute Näherung ist), weil man im Prinzip die totale Wellenfunktion antisymmetrisieren muß. Diese Arbeit behandelt den Abstreifprozeß mit Nukleonenaustausch, der bei Berücksichtigung der Antisymmetrisierung auftritt. Mit Hilfe vereinfachender Annahmen werden für die Austauschamplitude Ausdrücke in direkten Übergängen zwischen Anfangs- und Endwert erhalten. Die Beziehung dieser Behandlung zu einer Theorie mit einem Zwischenkern-Formalismus wird behandelt.

  Leisinger.
- 8571 D. L. Booth, R. S. Hill, F. V. Price and D. Roaf. The reaction <sup>3</sup>He(d,p)<sup>4</sup>He between 100 keV and 500 keV. Proc. phys. Soc. Lond. (A) 70, 863—865, 1957, Nr. 12 (Nr. 456A). (1. Dez.) (Oxford, Clarendon Lab.) Einfach geladene Deuteronen eines Cockcroft-Walton-Beschleunigers, die magnetisch ausgewählt wurden, traten in eine zylindrische Gaszelle von 5 mm Durchmesser und 5 mm Länge. Auf gegenüberliegenden Seiten dieser Zelle befanden sich symmetrisch

zum Strahl in 2 cm Abstand Ilford-El-Platten. Der Energieverlust des Strahls in der Zelle war von der Größenordnung 100 eV. Der Gasdruck wurde alle 1,5 min gemessen. Eine außerhalb der Meßgenauigkeit liegende Anisotropie wurde nicht gefunden. Ermittelt wurden Gesamtquerschnitte 0,476  $\pm$  0,027; 0,606  $\pm$  0,074; 0,482  $\pm$  0,059; 0,15  $\pm$  0,02; 0,023  $\pm$  0,002 barn; für Deuteronenenergien 503,2; 402,6; 301,9; 201,3; 110,7 keV. G. Schumann.

8572 S. Hinds, R. Middleton and G. Parry. Angular distributions of some inelastiscally scattered deuteron groups from <sup>24</sup>Mg and <sup>28</sup>Si. Proc. phys. Soc. Lond. (A) 70, 900—902, 1957, Nr. 12 (Nr. 456A). (1. Dez.) (Liverpool, Univ., Nuclear Phys. Res. Lab.) Die Beschußenergie betrug 8,9 MeV. Die der Anregung des 2<sup>4</sup>-Zustandes des Mg<sup>24</sup> bei 1,368 MeV entsprechende Deuteronengruppe zeigte in der Winkelverteilung Übereinstimmung mit der Theorie der unelastischen Deuteronenstreuung von HUBY und NEWNS nur für das erste Maximum bei ca. 30° im Schwerpunktssystem. Die Winkelverteilung der der Anregung des 4,122 MeV-Zustandes (4<sup>+</sup>) bzw. des 4,23 MeV-Zustandes (2<sup>+</sup>) entsprechenden Gruppen stimmt mit der Theorie nicht überein. Bei Si<sup>28</sup> war die Winkelverteilung der dem ersten Anregungszustand (2<sup>+</sup>) bei 1,78 MeV zugeordneten Deuteronengruppe hinsichtlich des ersten Maximums mit der Theorie im Einklang, wie auch sonst eine deutliche Ähnlichkeit mit den Verhältnissen beim ersten Anregungszustand des Mg<sup>24</sup> zu beobachten war.

G. Schumann.

8573 S. Hinds, R. Middleton and G. Parry. An investigation of the reaction.  $^{24}Mg(d,p)^{25}Mg$  and  $^{26}Mg(d,p)^{27}Mg$  by magnetic analysis. Proc. phys. Soc. Lond. 71, 49-60, 1958, Nr. 1 (Nr. 457). (1. Jan.) (Liverpool, Univ., Nucl. Phys. Res. Lab.) Mg natürlicher Isotopenzusammensetzung wurde auf polierte Edelstahlbleche aufgedampft. Durch Biegen dieser Unterlagen war es möglich, dünne Mg-Folien zur Herstellung selbsttragender Targets abzuziehen. Außerdem wurden angereicherte Targets von Mg<sup>25</sup>O und Mg<sup>26</sup>O exponiert. U. a. wurden Protonengruppen beobachtet, die zu bisher unbekannten Niveaus des Mg<sup>27</sup> bei 3,56; 3,76; 4,13; 4,76 MeV sowie des  $Mg^{25}$  bei 4,72; 5,27; 5,79; 6,80; 6,85; 7,18; 7,23; 8,05 MeV (überall  $\pm 0$ ,07) gehören. Dabei ist die Zuordnung der Gruppe 5,27 MeV zu Mg<sup>25</sup> nicht ganz sicher, die evtl. zu Mg<sup>25</sup>(d,p)Mg<sup>26</sup> gehören kann. Die Winkelverteilung einer größeren Zahl von Gruppen wurde gemessen und mit der Theorie von Bhatia u. a. verglichen, woraus für die Endzustände Spins, Paritäten und reduzierte Niveaubreiten abgeleitet werden. Auch im vorliegenden Fall zeigen alle Übergänge l = 1 einen in der Theorie nicht auftretenden Abfall des Wirkungsquerschnitts in unmittelbarer Nähe der Vorwärtsrichtung. Diskutiert werden insbesondere die Spiegelkerne Al25 und Mg 25 mit Bezug auf die Deutung ihrer Niveaus als Rotationsbanden nach dem Kollektivmodell. G. Schumann.

8574 Mira K. Jurić and Miodrag M. Petrović. Angular distribution of protons from the reaction  $O^{16}(d,p)O^{17}$ . Bull. Inst. Nuclear Sci. Boris Kidrich, Belgrad 5, 1955, (März.) S. 1—6. (Orig. engl.) Mit Hilfe von fächerförmig um das Sauerstofftarget aufgestellten Kernphotoplatten wird die Winkelverteilung der Protonen aus der Reaktion  $O^{16}(d,p)O^{17}$  bei verschiedenen Deuteronenenergien von 0,6 bis 1,45 MeV gemessen und die Koeffizienten der die Verteilungen bestimmenden Legendreschen Polynome berechnet. Die Ergebnisse — die Winkelverteilungen zeigen eine ausgeprägte Abhängigkeit von der Primärenergie — werden im Hinblick auf den Mechanismus der Reaktion diskutiert.

8575 Mira K. Jurić. Angular distribution of protons and tritons from reactions  $Be^{9}(d,p)Be^{10}$  and  $Be^{9}(d,t)Be^{8}$ . Bull. Inst. Nuclear Sci. Boris Kidrich, Belgrad 5, 1955, [März.] S. 7—13. (Orig. engl.)

1955, März.) S. 7—13. (Orig. engl.)
Mira K. Jurić. Angular distribution of protons from C12(d,p)C13 reaction. Ebenda

6, 1956, (März.) S. 35-39. (Orig. engl.)

Mira K. Jurić. Angular distribution of protons from  $O^{16}(d,p)O^{*17}$  reaction. Ebenda S. 41—44. (Orig. engl.) Bei den Winkelverteilungen der Protonen bzw. Tritonen aus den Reaktionen Be<sup>9</sup>(d,p)Be<sup>10</sup>, Be<sup>9</sup>(d,t)Be<sup>8</sup>, C<sup>12</sup>(d,p)C<sup>13</sup>, und  $O^{16}(d,p)O^{*17}$  zeigt sich ebenfalls, wie bei der Reaktion  $O^{16}(d,p)O^{17}$  (vorst. Ref.), eine starke Abhängigkeit von der primären Deuteronenenergie. R. Fuchs.

8576 Mira K. Jurić and Silva D. (irilov. Elastic scattering of deuterons on Be<sup>9</sup>. Bull. Inst. Nuclear Sci. Boris Kidrich, Belgrad 6, 1956, (März.) S. 45—49. (Orig. engl.) Die Winkelverteilung der elastisch an Be<sup>9</sup> gestreuten Deuteronen wird bestimmt und mit der RUTHERFORD-Streuung verglichen. Die bei den Energien 1,162 und 1,348 MeV auftretende anomale Streuung deutet auf die Existenz von Resonanzniveaus im Compoundkern B<sup>11</sup> hin.

R. Fuchs.

8577 Milan M. Nikolić, Bogdan Povh and Crtomir Zupančič. On the reaction  $O^{17}(d,\gamma)F^{18}$ . Bull. Inst. Nuclear Sci. Boris Kidrich, Belgrad 6, 1956, (März.) S. 51—52. (Orig. engl.) (Ljubljana, "Jožef Stefan" Inst. Phys.) Vff. schreiben eine beim Beschuß von Quarz-Targets mit Protonen auftretende  $\beta$ -Aktivität che Bestimmung der Halbwertszeit, Messung der  $\beta$ -Absorption und Untersuchung des  $\gamma$ -Spektrums sowie der Anregungskurve dem  $F^{18}$  zu und erklären dessen Existenz durch die Reaktion  $O^{17}(p,\gamma)F^{18}$ . R. Fuchs.

8578 Tasso Springer. Lösung eines Neutronentransportproblems mit der Monte-Carlo-Methode. Z. Naturf. 12a, 514—516, 1957, Nr. 6. (Juni.) (München, T. H., Lab. Tech. Phys.) Mit der Monte-Carlo-Methode werden Stoßzahlwahrscheinlichkeiten dafür ausgerechnet, daß ein Neutron von einer Quelle im Zentrum einer Kugel aus gegebenem Material bis zum Kugelrand n Stöße erleidet. Kugelradius in der Größenordnung der freien Streuweglänge. Zum einen wird isotrope, zum anderen starke Vorwärts-Streuung zugrunde gelegt.

Grawert.

8579 K. H. Beckurts. Der Diffusions-Kühlungseffekt. Z. Naturf. 12a, 956—959, 1957, Nr. 12. (Dez.) (Göttingen, Max-Planck-Inst. Phys.) Das Gleichgewichtsspektrum thermischer Neutronen in einem endlichen Streumedium wird berechnet. Als Streumedium wird ein monoatomares Gas aus schweren Kernen ( $A \gg 1$ ) mit energieunabhängigem Streuquerschnitt angenommen. Dabei zeigt es sich, daß die Diffusionseffekte eine starke Modifikation der Maxwellschen Geschwindigkeitsverteilung bewirken können. Die Rechnungen werden mit einer vereinfachten Theorie verglichen, die den Diffusionseffekt lediglich durch eine Erniedrigung der Neutronentemperatur beschreibt.

8580 A. Ashmore, R. G. Jarvis, D. S. Mather and S. K. Sen. The energy spectrum of the 350 MeV neutron beam from the Liverpool synchrocyclotron. Proc. phys. Soc. Lond. (A) 70, 735-744, 1957, Nr. 10 (Nr. 454A). (1. Okt.) (Univ. Liverpool, Nucl. Phys. Res. Lab.) Der Neutronenstrahl wurde in Vorwärtsrichtung durch Beschuß von Be mit Protonen von 373 MeV erzeugt und das Reichweitenspektrum der unter einem Winkel von 10° zur Strahlrichtung aus einem (CH2)n. Streukörper austretenden Protonen untersucht. Zu diesem Zwecke diente ein Teleskop aus drei Szintillationszählern, die aus tetraphenylbutadienhaltigem Polystyrol bestanden. Dabei war zwischen dem zweiten und dritten ein Cu-Absorber veränderlicher Dicke eingeschaltet. Seine Eichung erfolgte mit einem Protonenstrahl von ca. 500/s und Bestimmung des Verhältnisses der Zahl der Zweifachzu der der Dreifach-Koinzidenzen als Funktion der Dicke. Um statistisch einigermaßen gesicherte Ergebnisse zu erhalten, war eine Meßzeit von ca. 24 herforderlich. Die Form des beobachteten Spektrums läßt sich durch die Annahme erklären, daß in der Vorwärtsrichtung die Neutronen hauptsächlich durch elastische n-p-Einzelstöße im Be erzeugt werden. G. Schumann.

8581 A. Ashmore, R. G. Jarvis, D. S Mather and S. K. Sen. Nuclear total cross sections for 350 MeV neutrons. Proc. phys. Soc. Lond. (A) 70, 745—755, 1957.

Nr. 10 (Nr. 454 A). (1. Okt.) (Univ. Liverpool, Nucl. Phys. Res. Lab.) Die Messungen erfolgten mit dem vorstehend beschriebenen Szintillationsteleskop unter Verwendung des (CH2) n-Streukörpers und fester Cu-Absorberdicke. Für eine mittlere Neutronenergie von 351,5 ± 2 MeV ergab sich: H 35,6 ± 0,7; D 58,9  $\pm$  1,0; C 285,3  $\pm$  1,6; O 366  $\pm$  3; Al 565  $\pm$  4,5; Cu 1138  $\pm$  9; Sn 1887 ± 15; Pb 2828 ± 14 mbarn. Der Querschnitt für H wird entnommen aus dem Neutronenintensitätsverhältnis hinter C und (CH<sub>2</sub>) n, der für D aus dem hinter D<sub>2</sub>O und H<sub>2</sub>O, der für O aus den Messungen mit H<sub>2</sub>O unter Benutzung des für H ermittelten Wertes. Aus dem erhaltenen Neutronenspektrum wird geschlossen, daß bei der hier benutzten Energie die Differenz zwischen den Werten für H und D mit 23,3 ± 0,7 mbarn sehr angenähert den n-n-Querschnitt darstellt. Ein Vergleich der Ergebnisse mit denen bei anderen Energien läßt erkennen, daß der n-p-Querschnitt zwischen 170 und 630 MeV praktisch konstant bleibt, während der n-n-Querschnitt oberhalb 380 MeV stetig ansteigt. Die totalen Wirkungsquerschnitte für komplexe Kerne sind innerhalb der Meßfehler konstant von 270 bis ca. 380 MeV, der Einfluß der Mesonenerzeugung tritt ab 410 MeV in Erscheinung. G. Schumann.

8582 V. P. Duggal and S. M. Purl. Slowing down age of neutrons from a Ra-α-Be source to indium resonance in aluminium light water mixtures. Proc. Indian Acad. Sci. (A) 46, 72—79, 1957, Nr. 1. (Juli.) (Trombay, Bombay, Atomic Energy Est.) Neutronen von einer Ra-Be-Quelle (750 mC) werden in einem teils aus Al, teils aus Wasser in verschiedenen "Mischungsverhältnissen" bestehenden Medium gebremst und das mittlere Reichweitenquadrat bis zur Erreichung der Indium Resonanzenergie (1,45 eV) mittels Indiumindikatoren bestimmt. Zur Deutung der Ergebnisse muß eine von MARSHAK aufgestellte Formel, bei deren Ableitung isotrope und elastische Streuung im Schwerpunktssystem angenommen ist, auf anisotrope und unelastische Streuung hin korrigiert werden. A. Deubner.

8583 André Herpin. Propagation des neutrons dans un cristal parfait de dimensions finies. J. Phys. Radium 18, 649—655, 1957, Nr. 12. (Dez.) (Saclay, Centre Études Nucl.) Unter Berücksichtigung der Spinwechselwirkung und eines Potentials nach Blatt und Weisskopf wird die Streuformel für Neutronen unter Anwendung der Bornschen Näherung berechnet. In einem Anhang wird der Einfluß der Wärmebewegung auf die kohärente Streuung behandelt.

Leisinger.

8584 H. Bienlein, R. Fleisehmann und H. Wegener. Die Polarisation der Co<sup>60</sup>-Elektronen. Z. Phys. 150, 80—86, 1957, Nr. 1. (21. Dez.) (Erlangen, Univ., Phys. Inst.) Zweck der vorliegenden Arbeit war es im wesentlichen, den Fehler bei der Messung der Elektronenpolarisation klein zu machen. Die Elektronen durchlaufen nach Verlassen des Präparats eine magnetische Linse und sodann das Transversalfeld eines elektrischen Kugelkondensators, Ablenkwinkel 110°, wo die Längspolarisation in eine Querpolarisation verwandelt wird; diese wird durch Mott-Streuung nachgewiesen. Besonders ausführlich werden die verschiedenen Fehlerquellen diskutiert. Bei v/c=0,66 wurde eine Polarisation  $P=-(0,96\pm0,06)$  v/c gemessen.

8585 L. J. Tassie. Double scattering of β particles. Phys. Rev. (2) 107, 1452—1453, 1957, Nr. 5. (1. Sept.) (Canberra, Austr., Univ., Res. School Phys. Sci.) Die longitudinale Polarisation der beim Beta-Zerfall emittierten Elektronen kann durch ein Doppelstreuexperiment nachgewiesen werden. Vf. gibt Formeln und numerische Daten für solche Experimente an.

8586 A. De-Shalit, S. Kuperman, H. J. Lipkin and T. Rothem. Detection of electron polarization by double scattering. Phys. Rev. (2) 107, 1459—1460, 1957, Nr. 5. (1. Sept.) (Rehovoth, Isr., Weizmann Inst. Sci.) Bei der Anordnung der

Vff. wird die longitudinale Polarisation durch eine erste Streuung an einer tativ dicken Al-Folie, Streuwinkel 90°, in transversale Polarisation umgewandelt. Nach einer zweiten Streuung an einer dünnen Au-Folie wird die Links-Rechts-Asymmetrie beobachtet. Durch besondere Geometrie der ersten Streufolie erreicht man eine verhältnismäßig hohe Lichtstärke. Versuche wurden mit  $P^{32}$  durchgeführt. Obgleich die ursprüngliche Polarisation nicht ohne weiteres aus dem Rechts-Links-Verhältnis entnommen werden kann, sind die Resultate jedenfalls mit voller Polarisation P = -v/c vereinbar. Die Polarisationsrichtung ist unzweideutig.

8587 I. Adawi. Penetration of electron beams into water below the critical energy. Phys. Rev. (2) 107, 1476-1482, 1957, Nr. 6. (15. Sept.) (Ithaca, N. Y., Cornell Univ., Engng. Phys. Dep.) Vf. benutzt die Momentenmethode zur Berechnung der räumlichen Verteilung der Energiedissipation in Wasser für Elektronenbundel von 10 bis 25 MeV Energie. Es wird kontinuierlicher Energieverlust angenommen, und die Energie-Reichweite-Beziehungen werden unter Berücksichtigung von Ionisations- und Strahlungsverlusten ermittelt. Die Beziehungen werden in die Boltzmannsche Transportgleichung eingesetzt, um den Streuterm durch eine einfache Funktion der Restreichweite zu approximieren. Das Bremsvermögen wird durch eine Summe von Potenzen der Restreichweite angenähert. Auf diese Weise lassen sich die räumlichen Momente der Energiedissipation als eine Kombination von dritten Momenten der Elektronenverteilungsfunktion darstellen. Diese dritten Momente sind die Winkel-, Raum- und Restreichweiten-Momente, die durch ein Rekursionsverfahren miteinander verknüpft sind. Die ersten drei Momente werden zusammen mit der Randbedingung und dem asymptotischen Verhalten berechnet. Mit dieser Information wird die Verteilung unter Benutzung einer einfachen analytischen Funktion konstruiert. Die Übereinstimmung mit experimentellen Daten ist zufriedenstellend.

8688 J. E. Leiss, S. Penner and C. S. Robinson. Range straggling of high-energy electrons in carbon. Phys. Rev. (2) 107, 1544—1548, 1957, Nr. 6. (15. Sept.) (Champaign, Ill., Univ., Phys. Res. Lab.) Vff. berechneten ungefähre Kurven für die Reichweitenstreuung beim Abstoppen hochenergetischer Elektronen in Kohlenstoff nach einer Monte-Carlo-Methode unter Benutzung der Rechenmaschine der Universität von Illinois. Ionisationsschwankungen, Strahlung und Vielfachstreuung wurden einbezogen. Die Rechnungen wurden für Primärenergien von 5 bis 55 MeV angestellt. Die Kurven: Intensität gegen Absorberdicke, beides im linearen Maßstab, weisen sämtlich einen ausgeprägten linearen Teil auf.

8599 Feza Gürsey. Coulomb scattering of polarized electrons. Phys. Rev. (2) 107, 1734—1735, 1957, Nr. 6. (15. Sept.) (Upton, N. Y., Brookhaven Nat. Lab.) Die Experimente, die mit longitudinal polarisierten  $\beta$ -Strahlen ausgeführt wurden, lenkten die Aufmerksamkeit auf die COULOMB-Streuung polarisierter Elektronen. Die Dichtematrix der Endzustände kann aus der Streumatrix M gewonnen werden, welche wiederum von zwei komplexen Funktionen F und G abhängt. In dieser Notiz werden der Betrag der Depolarisation L und das Asymmetrieverhältnis A für einen  $\beta$ -Strahl in Abhängigkeit von F und G dargestellt. Die Ergebnisse werden auf das Doppelstreuexperiment von De Shallt angewandt. Leising er.

8590 S. S. Hanna and R. S. Preston. Polarization of positrons from  $N^{13}$ : a mixed transition. Phys. Rev. (2) 108, 160—161, 1957, Nr. 1. (1. Okt.) (Lemont, Ill., Argonne Nat. Lab.) Ein  $C^{12}$ -Target wird mit Deuteronen beschossen, das entstehende  $N^{13}$  emittiert Positronen, der Fermi-Anteil dieses  $\beta$ -Überganges beträgt 70 %. Die Positronen werden in einem der Quelle gegenüberstehenden Eisenabsorber bei angelegtem Magnetfeld vernichtet, die  $\gamma$ -Quantenpaare der Vernichtungsstrahlung unter einem Winkel, der schwach von 180° abweicht, in

Koinzidenz registriert. Es ergibt sich ein Unterschied in der Zählrate von 10 %, wenn das Magnetfeld parallel bzw. antiparallel zur Flugrichtung der Positronen verläuft. Bei den Positronen von Cu64 - reiner GAMOW-TELLER-Übergang liegt die Polarisation in der gleichen Größe. Staudt.

8591 M. Majewski and T. Tietz. Electron scattering cross section based on the Thomas-Fermi-theory. Phys. Rev. (2) 108, 193-196, 1957, Nr. 2. (15. Okt.) (Lodz, Poland, Univ., Dep. Phys.) Zweck der vorliegenden Arbeit ist es, in erster Bornscher Näherung die Streuamplituden eines schnellen Elektrons und den totalen Querschnitt auf Grund der THOMAS-FERMI-Theorie zu berechnen, unter Zuhilfenahme aller bekannten Näherungen der Thomas-Fermi-Gleichung. Die analytisch erhaltenen Daten stimmen gut mit den numerischen bei Mott und MASSEY überein. Daniel.

8592 G. W. Ford and C. J. Mullin. Scattering of polarized Dirac particles on electrons. Phys. Rev. (2) 108, 477—481, 1957, Nr. 2. (15. Okt.) (Notre Dame, Ind., Univ.) Es werden folgende Fälle untersucht: Streuung von polarisierten Elektronen an polarisierten Elektronen. Ferner die Depolarisation von Elektronen und Myonen bei der Streuung an unpolarisierten Elektronen. Für Elektronen, die einen großen Teil ihrer Anfangsenergie beim Durchgang durch Materie verloren, ist die Depolarisation beträchtlich. Bei nur kleinem Energieverlust ist die Depolarisation proportional dem relativen Energieverlust. Die Depolarisation von Myonen, wenn sie in Materie zur Ruhe kommen, ist vernachlässigbar. Zehler.

8593 S. Frankel, P. G. Hansen, O. Nathan and G. M. Temmer. Detection of Ga<sup>66</sup> positron polarization by the annihilation-in-flight rate in polarized matter. Phys. Rev. (2) 108, 1099—1101, 1957, Nr. 4. (15. Nov.) (Copenhagen, Denm., Univ., Inst. Theor. Phys.) Der Übergangszweig zwischen den Grundzuständen von  $Ga^{66}$  und  $Zn^{66}$  ist höchstwahrscheinlich vom Typ  $0 + \rightarrow 0 + und$  sollte deshalb durch reine FERMI-Wechselwirkung vermittelt werden. Positronen aus einer starken (300 bzw. 100 mC) dünnen Ga<sup>66</sup>-Quelle durchliefen zwei magnetische Linsen und wurden dann in einer auf Sättigung magnetisierten Eisenfolie gestoppt. Gemessen wurde die Zählrate in einem unmittelbar hinter der Eisenfolie angebrachten NaJ-Szintillationszähler als Funktion der Gamma-Energie und der Magnetisierungsrichtung der Eisenfolie. Außerdem wurde bei zwei verschiedenen (magnetisch aussortierten) Positronenenergien, 1,5 und 2,0 MeV, gemessen. Blindversuche wurden mit Cu als Absorber durchgeführt. Nahe dem oberen Ende des kontinuierlichen Gamma-Spektrums ergibt sich aus der Zählratendifferenz bei den beiden verschiedenen magnetischen Feldrichtungen, daß die Polarisation der Positronen positiv ist und etwa maximal  $(P \approx + v/c)$ . Daniel.

8594 F. Boehm, T. B. Novey, C. A. Barnes and B. Steeh. Positron polarization in a mirror transition. Phys. Rev. (2) 108, 1497—1499, 1957, Nr. 6. (15. Dez.) (Pasadena, Calif., Inst. Technol., Norman Bridge Lab. Phys. and Kellapp Radiat. Lab.) Vff. maßen die Polarisation der beim Beta-Zerfall von N<sup>18</sup> emittierten Positronen über die Zirkularpolarisation der bei der Vernichtung im Fluge entstehenden Gamma-Quanten. Die Zirkularpolarisation wurde über die Transmission magnetisierten Eisens ermittelt. Die Größe des gemessenen Effekts und die Energieabhängigkeit zeigen eine Polarisation von P = + (0,93 ± 0,20) v/c an. Dieses Ergebnis ist nur dadurch zu erklären, daß der FERMI-Anteil an der N<sup>18</sup>-Zerfallswahrscheinlichkeit erheblich zur Polarisation beiträgt. N<sup>18</sup> zerfällt überwiegend, aber nicht ausschließlich über FERMI-Wechselwirkung. Das Resultat widerspricht dem von DE WAARD et al. und FRAUENFELDER et al., befindet sich aber im Einklang mit dem von DEUTSCH et al. und andern neueren Messungen. Unter Annahme voller Polarisation P = + v/c erhält man Cg' =

 $-C_g$  und  $C_{v'} = C_{v}$ .

- 8595 D. G. Ravenhall and D. R. Yennie. Electron scattering and model independence. Proc. phys. Soc. Lond. (A) 70, 857-862, 1957, Nr. 12 (Nr. 456A). (1. Dez.) (Stanford Univ., Dep. Phys.) Experimentelle Ergebnisse und ihre Auswertung mit Rücksicht auf die Ladungsverteilung im Kern werden diskutiert. Es wird darauf hingewiesen, daß die aus den Messungen der Streuung an Au bei 183 MeV folgende Einengung der Möglichkeiten auf Rechteckpotentiale mit abgerundetem Rand eine wesentliche Information darstellt. Die seitens anderer Autoren behauptete Unabhängigkeit von den Einzelheiten des Modells ist für niedrige Energien plausibel, wo nur eine Phasenverschiebung ins Spiel kommt, nicht aber wenn viele Phasenverschiebungen beteiligt sind. Bekanntlich sind die höheren Ordnungen der Beugung immer empfindlicher für die feineren Einzelheiten des streuenden Potentials. Wenn man also genügend hohe Ordnungen und dementsprechend hohe Energien wählt, müssen die Unterschiede zwischen den Ladungsverteilungen zum Ausdruck kommen. Eine Rechnung für vier verschiedene Potentialformen zeigt, daß man den Wirkungsquerschnitt bei großen Winkeln nicht aus einer groben Kenntnis der Phasenverschiebungen abschätzen kann. Die Phasenverschiebungen können sehr ähnlich sein bei sehr verschiedenen Wirkungsquerschnitten und umgekehrt. G. Schumann.
- 8596 S. Abid Husain and A. K. Hilmi. Absorption of beta particles in liquids. Proc. phys. Soc. Lond. (A) 70, 902—904, 1957, Nr. 12 (Nr. 456A). (1. Dez.) (Karachi, Pakistan, Atomic Energy Comm.: Baghdad, Ind. Res. Inst.) Die Absorption des P<sup>82</sup>-Spektrums in Methyl-, Äthyl-, Butyl- und Amylalkohol, Toluol, Anilin, Benzol, Nitrobenzol, Tetrachlorkohlenstoff und Wasser wurde mit einem Fensterzählrohr gemessen, dessen Fenster den gleichen Querschnitt hatte wie die Flüssigkeitszelle. Für die untersuchten Stoffe ergaben sich weitgehend identische Absorptionskurven in Abhängigkeit von der mit Z<sup>4/8</sup>/A multiplizierten Absorber-Flächendichte, wobei Z und A als Mittelwerte für die verschiedenen Verbindungen gerechnet sind.

  G. Schumann.
- 8597 E. Montaldl and M. Pusterla. Electron scattering in nuclear field with pair-creation. Nuovo Cim. (10) 5, 961—972, 1957, Nr. 4. (1. Apr.) (Milano, Ist. Naz. Fis. Nucl.; Pavia, Univ., Ist. Naz. Fis. Nucl.) Mit Hilfe Feynmanscher Graphen wird der Wirkungsquerschnitt des im Titel genannten Prozesses in der niedrigsten Ordnung der Störungsrechnung abgeleitet. Der Atomkern gilt dabei als Quelle eines "äußeren" Potentials, das in Bornscher Näherung benutzt wird.
- 8598 V. Glaser and B. Jakšić. Electromagnetic properties of particles with spin. Nuovo Cim. (10) 5, 1197—1202, 1957, Nr. 5. (1. Mai.) (Zagreb, Jugosl., Univ., Inst., Rudjer Bošković".) Die Streuung relativistischer Elektronen an Teilchen mit elektromagnetischer Struktur und Spinwerten bis zu s = 3/2 wurde untersucht und die Wirkungsquerschnitte für das elektromagnetische Feld nach der ersten Bornschen Näherung berechnet. Eine Abschätzung des Protonenradius ergab einen Wert von etwa 0,7·10-13 cm.

  H. M. Weiß.
- 8599 G. Böbel. Polarization effects in bremsstrahlung. Nuovo Cim. (10) 6, 1241 bis 1251, 1957, Nr. 6. (1. Dez.) (Genova, Univ., Ist. Fis. Teor.) Nach Lipps und Tolhoek (Ber. 34, 1488, 1955; 35, 246, 1956) wird der differentielle Wirkungsquerschnitt für Bremsstrahlung ausgerechnet. Es ergibt sich als Ausdruck dafür eine Summe von acht Termen, die die verschiedene Polarisation des Elektrons im Anfangs- und Endzustand und des emittierten Photons erfassen. Als Sonderfälle werden die Formeln von Bethe und Heitler und von May, Glückstern und anderen erhalten. Schließlich wird die Emission zirkular polarisierter Photonen von Elektronen mit longitudinalem und transversalem Spin diskutiert.

8600 P. Mittelstaedt. Optisches Modell für die Streuung von K-Mesonen an Kernen. Z. Naturf. 12a, 947—955, 1957, Nr. 12. (Dez.) (Göttingen, Max-Planck-Inst. Phys.) Die Wechselwirkung von K-Mesonen mit komplexen Kernen wird durch ein optisches Potential beschrieben, wobei zum Coulomb-Potential der Kerne noch ein unbestimmtes komplexes Potential V = V<sub>1</sub> + iV<sub>2</sub> für r  $\leqslant$  R; V = 0 für r > R hinzukommt. Durch Vergleich der experimentellen Kurve des differentiellen Wirkungsquerschnittes für elastische Streuung, gewonnen aus Streuung der K-Mesonen an den Kernen der Photo-Emulsion, ergibt bei Anfangsenergien von sowohl 60 MeV als auch 100 MeV die Werte: V<sub>1</sub> = 0; 9 MeV  $\leqslant$  V<sub>2</sub>  $\leqslant$  12 MeV. Unabhängig davon erhält der Autor in Teil 2 der Arbeit durch Vergleich mit den Ergebnissen der inelastischen Streuung (ohne Berücksichtigung der Umwandlungsprozesse) die Werte: —12,5 MeV  $\leqslant$  V<sub>1</sub>  $\leqslant$  2,5 MeV; V<sub>2</sub> = 8 MeV. Da für die inelastische Streuung nur 12 Ereignisse zur Verfügung standen, ist die Fehlergrenze sehr groß; und die beiden Ergebnisse können als übereinstimmend angesehen werden.

8601 Hong-Yee Chiu. Polarization of recoil protons in pion-proton scattering. Phys. Rev. (2) 107, 1468—1469, 1957, Nr. 5. (1. Sept.) (Ithaca, N. Y., Cornell Univ., Lab. Nucl. Stud.) Zwei oder mehr Phasenverschiebungslösungen vom FERMI-Typ wurden in verschiedenen Energiebereichen oberhalb des T = 3/2-Resonanzzustandes gefunden. Die bereits diskutierte Willkür in diesen Lösungen kann, wie hier gezeigt wird, durch eine Messung der Polarisation der Rückstoßprotonen ausgemerzt werden.

8602 Emil Kazes. Dispersion relations for meson-nucleon scattering. Phys. Rev. (2) 108, 123—125, 1957, Nr. 1. (1. Okt.) (Chicago, Ill., Univ.) Die Meson-Nukleon-Streuamplituden vierter Ordnung werden berechnet und fünf Eigenschaften ihrer analytischen Fortsetzung erörtert. Ein Vergleich mit den von Goldberg benutzten Formeln zeigt, daß für Nichtspinumklappamplituden wenigstens eine Subtraktion und für Spinumklappamplituden keine Subtraktion erforderlich ist.

Jörchel.

8603 J. E. Cousins, W. F. Nash and A. J. Pointon. The effect of the angular variation of intensity on scattering distributions of  $\mu$ -mesons underground at a depth of 40 m w. e. Nuovo Cim. (10) 6, 1113—1121, 1957, Nr. 5. (1. Nov.) (Univ. Nottingham, Phys. Lab.) Frühere Messungen unter Grund der Streuung von  $\mu$ -Mesonen an Atomkernen schienen zu zeigen, daß mehr Streuungen unter großen Winkeln vorkommen als bei reiner Coulomb-Wechselwirkung zu erwarten ist. Vff. berechnen die Winkelverteilung der  $\mu$ -Mesonen unter Grund und gewinnen geometrische Korrekturfaktoren für die Auswertung von Streumessungen. Sie zeigen, daß bisher durch die Annahme vertikalen Einfalles der  $\mu$ -Mesonen die Zahl der zu erwartenden Streuungen unter großen Winkeln unterschätzt wurde und daß bei Anwendung ihrer Korrekturfaktoren Übereinstimmung im Rahmen der Fehler zwischen den Messungen und der bei reiner Coulomb-Wechselwirkung zu erwartenden Verteilung besteht.

H. D. Schulz.

8604 B. L. Ioffe, I. Ia. Pomeranchuk, and A. P. Rudik. Dispersion relations for pions scattered by deuterons. Soviet Phys. JETP 4, 588—589, 1957, Nr. 4. (Mai.) (Engl. Übers. aus.: J. exp. theor. Phys. (russ.) 31, 712—713, 1956, Okt.) Es werden Dispersionsformeln  $D_{\mathbf{m}}(\omega) \longrightarrow D_{\mathbf{m}}(\mu)$  für die Streuung von Pionen an Deuteronen abgeleitet, und zwar für parallel und senkrecht zum einfallenden Strahl polarisierte Deuteronen.  $D_{\mathbf{m}}(\omega)$  ist der Imaginärteil der Streuamplitude von Pionen der Energie  $\omega$ ,  $\mu$  = Masse der Pionen. Knecht.

8605 Wolfgang Schikarski. Zur Abhängigkeit des Paarbildungsquerschnitts von der Kernladungszahl. Z. angew. Phys. 9, 541-547, 1957, Nr. 11. (Nov.) (Karls-

ruhe, T. H., Phys. Inst.) Mit Hilfe der Kernaktivierungsmethode wurde die Absorption der Gamma-Strahlung eines Betatrons, Energiegrenze 31 MeV, an Li, Be, Al, Cu, Sn und Pb gemessen. Die Beiträge von Photoeffekt, Compton-Effekt und Kernabsorption wurden abgezogen und so der Paarbildungsquerschnitt bestimmt. Die Resultate stimmen größtenteils gut mit anderm experimentellem Material überein. Der Wirkungsquerschnitt für die Paarbildung am Elektron ließ sich bei den leichten Elementen, die an der Bornschen Näherung anzubringende Korrektur, die von der Ordnungszahl abhängt, bei den schweren Elementen bestimmen.

8606 F. Rohrlich. Coulomb correction to Delbrück scattering. Phys. Rev. (2) 108, 169—170, 1957, Nr. 2. (15. Okt.) (Iowa City, Iowa, Univ., Dep. Phys.) Beobachtungen der Delbrück-Streuung (Streuung von Photonen an einem Coulomb-Potential) lassen sich am einfachsten an schweren Elementen und im Energiebereich 1 bis 3 MeV durchführen, in dem allerdings die Bornsche Näherung sehr schlecht ist. Mit Hilfe der Dispersionsbeziehungen und unter Verwendung theoretischer und experimenteller Kenntnisse über den totalen Paarerzeugungsquerschnitt lassen sich die Coulomb-Korrekturen für die bekannten Vorwärtsstreuamplituden in Bornscher Näherung angeben. Diese Korrekturen erweisen sich als wesentlich kleiner als erwartet. Im interessierenden Energiebereich beträgt die maximale positive Korrektur für den Dispersionsanteil der Amplitude +2,5 % nahe 1,3 MeV, im Bereich 4 bis 30 MeV liegen die Werte bei —10 bis —15 %. Die Korrekturen für den Absorptionsanteil der Amplitude liegen oberhalb 10 MeV bei etwa —10 % und haben den größten Wert von etwa +100 % bei nahe 1,3 MeV, wo dieser Anteil gegen den Dispersionsanteil vernachlässigbar klein ist.

8607 David H. Green and E. C. Gregg. Scattering of high-energy gamma rays. J. appl. Phys. 27, 697—698, 1956, Nr. 7. (Juli.) (Cleveland, Ohio, Case Inst. Technol.) Vff. berichten über Messungen der Streuung von y-Strahlen aus einem Betatron (16 MeV-Bremsstrahlung) in Eisen von 7,6, 15,2 und 22,8 cm Dicke. Bei diesen Dicken überwiegt bei weitem die Einfachstreuung und im Energiebereich von 6 bis 16 MeV stammt bei Streumedien mittlerer Ordnungszahlen der wesentliche Beitrag zur Streustrahlung aus dem Compton-Effekt. Der Nachweis der Streustrahlung erfolgte mit einem Szintillationszähler (thalliumaktivierter NaI-Kristall und Photomultiplier) über einen 5-Kanal-Impulshöhenanalysator (niedrigster Kanal 6,5 bis 8 MeV, höchster Kanal 11,6 bis 12,8 MeV). Gemessen wurde bei Streuwinkeln von 2,9 bis 13,2°. Die Winkelverteilungskurven der gestreuten  $\gamma$ -Quanten zeigen gute Übereinstimmung mit dem Verlauf der nach der Theorie der Einfachstreuung berechneten und bei 6° auf die Meßwerte normierten Kurven. Für den Nachweis des theoretisch zu erwartenden kleinen Anteils an Zweifachstreuung (etwa 2 bis 10 %) reichte die Meßempfindlichkeit nicht aus. Hildenbrand.

8608 M. A. Bullen and B. S. Brunsden. A method for the remote measurement of liquid depth. Brit. J. Radiol. 30, 333—334, 1957, Nr. 354. (Juni.) (Bristol Roy. Hosp., Engl., Dep. Med. Phys.; London, Canada, London Clinic, Ontario Cancer Found.) Bei Messungen der Absorption von Co<sup>50</sup>-y-Strahlen in verschiedenen Flüssigkeiten wurde zur Fernmessung der Flüssigkeitstiefe ein senkrecht in der Flüssigkeit angeordneter Mehrplattenkondensator aus Aluminium verwendet, dessen Kapazität von der Flüssigkeitshöhe abhing. Zur Kapazitätsmessung wurde ein vorhandenes Q-Meter verwendet: Ein Oszillator von 80 kHz speist einen Serienresonanzkreis, dessen Kapazität aus der Parallelschaltung des Meßkondensators mit einem geeichten Drehkondensator besteht. Ein Röhrenvoltmeter mißt die Spannung an den Kondensatoren und gestattet so die Ein-

stellung der Resonanz, die bei der Messung jeweils vorgenommen wird, d. h. die Summe beider Kapazitäten bleibt konstant. — Für jede Flüssigkeit wurde eine direkte Eichkurve (Kapazität des Drehkondensators als Funktion der Flüssigkeitstiefe) aufgenommen. Bei Messungen in Wasser waren die Platten wegen dessen höherer Leitfähigkeit mit einer dünnen Isolierschicht aus Paraffin bedeckt. Hierbei hing allerdings die Form des Meniskus davon ab, ob die Flüssigkeit stieg oder fiel, so daß für die beiden Fälle etwas verschiedene, aber reproduzierbare Eichkurven erhalten wurden. — Die Meßgenauigkeit des Verfahrens betrug weniger als 1 mm Flüssigkeitstiefe.

- 8609 R. S. Barnes, G. B. Redding and A. H. Cottrell. The observation of vacancy sources in metals. Phil. Mag. (8) 3, 97—99, 1958, Nr. 25. (Jan.) (Harwell, Atomic Energy Res. Establ.) Kupfer wurde mit Alphateilchen aus einem Cyclotron beschossen. Beim Erwärmen des Kupfers entweicht das eingefangene Helium in Form winziger Gasblasen an den Stellen des Metalls, an denen es auf Leerstellen trifft. So lassen sich Lücken-Quellen lokalisieren. Dies sind in erster Linie Korngrenzen, auch isolierte Quellen. Zwillingsgrenzen und Versetzungen erzeugen in nicht nennenswertem Umfange Leerstellen. H. C. Wolf.
- 8610 M. Daniels and J. Weiss. Effects of ionizing radiations on solids. I. Physical background. Research, Lond. 10, 341—344, 1957, Nr. 9. (Sept.) (Dirham Univ., King's Coll.) In Form einer kurzen Zusammenfassung werden einige physikalische Effekte, die durch Strahlung verursacht werden, wie Leitfähigkeit und HALL-Effekt, Mikrowellen-Resonanzabsorption, Lichtabsorption, Rekombinationsprozesse und Anregungen durch Sekundärelektronen behandelt und mit beobachtbaren chemischen Effekten in Verbindung gebracht.
- 8611 M. Daniels and J. Weiss. Effects of ionizing radiations on solids. II. Some chemical effects. Research, Lond. 10, 396—401, 1957, Nr. 10. (Okt.) (Durham, Univ., King's Coll.) Überblick über die durch ionisierende Strahlung in Ionenkristallen, anorganischen und organischen Molekülverbindungen verursachten chemischen Effekte.

  Kaul.
- 8612 Amar Nath, K. S. Venkateswarlu and Jagdish Shankar. Kinetics of isothermal annealing of radiation damage in Szilard-Chalmers reaction with cobalt complexes. I. Tris-acetylacetone cobalt (III)—section 1. Proc. Indian Acad. Sci. (A) 46, 29-52, 1957, Nr. 1. (Juli.) (Trombay, Bombay, Atomic Energy Est.) Das Co-Salz wurde an einem Reaktor einer starken Neutronen- und Röntgenstrahlung ausgesetzt und dann zwei Jahre lang bei Zimmertemperatur liegen gelassen. Durch Tempern bei verschiedenen Temperaturen zwischen 50 und 122°C, teils mit, teils ohne Temperaturzwischenstufen, wurde dann festzustellen versucht, in welchem Maße die durch die Bestrahlung aus dem Molekülverband geworfenen Co-Atome wieder an ihre Plätze im Molekül zurückkehren. Dies wird an Hand der Radioaktivität (Co 60) eines Benzolauszuges der Substanz gemessen, in welchen nur die heilen und die durch das Tempern wieder geheilten Moleküle hineingehen. Beispiel: Vor dem Tempern sind nur 20 % aller aktivierten Co-Atome im Molekülverband, nach Tempern (54 h bei 122°) dagegen 66 %. Bei Zwischenschaltung von 80 h bei 82,5°; 78 h bei 92°; 68 h bei 101,5° und 56 h bei 116,5° gelangt man nur bis 58 % aktiver Atome in heilen Molekülen. Das Tempern folgt den Gesetzen der monomolekularen Reaktionen, doch laufen A. Deubner. offenbar mehrere solche in Konkurrenz miteinander ab.
- 8613 Y. Terashima, K. Kitao and K. Ogawa. Acceleration of cosmic rays by hydromagnetic wave. Progr. theor. Phys. Kyoto 17, 814—815, 1957, Nr. 6. (Juni.) (Kyoto Univ., Yoshida Coll. Dep. Phys.; Osaka City Univ., Dep. Phys.) Es wird

- die Beschleunigung von geladenen Teilchen durch Zusammenstoß mit einer transversalen hydromagnetischen Welle in einer idealen Flüssigkeit behandelt. Für die Beschleunigung ist dabei nicht die Geschwindigkeit der Flüssigkeitsteilchen maßgebend, wie in einer früheren Arbeit von Parker angenommen wurde, sondern die der hydromagnetischen Welle. Der so berechnete relative Energiegewinn pro Stoß steigt zwar beinahe um eine Größenordnung, reicht aber noch nicht zur Erklärung der beobachteten kosmischen Strahlung aus. Unter Umständen könnten auch hydromagnetische Stoßwellen auftreten und bei der Beschleunigung mitwirken.
- 8614 A. G. Barkow, B. Chamany and R. E. MeDaniel. Thin down and breakup of a large Z cosmic ray primary. Nuovo Cim. (10) 6, 125—129, 1957, Nr. 1. (Juli.) (Milwaukee, Wisc., Marquette Univ.; Mew Mexico Coll. Agric. Mech.) Aus der Verjüngung einer Teilchenspur in einer G 5-Emulsion (Texas, Höhe 3,4 km) wird auf die Ladungszahl Z zwischen 24 bis 40 für das einfallende Primärteilchen geschlossen. Die aus der gleichen Spur hervorbrechenden vier Protonen und ein  $\alpha$ -Teilchen weisen auf Z zwischen 35 und 40 hin.
- 8615 V. Y. Rajopadhye and C. J. Waddington. Further interactions of the heavy nuclei of the cosmic radiation. Phil. Mag. (8) 3, 19—32, 1958, Nr. 25. (Jan.) (Bristol, H. H. Wills Phys. Lab.) Frühere Resultate der Bristol-Gruppe über die Wechselwirkung der schweren Kerne der Primärstrahlung in der Kernemulsion wurden durch neue Untersuchungen ergänzt und bestätigt. Verbesserte Werte für die Aufsplitterungswahrscheinlichkeit und die mittleren freien Weglängen werden angegeben. Aufsplitterungswahrscheinlichkeiten in Luft und Wasserstoff werden hergeleitet, die vermutlich eine obere Grenze für die wahren Werte darstellen.
- 8616 G. Clark, J. Earl, W. Kraushaar, J. Linsley, B. Rossi and F. Scherb. An experiment on air showers produced by high-energy cosmic rays. Nature, Lond. 180, 353—356, 1957, Nr. 4582, (24. Aug.) (Cambridge, Mass., Inst. Technol., Dep. Phys. Lab. Nuclear Sci.)
- G. Clark, J. Earl, W. Kraushaar, J. Linsley, B. Rossi and F. Scherb. An experiment on air showers produced by high-energy cosmic rays. Ebenda S. 406-409, Nr. 4583. (31. Aug.) (Cambridge, Mass., Inst. Technol Dep. Phys.) Seit Juli 1955 wurden mit 11 bis 15 großflächigen Szintillationszählern (Kreisscheiben aus plastischem Material 105 cm Ø, 10 cm dick), die auf einer Kreisfläche von ca. 450 m Ø ausgelegt waren, folgende individuelle Eigenschaften großer Luftschauer gemessen: a) Die laterale Verteilung der Teilchendichte, b) die totale Anzahl der Schauerteilchen, c) die Koordinaten des Schauerzentrums, d) die Richtung der Schauerachse auf ± 5° aus der Lage der Schauerfront, bestimmt aus Zeitverzögerungen der Impulse zwischen den einzelnen Szintillatoren. Folgende Schlüsse wurden aus den Meßergebnissen gezogen: 1. Die laterale Dichteverteilung der Schauerteilchen ist von der Größe des Schauers unabhängig und bis auf 300 m Abstand vom Zentrum praktisch identisch mit der theoretischen Verteilung nach NISHIMURA und KAMATA. 2. Die Richtungen der Achsen von Schauern mit Teilchenzahlen N > 2.106 sind isotrop verteilt. 3. Die Achsenrichtungen der größten Schauer (N > 108) häufen sich in der Nähe der Milchstraßenebene stärker als um den galaktischen Nordpol. Eine tatsächliche Anisotropie ist aber statistisch noch nicht ausreichend gesichert. 4. Der größte registrierte Schauer wies 1,4 · 109 Teilchen auf, entsprechend einer Energie nahe bei 1019 eV, sicher aber nicht kleiner als 2·1018 eV. 5. Die statistische Streuung der Dichteverteilung ist bis zu 100 Teilchen/m8 durch eine Poisson-Verteilung darstellbar. 6. Das integrale Größenspektrum in Meereshöhe

(Xo g/cm² atm Tiefe) ist darstellbar durch das Potenzgesetz S (> N, Xo) =  $(3.8 \pm 1.2) \cdot 10^{-12} (10^6/N)^{1.84}$  cm-²s-¹ sterad-¹ und in der Tiefe x durch S (> N, x) =  $\frac{K}{N \cdot 1.84}$  exp.  $(-\frac{x-x_0}{A})$  mit A=95 g/cm² K= const und N = totale Teilchenzahl. 7. Mit der Beziehung N =  $1.1 \cdot 10^5$  (E/10¹5)¹¹¹6 zwischen Teilchenzahl des Schauers und Energie des auslösenden Teilchens, die nach dem Landauschen Modell berechnet wurde, folgt als integrales Energiespektrum J (> E) =  $2.2 \cdot 10^{-10} (10^{15}/E)^{2\cdot13}$  cm-² s-¹ sterad-¹. Da auch bei 10¹8 eV noch keine auffällige Änderung des Exponenten im Energiespektrum auftritt, wird geschlossen, daß der scheibenförmige Bereich der Galaxis für den Beschleunigungsprozeß zu eng begrenzt und die Ausdehnung des Beschleunigungsraumes auf einen sphärischen Halo-Bereich des Milchstraßensystems in Betracht zu ziehen ist.

Pfotzer.

8617 J. C. Barton and J. H. Stockhausen. Time variations of the cosmic ray intensity in Jamaica. Phil. Mag. (8) 3, 55-62, 1958, Nr. 25. (Jan.) (Jamaica, Univ. Coll. West Indies.) Die Analyse von Dauerregistrierungen der Kosmischen Strahlung unter 10 cm Blei (harte Komponente) zwischen September 1955 bis August 1956 führt auf eine deutliche Korrelation mit den magnetischen K Indices. Meßort: (18° geogr. N, 76° 44′ geogr. W, 180 m Höhe). (a) Mit zunehmendem K nimmt die Intensität stärker als linear mit K ab. (b) Sie erreicht nach einem "Sudden Commencement" durchschnittlich nach  $2^{1}/_{2}$  Tagen ein Minimum von -0.6% und geht nach weiteren  $2^{1}/_{2}$  Tagen auf den Normalwert zurück. (c) An magnetisch wenig gestörten Tagen (K 

20) dominiert die Halbtagesperiode gegenphasig mit der Halbtageswelle des Druckes (atmosphärische Gezeitenwelle). (d) An magnetisch stark gestörten Tagen überwiegt die ganztägige Periode. Die Amplitude nimmt mit wachsendem K stark zu und das Maximum verschiebt sich auf frühere Tageszeiten. Es wird für  $20 \leqslant \mathrm{K} \leqslant 30$  morgens um 10 Uhr und für  $30 \leqslant K \leqslant 40$  schon um 8 Uhr erreicht. Diese Beobachtungen decken sich auch mit solchen in höheren Breiten (EHMERT, SITTKUS, FIROR). Es ist bemerkenswert, daß die Amplituden dieser Tagesgänge praktisch nicht von den geographischen Breiten und damit von der mittleren Energie der Teilchen abhängen. Vff. nehmen an, daß sowohl das Magnetfeld der Erde als auch die Strahlungsintensität durch die solaren Plasmaströme mit ihren turbulenten Magnetfeldern parallel beeinflußt werden. Dabei wird die Kosmische Strahlung Pfotzer. über einen breiten Energiebereich geschwächt.

8618 G. F. Drukarev. The theory of collisions of electrons with atoms. Soviet Phys.-JETP 4, 309-320, 1957, Nr. 3. (Apr.) (Engl. Übers. aus: J. exp. theor. Phys. (russ.) 31, 288-301, 1956, Aug.) (Leningrad, State Univ.) Mit Hilfe der Wellenfunktion des Systems "Atom + Elektron", beschrieben durch die Koordinaten- und Spinfunktionen dieses Systems, wird der Stoß zwischen einem Elektron und einem beliebigen Atom behandelt. Die Koordinatenfunktion wird aus der Atom- und der Ein-Elektronen-Funktion derart konstruiert, daß sie in expliziter Form die korrekten Symmetrieeigenschaften gegenüber einer Vertauschung der Argumente besitzt. Die Ein-Elektronen-Koordinatenfunktion stellt sich als ein System von Integro-Differentialgleichungen — ähnlich den FOCKschen self consistent Feldgleichungen - dar, in dem sich die Winkelvariablen separieren und die Radialfunktionen in Integralgleichungen transformieren lassen. Das Problem wird zurückgeführt auf ein System von Volterra-Integralgleichungen, das sich sowohl für allgemeine Untersuchungen als auch für Berechnungen als geeignet erweist. Die asymptotischen Ausdrücke werden analysiert und Formeln für den effektiven Wirkungsquerschnitt abgeleitet. Jörchel.

8619 Jean Robin. Étude sous hautes pressions d'argon des raies de résonance du spectre du potassium et des bandes "Satellites" apparaissant près des raies de

résonance de K, Rb et Cs. J. Phys. Radium 18, 639—640, 1957, Nr. 11. (Nov.) (Bellevue, Seine-et-Oise, Lab. Hautes Pressions.) Absorptionsspektren wurden mit einem Gitterspektrographen, 6 Å je mm, bei Gasdrucken bis zu 1300 kp/cm² aufgenommen. Bei K, Rb, Cs verschiebt sich die Satellitenbande mit wachsendem Druck zunächst nach kleineren und anschließend nach größeren Frequenzen. Das Verhalten ist ähnlich der Satellitenbande 2526 Å im Quecksilberabsorptionsspektrum unter Argondruck, früher bis 6000 at untersucht. Das Dublett R<sub>1</sub>-R<sub>2</sub> (7665 bis 7669 Å) des Kaliums wird näher untersucht. Bis 600 at werden beide Komponenten nach Rot verschoben. Ab 800 at tritt wieder eine Trennung der beiden Banden ein; während R<sub>1</sub> sich weiter nach Rot verschiebt, scheint für R<sub>2</sub> eine Blauverschiebung einzusetzen. Analoges Verhalten liegt bei Rb vor.

8620 Curtis J. Humphreys and Edward Paul jr. Interferometric observation of wavelengths in He I, Hg I<sup>198</sup> and Kr I in the 1- to 2-micron region. J. opt. Soc. Amer. 47, 120, 1957, Nr. 1. (Jan.) (S. B.) (Corona, Calif., U. S. Naval Ordn. Lab.)

Beggerow.

8621 K. Risch. Das Spektrum der M-und L-Auger-Elektronen von  $^2$   $^2$   $^3$  Bi und  $^2$   $^3$  Bi  $^3$  Tl. Z. Phys. 150, 87—98, 1957, Nr. 1. (21. Dez.) (Göttingen, Univ., II. Phys. Inst.) Mit einem magnetischen Linsenspektrometer vom SLÄTIS-SIEGBAHNSchen Typ, das als Detektor einen Auslösezähler mit gittergestütztem Fenster, Abschneidegrenze 1 keV, besaß, wurde das M-und L-Auger-Spektrum von  $^3$  Il  $^2$  10 und  $^3$  Bi  $^2$  12 im Energiebereich 1 bis 15 keV gemessen. Für 21 L-Auger-Linien werden die Energie und die Zuordnung angegeben. Die Erhöhung der effektiven Kernlädungszahl für die einfach ionisierte M-Schale wurde zu  $\Delta Z = 0.8 \pm 0.2$  ermittelt. Das L-Auger-Spektrum wurde in Teilspektren zerlegt, aus deren Intensitäten sich die Auger-Ausbeuten für die L-Unterschalen wie folgt ergeben:  $^3$  10.07  $\pm 0.02$ ;  $^3$  20.46  $\pm 0.09$  und  $^3$  30.59  $\pm 0.05$ . Für das M-Auger-Spektrum wurde im Energiebereich 1,5 bis 4 keV eine Intensität von 28 Elektronen pro 100 Pb $^3$ 18-Zerfälle abgeschätzt.

8622 H. P. Hanson and J. R. Knight. X-ray absorption edges of transition metal salts. Phys. Rev. (2) 102, 632—635, 1956, Nr. 3. (1. Mai.) (Austin, Tex., Univ.; Gainesville, Florida, Univ.) Bei chemischen Verbindungen hängt die Struktur der Röntgenabsorptionskanten einerseits von der Elektronenkonfiguration der beteiligten Elemente, andererseits vom Charakter der Bindung, d. h. von der Anzahl und Natur der nächsten Nachbarn eines Atoms und von den atomaren Abständen ab. Deshalb untersuchten Vff. die Feinstruktur der K-Absorptionskanten der Übergangselemente Mn bis Zn in ihren einfachen Verbindungen (Ionensalze, Oxyde, Sulfide). Die Untersuchung wurde mit einem Doppelkristallspektrometer mit Zählrohr durchgeführt, wobei besondere Sorgfalt im Bereich niedriger Absorption (langwellige Seite der Absorptionskanten) aufgewandt wurde. Es zeigte sich, daß in Fällen, in denen die Bindung am wenigsten Ionencharakter hat und die Symmetrie sehr niedrig ist, diese schwache 3d-Absorption am stärksten hervortritt. Wenn die 3d-Niveaus schrittweise aufgefüllt werden, verschwindet diese schwache Absorption.

8623 Jay M. Berger. Absorption coefficients for free-free transitions in a hydrogen plasma. Astrophys. J. 124, 550—554, 1956, Nr. 3. (Nov.) (Princeton Univ., Forre. Res. Center. Project Matterhorn.) Vf. berechnet den Absorptionskoeffizienten für frei-frei-Übergänge in einem Wasserstoffplasma im Wellenlängenbereich zwischen 500 und 10000 Å und für Temperaturen, die einer mittleren Elektronenenergie von 0,5 bis 100 eV entsprechen. Dabei wird von Sommerfelds und Elwerts Ergebnissen über die Gesamtintensität der Bremsstrahlung Gebrauch gemacht.

K. H. Böhm.

8624 H. Daniel. β-Übergang zwischen den Grundzuständen von Co<sup>58</sup> und Fe<sup>58</sup> Z. Phys. 150, 144—148, 1958, Nr. 2. (27. Jan.) (Heidelberg, Max-Planck-Inst., med. Forschg., Inst. Phys.) Von Co<sup>58</sup> waren zwei erlaubte Einfangzweige und ein erlaubter Positronenzerfallszweig bekannt, die alle zu angeregten Niveaus führen; der direkte Übergang zwischen den Grundzuständen von Co<sup>58</sup> und Fe<sup>58</sup> ist dagegen zweifach verboten. Zweck der vorliegenden Arbeit war, die Intensität eines solchen Übergangs zu bestimmen. Zur Messung diente ein doppeltfokussierendes Beta-Spektrometer mit einem Anthracen-Szintillationszähler als Detektor, der zur Reduzierung des Untergrundes in Einkanaldiskrimierung betrieben wurde. Es wurde eine Positronengruppe von ca. 1,3 MeV Grenzenergie mit einer Halbwertszeit t > 10 d gefunden, die, wie das Studium der überhaupt in Frage kommenden Isotope, der Zusammensetzung des bestrahlten Materials und ähnliches ergab, nur zum Co<sup>58</sup> gehören kann. Die Positronengruppe fügt sich gut in das Zerfallsschema des Co<sup>58</sup> ein. Ihre Intensität beträgt etwa 6·10-6 pro Zerfall, der ft-Wert entspricht einem zweifach verbotenen Übergang.

8625 H. Bartels und R. Beuchelt. Über die typischen Erscheinungsformen im Spektrum dichter Plasmen. I. (Theoretische Grundlagen.) Z. Phys. 149, 594 bis 607, 1957, Nr. 5. (25. Nov.) Berichtigung ebenda. 150, 526, 1958, Nr. 4. (10. März.) (Hannover, T. H., Phys. Inst.) Für optisch dichte Bogensäulen wird die von einem Vf. entwickelte Theorie der Selbstumkehr vereinfacht und zu einer Theorie der spektralen Strahldichte erweitert. Die Eigenschaften der Bogensäule werden durch folgende Annahmen idealisiert: 1. In jeder Ebene senkrecht zur Bogenachse sollen alle physikalischen Größen nur vom Achsenabstand abhängen. 2. Die Ergiebigkeit  $J_{\lambda} = \varepsilon_{\lambda}/\varkappa$  nimmt mit wachsendem Achsenabstand monoton ab. 3. Überall in der Säule soll die korpuskulare Energieverteilung einer Boltzmann-Verteilung eurch ein Produkt dreier Funktionen darstellen, die im wesentlichen durch die maximale Temperatur und die von Wellenlänge, Temperatur und Druck abhängige Schichtdicke bestimmt werden. Wienecke.

8626 H. Bartels und R. Beuchelt. Über die typischen Erscheinungsformen im Spektrum dichter Plasmen. II. (Deutung der spektralen Strahldichteverteilung dichter Plasmen an Stoßentladungen über Quecksilberhöchstdruckbögen.) Z. Phys. 149, 608—623, 1957, Nr. 5. (25. Nov.) (Hannover, T. H., Phys. Inst.) Mit Hilfe der Theorie der spektralen Strahldichteverteilung (vorst. Ref.) wird eine Deutung der Strahldichteverteilung im Spektrum von Stoßentladungen über Hg-Höchstdruckentladungen (Ch. Meier, Ber. S. 1008) gegeben und die für Spektren dichter Plasmen charakteristischen Erscheinungsformen erörtert. Wienecke.

8627 Martin Johnson. Problems of Stark broadening for experimental and astronomical spectra liable to self-absorption. Mon. Not. R. astr. Soc. 115, 15—22, 1955, Nr. 1. (Birmingham Univ.) Es wird das Linienprofil von  $H_{\alpha}$  bei STARK-Effekt untersucht. Als Lichtquelle wird ein elektrodenloses Plasma hoher Ladungsdichte benutzt. Der Vergleich mit theoretischen Profilen zeigt, daß die Selbstabsorption das beobachtete Profil verfälschen kann. Groth.

8628 A. M. Arthurs and J. Hyslop. Radiative charge transfer from H atoms to  $He^{2+}ions$ . Proc. phys. Soc. Lond. (A) 70, 849—856, 1957, Nr. 12 (Nr. 456 A). (1. Dez.) (Belfast, Queen's Univ., Dep. appl. Math.) Für den Prozeß  $He^{2+} + H \rightarrow He^+ + H^+ + h\nu$  wird die Ausbeute  $(dn[He^+]/dt)/n(He^{2+})n(H) = (dn[H^+]/dt)/n(He^{2+})n(H)$  berechnet, wo n (i) die Konzentration der Teilchensorte i bedeutet. Sie erweist sich als praktisch unabhängig von der Temperatur im Bereich 250 bis 64000°K mit ca. 1,6·10-18 cm³ s-1. In einem Anhang werden

frühere Berechnungen der exakten Zweizentren-Wellenfunktionen für die Zustände ls $\sigma$  und 2p $\sigma$  von HeH²+ nach größeren Kernabständen hin ergänzt.

G. Schumann.

8629 Kurt Artmann. Valenzwinkelprobleme in der Theorie der chemischen Bindung. Z. Elektrochem. 61, 860—865, 1957, Nr. 8. (15. Nov.) (Hamburg, Univ., Inst. Theor. Phys.) Die Valenzwinkel eines mehratomigen Moleküls lassen sich qualitativ aus dem Aufbau der Valenzelektronen des Zentralatoms (ZA) auf zwei Weisen verstehen: 1. Man behandelt nur den Term des Zentralatoms mit maximalem Spin als echtes n-Elektronenproblem. Die n Außenatome lagern sich in Richtungen maximaler  $\psi^2$ -Werte ( $\psi$  = SLATER-Determinante der Valenzelektronen) an das Zentralatom (Näherung der Spinvalenz). 2. Man berücksichtigt das Zusammenwirken mehrerer Terme des Zentralatoms als n Einelektronenprobleme. Die Außenatome lagern sich so an, daß sich ihre orthogonalen Eigenfunktionen mit denen des Zentralatoms maximal überlappen (Näherung der lokalisierten Valenz). Beide Methoden liefern z. B. bei H<sub>2</sub>O und H<sub>2</sub>S den Valenzwinkel 90°. — Ein quantitativer Aufbau der Theorie geschieht, indem diejenigen Lagen der Außenatome gesucht werden, bei denen die Molekülenergie ein Minimum ist. Dann läßt sich auch die beobachtete Spreizung des Valenzwinkels berechnen.

8630 Kurt Artmann. Berücksichtigung der Elektronen-Korrelation in der Quantenchemie. Z. Phys. 149, 299—310. 1957, Nr. 3. (19. Okt.) (Hamburg, Univ., Inst. theor. Phys.) Vf. entwickelt am Beispiel des LiH-Moleküls ein Rechenverfahren, das möglichst lange mit den streng richtigen Eigenfunktionen der Einzelatome operiert und diese erst am Schluß der Rechnung durch Produktansatz approximiert. Der Vorgang berücksichtigt in erheblichem Maße die Korrelation der Elektronen des Einzelatoms untereinander.

8631 Berge Bak und Lise Hansen-Nygaard. Messung von magnetischen und elektrischen Kernmomenten und ihre Bedeutung für Aussagen über den chemischen Bindungszustand. Z. Elektrochem. 61, 895—900, 1957, Nr. 8. (15. Nov.) (Kopenhagen, Univ., Chem. Inst.) Elektrische und magnetische Erscheinungen am Atomkern werden kurz besprochen und die Schlüsse, die man aus den experimentellen Bestimmungen von (magnetischen) "chemischen Verschiebungen" und (elektrischen) eqQ-Werten auf den chemischen Bindungszustand zu ziehen versucht hat, zusammengestellt.

8632 E. Ruch. Symmetrieverhältnisse und Bindungserscheinungen. Z. Elektrochem. 61, 913—923, 1957, Nr. 8. (15. Nov.) (München, T. H., Phys.-Chem. Elektrochem. Lab.) Zunächst wird auf die Symmetrie an sich und ihre allgemeinen Gesetzmäßigkeiten, dann auf ihre Rolle in der Physik und besonders der Physik der chemischen Bindungen eingegangen. An Hand einer Reihe z. T. aktueller Probleme (Mn<sup>++</sup>-Ion im elektrostatischen Feld von Symmetrie eines Oktaeders, Chromhexacarbonyl, Di-Ringkomplexe von der Symmetrie eines polygonalen Antiprismas) werden Zweckmäßigkeit und Eleganz der Schlußweisen auf Symmetriebasis vorgeführt, deren Vorzug es ist, die qualitative Seite der Erscheinungen ohne Rechenaufwand erfassen zu können. Den Ergebnissen läßt sich eine Kritik im Sinne des Richtig oder Falsch zuordnen.

8633 H. Preuss. Das Göttinger Integralprogramm. Z. Elektrochem. 61, 924—925, 1957, Nr. 8. (15. Nov.) (Göttingen, Max-Planck-Inst. Phys.) Bei der quantenmechanischen Berechnung von Moleküleigenschaften sind eine Reihe langwieriger Integrationen erforderlich. Ziel des Programms ist es, diese Integrale (im wesentlichen vier Typen: Überlappungs-, allgemeine Übergangs-, kinetische Energieund Wechselwirkungsintegrale) mit Hilfe der elektronischen Rechenmaschinen

G 1 und G 2 zu berechnen und, in vier Bänden zusammengestellt, tabelliert zu veröffentlichen (Springer-Verlag). Eine Inhaltsangabe der Bände, deren erster 1956 erschienen ist, wird gegeben. Z. Z. sind die Tabellen aller Wechselwirkungsintegrale mit gleichen Abschirmzahlen in den verwendeten SLATER-Funktionen und die Einelektronenintegrale bei verschiedener Abschirmzahl sowie eine Reihe von Hilfsfunktionen fertiggestellt.

8634 H. Preuss. Zur "Methode der Atome in Molekülen". Z. Naturf. 12a, 599 bis 603, 1957, Nr. 8. (Aug.) (Göttingen, Max-Planck-Inst. Phys.) Die Methode der Atome in Molekülen geht von Grenzzuständen des vorliegenden Systems aus, deren Energien aus spektroskopischen Daten entnommen werden. Als Grenzzustand kann einmal der Zustand unendlich weit voneinander entfernter Einzelatome oder zum anderen das "vereinigte Atom" mit Kernladung gleich Summe der Ladungen der Einzelatome des Moleküls benutzt werden. Vf. gibt eine Verschmelzung dieser beiden Verfahren, die eine bessere Angleichung an die wirklichen Energiekurven gibt. Behandelte Beispiele: H<sub>2</sub>-Ion und -Molekül.

Grawert.

- 8635 M. J. Stephen. A variational method for calculating magnetic shielding constants in molecules. Proc. roy. Soc. (A) 243, 264—273, 1957, Nr. 1233. (24. Dez.) (Oxford, Univ., Math. Inst.) Für die Moleküle H<sub>2</sub>, CH<sub>4</sub>, Aethylen und Acetylen werden die magnetischen Abschirmungskonstanten berechnet. Dazu wird die allgemeine Variationsmethode mit einfachen MO- und VB-Wellenfunktionen angewandt. Für die nicht in der Nähe des magnetischen Kernes lokalisierten Elektronen wird eine Näherung auf Grund der errechneten diamagnetischen Suszeptibilität eingeführt. Die Übereinstimmung mit dem Experiment ist befriedigend.
- 8636 M. J. Stephen. A variational method for calculating nuclear spin-spin interactions in molecules. Proc. roy. Soc. (A) 243, 274—280, 1957, Nr. 1233. (24. Dez.) (Oxford, Univ., Math. Inst.) Es wird eine allgemeine Methode angegeben um die gegenseitige Wechselwirkung der Kernspins in Molekülen zu berechnen. Die Rechnung wird am Beispiel des HD-Moleküls durchgeführt und zeigt, daß die so gewonnene Linienaufspaltung mit der experimentell beobachteten übereinstimmt.

  H. D. Schulz.
- 8637 J. Tillieu. Contribution à l'étude théorique des susceptibilités magnétiques moléculaires. IV. Application des formules générales au calcul des susceptibilités de quelques liaisons ou molécules particulières. Ann. Phys., Paris (13) 2, 631—675, 1957, Nr. 9/10. (Sept./Okt.) A. Vereinfachung der allgemeinen Gleichungen im Rahmen bestimmter Methoden der theoretischen Chemie. B. Berechnung der Suszeptibilität der  $\sigma$ -Bindungen (Zwei-Elektronen-Bindungen). 1. Verwendete Näherungen und allgemeine Näherungsformeln. 2. Anwendung auf H<sub>2</sub>. 3. Anwendung auf die C-H-Bindungen. 4. Anwendung auf die  $\sigma$ -Bindungen C-C. C. Berechnung der Suszeptibilität der  $\pi$ -Elektronen. 1. Näherungsformeln. 2. Anwendung auf die  $\pi$ -Elektronen der C = C-Doppelbindung, 3. auf die der C  $\equiv$  C-Dreifachbindung. D. Vergleich mit experimentellen Ergebnissen und der magnetochemischen Systematik. 1.  $C_nH_{2n+2}$ . 2.  $C_nH_{2n}$ , 3.  $C_nH_{2n-2}$ . V. Schluß. Jörchel.
- 8638 Stig Flodmark. Note an a standard program for calculation of one-electron molecular integrals of overlap type by use of the Swedish electronic computor BESK. Ark. Fys. 11, 417—419, 1956, Nr. 33. (Univ. Stockholm, Inst. Theor. Phys.) Vf. programmierte die Berechnung von Überlappungsintegralen für die wasserstoffähnlichen Wellenfunktionen 1 s bis einschließlich 3 d für eine schwedische elektronische Rechenmaschine. Interessenten können sich die Integrale gegen Bezahlung berechnen lassen.

8639 S. R. Polo. Energy levels of slightly asymmetric top molecules. Canad. J. Phys. 35, 880—885, 1957, Nr. 8. (Aug.) Um die Analyse der Rotationsbandenspektren leicht asymmetrischer Kreiselmoleküle zu erleichtern, wurde die Termenergie einschließlich der Zentrifugalkraft-Korrektion erster Ordnung in Abhängigkeit von J, K und dem Asymmetrieparameter  $\varepsilon$  bis zu Gliedern  $\varepsilon^5$  berechnet.

8640 Werner Luck. Über die Coulombkraft bei der Wasserstoffmolekülbindung. Z. Elektrochem. 61, 1057—1068, 1957, Nr. 8. (15. Nov.) (Ludwigshafen/Rh., BASF, Hauptlab.) Die elegante wellenmechanische Methode erleichtert zwar die Berechenbarkeit des H<sub>2</sub>-Moleküls, erschwert jedoch das physikalische Verständnis der Bindung. Korrespondierend zur wellenmechanischen Berechnung wird daher eine anschauliche Rechnung nur mit Coulomb-Kräften durchgeführt, die die Bindungsenergie 104 kcal/Mol (experimenteller Wert 103), in guter Näherung den Anziehungsteil der Potentialkurve für den Grundzustand und den ersten Anregungszustand von H<sub>2</sub> sowie die Potentialkurve des Abstoßungsfalles liefert. Das Wesen der homöopolaren Bindung liegt danach erstens in strengen Phasenbeziehungen zwischen der Dynamik beider Elektronen und zweitens in einer Deformation der atomaren Symmetrie. Die effektive Kernladungszahl 1/Z wird als "Polarisation" a gedeutet (d. i. der Faktor, um den sich der Abstand Proton-Elektron innerhalb der beiden Atome bei Annäherung beider ändert). Grenzen und Bedeutung dieser Abschätzung, die in der anschließenden Diskussion kritisiert wird, werden erörtert.

8641 T. P. Das and R. Bersohn. Variational calculation of magnetic shielding of protons in the hydrogen molecule. Phys. Rev. (2) 104, 849, 1956, Nr. 3. (1. Nov.) (Ithaca, N. Y., Cornell Univ., Dep. Chem.) Zur Berechnung der Terme der Ordnung  $\mu_{\rm el}{\rm H}^2$  und  $\mu_{\rm Nuk}{\rm H}$  zur Elektronenenergie des Wasserstoffmoleküls in äußerem magnetischem Feld. Grawert.

8642 Erich Hückel. Zur modernen Theorie ungesättigter und aromatischer Verbindungen. Z. Elektrochem. 61, 866—890, 1957, Nr. 8. (15. Nov.) (Marburg/Lahn, Univ., Phys. Inst.) 1. Heuristische Gesichtspunkte zur theoretischen Behandlung. 2. Algemeines zur quantentheoretischen Behandlung. 3. Die erste Methode (Heitler-London-Slater-Methode; Heitler-London-Slater-Pauling- oder valence-bond-Methode). 4. Das ursprüngliche Verfahren der molekularen Elektronenzustände (molecular orbitals, M. O.). 5. ,,π-Bindungsordnungen" und "Ordnungen freier π-Valenzen". 6. Verbesserungsmöglichkeiten für die MO-Methode und deren Grenzen. 7. Die Methode des "selfconsistent field" für die π-Elektronen (π-SCFMO-Methode). 8. Anwendung der Methode des selfconsistent field auf alle Valenzelektronen (SCFMO-Methode); molekulare symmetrische, molekulare Eigen- und molekulare äquivalente Funktionen. 9. Schlußwort.

8643 Karl Wisseroth. Zur Resonanzkontraktion von π-Elektronensystemen. Z. Elektrochem. 61, 986—989, 1957, Nr. 8. (15. Nov.) (Ludwigshafen/Rh., Bad. Anilin- u. Soda-Fabr., Forschungsinst.) Durch Anwendung einer vom Vf. früher veröffentlichten theoretischen Deutung der Smittenberg-Mulderschen Beziehung für den Dichteverlauf innerhalb homologer Kohlenwasserstoffreihen ist die Bestimmung der Eigenvolumina von Äthylen, Benzol und Naphthalin aus makroskopischen Dichtemessungen möglich. Durch Vergleich dieser Werte mit den jeweiligen Kékulé-Strukturen bzw. deren Volumina, folgen für Benzol und Naphthalin die durch wellenmechanischen Resonanzeffekt bedingten Volumenkontraktionen, die in befriedigender Weise mit den quantenmechanischen bzw. den durch direkte Abstandsmessungen (z. B. Elektronenbeugung, Röntgeninterferenz) gewonnenen Ergebnissen übereinstimmen.

8644 Hansjörg Sinn. Bindeenergien und Ladungsverteilung der C-C-Mehrfachbindungen. Z. Elektrochem. 61, 989—992, 1957, Nr. 8. (15. Nov.) (München, T. H., Inst. Chem. Technol.) Die Bindeenergie jedes der beiden π-Elektronenpaare des Acetylensystems ist größer als die des π-Paares des Äthylensystems. Das stäbchenförmige Acetylensystem ist auf Grund der sich durch die Bindungsenergie ergebenden unsymmetrischen Kernabschirmung an beiden C-Atomen partiell positiviert (unabhängig, ob freie oder substituierte Acetylensysteme betrachtet werden). Das hergeleitete Modell ist also gegenüber anderen Kohlenstoffsystemen gekennzeichnet durch erschwerte Polarisierbarkeit bei bereits im Grundzustand vorhandener Polarität im Sinne beidseitiger Carbenium-Strukturen. Auf Grund dieser Vorstellung können die Additionsreaktionen an Monound Polyacetylenen verstanden werden.

8645 J. Tillieu. Contribution à l'étude théorique des susceptibilités magnétiques moléculaires. Ann. Phys., Paris 2, 471—497, 1957, Nr. 7/8. (Juli/Aug.) I. Einführung. II. Problemstellung und Rückblick auf frühere Arbeiten. A. Die Natur der untersuchten Größen. B. Gleichungen des Problems. C. Langevinsche klassische Theorie des Diamagnetismus. D. Quantenmechanische Theorie, Formeln von van Vleck (Anwendungen auf Atome und Ionen, H<sub>2</sub>, N<sub>2</sub> und CH<sub>4</sub>). III. Variationsmethode zur Berechnung der magnetischen Suszeptibilitäten. A. Prinzip und Grenzen der Methode. B. Entwicklung der Energic nach Potenzen der

magnetischen Feldstärke H. C. Bestimmungsgleichungen für die unbekannten

Funktionen g (die im Ansatz  $\psi=\psi_0$  (1 + g H) auftreten,  $\psi=$  gestörte,  $\psi_0=$  ungestörte Wellenfunktion); allgemeine Formeln. D. Invarianz der allgemeinen Formeln gegen Koordinatenänderung.

8646 Jack N. Finch and Ellis R. Lippincott. Hydrogen bond systems. — Temperature dependence of OH frequency shifts and OH band intensities. J. phys. Chem. 61, 894—902, 1957, Nr. 7. (Juli.) (Manhattan, Cansas State Coll.; Dep. Chem.; College Park, Univ. Maryland, Dep. Chem.) Nach Untersuchung der OH-Bindungsfrequenzen und Intensitäten für verschiedene Verbindungen wurden die experimentellen Ergebnisse interpretiert durch ein Potentialfunktionsmodell der Hydrogenbindung. Die Deutung der Temperaturverschiebung der OH-Bindungsfrequenz in Alkoholen gelingt durch die Annahme einer BOLTZMANN-Verteilung der Energie der Wasserstoffbindung. Bartholomeyczyk.

8647 J. C. Peeker and M. Peuehot. Les constantes de dissociation des molécules diatomiques d'interêt astrophysique. Mém. Soc. Sci. Liège 18, 352—356, 392—394, 1957, Nr. 1. (Paris-Meudon, Obs.; Clermont-Ferrand, Fac. Sci.) Vff. berechnen für die zehn zweiatomigen Moleküle  $H_2$ ,  $G_2$ ,  $G_2$ ,  $G_3$ ,  $G_4$ ,  $G_5$ ,  $G_7$ ,  $G_8$ , G

8648 François Legay. Contribution à l'étude de la dispersion dans les bandes d'absorption infrarouge de l'acide chlorhydrique gazeux. Cah. Phys. 11, 347—385, 1957, Nr. 86/87. (Okt./Nov.) Die Dispersion der Brechzahl von gasförmigem HCl im Bereich seiner Fundamentalschwingungen bei 3,4  $\mu$ m und der ersten harmonischen Oberschwingung bei 1,7  $\mu$ m wurde zwischen 1 und 6  $\mu$ m mit einem MICHELSON-

Interferometer und Gitterspektrograph gemessen. Die experimentellen Ergehnisse wurden benutzt, um mit Hilfe der von R. Hermann und Mitarbeitern entwickelten Theorie die Matrixelemente des elektrischen Dipolmomentes für die Übergänge 0 bis  $1 \to 0 \to 2$  zu berechnen. Außerdem konnten die Wechselwirkung Rotation—Schwingung und die ersten Terme der Entwicklung des Dipolmomentes nach dem Kernabstand bestimmt werden.

Barholomeyczyk.

8649 Wolfgang Lüttke. Spektroskopische Untersuchungen an Nitroso-Verbindungen. 2. Mitteilung. Schwingungsfrequenz und Bindungscharakter von NO-Bindungen als Argumente zur Strukturbestimmung der Nitroso-Dimeren. Z. Elektrochem. 61, 976—986, 1957, Nr. 8. (15. Nov.) (Freiburg/Br., Univ., Inst. Phys. Chem.) In Fortsetzung früherer Arbeiten (Ber. 36, 1715, 1957) wird über weitere spektroskopische Untersuchungen an Nitroso-Verbindungen im Hinblick auf die Konstitution der Nitroso-Dimeren berichtet. Die NO-Valenzschwingung aliphatischer Nitroso-Dimere wird zwischen 1176 und 1430 cm<sup>-1</sup>, die aromatischer Dimere zwischen 1253 und 1409 cm<sup>-1</sup> gefunden. Durch Vergleich mit den entsprechenden Schwingungen der Monomeren erweist sich der Bindungsgrad der NO-Bindung in den Dimeren erheblich niedriger als in den Monomeren. Daraus muß geschlossen werden, daß die Dimerenverknüpfung unmittelbar über die N-Atome und nicht in Form eines Vierrings stattfindet.

8650 Georg Karagounis und Ottokar Peter. Über das infrarote Spektrum organischer Substanzen in dünner Schicht. Z. Elektrochem. 61, 1094—1100, 1957, Nr. 8. (15. Nov.) (Freiburg/Br., Univ., Phys.-Chem. Inst.) (Ber. S. 1201.) Neu untersucht werden Benzoesäure, p-Benzochinon, Butindiol und p-Chlorphenol.

Brügel.

8651 P. J. Krueger and H. W. Thompson. Vibrational band intensities in substituted anilines. Proc. roy. Soc. (A) 243, 143—153, 1957, Nr. 1233. (24. Dez.) (Oxford, Univ., Phys. Chem. Lab.) Untersuchung der Ultrarot-Absorptionsbanden für die Streckschwingungen der NH<sub>2</sub>-Gruppe in einigen m- und psubstituierten Anilinen, ferner des Einflusses der Substituenten auf Lage, Intensität und Breite der Banden und Vergleich mit ihren σ-Faktoren nach HAMMETTσ ist dem log der Intensität proportional. Weiter wurde der Einfluß des Lösungsmittels auf die Bandenintensität, in einigen Fällen der Einfluß von σ-Substituenten, sowie die Eigenschaften der N-H-Streckschwingungen in substituierten N-Methyl-Anilinen untersucht.

8652 Horst Bayer. Über den Verlauf des Brechungsindex und der Dielektrizitätskonstante im Bereich des Inversionsspektrums (Mikrowellenspektrums) von NH3 bei Drucken zwischen 10-3 und 1 Torr unter besonderer Berücksichtigung der Linie J = 3 K = 3. Z. Phys. 149, 550—570, 1957, Nr. 5. (25. Nov.) (Braunschweig, Phys.-Techn. Bundesanst.) Vf. berechnet den Realteil der DK des NH, im Bereich der 3,3-Inversionslinie nach der VAN VLECK-WEISSKOPFschen Theorie, also für reine Gas-Stoß-Verbreiterung, für den Druckbereich von 10-3 bis 1 Torr. Maximum und Minimum der Dispersionskurve ergeben sich als druckunabhängig. und differieren um  $\Delta \varepsilon = 1,6 \cdot 10^{-4}$ . Während dieser Wert bisher noch nicht experimentell nachgeprüft werden konnte, stimmt die ihm entsprechende Absorptionskonstante  $\alpha = 8.0 \cdot 10^{-4}$  cm<sup>-1</sup> gut mit dem Experiment überein. Es wird gezeigt, daß α und damit auch die Steilheit der Dispersionskurve mit abnehmender Temperatur (bei konstantem Druck) ansteigen sollten. In einem Anhang werden die Beiträge der einzelnen Rotationsniveaus zur Zustandssumme tabellarisch gegeben. W. Maier.

8653 D. W. Posener. Hyperfine structure in the microwave spectrum of water. I. Quadrupole coupling in deuterated water. Aust. J. Phys. 10, 276—285, 1957,

Nr. 2. (Juni.) (Univ. Grounds, Chippendale N. S. W., Div. Electrotech.) Es wird über Messungen im Mikrowellenspektrum von DaO und HDO berichtet. Die beobachteten Frequenzen entsprechen den Aufspaltungen, die durch Wechselwirkung des Quadrupolmomentes des Deuterons mit dem sehr kleinen elektrischen Feldgradienten am Kernort hervorgerufen werden. Der für die Messungen benutzte STARK-Spektrograph wird im Blockschema wiedergegeben. Die Linien  $2_{20} \leftarrow 2_{21}$  von HDO bei 10,278 MHz und  $3_{15} \leftarrow 2_{20}$  von  $D_{2}O$  bei 10,919 MHz werden gemessen und die Quadrupolaufspaltungen experimentell und theoretisch ermittelt. Die beobachteten Linienbreiten lagen in der Größenordnung von 30 bis 40 kHz. Mit dem Quadrupolmoment  $Q = (2,738 \pm 0,014) \cdot 10^{-27}$  cm<sup>2</sup> ergab sich die Kopplungskonstante des Deuterons in Richtung der OD-Bindung (eq Q)<sub>OD</sub> = + 353 ± 4 kHz und der entsprechende elektrische Feldgradient  $\delta^2 V/\delta \xi^2 = (1.78 \pm 0.02) \cdot 10^{15}$  (CGS-Einheiten). Die beobachtete Außpaltung läßt sich durch eine einfache Quadrupolwechselwirkung theoretisch nicht beschreiben, sondern erfordert die Hinzunahme magnetischer Wechselwirkungsterme.

8654 Lars Akerlind. The rotational analysis of the singlet system B of zirconium oxide. The  $\lambda$  8192 band-system. Ark. Fys. 11, 395—404, 1956, Nr. 31. (Univ. Stockholm, Dep. Phys.) Das grüne Singulett-Bandensystem des Zirkon-Oxyds wurde untersucht. Die 0,0 und 1,0-Banden wurden analysiert. Außer den starken dem Zr<sup>90</sup>O<sup>16</sup> zugehörigen Linien wurden auch Linien von Zr<sup>91</sup>O<sup>16</sup>, Zr<sup>92</sup>O<sup>16</sup> und Zr<sup>94</sup>O<sup>16</sup> identifiziert. Die Rotationskonstanten für das häufigste Molekül sind: B'<sub>0</sub> = 0,4167 K,  $\alpha_{\rm cal}$  = 0,0012 K, D'<sub>0</sub> = 0,35·10-6 K, B'<sub>v</sub> = 0,3986 — 0,0021 (v +  $^{1}$ /<sub>2</sub>) K, D'<sub>0</sub> = 0,37·10-6 K, D'<sub>1</sub> = 0,39·10-6 K, r''<sub>e</sub> = 1,725·10-8 cm, r'<sub>e</sub> = 1,764·10-8 cm. Abschließend wird die bei 8192 Å liegende Gruppe von Banden des ZrO kurz diskutiert.

8655 Albin Layerquist and Lars-Erlk Selin. Some infrared bands of vanadium oxide. Ark. Fys. 11, 429—430, 1956, Nr. 35. (Univ. Stockholm, Phys. Dep.) Zwischen 10500 Å und 9500 Å liegende infrarote Banden des Vanadiumoxyds wurden mit Gitterspektrographen photographiert.

8656 W. Hayes, P. D. McCarvill and T. E. Nevin. The structure of the  $X^7$   $\Sigma$  state of MnH and MnD. Proc. phys. Soc. Lond. (A) 70, 904—905, 1957, Nr.12 (Nr. 456 A). (1. Dez.) (Dublin, Univ., Coll., Dep. Phys.) Die (0,2)-Bande des Systems  $A^7\Pi - X^7\Sigma$  wurde analysiert. Bei MnD ließen sich P-, Q-, R-Zweige leicht herausfinden, während bei MnH die Bande nicht gut entwickelt war. Die Schwingungskonstanten des Zustandes  $X^7\Sigma$  werden angegeben mit  $\omega_e^{\prime\prime\prime}=1548,0$  bzw. 1102,5 cm<sup>-1</sup> und  $x_e^{\prime\prime\prime}\omega_e^{\prime\prime\prime}=28,8$  bzw. 13,9 cm<sup>-1</sup> für MnH bzw. MnD. G. Schumann.

8657 R. F. Barrow, D. Premaswarup, J. Winternitz and P. B. Zeeman. Ratational analysis of bands of the  $c^3\Sigma$ ,  $b^3\Sigma-a^3\Pi$  system of boron monofluoride, BF. Proc. phys. Soc. Lond. (A) 71, 61—64, 1958, Nr. 1 (Nr. 457A). (1. Jan.) (Oxford, Univ., Phys. Chem. Lab.) Die Banden wurden angeregt in einer Hohlkathodenentladung durch einen Strom von BF<sub>3</sub>. Die Rotationsanalyse erstreckte sich auf die Banden (2,0), (1,0), (0,0), (0,1), (0,2), (1,4) des Systems  $b^3\Sigma - a^3\Pi$  und die (0,0)-Bande des Systems  $c^3\Sigma - a^3\Pi$ . Die  $\Lambda$ -Verdopplung im  $a^3\Pi$ -Zustand ist entgegen früheren Annahmen beträchtlich. Prädissoziation oder Störungen durch die Singulettzustände wurden nicht beobachtet. Die Höhe von  $a^3\Pi$  über  $x^1\Sigma$  ist nach wie vor unbekannt.

8658 M. Aslam Khan. AlH bands at 2173 Å and 2101 Å. Proc. phys. Soc. Lond. (A) 71, 65—68, 1958, Nr. 1 (Nr. 457A). (1. Jan.) (London, Imp. Coll. Sci.

Technol., Dep. Phys.) Die Rotationsanalyse ergab, daß es sich um die Banden (0,1) des Systems  $D^1\mathcal{L} - A^1\mathcal{L}$  und (1,0) des Systems  $C^1\mathcal{L} - A^1\mathcal{L}$  handelt. Die erstgenannte zeigte Störungen und Prädissoziation. G. Schumann.

8659 R. F. Barrow, H. F. K. Cheall, P. M. Thomas and P. B. Zeeman. Rotational analysis of bands of the  $AII^3_{0+}$ ,  $B^3II_1$ — $X^1\Sigma^+$  systems of thallous fluorids. Proc. phys. Soc. Lond. (A) 71, 128—130, 1958, Nr. 1 (Nr. 457A). (1. Jan.) (Oxford, Univ., Phys. Chem. Lab.; Stellenbosch Univ., Merensky Inst. Phys.) Die Untersuchung erstreckte sich auf die Banden (0,0), (2,2), (3,3) des Systems A-X und die Banden (0,0), (1,1), (2,2) des Systems B-X. Aus den spektroskopischen Daten ergibt sich eine Dissoziationsenergie von 109,5  $\pm$  0,6 kcal. Der aus thermochemischen Daten abgeleitete Wert liegt um 5 % niedriger, und es wird vermutet, daß die kalorischen Zahlenwerte für das TIF nicht fehlerfrei sind. G. Schumann.

8660 Valentin Zanker und Erich Miethke. Nachweis der längstwelligen Triplettabsorptionsbande beim Acridinorange und Erweiterung des Triplettabsorptionsspektrums dieser Farbstoffmolekel bis ins kurzwellige UV. Z. phys. Chem. (NF) 12, 13—29, 1957, Nr. 1/2. (Juli.) (T. H. München, Inst. phys. Chem.) Mit verbesserter Meßmethode wurde die Kenntnis des spektroskopischen Verhaltens des Acridinorgangekations wesentlich erweitert. Die Ergebnisse werden in einem Termschema zusammengefaßt, das auch die Resultate einer früheren Untersuchung enthält.

Bartholomeyczyk.

J. M. Anderson, A. D. Kavadas and R. W. McKay. The decay of the nitro-8661 gen afterglow. Proc. phys. Soc. Lond. (A) 70, 877—886, 1957, Nr. 12 (Nr. 456 A). (1. Dez.) (Toronto, Univ., Dep. Phys.) Die Entladung wurde mit Hochfrequenz im Impulsbetrieb angeregt und das Nachleuchten mit einem Photomultiplier gemessen. Während der Dauer der Impulse war wegen der hohen Lichtintensität der Entladung die Spannung am Multiplier abgeschaltet. Die eingehend beschriebene elektronische Apparatur ermöglichte die Intensitätsmessung über fünf Zehnerpotenzen. Im einzelnen wurden Abklingkurven für je sieben verschiedene Werte von Temperatur (30-180°C), Druck (0,9-7 mm) und O<sub>2</sub>-Verunreinigung (0,01-0,4%) aufgenommen. Sämtliche Kurven lassen drei Abschnitte erkennen, einen bimolekularen Abfall am Anfang, einen weiteren bimolekularen Teil und zuletzt ein logarithmisches Abklingen. Die Neigungen der Kurvenabschnitte im  $I^{-1}/^2$ - bzw. logI-Diagramm sind auf 5 % genau. In den meisten logarithmischen Diagrammen nimmt die Krümmung nicht monoton auf Null ab, und der Differentialquotient geht in einigen Fällen durch ein Minimum, bevor er den endgültigen Wert annimmt. Extrem reines N2 zeigte ein Nachleuchten erst, nachdem etwa zwei Stunden lang kräftige pulsierende Entladungen stattgefunden hatten. G. Schumann.

8662 J. M. Anderson. The nature of active nitrogen. Proc. phys. Soc. Lond. (A) 70, 887—899, 1957, Nr. 12 (Nr. 456A). (1. Dez.) (Toronto, Univ., Dep. Phys.) Vf. entwickelt eine quantitative Theorie für Prozesse, die folgenden, auf Grund des vorliegenden, übersichtlich zusammengestellten experimentellen Materials gemachten Annahmen unterliegen: zwei als Energieträger wirkende Teilchen, die gleich oder verschieden sein können, stehen miteinander und möglicherweise mit dritten Teilchen in Wechselwirkung; diese führt zur Emission eines Nachleuchtpuants; gleichzeitig mit diesem Vorgang geben die Energieträger einzeln ihre Energie in einem monomolekularen Prozeβ ab. Aus dem Vergleich der experimentellen Ergebnisse des Vf. und Mitarb. mit denen der Theorie wird geschlossen: Der Anfangsprozeß und die folgenden Vorgänge sind unabhängig voneinander. Er ist bimolekular und vollzieht sich zwischen Teilchen gleicher Eigenschaften, die nicht einem monomolekularen Abbau unterworfen sind. Sehr

wahrscheinlich handelt es sich um Rekombination von N-Atomen.  $O_2$  scheint als Katalysator in der Größenordnung  $10^{-6}$  erforderlich zu sein. Die Aktivierungsenergie beträgt  $900\,\mathrm{cm^{-1}}$ . Der zweite bimolekulare Prozeß spielt sich mit zwei verschiedenen Teilchenarten ab, von denen die ursprünglich zahlreichere schneller abnimmt und mindestens eine durch einen monomolekularen Prozeß abgebaut wird. Vermutlich handelt es sich um Stöße zwischen  $N_2$ -Molekülen in verschiedenen Schwingungsniveaus des Elektronen-Grundzustandes. Die Aktivierungsenergie ist <kT. Eine Verunreinigung ist erforderlich, wahrscheinlich  $H_2$  in der Größenordnung  $10^{-6}$ , während  $O_2$  den Prozeß unterdrückt. Der monomolekulare Abfall hat die übliche Abhängigkeit von Stoßwahrscheinlichkeit und Diffusion an die Wände. Eine Dissoziationsenergie von  $5600\,\mathrm{cm^{-1}}$  spielt eine Rolle.

G. Schumann.

8663 P. M. de Wolff. Self-centering combined aperture-and scatter-slit for powder diffractometry with constant effective specimen area. Appl. sci. Res., Hague (B) 6, 296—300, 1957, Nr. 4. (T. H. Delft, Techn. Phys. Dienst.) Vf. beschreibt einen kombinierten Öffnungs- und Streustrahlenspalt, der aus einer einzigen, der Probenmitte gegenüberstehenden Schneide aus 1 mm dickem Messingblech besteht und in Vorwärtsrichtung ( $2\vartheta \leqslant 90^\circ$ ) eine konstante bestrahlte Probenoberfläche liefert. Konstruktion und Justierung des Spaltes sind einfach; die Streustrahlung kann durch geeignete Probenhalter vollständig unterdrückt werden. Es ergeben sich folgende Vorteile: 1. Der Spalt ist auch für kleinste Glanzwinkel automatisch zentriert. 2. Der Spalt liefert stets die größtmögliche nutzbare Öffnung. 3. Da die Öffnung nun proportional zu sin  $\vartheta$  ist, wird der hauptsächlich durch die Abnahme des Lorentz-Faktors bedingte starke Abfall der Interferenzen mit  $\vartheta$  weitgehend kompensiert. 4. Der Spalt liefert eine scharfe Öffnungsbegrenzung, unabhängig von der Breite des Brennflecks und des Empfängerspaltes.

8664 Kathleen Lonsdale, Ronald Mason, Judith Grenville-Wells E. G. Cox and D. W. J. Cruickshank. Is 'super-refinement' legitimate in X-ray cristal analysis? Nature, Lond. 179, 856-859, 1957, Nr. 4565. (27. Apr.) (Univ. Coll. Lond., Dep. Chem.; Univ. Leeds, Dep. Inorg. Struct. Chem.) Vff. nehmen Stellung zu der von KITAJGORODSKIJ (Nature 179, 410, 1957) geäußerten Ansicht, daß die Bedeutung der Strukturanalyse nicht über die Bestimmung der Atomkoordinaten hinausgeht. - Lonsdale, Mason und Greenville-Wells stimmen mit ihm darin überein, daß die Berechtigung für die Verfeinerung der Fourier-Synthese in Abhängigkeit von der Genauigkeit der beobachteten Strukturfaktoren und dem Verhältnis der Zahl willkürlicher Parameter (Atomkoordinaten, DEBYE-Faktoren, Streufaktoren usw.) zur Zahl der unabhängigen Beobachtungen betrachtet werden muß und daß die Meßwerte hinsichtlich Absorption, Extinktion und Dispersion in den Kristallen sorgfältig korrigiert werden müssen. Sie sind jedoch im Gegensatz zu ihm der Ansicht, daß die experimentell erzielbaren Genauigkeiten durchaus ausreichend sind, um eine Verfeinerung der Berechnungsmethoden zu rechtfertigen und auf diese Weise über die Bestimmung der Atomlagen hinaus Aussagen über die thermischen Schwingungen der Atome und andere anisotrope Effekte zu liefern. - Auch Cox und CRUICKSHANK weisen die Ansicht, man könne selbst mit den besten experimentellen Daten in der Strukturanalyse nur die Lage der Atomzentren finden, zurück, indem sie ausführen, daß die bei der Bestimmung der anisotropen Wärmebewegung benutzten Prinzipien im Grunde seit langem bei der Bestimmung isotroper Bewegungen und der Elektronendichten in kubischen Kristallen angewandt werden und daß die Zulässigkeit ihrer Anwendung durch Vergleich der Ergebnisse mit den Resultaten von Experimenten auf anderen physikalischen Gebieten nachgeprüft werden kann. Hildenbrand.

8665 W. Coehran and A. S. Douglas. The use of a high-speed digital computer for the direct determination of crystal structures. II. Proc. roy. Soc. (A) 243, 281—288, 1957, Nr. 1233. (24. Dez.) (Cambridge, Univ., Cavendish Lab.) Die Bestimmung von Kristallstrukturen nach dem  $\chi$ -Kriterium wird behandelt. Unter günstigen Bedingungen können die Vorzeichen der größten Glieder der Fourier-Reihen, die  $\varrho$ , die Elektronendichte in der Elementarzelle wiedergeben, direkt erhalten werden; die Größen der Glieder werden experimentell ermittelt. Für weniger günstige Fälle wird ein neues Kriterium vorgeschlagen, das es ermöglicht, unter mehreren Hundert Sätzen von Vorzeichen eine gewisse Anzahl, etwa ein Dutzend, der wahrscheinlichsten auszuwählen. Diese können an Hand der entsprechenden Kontur-Karten von  $\varrho$  geprüft werden. Das neue Kriterium wurde auf die Struktur von Nitroguanidin angewandt. Die Auswahl der wahrscheinlichsten Sätze und die Abschätzung von  $\varrho$  an geeigneten Punkten im Raum mittels einer elektronischen Rechenmaschine werden beschrieben.

M. Wiedemann.

8666 M. A. Krivoglaz. Theory of diffuse scattering of X-rays by solid solutions. I. Soviet Phys.-JETP 4, 293—302, 1957, Nr. 3. (Apr.) (Engl. Übers. aus: J. exp. theor. Phys. (russ.) 31, 625—635, 1956, Okt.) (Acad. Sci., Ukr. SSR, Met. Phys. Inst.) Vf. berechnet die Intensität der an Mischkristallen diffus gestreuten Röntgenstrahlung, wobei in den erhaltenen Ausdrücken für die Untergrundintensität die schon aus anderen Experimenten bekannten thermodynamischen Größen auftreten. Die charakteristischen Merkmale der Streuung in der Nähe von Stellen mit einem Phasenübergang 2. Art und kritischen Stellen auf der Dissoziationskurve wurden näher betrachtet. Außerdem wurde die Streuung in der schwach, ideal und fast vollständig geordneten festen Lösung untersucht. Golling.

8667 M. A. Gurevich and B. F. Ormont. Precision determination of polycristal lattice parameters with a back-reflection X-ray camera of high resolving power. Soviet Phys.-Tech. Phys. 1, 1081—1087, 1957, Nr. 5. (Engl. Übers. aus: J. tech. Phys. (russ.) 26, 1106, 1956, Nr. 5, Mai.) Eine von A. Z. Zhmudskij (Laborbericht Nr. 9, 1949 und Diss. Kiew 1955) angegebene Rückstrahlkamera, die eine Abstandsvariation bis 1 m erlaubt, wird verbessert und für genaue Gitterkonstantenmessungen an polykristallinem Material verwendet: veränderliche Abstände Präparat-Film (bis 500 mm, Genauigkeit  $\pm$  0,01 mm); Thermostatkasten für das Präparat (maximal 1000°C); Variationsmöglichkeit von Druck und Atmosphäre für die Gesamtapparatur; Drehbewegung der Filmkassette und des Präparates: Photoplatten 30mal 40 cm, 8 bis 16 Kreissektoren; Schlitzblende 5,5mal 0,8 mm². Aus der Ka<sub>1</sub>-Linie eines Rückstrahldubletts (Dispersion 13,3 mm, Ablesungsgenauigkeit 0,2 mm) wurde für eine Aluminiumprobe mit einem Reinheitsgrad vom 99,999 % bei 25,0  $\pm$  0,2°C die Gitterkonstante zu 4,0428  $\pm$  0,0002 kX gemessen. Weyerer.

8668 S. Ramaseshan, K. Venkatesan and N. V. Mani. The use of anomalous scattering for the determination of crystal structures— $KMnO_4$ . Proc. Indian Acad. Sci. (A) 46, 95—111, 1957, Nr. 2. (Aug.) (Bangalore-3, Indian Inst. Sci., Dep. Phys.) Röntgenstrahlen, deren Frequenz dicht bei der Absorptionskante eines Atoms liegt, werden durch Atome dieser Art "anomal", d. h. merklich schwächer gestreut als durch Atome mit weiter abliegender Absorptionskante. Vff. zeigen die Nützlichkeit dieses Effekts bei Kristallstrukturanalysen am Beispiel des  $KMnO_4$ : durch Verwendung von  $CuK\alpha$  und  $FeK\alpha$  in einem Weissenberg-Goniometer und Zeichnung des "Differenz-Patterson-Diagramms" können diejenigen Reflexe, an denen die Mn-Atome beteiligt sind, herausgehoben werden, wodurch die eindeutige Zuordnung aller anderen Reflexe erleichtert

- wird. Es ergeben sich die Mn-O-Abstände im Mittel zu 1,55 Å, die O-O-Abstände zu 2,50 Å; geschätzte Genauigkeit 5 %.

  A. Deubner.
- 8669 G. Guillemin et F. Permingeat. Revue des espèces minérales nouvelles. Bull. Soc. franç. Minér. Crist. 30, 528—542, 1957, Nr. 10/12. (Okt./Dez.) (Paris, Sorbonne, Lab. Min.; Serv. Géol. Maroc.)

  Beggerow.
- 8670 R. Moccia and H. W. Thompson. Electrical anharmonicity of the OH group vibration. Proc. roy. Soc. (A) 243, 154—159, 1957, Nr. 1233. (24. Dez.) (Oxford, Univ., Phys. Chem. Lab.) Mittels Spektrometern wurde bei einer Reihe von substituierten Phenolen sowie bei mehreren aliphatischen Alkoholen das Verhältnis der Intensitäten der Grundschwingung bei  $3\mu$  und der Oberschwingung bei 1,4  $\mu$  der Hydroxylgruppe bestimmt. Die Veränderungen in den relativen Intensitäten werden durch Differenzen in der elektrischen Anharmonizität gedeutet. Es werden Formeln für die Abhängigkeit des Bindungsdipols von der Bindungslänge in der Nähe der Gleichgewichtslage abgeleitet und nach Betrachtungen über die OH-Bindung in Wasser der Gleichung M= const. + 1,8r-0,3  $r^2$  der Vorzug gegeben.
- 8671 R. Hosemann. Experimente und Theorie zur chemischen Bindung in Parakristallen. Z. Elektrochem. 61, 1008—1010, 1957, Nr. 8. (15. Nov.) (Berlin-Dahlem, Max-Planck-Ges., Fritz-Haber-Inst.) Es wird an Hand eines zweidimensionalen Modells und seines lichtoptisch hergestellten Beugungsbildes veranschaulicht, wie man mit Hilfe der Interferenztheorie des Parakristalls (die die Brücke zwischen der Theorie des Kristalls und der konventionellen Flüssigkeitstheorie herstellt) weitgehende Informationen über die Valenzvektoren und ihre Schwankungstensoren in parakristallinen Festkörpern aus dem Röntgendiagramm gewinnen kann. Voraussetzungen für eine Auswertung sind geeignet präparierte Materialproben und Streukammern ausreichender Präzision.
- 8672 D. F. C. Morris. The lattice energies of the alkali halides. Acta cryst. 9, 197 bis 198, 1956, Nr. 2. (10. Febr.) (Oxford, Engl., Univ., New Coll.) Die Gitterenergie des Alkalihalogenids wird mittels Born-Haberschem Kreisprozeß und einiger neuerer Daten (insbesondere der Dissoziationsenergie von F<sub>2</sub>, 37 kcal) neu berechnet und mit den gittertheoretischen Werten von Huggins (Ber. 18, 1027, 1937) in sehr guter Übereinstimmung gefunden.
- 8673 G. K. Horton and H. Schiff. Low-temperature behavior and dispersion relations of face-centered cubic metals. Phys. Rev. (2) 104, 32-36, 1956, Nr. 1. (1. Okt.) (Edmonton, Alberta, Can., Univ.) Die Temperaturabhängigkeit der DEBYE-Temperatur in der Nähe des absoluten Nullpunktes wird für einige kubisch flächenzentrierte Metalle, z. B. Kupfer unter Zugrundelegung von zwei bekannten Modellvorstellungen untersucht.  $\hat{\Theta}(T)$  wird erstens mit dem bekannten Zentralkraftmodell, in dem die Kräfte zwischen nächsten und übernächsten Nachbarn (zwei Federkonstante) berücksichtigt werden, für Cu, Al und Pb für  $T/\Theta < 0.06$ berechnet.  $\Theta(T)$  wird zweitens mit dem Modell von BORN und BEGBIE (Proc. roy. Soc. (A) 188, 179, 1947), wonach die Kräfte zwischen den Gitterbausteinen durch ein allgemeines nicht zentralsymmetrisches Potential beschrieben werden und wo die alleinige Berücksichtigung der Kräfte zwischen nächsten Nachbarn gerade zu drei Kraftkonstanten führt, ermittelt. Die Ergebnisse beider Theorien stimmen gut überein, in beiden Fällen nimmt beim Blei die Debye-Temperatur zu mit zunehmender Temperatur, beim Kupfer und Aluminium nimmt  $\Theta$  ab. Experimentelle Untersuchungen über die T-Abhängigkeit der Debye-Temperatur von Blei bei tiefen Temperaturen sind nicht bekannt. Im zweiten Teil der Arbeit wird die Dispersion der longitudinalen und transversalen thermischen Gitterwellen des akustischen Zweiges für Kupfer in den Richtungen (1, 0, 0), (1, 1, 0)

und (1, 1, 1) - nur in diesen Richtungen sind im kubisch flächenzentrierten Gitter die Gitterwellen longitudinal und transversal polarisiert - für beide Theorien berechnet. Der Vergleich der Ergebnisse ergibt gute Übereinstimmung. Appel.

8674 D. D. Betts, A. B. Bhatia and Max Wyman. Houston's method and its application to the calculation of characteristic temperatures of cubic crystals. Phys. Rev. (2) 104, 37-42, 1956, Nr. 1. (1. Okt.) (Edmonton, Can., Univ. Alberta.) HOUSTON lieferte 1948 (Rev. mod. Phys. 20, 161, 1948) eine sehr elegante Methode zur näherungsweisen Berechnung der Dispersion der thermischen Gitterwellen (akustischer Zweig) von kubischen Kristallen. Dabei approximierte er das Integral einer Funktion I( $\theta$ ,  $\varphi$ ), die invariant ist unter den Symmetrieoperationen der gesamten kubischen Symmetriegruppe (s. F. C. von der Lage und H. A. Bethe, Ber. 29, 16, 1950), über die Einheitskugel durch die Werte der Funktion  $I(\vartheta, \varphi)$  in den drei Hauptrichtungen (100), (110) und (111). In der vorliegenden Untersuchung wird diese Arbeitsmethode dadurch erweitert, daß die Funktionswerte  $I(\vartheta, \varphi)$  drei weiterer Richtungen, (210), (211) und (221) zur Berechnung des Integralwertes herangezogen werden. Als Anwendung wird die DEBYE-Temperatur — in diesem Fall ist  $I = \Sigma$ ;  $[v; (\vartheta, \varphi)]^{-3}$  mit  $v; (\vartheta, \varphi)$ , (i = 1, 2, 3)als Schallgeschwindigkeit in einer der sechs Richtungen  $\vartheta$ ,  $\varphi$  — für NaCl, KCl, MgO, Al, Cu, Ag, Pb, Li und Na berechnet. Vff. zeigen, daß die so berechneten  $\Theta$ -Werte für Kristalle mit  $0.25 < 2c_{44}/c_{11}$ - $c_{12} < 4.0$  — in elastisch isotropen Kristallen besteht zwischen den elastischen Konstanten cij die Beziehung 2c44 = c11 - c12 - eine Ungenauigkeit von etwa 1% beanspruchen dürfen. Bei den Alkalimetallen: 2  $c_{44}/c_{11}-c_{12}\simeq 8$  beträgt der Fehler etwa 10%. In einem Anhang werden Beziehungen hergeleitet, nach denen die "Kubischen Familien" der α-Type von beliebiger Ordnung leicht ermittelt werden können.

8675 D. D. Betts, A. B. Bhatia and G. K. Horton. Debye characteristic temperatures of certain noncubic crystals. Phys. Rev. (2) 104, 43-47, 1956, Nr. 1.

(1. Okt.) (Edmonton, Can., Univ. Alberta.) Ausgehend von der bekannten Beziehung  $\Theta = h/k (3N/4\pi V)^{1/s} \left[ \sum_{i=1}^{3} \int [v_i(\vartheta, \varphi)]^{-3} \delta\Omega \right]^{1/s}$  wird die Debye-Tem-

peratur O für nichtkubische Kristalle mit einer Symmetrieachse berechnet. Zu diesem Zweck wird der Integrand nach harmonischen Polynomen entwickelt, die dieselbe Symmetrie wie die zugehörigen Christoffelschen Gleichungen der Elastizitätstheorie haben (Vernachlässigung der Dispersion der Schallwellen). Die Theorie wird auf die hexagonalen Kristalle Be, Cd, Co, Eis, Mg und Zn, auf die tetragonalen Kristalle Sn, Zr, KDP und NH4DP sowie auf die trigonalen Kristalle Bi, Korund, Hg, Quarz und Sb angewandt.

8676 David Park. A summation method for crystal statistics. Physica, 's Grav. 22, 932-940, 1956, Nr. 10. (Okt.) (Colombo, Ceylon, Univ.) Eine Summationsmethode für Reihenentwicklungen, wie sie in der Kristallstatistik auftreten, wird beschrieben. Wenn die Reihe eine algebraische Funktion von genügend einfacher Form darstellt, so ist eine genaue Aufsummierung möglich; im anderen Falle ergibt sich eine Näherung für die betreffende Funktion. Das Verfahren wird zur Berechnung der spontanen Magnetisierung von quadratischen und kubischen Ising-Gittern und zur Ermittlung von Näherungen für die anfängliche Suszeptibilität der ferromagnetischen und antiferromagnetischen quadratischen Gitter angewendet. Dehoust.

8677 Stig O. Lundqvist. On the lattice vibrations in cubic ionic crystals. Ark. Fys. 12, 263-275, 1957, Nr. 3. (17. Mai.) (Uppsala, Univ., Inst. Theor. Phys.) Es wird an eine frühere Arbeit (Ber. 35, 1624, 1956) angeknüpft, in der für die lange polare Oszillation eines kubischen Gitters eine Potentialenergie eingeführt wurde, die eine erste Annäherung für den von Heitler-London entwickelten Ausdruck für die Bindungsenergie eines Ionengitters darstellt. Eine bessere Abschätzung für das Drei-Körper-Potential wird nun dadurch erreicht, daß der Formel für die effektive Ladung, wie sie früher abgeleitet wurde, gewisse Korrekturterme hinzugefügt werden. Die Grenzen der Heitler-London-Methode werden aufgezeigt und eine halb-empirische Annäherung vorgeschlagen, die auch die Polarisation einbeschließt. (Zfg.)

Weidemann.

8678 G. E. Zil'berman. Electron energy spectrum in a crystal located in a magnetic field. Soviet Phys.-JETP 3, 835—839, 1957, Nr. 6. (Jan.) (Engl. Übers. aus: J. exp. theor. Phys., Moskau 30, 1092—1097, 1956, Juni.) Es wird gezeigt, daß unter Einwirkung eines Magnetfeldes die diskreten Energieniveaus im Kristall zu schmalen Bändern verbreitert werden, wobei die Verbreiterung gegen die Mitte der Energiezone zunimmt. Für schwach gebundene Elektronen ist die relative Verbreiterung der Niveaus in der Zonenmitte proportional dem Verhältnis Gitterkonstante/Bahnradius. Für stark gebundene Elektronen ergibt sich, daß die Struktur der Zone erhalten bleibt und auch ihre Ränder unverschoben bleiben. Falls die Verbreiterung der Niveaus genügend groß ist, muß sie einen Einfluß auf den DE HAAS-VAN ALPHEN-Effekt zeigen, der in einer Modulation der periodischen Schwankungen der magnetischen Suszeptibilität in Abhängigkeit von H bestehen sollte. Eine solche Erscheinung wurde von BERKIN, DMITRENKO und MIKHAILOV (Dokl. Akad. Nauk SSSR, 101, 233, 1955) an Beryllium beobachtet. Vf. verweist darauf, daß P. G. HARPER (Ber. 35, 1426, 1957) in Unkenntnis seiner früheren Veröffentlichungen analoge Untersuchungen durchgeführt hat.

8679 M. F. Deigen. Theory of localized electron states in an isotropic homopolar crustal, Soviet Phys.-JETP 4, 424-430, 1957, Nr. 3. (Apr.) (Engl. Übers. aus: J. exp. theor. Phys. (russ.) 31, 504-511, 1956. Sept.) Eine lokale Gitterkompression in einem homöopolaren Kristall führt zu einer lokalen Erhöhung der Dielektrizitätskonstanten. Auf ein Elektron im Leitungsband wirkt eine solche Stelle als Haftstelle. Unter Umständen kann ein Elektron in einem diskreten Zustand der Haftstelle die höhere Dichte aufrechterhalten. Das führt zu einer Selbstkorrektur des Elektronenzustandes und der Gitterumgebung in ähnlicher Weise wie beim Polaron. Vf. bezeichnet solche Zustände als "Condensonen". Der gleiche ..Condensonwechselwirkungseffekt" zwischen Elektron und Gitter macht sich auch bei Elektronen, die an einem Verunreinigungsatom im homöopolaren Kristall gebunden sind, bemerkbar. Es werden für den letzteren Fall die Energiezustände, die Differenz zwischen thermischer und optischer Dissoziationsenergie des Elektrons und die Halbwertsbreite der optischen Absorption am absoluten Nullpunkt berechnet. Die Größenordnung des Condensoneffekts wird mit den für Diamant und Schwefel bekannten Werten der Dielektrizitätskonstanten, der Kompressibilität, des Schubmoduls und des Kopplungsfaktors zwischen Potential und Dehnungstensor abgeschätzt. Die Differenz zwischen thermischer und optischer Dissoziation ergibt sich zu 0,2 eV. Die Halbwertsbreite der Zentrenabsorption A. Schmillen. am absoluten Nullpunkt zu etwa 0,1 eV.

8680 J. W. Johnson, P. A. Agron and M. A. Bredig. Molar volume and structure of solid and molten cesium halides. J. Amer. chem. Soc. 77, 2734—2737, 1955, Nr. 10. (20. Mai.) (Oak Ridge Nat. Lab., Chem. Div.) Vff. berichten über Röntgenbeugungsuntersuchungen an festen CsBr und CsJ bei Temperaturen von 25°C bis zu Schmelzpunkten der Salze (636 bzw. 621°C). Es ergaben sich keine Beweise für einen Übergang von der kubisch raumzentrierten in die kubisch

flächenzentrierte Struktur, wie er beim CsCl bei 469°C beobachtet wird. Eine Diskussion der Molvolumina der festen und flüssigen Salze in der Umgebung der Schmelzpunkte führte zum Schluß, daß dieser Übergang von acht- zu sechsfacher Koordination beim Bromid und Jodid erst bei ihren Schmelzpunkten als Teil des Schmelzprozesses auftritt. Die prozentuale Volumenausdehnung beim Schmelzen des Bromids (26,8%) und des Jodids (28,5%) ist nahezu gleich der Summe (27,1%) der beim Chlorid bei der Strukturumwandlung (17,1%) und beim Schmelzen (10,0%) beobachteten Volumenzunahme.

8681 C. Hurst. Phase transitions of the first and second orders. Proc. phys. Soc. Lond. (B) 68, 521—525, 1955, Nr. 8 (Nr. 428 B). (1. Aug.) (Oxford, Jesus Coll.) V. Weidemann.

8682 R. W. Smith and G. V. Raynor. The effect of liquid media on the grey tin  $\rightleftharpoons$  white tin transformation in commercially-pure tin. Proc. phys. Soc. Lond. (B) 70, 1135—1142, 1957, Nr. 12 (Nr. 456 B). (1. Dez.) (Birmingham, Univ., Dep. Phys. Metall.) Die Umwandlung von weißem ( $\beta$ ) in graues ( $\alpha$ ) Zinn unter dem Einfluß verschiedener Flüssigkeiten, wie sie für dilatometrische Messungen benützt werden, Xylol, Toluol, Äthylalkohol, Wasser und alkoholische Lösung von (NH<sub>4</sub>)<sub>2</sub>SnCl<sub>6</sub> wurde untersucht. Im allgemeinen wurde ein Anstieg sämtlicher Umwandlungsgeschwindigkeiten mit der Temperatur beobachtet, das Maximum bei 25°C konnte nicht bestätigt werden. In der Komplexsalzlösung war die  $\beta \rightarrow \alpha$ -Umwandlung beschleunigt. Bei Proben, die bereits wiederholte Transformationen durchgemacht hatten, war der Einfluß der Flüssigkeiten teilweise ein anderer als bei der ersten Umwandlung. Der Einfluß der Medien läßt sich überwiegend auf die Hydroxylgruppen zurückführen, von Bedeutung ist der cohäsive Effekt auf weißem Zinn. Bei dilatometrischen Messungen darf der Einfluß des Mediums nicht übersehen werden.

8683 M. P. Tosi and F. G. Fumi. The interaction between equilibrium defects in the alkali halides: the "ground state" binding energy of the vacancy pair. Nuovo Cim. (10) 7, 95—106, 1958, Nr. 1. (1. Jan.) (Palermo, Univ., Ist. Fis.) Das Born-Mayer-Modell der Festkörper mit ionischer Bindung wurde zur Berechnung der Bindungsenergie einer positiven Ionen-Fehlstelle und einer solchen vom negativen Ion im Abstand der nächsten Nachbarn im NaCl und KCl herangezogen. Es ergab sich 0,6 eV und 0,7 eV. Das führt auf die Vorstellung, daß im NaCl eine Gleichgewichtskonzentration von Fehlstellenpaaren zwischen 10 und 20 % der Gleichgewichtskonzentration an Schottky-Defekten zwischen 500 und 700°C vorhanden ist. Die vorhandenen experimentellen Daten sind in Übereinstimmung mit der Existenz einer Gleichgewichtskonzentration von Fehlstellenpaaren in den Alkalihalogeniden von dieser Ordnung in dem bezeichneten Temperaturgebiet.

8684 S. Amelinekx, W. Bontinek and W. Maenhout-van der Vorst. Helical dislocations in CaF<sub>2</sub> and NaCl crystals. Physica, 's Grav. 23, 270—272, 1957, Nr. 3. (März.) Durch Ätzen der frischen Spaltflächen mit Schwefelsäure konnte für CaF<sub>2</sub> das Auftreten von Schraubenversetzungen bei aus der Schmelze gezogenen und keiner weiteren Wärmebehandlung unterworfenen Kristallen nachgewiesen werden. Bei NaCl-Kristallen wurden die Schraubenversetzungen durch Eindiffusion von Silber bei 500 bis 600°C sichtbar gemacht. Die Achse der Wendellinien stimmt innerhalb des experimentellen Fehlers mit der [110]-Richtung überein. Aus den Ergebnissen wird gefolgert, daß die Bildung von Schraubenversetzungen wahrscheinlich durch Kondensation von Leerstellen während des Abkühlprozesses ausgelöst wird.

8685 S. Hayes and R. Smoluehowski. Small angle X-ray scattering study of imperfections in copper. Appl. sci. Res., Hague (B) 4, 10—12, 1954/55. (Pittsburgh, Penn., Carnegie Inst. Technol.) Vff. suchten durch Untersuchung der Kleinwinkelstreuung zu klären, ob die bei der plastischen Deformation von Metall-kristallen auftretenden Gitterstörungen beim Anlassen durch Zusammenwachsen zu Nestern oder individuell ausheilen. Die 47 kV-Röntgenstrahlung wurde durch Reflexion an 2 CaCO<sub>3</sub>-Kristallen und Ni-Co-Filter monochromatisiert und die Kleinwinkelstreustrahlung im Zählrohr gemessen (statistischer Fehler etwa 2 %; Fehler bei der Winkelmessung etwa 0,04·10-³ rd). Als Probe diente reines, kaltgewalztes Cu-Blech, das bei 250 °C angelassen war. Aus dem Ergebnis, daß die Intensität der Kleinwinkelstreuung im Winkelbereich  $\vartheta = 0,195$ ° bis 0,292° zunächst ansteigt und dann wieder abnimmt, und aus Untersuchungen von Blin und Guinier, nach denen die Streuintensität in deformiertem und angelassenem Cu im Winkelbereich 1,5 bis 7° abnimmt, folgern Vff., daß die Defekte vor ihrem Verschwinden zu Nestern zusammenwachsen.

Hildenbrand.

8686 D. W. Pashley, J. W. Menter and G. A. Bassett. Observation of dislocations in metals by means of moiré patterns on electron micrographs. Nature, Lond. 179, 752—755, 1957, Nr. 4563. (13. Apr.) (Cambridge, Tube Investm. Res. Lab.) Überlappen sich in einem elektronenmikroskopischen Objekt zwei dünne Einkristalle von nahezu gleicher Gitterkonstante  $d_1$  bzw.  $d_2$ , so entsteht im Bild ein Moirémuster mit einem Streifenabstand  $(d_1+d_2):(d_1-d_2)$ , der wesentlich größer als die Gitterkonstante sein kann. Enthält das eine der beiden Gitter eine Versetzung, so führt das zu einer Störung des Moirémusters. Dadurch wird es möglich, im Elektronenmikroskop Störungen des Kristallgitters selbst dann deutlich erkennbar zu machen, wenn die Gitterkonstante d kleiner als das Auflösungsvermögen des Mikroskopsist. Geeignete Objekte für die Untersuchung dieses Effekts werden hergestellt, indem einem ausgedehnten Gold-Einkristall von etwa 200 Å Dicke durch Aufdampfen eine orientierte Schicht eines anderen Metalls (z. B.: Ni, Co, Cu, Pd, Pt) in etwa gleicher Dicke überlagert wird.

Lenz

- 8687 D. A. Jones and J. W. Mitchell. Observations on helical dislocations in crystals of silver chloride. Phil. Mag. (8) 3, 1—7, 1958, Nr. 25. (Jan.) (Bristol, Univ., H. H. Wills Phys. Lab.) Um Glaseinschlüsse herum ist die chemische und photochemische Reaktionsfähigkeit von Silberhalogenid-Kristallen erhöht. Vff. züchteten zwischen Glasplatten AgCl-Einkristalle und führten in diese Glaskügelchen von 0,5 bis 5  $\mu$  Durchmesser ein, indem sie einen Tropfen der Suspension auf die Glasplatte aufbrachten. Die Kristalle wurden in einer Chloratmosphäre 8 h bei 370 °C geglüht und dann auf Zimmertemperatur abgekühlt. Durch Ätzen wurden die prismatischen und die konzentrischen schraubenförmig prismatischen Dislokationen sichtbar gemacht, die durch das Druckfeld um den Glaseinschluß hervorgerufen wurden. Die Dislokationen sind schematisch wiedergegeben und ihre Entstehung wird diskutiert. M. Wiedemann.
- 8688 I. S. Servi. Etching patterns in high-purity zinc. Phil. Mag. (8) 3, 63, 1958, Nr. 25. (Jan.) (Niagara Falls, N. Y., Electro Metallurg. Comp., Metals Res. Labs.) An einem nach dem Bridgman-Verfahren hergestellten Einkristall aus 99,999 %-igem Zink wurden durch Ätzen mit chromsäurehaltiger Salpetersäure auf einer Fläche, die annähernd parallel zur Basisfläche war, Spiralfiguren sichtbar. Werden diese als Versetzungsquelle nach Frank-Read betrachtet, so ergibt sich für die Spannung, die notwendig ist, um diese Quelle wirksam werden zu lassen, der Wert 3360 Torr.

8689 R. Pappalardo. Optical absorption lines of hydrated manganous salts at low temperature. Phil. Mag. (8) 2, 1397-1414, 1957, Nr. 24. (Bristol, H. H. Wills Phys. Lab.) Es werden die Absorptionsspektren von vier Mangansalzen in Kristallform [MnSO<sub>4</sub>·4H<sub>2</sub>O, MnCl<sub>2</sub>·4H<sub>2</sub>O, MnSiF<sub>6</sub>·6H<sub>2</sub>O, Mn(NH<sub>4</sub>)<sub>2</sub>(SO<sub>4</sub>)<sub>2</sub>·6H<sub>2</sub>O] bei tiefen Temperaturen (78°K, 20°K) untersucht. Die Spektren bestehen zum Teil aus scharfen Linien und zerfallen in verschiedene Gruppen zwischen 15 000 cm<sup>-1</sup> und 30 300 cm<sup>-1</sup>. Es wird ein Kryostat mit Absorptionszelle beschrieben, der es erlaubt, Kristalle mit Hilfe von flüssigem Stickstoff und Wasserstoff auf die angegebenen Temperaturen abzukühlen. — Die Spektren lassen eine Prüfung der "Ligandenfeldtheorie" zu. Diese Theorie bestimmt die Elektronenzustände des Zentralatoms eines komplexen Ions im Felde seiner Liganden und gilt für Lösungen und Kristalle. Zum Vergleich mit der Theorie werden die von TANABA und Sugano berechneten 3d-orbitals der komplexen Ionen der Eisengruppe verwendet. Bei dieser Rechnung wurde ein kubisches Feld benutzt (sechs okta-edrisch angeordnete Liganden) und eine Spin-Bahn-Kopplung vernachlässigt. Eine Verwendung des kubischen Feldes erscheint mindestens im Falle des MnSiF<sub>6</sub>·6H<sub>2</sub>O gerechtfertigt, da dort oktaedrische Radikale von Mn(H<sub>2</sub>O)<sub>6</sub> und SiF<sub>6</sub> bestehen. — Die gefundenen Liniengruppen lassen sich Interkombinationsübergänge des 3d-Systems zuordnen. Um die Struktur der Gruppen zu erklären, wird die Theorie noch verseinert, indem Spin-Bahn-Kopplung, Gitterschwingungen der höheren Zustände und ein nicht kubischer Teil des Feldes Stockburger. zugelassen werden.

8690 G. Dresselhaus. Optical absorption band edge in anisotropic crystals. Phys. Rev. (2) 105, 135—138, 1957, Nr. 1. (1. Jan.) (Chicago, Ill., Univ., Inst. Study Metals.) Die Stryktur der optischen Absorptionskante von elektrisch isolierenden Kristallen wird untersucht. An Hand der Auswahlregeln für die Band-Band-Übergänge wird die in anisotropen Kristallen beobachtete Verschiebung der Bandkante mit der Polarisation des einfallenden Lichtes gedeutet. Der Absorptionskoeffizient genügt einer Beziehung K  $\sim (\hbar\omega-E_g)^n$ , wobei  $E_g$  der Bandabstand ist. Der Exponent n hat den Wert 1/2 für erlaubte direkte Übergänge, den Wert 3/2 für verbotene direkte Übergänge und den Wert 2 für indirekte Übergänge. Die experimentell beobachtete Verschiebung der Absorptionskanten von Cadmiumsulfid und von Tellur (hexagonale Struktur) wird gedeutet. Unter Zugrundelegung eines Bändermodelles, dessen Extremwerte bei k = 0 liegen, wird gezeigt, daß Übergänge erlaubt sind, wenn das einfallende Licht senkrecht zur hexagonalen Achse polarisiert ist, und daß Übergänge verboten sind, wenn das Licht parallel zur hexagonalen Achse polarisiert ist.

Appel.

8691 Th. Heumann und S. Dittrich. Über die Diffusion in Ag-Al-Legierungen. Z. Elektrochem. 61, 1138—1146, 1957, Nr. 9. (30. Nov.) (Münster, Univ., Inst. Phys. Chem.) Die Diffusionskoeffizienten, Aktivierungsenergien und Do-Werte für den gesamten Konzentrationsbereich des aluminiumreichen Mischkristallgebietes wurden mit Hilfe zylinderförmiger Zweierronden bestimmt, von denen der eine Teil jeweils aus Reinstaluminium (99,9965%) und der andere Teil aus einer Legierung mit 7,14 und 30 Gew.-% Silber bestand. Die Herstellung der Proben geschah mit äußerster Sorgfalt, um Seigerungen, Lunker und Konzentrationsunterschiede zu vermeiden. Es zeigte sich, daß die Übereinstimmung der Ergebnisse sehr gut ist und sich an die für tiefere Temperaturen von MEHL und Mitarbeitern gefundenen Werte anlehnen. Mit wachsender Silberkonzentration nimmt die Beweglichkeit der Ag- bzw. Al-Atome ab. Dies ist auf ein Ansteigen der Aktivierungsenergie zurückzuführen. Aus den Diffusionskoeffizienten wurde die Aktivierungsenergie und der entsprechende Do-Wert theoretisch nach den

ZENERschen Formeln (Ber. 31, 24, 1952) berechnet. Zwischen Experiment und Theorie ergab sich eine völlige Übereinstimmung. Daraus wurde geschlossen, daß die atomare Beweglichkeit im betrachteten Mischkristall innerhalb des untersuchten Temperaturbereiches allein durch die Volumendiffusion bestimmt wird.

8692 O. K. Rice. Elementary theory of liquid helium: refinement of the theory and comparison with Feynman's theory. Phys. Rev. (2) 108, 551-560, 1957, Nr. 3. (1. Nov.) (Chapel Hill, N. Carol., Univ., Dep. Chem.) Die vom Vf. angegebene Theorie (Ber. 35, 1409, 1956; Phys. Rev. 102, 1416, 1956), nach der die Anregungen in flüssigem He3 und He4 als Anregungen von He-Atompaaren dargestellt werden, die als gehemmte Rotatoren wirken, wird weiter entwickelt. Bei niedrigeren Anregungen können NHe-Atome als N/2-Paare aufgefaßt werden, bei höheren Anregungen muß man die Möglichkeit zufälliger Paarbildungen berücksichtigen. Wegen der Fluktuation des Hemmpotentials und der Wechselwirkung zwischen lokalisierbaren Anregungen werden die Energieniveaus des ebenen Rotators zu Bändern verbreitert, die gut die spezifische Wärmekurve erklären. Die Multiplizität dieser Niveaus ist einerseits mit der Statistik und dem Spin der He3-Atome, andererseits mit den Schwingungsmoden eines die Flüssigkeit annähernden "Quasi-Gitters" verknüpft. In He4 sind die niedrig liegenden Niveaus (wegen Spin und Statistik) ausgeschlossen. Außer den Schwingungsformen der Einzelatome und Paarrotatoren spielen auch die von Doppelpaaren eine Rolle. Alle Anregungsenergien liegen nahe bei der des Rotons, die Anregungstypen sind jedoch unabhängig voneinander. Die Korrespondenz dieser Darstellung mit der FEYNMANSchen Theorie wird gezeigt. Eine Erörterung der Beziehung der verbreiterten Energieniveaus zur Idee eines Anregungsgases führt zu dem Schluß, daß solch ein Gas der FERMI-DIRAC-Statistik gehorchen müßte.

Jörchel.

8693 Paul P. Craig and John R. Pellam. Observation of perfect potential flow in superfluid. Phys. Rev. (2) 108, 1109—1112, 1957, Nr. 5. (1. Dez.) (Pasadena, Calif., Inst. Technol., Norman Bridge Lab. Phys.) In einem "superfluiden Windkanal" ist ein Tragflügelpaar in flüssigem, in senkrechter Richtung strömendem Helium II an einem Quarzfaden aufgehängt, dessen Torsion den Auftrieb der Flügel angibt. Bei Strömungsgeschwindigkeiten v < v<sub>crit</sub> = 6 mm/s erzeugt die Strömung keinen meßbaren Auftrieb. Es handelt sich also um eine (erstmals realisierte) reine Potentialströmung ohne Zirkulation in einem Medium mit identisch verschwindender Viskosität. Für v > v<sub>crit</sub> ist der Auftrieb v· (v-v<sub>crit</sub>) proportional.

8694 V. L. Ginzburg. Concerning the Blatt, Butler, and Shafroth paper on superfluidity and superconductivity theory. Soviet Phys. JETP 3, 952—953, 1957, Nr. 6. (Jan.) (Engl. Übers. aus: J. exp. theor. Phys., Moskau 30, 1151—1152, 1956, Juni.) (USSR, Acad. Sci., P. N. Lebedev Phys. Inst.) Vf. polemisiert gegen eine Reihe von Arbeiten, die J. M. Blatt, S. I. Butler und M. R. Schafroth zur Theorie der Superfluidität und der Supraleitung veröffentlicht haben. (Ber. 35, 1720, 1956; 36, 1585, 1957; Phys. Rev. 100, 495, 1221, 1955.) Vor allem diskutiert er die Frage der Endlichkeit der Korrelationslänge in Beziehung zur Bosestatistik, die seiner Meinung nach von den erwähnten Autoren unrichtig behandelt wird.

8695 B. N. Eselson and N. G. Bereznyak. Liquiq-vapor phase diagram of the He<sup>3</sup>—He<sup>4</sup> system. Soviet Res. Phys. 1956, Coll. Nr. 7, S 13—16. (Engl. Übers. aus: Ber. Akad. Wiss. UdSSR 105, 454, 1955, Nr. 3.) (USSR, Acad. Sci., Phys.-tech. Inst.)

V. Weidemann.

8696 B. Baranowski and A. Fulinski. Thermodiffusion in multi-component liquid mixtures. Bull. Acad. polonaise Sci. 5, 65—69, 1957, Nr. 1. (Polish Acad. Sci., Inst. Phys. Chem.) Die zuerst von J. S. Gillespie und S. Breck beobachtete Umkehrung der elektrolytischen Thermodiffusion durch Addition eines anderen Elektrolyten zu einer zwei-komponentigen Lösung von Elektrolyten wird von den Vff. verallgemeinert. Sie finden eine allgemeine Formel für den Soret-Koeffizienten der i-ten Komponente einer gewöhnlichen realen flüssigen Mischung, die sowohl elektrisch neutrale Substanzen, als auch Ionen enthält. Die Untersuchungen basieren auf Onsagers Darstellung der Thermodynamik der irreversiblen Prozesse entsprechend dem Alexander-Schema.

8697 V. Vitagliano and P. A. Lyons. Diffusion coefficients for aqueous solutions of sodium chloride and barium chloride. J. Amer. chem. Soc. 78, 1549—1552, 1956, Nr. 8. (20. Apr.) (New Haven, Conn., Yale Univ., Dep. Chem.)

V. Weidemann.

8698 E. H. Andrews. An extensometer microscope stage for photoelastic studies in rubber. J. sci. Instrum. 34, 115-117, 1957, Nr. 3. (März.) (Welwyn Garden City, Herts., Brit. Rubber Prod. Res. Assoc.) Der übliche Tisch eines Polarisationsmikroskops wird durch eine Einspannvorrichtung ersetzt, mit der man zwei Proben, die aus der gleichen Gummifolie entnommen wurden, in zwei senkrechten Richtungen um meßbare Beträge dehnen kann. Eine Probe kann z. B. am Ende eines Risses untersucht werden. Es ist möglich, die zweite Probe mit einer kalibrierten Schraubenfeder zu dehnen, wodurch sich die Spannung ergibt. Die in der ersten Probe beobachtete Spannungsdoppelbrechung wird durch Dehnung der zweiten Probe kompensiert. Dadurch gelingt die Messung der Spannung in sehr kleinen Bezirken auch an Stoffen, bei denen die Spannungskonzentration merkliche Dehnungen verursacht und bei denen die Doppelbrechung nicht linear mit der Spannung ansteigt. Außerdem wird dabei die Abhängigkeit der Probendicke von der Belastung eliminiert. Als Meßergebnisse werden die Abhängigkeit der Spannung von der Entfernung von Anfang des Risses und die geometrische Verteilung der Spannung festgestellt. Die Spannungskomponente senkrecht zur Richtung der Beanspruchung steigt langsam vom Werte Null bis zum Werte im Inneren des Prüfkörpers an im Gegensatz zum Verhalten harter Materialien, bei denen die Kurve ein Maximum aufweist. E.-F. Richter.

8699 E. G. Bagley. End corrections in the capillary flow of polyethylene. J. appl. Phys. 28, 624—627, 1957, Nr. 5. (Mai.) (McMasterville, Quebec, Can., Can. Ind. Ltd., Central Res. Lab.) Mit einem Viskosimeter, bei dem der Versuchsstoff mit Uberdruck durch eine Kapillare gepreßt wird, wurde das rheologische Verhalten von Polyäthylenschmelzen bei 190°C untersucht. Bei Kapillardurchmessern zwischen 0,25 und 0,95 mm wurde mit Länge/Durchmesser-Verhältnissen L/R zwischen 0 und 30 gearbeitet. Die Schergeschwindigkeit G wird nach dem NEWTONschen Ansatz berechnet, für die Schubspannung wird der Ausdruck F = P/[2 (L/R) + n] angesetzt, wobei n die Endeinflüsse eliminieren soll. Der Parameter n wurde in Abhängigkeit von G bestimmt. n wächst zuerst langsam mit G an, um dann im Bereich von G = 100 s-1 von n = 2 bis 3 auf n = 10 anzusteigen. In diesem Gebiet wird auch der ausgepreßte Faden der Schmelze rauh. Bei Benutzung von Kapillaren verschiedener Weite und verschiedener Werte von L/R ließen sich alle Fließkurven einer Probe durch eine Kurve darstellen, wenn die für n ermittelten Werte in den Ansatz für die Schubspannung eingesetzt wurden. Die zum Teil sehr kurzen Verweilzeiten der Substanz in den Kapillaren hatten keinen Einfluß auf die Meßergebnisse.

8700 System Oka and Akira Takami. A new method for measuring dynamic rigidities and viscosities of a visco-elastic material. VII. A theory of the free oscilla-

tion method in a cylindrical rheometer. Bull. Kobayasi Inst. phys. Res. (jap.) 6, 33—36, 1956, Nr. 1. (Jan./März.) (Orig. jap. m. engl. Zfg.) Es wird die Theorie für ein Viskosimeter mit schwingendem Zylinder gegeben. Ein feststehender Zylinder ist mit einer viskoelastischen Flüssigkeit gefüllt. Ein an einem Torsionsdraht aufgehängter konzentrischer Zylinder ist in die Flüssigkeit eingetaucht und führt Schwingungen aus, deren Schwingungsdauer und Dekrement beobachtet wird. Die Randwirkungen werden vernachlässigt. In zweidimensionaler Behandlung ergeben sich Ausdrücke für Viskosität und Schermodul, die für kleine Werte der Trägheitsglieder lauten  $\eta=(1/a^2-1/b^2)$  I  $\delta/2$   $\pi$  h und G=0.5 ( $1/a^2-1/b^2$ ) 1/2  $\pi$  h· $(\omega^2-\delta^2-\omega^2)$  ( $\delta$  Dekrement; a, b Radien der Zylinder). Die dynamische Viskosität ist unabhängig von der Frequenz, während der Schermodul eine quadratische Funktion der Frequenz ist.

8701 Syoten Oka. A new method for measuring dynamic rigidities and viscosities of a viscoelastic material. VIII. A theory of the free oscillation method in a hemispherical rheometer. Bull. Kobayasi Inst. phys. Res. (jap.) 6, 37—39, 1956, Nr. 1. (Jan./März.) (Orig. jap. m. engl. Zfg.) Ein halbkugelförmiges Aufnahmegefäß ist mit einer viskoelastischen Flüssigkeit gefüllt. Es taucht hierin konzentrisch ein an einem Torsionsdraht aufgehängter halbkugeliger Meßkörper ein, der frei Schwingungen ausführt, deren Periode und Dekrement beobachtet werden. Die exakte Lösung wird für diesen Fall angegeben, wobei die Trägheitseinflüsse beim viskoelastischen Stoff sowie die Randeinflüsse berücksichtigt werden. Für kleine Werte der Trägheitsglieder ergeben sich in erster Näherung für die dynamische Viskosität und den Schermodul  $\eta'=(1/a^3-1/b^3)$  1/2  $\pi$   $\delta$  und  $G'=(1/a^3-1/b^3)$  1/4  $\Pi$ . ( $\omega^2+\delta^2-\omega^2_0$ ). Ebenso wie im Fall der konzentrischen Zylinder ist  $\eta$  von der Frequenz unabhängig, während der Schermodul eine quadratische Funktion der Frequenz ist.

8702 J. Schurz. Empirische Zusammenhänge zwischen den Fließkurven hochmolekularer Lösungen und den Eigenschaften der gelösten Moleküle. Teil II. Kolloidzschr. 155, 45—55, 1957, Nr. 1. (Nov.) (Graz, Univ., Inst. phys. Chem.) Aus experimentellen Daten an Zellulosederivaten werden empirische Beziehungen für den Wendepunkt Ď und die Steigung  $\sigma$  der Fließkurve in der doppeltlogarithmischen Darstellung nach Philippoff abgeleitet. Zwischen dem Geschwindigkeitsgefälle am Wendepunkt Ď und dem Molekulargewicht M besteht der Zusammenhang Ď = a M-b, wobei die Konstante a temperaturabhängig nach der Gleichung a = a'exp (u/T) ist. Die Steigung  $\sigma$  der Fließkurve hängt mit der Lösungskonzentration durch die Beziehung  $\sigma-1=\beta$  (M) c zusammen. Die Funktion  $\beta$  (M) muß experimentell ermittelt werden, bei Zellulosederivaten ist sie  $\beta$ 'M. Die gefundenen Zusammenhänge werden diskutiert und ihre physikalische Bedeutung besprochen. W. Weber.

8703 J. Schurz. Empirische Zusammenhänge zwischen den Fließkurven hochmolekularer Lösungen und den Eigenschaften der gelösten Moleküle. Teil III. Ebenda S. 54—64. (Graz, Univ., Inst. phys. Chem.) Nach einer Behandlung der älteren Versuche von Meskat und Umstätter, die Polydispersität P aus den Fließkurven zu ermitteln, werden auf Grund der im Teil II der Arbeit (vgl. vorst. Ref.) gefundenen Zusammenhänge "PD — Kennkurven" eingeführt. Sie werden aus einer Auftragung von  $\sigma-1/\beta$  (M) gegen Mwobei M aus D = a M-b gewonnen wurde, erhalten. Experimentell wird gefunden, daß diese Kurven den Massenverteilungskurven symbat gehen. Im letzten Teil wird untersucht, wieweit die Platzwechseltheorie und die Strukturmechanik von Umstätter die gefundenen empirischen Zusammenhänge deuten können.

Die Gleichung zwischen Ď und M ergibt sich auch aus der Platzwechseltheorie, allerdings nicht mit der richtigen Temperaturabhängigkeit von a. Die Strukturmechanik enthält nach Ansicht des Vf. trotz ihrer mathematischen Anfechtbarkeit eine Reihe weiterführender Gedanken.

W. Weber.

8704 Wilfred H. Ward. Relationships among variously weighted average properties including molecular weights. J. Polym. Sci. 24, 11-18, 1957, Nr. 105. (März.) (Albany, Calif. Unit. States Dep. Agricult., Agricult. Res. Serv., West. Utilization Res. Branch.) Eine Zahlenmittel-Eigenschaft wie die Zahlenmittel-Diffusions-konstante D<sub>n</sub> kann nicht in Abhängigkeit von gewichtsbezogenen Gewichtsfaktoren wie der Konzentration in g/cm3 definiert werden, ohne daß nicht gleichzeitig ein funktionaler Zusammenhang zwischen Molekulargewicht und der Eigenschaft gegeben wird. Es wird vorgeschlagen, den dem Zahlenmittel analogen Ausdruck  $\Sigma c_1/(\Sigma c_1/Q_1)$ , welcher dem wahren Zahlenmittel  $Q_n$  nur dann gleich ist, wenn Q, dem Molekulargewicht M, innerhalb der betrachteten Probe direkt proportional ist, als Zahlen-Analogmittel (number - analogous average) Q zu bezeichnen und es von Q zu unterscheiden. c, ist ein Gewichtsfaktor, der dem Gewicht der Polymerfraktion Q, proportional ist. An einem Beispiel wird die Verschiedenheit der Ergebnisse der Berechnung der Diffusionskonstante einer aus zwei Komponenten bestehenden Probe gezeigt, wenn Gewichtsmittel, Zahlenmittel und Zahlen-Analogmittel aus den bekannten Diffusionskonstanten der Einzelkomponenten berechnet werden.

8705 Ferdinando Danusso and Giovanni Moraglio. Some solution properties of isotactic and atactic polystyrenes. J. Polym. Sci. 24, 161-172, 1957, Nr. 106. (Apr.) (Milano, Italy, Ist. Chim. Industr. Politec.) Eine Reihe isotaktischer und ataktischer Polystyrol-Fraktionen mit Molekulargewichten zwischen 8,5 · 105 und 5.104 wurde viskosimetrisch, osmometrisch und mit Löslichkeitsversuchen untersucht. Die Beziehung zwischen der Grenzviskositätszahl  $[\eta]$  und dem Molekulargewicht M,  $[\eta] = 1.1 \cdot 10^{-4}$  M<sup>0</sup>, 73 (für Toluol) ist für beide Polymerarten gleich. Die zweiten Virialkoeffizienten B der Osmose liegen bei der isotaktischen Form tiefer als bei der ataktischen. Die Auftragung log B gegen M ergibt Geraden, die sich etwa bei M = 106 schneiden. Der Grenzwert der Wechselwirkungs-Affinität  $\varphi_{\rm E}$  und Löslichkeitsexperimente in Methyläthylketon und Toluol-Methanol-Gemischen zeigen, daß ataktisches Polystyrol immer löslicher als isotaktisches Polystyrol ist, unabhängig davon, ob dieses im kristallinen oder im amorphen metastabilen Zustand ist. Es wird gezeigt, daß Methyläthylketon ein selektives Lösungsmittel für die Trennung der beiden Polymerarten ist. Die Messung von B oder  $\varphi_E$  ist eine Methode zur Bestimmung der Isotaxie.

W. Weber.

8706 A. Keller. A note on single crystals in polymers: Evidence for a folded chain configuration. Phil. Mag. (8) 2, 1171—1175, 1957, Nr. 21. (Sept.) (Univ. Bristol, Wills Phys. Lab.) Die elektronenmikroskopische Untersuchung von Einkristallen aus Hochpolymeren (aus der Lösung gezüchtet) und Elektronenbeugungsaufnahmen an ausgewählten Flächen dieser Proben geben Hinweise, besonders im Falle des Marlex 50 (lineares Niederdruckpolyäthylen), daß die faserartige (garbenförmige) Kristallisation sich aus flachen Einkristallen entwickelt, die in Spiralen terrassenförmig wachsen. Die c-Achse (Einkung der Molekülketten) der Marlex-Einkristalle ist nahezu senkrecht zur Oberfläche orientiert, die b- und c-Achse liegen in der Fläche. Je nach der Temperatur bei der Kristallisation und der Konzentration der Lösung entstehen beim Marlex rhombenförmige oder baumartige Einkristalle. Aus den Rhomben in Richtung der b-Achse (in der Rhombus-

mitte) wachsende garbenförmige Verdickungen werden als Anfangsstufe der Sphärolithbildung angesehen. Die Schichtdicke der Einkristallwachstumsstufen liegt etwa zwischen 60 und 150 Å; der größte Teil der Molekülketten hat um ein Vielfaches größere Längen. Es wird geschlossen, daß die Einkristallschichten aus gefalteten langen Molekülen bestehen.

8707 N. L. Svensson. Experiments on controlled fractures. Proc. phys. Soc. Lond. 71, 136—138, 1958, Nr. 1 (Nr. 457). (1. Jan.) (London, Imp. Coll., Dep. Mech. Engng.) Das von Benbow und Roesler (Proc. phys. Soc. Lond. (B) 70, 201, 1957) beschriebene Verfahren zur Bestimmung der Bruchenergie, das die Neigung einer Linie benutzt, die asymptotisch zur mittleren Kurve durch die experimentellen Punkte verläuft, ist wegen der Streuung dieser Punkte einer gewissen Willkür der Deutung unterworfen. Vf. versucht, dem dadurch abzuhelfen, daß er den Energieausdruck vervollständigt. Die Berücksichtigung der Schubspannung sollte die Darstellung der experimentellen Ergebnisse durch eine Gerade ermöglichen. Ein Vergleich mit den Resultaten für Polystyrol und Polymethylmethacrylat zeigt jedoch noch eine Abweichung, die auf eine nicht in Rechnung gestellte Abhängigkeit hinweist.

8708 K. Ueberreiter und S. Purucker. Spezifische Wärme, spezifisches Volumen, Temperatur- und Wärmeleitfähigkeit von Hochpolymeren. IV. Polystyrol-Hexachlordiphenyl-Lösungen. Kolloidzschr. 144, 120—125, 1955, Nr. 1/3. (Nov./Dez.) (Berlin-Dahlem, Max-Planck-Ges., Fritz-Haber-Inst.) V. Weidemann.

8709 F. H. Müller und Ad. Engelter. Transformations intervall und Zug-Dehnungsverhalten. Kolloidzschr. 151, 157-158, 1957, Nr. 2. (Apr.) (Marburg/Lahn, Philipps Univ., Lab. Hochpolym.) Zahlreiche Hochpolymere zeigen beim Zug-Dehnungsversuch nach anfänglicher Spannungsüberhöhung einen Bereich mit mehr oder weniger konstanter Spannung. Die Höhe dieses Konstanzwertes der Spannung steigt mit sinkender Temperatur. Trägt man diese Spannungswerte als Funktion der Temperatur auf, so ergeben sich in einer ersten Näherung Geraden. Die Schnittpunkte dieser Geraden mit der Temperaturachse zeigen an, bei welcher Temperatur das Material hypothetisch ohne Zugkraft verformbar ist. Nach vielen Untersuchungen liegt dieser Temperaturwert mit dem Erweichungspunkt des Materials zusammen. Ein überraschendes Ergebnis trat bei Terylen auf. Bei niedrigen Temperaturen (unter 100°C) finden Vff. eine Verstreckungstemperatur von 90°C gegenüber einer Erweichungstemperatur von ca. 250°C. Zu höheren Temperaturen hin findet man eine neue Serie von Punkten, deren Extrapolationsgerade die Temperaturachse zwischen 270°C und 290°C schneidet. Es wird wieder angenähert die Erweichungstemperatur erreicht. Im Spannungs-Temperaturkoordinatensystem liegt also eine geknickte Gerade vor. Amorphes und getempertes Terylen besitzen verschiedene Knickpunkte.

8710 Atsuo Nishioka and Muneo Watanabe. Viscosity and elasticity of polytetra-fluoroethylene resin above the melting point. J. Polym. Sci. 24, 298—300, 1957, Nr. 106. (Apr.) (Kichijoji, Musashino, Tokyo, Nippon Telegr. a. Teleph. Public Corp., Elect. Commun. Lab.) Ein Polytetrafluoräthylen-Harz wurde im Temperaturbereich 330 bis 390°C oberhalb des bei 327° liegenden Umwandlungspunktes untersucht. Aus der Verlängerung von fadenförmigen Proben unter Zugbelastung wurden Elastizität und Viskosität bestimmt. Der Elastizitätsmodul steigt mit der Temperatur an. Die Schmelzviskosität logarithmisch über 1/T aufgetragen ergibt annähernd eine Gerade, die Viskositäten liegen zwischen 10<sup>11</sup> und 10<sup>12</sup> P. Die Aktivierungsenergie der Schmelzviskosität beträgt ungefähr 36 kcal/Mol und ist damit wesentlich höher als beim Polyäthylen.

G. Ehrlich und D. Schulze. Vergleich zwischen spezifischer Oberfläche und Teilchengrößenverteilung von chemisch hergestellten Metallpulvern und deren Oxyden. Kolloidzschr. 155, 19—31, 1957, Nr. 1. (Nov.) (Dresden, T. H., Inst. f. Werkstoffkd.) An Eisen- und Eisen-Nickel-Pulvern sowie verschiedenen Oxyden dieser Metalle werden etwa 70 Vergleichsmessungen der spezifischen Oberfläche nach der Methode von BRUNAUER, EMMETT und TELLER und der elektronenmikroskopisch gemessenen Teilchengrößen durchgeführt. Die Hauptunsicherheit der Oberflächenmessung liegt in der Festlegung des Flächenbedarfs der Adsorptivmolekel auf der Oberfläche. Zur Teilchengrößenbestimmung müssen wegen der Zusammenballung der Teilchen geeignete Suspensionen mit Ultraschall behandelt werden, um auswertbare Verteilungen zu erhalten. Die Ergebnisse ergeben befriedigende Übereinstimmung, wenn der Flächenbedarf einer bei 0°C adsorbierten n-Butanmolekel zu etwa 47 Å2 angenommen wird, was in Einklang mit früheren Beobachtungen steht. Es wird geschlossen, daß der Flächenbedarf einer Adsorptivmolekel stark von der Oberflächenbeschaffenheit des Adsorbens abhängt, der Wert jedoch für die Adsorption von Butan an einer großen Zahl unterschiedlicher Substanzen ein gewisses statistisches Gewicht besitzt. Im Bereich zwischen elektronenoptischer Auflösungsgrenze (hier  $15~\mathrm{m}\mu$ ) und dem Beginn der zerstörenden Wirkung des Ultraschallfeldes (hier bei Oxyden ca. 60 mµ) können beide Verfahren für Oberflächen- oder Teilchengrößenmessungen angewendet werden.

8712 Ya. V. Shevelov. On the diffuseness of the adsorption wave. I. Quantitative characteristics of the spread. J. phys. Chem., Moscou (russ.) 31, 960—975, 1957, Nr. 5. (Orig. russ. m. engl. Zfg.)

Ys. V. Shevelov. Dasselbe. II. Wall and granulation effects. Ebenda S. 1210 his 1215, Nr. 6. (Orig. russ. m. engl. Zfg.) (Moskau.) Im Falle einer linearen Adsorptionsisotherme ist das Verhalten einzelner Molekeln einer Zumischung zum Adsorbat statistisch unabhängig und kann für  $\Gamma \gg 1$  ( $\Gamma \equiv$  Gleichgewichtskoeffizient der Zumischungsverteilung zwischen Fluß und Adsorbens) mit Hilfe zweier Wahrscheinlichkeitsfunktionen beschrieben werden;  $P_{\Theta}(t)$ , Aufenthaltswahrscheinlichkeit auf dem Adsorbens für die Zeit t;  $p_1(X)$ , Transportwahrscheinlichkeit für die Strecke X zwischen zwei Adsorptionen. In einem gewissen Bereich der Zumischungskonzentration a(X,t) ist die Verteilung der Zumischung im Adsorbat vollständig durch vier Parameter der Wahrscheinlichkeitsfunktionen bestimmt. Mit ihrer Hilfe werden einige charakteristische Transportgrößen definiert. Die theoretischen Ergebnisse werden auf Messungen der Krypton- und Xenon-Adsorption an Kohle und auf Literaturwerte angewendet. Vieth.

8713 V. L. Kheifets and B. S. Krasikov. On the nature of the adsorption layers on solid metal surfaces. J. phys. Chem., Moscou (russ.) 31, 1227—1234, 1957, Nr. 6. (Orig. russ. m. engl. Zfg.) (Leningrad.) Vff. zeigen auf Grund ausgedehnter Untersuchungen, daß bei der Adsorption von oberflächenaktiven Verbindungen an festen Elektroden Mehrfachschichten von unvollständiger Struktur gebildet werden. Der Vergleich der Größen  $\Delta \eta$  und  $\Psi_1$  beweist, daß die Bildung solcher Mehrfachschichten die nicht-monotonen Änderungen von  $\Psi_1$  und damit die Wasserstoffüberspannung beim Vergrößern der Konzentration der oberflächenaktiven Substanzen in der Lösung verursacht. Mehrschichtenadsorption ist möglich an Elektroden mit hinreichend definierter Uneinheitlichkeit der Struktur. Die erhaltenen Ergebnisse bestätigen die Notwendigkeit, bei kinetischen Untersuchungen von Elektrodenprozessen die Struktur der Doppelschicht zu berücksichtigen. (Zfg.)

8714 K. G. Krasll'nikow, V. F. Kiselev, N. V. Kapitonova and E. A. Sysoev. The low temperature adsorption of nitrogen on thermally dehydrated silicagel and alumogel specimens. J. phys. Chem., Moscou (russ.) 31, 1448—1454, 1957, Nr. 7. (Orig. russ. m. engl. Zfg.) (Moskau.) Vff. untersuchen die Adsorptionsisothermen von Stickstoff an 19 verschiedenen Silika und Alumo Gel-Proben, für die der Grad der Oberflächenentwässerung vorher bestimmt worden ist. Der Vergleich der Isothermen aller Proben zeigt, daß sie innerhalb ± 5% übereinstimmen. Die Veränderung der Natur der adsorbierenden Oberfläche hat also nur wenig Einfluß auf die Größe der Stickstoffadsorption. Die gute Übereinstimmung zwischen den auf die Oberflächeneinheit bezogenen Stickstoffisothermen, die für verschiedene Silika und Alumo Gele berechnet werden, erlaubt es, die Stickstoffadsorption bei tiefen Temperaturen als Standardmethode zur Bestimmung spezifischer Oberflächen zu benutzen. (Zfg.)

8715 L. Relmer. Magnetische, elektrische und elektronenoptische Untersuchungen zur thermischen Umwandlung kathodenzerstäubter Nickelschichten. Z. Phys. 149, 425 bis 431, 1957, Nr. 4. (31. Okt.) (Münster, Westf., Univ., Phys. Inst.) Die durch Kathodenzerstäubung erzeugte Nickel-Schicht zeigt hexagonale Struktur, die bei etwa 400° in eine kubische umgewandelt wird. Die kubische Struktur ist ferromagnetisch. Das Fortschreiten der Umwandlung wird über den elektrischen Widerstand und mit Hilfe von Elektronenbeugung verfolgt. Ochsenfeld.

8716 Ludwig Reimer. Magnetische Untersuchungen an elektrolytisch niedergeschlagenen dünnen Kobaltschichten. Z. Naturf. 12a, 1014—1015, 1957, Nr. 12. (Dez.) (Münster, Univ., Phys. Inst.) Die an elektrolytisch niedergeschlagenen Kobalt-Schichten gemessene Koerzitivkraft kann nicht durch die hohe Kristallanisotropie des hexagonalen Kobalts gedeutet werden. Elektronenbeugungsaufnahmen ergaben eine reine kubische Struktur. Durch Anwendung des Ansatzes  $K_1 = (K_1)_0 e^{-aT^2}$ ,  $(K_1)_0 = Anisotropiekonstante bei <math>T = 0^{\circ}K$ , kann die Koerzitivkraft auf die Kristallanisotropie zurückgeführt werden. Och senfeld.

8717 R. Suhrmann, G. Wedler und D. Schliephake. Über die Änderung des elektrischen Widerstandes eines aufgedampften, durchsichtigen Nickelfilms bei der Chemisorption von Wasserstoff. Z. phys. Chem. (NF) 12, 128-131, 1957, Nr. 1/2. (Juli.) (T. H. Hannover, Inst. Phys. Chem. Elektrochem.) Im Hochvakuum aufgedampfte durchsichtige Ni-Filme besitzen Stellen verschiedenen Elektronen-Austrittspotentials, die mit Wasserstoff verschiedenartig in Wechselwirkung treten, was sich in der Art der Änderung des elektrisehen Filmwiderstandes R äußert. Bei langsamer Zugabe von Wasserstoff bei kleinen Drucken (10-5 Torr) und Zimmertemperatur nimmt R zunächst zu, entsprechend einer Verschiebung von Leitungselektronen zum Wasserstoff nach der Reaktionsgleichung H2 + 2e → 2H- und anschließend ab entsprechend einer Elektronenverschiebung in Richtung des Metalls nach der Gleichung H2 - e - H2. Die Reaktionsgleichungen ergeben sich aus der Beanspruchung von etwa zwei Leitungselektronen pro adsorbiertem Wasserstoffmolekül bei der Widerstandszunahme, von einem Leitungselektron bei der Widerstandsabnahme. Die Adsorption von H- erfolgt an Stellen kleinen, die von H2 an Stellen großen Austrittspotentials. Bei höheren Wasserstoffdrucken (> 10-3 Torr) und Zimmertemperatur überlagert sich noch ein Diffusionsvorgang, wahrscheinlich in das Filminnere, der mit einer Widerstandsabnahme verbunden ist und einer Reaktionsgleichung erster Ordnung · (in Abhängigkeit von der Zeit) gehorcht, während die beim Abpumpen beobachtete Widerstandszunahme durch eine Reaktionsgleichung zweiter Ordnung dargestellt werden kann, entsprechend der Rekombination der Wasserstoffmolekeln. Suhrmann.

8718 Peter H. Berning. Some remarks on the use of admittance charts in thin films calculations. J. opt. Soc. Amer. 47, 121, 1957, Nr. 1. (Jan.) (S. B.) (Rochester, N. Y., Bausch u. Lomb Opt. Co.)

Beggerow.

8719 Pasupati Mukerjee. The electroviscous effect in colloidal systems. J. Colloid Sci. 12, 267—270, 1957, Nr. 3. (Juni.) (Los Angeles, Univ. Calif., Dep. Chem.) Es wird gezeigt, daß die experimentellen Ergebnisse über den elektroviskosen Effekt an Emulsionen und Silberjodidsol mit der Wechselwirkung Partikel-Lösungsmittel (elektroviskoser Effekt 1. Ordnung) gedeutet werden können. Die Werte zeigen, daß der Effekt groß sein kann. Die klassische Erklärung und seine theoretische Behandlung durch Booth geben die experimentellen Werte zufriedenstellend wieder auch bei Proteinen und Seifenmizellen. Nach Ansicht des Vf. ist es unnötig, den elektroviskosen Effekt als eine neue Erscheinung hinzustellen, die eine Immobilisierung von Lösungsmittelmolekeln um die geladenen kolloidalen Partikel bedingt.

8720 Hiroshi Fujita. Notes on the calculation of electrophoresis of polyelectrolytes with partial free-drainage. J. phys. Soc. Japan 12, 968—973, 1957, Nr. 8.(Aug.) (Maizuru, Univ. Kyoto, Dep. Fish., Phys. Chem. Lab.) Der Autor gibt eine numerische Auswertung der allgemeinen Hermanns-Fujita-Gleichung für die elektrophoretische Beweglichkeit eines gewundenen polyelektrolytischen Moleküls in Salzlösungen. Die Werte der elektrophoretischen Beweglichkeit  $\mu$  werden als Funktionen zweier Parameter  $\sigma$  und  $\beta$  erhalten, wobei  $\sigma$  das Debyesche Abschirmungsverhältnis und  $\beta$  der Radius des gewundenen Polymeren in bezug auf die Stärke der diffusen Doppelschicht ist. Es folgt eine Auseinandersetzung mit der Kritik von Overbeek und Stigter an der Gültigkeit der Hermanns Fujita-Gleichung. Ein Verfahren wird angegeben, welches gestattet,  $\mu$  gegen  $\beta$ -Kurven für verschiedene bestimmte Werte von  $\sigma$  auf eine angenäherte Kurve zu reduzieren.

8721 Ross Gunn. The ratio of the positive and negative light ion conductivities within a neutral aerosol space. J. Colloid Sci. 11, 691—696, 1956. Nr. 6. (Dez.) (Washington, U.S. Weather Bureau, Office Phys. Res.) H. Ebert.

## VI. Elektrizität und Magnetismus

8722 Franz Weitzenmiller. Röhrenvoltmeter. Überblick der Typen. Elektronik, München 6, 63—70, 1957, Nr. 2/3. (Febr./März.) V. Weidemann.

8723 T. Hurter. Funktionsweise und Anwendung des Repetitionsstoβoszillographen. Scientia Electrica 3, 26—34, 1957, Nr. 1. (März.) (Baden, Brown, Boveri u. Co.) Werden die Stoßwellen eines Stoßgenerators periodisch aufeinanderfolgend erzeugt und auf eine Versuchswicklung gegeben, so lassen sich die dadurch erzeugten internen Ausgleichsvorgänge auf dem Bildschirm eines Oszillographen betrachten, wenn die Stoßfrequenz so hoch ist, daß ein stehendes Bild erzeugt wird. Der Repetitionsstoßoszillograph wird in seinen Einzelteilen beschrieben und deren Schaltungen angegeben. Der Steuerteil des Oszillographen erzeugt einen mit der Netzfrequenz synchronisierten Befehlsimpuls, der den Stoßgenerator und einen bistabilen Multivibrator auslöst. Letzterer löst seinerseits die Zeitablenkung aus und gibt den Kathodenstrahl frei. Nach beendeter Zeitablenkung

geht der Multivibrator in seine Ausgangsstellung zurück und unterdrückt den Strahl. Zum Schluß werden verschiedene Anwendungsmöglichkeiten angegeben.

- 8724 R. Aschen. Aperçu sur les techniques et instruments de mesures en U.H.F. I. Techniques de mesures en U.H.F. Quelques mesures classiques. Mes. Contr. 22, 245—248, 1957, Nr. 238. (März.) Es wird ein Überblick über die spezielle Meßtechnik und die Meßverfahren im Bereich der Dezimeter- und Zentimeter-Wellen gegeben. Im einzelnen werden behandelt: 1. Messung der Wellenlänge; 2. Spannungsmessung; 3. Ausmessung des stehenden Wellenverhältnisses und Bestimmung des Reflexionsfaktors; 4. Konstruktion eines neuartigen Anpassungs- und Dämpfungsgliedes; 5. Messung der Rauschleistung und Bestimmung der Rauschzahl; 6. Messung des stehenden Wellenverhältnisses und des Reflexionsfaktors bei Frequenzen unterhalb von 30 MHz (mit Brückenschaltung). Bayer.
- 8725 Hans Hieronymus und Herbert Weiss. Über die Messung kleinster magnetischer Felder mit Hallgeneratoren. Siemens-Z. 31, 404—409, 1957, Nr. 8. (Aug.) Es wird ein Meßgerät beschrieben, welches magnetische Feldstärken mit einer Absolutempfindlichkeit von 0,5·10-5 Oe zu messen gestattet. Das zu messende Feld wird mit Hilfe zweier Stäbe aus Mu-Metall von je 200 mm Länge und 11 mm Durchmesser auf das ca. 400 fache verstärkt. In einem Luftspalt von 0,3 mm Dicke zwischen den Stirnflächen der Stäbe befindet sich als Hall-Generator ein Halbleiterplättchen aus InAs, durch welches ein Steuerstrom von 200 mA fließt, dessen Stärke durch die maximal zulässige Erwärmung des Plättchens bestimmt wird. Verwendet man als Anzeigeinstrument ein mV-Multizet (Siemens & Halske), so erhält man bei Verwendung des 5 mV-Meßbereichs einen Vollausschlag von 0,26 Oe. Bei Verwendung eines lichtelektrischen Verstärkers ergibt sich eine Empfindlichkeit von 5,8·10-4 Oe/Vollausschlag. Die Störspannungen sind kleiner als 0,1 µV (entspricht 0,5·10-5 Oe). Zwei Methoden zur Kompensation des Temperatureinflusses werden angegeben.
- 8726 M. B. Palma-Vittorelli, M. U. Palma and D. Palumbo. The behaviour of phase-sensitive detectors. Nuovo Cim. (10) 6, 1211—1220, 1957, Nr. 5. (1. Nov.) (Palermo, Univ., Ist. Fis.) Zunächst wird das Problem des minimalen nachweisbaren Signals behandelt, dann wird für eine modulierte Welle die Ausbeute bei verschiedenen Typen von phasenempfindlichen Detektoren in Abhängigkeit von der Eingangsspannung diskutiert. Dabei werden Formeln für die Frequenzen, die Amplituden und Phasen angegeben. Vor allem wird das Problem des Untergrunds erörtert. Auch die Verwendung von Filtern wird behandelt.

M. Wiedemann.

- 8727 G. J. Levenbach. Accelerated life testing of capacitors. Trans. Inst. Radio Engrs., N.Y. PGRQC-10, S. 9—20, 1957, Juni. (Murray Hill, N.J., Bell Teleph. Labs. Incorp.) Die Lebensdauer von Kondensatoren ist u. a. abhängig von Betriebsspannung und Temperatur. Durch statistische Methoden werden zwei Beziehungen für die Verkürzung der Lebensdauer gefunden:  $t_1/t_2 = (U_2/U\ 1)^k$  und  $\lg(t_2/t_1) = c(T_1^{-1} T_2^{-1})$  (t = Zeitdauer, U = el. Spannung, T = abs. Temperatur, k und k = 1000 und bei einer Temperatur um 80°C die Lebensdauer um den Faktor 48 verkürzt werden.
- 8728 F. Perrier et J. M. Codina. Projet et étude expérimentale de stabilisateurs alternatifs à impédance variable. Suppl. J. Phys. Radium 18, 137 A—143 A, 1957, Nr. 11. (Nov.) (Toulouse, C.N.R.S., Lab. Opt. électr.) Die Arbeit behandelt einen speziellen Typ von Spannungsstabilisatoren mit veränderbarer Impedanz,

der sich durch die Einfachheit der Bauelemente und die Folgerichtigkeit seines Aufbaus auszeichnet. Einer einführenden Besprechung über Prinzip und Arbeitsweise derartiger Stabilisatoren folgt eine Diskussion über ihre zweckmäßige Bestückung (Röhren, Übertrager, Spannungsmesser, Bezugsspannung, Verstärker). Der daraus sich ergebende optimale Aufbau wird am konkreten Beispiel erläutert; sein Prinzipschaltbild mit genauen Angaben über die benutzten Schaltungsteile ist wiedergegeben. Einige Mitteilungen über das experimentelle Verhalten des Stabilisators unter verschiedenen Arbeitsbedingungen beschließen den Bericht. Vff. erwähnen noch, daß sich ein Gerät vom gleichen Typ im Laboratorium im Bau befindet, bei dem die Röhren durch Transistoren ersetzt sind. Wießner.

- 8729 J.Jansen. Interactions between permanent multipole moments. Physica,'s Grav. 23, 599—604, 1957, Nr. 7. (Juli.) (College Park, Maryl., Univ., Inst. molecular Phys.) Nach Einführung einer bequemen Tensoren-Bezeichnung für die Berechnung der Wechselwirkung zwischen zwei voneinander weit entfernten Ladungsverteilungen wird gezeigt, daß für zylindersymmetrische Ladungsverteilungen die Wechselwirkung zwischen den Momenten ersetzt werden kann durch die Wechselwirkung zwischen geeigneten linearen Ladungsverteilungen längs der Symmetrieachse.
- 8730 H. N. V. Temperley. The influence of boundary conditions on the Onsager-Ising partition function for the plane square lattice. Proc. phys. Soc. Lond. (B) 70, 192—197, 1957, Nr. 2 (Nr. 446 B). (1. Febr.) (Aldermaston, Berks., Atomic Weapons Res. Est.) Schon immer benutzte man die Annahme, daß die wesentlichen Ergebnisse des Onsager-Isingschen Magnetmodells unabhängig sind von den speziellen Grenzbedingungen. Hier wird sie formal bewiesen durch Vergleich der Atomanordnungen auf einem Torus, einem Zylinder und in der Ebene.
- 8731 S. V. Vonsovskii and Iu. M. Seildov. On the indirect exchange interaction. Soviet Phys.-Doklady 1, 149—151, 1956, Nr. 2. (Okt.) (Engl. Übers. aus: Doklady Akademii Nauk SSSR, 107, 37, 1956, Nr. 1, März/Apr.) (Acad. Sci. USSR, Ural Branch, Inst. Met. Phys.) Zur Erklärung des Ferromagnetismus und Antiferromagnetismus in Ionenkristallen (MnO, NiO·Fe<sub>1</sub>O<sub>3</sub> usw.) hat H. A. Kramers das Modell der indirekten Austauschwechselwirkung eingeführt, bei dem der Elektronenaustausch der magnetischen Ionen über die dazwischen liegenden unmagnetischen Ionen erfolgen soll. Vff. stellen fest, daß die Methode von Kramers erst bei der dritten Näherung die Wahrscheinlichkeit des Elektronenüberganges liefert und daß sie eigentlich nur für das dreiatomige Molekül mit vier Elektronen gilt; die Übertragung auf den Kristall erfolge ohne Beweis. Sie gehen von dem von Vonsovskil entwickelten "polaren Vielelektronen-Modell" des Kristalls aus und erhalten für die indirekte Wechselwirkung ein Resultat, dessen Herleitung von einer Reihe Voraussetzungen unabhängig ist, die im Modell von Kramers enthalten sind und die unmittelbare Anwendung der Methode der Spinwellen auf das vorliegende Problem erlaubt. K. M. Koch.
- 8732 R. W. Teale and G. Rowlands. Some magnetothermal relations for ferromagnetics. Proc. phys. Soc. Lond. (B) 70, 1123—1134, 1957, Nr. 12 (Nr. 456 B). (1. Dez.) (Leeds, Univ., Dep. Phys.)

  Ochsenfeld.
- 8733 Harry Pfeifer. Zur Beobachtung magnetischer Kernresonanzen. Wiss. Z. Karl-Marx-Univ., Leipzig 6, 291—308, 1967, Nr. 3. An Hand der Blochschen Gleichungen werden die Grundlagen der paramagnetischen Kernresonanzen zusammenfassend dargestellt und die Einflüsse von Feldinhomogenitäten und Rückwirkungen des Meßkreises untersucht.

8734 Robert L. White and Irwin H. Solt jr. Multiple ferromagnetic resonance in ferrite spheres. Phys. Rev. (2) 104, 56—62, 1956, Nr. 1. (1. Okt.) (Culver City, Calif., Hughes Res. Lab.) Vff. haben die ferromagnetische Resonanzabsorption an einkristallinen Kugeln aus Mangan und aus Mangan-Zink-Ferriten untersucht. In einem Feldstärkebereich von 700 Oe wurden bei Zimmertemperatur fünf Haupt- und zahlreiche Nebenabsorptionsmaxima gemessen.

Appel.

8735 J. E. Mercereau and R. P. Feynman. Physical conditions for ferromagnetic resonance. Phys. Rev. (2) 104, 63, 1956, Nr. 1. (1. Okt.) (Culver City, Calif., Hughes Res. Lab.; Pasadena, Calif., Inst. Technol.) Die experimentellen Ergebnisse der vorhergehenden Arbeit werden gedeutet.

Appel.

8736 William E. Bell and Arnold L. Bloom. Optical detection of magnetic resonance in alkali metal vapor. Phys. Rev. (2) 107, 1559—1565, 1957, Nr. 6. (15. Sept.) (Palo Alto, Calif., Varian Ass.) Vff. untersuchten eingehend die von DEHMELT (Ber. S. 1047) vorgeschlagene Methode, die in einem Alkalidampf durch Hochfrequenzeinstrahlung erzwungene Übergänge zwischen ZEEMAN-Niveaus auf optischem Wege nachzuweisen. Der Nachweis kann auf zwei verschiedene Weisen erfolgen: einmal ändert sich bei Resonanz die durchgelassene Intensität des in Richtung des statischen Magnetfeldes Ho eingestrahlten "Pump"-Lichtes, zum anderen wird ein zum "Pump"-Licht rechtwinklig orientierter Lichtstrahl, der dieselbe Frequenz wie das "Pump"-Licht besitzt, bei eintretender Resonanz mit der Larmor-Frequenz in seiner Intensität moduliert. Das Verhalten von Teilchen mit dem Spin 1/2 in einem äußeren Magnetfeld Ho unter gleichzeitiger Einstrahlung von "Pump"-Licht, Nachweislicht (senkrecht zum "Pump"-Licht) und einem Hochfrequenzfeld wird phänomenologisch beschrieben. Die Gleichungen haben eine den Block-Gleichungen für magnetische Resonanzen ähnliche Form; die Relaxationszeit hängt jedoch von der Intensität des "Pump"-Lichtes und des Nachweislichtes ab. Als einziger von den Bloch-Gleichungen abweichender Zusatzterm tritt ein Glied auf, das dem Nachweislicht zugeordnet ist; es kann jedoch gezeigt werden, daß die Form der Resonanzkurve durch diesen Zusatzterm nicht geändert wird. Die experimentellen Bedingungen, unter denen die Resonanzen beobachtet werden können, werden beschrieben, und die Resonanzkurven hinsichtlich ihres Signal-Rauschverhältnisses diskutiert. Da die Amplituden der Resonanzen unabhängig von der Stärke des statistischen Magnetfeldes sind, kann das Verfahren zur Präzisionsbestimmung von sehr Andresen. schwachen Magnetfeldern herangezogen werden.

8737 All Javan. Theory of a three-level maser. Phys. Rev. (2) 107, 1579—1589, 1957, Nr. 6. (15. Sept.) (New York, N.Y., Columbia Univ., Phys. Dep.) Es wird gezeigt, daß die von Bloembergen (Ber. 36, 1576, 1957) durchgeführte halbklassische Theorie eines "Three level masers" nur unter der Voraussetzung  $T_2 \ll T_1$  Gültigkeit hat, wenn die durch  $\gamma \text{Ho} > 1/T_1$  gegebene Einstrahlungsfeldstärke zwar den Übergang vom Energieniveau 1 nach 3 sättigt, aber noch nicht so stark ist, daß die Bedingung  $\gamma \text{Ho} > 1/T_1$  erfüllt ist. Vf. untersucht die Effekte, die schon in frühen Sättigungsstadien bei Substanzen mit  $T_1 = T_2$  auftreten können: (1) bei geeigneten Lagen des Energieniveaus 2 ist es möglich, eine erzwungene Emission sowohl bei der Frequenz  $v_{32}$  als auch bei der Frequenz  $v_{21}$  zu beobachten. (2) Die Linienform der nichtgesättigten Resonanzfragen  $v_{31}$  (bzw.  $v_{32}$ ) hängt stark von dem Sättigungsgrad des Überganges  $v_{31}$  ab. Bei starker Sättigung des letzten Überganges weist z. B. die Resonanz  $v_{21}$  zwei symmetrisch zu  $v_{31}$  liegende Maxima der erzwungenen Emission auf. Die Theorie des "Three level masers" wird für gasförmige Substanzen formuliert und bei paramagnetischen Substanzen auf die Grenzfälle  $T_1 = T_2$  und  $T_1 \gg T_2$  erweitert.

S. Geschwind and A. M. Clogston. Narrowing effect of dipole forces on inhomogeneously broadened lines. Phys. Rev. (2) 108, 49-53, 1957, Nr. 1. (1. Okt.) (Murray Hill, N. J., Bell Teleph. Lab.) Magnetische Dipolkräfte können die durch Inhomogenitäten hervorgerufenen Linienbreiten von Resonanzlinien herabdrücken. Wenn z. B. das äußere Magnetfeld inhomogen ist, so daß verschiedene Volumenelemente der Probe verschiedenen Feldstärken ausgesetzt sind, können die Dipolkräfte die verschiedenen Probenvolumenelemente zusammenkoppeln, so daß eine gemeinsame Resonanzfrequenz resultiert, die dem über das Probenvolumen gemittelten Feld entspricht. Die Resonanzlinien werden nur dann verschmälert, wenn die Magnetisierung der Probe beträchtlich größer als die Feldinhomogenität ist. Experimente, an denen die Unterstützung der Inhomogenitätsverbreiterung beobachtet werden konnte, wurden am Mangan-Ferrit und am Yttrium-Eisen Garnet durchgeführt, wobei die Inhomogenität durch ein Abweichen der Probenform von der Ellipsoidgestalt künstlich erzeugt wurde. Die Theorie dieser Effekte wird diskutiert für die Fälle, in denen die räumliche Periodizität der Inhomogenität groß gegenüber den Atomabständen ist und entweder klein gegenüber der Probengröße oder aber vergleichbar mit ihr ist. Andresen.

8739 R. C. LeCraw and E. Spencer. Domain structure effects in an anomalous ferrimagnetic resonance of ferrites. J. appl. Phys. 28, 399-405, 1957, Nr. 4. (Apr.) (Washington, Diamond Ordn. Fuse Lab.) Bei 9300 MHz wird in einem ungesättigten Ni-Ferrit ein Absorptionsmaximum für die negativ zirkular polarisierte Welle (Drehsinn entgegengesetzt der natürlichen Spinpräzession im angelegten Gleichfeld — auch "Anti-LARMOR" genannt) beobachtet. Diese anomale Resonanz liegt sehr nahe beim Koerzitivfeld von 13,2 Oe und hat eine Linienbreite von 70 Oe. - Das Material befindet sich als dünne Scheibe am Boden eines kreiszylindrischen Topfes mit H112-Schwingung senkrecht zu dessen Achse, während das magnetische Gleichfeld in der Achse liegt. Der Kreis wird als Durchgangskreis mit linearer Polarisation angeregt, und seine beiden zirkularen Eigenfrequenzen werden durch einen zusätzlichen axialen Ferritstift sehr viel kleinerer Dämpfung so weit getrennt, daß sich auch bei kleinen Feldern innerhalb der Probe (Scheibe mit großem Entmagnetisierungsfaktor) die Resonanzkurven nicht überlappen. Dann können aus letzteren die Glieder des Permeabilitätstensors nach Real- und Imaginärteil mit der Störungstheorie bestimmt werden. - Der Effekt wird theoretisch gedeutet, indem vom Polder-Smithschen Mechanismus in nicht magnetisierten Ferriten ausgegangen wird, der auf entmagnetisierende Pole in den Domänenwänden, herrührend vom magnetischen Hf-Feld, zurückgeht. Hier müssen Wandverschiebungen im Gleichfeld berücksichtigt werden, die zur Folge haben, daß die Resonanzfrequenz der noch nicht umgeklappten Domänen sich der Meßfrequenz nähert. Dadurch steigt die Absorption für die bezüglich des Gleichfeldes negativ polarisierte Welle, die für diese Domänen aber die positive (LARMOR-) Drehrichtung hat, bis zu einem Maximum an. Die Theorie ist für Einkristalle und polykristallines Material anwendbar, wenn die Kristallite aus mehreren Domänen aufgebaut sind. Klages.

8740 Stanley Bloom. Effects of radiation damping on spin dynamics. J. appl. Phys. 28, 800—805, 1957, Nr. 7. (Juli.) (Princeton, N. J., RCA Labs.) Das Verhalten eines strahlungsgedämpften, den Bloch-Gleichungen gehorchenden magnetischen Spinsystems wurde für die folgenden vier Fälle rechnerisch untersucht: 1. Langsamer Resonanzdurchgang der eingestrahlten Hochfrequenz. 2. Schneller adiabatischer Resonanzdurchgang. 3. Die freie Präzession des Spinsystems. 4. Hochfrequenzeinstrahlung im Nichtgleichgewichtszustand.

Nöldeke.

- 8741 G. S. Barlow and K. J. Standley. Microwave resonance in nickel at 35 Gc/s (kMc/s). Proc. phys. Soc. Lond. 71, 45—48, 1958, Nr. 1 (Nr. 457). (1. Jan.) (Nottingham, Univ., Dep. Phys.) Mittels der Kittelschen Gleichung wurden der spektroskopische g-Faktor und die Anisotropie-Konstanten  $K_1$  und  $K_2$  aus Resonanzmessungen bestimmt. Für einen Ni-Einkristall ergab sich bei 20 bis  $150^{\circ}\text{C}$  g = 2,17 wie bei 1,22 cm Wellenlänge.  $K_1$  wechselt das Vorzeichen zwischen 100 und  $150^{\circ}\text{C}$ ,  $K_2$  zwischen 20 und  $100^{\circ}\text{C}$ . Wegen der relativ großen Fehler (für  $K_1$ 5 bis 25 %,  $K_2$ 15 bis 40 %) war die genaue Ermittlung der Temperaturen, bei denen die Anisotropie-Konstanten den Wert Null annehmen, nicht möglich. Das negative Vorzeichen von  $K_2$  bei 20°C steht im Widerspruch zu Untersuchungsergebnissen mit anderen Verfahren. Ein Grund für die Diskrepanz ist nicht ersichtlich. Auch für polykristallines Ni und Ni-Cu-Legierungen (bis zu 26 Atom % Cu) wurde derselbe g-Faktor (2,19  $\pm$ 0,02) gefunden wie bei 1,22 cm Wellenlänge.
- 8742 G. R. Khutsishvili. Nuclear magnetic relaxation in ionic crystals. Soviet Phys. JETP 4, 382—384, 1957, Nr. 3. (Apr.) (Engl. Übers. aus: J. exp. theor. Phys. (russ.) 31, 424—426, 1956, Sept.) (Acad. Sci. Georgian SSR, Inst. Phys.) Es werden Berechnungen der kernmagnetischen Relaxationszeit in Ionenkristallen dargelegt, wobei die Relaxation von Quadrupoleffekten bzw. von paramagnetischen Verunreinigungen herrührt. Die so erhaltenen Ergebnisse stimmen grob mit den experimentellen Werten überein.
- 8743 D. P. Grechukhin. Spin-orbit interaction in nuclear magnetic multipole radiation. Soviet Phys. JETP 4, 448—450, 1957, Nr. 3. (Apr.) (Engl. Übers. aus: J. exp. theor. Phys. (russ.) 31, 513—515, 1956, Sept.) Theoretische Abschätzungen der Spin-Bahn-Wechselwirkung in ihrer Auswirkung auf die Strahlung von Kernmultipolen.
- 8744 Takashi Itoh and Kenjiro Kambe. Electron coupled interaction in solid iodine. J. phys. Soc. Japan 12, 763—769, 1957, Nr. 7. (Juli.) (Univ. Tokyo, Fac. Sci., Dep. Phys.; Tokyo, Univ. Electro-Comm.) Die Hyperfeinstruktur im Kernquadrupol-Resonanzspektrum des festen Jods wird für elektronengekoppelte Wechselwirkung zwischen den Kernspins der Jod-Moleküle unter Vernachlässigung der elektronengekoppelten Wechselwirkung von Kernspins verschiedener Moleküle berechnet. Aus dem bekannten Resonanzspektrum des Jods werden die elektronischen Kopplungskonstanten errechnet und in Verbindung mit den bekannten Kernquadrupol-Kopplungskonstanten zur Diskussion der elektronischen Struktur der chemischen Bindung verwendet. Es wird geschlossen, daß die Bindung im Jod-Molekül 22 % s- und 33 % d-Charakter hat, während Hilfsbindungen zu benachbarten Molekülen 10 % betragen.
- 8745 Itaru Tatsuzaki and Yasaburo Yokozawa. Influence of temperature on the pure nuclear quadrupole resonance in hexachloroethane. J. phys. Soc. Japan 12, 802—808, 1957, Nr. 7. (Juli.) (Sapporo, Hokkaido Univ., Res. Inst. Appl. Elect.) Die Änderungen der Frequenzen und Linienbreiten im Kernquadrupol-Resonanzspektrum des Chlors in Hexachloräthan mit der Temperatur werden bekanntlich durch den Einfluß von Torsions- und Rotationsschwingungen der C Cl<sub>3</sub>-Gruppen gedeutet. Die starke Verbreiterung der Resonanzen bei 196°K und ihre Nichtnachweisbarkeit bei Zimmertemperatur lassen sich jedoch hierdurch nicht erklären, sind aber, wie gezeigt wird, mit der Annahme einer reorientierenden Bewegung um die C-C-Achse mit niedriger Frequenz vereinbar. G. Becker.
- 8746 T. Ghose, S. K. Ghosh and D. K. Roy. A study on the effects of off-resonance on the spin-echo signals. J. phys. Soc. Japan 12, 816—819, 1957, Nr. 7. (Juli.)

(Calcutta, Inst. Nuclear Phys.) Bei der Verwendung der Spin-Echosignale zur Messung der Relaxationszeiten T<sub>1</sub> und T<sub>2</sub> ist eine große Stabilität des Magnetfeldes während der Beobachtungszeit erforderlich. Durch theoretische und experimentelle Untersuchungen wird gezeigt, daß die Feldschwankungen für bestimmte Phasenwinkel der HF-Impulse nur relativ kleine Meßfehler hervorrufen.

G. Becker.

- 8747 N.M. Pomeranzew. Relaxations prozesse bei der Wechselwirkung magnetischer Kernmomente mit einem Schwingkreis. Phys. Abh. Sowjet. 11, 76—77, 1957, (Dtsch. Übers. aus: J. exp. theor. Phys. 29, 375—376, 1955.) (Moskau, Staatl. Univ.)

  V. Weidemann.
- 8748 N. Bloembergen. Nuclear magnetic resonance and electronic structure of conductors. Berichtigung. Canad. J. Phys. 35, vor S. 241, 1957, Nr. 3. (März.) Ber. 36, 2103, 1957.

  Nöldeke.
- 8749 Yuki Shirakawa, Toru Ohara and Takeshi Abe. The Wiedemann effect of the magnetostriction alloy "Alfer". Sci. Rep. Res. Insts Tóhokú Univ. 9, 176 bis 183, 1957, Nr. 3. II. The Wiedemann effect of the magnetostriction alloy "Alfer" at high temperatures. Ebenda S. 184—189. An einer Eisenlegierung mit 12,9% Al wurde die magnetostriktive Torsion eines Stabes bei Überlagerung eines longitudinalen und eines zirkularen Magnetfeldes gemessen. Variiert wurden die beiden Feldstärken. Vergleichsmessungen an Fe unf Ni wurden ausgeführt. II. Erweiterung der vorstehend referierten Arbeit auf höhere Temperaturen, und zwar bis zu den Curie-Punkten der untersuchten drei Metalle. Bei Alfer wird die Torsion klein am magnetischen Umwandlungspunkt der Überstruktur Fe<sub>3</sub>Al.
- 8750 Max Kohler. Invariante Flächen der Elektrodynamik. Z. Phys. 148, 443 bis 453, 1957, Nr. 4. (22. Juni.) (Braunschweig, T. H., Inst. theor. Phys.) Formalgeometrische Betrachtungen zur Maxwellschen Theorie im Vakuum. Just.
- 8751 Hans-Georg Schöpf. Die Energiestromgeschwindigkeit im elektromagnetischen Feld. Z. Phys. 148, 447—424, 1957, Nr. 4. (22. Juni.) (Greifswald, Univ., Inst. theor. Phys.) Vf. gibt notwendige und hinreichende Bedingungen für den Energie-Impuls-Tensor, so daß der Quotient von Energiestromdichte und Energiedichte dem Additionstheorem der Geschwindigkeiten genügt. Ansätze für den elektromagnetischen Energie-Impuls-Tensor werden hiernach diskutiert.

Grawert.

- 8752 0. Buneman. Ribbon beams. J. Electronics 3, 507—509, 1957, Nr. 5. (Nov.) (Cambridge, Peterhouse.) Es werden die elektrischen Feldkomponenten berechnet, die mit einer periodischen Bewegung der Elektronen in einem n Elektronen pro Flächeneinheit enthaltendem "Bande" verknüpft sind. Einfluß von zusätzlichen Magnet- und Gleichstromfeldern, Doppler-Verschiebung, Dispersionsbeziehung und Bewegungsgleichung werden erörtert. Jörchel.
- 8753 Giovanni Carini. Sulle equazioni della magneto-idrodinamica. R. C. Accad. Lincei 21, 436—441, 1956, Nr. 6. (Dez.) Vf. leitet die Grundgleichungen der Magnetohydrodynamik durch Kombination der Eulerschen Gleichungen für eine bewegte Flüssigkeit mit den Minkowskischen Gleichungen für die Elektrodynamik bewegter Medien her. Glieder von höherer als 1. Ordnung in v/c werden dabei vernachlässigt (v = Strömungs-, c = Lichtgeschwindigkeit). Die so erhaltenen Gleichungen unterscheiden sich von den von Alfvén durch Kombination der Eulerschen mit den Maxwellschen Gleichungen für ruhende Medien hergeleiteten Gleichungen in verschiedenen, die elektrische Leitfähigkeit  $\sigma$  enthaltenden Gliedern. Wenn  $\sigma \to \infty$  geht, werden beide Gleichungssysteme miteinander identisch. Weiterhin fällt der Unterschied zwischen beiden Systemen in dem von

ALFVÉN studierten Sonderfall einer ebenen, hydromagnetischen Welle in Richtung eines konstanten Magnetfeldes weg.

E. Becker.

8754 R. S. Leigh. Crystal field effects in metals. Proc. phys. Soc. Lond. 71, 33—37, 1958, Nr. 1 (Nr. 457). (1. Jan.) (Harwell, Berks., Atom.-Energy Res. Establ.) Es werden die Fehler abgeschätzt, die bei der Berechnung von Einelektronenniveaus mit Hilfe eines Potentials entstehen, das innerhalb der den Atompolyedern einbeschriebenen Kugeln kugelsymmetrisch und dazwischen konstant ist. Dabei wird angenommen, daß das wahre Kristallpotential angeseher werden kann als die Summe der elektrostatischen Potentiale von sich überlappenden Ionenrümpfen und einer gleichförmigen Verteilung von Elektronen. Die Untersuchung ist auf raum- und flächenzentrierte kubische Gitter beschränkt. Als Beispiele sind numerische Ergebnisse für Na und Fe bzw. Al und Cu angeführt. d-ähnliche Zustände erfordern spezielle Methoden. Insbesondere im letztgenannten Fall kann sich die Abschätzung nur auf die Größenordnung beziehen, in Einzelheiten aber beträchtlich von der Wirklichkeit abweichen.

G. Schumann.

8755 F. Garcia Moliner. On the Fermi surface of copper. Phil. Mag. (8) 3, 207, 1958, Nr. 26. (Febr.) (Cambridge, Cavendish Lab.) Die von PIPPARD aus den experimentellen Daten abgeleitete FERMI-Fläche des Kupfers kann auf 1 % genau durch folgenden Ausdruck wieder gegeben werden:  $E_k = \alpha$  (— 3 + cos 1/2 ak<sub>2</sub> + cos 1/2 ak<sub>2</sub> cos 1/2 ak<sub>3</sub> + cos 1/2 ak<sub>3</sub> cos 1/2 ak<sub>1</sub> + r (— 3 + cos ak<sub>1</sub> + cos ak<sub>2</sub> + cos ak<sub>3</sub>) mit a = Gitterkonstante des flächenzentrierten kubischen Kristalls, r = 0.0995 und  $E/\alpha = 3.6301$ . M. Wiedemann.

8756 P. G. Klemens. On the theory of thermal conductivity of pure metals at low temperatures. Progr. theor. Phys., Kyoto 16, 154—156, 1956, Nr. 2. (Aug.) (Sydney, C. S. I. R. O.) Kurze Mitteilung über die Lösung der Blochschen Gleichung für reine Metalle bei tiefen Temperaturen. Kasuya hatte als Näherungswert eine Größe  $\alpha=0,105$  berechnet, die von der numerischen Lösung Klemens (Variationsprinzip) um 13% abweicht. Vf. folgt der Berechnungsweise Kasuyas und findet jetzt für  $\alpha$  den Näherungswert 0,085.

8757 T. Lipowiecki. The level theory for electrical conductivity of a solid body. Rozpr. Elektrotech. (poln.) 3, 171—212, 1957, Nr. 2. (Orig. poln. m. engl. Zfg.) H. D. Schulz.

8758 Albert Roll und Hasso Motz. Der elektrische Widerstand von metallischen Schmelzen. II. Der elektrische Widerstand geschmolzener Kupfer-Zinn-, Silber-Zinn- und Magnesium-Blei-Legierungen. Z. Metallk. 48, 435-444, 1957, Nr. 8. (Aug.) (Stuttgart, Max-Planck-Inst. Metallfschg.) Der elektrische Widerstand von geschmolzenen Cu-Sn-, Ag-Sn- und Mg-Pb-Legierungen wurde in einer früher beschriebenen Apparatur (Z. Metallk. 47, 707, 1956 und 48, 272, 1957) mit einem elektrodenlosen Meßverfahren bis zu Temperaturen von 1200°C in Abhängigkeit von Temperatur und Konzentration bestimmt. In Übereinstimmung mit älteren Ergebnissen fanden Vff., daß mit dem Auftreten intermetallischer Phasen in der festen Legierung häufig ein anomales Verhalten des Widerstandes der Schmelze verbunden ist. Bei den untersuchten Legierungen durchläuft der Widerstand der Schmelze bei den Konzentrationen der intermetallischen Verbindungen ein Maximum, das sich jedoch mit steigender Temperatur zu der Komponente mit dem höheren Schmelzenwiderstand verschiebt. Der Temperaturkoeffizient d $\varrho/\mathrm{dT}$ hat in diesen Konzentrationsgebieten dicht oberhalb der Liquiduskurve kleine, z. T. negative Werte. Dies wird mit einem Abbau des die Widerstandserhöhung verursachenden spezifischen Zustandes der Schmelze gedeutet, der sich jedoch bei Cu-Sn und Ag-Sn noch bei 1200° und bei Mg-Pb bei 900°C bemerkbar macht. Bei Ag-Sn und Cu-Sn wurden außerdem Widerstandsanomalien außerhalb der betreffenden Konzentrationsgebiete gefunden. D. Bender.

8759 H. M. Rosenberg. The thermal and electrical conductivity of lithium at low temperatures. Phil. Mag. (8) 1, 738-746, 1956, Nr. 8. (Aug.) (Oxford, Clarendon Lab.) Zwei Lithiumproben, in Stahlröhrchen mit 0,83 mm innerem und 1,1 mm äußerem Durchmesser destilliert, wurden zwischen 2° und 90°K untersucht. Die Leitfähigkeiten der Stahlröhren waren so klein, daß sie vernachlässigt werden konnten. - Der elektrische Widerstand wurde unterhalb 9°K konstant. Nach Abzug des für beide Proben unterschiedlichen Restwiderstandes zeigte der sogenannte ideale Widerstand, der auf Elektronenstreuung durch thermische Gitterschwingungen beruht, für beide Proben dieselbe Temperaturkurve der Form B·T<sup>n</sup>. — Die Wärmeleitfähigkeit weist den typischen [α T<sup>2</sup> — βT<sup>-1</sup>]-1-Verlauf auf. Für die Wärmeleitfähigkeit in Watt/cm grad ergeben sich:  $\beta = 3,63$ bzw. 1,88;  $\alpha \cdot 10^4 = 1,84$  bzw. 1,76 bis 20° K, und  $\alpha \cdot 10^4 = 1,68$  für beide Proben bis 30° K. - Elektrische und thermische Leitfähigkeit stimmen qualitativ mit der Blochschen Theorie und deren Verfeinerungen überein; ihre quantitativen Aussagen weichen jedoch von den experimentellen Daten erheblich ab. Mögliche Ursachen hierfür werden diskutiert. Bode.

8760 G. K. White and S. B. Woods. Electrical and thermal magneto-resistance in thin rods of pure sodium. Phil. Mag. (8) 1, 846—853, 1956, Nr. 9. (Sept.) (Ottawa, Nat. Res. Counc., Div. Pure Phys.) Dünne Drähte von 130  $\mu$  und 350  $\mu$  Durchmesser wurden bei Temperaturen zwischen 2 und 18° K im transversalen Magnetfeld (bis zu 10<sup>4</sup> Oersted) untersucht. Beim Heliumpunkt wird die mittlere freie Weglänge der Elektronen der dünneren Probe durch deren Dimension begrenzt, wodurch schon schwache Magnetfelder den Widerstand verkleinern. — Größere Felder vergrößern den Widerstand linear mit der Feldstärke. Mit zunehmender Temperatur wird diese Erhöhung des Widerstandes schwächer, da jetzt die Elektronenstreuung durch Gitterschwingungen dominiert.

8761 Arthur F. Kip, Donald N. Langenberg, Bruce Rosenblum and Glen Wagoner. Cyclotron resonance in tin. Phys. Rev. (2) 108, 494—495, 1957, Nr. 2. (15. Okt.) (Berkeley, Calif., Univ., Dep. Phys.) Die Frequenzen, bei denen Cyclotron-Resonanzen beobachtet werden können, sind so hoch, daß bei Metallen die Eindringtiefe des Hochfrequenzfeldes wegen des Skin-Effektes klein gegenüber der freien Weglänge der Elektronen wird. Unter diesen anomalen Skin-Effekt-Bedingungen beschreibt das Elektron kreisförmige Bahnen und taucht mit der Cyclotron-Resonanzfrequenz in die schmale Eindringzone des Hochfrequenzfeldes ein, so daß in Metallen subharmonische Resonanzen bei den statischen Magnetfeldern H =  $H_c/n$  ( $H_c$  = Cyclotronresonanzfeld; n = ganze Zahl) zu erwarten sind. Vff. untersuchten bei  $4^{\circ}$ K und 24 kMHz die Cyclotronresonanzen eines Zinn-Einkristalles. Bei Variation der Kristallorientierung gegenüber dem statischen Magnetfeld konnten Änderungen in der Cyclotronmasse m\* im Intervall von 0,2 bis 3 Elektronenmassen beobachtet werden. Bei bestimmten Kristallorientierungen waren bis zu 15 subharmonische Resonanzen sichtbar.

Andresen.

8762 Simon Foner. Hall effect in titanium, vanadium, chromium and manganese. Phys. Rev. (2) 107, 1513—1516, 1957, Nr. 6. (15. Sept.) (Pittsburgh, Penn., Carnegie Inst. Technol.) Vf. hat den Hall-Effekt an Titan, Vanadin, Chrom und Mangan bei Zimmertemperatur bis zu magnetischen Feldstärken von 30 kG gemessen. Die aus den Meßergebnissen ermittelte Hall-Konstante ist positiv für alle Elemente. In Titan ist der Hall-Effekt sehr klein und hängt empfindlich von geringen Fremdatom-Konzentrationen ab. Die Diskussion der Meßergebnisse zeigt, daß in diesen Übergangselementen wesentlich Lochelektronen den elektrischen Leitungsmechanismus bestimmen.

8763 Rudolf Beuchelt und Edgar Böhm. Über eine Temperatur- und Druckmessung im Plasma von Drahtexplosionen. Naturwissenschaften 44, 507—508, 1957, Nr. 19. (1. Okt.) (Hannover, T. H., Phys. Inst.) Es wurde die absolute Strahldichteverteilung gemessen. Sie entspricht etwa der Strahlung eines Schwarzen Körpers von 35000°K. (Kapazität 1,5  $\mu$ F,  $\rm U_L=50~kV, \nu=150~kHz$ , Drahtdurchmesser 0,03 mm, Drahtlänge 7,5 cm.) Vergleiche mit den Strahldichten auf Beobachtungsstrahlen, die nicht senkrecht zur Drahtachse verlaufen, erlauben im Zusammenhang mit der Bartelsschen Theorie der Emission aus inhomogener Schicht eine genauere Festlegung der unteren Grenze der Plasmatemperatur im Strahlungsmaximum zu 55000°K. Unter spezielleren Annahmen — Emissions-Absorptionsmechanismus nach Kramers-Unsöld, Stickstoffplasma — berechnet sich die Temperatur zu 63000°K  $\pm$ 12 % und der Druck zu 135 atm  $\pm$ 10 %.

8764 Friedhold Baumann. Elektrischer Widerstand und Supraleitung aufgedampfter Galliumschichten. Nachr. Akad. Wiss. Göttingen 1956, S. 285-295, Nr. 15. (Göttingen, Akad. Wiss., Mathem.-Phys. Kl.) Der Widerstand einer bei 4,2°K abgeschreckt kondensierten Galliumschicht zeigt beim Tempern zwei irreversible Veränderungen. Parallel dazu wird der Sprungpunkt zu tieferen Temperaturen verschoben (Buckel, Hilsch, Ber. 33, 2655, 1954). In der vorliegenden Arbeit werden Gallium-Filme auch bei höheren Unterlagentemperaturen kondensiert und untersucht. Die Schichten zeigen in allen Einzelheiten dieselben Eigenschaften wie ein bei 4,2°K kondensierter und anschließend auf die entsprechende Temperatur erwärmter Gallium-Film. Entscheidend für das Verhalten einer Gallium-Schicht ist also allein die höchste Temperatur, der die Schicht ausgesetzt worden ist. — Eine Variation der Schichtdicke ergibt nur einen sehr geringen Einfluß auf die Supraleiteigenschaften und den Temperverlauf des elektrischen Widerstandes. — Durch den Einbau von Fremdatomen (10 % Cu) kann ein schon früher gefundenes neues Gallium-Gitter, das bei reinem Gallium nur bis 70°K stabil bleibt, bis zu Zimmertemperatur stabilisiert werden.

Baumann.

8765 G. V. Samsonov and V. S. Neshpor. Superconductivity of borides, carbides, nitrides and silicides of transition metals. Soviet Phys. JETP 3, 947—948, 1957, Nr. 6. (Jan.) (Engl. Übers. aus: J. exp. theor. Phys., Moskau 30, 1143, 1956, Juni.) (Moscow, Inst. Gold Non-ferrous Metals.) Vff. versuchen den Anstieg der Sprungtemperatur in der Reihe MeB, MeC, MeN, auf den für Me = Ti, Zr, V schon Dorfman und Kikoin hingewiesen haben, auf die verschiedene Verteilung der Elektronendichte zurückzuführen. Für diese glauben sie in der "Akzeptorfähigkeit" des Übergangsmetalls, gemessen durch 1/N n (N = Hauptquantenzahl, n = Zahl der Elektronen in der unvollständigen d-Schale) und in der Ionisationsspannung des Nichtmetalls die bestimmenden Faktoren feststellen zu können. Die niedrigen Sprungpunkte der Boride führen sie auf den stärkeren Anteil der kovalenten Bindung zwischen den Boratomen zurück, als deren Folge weniger Elektronen zur Auffüllung der d-Schale des Metalls verfügbar sind. K. M. Koch.

8766 I. E. Dzialoshinskii. On the stability of the phase boundaries between normal and superconducting states. Soviet Phys. JETP 3, 980—981, 1957, Nr. 6. (Jan.) (Engl. Übers. aus: J. exp. theor. Phys., Moskau 30, 1154—1155, 1956, Juni.) (USSR, Acad. Sci., Inst. Phys. Probl.) F. Beck (Ber. 35, 1214, 1956) hat von der London-Laueschen Theorie ausgehend gezeigt, daß Schwankungen in der Gestalt der Phasengrenze zwischen normal- und supraleitenden Gebieten zu einer Instabilität führen können, die die totale Zerstörung der Supraleitung bei einer bestimmten magnetischen Feldstärke erklärt. Vf. verweist auf den Umstand,

daß die experimentellen Ergebnisse an dünnen Filmen zur Annahme einer positiven Oberflächenenergie der Grenzfläche führen, die Stabilitätsbetrachtungen daher besser auf die Theorie von Landau und Ginzburg gegründet werden sollen. Mit Hilfe dieser Theorie berechnet er die Abhängigkeit der möglichen Schwankungen der Grenzfläche von den charakteristischen Größen des Supraleitzustandes.

K. M. Koch.

8767 Helmut A. Müser. Thermodynamische Behandlung von Elektronenprozessen in Halbleiter-Randschichten. Z. Phys. 148, 380—390, 1957, Nr. 3. (8. Mai.) (Frankfurt/Main, Univ., Phys. Inst.) In der Berührungszone zwischen einem p- und einem n-Halbleiter treten bei Störung des thermodynamischen Gleichgewichts Änderungen der Leitungsträgerkonzentration auf. Diese Konzentrationen können durch eine Verteilungstemperatur beschrieben werden, die weder mit der Gittertemperatur noch mit der Elektronentemperatur identisch ist. Unter der Voraussetzung, daß auf diese Verteilungstemperatur der 2. Hauptsatz anwendbar ist, lassen sich allgemeine Aussagen über die Vorgänge in p-n-Randschichten gewinnen. Als Anwendung des Prinzips werden die Umwandlung von Strahlungsenergie in elektrische Energie in einem Photoelement und die Gleichrichtung behandelt. (Zfg.)

8768 R. H. Parmenter. Energy levels of a disordered alloy. Phys. Rev. (2) 104, 22—32, 1956, Nr. 1. (1. Okt.) (Princeton, N. J., Radio Corp., RCA Lab.) An Hand der Störungsrechnung wird die Energiebandstruktur von verdünnten Legierungen untersucht. Es zeigt sich, daß durch den Zusatz von Fremdatomen sowohl die Anisotropie der Flächen konstanter Energie als auch die scheinbare Elektronenmasse reduziert wird. Als Beispiel wird für Germanium-Silicium-Legierungen die Abhängigkeit der scheinbaren Elektronenmasse von der Zusammensetzung halbquantitativ berechnet.

8769 William P. Dumke. Spontaneous radiative recombination in semiconductors. Phys. Rev. (2) 105, 139-144, 1957, Nr. 1. (1. Jan.) (Chigaco, Ill., Univ., Midway Lab.) Vf. untersucht den Mechanismus der strahlenden Rekombination von Elektronen und Lochelektronen. Ausgehend von den Beziehungen für die Übergangswahrscheinlichkeiten von direkten und indirekten Übergängen der Elektronen aus dem Leitfähigkeits- in das Valenzband werden die Lebensdauern für die strahlende Rekombination von Elektronen und Löchern in beiden Fällen berechnet. Die Matrixelemente für die direkten und indirekten Übergänge werden für Ge und Si unter Berücksichtigung der scheinbaren Massen, die sich aus Zyklotronresonanz-Messungen ergeben, und mit den in der Nähe der Bandkante gemessenen optischen Konstanten bestimmt. Für indirekte Übergänge ergeben sich Lebensdauern von der Größenordnung einer Sekunde. Es wird gezeigt, daß im Germanium bei Zimmertemperatur die zeitliche Anzahl von Rekombinationen infolge direkter Übergänge etwas größer ist als diejenige infolge indirekter Übergänge. Appel.

8770 A. C. Beer, J. A. Armstrong and I. N. Greenberg. Evaluation of transport integrals for mixed scattering and application to galvanomagnetic effect. Phys. Rev. (2) 107, 1506—1513, 1957, Nr. 6. (15. Sept.) (Columbus, O., Battelle Mem. Inst.; Fort Monmouth, N. J., U. S. Army Sign. Engng. Lab.) Vff. haben die in der Theorie der galvanomagnetischen Effekte von nichtpolaren Halbleitern nach Johnson und Whitesell (Ber. 33, 633, 1954) sowie Appel (Ber. 33, 1784, 1954) auftretenden Parameterintegrale bei gemischter Streuung — Streuung der Ladungsträger an thermischen Gitterwellen und an ionisierten Störatomen — in Abhängigkeit von der magnetischen Feldstärke für eine große Anzahl von

Parameterwerten numerisch berechnet. An Hand der Ergebnisse werden der Hall-Effekt, die transversale magnetische Widerstandsänderung und die transversale Thermokraftänderung im Magnetfeld als Funktion von Feldstärke und Temperatur untersucht.

8771 M. S. Sodha and P. C. Eastman. Effect of neutral impurities on mobility in nondegenerate semiconductors. Phys. Rev. (2) 108, 1373—1375, 1957, Nr. 6. (15. Dez.) (Vancouver, Can., Univ., Dep. Phys.) Theoretische Untersuchung der Abhängigkeit der Beweglichkeit vom elektrischen Feld in einem nicht-entarteten Halbeiter unter Berücksichtigung der thermischen Streuung und der Streuung an ionisierten und neutralen Störstellen. Madelung.

8772 Mahendra Singh Sodha. Mobility of carriers in nondegenerate semiconductors at low electric fields. Phys. Rev. (2) 108, 1375—1376, 1957, Nr. 6. (15. Dez.) (Vancouver, Can., Univ., Dep. Phys.) Diskussion der Feldabhängigkeit der Beweglichkeit in nichtentarteten Halbleitern bei kleinen Feldstärken.

Madelung.

8773 R. J. Elliott. Intensity of optical absorption by excitons. Phys. Rev. (2) 108, 1384—1389, 1957, Nr. 6. (15. Dez.) (Reading, Engl., Univ., Phys. Dep.) Der Beitrag der Excitonen zur optischen Absorption in der Nähe der Absorptionskante in Halbleitern wird berechnet.

Madelung.

8774 William P. Dumke. Indirect transitions at the center of the Brillouin zone with application to InSb, and a possible new effect. Phys. Rev. (2) 108, 1419 bis 1425, 1957, Nr. 6. (15. Dez.) (Chicago, Ill., Univ., Midway Lab.) Erweiterung der Theorie der indirekten Übergänge auf den Fall, daß die Extrema des Leitungsund des Valenzbandes in der Mitte der Brillouin-Zone liegen. Anwendung dieser Theorie auf InSb.

Madelung.

8775 K. M. van Vliet. On the equivalence of the Fokker-Planck method and the freeenergy method for the calculation of carrier density fluctuations in semiconductors. Physica, 's Grav. 23, 248—252, 1957, Nr. 3. (März.) (Minneapolis, Univ. Minn., Dep. Elect. Engng.) Die Fokker-Planck-Methode für die Berechnung der Trägerdichteschwankungen in Halbleitern, welche in einer früheren Arbeit diskutiert worden war, wird auf einen Halbleiter angewendet, unter Berücksichtigung der Übergänge von Elektronen und Löchern zwischen dem Valenzband, dem Leitungsband und einer Art von Fehlstellen. Es wird gezeigt, daß die sich ergebenden Gleichungen mit den nach der thermodynamischen Methode der freien Energie von Burgess erhaltenen Beziehungen übereinstimmen.

Dehoust.

8776 Sheldon S. L. Chang. Relation between ratio of diffusion lengths of minority arriers and ratio of conductivities. Proc. Inst. Radio Engrs. N. Y. 45, 1019—1020, 1957, Nr. 7. (Juli.) (New York Univ., Dep. Elect. Eng.) Für die zwischen den Diffusionslängen der Minoritätsträger und den durch die Majoritätsträger allein bestimmten Leitfähigkeiten bestehende Beziehung  $(L_p/L_n)^2 = \sigma_p/\sigma_n$  wird eine Alternativform angegeben, nämlich  $\sigma_j L_j^2 = (kT/r) \cdot \mu_p \cdot \mu_n$ . Es bedeuten:  $\sigma_j =$  Leitfähigkeit der Majoritätsträger,  $L_j =$  Diffusionslänge der Minoritätsträger im j-Gebiet, r = Wiedervereinigungskoeffizient,  $\mu_n$ ,  $\mu_p =$  Beweglichkeiten der Elektronen und Löcher. Diese Form ist besonders dann vorteilhaft, wenn mehr als ein einziges p- und n-Gebiet vorliegen, wie es z.B. bei Transistoren der Fall ist. Die rechte Seite der Gleichung ist eine Konstante für den ganzen Kristallbereich.

8777 A. F. Ioffe. On thermal conduction in semiconductors. Suppl. Nuovo Cim. (10) 4, 702—715, 1956, Nr. 4. (Moscow, Acad. Sci. USSR.) Die Wärmeleitfähigkeit

k eines Halbleiters läßt sich nur in den einfachsten Fällen in Gitterschwingungsanteil kph und Elektronenanteil  $k_{\rm e}=L\sigma$  ( $\sigma$  elektrische Leitfähigkeit,  $L\sim T$  Konstante des Wiedemann-Franzschen Gesetzes):  $k=k_{\rm Ph}+k_{\rm e}$  aufteilen, nämlich bei Störstellenleitung mit nur einer Trägerart bis  $n<10^{20}$  cm $^3$ . Bei größerem nist wegen der Streuung der Ladungsträger an den Phononen  $k< k_{\rm Ph}+k_{\rm e}.$  Mit beginnender Eigenhalbleitung treten eine Reihe von Effekten auf, die den Zusammenhang zwischen k und  $\sigma$  ändern: 1. Diffusionsstrom von Elektronen-Loch-Paaren samt einer Reihe von Begleitprozessen, 2. Excitonenstrom, 3. Mitschleppen von Phononen durch Träger, Trägerpaare und Excitonen infolge Elektronen-Phononenstreuung, 4. Strahlung. Ausführliche Diskussion im Zusammenhang mit konkreten Beispielen.

- 8778 A. F. Ioffe, S. V. Airapetiants, A. V. Ioffe, N. V. Kolomoets and L. S. Stilbans. On increasing the efficiency of semiconductor thermocouples. Soviet Phys. Doklady 1, 132, 1956, Nr. 1. (Aug.) (Engl. Übers. aus: Doklady Akad. Nauk. SSSR, 106, 981, 1956, Nr. 6.) Nach der von A. F. Joffe ("Energetische Grundlagen der thermoelektrischen Batterien aus Halbleitern", Ausgabe Akad. Wiss. SSSR, 1950, russ.) entwickelten Theorie ist der Nutzeffekt von thermoelektrischen Generatoren und bei der thermoelektrischen Kühlung proportional dem Verhältnis zwischen der Beweglichkeit der Ladungsträger und der Wärmeleitfähigkeit des Kristallgitters. Das Optimum erreicht der Effekt bei einer Konzentration der Ladungsträger, bei der die Thermokraft rund  $\pm$  200  $\mu$ V/Grad wird. Hat man Materialien gefunden, die ungefähr diesen Bedingungen entsprechen, so kann man durch Einbau von Stoffen in das Kristallgitter unter geeigneten Umständen den Wärmewiderstand wesentlich erhöhen, während die für die Streuung der Elektronenwellen verantwortliche Störung der Gitterperiodizität nur geringfügig erhöht wird.
- 8779 A. G. Samoilovich and V. M. Kondratenko. On the theory of atomic semiconductors. Soviet Phys. JETP 4, 481—491, 1957, Nr. 4. (Mai.) (Engl. Übers. aus: J. exp. theor. Phys. (russ.) 31, 596—608, 1956, Okt.) (Chernovitzkii State Univ.) Auf der Basis des polaren Kristallmodells werden einige Fragen der Theorie der Lichtabsorption und der Photoleitsähigkeit in atomaren Halbleitern untersucht. Hierbei wird auch der Einfluß der Excitonen berücksichtigt.

Madelung.

- 8780 F. G. Bass and I. M. Tsidilikovskii. Theory of isothermal galvanomagnetic and thermomagnetic effects in semiconductors. Soviet Phys. JETP 4, 565—574, 1957, Nr. 4. (Mai.) (Engl. Übers. aus: J. exp. theor. Phys. (russ.) 31, 672—683, 1956, Okt.) Theoretische Behandlung der isothermen galvanomagnetischen und thermomagnetischen Effekte in isotropen Halbleitern in mittleren oder hohen Magnetfeldern.

  Madelung.
- 8781 G. Rickayzen. The validity of the hydrogen-like approximation for impurity levels. J. Electronics 1, 122—125, 1955, Nr. 2. (Baldock, Herts., Serv. Electron. Res. Lab.)
- 8782 H. F. Mataré and H. A. R. Wegener. Oriented growth and definition of medium angle semiconductor bicrystals. Z. Phys. 148, 631—645, 1957, Nr. 5. (22. Juli.) (Bloomfield, N. J., Tung-Sol Electr. Inc., Res. Lab.) Kantenversetzungen haben einen starken Einfluß auf die Eigenschaften von Kristallen, besonders dann, wenn die Versetzungen in geometrischen Figuren, wie bei Korngrenzen oder lineage, angeordnet sind. Die elektrischen Effekte hängen von der Zahl der freien Valenzen ab, die an einer solchen Grenze entstehen. Die Zahl der freien Valenzen wieder hängt eng mit dem Winkel zusammen, mit dem die beiden

Kristallbereiche aneinanderstoßen. Zur Untersuchung der Eigenschaften an inneren Oberflächen werden Bikristalle mit verschiedenen Winkeln zwischen den beiden Kristallbereichen gezogen. Das physikalische und metallurgische Verfahren hierzu wird beschrieben. Die Methoden zur Orientierung der beiden Kristallkeime und die dabei erreichbare Genauigkeit werden diskutiert. Die Ziehbedingungen für Bikristalle sind schwerer als bei normalen Einkristallen. Es wird gezeigt, daß Korngrenzen mit mittleren Abweichungswinkeln (von 1—25°) bei geeigneter Technik mit hoher Genauigkeit gezogen werden können. Eine Reihe von Mikroaufnahmen solcher Korngrenzenstrukturen werden gezeigt.

Henker.

Wolfram Bösenberg. Kokillenguß von dünnen, einkristallinen Germanium-Platten. Z. angew. Phys. 9, 347-349, 1957, Nr. 7. (Juli.) (Nürnberg, Standard Elektrik A.G., Gleichrichter- u. Bauelem. Werk, Lab.) Bei der Halbleitertechnologie werden aus Einkristallen mit definierter Orientierung der Kristallachsen kleine Plättchen herausgeschnitten. Dabei entsteht sehr hoher Schnittverlust. Um diesen zu vermeiden, wurde versucht, dünne Germaniumplatten im Kokillenguß herzustellen. Die Gießform bestand aus zwei Graphitteilen mit halbrundem Querschnitt, in die eine der Plattendicke entsprechende Vertiefung (0,2 bis 0,6 mm) eingefräst ist. In das untere Ende des Hohlraumes wurde ein Einkristallkeim gelegt, der von außen gekühlt war. In einen oben vorhandenen Trichter wurde das zu schmelzende Germanium gelegt. Das Schmelzen geschah im Wasserstoff von 10 Torr. Wegen der Oberflächenspannung des flüssigen Germaniums (600 dyn/cm am Schmelzpunkt) muß ein hydrostatischer Druck von rund 3 bis 5 cm Germanium angewendet werden. Nach dem Füllen wird die Form mit einer Geschwindigkeit von 1 bis 10 cm pro Stunde aus der Hochfrequenz-Heizspule herausgezogen. Die Güte der so erhaltenen Einkristalle ist nicht übermäßig groß. Aber schon bei den ersten Versuchen lag die Zahl der Ätzgruben bei 103 bis 10<sup>4</sup> cm<sup>2</sup>. Gleiche Kristallgüte, jedoch bessere Oberfläche erhält man in einer Form Henker. aus bekohltem Quarz.

K. Bohnenkamp und H.-J. Engell. Messungen der Impedanz der Phasengrenze Germanium-Elektrolyt. Z. Elektrochem. 61, 1184—1196, 1957, Nr. 9. (30. Nov.) (Düsseldorf, Max-Planck-Inst. Eisenf.) Es werden Messungen des Phasengrenzscheinwiderstandes an Germaniumelektroden in verschiedenen Elektrolyten durchgeführt. Der Einfluß von Temperatur und Licht wird untersucht. Die gemessenen Kapazitätswerte zeigen etwa den aus der Raumladungsverteilung im Germanium zu erwartenden Verlauf. Das zeigt, daß der größte Teil der angelegten anodischen Spannung in der Raumladung liegt. Die Absolutwerte der theoretischen Raumladungskapazität werden bei der höchsten verwendeten Meßfrequenz von 160 kHz erreicht. Die Meßwerte bei tieferen Frequenzen liegen höher. Bemerkenswert ist, daß die anodische Stromdichte nur von der Oberflächenkonzentration der Defektelektronen abhängt, aber nicht von der Dotierung des Germaniums oder den verschiedenen Elektrolyten. Die Kapazitätswerte der dotierten Proben liegen höher als beim Eigenleiter, zeigen sonst jedoch stärkere Abweichungen von den theoretischen Kurven. Die bei stärkerer anodischer Belastung an überschußleitenden Proben beobachteten Strom- und Kapazitätswerte entsprechen einer Verarmung bzw. Erschöpfung der Defektelektronen.

8785 G. Bartz und G. Weissenberg. Abbildung von p-n-Übergängen in Halbleitern mit dem Auflichtelektronenmikroskop. Naturwissenschaften 44, 229, 1957, Nr. 7. (Apr.) (Wetzlar, E. Leitz GmbH., Wiss. Abt.) Bei der Abbildung der Oberfläche eines Si-Einkristalls mit dem Auflicht-Elektronenmikroskop nach Bartz, Weissenberg und Wiscott (Proceedings of the International Conference on

1958

Electron Microscopy London 1954, 395—404) können p-n-Übergänge deutlich sichtbar gemacht werden. Die Abbildung ist um so kontrastreicher, je höher die am Übergang liegende Querspannung ist. Die Abbildung kann sowohl durch vor Erreichen des Objekts gespiegelte Elektronen als auch durch Sekundärelektronen vermittelt werden.

- 8786 B. N. Brockhouse and P. K. Iyengar. Normal vibrations of germanium by neutron spectrometry. Phys. Rev. (2) 108, 894—895, 1957, Nr. 3. (1. Nov.) (Chalk River, Ont., Can., Atomic Energy Can., Gen. Phys. Branch.) Untersuchung des akustischen Zweiges der Gitterschwingungen von Germanium mittels Neutronen-Spektroskopie.

  Madelung.
- 8787 D. Kleitman and H. J. Yearian. Radiation-induced expansion of semiconductors. Phys. Rev. (2) 108, 901, 1957, Nr. 3. (1. Nov.) (Lafayette, Ind., Purdue Univ.) Bestrahlung von GaSb, InSb und Ge mit 9-MeV-Deuteronen bei Temperaturen unterhalb—130°C verursachte bei den beiden erstgenannten Halbleitern eine deutliche Volumenvergrößerung durch Bildung von "thermal spikes".

  Madelung.
- 8788 G. C. Kuezynski and R. F. Hoehman. Light-induced plasticity in semiconductors. Phys. Rev. (2) 108, 946—948, 1957, Nr. 4. (15. Nov.) (Notre Dame, Ind., Univ., Metallurg. Dep.) Es wurde festgestellt, daß eine Bestrahlung einer n-Germanium-Oberfläche mit Licht im Wellenlängenbereich von 2 bis 4  $\mu$  die Härte einer Oberflächenschicht von ein bis zwei Mikron Tiefe um 10 bis 60 % vermindert. Ein schwächerer Effekt wurde in p-Germanium, n-InSb und InAs gefunden. Die Härteverminderung ist proportional der Lichtintensität und abhängig von der Oberflächenbearbeitung.
- 8789 C. Kolm, S. A. Kulin and B. L. Averbach. Studies on group III—V intermetallic compounds. Phys. Rev. (2) 108, 965—971, 1967, Nr. 4. (15. Nov.) (Lexington, Mass., Inst. Technol., Lincoln Lab.) Eingehende Untersuchung des Einflusses von Störstellen der IV. Gruppe des Periodischen Systems auf die Eigenschaften von GaAs und InSb, sowie der Mischkristallreihe InSb-GaSb.

  Madelung.
- 8790 H. P. R. Frederikse and W. R. Hosler. Galvanomagnetic effects in n-type indium antimonide. Phys. Rev. (2) 103, 1136—1145, 1957, Nr. 5. (1. Dez.) (Washington, D. C., Nat. Bur. Stand.) Die Magnetfeldabhängigkeit des Hall-Koeffizienten und der Widerstandsänderung von n-InSb wurde bei 78°K und 4,2°K untersucht. Die Ergebnisse bei schwachem Magnetfeld sind in Übereinstimmung mit der Annahme eines isotropen sphärischen Leitungsbandes. Bei starken Magnetfeldern muß die Bahnquantisierung der Elektronen berücksichtigt werden. Oszillationen in  $\Delta \varrho/\varrho$  bei tiefen Temperaturen werden diesem Effekt zugeschrieben.
- 8791 H. P. R. Frederikse and W. R. Hosler. Galvanomagnetic effects in p-type indium antimonide. Phys. Rev. (2) 108, 1146—1151, 1957, Nr. 5. (1. Dez). (Washington, D. C., Nat. Bur. Stand.) Leitfähigkeit und Hall-Koeffizient von p-InSb wurden als Funktion des Magnetfeldes gemessen. Die Ergebnisse der Messungen bei 78°K sind in guter Übereinstimmung mit dem Modell des Valenzbandes, wie es auch für Ge und Si angenommen wird. Bei Heliumtemperaturen wurde eine negative Widerstandsänderung im Magnetfeld gefunden, welche jedoch mit wachsendem Magnetfeld ihr Vorzeichen wechselt. Vorzeichen und Größe der Widerstandsänderung sind außerdem noch von der Oberflächenbehandlung der Probe abhängig.

- 8792 J. A. Burton. Electron emission from avalanche breakdown in silicon. Phys. Rev. (2) 108, 1342-1343, 1957, Nr. 5. (1. Dez.) (Murray Hill, N. J., Bell Teleph. Lab.) Eine neue Art von Elektronenemission wurde beobachtet, die darin besteht, daß die energiereichen Elektronen, die durch Stoßionisation in einem Si-p-n-Übergang entstehen, aus der Oberfläche austreten. Voraussetzung hierzu war, daß die Austrittsarbeit der Si-Oberfläche durch eine adsorbierte Cs-Schicht erniedrigt wurde. Madelung.
- 8793 G. G. Macfarlane, T. P. McLean, J. E. Quarrington and V. Roberts. Fine structure in the absorption-edge spectrum of Ge. Phys. Rev. (2) 108, 1377—1383, 1957, Nr. 6. (15. Dez.) (Malvern, Engl., Roy. Radar Est.) Genaue Messungen des Absorptionsspektrums von Ge in der Nähe der Absorptionskante bei Temperaturen zwischen 4,2°K und 291°K zeigten eine Feinstruktur in der Adsorption auf der langwelligen Seite der Absorptionskante. Diese Feinstruktur wird analysiert und läßt auf indirekte Übergänge sowie die Bildung von Excitonen schließen. Madelung.
- 8794 R. O. Carlson. Double-acceptor behavior of zinc in silicon. Phys. Rev. (2) 108, 1390—1393, 1957, Nr. 6. (15. Dez.) (Schenectady, N. Y., Gen. Electr. Res. Lab.) Neben dem bereits bekannten Akzeptorterm des Zn in Si (0,31 eV oberhalb des Valenzbandes) wird ein zweiter Term 0,55 eV unterhalb des Leitungsbandes nachgewiesen. Madelung.
- 8795 Solomon Zwerdling, Benjamin Lax and Laura M. Roth. Oscillatory magnetoabsorption in semiconductors. Phys. Rev. (2) 108, 1402-1408, 1957, Nr. 6. (15. Dez.) (Lexington, Mass., Inst. Technol., Lincoln Lab.) Ausführlicher Bericht über die bereits in einer Reihe von kurzen Veröffentlichungen publizierten Arbeiten der Vff. zur oszillatorischen Magneto-Absorption in Halbleitern. Angabe sehr genauer Werte der Breite der verbotenen Zone bei direkten Übergängen für Ge, InSb und InAs, sowie der scheinbaren Elektronenmasse in Ge bei k = 0. Madelung.
- 8796 C. B. Collins and R. O. Carlson. Properties of silicon doped with iron or copper. Phys. Rev. (2) 108, 1409—1414, 1957, Nr. 6. (15. Dez.) (Schenectady, N. Y., Gen. Electr. Res. Lab.) Ergebnisse über die Wirkung von Fe und Cu in Si werden mitgeteilt und zusammen mit den in der Literatur vorliegenden Ergebnissen über tief liegende Terme in Si diskutiert.
- 8797 Gerhard Backenstoss. Conductivity mobilities of electrons and holes in heavily doped silicon. Phys. Rev. (2) 108, 1416—1419, 1957, Nr. 6. (15. Dez.) (Murray Hill, N. J., Bell Teleph. Lab.) Untersuchung der Beweglichkeiten der Elektronen und Löcher in Silicium im Bereich vorherrschender Störstellenstreuung.

Madelung.

- 8798 B. Ross and J. R. Madigan. Thermal generation of recombination centers in silicon. Phys. Rev. (2) 108, 1428—1433, 1957, Nr. 6. (15. Dez.) (Evanston, Ill., Hoffman Semicond. Div.) Messungen der Lebensdauern in Si-p-n-Übergängen nach abwechselndem Tempern und Abschrecken.
- 8799 J. C. Woolley, B. A. Smith and D. G. Lees. Solid solution in the GaSb-InSb system. Proc. phys. Soc. Lond. (B) 69, 1339-1342, 1956, Nr. 12 (Nr. 444 B). (1. Dez.) (Univ. Nottingham, Dep. Phys.) GaSb-InSb-Legierungen wechselnder Zusammensetzung werden hergestellt durch Zusammenschmelzen unter Vakuum. Wird nach Erhitzen auf 1000°C in Wasser abgeschreckt, so zeigen die Röntgenpulverdiagramme breite Banden und zwar je getrennt für GaSb und InSb, wobei jede Komponente von der anderen noch etwas gelöst enthält, und zwar

löst GaSb mehr InSb als umgekehrt. Nach langdauerndem Tempern (bis 1300 h) bei von 480°C auf 540°C wachsender Temperatur werden die Banden schärfer und wirken schließlich paarweise zu je einer scharfen Linie zusammen entsprechend einer Mischphase mit Blendestruktur. Das Verhalten der ungetemperten Systeme unterscheidet sich vom System Ge-Si (Stöhr und Klemm), wo zunächst ein Zweiphasensystem mit je zwei scharfen Linien auftritt.

P. Brauer.

- 8800 P. T. Landsberg. Lifetimes of excess carriers InSb. Proc. phys. Soc. Lond. (B) 70, 1175—1176, 1957, Nr. 12 (Nr. 456B). (1. Dez.) (Aberdeen, Marischall Coll.) Eine Diskrepanz der Ergebnisse verschiedener Messungen der Lebensdauer bei strahlenden Übergängen in InSb wird diskutiert. Madelung.
- 8801 R. L. Bell. The crystalline perfection of some semiconductor single crystals. J. Electronics 3, 487-493, 1957, Nr. 5. (Nov.) (Malvern, Worcs., Roy. Radar Establ.) Zur Untersuchung der Homogenität von Einkristallen wird die Verbreiterung von Laue-Interferenzen nach Guinier und Tennevin (Ber. 30, 50, 1951) herangezogen. Mit der beschriebenen Apparatur lassen sich Störungen oberhalb  $pprox 2 \cdot 10^3$  P entsprechend einer minimalen Ausdehnung der Interferenzlinie von 0,25 mm gut erkennen (P = Ätzpunkte/cm²). Für P ≈ 106 wird z. B. ≈ 12 mm erhalten. Schon leichte mechanische Spannungen ergeben einen großen Effekt; so wurde nach dem Haltern des Kristalls mit einem harten Klebstoff bereits eine Änderung des Bildes gefunden. Schätzt man mittels kontinuierlicher Gitterkrümmung oder statistischer Fehlordnung die Linienveränderung ab, kommt man bei Germanium und Silicium auf die gleiche Größenordnung, wie sie die Ätzbilder zeigen. Die Anwendung auf andere Halbleiter, für die bis jetzt noch keine selektiven Atzverfahren bekannt sind, ist damit Beneking. gegeben.
- 8802 C. A. Hogarth and P. J. Hoyland. Radial variation of minority carrier lifetime in vacuum grown germanium single crystals. J. Electronics (1) 4, 60—62, 1958, Nr. 1. (Jan.) (Gt. Malvern, Worcs., Roy. Rad. Etabl.) Kürzlich wurde von Green et al. gezeigt, daß eine radiale Abhängigkeit der Lebensdauer von Ladungsträgern mit kleinen Lebensdauern im Silicium existiert, wenn das Silicium im Vakuum ist. In dieser Arbeit wird der analoge Effekt für Germanium gezeigt.
- 8803 G. L. Kelster and H. V. Stewart. The effect of nuclear radiation on selected semiconductor devices. Proc. Inst. Radio Engrs. N. Y. 45, 931—937, 1957, Nr. 7. (Juli.) (Seattle, Wash., Boeing Airplane Co.) Der Einfluß von Kernstrahlung auf verschiedene Germanium- und Silicium-Halbleiterelemente wurde durch Messung geeigneter, bezüglich Kristallstrukturänderungen besonders empfindlicher Parameter untersucht. Der y-Strahlungsfluß des Testreaktors, in dem die Messungen durchgeführt wurden, betrug ungefähr 2.106 roentgen/h, die meisten Testexperimente mit Neutronen wurden bei einem Fluß von etwa 5 · 10° schnellen Neutronen/cm² ausgeführt. Bei dem genannten y-Strahlfluß wurden Photovoltaspannungen an p-n-Schichten der Transistoren und Dioden von 10 bis 50 mV. gemessen. Die Elemente, deren Minoritätsträger größere Lebensdauer aufwiesen, zeigten höhere Spannungen. Bei Rauschmessungen wurde ein Anstieg des Pegels um etwa 25 db beobachtet, was auf die in der Kollektorsperrschicht erzeugten Minoritätsträger und Oberflächeneffekte zurückgeführt wird. Zeitlich veränderliche Effekte bei Bestrahlung zeigen vor allem die Kurven für den Kollektorverluststrom, die Durchlaßcharakteristik von Dioden mit großem Wirkungsgrad und die Stromverstärkung bei Transistoren. Aus dem Verlauf der Kurven folgert man, daß die Effekte mit Änderungen der Oberflächeneigenschaften zusammenhängen. Hochfrequenztransistoren mit dünner Basisschicht sind am

meisten gegen Kernstrahlung resistent, Ge-Transistoren sind widerstandsfähiger als äquivalente Si-Typen. Bleibende Änderungen bei Ge-Elementen werden durch die Abnahme der Minoritätsträgerlebensdauer und durch die Umwandlung von n-Typ in p-Typ Material bewirkt. Bei Silicium werden permanente Strahlenschäden ebenfalls durch die Abnahme der Lebensdauer der Minoritätsträger hervorgerufen, der Widerstand strebt aber dem Wert der Eigenleitung zu.

Dehoust.

8804 E. I. Abaulina-Zavaritskaia. Electrical properties of germanium at very low temperatures. Soviet Phys. JETP 3, 984-985, 1957, Nr. 6. (Jan.) (Engl. Übers. aus: J. exp. theor. Phys., Moskau 30, 1158-1160, 1956, Juni.) (Moscow State Univ.) Die Widerstandsmessungen an Germanium bei tiefsten Temperaturen werden bis 0,15°K (durch adiabatische Entmagnetisierung von Fe-NH<sub>4</sub>-Alaun erzielt) ausgedehnt. Proben, deren Widerstand bei 290°K 1 \( \Omega \) cm beträgt, zeigen im Intervall von 1,0 bis 0,15°K einen nochmaligen Abfall der  $\rho(1/T)$ -Kurven, d. h. eine weitere Abnahme der Aktivierungsenergie. Dieser Umstand macht sie gegen sehr kleine Oberflächeneffekte empfindlich. So erniedrigt Strahlung von Raumtemperatur q um den Faktor 10. Die Messungen erfolgen bei einer elektrischen Feldstärke von 50 bis 100 mV/cm; bei höheren Feldstärken wird, wie schon F. J. DARNELL und S. A. FRIEDBERG (Ber. 35, 2472, 1956) beobachtet hatten, der Widerstand durch das Feld stark herabgesetzt. Bei 0,15°K und  $E \approx 10$  V/cm findet Vf. eine Verminderung des Widerstandes von  $10^{12}$  auf  $10^7 \Omega$  cm. K. M. Koch.

8805 G. Harbeke und G. Lautz. Ultrarotmessungen über die Temperaturabhängigkeit der Elektronenaktivierungsenergie in dreiwertigen Telluriden. Optik, Stuttgart 14, 547-554, 1957, Nr. 12. (Braunschweig, TH., Inst. techn. Phys.) Aus einer größeren Versuchsreihe zur Bestimmung der elektrischen und optischen Eigenschaften von Metall-Telluriden berichten Vff. über die Ultrarotabsorption von kristallinen Plättchen aus Ga<sub>2</sub>Te<sub>3</sub> und In<sub>2</sub>Te<sub>3</sub>. Das Meßverfahren, die Meßapparatur für einen Temperaturbereich von 20°K bis 650°K und die Auswertemethode zur Ermittlung der optischen Konstanten aus der Dickenabhängigkeit der Durchlässigkeit und Reflexionsmessungen werden beschrieben. Die temperaturbedingte spektrale Verschiebung des steilen Anstiegs der Absorption ermöglicht eine Aussage über die Temperaturabhängigkeit der Breite der verbotenen Zone im Bändermodell der Halbleiter. Oberhalb Raumtemperatur besteht ein linearer Zusammenhang zwischen Aktivierungsenergie und Temperatur; die Geradenneigungen entsprechen -7,7 · 10-4 eV/Grad für Ga, Te, bzw. -5,9·10-4 eV/Grad für In<sub>2</sub>Te<sub>3</sub>. Unterhalb Raumtemperatur ist die Variation der Bandkanten mit der Temperatur merklich geringer. Die Ergebnisse werden mit photoelektrischen Untersuchungen anderer Autoren und mit elektrischen Messungen der Vff. vergleichsweise diskutiert. Lautz.

8906 J. C. Brice, P. C. Newman and H. C. Wright. The indium-selenium system. Brit. J. appl. Phys. 9, 110—111, 1958, Nr. 3. (März.) (Salfords, Surrey, Mullard Res. Labs.) Die polykristallinen Legierungen In<sub>2</sub>Se<sub>3</sub>, InSe und In<sub>2</sub>Se wurden im Vakuum erschmolzen. Die Ergebnisse von MIYAZAWA und GORYUNOVA, daß die Verbindungen In<sub>2</sub>Se<sub>3</sub> und InSe Halbleiter sind, wurden bestätigt. Es gelang nicht, In<sub>2</sub>Se als einheitliche Phase zu erhalten; Röntgenanalysen ergaben hier die Existenz von zwei oder drei Phasen, von denen eine freies Indium war. Elektrische und andere physikalische Messungen zeigten bei In<sub>2</sub>Se<sub>3</sub> eine bei 196°C liegende Phasenumwandlung an.

8007 I. A. Myasnikov. A study of the relationship between the electroconductivity and the adsorption and sensibilizing properties of zinc oxide. I. Electronic phenomena

in ZnO on adsorption of oxygen. J. phys. Chem., Moscou (russ.) 31, 1721-1731, 1957, Nr. 8. (Orig. russ. m. engl. Zfg.) Vf. stellt eine quantitative Beziehung für den Zusammenhang zwischen der Adsorption von Sauerstoff an ZnO und der elektrischen Leitfähigkeit des ZnO bei niedrigen Sauerstoffdrucken auf. Kinetische Gleichungen für die elektrische Leitfähigkeit des ZnO bei Ad- und Desorption von Sauerstoff werden angegeben (Aktivierungsenergien der Ad- und Desorption 8 bis 9 bzw. 23 kcal/Mol; Adsorptionswärmen aus den kinetischen Daten 15 kcal/ Mol und aus Gleichgewichtsdaten 12 bis 14 kcal/Mol). Als Zwischenstufe der Sauerstoffadsorption wird offenbar eine instabile Verbindung die Kinetik der elektrischen (Zn+O2) gebildet. Weiter untersucht Vf. Leitfähigkeit von ZnO bei der Photodesorption von Sauerstoff und die Abhängigkeit der Leitfähigkeit von der Bestrahlungsintensität in Gegenwart von Sauerstoff. Auf Grund der Ergebnisse wird angenommen, daß beide Vorgänge nach demselben Mechanismus für den Transport der vom Kristall absorbierten Strahlungsenergie zu den photoaktiven Zentren Zn+ und Zn+O- erfolgen. Für den photodesorbierten Sauerstoff ist nach den Ergebnissen ein angeregter Zustand anzunehmen. - Der Einfluß von UV-Licht auf die heterogene Oxydation von gasförmigem Alkohol wird im Gasstrom untersucht. Im Bereich der langwelligen Absorption (3600 Å) des ZnO beschleunigt dieses die Oxydation des Alkoholdampfes durch Sauerstoff, was hauptsächlich auf die Bildung von angeregten O<sub>2</sub>-Molekeln auf der ZnO-Oberfläche zurückgeführt wird. — Bei der Dehydrierung von iso-Propylalkohol ergibt sich ein linearer Zusammenhang zwischen der elektrischen Leitfähigkeit und der katalytischen Aktivität des ZnO Der Zusammenhang dieses Befundes mit der physikalischen Adsorption und den Halbleitereigenschaften des ZnO wird diskutiert.

8808 L. M. Shamovskii, A. A. Dunina and M. I. Gosteva. Hole conductivity in silver bromide. Soviet Phys. Doklady 1, 124-127, 1956, Nr. 1. (Aug.) (Engl. Übers, aus: Doklady Akad. Nauk. SSSR 106, 830, 1956, Nr. 5.) (All-Union Miner. Res. Inst.) Die Leitfähigkeit von AgBr-Einkristallen in Bromdampf, dessen Druck bis zu 3 at gesteigert werden kann, wird bei Temperaturen bis zu 600°C gemessen. Die durch die Yerfärbung im Bromdampf bedingte zusätzliche Leitfähigkeit wird durch  $\Delta \sigma = 1.82 \cdot 10^2 \, \text{fp}_{\text{Br}_*} \cdot \text{exp} \, (-13520/\text{RT}) \, \Omega^{-1} \, \text{cm}^{-1} \, \text{dar}$ gestellt, ist also bei T = const proportional der Quadratwurzel aus dem Dampfdruck des Brom. Vff. bringen diese Abhängigkeit mit dem chemischen Gleichgewicht zwischen Br-Molekülen und Löchern (wobei Zwischenprozesse übergangen werden) einerseits, Löchern, Kationenfehlstellen und V<sub>1</sub>-Zentren (= Assoziationsprodukte von Löchern und Kationensehlstellen) andererseits in Zusammenhang. Sie versuchen zu beweisen, daß die Br-Atome nicht in das Gitter des Kristalls eindringen, sondern an Versetzungslinien, Korngrenzen usw. adsorbiert werden. Auch das Absorptionsspektrum des verfärbten Kristalls soll diese Schlüsse erhärten, die Übereinstimmung mit der von Mollwo für die Alkalihalogenide aufgestellten empirischen Formal vd² = const wird als Zufall bezeichnet. K. M. Koch.

8809 J. Woods. Changes in conductivity resulting from breakdown in cadmium sulphide single crystals. Proc. phys. Soc. Lond. (B) 69, 975—980, 1956, Nr. 10 (Nr. 442 B). (1. Okt.) (Wembley, Middlesex, Gen. Elect. Comp. Ltd., Res. Labs.) An CdS-Einkristallen können, wie schon von Boer, Kümmel und Rompe gefunden (Z. phys. Chem. 200, 180, 1952) sowohl Feld- als auch Wärmedurchschlag beobachtet werden. Zunächst tritt ersterer auf (bei fast isolierendem Kristall und hoher Feldstärke) mit der Folge: Stromvergrößerung und Temperaturerhöhung (rote "Lumineszenzblitze"). Die Stromspannungscharakteristik bekommt dann negative Neigung (grüne Lumineszenz, bei Steigung des Stromes

über 0,5 mA: rote Lumineszenz). Dabei tritt irreversible Widerstandsverkleinerung auf, demzufolge Leistungsaufnahme und Temperatur wieder sinken. Wird der Strom jetzt vergrößert, so tritt Wärmedurchschlag auf. Auch die Photoleitung "durchschlagener" Kristalle erweist sich als vergrößert, ihre langwellige Grenze ins Ultrarot verschoben. Die Resultate sind zum größeren Teil in Übereinstimmung mit Diemer (Ber. 33, 2953, 1954).

P. Brauer.

A. K. Jonscher. p-n-p-n switching diodes. J. Electronics 3, 573—586, 1957, Nr. 6. (Dez.) (Wembley, England, General Elect. Comp. Ltd., Res. Labs.) Über Moll u. A. (Ber. 38, 1600, 1957) hinausgehend wird die pnpn-Struktur analysiert und experimentell an Silicium geprüft. Die theoretische Behandlung in Form von drei hintereinandergeschalteten Diodenstrecken, Lösen der Diffusionsgleichungen für die jeweiligen Minoritäten, Berechnung des Spannungsabfalles an den pn-Übergängen aus der Forderung gleichen Stromes im Kreis führt zu folgendem Ergebnis: Abhängig von der Geometrie kann die Gesamtkennlinie entweder einer Diodenkennlinie entsprechen (Moll) oder aber der von zwei hintereinander in umgekehrter Polung geschalteten Dioden, bei denen sich insgesamt die Sperräste zeigen. Dies Modell, welches nur auf Grund der Diffusionsströme aufgestellt ist, gibt keine Möglichkeit, die beobachteten Schaltereigenschaften zu erklären. Erst wenn man die bei großen Stromdichten innerhalb der einzelnen Basisabschnitte wirksamen elektrischen Feldstärken und den dort vorhandenen Dichtegradienten der Träger berücksichtigt, werden die "Fluß"-Polungen verständlich. Die in die Umschaltdauer eingehenden Effekte werden kurz gestreift. Beneking.

8811 Harold L. Armstrong. A theory of voltage breakdown of cylindrical p-n junctions, with applications. Trans. Inst. Radio Engrs, N. Y. ED-4, 15—16, 1957, Nr. 1. (Jan.) (Nat. Res. Council of Canada, Radio a. Elect. Eng. Div.) Die Lösung der Potentialgleichung für zylindersymmetrische pn-Dioden führt bei gegebenem Material zu einem vom Radius der Grenzschicht abhängigen Wert der Feldstärke. Sind solche zylinderförmige "Kanten" an der Grenze pn vorhanden, können sie die wirksame Durchbruchspannung bestimmen, da dort die Feldstärke am größten ist.

Beneking.

8812 Joseph T. Maupin. The tetrode power transistor. Trans. Inst. Radio Engrs, N. Y., ED-4, 1—5, 1957, Nr. 1. (Jan.) (Minneapolis 8, USA, Honeywell Regulator Co.) Bei üblichen legierten Leistungstransistoren fällt die Stromstärkung nach höheren Strömen zu unzulässig ab. Dafür sind verantwortlich (1) der quer im Basis-Laufraum vorhandene Widerstand, der dort eine räumliche Stromänderung bewirkt (Verschiebung an den Rand des Emitters in Richtung des kleinsten Basiswiderstandes), (2) die Verringerung des Gehaltsfaktors mit höherer Aussteuerung, (3) die erhöhte Rekombination. Ordnet man den Emitter ringförmig an, kann man zwei Basis-Elektroden anbringen; die eine (a) innerhalb des Emitterringes, die andere (b) als zweiten Ring außerhalb davon. Die so konstruierte Tetrode ermöglicht (1) zu verkleinern und bei Anlegen einer Spannung zwischen (a), (b) die Verhältnisse in der Basis zu steuern. Man erhält damit eine Bauform, die wesentlich linearer arbeitet als eine normale Ausführung.

Beneking.

8813 James W. Easley. The effect of collector capacity on the transient response of junction transistors. Trans. Inst. Radio Engrs, N. Y. ED-4, 6—14, 1957, Nr. 1. (Jan.) (Whippany, N. J., Bell Telephone Labs.) Mittels Laplace-Transformation wird im Anschluß an Moll (Ber. 35, 2138, 1956) der Einfluß der Kollektor-Sperrschichtkapazität  $C_{\rm c}$  auf das Ausgangsverhalten bei Anlegen einer Sprungfunktion am Eingang bei Block-, Emitter- und Kollektorschaltung untersucht. Das Ergebnis zeigt, daß die für den Ausgangswiderstand  $R_{\rm L}=0$  gefun-

denen  $\tau$ -Werte nach Moll (l. c.) mit  $(1+\omega_a\,R_L\,C_c)$  zu multiplizieren sind. Dabei sind die charakteristischen Zeitkonstanten  $\tau$  auch großer Aussteuerung in genügender Weise durch die normalen Vierpolwerte wiederzugeben, wenn man noch die Änderung der  $\alpha$ -Grenzfrequenz  $\omega_a/2\pi$  und von  $C_c$  mit der Kollektorspannung berücksichtigt. Beneking.

8814 Jakob Zawels. Base-width modulation and the high-frequency equivalent circuit of junction transistors. Trans. Inst. Radio Engrs, N. Y. ED-4, 17—22, 1957, Nr. 1. (Jan.) (Pretoria, S. Africa, S. A. Iron a. Steel Ind. Corp., Ltd.) Ausgehend von dem "natürlichen" Ersatzschaltbild eines Flächentransistors, bei dem die Diffusion durch die Basis durch eine Leitung dargestellt ist (s. z. B. J. Zawels, Ber. 36, 887, 1957) werden viele in der Literatur anzutreffende demgegenüber vereinfachte Schaltbilder miteinander verglichen. Als Maß könnte einerseits die Genauigkeit der Vorhersage des Meßergebnisses, andererseits die Anzahl der verwendeten (frequenzunabhängigen) Schaltelemente sein. Es scheint, als ob man im Ersatzschaltbild acht unabhängige Werte benötigt, um über den gesamten Betriebsfrequenzbereich den Transistor befriedigend zu beschreiben. Beneking.

8815 A. R. Molozzi, D. F. Page and A. R. Boothroyd. Measurement of high-frequency equivalent circuit parameters of junction and surface barrier transistors. Trans. Inst. Radio Engrs, N. Y. ED-4, 120—125, 1957, Nr. 2. (Apr.) (Lond., Imperial Coll., Elect. Eng. Dept.) Die Elemente des Ersatzschaltbildes von Flächentransistoren nach Early (Bell Syst. tech. Journ. 32, 1271, 1953) werden mit Brückenmethoden ermittelt. Die Ergebnisse verschiedener Meßverfahren an SB-Transistoren und normalen legierten Typen stimmen befriedigend überein. Zunächst werden die NF-Werte gemessen. Dann wird der Basisvorwiderstand bei hoher Frequenz gesondert ermittelt, außerdem sein Produkt mit der Kollektorkapazität nach Angell und Keifer (Proc. I. R. E. 41, 1709, 1953). Die Grenzfrequenz f<sub>ao</sub> wird indirekt bei relativ niederer Frequenz bestimmt. Dazu wird der Eingangsscheinwiderstand des Transistors zwischen Emitter und Kollektor bei leerlaufender Basis gemessen. Kennt man die NF-Werte der entsprechenden Ersatzschaltung, läßt sich fao berechnen.

Beneking.

- 8816 J. R. A. Beale, W. L. Stephenson and E. Wolfendale. A study of high-speed avalanche transistors. Proc. Instn elect. Engrs (B) 104, 394—402, 1957, Nr. 16. (Juli.) (Mullard Res. Labs.) Konventionelle legierte Transistoren wurden mit hohen Kollektorspannungen betrieben. Dabei ergab sich, daß gewisse Exemplare sich wie Zweipole mit negativem Widerstand verhielten und Kippschwingungen ausführten. Eingehende Untersuchungen zeigten, daß die fallende Charakteristik auf eine Kombination des Durchgriffs der Sperrzone durch die Basis (punchthrough) und Lawinenbildung in der Kollektorsperrschicht zurückzuführen ist. Die Kollektoranstiegszeit war < 0,01 µs. Die Eigenschaften von Transistoren, die zu Relaxationsschwingungen imstande sind, werden beschrieben und einige Schaltungen diskutiert.
- 8817 J. Torkel Wallmark. Influence of surface oxidation on alpha  $_{cb}$ , of germanium p-n-p transistors. R.C.A. Rev. 18, 255—271, 1957, Nr. 2. (Juni.) (Princeton, N. J., RCA Lab.) Es wird gezeigt, daß die Oberflächenoxydation von Germanium einen wesentlichen Einfluß auf die Oberflächenrekombination und dadurch auf das Stromübertragungsverhältnis  $\alpha_{cb}$  eines Germanium p-n-p-Transistors ausübt. Die Testtransistoren wurden zunächst in Kalilauge elektrolytisch geätzt. Dadurch bildete sich eine dünne hydratisierte Germanium-Monoxyd-Dioxyd-Schicht, die eine niedrige Oberflächenrekombination und ein hohes Stromverhältnis ergab. Durch nachfolgende anodische Oxydation wird die Ge-O<sub>2</sub>-

Schicht verstärkt, wodurch das Stromverhältnis abnimmt. Mit steigender Temperatur nimmt die Wachstumsgeschwindigkeit der Oxydationsschicht zu. Die experimentellen Ergebnisse über das zeitliche Wachstum der Oxydation werden in dem untersuchten Temperaturbereich von Zimmertemperatur bis 125°C nur von der sogenannten kubischen Wachstumsgleichung richtig wiedergegeben. Da die Wachstumsgeschwindigkeit anfänglich sehr groß ist, und mit der Zeit dann abnimmt, scheint es für die Fertigung vorteilhaft, wenn man die Transistoren einer geeigneten Wärmebehandlung unterzieht.

- 8818 J. L. Leroy et C. Mabboux. La modulation des courants continus par interrupteur à transistors. Suppl. zu J. Phys. Radium 18, 135 A—136 A, 1957, Nr. 11. (Nov.) (Caen, Fac. Sci., Lab. Phys.)
- 8819 P. Csokán. Beitrag zur Frage der Stromverteilung in konzentrierten Elektrolyt-Lösungen. Metalloberfläche 11, 285—288, 1957, Nr. 9. (Sept.) Vf. bringt in einem Elektrolytbad zwischen Kathode und Anode einen Leiter und findet, daß die Abscheidungsflecken auf der der Anode zugewandten Seite des Leiters und die Oxydationsflecken auf der anderen Seite mit steigender Stromdichte jeweils einem größten Durchmesser zustreben.
- 8820 T. H. E. Bryant and E. H. Grant. Ionic conductivity of potassium and rubidium chloride solutions at microwave frequencies. Proc. phys. Soc. Lond. 71, 134—135, 1958, Nr. 1 (Nr. 457). (1. Jan.) (London, Middlesex Hosp. Medic. School, Dep. Phys. Appl. Med.) Die Messungen erfolgten bei einer Wellenlänge von 16,7 cm an 0,05-normalen Lösungen bei 20°C. Die Niederfrequenz-Ionenleitfähigkeit wurde unter Benutzung einer 1 kHz-Brücke mit Eintauchelektroden gemessen. Obgleich die tatsächliche Größe der Leitfähigkeitszunahme bei 16,7 cm etwas unsicher blieb, werden die Ergebnisse als Stütze für die Vorstellungen von LITTLE und SMITH (Ber. 34, 982, 1955) gewertet, die den Grund für eine solche Erhöhung in der Wechselwirkung der einzelnen Ionen mit den Wassermolekülen in ihrer Hydrathülle sehen.
- 8821 B. H. Zitka. The conductivity of the middle portion of the canal of condensed discharges. Czech. J. Phys. 7, 175—190, (189), 1957, Nr. 2. (Orig. russ. m. engl. Zfg.) (Prague, Czechosl. Acad. Sci., Inst. Tech. Phys.) Das Plasma eines in freier Luft zwischen Kohleelektroden überschlagenden kondensierten Funkens (Dauer einer Halbschwingung 30 bis  $500~\mu$  s) wird etwa in der Mitte zwischen den Elektroden mit Sonden untersucht. Für die Größe und den zeitlichen Verlauf der effektiven elektrischen Leitfähigkeit in Abhängigkeit von der Stromstärke wird eine empirische Formel aufgestellt, die im Mittel über mehrere Funken im Bereich von 500 bis 10000 A Spitzenstrom gilt.

Lochte-Holtgreven.

8822 Karel Sobra. Current densities in the anode spots of spark discharges in air at atmospheric pressure. Czech J. Phys. 7, 311—319, 1957, Nr. 3. (Orig. russ. m. engl. Zfg.) (Prague, Acad. Sci., Inst. Tech. Phys.) Die Anodenbrennflecke von Funkenentladungen in freier Luft werden mit Kurzzeitphotographie aufgenommen. Während der ganzen Entladung bleibt die Stromdichte in den Brennflecken, die entsprechend ihre Größe ändern, konstant. Bei kubisch kristallisierendem Anodenmaterial sind die Flecke rund, sonst fein verästelt. Nimmt man die Goldschmidtschen Atomradien und teilt die Fleckenfläche durch die Anzahl der Oberflächenatome, so ergibt sich jeweils ein fester Stromdichtewert pro Atom für eine Anzahl von Materialien. Lochte-Holtgreven.

8823 M. I. Large. A relaxation oscillation maintained by discharge corona. Nature, Lond. 179, 707—708, 1957, Nr. 4562. (6. Apr.) (Cambridge, Cavendish Lab.)

Bei Koronaentladungen zwischen Drahtspitzen und Platten treten Schwingungen der Spitzen auf. (Ähnliche Effekte bei Leitungen!) Die Schwingungen hängen ab vom Koronastrom und dem Abstand und Querschnitt des Drahtes.

— Bei Auslenkung der Spitze treten infolge der umgebenden Raumladung rücktreibende elektrostatische Kräfte auf. Aufstellung der Bewegungsgleichung.

— Anwendung des Effektes für Schauversuche.

Zückler.

8824 H. J. Kaeppeler. Zum Problem des Energietransports in chemisch reagierenden Plasmen. Z. Phys. 148, 425—434, 1957, Nr. 4. (22. Juni.) (Stuttgart-Flughafen, Forschungsinst. Phys. Strahlantr.) Ausgegangen wird von den makroskopischen Erhaltungssätzen, doch werden viele Einzelheiten, vor allem bei nichtisothermen Plasmen, aus der Statistik übernommen, wobei auch die Abweichungen von der Maxwellschen Geschwindigkeitsverteilung beachtet werden. Die Resultate sollen dazu verhelfen, die praktisch wichtigen Funktionen des Energietransports in reagierenden Plasmen näherungsweise zu herechnen.

Just.

- 8825 H. Dreeskamp. Über Stickstoffionen im Plasma. Z. Naturf. 12a, 876—881, 1957, Nr. 11. (Nov.) (Bonn, Univ., Inst. Phys. Chem.) Mit Hilfe eines kleinen doppeltfokussierenden Massenspektrometers wird nachgewiesen, daß die aus dem Plasma einer Stickstoffniederdruckentladung effundierenden Ladungsträger nur aus N+- und N2+-Ionen bestehen. Das Verhältnis j (N+)/j (N2+) liegt für Entladungsströme  $3 \leqslant J \leqslant 120 \text{ mA}$  und Entladungsdrucke  $0.03 \leqslant p \leqslant$ 0,8 Torr zwischen 0,1 und 0,3 und steigt im allgemeinen mit wachsenden p und J an. Untersuchungen von Ladungsträgern die nach der Effusion aus der Entladung zunächst in einen Driftraum eintraten, ergab das Auftreten von N3+-Ionen, deren Bildung sich durch ein von E/p abhängendes Gleichgewicht N+ + N<sub>2</sub> ≈ N<sub>3</sub>+ quantitativ erklären läßt. Eine rechnerische Bestimmung des Radialfeldes vor der Wand des Entladungsgefäßes zeigt, daß unter den vorhandenen Bedingungen N<sub>3</sub><sup>+</sup>-Ionen nicht in Wandnähe und damit unter den effundierenden Ionen vorhauden sein konnten, wohl aber in der Achse der Entladung mit ihrer Existenz gerechnet werden muß. Wienecke.
- 8826 M. Pahl und U. Weimer. Massenspektrometrische Untersuchungen über die Bildung von (HeNe)<sup>+</sup> in der positiven Säule. Z. Naturf. 12a, 926—931, 1957, Nr. 11. (Nov.) (Hechingen, Max-Planck-Ges., Forschungsst. Spektrosk.) In der positiven Säule einer He-Ne-Niederdruckentladung wird die Existenz von (HeNe)<sup>+</sup>-Ion durch massenspektroskopische Untersuchungen des aus der Entladung effundierenden Plasmas nachgewiesen. Die relative Intensität des Ionenstromes der Masse 24 steigt mit wachsendem Druck und weist bei einem Mischungsanteil von 20 bis 30 % Ne ein Maximum auf. (HeNe)<sup>+</sup>-Ionen treten um eine Größenordnung seltener auf als He ½- oder Ne ½-Ionen in den reinen Edelgasen. Es werden Meßkurven mitgeteilt und als wahrscheinlichste Deutung der (HeNe)<sup>+</sup>-Bildung die Reaktion He' + Ne 

  [HeNe] + e<sup>-</sup> diskutiert (He' = angeregtes He). In Ne-A-Gemischen findet sich kein NeA+ oberhalb einer Nachweisgrenze von 0,5°/₀0. Gründe für das Nichtauftreten von NeA+-Ionen werden angegeben.
- 8827 M. Pahl. Ampipolare Effusion aus der positiven Säule. Z. Naturf. 12a, 1026, 1957, Nr. 12. (Dez.) Berichtigung. Berichtigung zweier Formeln in der in Ber. S. 1070 referierten Arbeit. Wienecke.
- 8828 A. von Engel and A. E. Robson. The excitation theory of arcs with evaporating cathodes. Proc. roy. Soc. (A) 243, 217—236, 1957, Nr. 12°3. (24. Dez.) (Oxford, Univ., Clarendon Lab.) Im allgemeinen werden metallische Bogenkathoden nicht

heiß genug, um thermisch genügend Elektronen zu emittieren. Man hat deshalb angenommen, daß Feldemission, Photoemission oder Sekundäremission durch positive Ionen die nötigen Elektronen erzeugen. Als neue Theorie wird vorgeschlagen, daß die Elektronen durch Aufprall angeregter Atome losgeschlagen werden. Diese Elektronen werden im Kathodenfall beschleunigt, sie regen in der verdampften Metallwolke Atome an. Durch gegenseitige Stöße entstehen positive Ionen, durch Stöße mit der Kathode neue Elektronen. Beim Hg sind die Anregungsenergien stets größer als die Austrittsarbeit, beim Kupfer liegen einige Niveaus zu niedrig. Deshalb ist der Kathodenfall von Hg mit etwa 9 V niedriger als der von Cu mit rund 13 V, obwohl die Ionisationspotentiale gerade umgekehrt liegen: Cu 7,7 V und Hg 10,4 V.

8829 T. H. Lee. On the mechanism of electron emission in arcs with low boiling point cathodes. J. appl. Phys. 28, 920, 1957, Nr. 8. (Aug.) (Philadelphia, Pa., Gen. Elect. Comp.) Für die Elektronenemission aus Metallelektroden mit niedrigem Schmelzpunkt wie z. B. Kupfer und Silber wird ein Feldemissionsmechanismus unter Berücksichtigung der Temperaturverteilung der Elektronen an der Emissionsstelle vorgeschlagen. ("T-F-Emission"). Bei der anzunehmenden Temperatur von ca. 3000° K befindet sich ein Teil der Elektronen schon in einem energetisch so hoch liegenden Zustand, daß diese thermisch emittiert werden können. Vf. weist darauf hin, daß lineare Berücksichtigung von Temperatur und Feld zu falschen Ergebnissen führt. Es ist zur Erklärung der Stromdichten von 105 bis 106 A/cm² weder die Annahme eines Rauhigkeitsfaktors der Oberfläche erforderlich, noch der von A. E. Robson und A. von Engel vorgeschlagene γ-Mechanismus.

8830 Hartmut Zwieker. Der Nachweis radial verlaufender Wärmewellen im modulierten Hg-Höchstdruckbogen. Naturwissenschaften 44, 439—440, 1957, Nr. 16. (2. Aug.-H.) (Hannover, T. H., Phys. Inst.) Der Nachweis erfolgt spektroskopisch. Mit der optischen Schichtdicke ändert sich der Abstand des Ausstrahlungsmaximums von der Bogenachse innerhalb einer selbstumgekehrten Spektrallinie. (Beitrag zum optisch dicken Linienzentrum vorwiegend aus Randzonen, zu den optisch dünnen Linienflügeln aus Bogenmitte.) Es wird eine zeitliche Phasenverschiebung  $\Delta \varphi$  ( $\lambda$ ) der Helligkeitsmodulation beim Übergang von den Flügeln der Linie zum Zentrum beobachtet. Entsprechend der thermischen Anregung sind Licht- und Temperaturmodulation gleichzusetzen. Zur (numerischen) Berechnung des Zusammenhanges zwischen  $\Delta \varphi$  ( $\lambda$ ) und  $\Delta \varphi$  ( $\tau$ ) (r Abstand von Bogenachse) sind die gewichteten Beiträge  $\xi$  ( $\tau$ ,  $\lambda$ ) der Bogenzonen zur Bildung des Linienprofils erforderlich. Die Phasenverschiebung zeigt in Abhängigkeit vom Radius drei Extremwerte, die durch Überlagerung der örtlichen elektrischen Aufheizung mit der Wärmeleitung unter Berücksichtigung des Verlaufes der spezifischen Wärmen erklärt werden können.

8831 Emil Zizka. Die Stromdichte im Kathodenfleck bei einer kondensierten Entladung. Czech. J. Phys. 7, 306—310, 1957, Nr. 3. (Orig. russ. m. dtsch. Zfg.) (Prag, Akad. Wiss., Inst. tech. Phys.) Auf rotierender Kathodenscheibe wird die Brennfleckspur einer Funkenentladung untersucht. Je nach dem Kathodenmaterial ergeben sich charakteristische, fein verästelte Figuren, deren Ausbildung von der Reinheit des Materials und dem Oberflächenzustand abhängt. Der relative zeitliche Verlauf der Stromdichte kann aus den Spuren ermittelt werden.

8832 Robert S. Smith. Effective dielectric constant of heterogeneous media. J. appl. Phys. 27, 824—831, 1956, Nr. 7. (Juli.) (Philadelphia, Univ. Penn., Dep. Phys.) Dielektrizitätskonstante ε und Leitfähigkeit σ von Pulvern, bestehend aus

ellipsoidförmigen Körnern schwach leitender Substanzen in regelloser Verteilung, werden neu berechnet, wobei die POLDER-VAN SANTENSChe Rechnung (Physica 12, 257, 1946) auf dichtere Packungen erweitert werden soll. Im wesentlichen wird versucht, den Beitrag des Dipolfeldes der Körner zum Mittelwert der elektrischen Feldstärke über den von Substanz leeren Raum zu erfassen. Als Modell wird dazu eine ebenfalls ellipsoidförmige Zelle um das Korn vorgeschlagen, deren Volumen durch die Packung bestimmt ist und deren Form dann zwischen zwei Grenzwerten liegt. In den erhaltenen Endformeln entstehen dadurch nur Differenzen von wenigen Prozent; letztere erlauben, DK und Leitfähigkeit des Pulvers in Abhängigkeit von den Materialkonstanten der Substanz selbst, der Packung und der Partikelform zu berechnen. - Experimentelle Untersuchungen sind bei 60 kHz durchgeführt, in denen zur Bestimmung von ε und σ die Eingangsimpedanz einer mit dem Pulver gefüllten koaxialen Leitung gemessen wird. Die Meßergebnisse sind vornehmlich für Magnesiumoxyd, Zinkoxyd, Silicagel und Polystyrol besprochen. Aus den Stoffkonstanten des Pulvers in Abhängigkeit von der Packungsdichte kann zunächst durch Extrapolation die DK der kompakten Substanz ermittelt werden. Dieser Wert wird dazu verwendet, den Satz der theoretischen Kurven (& gegen Packungsdichte) mit der noch unbekannten Kornform als Parameter zu berechnen; letztere läßt sich dann durch Vergleich mit der Meßkurve finden. Danach haben die beiden letztgenannten Stoffe Kugelgestalt, während Magnesiumoxyd Blättchen- und Zinkoxyd Stäbchenform besitzen. Diese Ergebnisse werden durch elektronenmikroskopische Untersuchungen und durch das Dichte-Druckdiagramm gestützt.

- 8833 G. A. Smolenskii, V. A. Isupov and A. I. Agranovskaia. High dielectric constants of niodates and tantalates of divalent metals. Soviet Phys. Doklady 1, 300—302, 1956, Nr. 3. (Mai/Juni.) (Engl. Übers. aus: C. R. Acad. Sci. USSR 108, 232, 1956, Nr. 2.) (Acad. Sci., Inst. Silic. Chem.) Weidemann.
- 8834 Horst E. Müser und Horst Flunkert. Obere Curie-Temperatur und Domänenstruktur in verschiedenen Gebieten von Seignettesalz-Kristallen. Z. Phys. 150, 21—32, 1957, Nr. 1. (21. Dez.) (Münster, Univ., Inst. angew. Phys.) Große aus Lösung gezüchtete Seignettesalz-Kristalle besitzen in dem Kristallteil, der durch alle ehemaligen äußeren (001)-Flächen gebildet wird, fast nur b-Domänen, im Rest des Kristalls fast nur c-Domänen. Im ersten Gebiet liegt der Curie-Punkt um 0,47° höher als im zweiten. Die DK in der ferroelektrischen Richtung steigt am Curie-Punkt in beiden Gebieten auf 15000. Möglicherweise steigt sie in reinen Kristallen noch weiter. Domänenstruktur und DK sind für Störeinflüsse, besonders Fremdatome, charakteristisch.
- 8835 R. Landauer, D. R. Young and M. E. Drougard. Polarization reversal in the barium titanate hysteresis loop. J. appl. Phys. 27, 752—758, 1956, Nr. 7. (Juli.) (Poughkeepsie, N. Y., Internat. Business Mach. Corp.) Die beobachteten Koerzitivkräfte in Bariumtitanat-Einkristallen sind wesentlich kleiner, als der Instabilitätsbedingung für die Polarisation im elektrischen Gegenfeld entspricht, wie sie sich aus der Devonshireschen Theorie ergibt. Obwohl der Umklappprozeß also schon aus dem metastabilen Zustand heraus erfolgt, lassen sich Koerzitivkraft und Form der Hystereseschleife bei Tonfrequenzen erklären, wenn man für die Umklappgeschwindigkeit (zeitliche Änderung der Polarisation) die von Merz gefundene exponentielle Abhängigkeit von der Feldstärke ansetzt. Entsprechende Kurven sind für einen weiten Bereich der Anstiegsgeschwindigkeit des Gegenfeldes berechnet. Frühere Messungen der Hochfrequenzleitfähigkeit zwischen 100 und 600 kHz (Drougard, Funk und Young, Ber. 35, 2496, 1956),

während mit Niederfrequenz die Hystereseschleife durchlaufen wird, sind hinsichtlich der Wirkkomponente ebenfalls mit dem Merzschen Ansatz zu deuten. Die außerdem beobachtete kapazitive Komponente, der eine mit wachsender Hochfrequenz etwa quadratisch abnehmende Erhöhung der Dielektrizitätskonstanten entspricht, bleibt in ihrer physikalischen Ursache ungeklärt. In der Arbeit wird ein Modell ausführlich diskutiert, bei dem die beobachtete zeitliche Polarisationsänderung auf statistischer Keimbildung für umklappende Domänen beruht. Die daraus sich ergebende induktive Komponente der Hf-Leitfähigkeit wird im Experiment durch die starke Kapazitätserhöhung überdeckt; quantitativ wird abgeschätzt, daß für die Zeitverzögerung zwischen Feld- und Polarisationsänderung höchstens die Größenordnung 10-8 s in Frage kommt. Klages.

8836 V. Kh. Kozlovskii. A dynamic theory of the ionic lattices of ferroelectric crystals under static conditions. Soviet Phys.-Tech. Phys. 1, 944—956, 1957, Nr. 5. (Engl. Übers. aus: J. tech. Phys. (russ.) 26, 963, 1956, Nr. 5, Mai.) Es werden eindimensionale anharmonische Schwingungen von ferroelektrischen Ionen mit und ohne Einfluß eines elektrischen Feldes betrachtet. Ein Kriterium für spontane Polarisation auf Grund einer kollektiven Bewegung aller Ionen wird aufgestellt. Die Ferroelektrika werden in Gruppen mit "starker" (Bariumtitanat) und "schwacher" Wechselwirkung unterschieden. Eine Näherungslösung der Bewegungsgleichungen in starken Feldern zeigt, daß sich die Hysteresekurve nahe der Übergangstemperatur bei starker Wechselwirkung einschnürt und in zwei Teile teilt. Im Falle schwacher Wechselwirkung schrumpft die Hysteresekurve am Curie-Punkt zusammen.

8837 Shozo Sawada. Thermal and electrical properties of tungsten oxide (WO<sub>3</sub>). J. phys. Soc. Japan 11, 1237—1246, 1956, Nr. 12. (Dez.) (Univ. Tokyo, Inst. Sci. Technol.) Vf. untersucht die thermischen und elektrischen Eigenschaften von Wolframoxyd zwischen — 150° und + 1300°C im Hinblick auf die Ferroelektrizität und die Umwandlungspunkte dieses Materials. Eine völlig neue Anomalie zeigt sich bei 1230°C, wo die Sublimationsgeschwindigkeit plötzlich ansteigt. Die Umwandlungswärmen betragen bei 330°C:330 cal/Mol, 740°C: 450 cal/Mol, 910°C: 280 cal/Mol und 1230°C: 120 cal/Mol. Die Entropieänderungen sind bei diesen Temperaturen: 0,55; 0,45; 0,23 und 0,08 cal/Mol Grad. Am Umwandlungspunkt bei — 20°C zeigt sich keine anomale Wärme, die größer als 6 cal/Mol ist. Die Anomalien der elektrischen Eigenschaften bei den Umwandlungstemperaturen werden untersucht. Der Gleichstromwiderstand nimmt steigender Temperatur ab. Die Aktivierungsenergien betragen 2,2; 0,3; 1,7 und 1,3 eV für die Bereiche: Zimmertemperatur bis 740°C; 740 bis 910°C; 910 bis 1230°C und über 1230°C. Die Strom-Spannungskurve verläuft nicht ganz linear.

8838 Yoshikazu Ishikawa and Shozo Sawada. The study on substances having the ilmenite structure. I. Physical properties of synthesized FeTiO<sub>3</sub> and NiTiO<sub>3</sub> ceramics. J. phys. Soc. Japan 11, 496—501, 1956, Nr. 5. (Mai.) (Tokyo, Univ., Inst. Sci. Technol.)

Weidemann.

8839 Shozo Sawada. Microscopic and X-ray studies on tungsten oxide ( $WO_3$ ). J. phys. Soc. Japan 11, 1246—1252, 1956, Nr. 12. (Dez.) (Univ. Tokyo, Inst. Sci. Technol.) Ergänzend zur Messung der thermischen und elektrischen Eigenschaften untersucht Vf. die Struktur der ferroelektrischen Bereiche und die Kristallstruktur von  $WO_3$ . Die Struktur der Bereiche wird zwischen — 130° und 1200°C mit einem Polarisationsmikroskop beobachtet. Bei — 50°C zeigt sich während der Abkühlung eine plötzliche Änderung der Bereichsstruktur. Am

Umwandlungspunkt bei 910°C wird keine solche Änderung beobachtet. Die Kristallstruktur wird eingehend bei 910° und 1230°C untersucht. Die Kristallsymmetrie ändert sich bei diesen Temperaturen nicht. Nur die Gitterkonstanten zeigen eine geringe Anomalie. Die Ergebnisse werden im Hinblick auf die Ferrooder Antiferroelektrizität und die Bindungsstruktur von WO<sub>3</sub> diskutiert.

Vieth.

- 8340 S. V. Bogdanov, B. M. Vul and R. Ia. Razbash. Influence of conditions of polarization on piezo-properties of barium titanate. Soviet Phys.-Tech. Phys. 1, 940—943, 1957, Nr. 5. (Engl. Übers. aus: J. tech. Phys. (russ.) 26, 958, 1956, Nr. 5, Mai.) Der Einfluß der elektrischen Feldstärke und Temperatur bei der Polarisation von polykristallinen Proben von Bariumtitanat auf den piezoelektrischen Modul d<sub>33</sub> wurde untersucht. Es zeigte sich, daß die Polarisation des Materials, die üblicherweise bei Feldstärken von 15 bis 20 kV/cm und bei Zimmertemperatur vorgenommen wird, mit um so kleineren Feldstärken erreichbar ist, je näher die Temperatur am Curie-Punkt liegt. In Abweichung von der Theorie ist am Curie-Punkt eine Mindestfeldstärke von 5 kV/cm erforderlich. Die Spannungsfestigkeit leidet nicht durch die Erwärmung. G. Becker.
- 8841 R. Haase. Zur Theorie der Thermoelektrizität. Z. Naturf. 11a, 681—684, 1956, Nr. 9. (Sept.) (Aachen, T. H., Inst. Theor. Hüttenkde. u. Phys. Chem.) Beziehungen zwischen den Koeffizienten der thermo-elektrischen Effekte bei Elektronenleitern werden aus der Onsagerschen Theorie der irreversiblen Prozesse hergeleitet und diskutiert.
- 8842 E. I. Salkovitz, A. I. Schindler and E. W. Kammer. Friedel theory of thermoelectric power applied to dilute magnesium alloys. Phys. Rev. (2) 107, 1549—1552, 1957, Nr. 6. (15. Sept.) (Washington, D.C., U.S. Naval Res. Lab.) Es wird zunächst ein kurzer Überblick über den derzeitigen Stand der Theorie der Thermokraft von Metallegierungen gegeben. Experimentelle Untersuchungen über die Thermokraft von verdünnten Magnesiumlegierungen bei Zimmertemperatur (Salkovitz, Schindler und Kammer Ber. S. 876) sind in Übereinstimmung mit der Theorie von Friedel (Ber. 33, 1798, 1954). Danach ist der Parameter  $\Delta X = -(E_F E_0)$  ( $\delta \log \Delta \varrho / \delta E$ ),  $\varrho = \text{spez. elektr.}$  Widerstand, eine Konstante über einen ziemlich weiten Legierungsbereich. Der Wert der Konstanten hängt von der Valenz der gelösten Fremdatome ab.

Appel.

- 8843 Horst Schreiner. Systematik der Kontaktstoffe und Starkstromkontakte. Z. Metallk. 48, 180—190, 1957, Nr. 4. (Apr.) (Erlangen, Siemens-Schuckertwke. A.G., Lab. Zentralwerksverw.) Es werden die Eigenschaftsforderungen der Materialien für elektrische Kontakte diskutiert. Neben reinen Metallen werden Metallegierungen und Verbundstoffe verwendet. In der Starkstromtechnik haben für Kontakte besonders die Verbundstoffe Silber mit Metalloxyden, wie Cadmiumoxyd, Indiumoxyd, Zinnoxyd und Bleioxyd, sowie Silber mit Hartstoffen Verwendung gefunden. Ebenso werden Silber-Verbundmetalle mit Nickel, Wolfram, Molybdän usw. verwendet. Durch spezielle Herstellungsbedingungen der Verbundstoffe können besonders hochwertige Kontakteigenschaften erzielt werden.
- 8844 Jacques Riguet. Sur les rapports entre les concepts de machine de multipole et de structure algébrique. C. R. Acad. Sci., Paris 237, 425—427, 1953, Nr. 6. (10. Aug.)
- 8845 Gérard Lehmann. Régulateurs et asservissements de vitesse de haute précision. Onde élect. 37, 358-363, 1957, Nr. 361. (Apr.) Es wird gezeigt, daß sich die

Drehfrequenz eines Elektromotors relativ auf 10-3 bis 10-4 konstant halten läßt, wenn man die Frequenz eines angekoppelten Wechselstromgenerators in Brückenschaltungen mit frequenzabhängigen Widerständen zur Gewinnung einer Korrekturspannung für den Elektromotor verwendet.

G. Becker.

8846 Wolfgang Spengler. Elektronische Geräte in Wechselstrom-Netzmodellen. Elektrotech. Z. (A) 78, 145—149, 1957, Nr. 4. (11. Febr.) (Göttingen, Phywe AG., Wiss. Lab.) Es wird über den Aufbau eines Meßtisches berichtet, der zum Betrieb eines Wechselstrom-Netzmodells mit einer Frequenz von 500 Hz dient und ausschließlich mit elektronischen Geräten ausgerüstet ist. Die Modellspannung wird mit einem quarzstabilisierten Oszillator erzeugt mit einem Frequenzfehler von höchstens  $\pm$  10/00 und einer höchsten Amplitudenschwankung von  $\pm$  50/00. Als Generatornachbildung dienen Leistungsverstärker, die nach Phase und Scheitelwert kontinuierlich regelbar sind. Für das vorliegende Modell wurde ein elektronischer Phasenwinkelmesser entwickelt, der die Ablesung des Winkels sichtbar auf dem Schirm einer Kathodenstrahlröhre ermöglicht. Spannungen und Ströme werden mit Präzisions-Röhrenvoltmetern gemessen.

8847 Myer Bloom. Nuclear spin relaxation in hydrogen. III. The solid near the melting point. Physica, 's Grav. 23. 767—780, 1957, Nr. 8. (Aug.) (Leiden, Kamerlingh Onnes Lab.) Die longitudinalen und transversalen Relaxationszeiten  $\mathbf{t}_1$  und  $\mathbf{t}_2$  wurden bei 30 MHz gemessen. Zur Messung wurde die Impulsmethode für Protonenresonanzen in festem  $\mathbf{H}_2$  und HD benutzt. Die Messungen wurden in der Nähe des Schmelzpunktes durchgeführt, wo eine merkliche Selbstdiffusion stattfindet. Für den Koeffizienten der Selbstdiffusion gilt bei beiden Festkörpern in einem weiten Temperaturbereich  $D=D_0\cdot -\exp{(-E_a/RT)}.$  Für  $E_{\mathfrak{g}}$  wurden für  $\mathbf{H}_2$  bzw. HD die Werte  $380\pm20$  bzw.  $600\pm40$  cal/Mol gefunden, für  $D_0$  die Werte  $10^{-3}$  bzw. 0,1 cm²/s.  $\mathbf{t}_1$  in  $\mathbf{H}_2$  wird durch die Reorientierung der ortho  $\mathbf{H}_2$  Moleküle hervorgerufen.  $\mathbf{t}_1=0,22$ , näherungsweise temperaturunabhängig in Übereinstimmung mit der Theorie.  $\mathbf{t}_1$  in HD rührt von einer geringen Verunreinigung durch  $\mathbf{H}_2$  her. Eine quantitative theoretische Untersuchung des Einflusses der  $\mathbf{H}_2$  Verunreinigung zeigt, daß die Aktivierungsenergie für die Diffusion von  $\mathbf{H}_2$  in HD etwa gleich der für die Diffusion in  $\mathbf{H}_2$  ist.  $D_0\approx10^{-4}$  cm²/s.

8848 H. Hertwig und G. Richter. Zur Dimensionierung von Wechselrichtern. Valvo Ber. 3, 53—70, 1957, Nr. 2. (Juli.) An dem Beispiel eines fremderregten Paralellwechselrichters werden die Formeln und Kurven für die Ströme in Abhängigkeit von den Schaltelementen vom Einschaltvorgang ausgehend für den eingeschwungenen Zustand abgeleitet und daraus die Einflüsse der Eigenfrequenz und des Phasenwinkels der Belastung bestimmt. Der berechnete Laststrom zeigt einen von der Sinusform abweichenden Kurvenverlauf, dessen Klirrfaktor berechnet wird. Aus den Ergebnissen der Rechnung werden in bezug auf die Grenzfrequenz und den Wirkungsgrad Rückschlüsse gezogen.

8849 Georg M. Petropoulos, Michael Angelopoulos und Christos Floros. Die elektrische Festigkeit eines Gemisches aus Sand und Metallkugeln. Elektrotech. Z. (A) 78, 41—44, 1957, Nr. 2. (11. Jan.) (Athen, Nat. T. H., Lab. elekt. Messungen u. Hochspannungstech.) Es wird die elektrische Festigkeit des Gemisches eines aus Quarzsand und kleinen Metallkugeln von 2 mm Dmr. bestehenden Dielektrikums in der Anordnung positive Spitze — Platte und Platte — Platte sowohl bei Stoßspannung mit der Wellenform 1/50 µs als auch mit sinusförmiger Spannung bei 50 Hz untersucht. Die Durchschlagszeit bei Stoßspannung und auch die Durch-

schlagsspannung ist beim Gemisch bedeutend kleiner als bei Luft oder Sand. Sie nimmt mit zunehmender Kugelzahl ab. Hieraus werden Schlußfolgerungen hinsichtlich der Verwendung dieses Gemisches als Dielektrikum bei einem Überspannungsschutzgerät gezogen. Für eine bestimmte Ansprechspannung läßt sich der Elektrodenabstand so wählen, daß der Sand die Löschung eines eingeleiteten Kurzschlußlichtbogens begünstigt, während die Anordnung bei Betriebsspannung eine ausreichende Festigkeit gewährleistet.

8850 R. Hancox. Dependence of the dielectric breakdown of transformer oil on electrode conditions. Nature, Lond. 178, 1305—1306, 1956, Nr. 4545. (8. Dez.) (London, Univ., Queen Mary Coll., High Voltage Lab.) Es wird gezeigt, daß die Stoßdurchschlagsfestigkeit von Transformatorenöl abhängt von der Dicke der natürlichen Oxydschicht der Elektrodenoberfläche. Mit polierten Elektroden aus rostfreiem Stahl, die sofort in das Prüfgefäß eingebaut werden, das evakuiert und anschließend mit gefültertem, getrocknetem und entgastem Öl gefüllt wird, erhält man eine Durchschlagsfestigkeit von 1100 kV/cm. Werden die Elektroden dagegen längere Zeit in ein Trockengefäß gelegt oder auch der Luft ausgesetzt, so wird eine Durchschlagsfestigkeit von 2000 kV/cm erzielt. Man nimmt an, daß sich im letzteren Fall auf der Oberfläche der Kathode eine elektrische Doppelschicht befindet, deren Größe proportional der Stärke der Oxydschicht ist und die die Emission der Elektronen in die Flüssigkeit behindert. Zinn.

8851 R. Guizonnier et G. Monsonego. Influence de la température sur le courant final qui parcourt un liquide isolant, soumis à une différence de potentiel continue, et sur la répartition des potentiels en ces conditions. J. Phys. Radium 18, 17 S bis 19 S, 1957, Nr. 6. (Juni.) (S. B.) An Transformatorenöl, Tetrachlorkohlenstoff und Paraffinöl wird die Abhängigkeit des Endwertes des Isolationsstroms von der Temperatur bei Belastung mit Gleichspannung aufgenommen. Bei der Wahl logarithmischen Maßstabs für den Strom und Auftragung über dem Reziprokwert der absoluten Temperatur ergeben sich gerade Linien entsprechend der Gleichung i = A exp (-W/kT), worin i und T den Strom und die Temperatur, k die Boltzmannsche Konstante und A eine Materialkonstante bedeuten. Für W ergibt sich bei metallischen Elektroden der Wert 0,41 eV, bei lackierten Elektroden 0,45 eV. Die Spannungsverteilung zwischen den Elektroden ist bei Raumtemperatur bei Transformatorenöl durch Raumladungen bestimmt, bei 50°C nimmt der Einfluß der Raumladungen ab. Dieses Verhalten entspricht den "heterocharges". Bei Schwefelkohlenstoff konnten aus chemischen Gründen keine Spannungsverteilungen aufgenommen werden. Paraffinöl verhält sich bei 50°C ähnlich wie Transformatorenöl, bei 20°C hat die Spannungsverteilung einen ganz anderen Charakter (homocharge). Da der Wert von W für alle Flüssigkeiten mit heterocharge-Charakter gleich ist, wird auf Ladungsträger geschlossen, die bei allen Stoffen gleich sind; man kann dabei "an Wasserteilchen denken".

E. F. Richter.

8852 A. A. Sokolov and I. M. Ternov. On polarization effect in the radiation of an accelerated electron. Soviet Phys. JETP 4, 396—400, 1957, Nr. 3. (Apr.) (Engl. Übers. aus.: J. exp. theor. Phys. (russ.) 31, 473—478, 1956, Sept.) (Moscow, State Univ.) Ausgehend von den Vertauschungsrelationen für die Amplituden des Vektorpotentials bei der spontanen Emission von Photonen werden nach den Methoden der Quantentheorie, jedoch in klassischer Näherung, die Strahlungspolarisationseffekte eines beschleunigten Elektrons untersucht. Die abgeleiteten Formeln beschreiben sowohl die lineare wie auch die zirkulare Polarisation. Es wird auf die Anwendungsmöglichkeit dieser Theorie bei der Untersuchung der Radiostrahlen der Sonne und der Milchstraße hingewiesen, in denen bereits Polarisationseigenschaften experimentell beobachtet wurden. Jörchel.

8853 Peter Beckmann. Anwendung der modifizierten Watson-Transformation auf die Greensche Dyade für die Beugung an der Kugel. Z. Naturf. 12a, 960—967, 1957, Nr. 12. (Dez.) (Münster, Univ., Inst. theor. Phys.) Das für die Beugung am Zylinder endlicher Leitfähigkeit angewandte Verfahren läßt sich prinzipiell auch bei der Behandlung der Beugung an der Kugel benutzen, nur kann man die gebeugte Welle nicht mehr durch die Überlagerung von zwei Wellen mit spezieller Polarisation darstellen, sondern muß das vektorielle Dipolmoment der Primärquelle skalar mit der Greenschen Dyade des Beugungsproblems multiplizieren. Dies liefert komplexe Integrale in der Indexebene. Geometrisch-optische Anteile ergeben sich asymptotisch als Beiträge von Sattelpunkten. Die gebeugten Wellen werden als Kriechwellen durch Residuensummen dargestellt. Kautter.

8854 Robin I. Primich. Some electromagnetic transmission and reflection properties of a strip grating. Trans. Inst. Radio Engrs. N. Y. AP-5, 176—182, 1957, Nr. 2. (Apr.) (Ottawa, Defence Res. Board, Radio Phys. Lab.) Die Arbeit beschäftigt sich mit dreidimensionalen Streifengittern. Die Fläche der Streifen steht senkrecht zur magnetischen Strahlung. Einige theoretische und experimentelle Ergebnisse für die Reflexion und die Transmission einer elektromagnetischen Planwelle, welche normal auf das ideale Streifengitter fällt, werden angegeben. Die Theorie benützt eine Variationsmethode. Die experimentellen Messungen wurden für normalen Einfall mit Wellen von 8 bis 10 cm Wellenlänge durchgeführt. Einige Ergebnisse für schrägen Einfall werden ebenfalls mitgeteilt. Die Experimente für diesen Fall wurden mit der Wellenlänge 1,24 cm und mit einem Parallelplatten-Spektrometer durchgeführt. Es wurde befriedigende Übereinstimmung zwischen Theorie und Experimente festgestellt.

8855 Ferdy Mayer. Effet Faraday et biréfringence dans les ferrites en hyperfréquence. Ann. Télécomm. 12, 334—342, 1957, Nr. 10. (Okt.) In Fortsetzung und Abschluß früherer Arbeiten werden behandelt: die Verluste bei Ferriten sowie Anwendungen der Doppelbrechung und der Resonanz von Ferriten. Die für die verschiedenen Anwendungsarten wichtigen Eigenschaften werden erörtert. In einem Anhang werden die Vorgänge im gyromagnetischen Medium mathematisch behandelt.

8856 F. Horner. La relation entre la propagation des ondes très longues et la direction. Onde élect. 37, 535—538, 1957, Nr. 362. (Mai.) (Slough, Stat. rech. radio.) Es wurden die Komponenten der einfallenden Welle des 108 km entfernten Senders G. B. R. (16 kHz, in Rugby) registriert. Dabei ergab sich, daß etwa die Hälfte der nachts senkrecht einfallenden Welle an der Ionosphäre reflektiert und dabei elliptisch linkspolarisiert wurde. Die im August über zwei kurze Entfernungen erhaltenen Ergebnisse sind mit der Hypothese vereinbar, daß die große Achse der elektrischen Polarisationsellipse 70° östlich der magnetischen Nordrichtung liegt und daß die Exzentrizität 0,55 beträgt.

G. Becker.

8857 Nicolas Stoyko. Vitesse apparente de propagation des ondes très longues. Onde élect. 37, 541—542, 1957, Nr. 362. (Mai.) (Paris, Fac. Sci.) Aus einem Vergleich der Ausbreitung von kurzen und sehr langen Wellen, mit denen Zeitsignale ausgesandt werden, wird geschlossen, daß lange Wellen sich im Mittel mit etwa 251 000 km/s ausbreiten. Eine Untersuchung der Zeitsignale verschiedener Stationen ergab ferner eine Abhängigkeit von der Tageszeit: tags 264 500 km/s, nachts 233 500 km/s. Weiterhin wird eine Formel für einen jahreszeitlichen Einfluß angegeben.

8858 R. Rivault. Caractéristiques des sifflements observés au cours d'une année. Onde élect. 37, 539-540, 1957, Nr. 362. (Mai.) (Poitiers, Fac. Sci.) Die niederfrequenten (1 bis 10 kHz) elektromagnetischen Schwingungen in der Atmosphäre, die als Pfeifgeräusche hörbar gemacht werden können, wurden seit Mai 1955 überwacht. Sie sind im Sommer selten und besonders stark von Oktober bis Februar einige Stunden nach Sonnenuntergang. Die häufigeren kurzen Pfeifgeräusche entstammen südlichen Blitzen und sind manchmal von schwachen Echos gefolgt. Lange und schwache Pfeifgeräusche entstehen bei nördlichen Gewittern. Weitere Typen treten verstärkt bei magnetischen Störungen auf. Es wird angenommen, daß es sich bei dem Effekt um Vielfachechos von elektromagnetischen Impulsen zwischen dem Erdboden und der D-Schicht handelt.

G. Becker.

- 8859 V. M. Papadopoulos. Scattering by a semi-infinite resistive strip of dominant-mode propagation in an infinite rectangular wave-guide. Proc. Camb. phil. Soc. 52, 553—563, 1956, Nr. 3. (Juli.) (Manchester, Univ.) Das im Titel genannte Problem wird gelöst durch Laplace-Transformation und numerische Ausrechnung der Feldamplituden für mehrere Werte des elektrischen Widerstandes im Streifen.

  Just.
- 8860 J. A. Lane. A physical interpretation of impedance for rectangular waveguides. Proc. phys. Soc. Lond. (B) 70, 1173—1174, 1957, Nr. 12 (Nr. 456 B). (1. Dez.) (Slough, Bucks., Radio Res. Stat.) Vf. befaßt sich in einem Kurzreferat mit der Frage der physikalischen Bedeutung des Hohlleiterimpedanzbegriffes, insbesondere bei solchen Wellenmoden, deren Feldstärkekomponenten die Querschnittsebene nur zum Teil besetzen. Die experimentelle Prüfung wird so vorgenommen, daß sehr schmale totalabsorbierende Widerstandsfolien (z. B. Bolometerstreifen in den Spannungsmaximis der Querschnittsebene von rechtwinkligen Hohlleitern angeordnet werden. Aus den für platinbedampfte Widerstandsfolien verschiedener Breiten bei 9,2 G Hz erhaltenen Ergebnissen geht hervor, daß der aus Leistung und Spannung definierte Impedanzwert demjenigen für reflexionsfreien Abschluß am nächsten kommt.
- W. Elwyn Williams. Step discontinuities in waveguides. Trans. Inst. Radio Engr. N. Y. AP-5, 191—198, 1957, Nr. 2. (Apr.) (New York Univ., Inst. Math. Sci.) Die Methode von Wiener und Hopf zur Lösung einer bestimmten Klasse von Integralgleichungen wird auf das Problem einer stufenförmigen Diskontinuität im Querschnitt eines Rechteckhohlkabels angewandt. Zwei Hohlkabel unendlich großer Breite, aber verschiedener Höhe, stoßen mit einer Stufe aneinander. Die einzige nichtverschwindende Komponente des magnetischen Feldes ist die parallel zu den Kanten der so entstehenden unendlich breiten Stufe. Die Grundwellenform pflanzt sich vom höheren Wellenleiter her gegen die Stufe fort. Für Werte der Höhe des höheren Wellenleiters, wo nur die Grundform ohne Dämpfung fortgeleitet wird, ergeben sich praktisch dieselben Lösungen wie im "Waveguide-Handbook" von N. MARCUVITZ, 1951, McGraw Hill, New York. Für den Fall, daß der höhere Wellenleiter auch höhere Wellenformen fortleiten kann, ergeben sich neue Lösungen. Es werden numerische Angaben für das Verhältnis der reflektierten zur einfallenden Energie mitgeteilt, wobei als Parameter die Höhe des höheren Wellenleiters und die Höhe der Stufe (und damit die Höhe des niedrigen Wellenleiters) verwendet werden. Macek.
- 8862 R. E. Collin and R. M. Vaillancourt. Application of Rayleigh-Ritz method to dielectric steps in waveguides. Trans. Inst. Radio Engr. N. Y. MTT-5, 177—184, 1957, Nr. 3. (Juli.) (Valcartier, Can. Armament Res. Dev. Est.) Es ist bekannt, daß die strenge Lösung von Fortpflanzungsproblemen für elektromagnetische Wellen im teilweise inhomogenen, mit Dielektrikum gefüllten Hohlleiter die Auflösung schwieriger transzendenter Gleichungen erfordert. Aus diesem Grunde

erscheint es zweckmäßig, Variationsmethoden anzuwenden, um Näherungslösungen für die Eigenwerte zu erhalten. In der vorliegenden Arbeit wird das RAYLEIGH-RITZ-Verfahren angewandt, mit dessen Hilfe sich die ersten N Eigenfunktionen und zugehörigen Eigenwerte im inhomogen gefüllten rechteckigen Hohlleiter ergeben. Es wird gezeigt, daß es zwei fundamentale Arten von Moden gibt, die Vff. mit LSE- und LSM-Moden bezeichnen (longitudinal section electric modes und longitudinal section magnetic modes). Der Reflexions- und Durchlaßkoeffizient am Ort der Verbindungsstelle des leeren Hohlleiters und des teilweise mit Dielektrikum angefüllten Hohlleiters wird ermittelt. Das Problem eines dielektrischen Stoffes, der die Breitseite des Hohlleiters vollständig, die Schmalseite aber nur z. T. ausfüllt, wird theoretisch und experimentell behandelt.

Bayer.

8863 Enrique A. Marcatili. Heat loss in grooved metallic surface. Proc. Inst. Radio Engrs., N. Y. 45, 1134-1139, 1957, Nr. 8. (Aug.) (Holmdel, N. J., Bell Teleph. Labs., Inc.) Die Arbeit behandelt die Theorie der Wandstromverluste bei metallischen Hohlleitern, deren Wände periodische, zueinander parallel liegende Rillen mit Halbkreisquerschnitt aufweisen; der Halbkreisdurchmesser ist dabei als klein gegenüber der Wellenlänge im freien Raum und groß gegenüber der Skinschichtdicke angenommen. Dieser Fall liegt bei Wendel-Hohlleitern mit Kreisquerschnitt vor, mit denen sich Vf. befaßt. Einleitend führt er die Schelkunoff-Formel für die Wandstromverluste eines Hohlleiters an und macht einige Vereinfachungen, die die theoretische Behandlung des Problems wesentlich erleichtern (Ersatz der Bessel-Funktionen für das elektromagnetische Feld durch Kreisfunktionen in Nähe der Wand; Beschränkung auf TEM-Wellen mit einer parallel oder senkrecht zu den Rillen gerichteten Polarisation und bestimmter Auftreffrichtung zur Wand; Näherungslösung des Grenzwertproblems). Im einzelnen werden dann die folgenden Fälle untersucht: Magnetfeld senkrecht zu den Rillen orientiert; Leitungsstromverluste bei Rillen, die senkrecht zu tangentialem Magnetfeld verlaufen; Magnetfeld parallel zu den Rillen gerichtet; Leitungsstromverluste bei parallel zu einem tangentialen magnetischen Feld gerichteten Rillen. Der Leitungsstromverlust ergibt sich im Falle senkrecht zum Strom orientierter Rillen als  $\pi/2$ mal größer als bei ebener Wand, im Falle parallel mit dem Strom verlaufender Rillen 1,09mal größer. Dieses Ergebnis stimmt gut überein mit Messungen an einem Wendel-Hohlleiter von 7/16" Dmr. bei TE<sub>ol</sub>-Wellen von 5,4 mm Wellenlänge.

8864 H. A. Haus and R. B. Adler. An extension of the noise figure definition. Proc. Inst. Radio Engrs. N. Y. 45, 690—691, 1957, Nr. 5. (Mai.) (Cambridge, Mass., Inst. Tech., Dep. Elect. Eng.) Die Anwendung der üblichen Definition der Rauschzahl, ausgehend von dem Begriff der verfügbaren Leistung, stößt auf Schwierigkeiten, wenn der innere Widerstand der Rauschquelle oder der Ausgangswiderstand eines Verstärkers negativen Wirkanteil hat. Diese Schwierigkeiten werden vermieden, wenn "verfügbare" Leistung ersetzt wird durch "austauschbare" (exchangeable), definiert als stationärer Wert (Extremum) der Leistung bei Variation von Strom bzw. Spannung an den Ausgangsklemmen. In den Fällen negativen Wirkwiderstandes ist dieser stationäre Wert negativ entsprechend der größten Leistung, die die Quelle aufnehmen kann. In den übrigen Fällen reduziert sich die Definition der Rauschzahl auf die gebräuchliche.

Pöschl.

8865 David Middleton. On the detection of stochastic signals in additive normal noise, Part I. Trans. Inst. Radio Engrs. N. Y. IT-3, 86—121, 1957, Nr. 2. (Juni.) (Cambridge 38, Mass., 49 Lexinton Ave.) Für das Problem, zufällige Signale in einem additiven Grundrauschen erkennbar zu machen, wird auf Grund einer

Minimumsforderung die allgemeine Struktur des optimalen Detektors bestimmt. Für jedes feste Signal-Geräusch-Verhältnis am Eingang wird der optimale Empfänger angegeben und durch physikalisch realisierbare Elemente dargestellt. Dabei wird diskretes oder auch kontinuierliches Abtasten angenommen. Einige der speziellen Ergebnisse beziehen sich auf Grundrauschen mit weißem Spektrum; die Methoden sind aber darauf nicht beschränkt. Ein wesentlicher Punkt ist die Diskussion gewisser Integralgleichungen, wobei aber in dem besonders wichtigen Fall schwacher Signale (Schwellen-Empfangsbetrieb) die Berechnung der Eigenwerte mit Hilfe der sogenannten Spur-Methode vermieden wird, die zu nützlichen Näherungen, z.B. für Fehlerwahrscheinlichkeiten führt. Für schmalbandige Signale wird noch eine zweite Art der Darstellung des optimalen Detektors hergeleitet. Berechnungen (u. a. der minimalen erkennbaren Signale) für breitbandige RC- und schmalbandige LRC-Rauschsignale bilden spezielle Anwendungen. Ein Detektor ist optimal im allgemeinen nur für einen Wert des Signal-Geräusch-Verhältnisses. In praktischen Fällen ist dies meistens nicht bekannt. Wird der Detektor aber so bemessen, daß er für den minimalen Signalpegel optimal ist, so liefert er für kleinere Pegel stets die richtige Anzeige.

8866 J. L. Melchor, W. P. Ayres and P. H. Vartanian. Microwave frequency doubling from 9 to 18 kmc in ferrites. Proc. Inst. Radio Engrs, N. Y. 45, 643—646, 1957, Nr. 5. (Mai.) (Palo Alto, Calif., Microwave Eng. Lab. Inc.; Mountain View, Calif., Sylvania Elect. Prod. Inc., Microw. Phys. Lab.) Aus der Bewegungsgleichung für die Magnetisierungskomponente längs des magnetischen Gleichfeldes kann die Frequenzverdoppelung einer elektromagnetischen Welle in einem Ferrit theoretisch abgeleitet werden. Vff. haben den bisher erreichten kleinen Wirkungsgrad für die Umwandlung (Ber. 36, 726, 1957) wesentlich verbessert. Es zeigt sich, daß der Wirkungsgrad für die Verdoppelung sehr stark von der Geometrie des Ferrites abhängt. Ein Wirkungsgrad von 6 db wurde erreicht. Eine Eingangsspitzenleistung von 32 kW bei 9 GHz ergab eine Ausgangsspitzenleistung von 8 kW bei 18 GHz.

8867 Fidel Cordero, Harry Matheson and Daniel P. Johnson. A nonlinear instrument diaphragm. J. Res. nat. Bur. Stand. 58, 333—337, 1957, Nr. 6. (Juni.) Es werden Einzelheiten der Herstellung einer empfindlichen Membran mitgeteilt, deren Auslenkung in bestimmter Weise nichtlinear von der Druckdifferenz zwischen den beiden Membranseiten abhängt. Die Membran bildet mit einer Gegenelektrode einen frequenzbestimmenden Kondensator in einem WIEN-Brückenoszillator. Mit einer geeigneten Auslenkungscharakteristik wurde erreicht, daß die Druck-Frequenzabhängigkeit im Druckbereich — 30 bis + 30 dyn/cm³ linear ist.

8868 V. L. Patrushev. Application of the method of curvilinear coordinates to the design of a II-shaped (reentrant) resonator. Soviet Phys.-Tech. Phys. 1, 806 bis 817, 1957, Nr. 4. (Engl. Übers. aus: J. tech. Phys. (russ.) 26, 821, 1956, Nr. 4, Apr.) (Saratov, Agric. Inst.) Ein \( \pi-f\"ormiger Resonator mit einem zentrisch angebrachten Stab beliebiger Dicke wird mit der Methode krummliniger Koordinaten untersucht, und es wird gezeigt, daß das elektromagnetische Feld im Resonator dem eines konzentrischen Viertelwellenlängenleiters mit einer kapazitiven Belastung entspricht. Die Arbeit schließt mit der zahlenmäßigen Berechnung eines Resonators.

8869 Robert A. Pucel. Network synthesis for a prescribed impulse response using a real-part approximation. J. appl. Phys. 28, 124-129, 1957, Nr. 1. (Jan.) (Waltham, Mass., Raytheon Manufact. Co., Res. Div.) Für die Berechnung

diskreter, linearer Schaltglieder bei vorgegebenem Impulsverhalten wird ein neues, halbgraphisches Näherungsverfahren beschrieben, das auch dann funktioniert, wenn die Sprungkurve in nichtanalytischer Form vorliegt. Die Methode beruht darauf, daß man den Realteil der Bild-(Frequenz-)funktion auf einem Weg parallel zur imaginären Achse in der negativen komplexen Halbebene durch eine Impulsfolge annähert, wodurch die Übertragung in den Zeitbereich sehr vereinfacht wird. Eine Abschätzung des Fehlers im Zeitbereich ist leicht möglich. Das Verfahren ist weitgehend formalisierbar.

8870 L. E. Alsop, J. A. Glordmaine, C. H. Townes and T. C. Wang. Measurement of noise in a maser amplifier. Phys. Rev. (2) 107, 1450—1451, 1957, Nr. 5. (1. Sept.) (New York, N. Y., Columbia Univ.) Der Rauschfaktor eines Ammoniak-Masers wurde experimentell bestimmt und mit den theoretischen Werten verglichen. Der Rauschfaktor, der durch das Verhältnis der am Verstärkereingang effektiv vorhandenen Rauschleistung zu der bei Zimmertemperatur vorhandenen thermischen Rauschleistung definiert ist, wurde mit einem Pendelrückkopplungsverstärker bestimmt und in Abhängigkeit vom Verhältnis  $Q_1/Q_0$  bestimmt, wobei  $Q_0$  die Verluste innerhalb des Hohlraumresonators und  $Q_1$  die Zusatzverluste durch die Ankopplung des Hohlraumresonators an den Wellenleiter beschreiben. Mit fallendem  $Q_1/Q_0$ -Verhältnis wird auch der Rauschfaktor kleiner und nimmt bei  $Q_1/Q_0 = 0.6$  den Wert 2,3 db an. Durch Kühlen des Hohlleitersystems mit flüssigem Stickstoff konnte ein Rauschfaktor von — 2,0 db erzielt werden.

8871 M. W. P. Strandberg. Computation of noise figure for quantum-mechanical amplifiers. Phys. Rev. (2) 107, 1483—1484, 1957, Nr. 6. (15. Sept.) Berichtigung ebenda 108, 1648, Nr. 6. (15. Dez.) (Cambridge, Mass., Inst. Technol., Dep. Phys., Res. Lab. Electron.) Es kann abgeschätzt werden, daß der Rauschfaktor, der durch das Verhältnis der am Verstärkereingang effektiv vorhandenen Rauschleistung zu der bei Zimmertemperatur vorhandenen thermischen Rauschleistung definiert ist, bei Molekularverstärkern nur wenig größer als 1 ist. Vf. gibt einen Ausdruck für den Rauschfaktor in Molekularverstärkern an, in dem als Parameter von den Daten der elektrischen Anordnung die Verstärkung und die Kreisgüten eingehen, während von den Konstanten des paramagnetischen Salzes das Molekulargewicht und das Volumen benutzt werden.

8872 J. P. Gordon and L. D. White. Experimental determination of the noise figure of an ammonia maser. Phys. Rev. (2) 107, 1728—1729, 1957, Nr. 6. (15. Sept.) (Murray Hill, N. J., Bell Teleph. Lab.) Der Rauschfaktor, der durch das Verhältnis der am Verstärkereingang effektiv vorhandenen Rauschleistung zu der bei Zimmertemperatur vorhandenen thermischen Rauschleistung definiert ist, wurde an einem Ammoniakmaser experimentell bestimmt und mit den theoretisch vorausgesagten Rauschfaktoren verglichen. Das gemessene Rauschen entsprach einem vom Zusatzrauschen freien Maser, an dem eine Zusatzrauschquelle angeschlossen ist, deren effektive Temperatur (78  $\pm$  20)°K beträgt. Der theoretische Wert des Rauschfaktors, der aus Verstärkung, Kreisgüten und Konstanten des Ammoniak-Molekülstrahls bestimmt wurde, entspricht einer Zusatzrauschquelle mit einer effektiven Rauschtemperatur von (68  $\pm$  4)°K.

Andresen.

8873 F. W. Heineken. Korte mededeling over recente vooruitgang op natuurkundig gebied. De "Maser". Ned. Tijdschr. Natuurk. 23, 164—167, 1957, Nr. 6. (Juni.) (Univ. Amsterdam, Zeeman Lab.) Es wird eine kurze Zusammenfassung über

Entwicklung und das Prinzip des NH<sub>3</sub>-Masers gegeben. Ausgehend von der Entdeckung des Hyperfeinstruktur-Spektrums von NH<sub>3</sub> durch Good und die Untersuchungen am Inversionsspektrum von Gunther-Mohr u. a. wird das Prinzip und die Arbeitsweise des als Oszillator oder Verstärker arbeitenden Molekülmasers erläutert. Die erzielten Genauigkeiten werden mit 4·10-12/s bzw. 1·10-10/h angegeben. Abschließend werden Experimente von Bloembergen an einem paramagnetischen Festkörpermaser erwähnt.

8874 Jesse G. Chaney. A simple solution to the problem of the cylindrical antenna. Trans. Inst. Radio Engrs N. Y. AP-5, 217—221, 1957, Nr. 2. (Apr.) (Monterey, Calif., U. S. Naval Postgrad. School, Dept. Electron.) Die mit Hilfe einer Variationsmethode erhaltene Lösung der Stromverteilung auf einer zylindrischen Antenne kann auf einfache Art interpretiert werden: Zwei Ströme fließen parallel in der Antenne, von denen eine Lösung 1. Ordnung folgendes ergibt: Der eine gehört zu einer linear gedämpften Wanderwelle, der zweite zu einer sinusförmigen stehenden Welle. Die Resultate zeigen gute Übereinstimmung mit anderen theoretischen und gemessenen Werten für die Impedanz am Einspeisungspunkt und für die Stromverteilung entlang der Antenne.

8875 Rabindra N. Ghose. The exact solution of the field intensities from a linear radiating source. Trans. Inst. Radio Engrs. N. Y. AP-5, 237—238, 1957, Nr. 2. (Apr.) (Los Angeles, Ramo-Woolridge Corp.) Der kurze Beitrag beschäftigt sich mit dem Nahfeld von linearen Dipolen mit sinusförmiger Stromverteilung, wo die Intensitäten des elektrischen Feldes aus Beiträgen der Strahlung, der Induktion und von elektrostatischen Feldern bestehen. Es wird eine exakte Lösung für das magnetische Vektorpotential angegeben, aus der die Komponenten der magnetischen Feldstärke berechnet werden können. Für das duale Problem der Schlitzantenne kann die elektrische Feldstärke berechnet werden. Macek.

8876 J. Aubry. Evaluation de la précision du système de radio-navigation R. A. N. A. hectométrique. Onde élect. 37, 571—585, 1957, Nr. 363. (Juni.) Das Funkortungsverfahren R. A. N. A. (RAdio-NAvigation) wird ausführlich beschrieben. Der Ort der Empfangsstation wird aus Empfangsmessungen von zwei Paar Sendern ermittelt. Jedes Paar besteht aus einem "freien" Sender, der vier Frequenzen im Bereich 1,9 bis 2,4 MHz ausstrahlt, und einem Hilfssender, der die gleichen, von einem Hilfsempfänger aufgenommenen und dann um 40 Hzerhöhten Frequenzen aussendet. Aus der Phasenlage der an der Empfangsstation gewonnenen vier Schwebungsfrequenzen von 40 Hz zueinander ergibt sich die Lage zu den Sendern mit einer Genauigkeit von einigen 10 m bei einer Entfernung von 100 km. Die Genauigkeit ist begrenzt durch Ausbreitungsunregelmäßigkeiten und Raumwellen.

8877 H. Borg. Sur les possibilités techniques de réduction du bruit dans la réception des signaux faibles de radar. Ann. Télécomm. 11, 90—110, 1956, Nr. 5. (Mai.) (Paris, Univ.) Die Fragestellung wird eingeengt auf die nach der Gegenwart eines Echos in thermischem Geräusch. Der übliche inkohärente Detektor zerstört als irreversibles Element endgültig die in der HF-Phase liegende Information. Bei überschüssiger Bandbreite kann ein Filter, das das Band 1:n herabdrückt, das Signal/Geräusch (Leistungs-) Verhältnis s/b um einen Faktor n verbessern, wenn es vor dem Detektor liegt; liegt es dahinter, nur um √n. Ideal wäre ein Filter mit kammförmigem Durchlaß, entsprechend dem kannellierten Spektrum der regelmäßig wiederholten Impulse, aber die erforderliche Frequenzkonstanz scheint schwer erreichbar. Zeitliches Summieren im Takt der Repetitions-Frequenz hinter dem Detektor verbessert s/b nur um √N (Zahl der Perioden), während phasen-

1958

kohärente Addition um N verbessern würde. Bei inkohärentem Detektor und s/b < 0.1 ist s/b am Ausgang etwa das Quadrat des Eingangswertes. Eine kohärente Detektion kann durch Zumischen des (zwischenfrequenten) Trägers und Video-Filterung geschehen (was eine Transponierung auf die Frequenz null bedeutet); die Realisierung ist schwierig, vor allem bei bewegten Zielen, wo die Phase des zugemischten Trägers der des Echos entsprechen sollte, dagegen zur Ausschaltung von Festzielen gut brauchbar. Als Optimalfilter im Sinne von Wiener gilt eines, durch das (bei gegebener Impulsform) das Leistungsverhältnis von Signal (Spitze) zum Störpegel (Effektivwert) maximal wird. Nach MIDDLETON muß dann die Übertragungsfunktion die konjugierte der Fourier-Transformierten des Impulses sein. Der Gewinn dieses (nur in sehr speziellen Fällen verzerrungsfreien) Filters gegen die üblichen liegt bei 5 dB. Eine weitreichende Empfindlichkeitsverbesserung ist andererseits mit Hilfe der Autokorrelationsfunktion möglich, wenn die statistischen Zusammenhänge in einem genügend langen Zeitabschnitt untersucht werden. "Weißes" Rauschen sollte eine δ-Funktion als Autokorrelationsfunktion haben, jedes wiederholte Signal dagegen eine periodische. Noch bessere Resultate erhält man durch (Kreuz-)Korrelation des Empfangs mit dem ausgesandten Signal.

8878 Lawrence J. Giacoletto. Thermionic current in a parallel-plane diode. Trans. Inst. Radio Engrs, N. Y. ED-4, 22—24, 1957, Nr. 1. (Jan.) (Dearborn, Mich., Ford Motor Co., Sci. Lab.) Die exakte, schlecht auswertbare Formel für eine Diode mit Raumladung und endlicher Elektronen-Anfangsgeschwindigkeit wird durch eine relativ einfache durch Anpassen der Kurven gefundene Näherung ausgedrückt. Für Oxydkathoden bei 1000°K wird die sich ergebende Größengleichung angegeben.

Beneking.

8879 G. A. Stuart and B. Meltzer. Perturbation analysis of stationary dense electron flow and a space-charge-limited triode. J. Electronics 3, 51—62, 1957, Nr. 1. (Ferranti Ltd.; Univ. Edinburgh.) Bisher wurden die Raumladungsgleichungen der Elektronenströmung im Vakuum fast ausschließlich für geradlinige Elektronenbahnen gelöst. Mit diesen Lösungen können die einfachsten Fälle der ebenen, zylindrischen und sphärischen Diode beschrieben werden. Für die technisch interessanteren Fälle der Diode mit endlicher Anodenöffnung und der Triode sind noch keine geschlossenen Lösungen bekannt. Bei diesen verwickelteren Problemen sind die Differentialgleichungen nichtlinear. Mit Hilfe der Störungsrechnung werden aus bekannten Lösungen einfacherer Konfigurationen neue Lösungen entwickelt, die aus linearen separierbaren Differentialgleichungen gewonnen werden. Aus den allgemeinen Raumladungsgleichungen werden die Differentialgleichungen der gestörten ebenen, zylindrischen und sphärischen Diode entwickelt und diskutiert. Schließlich werden Verstärkungsfaktor und Steilheit einer Raumladungstriode mit ebenem sehr feinem Paralleldrahtgitter berechnet.

8880 Louis Gold. Space-charge in the relativistic magnetron. J. Electronics 3, 87—96, 1957, Nr. 1. (Lexington, Mass. Inst. Technol., Lincoln Lab.) Durch Einführung eines Dämpfungsterms, der den Energieaustausch zwischen Elektronen in der Kraftgleichung des Elektrons berücksichtigt, werden zwei bisher theoretisch nicht befriedigend erklärte experimentelle Beobachtungen an Magnetrons gedeutet. Für den Fall, daß das Beschleunigungsglied in der Kraftgleichung gegen den Dämpfungsterm vernachlässigt werden darf, folgt als geschlossene Lösung der Kombination von vereinfachter Kraftgleichung und Poissonscher Gleichung ein Strom-Spannungsgesetz, das sowohl die experimentell beobachteten Abweichungen vom Raumladungsgesetz der Diode als auch die Verschmierung der kritischen Bedingungen im Magnetron richtig beschreibt.

8881 Louis Gold. Kinetic theory of space-charge. I. Cut-off character of the static magnetron. J. Electronics 3, 97—102, 1957, Nr. 1. (Lexington, Mass. Inst. Technol., Lincoln Lab.) Für das Raumladungsverhalten des ebenen Magnetrons bei hohen Energiepegeln werden drei relativistische Lösungen entwickelt. Liegt der Energiepegel nur wenig außerhalb des Gültigkeitsbereiches der klassischen Beziehungen, so wird aus der Reihenentwicklung des klassischen Falles mit Hilfe der Störungsrechnung eine Lösung entwickelt, welche die Hullsche kritische Bedingung des Magnetrons als Störparameter enthält. Ferner werden für einen mittleren relativistischen und für einen extrem relativistischen Fall Reihenentwicklungen angegeben, welche die kritische relativistische Bedingung als Parameter enthalten.

8882 William E. Waters jr. Space-charge effects in klystrons. Trans. Inst. Radio Engrs, N. Y. ED-4, 49-58, 1957, Nr. 1. (Jan.) (Washington, D. C., Diamond Ordnance Fuze Labs.) Die Effekte, die das Gleichfeld der Raumladung in einem Reflex-Klystron hervorruft, wurden mit einer elektronischen Ziffernrechenmaschine berechnet. Es wurde gefunden, daß der elektronische Wirkungsgrad bis um den Faktor 10 durch bestimmte Raumladungsbedingungen vermindert werden kann, die in den üblichen Niederspannungs-Klystren auftreten können. Theorien für kleine Signalamplitude, welche die Wirkung der Raumladung mit einschließen, werden für zwei Fälle dargestellt, für das Reflexklystron und für das Zweischlitz-Verstärker- und -Oszillatorklystron. Als Resultat der Theorie erhält man z. B., daß die Leistungsverstärkung des Zweischlitzklystrons unter bestimmten Umständen um den Faktor 13,7 vergrößert werden kann. Die Raumladungseffekte haben im allgemeinen eine andere Einstellung der Gleichspannungen zur Erzielung einer maximalen Ausbeute an Hochfrequenzenergie zur Folge, als man'ohne Raumladungen errechnen würde. Ein Vergleich der errechneten Daten und Beziehungen mit experimentellen Werten ergibt, daß die Theorie das Verhalten der Ausgangsleistung, den Wirkungsgrad und die HF-Bandbreite mit der Anderung des Strahlstromes gut vorhersagen kann, wenn es sich um kleine Raumladungen handelt. Dies trifft bei großen Raumladungen nicht zu. Es werden Vorschläge für eine Verbesserung der Theorie gemacht.

Macek.

8883 N. C. Barford. Space charge neutralization by ions in linear flow electron beams. J. Electronics 3, 63-86, 1957, Nr. 1. (London Univ., Imp. Coll. Sci. a. Technol.) Die Integro-Differentialgleichung einer linearen Elektronenströmung unter Berücksichtigung der Raumladung der Elektronen und vorhandener Ionen wird mit Hilfe einer empirischen Beziehung für das Gesetz der Ionenbildung im Strahl gewonnen. Der Einfluß der Ionen wird durch einen einzigen Parameter Ø dargestellt, der vom Potential des Strahls, von der Strahlstromdichte und vom Gasdruck abhängt. Lösungen der Strömungsgleichung werden für einen großen Wertebereich von  $\Phi$  angegeben. Sie zeigen, daß für  $\Phi \gg 0.1$  so viel Ionen entstehen, daß die Raumladung der Elektronen kompensiert wird. Das gilt auch für den Fall, daß die Ionen von beschleunigenden Feldern abgezogen werden. Für  $oldsymbol{\phi} \ll 0.1$  kann eine Neutralisation nur erfolgen, wenn die Ionen an ihrem Ort festgehalten werden. Am Beispiel eines Reflexionsklystrons und eines Klystronverstärkers wird quantitativ gezeigt, welchen Einfluß die Ionen auf die Elektronenoptik ausüben. Groß.

8884 F. W. Gundlach. Kettenleiterröhren. Nachrichtentech. Z. 10, 265—276, 1957, Nr. 6. (Juni.) (Techn. Univ. Berlin, Inst. Hochfr. Tech.) Einleitend führt Vf. für Elektronenröhren, bei denen ein Elektronenstrahl in Wechselwirkung mit einem Wellenleiter periodischer Struktur (z. B. Wendel-, Kamm-, Leiter-Form) steht, die Bezeichnung Kettenleiterröhren ein. Während auf diese bisher fast

ausschließlich die Theorie der räumlichen Teilwellen angewandt wurde, wird in der Arbeit die für den Nachrichtentechniker übersichtlichere Kettenle tertheorie entwickelt. Zunächst wird gezeigt, daß man den Wellenleiter und den Elektronenstrahl in gleichartige Kettenglieder zerschneiden und diese ersatzbildmäßig in einen Achtpol auflösen kann; bei kleinen Aussteuerungen sind dessen Eingangsund Ausgangsgrößen durch lineare Gleichungen miteinander verknüpft. Es wird die Kettenmatrix aufgestellt und auf die, je nach den Randbedingungen möglichen Betriebsarten des Kettenleitersystems (Verstärkung, Selbsterregung, Steuerung, Anfachung) eingegangen. Um die Umständlichkeit der Rechnung zu vermeiden und zu brauchbaren Resultaten zu kommen, werden Näherungsdarstellungen für die einzelnen Glieder der Kettenmatrix gegeben und der Betriebszustand in der Näherungsdarstellung berechnet. Im folgenden Abschnitt wird das einfache Verstärkersystem hinsichtlich der Spannungsverstärkung (Ortskurvendarstellung) und der Selbsterregung eingehend untersucht. Die Verstärkung im Vorwärts- und Rückwärtsbetrieb sind reziprok zueinander. Die Voraussetzungen für eine nennenswerte Wechselwirkung zwischen dem Wellenleiter und dem Elektronenstrahl werden angegeben. Abschließend werden einige Beispiele für den Aufbau des Kettenleiters behandelt: gestreckte Vierpolkette,

L-M-C-Vierpolkette, geknickte Vierpolkette, geknickte homogene Leitung.

K. H. Fischer.

Jerome J. Suran. Small-signal wave effects in the double-base diode. Trans. Inst. Radio Engrs., N. Y. ED-4, 34—43, 1957, Nr. 1. (Jan.) (Syracuse, N. Y., Gen. Elect. Co., Electronics Lab.) Die Gleichungen für den Frequenzgang und das Einschwingverhalten der Stromübertragung in der Doppelbasisdiode werden theoretisch für kleine Signalamplituden berechnet und experimentell geprüft. Um zu diesen Ergebnissen zu gelangen, wird die Doppelbasisdiode als ein Verstärker für Signale geringer Amplitude betrachtet, dessen Arbeitspunkt in der Zone negativen Widerstandes liegt. Der so erhaltene Frequenzgang kann dazu verwendet werden, das Verhalten der Doppelbasisdiode vorauszusagen. Im einzelnen zeigen die Berechnungen folgendes: 1. Die Verteilung der Trägerdichte entlang der Doppelbasisdiode entspricht einer Wanderwelle. 2. Der Strom der Basis 1, der zufolge der Leitfähigkeitsmodulation durch die injizierten Träger entsteht ist (in Abhängigkeit von der Frequenz) eine Funktion der Form sin kw/kw. 3. Die Resonanzfrequenzen, bei denen kein Strom oder ein sehr kleiner Strom übertragen wird, können durch Veränderung der außen angelegten Spannungen verändert werden. 4. Die Rekombination der Träger bewirkt eine Dämpfung der Wanderwelle, die von der emittierenden Elektrode wegwandert. 5. Der Einfluß der Rekombination auf die Stromübertragung besteht darin, daß sie die tiefen Einschnitte bei den Resonanzfrequenzen vermindert. Macek.

8886 Daniel C. Buek. Stability of a cylindrical electron beam in nonsinusoidal periodic magnetic-focusing fields. Trans. Inst. Radio Engr. N. Y. ED-4, 44—49, 1957, Nr. 1. (Jan.) (Elmira, N. Y., Westhinghouse Elect. Corp.) Die Theorie von MENDEL, QUATE und YOCUM wird erweitert, so daß sie auch magnetische Felder einschließt, deren axiale Änderung periodisch, aber nicht sinusförmig ist. Magnetische Felder dieser Art werden in verschiedenen magnetischen Fokussierungseinrichtungen für Elektronenstrahlen, z. B. bei Wanderwellenröhren, verwendet. Ein störungsfreier Elektronenfluß wird erreicht, wenn man den Effektivwert des magnetischen Feldes gleich dem Brillouinschen Wert des Feldes setzt. Statt die nicht sinusförmige Feldverteilung in eine FOURIERsche Reihe zu entwickeln, wird ein Feldformfaktor eingeführt. Analytisch wurde gefunden, daß die Lage der stabilen Bereiche nicht von der Form des Feldes abhängt, sondern vom Effektivwert des Feldes. Um einen maximalen Strom in einer Wanderwellen-

röhre zu fokussieren, muß man das Verhältnis Effektiv- zu Spitzenfeldstärke des Feldes möglichst nahe eins machen, was durch geeignete Form der Polschuhe der Einzelmagnete möglich ist.

Macek.

Stanley A. Cohen. Traveling-wave tube gain fluctuations with frequency. Trans. Inst. Radio Engr. N. Y. ED-4, 70-78, 1957, Nr. 1. (Jan.) (Great Neck, L. I., N. Y., Sperry Rand Corp.) Die in Wanderwellenröhren auftretenden periodischen Verstärkungsschwankungen mit der Frequenz haben ihren Grund in Rückkopplungen durch Mehrfachreflexionen, welche durch Fehler im Abschluß der Röhre bedingt sind. Wenn die Verzögerungsleitung der Röhre elektrisch lang ist, so ändert sich die Phase der Rückkopplung rasch mit der Frequenz, und zwar vom Positiven ins Negative, so daß Frequenzgebiete mit positiver Rückkopplung und solche mit Gegenkopplung auftreten. Die stärkste Rückkopplung tritt auf, wenn die Phasendrehung entlang der Rückkopplungsschleife ein ganzzahliges Vielfaches von 2 π ist. Jedesmal, wenn die elektrische Länge der Rückkopplungsschleife sich um eine Wellenlänge ändert, tritt ein Maximum der Rückkopplung auf. Die Größe der Verstärkungsschwankungen hängt ab vom Verstärkungsfaktor, von der Dämpfung für rücklaufende Wellen und von den Reflexionsfaktoren an den Stellen unvollständigen Abschlusses. Durch Messung des Spannungsverhältnisses in der stehenden Welle im kalten Zustand der Röhre kann man, wenn die anderen Größen bekannt sind, die Größe der Schwankungen berechnen. Bei Signalen, deren Spektrum ein größeres Frequenzband einnimmt, führt dieser Effekt zu Verzerrungen. Macek.

8888 L. W. Holmboe and M. Ettenberg. Development of a medium power L-band traveling-wave amplifier. Trans. Inst. Radio Engr. N. Y. ED-4, 78—81, 1957, Nr. 1. (Jan.) (Great Neck, N. Y., Sperry Rand Corp.) Die Entwicklung und die Arbeitsdaten eines hochverstärkenden Wanderwellenverstärkers mittlerer Leistung wird beschrieben. Leistungen bis zu 7 Watt und ein Wirkungsgrad von 15% wurden erreicht. Die Verstärkung für Signale kleiner Amplitude erreicht 50 db in der Bandmitte und 35 db über einen Frequenzbereich von 450 bis 900 MHz. Die Röhre selbst ist aus Glas, mit einer Metallhülse an einem Ende für die Kathode und einem Kupferkollektor am anderen Ende. Eine Helix (einlagige Zylinderwicklung) ist als Verzögerungsleitung benutzt. Die Strahlspannung ist 750 V, der Strahlstrom 65 mA, das fokussierende Magnetfeld, das durch ein langes Solenoid erzielt wird, beträgt 200 Gauß, das "stehende Wellenverhältnis" für Eingang und Ausgang ist 1,3.

8889 A. E. Slegman and D. A. Watkins. Potential-minimum noise in the microwave diode. Trans. Inst. Radio Engrs, N. Y. ED-4, 82—86, 1957, Nr. 1. (Jan.) (Stanford, Calif., Univ.) Die vorliegende Arbeit stellt eine Weiterführung einer Arbeit von D. A. Watkins dar (J. appl. Phys. 26, 622, 1955). Sie gibt eine Theorie des Rauschens im Potentialminimum einer Hochfrequenzdiode und basiert auf einer physikalischen Vorstellung von einem wichtigen Effekt. Dieser wurde von Watkins vernachlässigt. Die Rechnung gestaltet sich wesentlich leichter als nach der Theorie von Whinnery. Einige bemerkenswerte Resultate werden erhalten, besonders im Hinblick auf die Möglichkeiten, das Rauschen von Wanderwellenröhren zu verkleinern. Die Theorie soll mehr zu praktischen Versuchen anregen. Sie kann keine genauen Voraussagen über das Rauschverhalten von Röhren liefern.

8890 Sven Olving. A new method for space charge wave interaction studies. I. Chalmers tek. Högsk. Handl. 1956, Nr. 178, 12 S. Die Abhandlung befaßt sich mit der Wechselwirkung zwischen einem elektromagnetischen Feld verzögerter Fortpflanzungsgeschwindigkeit und einem Elektronenstrahl. Die mathematisch

strenge Behandlung dieses Problems, das die Vorgänge in einer Wanderfeldröhre beschreibt, ist ziemlich mühevoll. Insbesondere, wenn sich die Röhrenparameter längs der Fortpflanzungsrichtung ändern, wird der mathematische Aufwand sehr groß. Solche Betrachtungen sind aber wichtig, um zu entscheiden, ob durch Kombination verschiedener Raumladungswellensysteme erhöhter Gewinn erzielt werden kann. Das Problem wird nun physikalisch in der Weise abgewandelt, daß man den Wendelradius gegen unendlich gehen und unendlich viele parallele Drahtwindungen nebeneinander laufen läßt. So entsteht das Bild eines unendlich ausgedehnten Mediums mit Drahtstruktur. Das Medium ist nicht leitend außer in bestimmten linearen Richtungen, die durch den Steigungswinkel der Spirale festgelegt sind. Auch der Elektronenstrahl ist nicht mehr begrenzt, sondern wird ins Unendliche ausgedehnt. Die mathematische Behandlung dieses Modells ist einfach. Durch Vergleich mit der strengen Theorie erkennt man, daß eine Beschreibung der physikalischen Vorgänge in der Wanderfeldröhre mit Hilfe dieses Ersatzbildes möglich ist.

8891 L. N. Loshakov. Calculation of approximate transmission-line propagation constants in the presence of an electron beam. Soviet. Phys.-Tech. Phys. 1, 792 bis 805, 1957, Nr. 4. (Engl. Übers. aus: J. tech. Phys. (russ.) 26, 809, 1956, Nr. 4, Apr.) Es wird ein neues Verfahren zur näherungsweisen Berechnung der Ausbreitungskonstanten von elektromagnetischen Wellen in Gegenwart eines Elektronenstrahls mitgeteilt. Die Ergebnisse der Theorie können zur Berechnung der Verstärkung von Wanderfeldröhren angewendet werden. G. Becker.

8892 Klaus Deutscher. Interferenz-Photokathoden erhöhter Ausbeute mit frei wählbarem spektralem Maximum. Naturwissenschaften 44, 486—487, 1957, Nr. 18. (2. Sept.-H.) (Wetzlar, Wiss. Abt. Opt. Werke Ernst Leitz GmbH.) Die Ausbeute wird dadurch gesteigert, daß fast die gesamte eingestrahlte Lichtenergie in der Photoschicht absorbiert wird. Das wird erreicht, wenn man die halbdurchlässige Schicht eines Interferenzspiegels als Photoschicht ausbildet. Die Untersuchungen wurden an einer Interferenzphotokathode aus den Komponenten Aluminium, Magnesiumfluorid und Antimon-Cäsium durchgeführt. Die MgF<sub>2</sub>-Schicht wurde als Keil aufgedampft und die gesamte Kathode mit einem monochromatischen Lichtfleck beliebiger Wellenlänge abgetastet. Beim Reflexionsminimum des Interferenzspiegels fand man ein Maximum des Photostroms. Als Verstärkung (maximaler Wert 9,5; abhängig von der Wellenlänge) wurde das Verhältnis des Photostroms des ganzen Systems zu dem der Photoschicht definiert. Heilig.

8893 H. Laporte. Photoelektrische Meßverfahren. Feingeräte-Tech. 6, 409—412, 1957, Nr. 9. (Sept.) (Berlin, Dtsch. Amt Maß Gewicht DDR.) Aufzählung der an eine Meßphotozelle zu stellenden Anforderungen, Charakterisierung der Alkalizelle und des Sekundärelektronenverstärkers und Beschreibung einiger technischer photoelektrischer Spezialgeräte.

A. Deubner.

## VII. Optik

8894 L. M. Biberman and B. A. Veklenko. Application of the theory of random processes to radiation transfer phenomena. Soviet Phys.-JETP 4, 440—442, 1957, Nr. 3. (Apr.) (Engl. Übers. aus: J. exp. theor. Phys. (russ.) 31, 341—342, 1956, Aug.) (Moscow, Power Inst.) Die Bewegung eines Photons wird unter folgenden allgemeinen Voraussetzungen als ein statistischer Prozeß behandelt: 1. das

Medium ist isotrop, 2. seine Eigenschaften sind Funktionen von Ort und Zeit, 3. das Photon kann gestreut, von einem Atom absorbiert und wieder emittiert oder bei einem Zusammenstoß zweiter Art absorbiert werden, 4. die Polarisation der Strahlung und die Bewegung des durch ein Photon angeregten Atoms werden nicht berücksichtigt.

- J. T. Cox, G. Hass and R. F. Rowntree. Two-layer anti-reflection coatings for glass in the near infra-red. Vacuum 4, 445-455, 1954, Nr. 4. (Okt.) (Erschienen Juni 1957.) (Fort Belvoir, Virg. U. S., Engineer Res. Develop. Labs.) Vff. untersuchen drei Arten von reflexvermindernden Zweischichtenüberzügen auf Glas vom Brechungsindex 1,51. Alle bestehen aus einer inneren Schicht mit hohem Brechungsindex und einer äußeren Schicht mit niederem Brechungsindex. Das Material für die Schicht mit niederem Brechungsindex ist stets MgF2 mit n1 = 1,38, wohingegen für die 2. Schicht mit hohem Brechungsindex verschiedene Stoffe gewählt wurden. Die 1. Überzugs-Art benutzt 2 1/4-Schichten, wobei n. = 1.7 ist; diese setzt das Reflexionsvermögen für  $\lambda = 1 \mu m$  praktisch auf Null herab. Das Reflexionsminimum ist sehr empfindlich gegenüber Dickenänderungen bei der Schicht mit niederem Brechungsindex, weniger dagegen bei der Schicht mit hohem Brechungsindex. Die 2. Überzugsart besteht aus einer dünnen Schicht ( $< \lambda/4$ ) mit niederem Brechungsindex und einer dicken Schicht ( $> \lambda/4$ ) mit hohem Brechungsindex, einer Kombination, die für alle n<sub>2</sub> > 1,7 ein Reflexionsvermögen nahe Null zu erreichen gestattet. Die 3. Überzugs-Art verwendet eine λ/2- und eine λ/4-Schicht. Man erhält zwei Reflexionsminima, die für na = 1,9 praktisch Null werden. Die Schichten wurden durch Verdampfung von Magnesiumfluorid, Siliciummonoxyd und Cerdioxyd im Hochvakuum hergestellt, Bei den beiden letzteren Substanzen hängt die Brechzahl sehr von den Aufdampfbedingungen ab, nicht dagegen beim MgF2. Nach diesen drei Verfahren behandelte Gläser wurden für Untersuchungen im nahen Ultrarot verwendet; die mechanische Widerstandsfähigkeit ist sehr befriedigend. G. Bauer.
- 8896 W. A. Fraser and R. Grove. Interchangeable f/1.0 re-imaging system for the infrared. J. opt. Soc. Amer. 47, 116, 1957, Nr. 1. (Jan.) (S. B.) (Chicago, Ill., Univ., Midway Lab.)

  Beggerow.
- 8897 H. Greinacher. Über Linsensysteme, dargestellt durch eine Spiegellupe. Praxis Phys. Chem. Phot. 6, 240—242, 1957, Nr. 9. (15. Sept.) (Bern). Die Eigenschaften der Kombination Planspiegel—Sammellinse (sogenannte Spiegellupe) wie die Vergrößerung und deren Abhängigkeit vom Abstand werden untersucht. Die Verwendbarkeit des Systems als Fernrohr und als Mikroskop wird behandelt. E. Saur.
- 8898 O. Hammer und A. Lohmann. Ein Monochromator auf der Basis der Totalreflexionsgrenze. Optik, Stuttgart 15, 30—34, 1958, Nr. 1.(Jan.) (Braunschweig, TH., Phys. Inst.) Bei dem neuen Monochromator wird das weiße Licht wie üblich durch Brechung zerlegt. Zur Isolierung des gewünschten Spektralbereichs vom Rest des Spektrums wird die scharfe Kante zwischen Totalreflexion und partieller Reflexion ausgenutzt. Ein experimentelles Beispiel ergab 300 Å Halbwertsbreite bei 65 % Transparenz. Weitere Verbesserungen sind möglich. A. Lohmann.
- 8899 Mahendra S. Sodha and Shashanka S. Mitra. Effect of natural line width on resolving power of Fabry Perot etalon. Optik, Stuttgart 15, 47—50, 1958, Nr. 1. (Jan.) (Allahabad-2, India, Univ. Dep. Phys.) Die Abhängigkeit des Auflösungsvermögens von der natürlichen Linienbreite und der Verbreiterung durch Doppler-Effekt wird in je einer Tabelle angegeben.

  Bayer-Helms.

- 8900 H. Greiner und E. Schäffer. Theorie eines Konkavgitter-Spektrometers. Optik, Stuttgart 15, 51—62, 1958, Nr. 1. (Jan.) Da bei den Spektrometern, die ein Konkavgitter in einmaliger Reflexion verwenden, welches zur Wellenlängenvariation gedreht werden muß, eine Defokussierung am Austrittsspalt auftritt, geben Vff. die Bedingungen für den optimalen Fall an. Bei feststehenden Spalten werden für einige Wellenlängenbereiche als Beispiel die günstigsten Winkel zwischen Einfall- und Ausfallrichtung, sowie die Abstände vom Gitterscheitelpunkt zum Eintritts- und Austrittsspalt berechnet.

  D. Hahn.
- 8901 R. E. Hopkins and W. Staudenmaier. A new design principle for high-aperture spectrographic objectives applicable to the ultraviolet. J. opt. Soc. Amer. 47, 117, 1957, Nr. 1. (Jan.) (S. B.) (Rochester, N. Y., Univ., Inst. Opt.)
- 8902 G. Milne, W. Staudenmaier and T. Putnam. A new drum-type timeresolved spectrograph. J. opt. Soc. Amer. 47, 117, 1957, Nr. 1. (Jan.) (S. B.) (Rochester, N. Y., Univ., Inst. Opt.)
- 8903 Kenneth B. Mitchell and David W. Steinhaus. A promising method of identification of spectra using a hollow-cathode discharge. J. opt. Soc. Amer. 47, 118, 1957, Nr. 1. (Jan.) (S. B.) (Los Alamos, N. Mex., Univ., Los Alamos Sci. Lab.)
- 8904 O. H. Olson and D. A. Pontarelli. Asymmetry of the G. E. recording spectrophotometer integrating sphere. J. opt. Soc. Amer. 47, 119, 1957, Nr. 1. (Jan.) (S. B.) (Chicago, Ill., Armour Res. Found., Inst. Technol.)
- 8905 Hellmuth Rudolph. Light sources for photoelectric spectropolarimetry. J. opt. Soc. Amer. 47, 119, 1957, Nr. 1. (Jan.) (S. B.) (Caldwell, N. J., O. C. Rudolph & Sons.)
- 8906 Hellmuth Rudolph. Three versions of the Rudolph-Brand photoelectric spectropolarimeter. J. opt. Soc. Amer. 47, 119, 1957, Nr. 1. (Jan.) (S. B.) (Caldwell, N. J., O. C. Rudolph & Sons.)
- 8907 Robert G. Greenler. A scanning Fabry-Perot interferometer for the infrared. J. opt. Soc. Amer. 47, 120, 1957, Nr. 1. (Jan.) (S. B.) (Baltimore, Maryl., Johns Hopkins Univ.)
- 8908 John Strong. Interferometry in the far infrared. J. opt. Soc. Amer. 47, 119, 1957, Nr. 1. (Jan.) (S. B.) (Baltimore, Maryl., Johns Hopkins Univ., Lab. Astrophys., Phys. Meteorl.)
- 3909 James B. Saunders. The inverting interferometer. J. opt. Soc. Amer. 47, 120, 1957, Nr. 1. (Jan.) (S. B.) (Washington, D. C., Nat. Bur. Stand.)
- 3910 F. Dow Smith. Contour measurements with a moire-fringe interferometer. J. opt. Soc. Amer. 47, 120, 1957, Nr. 1. (Jan.) (S. B.) (Boston, Mass., Univ.)
- 8911 P. D. Carman. An oblique interferometer for testing relatively poor surfaces. J. opt. Soc. Amer. 47, 120, 1957, Nr. 1. (Jan.) (S. B.) (Ottawa, Can., Nat. Res. Counc., Div. Appl. Phys.)
- 3912 Donald M. Packer. A simple, narrow-bandpass photometer for the night tirglow emission lines. J. opt. Soc. Amer. 47, 111, 1957, Nr. 1. (Jan.) (S. B.) Washington, D. C., Naval Res. Lab.)
- 1913 Marion Eppley and Alton R. Karoli. Absolute radiometry based on a change in electrical resistance. J. opt. Soc. Amer. 47, 114, 1957, Nr. 1. (Jan.) (S. B.)

  Newport, Rhode Isl., Eppley Found. Res.)

  Beggerow.

- 8914 B. S. Pritchard and G. W. Trytten. Radioactive light sources for photometric standardization. J. opt. Soc. Amer. 47, 118, 1957, Nr. 1. (Jan.) (S. B.) (Ann Arbor, Mich., Univ., Vision Res. Lab.)

  Beggerow.
- 8915 L. J. F. Broer, A. Deeleman and J. A. Rietdijk. A simple method for photographing transparent objects. Appl. sci. Res. Hague (B) 6, 253—258, 1957, Nr. 4. (T. H. Delft, Lab. Aerodyn. Hydrodyn.) Schlierenaufnahmen eines Überschallstrahles mit Hilfe einer geeignet begrenzten Flächenlichtquelle und einer Kamera.

  Oertel.
- 8916 R. E. Hopkins and N. S. Kapany. Field flatteners made of glass fibers. J. opt. Soc. Amer. 47, 117, 1957, Nr. 1. (Jan.) (S. B.) (Rochester, N. Y., Univ., Inst. Opt.)
- 8917 N. S. Kapany, J. A. Eyer and R. E. Kelm. Fiber optics. Image transfer on static and dynamic scanning with fiber bundles. J. opt. Soc. Amer. 47, 117, 1957, Nr. 1. (Jan.) (S. B.) (Rochester, N. Y., Univ., Inst. Opt.)
- 8918 Richard S. Hunter. Glossmeter improvements. J. opt. Soc. Amer. 47, 118, 1957, Nr. 1. (Jan.) (S. B.) (Falls Church, Virg., Hunter Ass. Lab.)
- 8919 Fred W. Billmeyer jr. Measurement of optical clarity by low-angle light scattering. J. opt. Soc. Amer. 47, 118—119, 1957, Nr. 1. (Jan.) (S. B.) (Wilmington, Dela., E. I. du Pont de Nemours Co.)

  Beggerow.
- 8920 R. Hanbury Brown and R. Q. Twiss. Interferometry of the intensity fluctuations in light. I. Basic theory: the correlation between photons in coherent beams of radiation. Proc. roy. Soc. (A) 242, 300—324, 1957, Nr. 1230. (5. Nov.) (Univ. Manchester, Jodrell Bank Exp. Stat.; Sydney, Aust., C. S. I. R. O., Div. Radiophys.) Zwischen den Emissionszeiten von Photoelektronen, die von ebenen Wellen an verschiedenen Orten (zwei Sekundärelektronen-Vervielfacher) erzeugt werden, bestehen zeitliche Interferenzen. Das Problem wird sowohl klassisch als auch quantenmechanisch behandelt. Beide Theorien ergeben dieselben Ergebnisse, zu deren Erläuterung die Analogie zwischen Ort-Impuls und Zeit-Energie in den Unbestimmtheitsrelationen herangezogen wird. Über eine experimentelle Bestätigung der Theorie und Anwendung zur Messung der Winkeldurchmesser von Sternen soll später berichtet werden.
- 8921 C. K. Narayanaswamy, P. S. Narayanan and R. S. Krishnan. Adiabatic piezo-optic coefficient of heavy water. Nature, Lond. 180, 497—498, 1957, Nr. 4584. (7. Sept.) (Bangalore, Ind. Inst. Sci., Phys. Dep.) Mittels einer interferometrischen Technik (C. V. Raman u. K. S. Venkataraman, Proc. roy. Soc. (A) 171, 137, 1930 u. Proc. Ind. Acad. Sci. 10, 121, 1939) wurde der piezo-optische Koeffizient gemessen. Der adiabatische piezo-optische Koeffizient beträgt für Na<sub>D</sub> 10,51 · 10-6/atm beim schweren Wasser, bei normalem Wasser 14,66 · 10-6. Die gesamten Meßdaten sind:

	n BrechExpon.	Q (Dichte)	a·10 <sup>5</sup> (kubischer Ausdehnungskoeff.)
schweres Wasser 99,8 %	1,3283	1,1042	22,82
normales Wasser	1,3326	0,9976	23,84

c,, (spez. Wärme)		$eta_{\mathbf{t}} \cdot \mathbf{10^6}$ (Kompressibilität $\mathbf{t} =  ext{Temp.}$ )	$eta_{arphi}$ . $egin{array}{c} eta_{arphi} \cdot 10^{6} \ (arphi \  ext{Entropie}) \end{array}$		
	schweres Wasser	1,0063	45,8	47,0	
	normales Wasser	4.000	46.06	45.6	

Keine der bekannten Formeln für die Refraktion, weder die LORENTZ-LORENZsche, die NEWTON-DRUDESche, die GLADSTONE-DALESche oder die EYKMANNSche genügt vollständig den experimentellen Daten, denn alle vernachlässigen den Temperatureffekt auf den Brechungsindex bei konstanter Dichte. Vff. kommen zu dem Schluß, daß die lokale Anisotropie des Feldes um jedes Molekül und die Änderung der Polarisierbarkeit der Moleküle bei jeder Theorie der optischen Eigenschaften von Flüssigkeiten in Rechnung gesetzt werden müssen. Ausführliche Veröffentlichung in Journal of the Indian Institut of Science angekündigt.

8922 Harold Osterberg and Alan Carlan. Snell's law with absorbing media. J. opt. Soc. Amer. 47, 116, 1957, Nr. 1. (Jan.) (S. B.) (Southbridge, Mass., Amer. Opt. Co., Res. Center.)

8923 G. Hass, W. R. Hunter and R. Tousey. On the optical constants of aluminum in the vacuum ultraviolet. J. opt. Soc. Amer. 47, 120—121, 1957, Nr. 1. (Jan.) (S. B.) (Fort Belvoir, Virg., Eng. Res. Devel. Lab.; Washington, D. C., Naval Res. Lab.)

8924 James A. Howard and Philip F. O'Brien. Effect of inclusions on interreflections in enclosures. J. opt. Soc. Amer. 47, 118, 1957, Nr. 1. (Jan.) (S. B.) (Los Angeles, Calif., Univ., Dep. Engng.) Beggerow.

8925 S. A. Moszkowski and Roland E. Meyerott. Photoelectric K and L shell absorption coefficients for highly ionized atoms. Astrophys. J. 124, 537—541, 1956, Nr. 3. (Nov.) (Los Angeles, Univ. Calif.; Santa Monica, Rand Corp.) Der Einfluß der Elektronenabschirmung auf die photoelektrischen Absorptionskoeffizienten, die einer Befreiung eines Elektrons aus der K-bzw. L-Schale entsprechen, wird berechnet. Dabei werden die früher von Meyerott berechneten Wellenfunktionen für K- und L-Elektronen (Ber. 34, 13, 1955) benutzt. Die Ergebnisse werden in Tabellenform dargestellt.

8926 Bipin K. Agarwal and M. Parker Givens. Soft X-ray absorption by thin films of vanadium. Phys. Rev. (2) 108, 650—659, 1957, Nr. 3. (1. Nov.) (Rochester, N. Y., Univ., Inst. Opt.) Die im Gebiet weicher Röntgenstrahlen zwischen 190 und 250 Å aufgenommenen Absorptionskurven von Vanadium-Filmen werden als eine Überlagerung von M<sub>3</sub>- und M<sub>2</sub>-Banden gedeutet. Ihr Verhältnis beträgt 2:1, ihr Abstand 1,5 eV. Die Probenherstellung wird beschrieben, der Reinheitsgrad der dünnen V-Schichten mitgeteilt. Zu Vergleichszwecken sind die entsprechenden, früher erhaltenen Ergebnisse an Cr und Fe in Tabelle und Bild hinzugefügt.

8927 Bertil Nordfors. The X-ray absorption in polystyrene and formvar in the region  $1-9~k\mathrm{X}U$ . Ark. Fys. 11, 587—589, 1957, Nr. 6. (Uppsala, Sweden, Univ., Dep. Phys.) Im Anschluß an frühere Untersuchungen über Celluloseacetat, Cellophan, Nylon, Mylar, Teflon wurden weitere Materialien durchgemessen, die als dünne Folien verarbeitet und z. B. als Zählrohrfenster oder als Absorber benutzt werden können. Die Bestimmung der Foliendicke erfolgte aus Dichte, Gewicht und Fläche, die Messung des Absorptionskoeffizienten mit den Linien AlKa, MoLa<sub>1</sub>, AgLa<sub>1</sub>, AgLb<sub>1</sub>, CuKa<sub>1</sub>. Polystyrol und Formvar haben von allen untersuchten Materialien die niedrigste Absorption. G. Schumann.

8929 Vidor Westberg. Measurements of noise radiation at 10 cm from glow lamps. Chalmers tek. Högsk. Handl. 1956, Nr. 180, 14 S. Es wird über die Messung der Strahlungsleistung von Glühlampen im 10 cm-Wellenband und Bestimmung der Glühlampentemperatur Tq aus der äquivalenten Antennentemperatur TA berichtet. Der Aufbau eines genügend empfindlichen und stabilen Empfängers wird beschrieben. Das prinzipielle Verfahren besteht darin, daß die Anderung der Empfangsenergie im 10 cm-Band bei Ab- und Anschalten der zu testenden Glühlampe gemessen wird. Der Zusammenhang zwischen der Änderung der äquivalenten Antennentemperatur ATA, die aus der Empfangsleistung und der Empfängerbandbreite folgt, und der Temperatur der Strahlungsquelle (Glühlampe) ist gegeben durch  $\Delta T_A = \Delta T_S G_0 \omega_S / 4\pi$  ( $\Delta T_S =$  Differenz der Glühlampentemperatur beim An- und Ausschalten,  $G_0 = \text{maximaler Antennengewinn}$ ,  $\omega_S = \text{Raumwinkel der Quelle}$ . Um die Änderung wegen des Empfängerrauschens noch zu entdecken, muß  $\Delta T_A > 300 \; \mathrm{F \cdot b/B} \; ^{\circ}\mathrm{K} \; \mathrm{sein} \; (\mathrm{F} = \mathrm{Rauschzahl})$ des Empfängers in dB; B = Bandbreite des Empfängers; b = Bandbreite des Meßgerätes im Ausgang). Es ist also b/B möglichst klein zu halten. Dann können noch Änderungen der Antennentemperatur von etwa 1°K gemessen werden. Strahlungsdiagramme bei 10 cm Wellenlänge werden im Anhang wiedergegeben und mit dem optischen Strahlungsdiagramm der gleichen Quelle verglichen, wobei beträchtliche Abweichungen zu erkennen sind, d. h., das Strahlungsdiagramm ist abhängig von der Wellenlänge.

8930 Reinhard Müller. Über ein Schärfemaß zur Beurteilung von photographischen Materialien. Photogr. Korr. 93, 131—134, 1957, Nr. 9. (Leverkusen-Bayerwerk, Agfa-Photof.) Wenn man einem photographischen Material eine scharfe Kontrastkante aufbelichtet, dann kann man aus dem registrierten Schwärzungsverlauf S(x) — wobei x den Abstand von der Kante bedeutet — ein Schärfemaß ableiten, in das als wesentliche Veränderliche nur der Differentialquotient (dS/dx) eingeht. Dies ist für die Genauigkeit bei der Auswertung verschiedener Schichten von Vorteil. — Das Verfahren wurde an fünf verschiedenen Schwarz-Weiß-Filmen erprobt und mit der von H. FRIESER (Phot. Korr. 92 (1956), 51) angegebenen "k-Zahl" (Maß für den Diffusionslichthof) verglichen.

8931 G. Russell. Photographic sensitizers in gelatin. Nature, Lond. 178, 280, 1956, Nr. 4527. (4. Aug.) (Brentwood, Essex, Ilford Ltd., Chem. Res. Lab.)
H. Ebert.

8932 H. E. J. Neugebauer. Quality factor for filters whose spectral transmittances are different from color mixture curves, and its application to color photography. J. opt. Soc. Amer. 46, 821—824, 1956, Nr. 10. (Okt.) (Montreal, Can., RCA Victor Co., Res. Lab.) Als Ergänzung einer früheren Arbeit (Phys. Bl. 4, 258, 1948) gibt Vf. ausführlicher die Definition eines Qualitätsfaktors q für Farbfilter auf der Grundlage der Theorie der orthogonalen Farbmischkurven nach D. L. MACADAM. q ist gleich eins für Farbmischkurven und ein positiver Bruch für alle anderen Filter. Die Differenz 1—q ist ein Maß für den durchschnittlichen Fehler, wenn ein beliebiges Filter an Stelle eines, dessen spektrale Energieverteilung eine Farbmischkurve ist, benutzt wird. Aus der Theorie folgt eine ziemlich präzise Definition von photographischen Filtern, die die gewöhnlichen Haupterfordernisse der Farbphotographie erfüllen und kleinere Fehler durch Abweichungen von Farbmischkurven ergeben als andere Filter. Vieth.

8928-8932

8933 Helmer Bäckström. The wedge spectrograph and the colour sensitivity of photographic plates and films. Appl. sci. Res., Hague (B) 4, 43—48, 1954/55. (Stockholm, Roy. Inst. Technol., Dep. Photogr.)

Weidemann.

8934 Duncan E. Macdonald and John T. Watson. Detection and recognition of photographic detail. I. Empirical data applicable to the prediction of performance of diffraction limited systems. J. opt. Soc. Amer. 46, 715—720, 1956, Nr. 9. (Sept.) (Boston, Mass., Univ., Phys. Res. Lab.) Im Rahmen grundlegender Untersuchungen über den Informationsgehalt von Luftbildern werden experimentelle Anordnungen zur labormäßigen Untersuchung der Entdeckung und Erkennung von Einzelheiten photographischer Negative in Abhängigkeit von Größe und Kontrast des Objektraumes angegeben. Messungen an fünf Emulsionen werden dargelegt.

8935 Hans J. Zweig. Autocorrelation and granularity. Part I. Theory. J. opt. Soc. Amer. 46, 805-811, 1956, Nr. 10. (Okt.)

Hans J. Zweig. Dasselbe. Part II. Results on flashed black-and-withe. emulsions. Ebenda S. 812-820. (Rochester, N. Y., Eastman Kodak Co., Res. Lab.) Es wird die Anwendbarkeit der Reihenanalyse von Zeitfunktionen auf Mikrophotometerkurven unter besonderer Berücksichtigung von zwei vorgeschlagenen Maßgrößen für die photographische Körnigkeit untersucht. Zwei gleichwertige Funktionen sind aus einem Mikrophotometerdiagramm zu erhalten: Ein Korrelogramm und ein Leistungsspektrum. Mit diesen Funktionen stehen sowohl Selwyns Maß für die Körnigkeit, das abhängig von der Schwärzungsdispersion  $\sigma_{\mathrm{D}}$  ist, als auch die "syzygetische" Schwärzungsdifferenz (S∆D) Av nach Jones und Higgins in direktem Zusammenhang. Die Bedingungen, unter denen die Funktionen äquivalent sind, werden aufgezeigt. Der Zusammenhang zwischen Selwyns Körnigkeitsmaß und der Art der Autokorrelationsfunktion und des Körnigkeitsspektrums wird diskutiert. Aus der experimentell erhaltenen Form der Autokorrelationsfunktion ist zu schließen, daß die Körnigkeitsfunktion on d nach SELWYN im wesentlichen konstant und unabhängig von d sein sollte. Der gefundene Anstieg mit d kann entweder durch makroskopische Änderungen der Schwärzung oder durch ein Zusammenwirken von endlicher Korngröße und unvollständiger Abbildung erklärt werden. Die erhaltenen Ergebnisse über die Körnigkeit werden mit solchen von Jones und Higgins verbunden, um ein Maß für die Körnigkeit von einheitlichen, belichteten Schwarz-Weiß-Emulsionen zu erhalten, das angenähert unabhängig von der Größe des Abtastfleckes und der Probenschwärzung ist. (Zfg.)

8936 Jiřina Vejvodová. On the problem of magnetic focusing of electron beams emitted with thermal velocities. Czech. J. Phys. 7, 191—201 (201), 1957, Nr. 2. (Orig. russ. m. engl. Zfg.) (Prague, Charles Univ., Chair. High Frequency Vac. Tech. Math.-Phys. Fac.) Die Elektronen werden durch ein elektrisches Feld beschleunigt und durch ein homogenes magnetisches Feld, das bis zur Kathode reicht, fokussiert. Die Stromdichteverteilung und der Strom durch die Öffnung der Anode werden für Maxwellsche Geschwindigkeitsverteilung und verschiedene Strahlquerschnitte berechnet. Die für einen vorgegebenen Grad der Fokussierung erforderliche magnetische Feldstärke wird angegeben. (Nach Zfg.)

Schiske

8937 K. Müller. Regelbare magnetostatische Linsensysteme für Elektronenmikroskope. Z. wiss. Mikr. 63, 303—238, 1947, Nr. 5. (Juni.) (Berlin, Siemens-Halske, Wernerwerk Meßtech.) Es werden die prinzipiellen Aufbaumöglichkeiten für äußerlich feldfreie Systeme und verschiedene Verfahren zur Brennweitenänderung diskutiert. Zur Beurteilung der Linsen wird der Parameter k² bestimmt, wofür zunächst an elektromagnetischen Linsen bei bekannter magnetischer Spannung die Abhängigkeit der Halbwertsbreite und Maximalstärke des magnetischen Feldes von der Linsengeometrie ermittelt werden. Für die statische Linse ergibt sich k² dann in Abhängigkeit von der Geometrie, der magnetischen Spannung und der Strahlspannung. Verzeichnung, Auflösung und Farbfehler werden abgeschätzt und in Diagrammen die Wirkung verschiedener Regelmöglichkeiten zur Brennweitenänderung gezeigt. Zwei magnetostatische Systeme und die Ergebnisse bei ihrer praktischen Erprobung werden ausführlich beschrieben.

8938 C. Magnan et P. Chanson. Note sur le contraste des images en microscopie protonique dû à la diffusion des protons et au processus de perte et capture de charge dans les objets de faible poids atomique. Proc. 3. Int. Conf. Electron. Microsc. London, Roy. Micr. Soc. 1956, S. 294—299. (Paris, Coll. France, Lab. Phys. Atom. Molécul.; Paris, Ecole Polytech.) Die mit einem Protonenmikroskop erzielten Aufnahmen schienen den Vff. kontrastreicher zu sein als vergleichbare elektronenmikroskopische Bilder. Auf Grund theoretischer Überlegungen wird gezeigt, daß mit Protonen tatsächlich höhere Kontraste erzielbar sind. Neben der Kontraststeigerung bei der Streuung um den Faktor 3 kommt beim Protonenmikroskop noch eine Kontrasterhöhung durch den Umladungseffekt der Protonen beim Durchdringen des Objektes hinzu. Rang.

8939 Maurice Legrand, André Lacam et Marc Grosjean. Dispositif simple pour la mesure de l'émission des poudres luminescentes excitables en ultra-violet. Suppl. J. Phys. Radium 18, 131 A—134 A, 1957, Nr. 11. (Nov.) Es wird ein Gerät beschrieben, welches in Verbindung mit einem BECKMAN-Spektralphotometer gestattet, sowohl die spektrale Strahldichteverteilung einer lumineszierenden Pulverschicht wie ihre spektrale Reflexionsverteilung zu messen. Die erhaltenen Emissionsspektren — es werden Beispiele einiger handelsüblicher Phosphore angeführt — sind auf ein energiegleiches Spektrum bezogen. D. Hahn.

8940 Albrecht Fischer. Elektrolumineszenz von Diamant. Z. Phys. 149, 107—110, 1957, Nr. 1. (23. Aug.) (Gießen, Justus-Liebig-Hochsch., Phys. Inst.) Isolierende Diamanten werden bei Feldstärken von 50 kV/cm bei gleichzeitig einsetzender Lichtemission leitfähig. Das Leuchten wird gedeutet als Stoßanregung der Leuchtzentren infolge Stoßionisationslawinenbildung. Die Löschfeldstärke liegt ungefähr 10 % niedriger als die Zündfeldstärke. Bei Feldstärken über 60 kV/cm traten Elektronen in scharf begrenzten Bündeln aus dem Kristall aus. Überlastung führt zu bleibenden Lumineszenz- und Leitfähigkeitsänderungen. Vorherige Beschießung der anodischen Seite mit Borionen verstärkt das Leuchten und führt zu unipolaren Effekten. Sie deuten auf verstärkte Löcherinjektion aus der behandelten Anode hin.

J. Woods. Some effects of electric fields on the luminescence of ZnS single crystals. J. Electronics 3, 531-533, 1957, Nr. 5. (Nov.) (Wembley, England, General Elect. Comp. Ltd., Res. Labs.) Es werden nicht-aktivierte ZnS-Einkristalle, die 1. blau, 2. grün eder 3. gar nicht unter UV-Anregung leuchten, im Hochvakuum unter Anlegung eines Gleichfeldes untersucht. Es zeigte sich bei Feldstärken > 5.104 V/cm blaues bzw. grünes homogenes Elektrolumineszenzleuchten, dagegen nicht bei Anlegen von Wechselfeldern. Nach Tempern im Vakuum trat der Effekt sogar schon bei Gleichfeldern von 2·10° V/cm auf; er wird auf eine Rekombination von freien Elektronen mit Löchern am Ort der Aktivatoren zurückgeführt. Nach der Vakuumtemperung zeigte sich eine Verstärkung des Nachleuchtens und der Thermolumineszenz, ebenfalls eine Feldverstärkung nach UV-Anregung. Wurden die Einkristalle mit Cu aktiviert, so trat nur Wechselfeldelektrolumineszenz auf, die entweder streifenweise oder in Kathodennähe beobachtet werden konnte. Hier wird auf die Bedeutung von Randschichten an den Elektroden hingewiesen. D. Hahn.

8942 Dietrich Hahn. Sur l'effet d'électrothermoluminescence. J. Phys. Radium 17, 748-753, 1956, Nr. 8/9. (Aug./Sept.) (S. B.) (Berlin-Charlottenburg, Phys. Tech. Bundesanst.) Mit Elektrothermolumineszenz wird das verschiedenartige Verhalten der Intensität mancher elektrolumineszenter Phosphore beim Abkühlen und Erwärmen bezeichnet. Wird ein derartiger Leuchtstoff von - 120°C erwärmt, so zeigt er bestimmte Maxima und Minima, die beim Abkühlen überhaupt nicht oder schwach in Erscheinung treten. Sie haben hinsichtlich ihrer Lage und ihrem gegenüber Feldstärke, Frequenz oder Erwärmungsgeschwindigkeit indifferenten Verhalten Ähnlichkeit mit den Glühkurven. Für das Zustandekommen des Effekts ist wichtig, daß die Zinksulfide einen (nicht näher beschriebenen) Gehalt an ZnO aufweisen, der ihnen auch durch nachträgliches oxydierendes Glühen verliehen sein kann. Wenn die Kristalloberfläche keinen Sauerstoff besitzt, müssen darin andere Donorniveaus vorhander sein, wie es z. B. im ZnS (Cu, Pb) der Fall sein könnte. Von diesen nimmt dann eine Elektronenlawine ins Leitfähigkeitsband ihren Ausgang, die den Effekt im wesentlichen erklären dürfte. Rogowski.

8943 A. Schmillen. Zur Frage der Energieübertragung in festen Polyacenlösungen. Z. Phys. 150, 124—133, 1958, Nr. 2. (27. Jan.) (Gießen, Univ., Phys. Inst.) Messungen der spektralen Verteilung und der Abklingdauern in der Fluoreszenz einiger fester Polyacen-Lösungen mit 1 oder 2 Fremdkomponenten (Anthracen, Tetracen, Naphthalin, Chrysen) als Funktion der Konzentration bestätigen die Existenz eines strahlungslosen Energie-Übertragungs-Mechanismus. Es wird unterschieden zwischen Excitonen-Einfang bei der Energieübertragung vom Grundgitter auf die Fremdmoleküle und Dipol-Dipol-Wechselwirkung für die Übertragung zwischen zwei verschiedenen Fremdkomponenten. Die mittlere Diffusionslänge des Excitons im Chrysen ergibt sich aus der Konzentrationsabhängigkeit der Fluoreszenz-Intensität zu ca. 55 Molekülabständen.

H. C. Wolf.

## VIII. Werkstoffe

8944 Albert Kochendörfer und Wilhelm Wink. Der Einfluß der Eigenschaften von Prüfmaschinen auf den Verlauf der Spannung-Dehnung-Kurven bei einmaligem und wiederholtem Kraftabfall. Arch. Eisenhüttenw. 28, 67—79, 1957, Nr. 2. (Febr.) (Düsseldorf, Max-Planck-Inst. Eisenforsch.) Bei einem einmaligen Streckgrenzenübergang ergibt die Differentialgleichung für den Weg des Kraftmeßgliedes je nach den Verhältnissen von Federkonstante, Masse und der Geschwindigkeitskonstanten, die ein Maß für die Abhängigkeit der Streckgrenzevon der Dehnungsgeschwindigkeit ist, einen schwingenden gedämpften oder einen aperiodisch gedämpften zeitlichen Verlauf der Kräfte. Die Übergangszeit t<sub>R</sub> von der oberen zur unteren Streckgrenze ist ebenfalls durch die Verhältnisse dieser Größen bestimmt. Die Beobachtungen über den Einfluß der Prüfmaschineneigenschaften bei wiederholtem Streckgrenzenübergang stimmen mit den Erwartungen überein.

8945 Kentaro Yamamoto and Kozo Ilzuka. Dynamic hardness testing apparatus of pendulum type. Rep. cent. Insp. Inst. Wghts Meas. Tokyo (jap.) 5, 36—49, 1956, Nr. 1. (Orig. jap. m. engl. Zfg.) V. Weidemann.

8946 M. Jacques Romand et Germaine Balloffet. Utilisation des étincelles glissantes pour l'analyse spectrochimique dans l'ultraviolet lointain; possibilité de détection et dosage du phosphore dans le cuivre et dans les alliages d'aluminium. J. Phys. Radium 18, 641—642, 1957, Nr. 11. (Nov.) (Bellevue, Lab. Hautes Pressions.) In gleicher Weise wie bereits für Stahl gezeigt (BALLOFFET und ROMAND, J. Phys. Radium. 16, 490, 1955 und Communication au 18 e Congrès du G.A.M.S. Paris 1955, 191) wird der Gleitfunken zur Bestimmung von Phosphor in Kupfer und in Aluminium benützt. Nachweislinie ist in beiden Fällen die Phosphorlinie 1117, 98 Å, als Bezugslinien werden Linien des Cu bzw. Al genommen. Fehlerbreite ± 15 % bzw. ± 20 %. Der große Unterschied in der Empfindlichkeit — die Nachweisgrenze beträgt in Kupfer 100 ppm, in Aluminium dagegen nur 3 ppm — wird diskutiert.

8947 Jean Blin. Diffusion centrale des rayons X par les métaux. Publ. sci. techn. Minist. Air 1956, Nr. 311, S. 1—97. Ausführlicher Bericht über Versuchsführung mit dem Röntgendiffraktometer und über die Fehlerkorrektionen, über experimentelle Ergebnisse an Metallfolien (Kupfer, Nickel, Aluminium, Zink) nach vorangegangener plastischer Deformation bzw. Rekristallisation und über theoretische Vorstellungen bezüglich des Einflusses der Versetzungen, der Korngröße und der Verunreinigungen.

8948 Adéla Kochanovská. The possibility of studying the distribution of lattice defects in crystallites by X-rays of various wavelengths. Czech. J. Phys. 7, 169—174 (174), 1957, Nr. 2. (Orig. russ. m. engl. Zfg.) (Prague, Czechosl. Acad. Sci., Inst. Tech. Phys.) Im Rückstrahlverfahren wurden bei Verwendung verschiedener Wellenlängen (K $\alpha$  von Mo, Cu, Co, Fe) genaue Gitterkonstantenbestimmungen an Wolframproben mit verschiedenen Beimengungen (O, Ni, Cu) durchgeführt. Als Bezugsmarken dienten jeweils dieselben zwei Linien eines Aluminium-Standards. Dabei wurde ein systematischer Gang der Gitterkonstante mit der Röntgenwellenlänge aufgefunden und die Abhängigkeit von den Beimengungen (auch bezüglich des Sintergrades der Proben) untersucht.

Weyerer.

8949 G. Sachs. Werkstoffbewertung und Konstruktionsanforderungen. Festvortrag anläßlich der Gauß-Gedenkfeier in Braunschweig am 30. April 1957. Abh. braunschw. wiss. Ges. 9, 36—47, 1957. (Syracuse, N. Y., USA.)

H. Ebert.

8950 Sigmund Weissmann. Quantitative study of substructure characteristics and correlation to tensile-property of nickel and nickel alloy. J. appl. Phys. 27, 1335 bis 1344, 1956, Nr. 11. (Nov.) (New Brunswick, N. J., Rutgers Univ., Coll. Engng.) Vf. wendet von ihm entwickeltes, (s. J. appl. Phys. 27, 389, 1956) beschriebenes und als Kombination von Röntgenmikroskopie mit Beugungsanalyse bezeichnetes Interferenzverfahren auf Ni 99,95 % und Ni-Legierungen mit 1 At.-% Ti bzw. 20 At.-% Co nach Dehnungs- und Wärmebehandlung an. Es ermöglicht quantitative Bestimmung von Menge, Größe, Orientierungsabweichung und Gitterverbiegung substruktureller Partikel innerhalb einzelner Körner polykristalliner Proben. Drei Größenordnungen solcher Substrukturen werden gefunden: 1. (größte) entspricht Anpassung relativ großer Bezirke an verformte Nachbarkörner, 2. (innerhalb 1.) feinen "kink"-Bändern, 3. (innerhalb 2.) Anpassung kleinster polygonisierter Bezirke an Verbiegung von Gleitlamellen. Vf. verfolgt Veränderung obengenannter Meßgrößen bei Kaltverformung und deutet sie im Sinne der Versetzungstheorie. Zusammenhang mit Festigkeitseigenschaften wird unter Hinweis auf Arbeit von Ancker und Parker (J. Met. 6, 1155, 1954), deren Ergebnisse größtenteils bestätigt werden, nur gestreift.

H. G. Otto.

8951 A. B. Watts and Hugh Ford. On the basic yield stress curve for a metal. Proc. Instn mech. Engrs, Lond. 169, 1141—1156, 1955, Nr. 58. (London, Univ., Imp. Coll. Sci. Technol., Appl. Mech.)

V. Weidemann.

8952 Albert Kochendörfer und Wilhelm Wink. Zugversuche an Stählen und Nichteisenmetallen bei hohen und tiefen Temperaturen in einer harten Prüfmaschine unter Verwendung von Dehnungsmeßstreifen zur Kraftmessung. Arch. Eisenhüttenw. 28, 41—48, 1957, Nr. 1. (Jan.) (Düsseldorf, Max-Planck-Inst. Eisenforsch.) Die Spannung-Dehnung-Kurven einer Anzahl von unlegierten und legierten ferritischen Stählen, von Aluminium und einer Aluminiumlegierung werden im Temperaturbereich zwischen —183 und 800°C aufgenommen und ihre Kennwerte (Streckgrenze  $\sigma_{\rm S}$ , Zugfestigkeit  $\sigma_{\rm B}$ , wahre Spannung  $\sigma_{\rm wR}$  beim Bruch und wahre Dehnung  $\varepsilon_{\rm wR}$  beim Bruch) in Abhängigkeit von der Temperatur wiedergegeben. An Hand von metallographischen Aufnahmen der elektropolierten Oberflächen wird die Ausbildung der Gleitspuren in Abhängigkeit von der Temperatur untersucht.

8953 Albert Kochendörfer und Herbert Scholl. Die Sprödbruchneigung von Stählen in Abhängigkeit von Spannungszustand und Temperatur. Stahl u. Eisen, Düsseldorf 77, 1006—1018, 1957, Nr. 15. (25. Juli.) (Düsseldorf, Max-Planck-Inst. Eisenforsch.) Die Untersuchungen des Formänderungsverhaltens von Stählen an gekerbten Biegeproben, die zur Unterdrückung der Druckverformungszone mit einem Stift versehen waren (Ber. 35, 1074, 1956), werden mit Proben ohne Stift fortgesetzt. Die bei beiden Probenformen erhaltenen Ergebnisse stimmen überein, die Druckverformungszone ist also ohne Einfluß. Die Mehrachsigkeit des Spannungszustandes wird einerseits durch die formbedingte Kerbziffer k, andererseits durch die aus den Festigkeitshypothesen sich ergebende Mehrachsigkeitszahl  $\kappa$  gekennzeichnet.  $\kappa = \kappa$  (k) wird angegeben. Die Extrapolation der Kurve für unendlich scharfe Kerben ( $k = \infty$ ) ergibt nicht  $\varkappa = 1$  des voll dreiachsigen Spannungszustandes, sondern  $\varkappa \approx 0.38$  in Einklang mit den theoretischen Erwartungen. Hinsichtlich Abhängigkeit der Sprödbruchtemperatur Ts von z ergibt sich, daß Ts allgemein mit zunehmendem z wächst, aber bei verschiedenen Stählen in verschiedenem Maße und von verschiedenen Werten bei  $\kappa=0$  aus. Die Ergebnisse zeigen, daß die Kerbschlagprüfung ein zuverlässiges Prüfverfahren der Sprödbruchneigung der Stähle darstellt, es aber erforderlich ist, mindestens mit zwei Kerbformen zu prüfen, und daß die Beseitigung von Eigenspannungen durch geeignete Wärmebehandlung eins der wirksamsten Mittel ist, um die Sprödbruchgefahr herabzusetzen. Kochendörfer.

8954 Albert Kochendörfer und Herbert Scholl. Zwillingsbildung und Sprödbruchneigung von Stählen. Arch. Eisenhüttenw. 28, 483-488, 1957, Nr. 8. (Aug.) (Düsseldorf, Max-Planck-Inst. Eisenforschg.; Abh. 721.) Es werden mikroskopisch und elektronenmikroskopisch drei Arten von Zwillingen festgestellt: 1. Breite Zwillinge mit unregelmäßigen Rändern und Einschnürungen (A-Zwillinge); 2. schmälere Zwillinge mit glatten und parallelen, aber mit Einbuchtungen versehenen Rändern (B-Zwillinge); 3. schmale, mikroskopisch nicht mehr auflösbare Zwillinge mit glatten und parallelen Rändern (C-Zwillinge). Das Auftreten der drei Zwillingsarten wurde in Abhängigkeit von der Kerbziffer k und der Temperatur T untersucht. Ein ursächlicher Zusammenhang zwischen der Zwillingsbildung und dem Eintritt des Sprödbruchs besteht nicht. Es wird folgende Vorstellung entwickelt: Die C-Zwillinge stellen die Anfangsstufe aller Zwillinge dar und entstehen zeitlich rasch durch Versetzungsbewegungen. Infolge der Spannungsfelder, die sie im umgebenden Werkstoff hervorrufen, wird ihr Weiterwachsen zunächst verhindert. Dieses findet erst statt, wenn durch Gleitvorgänge oder andere thermisch aktivierte Vorgänge die Spannungen hinreichend abgebaut sind. Bei einem verformungsarmen Bruch reicht hierfür die Zeit nicht bei allen Zwillingen aus, weshalb C-Zwillinge nur bei einem solchen Bruch bestehen bleiben können. Die von den B- nach den A-Zwillingen zunehmend unregelmäßige Form ist durch den örtlich unregelmäßigen Abbau der Spannungen bedingt. Der Übergang vom Verformungsbruch zum verformungsarmen Bruch in Stählen läßt sich auf Grund der neueren theoretischen Vorstellungen über den Bruchvorgang unabhängig von der Zwillingsbildung erklären. Kochendörfer.

Alfred Krisch. Verhalten warmfester Stähle im Langzeit-Standversuch bei 8955 500 bis 700°C, VI. Metallkundliche Untersuchungen an austenitischen und ferritischen Stählen nach Langzeitbeanspruchung. Arch. Eisenhüttenw. 28, 305-310, 1957, Nr. 5/6. (Mai/Juni.) (Düsseldorf, Max-Planck-Inst. Eisenforsch.) In Langzeit-Standversuchen bei 500 bis 700°C verschieden hoch und lange (bis rd. 10000 h) beanspruchte Proben aus den drei austenitischen Stählen X 8 CrNiTi 16 13, X 8 CrNiMoNb 16 13 und X 8 CrNiNb 16 13 sowie aus zwei ferritischen Stählen, einem Molybdänstahl (15 Mo 3) und einem Chrom-Molybdän-Vanadin-Stahl (24 CrMoV 5 5), wurden der elektrolytischen Isolierung unterworfen und das Isolat mikroanalytisch und röntgenographisch untersucht. Bei allen Stählen wurden Veränderungen der isolierten Karbide durch die Zeitstandbeanspruchung gefunden. Während bei den austenitischen Stählen im Ausgangszustand das Isolat größtenteils aus dem Karbid des Stabilisierungselementes, also TiC oder (Nb/Ta)C bestand, wurde nach etwa 1000stündigen Versuchen bei 600°C zusätzlich das Karbid Me<sub>23</sub>C<sub>6</sub> gefunden. Bei einem der drei Stähle (X 8 CrNiTi 16 13) trat nach etwa 6000 h bei dieser Temperatur die σ-Phase hinzu, sehr viel schneller bei Versuchen bei 650°C. Der zweite austenitische Stahl X 8 CrNiMoNb 16 13 zeigte die σ-Phase nur bei Zeitstandversuchen bei 650° und darüber. Die Proben der beiden ferritischen Stähle zeigten wohl eine Anreicherung der Karbide an Legierungselementen während des Zeitstandversuches, doch konnte röntgenographisch noch keine Strukturänderung im Kristallaufbau nachgewiesen werden.

8956 Alfred Krisch und Wolfgang Wepner. Zur Umrechnung von Zeitstandwerten auf andere Temperaturen. Arch. Eisenhüttenw. 28, 339—344, 1957, Nr. 5/6. (Mai/Juni.) (Düsseldorf, Max-Planck-Inst. Eisenforsch.) An Hand einer größeren Zahl Versuchsergebnisse an ferritischen und austenitischen Stählen wurde die Genauigkeit der Formel nach Larson und Miller (19) (Berechnung der Bruchzeiten bei tieferer Temperatur aus Versuchen bei höherer Temperatur) untersucht. Es zeigte sich, daß auch bei geeigneter Wahl der Konstanten die Formel für die Praxis zu ungenau ist.

W. Wepner.

8957 Walter Koch, Alfred Krisch und Angeliea Schrader. Die Karbide und das Zeitstandverhalten von Chrom-Molybdän-Vanadin-Stählen. Arch. Eisenhüttenw. 28, 445—459, 1957, Nr. 8. (Düsseldorf, Max-Planck-Inst. Eisenforsch., Abh. 818) An zwei Chrom-Molybdän-Vanadinstählen mit rd. 0,19% C, 1,3% Cr, 1,05% Mound 0,55% V sowie 0,17% C, 1,1% Cr, 1,15% Mound 0,35% V, 1,3% Cr, 1,05% Mound 0,55% V sowie 0,17% C, 1,1% Cr, 1,15% Mound 0,35% V, 1,0% cr, 1,05% Mound 0,35% V, 1,0% Cr, 1,0% Mound 0,35% V, 1,0% Mound 0,35% V, 1,0% Cr, 1,0% Mound 0,35% V, 1,0% Mound 0,35% V, 1,0% Mound 0,35% V, 1,0% V, 1,0% Mound 0,35% V, 1,0% V, 1,0% Mound 0,35% V, 1,0% Mound 0,35% V, 1,0% Mound 0,3

von Molybdäneisenkarbiden Fe<sub>3</sub>Mo<sub>3</sub>C auf den ehemaligen Austenitkorngrenzen im Laufe des Zeitstandversuches bedingt Spannungsspitzen. An diesen Stellen beginnt das Aufreißen der Korngrenzen und der spätere verformungsarme Bruch.

8958 P. W. Bridgman. High pressure polymorphism of iron. J. appl. Phys. 27, 659, 1956, Nr. 6. (Juni.) (Cambridge, Mass., Harvard Univ., Lyman Lab.) Aus ihren Untersuchungen mit Stoßwellen aus Eisen schlossen BANCROFT, PETERSON und MINSHALL (1956), daß bei etwa 130000 at und bei Zimmertemperatur eine Umwandlung des Eisens von der α- in die γ-Modifikation stattfindet. Die Unterschiede zwischen diesem beobachteten und dem berechneten Druckwert von etwa 100000 at sind nicht sehr groß. Nach allgemeiner Ansicht dürfte eine Umwandlung, die mit einer Gitteränderung verbunden ist, nicht in der kurzen Zeit von einigen Mikrosekunden vor sich gehen. Sie ist auch bei Atmosphärendruck nicht schnell und scharf, sondern sie ist mit einer Hysteresis von 8° zwischen Temperaturzunahme und -abnahme verbunden. Vf. untersucht die Umwandlung unter Druck bei Zimmertemperatur mit Hilfe elektrischer Widerstandsmessung in seiner bekannten Anordnung. Bis 173000 kp/cm² war keine plötzliche Widerstandsänderung aufgetreten. Bei höherem Druck gingen Apparateteile zu Bruch. Wenn auch Umwandlungen ohne Änderungen im elektrischen Widerstand (z. B. Wismut bei 65000 kp/cm²) bekannt sind, so glaubt Vf., daß die Diskontinuität der Stoßwellen eine andere Ursache haben müßte.

8959 L. Kozowski. An attempt to evaluate penetration depth of cathodic hydrogen into silicon steel by the method of coercive force measurements. Bull. Acad. polon Sci. 5, 733—736, 1957, Nr. 7. (Polish Acad. Sci., Inst. Phys. Chem.) Vf. bestimmt die Koerzitivkraft eines Stahles, der 3,2 % Silicium enthält. Die Beladung mit Wasserstoff erfolgt durch kathodische Abscheidung aus 1 n H<sub>2</sub>SO<sub>4</sub>, der 0,2 g As<sub>2</sub>O<sub>3</sub>/l zugesetzt war. Die Erhöhung der Koerzitivkraft bei Proben verschiedener Stärke erlaubt die ungefähre Berechnung der Eindringtiefe des Wasserstoffs zu 0,6 mm.

8960 F. W. von Batchelder and R. F. Raeuchle. Lattice constants and Brillouin zone overlap in dilute magnesium alloys. Phys. Rev. (2) 105, 59-61, 1957, Nr. 1. (1. Jan.) (Washington, D. C., U. S. Nav. Res. Lab.) Die Gitterkonstanten von verdünnten Substitutions-Legierungen von Magnesium mit Indium, Aluminium und Cadmium wurden als Funktion der Zusammensetzung bei Zimmertemperatur gemessen. Eine starke Änderung des Achsenverhältnis c/a wurde nur im Falle der Magnesium-Indium-Legierungen bei etwa 1,5 bis 2,3 Atom % Indium-Zusatz beobachtet. Da auch die elektrischen Eigenschaften der Legierungen sich in diesem Bereich deutlich ändern, wird der beobachtete Effekt, wie schon vorher von anderen Autoren, mit der Änderung der Ladungsträgerkonzentration bzw. der Energiebandstruktur beim Legieren in Zusammenhang gebracht. Im Falle der Magnesium-Aluminium-Legierungen hängt das Achsenverhältnis linear von der Zusammensetzung ab bis zu 10 Atom % Al-Zusatz. Da die elektrischen Eigenschaften sich aber hier ebenfalls bei etwa 1 Atom % Al-Zusatz ändern, wird vermutet, daß eine Änderung der Energiebandstruktur, z.B. Überlappung der BRILLOUIN-Zonen, nicht notwendig zu einer anormalen Änderung des Achsenverhältnis c/a Anlaß gibt, sie soll auch eine Änderung der Nahordnung verursachen können.

8961 J. W. Christian and J. Spreadborough. Stacking faults and dislocations in copper-aluminium and cobalt-nickel alloys. Proc. phys. Soc. Lond. (B) 70, 1151 bis 1161, 1957, Nr. 12 (Nr. 456 B). (1. Dez.) (Oxford, Univ. Mus., Dep. Metall.) Unter Anwendung der Theorie von Paterson (Ber. 33, 337, 1954) werden die Dichten der Schichtenfehler bei stark kaltverformten Pulvern von Kupferalumi-

nium- und Kobaltnickellegierungen aus der Verschiebung der Maxima ermittelt. Die Versetzungsdichten variieren mit der Zusammensetzung weniger als die Fehlerdichten. Fehler und Versetzungen verschwinden beim Anlassen im gleichen Verhältnis.

- 8962 W. B. Pearson and L. T. Thompson. The lattice spacings of nickel solid solutions. Canad. J. Phys. 35, 349—357, 1957, Nr. 4. (Apr.) (Ottawa, Nat. Res. Counc., Div. Pure Phys.) Es wird über neue Messungen der Gitterabstände in festen Lösungen der Elemente Cr, Mn, Co, Zn, Ga, Ge, In und Sn in Ni berichtet. Die Meßergebnisse werden mit den Ergebnissen anderer Autoren verglichen und diskutiert. Die totale Gitteränderung \( \alpha \) a pro Atomprozent der gelösten Substanz folgt mit Ausnahme von Ge in bemerkenswert guter Übereinstimmung der relativen auf Nickel bezogenen Änderung der Größe der gelösten Atome. Es wird vermutet, daß für das starke Abbiegen der Kurve: Gitterabstand prozentuale Zusammensetzung bei den Systemen Ni-V, Ni-Cr und Ni-Mn eine Änderung der Verteilung der d-Elektronen maßgebend ist. Zwischen der totalen Gitteränderung und der Abnahme der Schmelztemperatur der festen Nickellösungen besteht eine gute qualitative Übereinstimmung.
- 8963 W. B. Pearson. Lattice distortion in terminal solid solutions of the first long period transition metals and copper. Canad. J. Phys. 35, 358—362, 1957, Nr. 4. (Apr.) (Ottawa, Nat. Res. Counc., Div. Pure Phys.) Die gesammelten Daten der makroskopischen Gitterverzerrungen in festen Lösungen der Elemente der "ersten langen Periode" untereinander und in Cu werden zusammen mit ähnlichen Daten für die in Cu, Ag und Au gelösten Elemente der B-Gruppe dargestellt. Während die "Gitteränderungen der Übergangsmetallegierungen der relativen Änderung der Atomgröße des gelösten bzw. lösenden Elementes folgen, gilt dies für die festen Lösungen der Elemente der B-Gruppe in Cu, Ag und Au nicht. Zwischen der Größe der Gitterabstandsänderung und der Löslichkeit der Übergangsmetalle der ersten langen Periode in Cu besteht keine Korrelation.

Dehoust.

- 8964 L. F. Bates, D. A. Christoffel, H. Clow and P. F. Davis. A correlation of the thermomagnetic and domain behaviour of a single crystal of silicon-iron. Proc. roy. Soc. (A) 243, 160—171, 1957, Nr. 1233. (24. Dez.) (Nottingham, Univ., Dep. Phys.) Auf Grund von Messungen der Wärmeerscheinungen, welche bei der Magnetisierung eines Einkristalls aus 2% igem Siliciumeisen in der [001]-Richtung auftreten, und von Untersuchungen der BITTERSchen Figuren an derselben Probe wird die Theorie des magnetothermischen Effektes erweitert (Ber. 35, 279, 1956 und 36, 1043, 1957). An der polierten und geätzten Probe ließen sich die früher beobachteten Rauten- und Kaulquappen-Strukturen (Ber. 36, 870, 1957) reproduzieren. Von Untersuchungen an Einkristallen in anderen Magnetisierungsrichtungen wären nach Ansicht der Vff. weitere Aufschlüsse zu erwarten.
- 8965 Mikio Yamamoto and Satoshi Taniguchi. The density, magnetic properties, Young's modulus, and Δ E-effect, and their changes due to quenching in ferromagnetic iron-aluminium alloys. I. The density and magnetic properties. II. Young's modulus and the ΔE-effect. Sci. Rep. Res. Insts Tôhoku Univ. (A) 8, 112—124/193—204, 1956, Nr. 2/3. (Apr./Juni.) (Res. Inst. Iron, Steel other Met.) Weidemann.
- 8966 William S. Rodney, Irving H. Malitson and Thomas A. King. Refractive and dispersive properties of arsenic trisulfide glass. J. opt. Soc. Amer. 47, 115—116, 1957, Nr. 1. (Jan.) (S. B.) (Washington, D. C., Bur. Ships.)

  Beggerow.

A. B. Brown, J. W. Sparks and F. M. Smith. Viscoelastic properties of a high-consistency asphalt. J. Colloid Sci. 12, 283-293, 1957, Nr. 3. (Juni.) (Whiting, Indiana, Standard Oil Comp., Res. Dep.) Zylindrische Proben eines hochviskosen, geblasenen Asphalt-Bitumens mit einem Erweichungspunkt von 90°C wurden bei 20°C im Zugversuch getestet. Bei Belastungen von 4·105dyn/cm² aufwärts wurde die elastische Verformung, Kriechen, Spannungsrelaxation und Rückfederung gemessen. Die erhaltenen Kurven lassen sich theoretisch durch ein Modell mit einer freien Feder, einem Dämpfungskolben und vier gedämpften elastischen Elementen unter Hinzunahme von Schermodul und Viskositätsmodul darstellen. Kriechen und schleichende Rückfederung lassen sich am besten mit einem Schermodul von  $G=6,2\cdot 10^7$  dyn/cm² und einem Viskositätsmodul  $n=2\cdot 10^{11}$  P wiedergeben, während für die Spannungsrelaxation  $G=3,1\cdot 10^7$  dyn/cm² und  $n=10^{11}$  P die günstigsten Werte sind. An der beobachteten elastischen Wirkung hat die reine Hookesche Elastizität nur einen Anteil von 1 %.

8968 Ludwig von Bogdandy und Wolfgang Janke. Über die Bedeutung der Porendiffusion bei der Reduktion von Eisenerzen. Z. Elektrochem. 61, 1146-1153, 1957, Nr. 9. (30. Nov.) (Hüttenwerk Oberhausen AG.) Vff. untersuchten an porösem, kugelförmigem Fe<sub>2</sub>O<sub>3</sub> die Reduktion von Eisenerzen, wobei sie die geschwindigkeitsbestimmenden Faktoren bei der als maßgebend erkannten Teilumsetzung FeO+Gas ermittelten. Dabei spielen mehrere Vorgänge eine Rolle, wie Gasdiffusion durch eine am Erzstück adhärierende Gasschicht, Gasdiffusion in den Poren und die Phasengrenzreaktion FeO + Gas. Es ergab sich, daß die Geschwindigkeit der Gasdiffusion in den Poren von der Reaktionsfront ins Freie im Temperaturgebiet zwischen 600 bis 900°C die totale Umsatzgeschwindigkeit bestimmt. Bei niedrigeren Temperaturen tritt die Phasengrenzreaktion Fe-Oxyd + H<sub>2</sub> = Fe + H<sub>2</sub>O in den Vordergrund, erkennbar an einem Ansteigen des Temperaturinkrements. Allgemein entsprach das Temperaturinkrement der Reduktionsgeschwindigkeit dem des Gasdiffusionskoeffizienten. Nach den Versuchen ist für die Reduktionsgeschwindigkeit poröser Erze nicht nur das Porenvolumen relativ zum Erzvolumen entscheidend, sondern auch der Labyrinthfaktor der Gasdiffusion in den Poren, in seiner Abhängigkeit vom Reduktionsgrad.

L. W. Davies. The ultimate distribution of impurity in the zone-melting process. Phil. Mag. (8) 3, 159-162, 1958, Nr. 26. (Febr.) (Sydney, Australia, C. S. I. R. O., Div. Radiophys.) Beim Zonenschmelzprozeß passieren Schmelzzonen konstanter Länge einen festen Barren, dessen Substanz von den Verunreinigungen befreit werden soll, deren Verteilungskoeffizient k zwischen Festkörper und Flüssigkeit sich von 1 unterscheiden muß. Vf. berechnet die Endverteilung der Verunreinigungen unter den Annahmen vollkommener Mischbarkeit in der Flüssigkeit, vernachlässigbarer Diffusion der Verunreinigung im Festkörper und Unabhängigkeit des Koeffizienten k von der Konzentration. Die numerische Berechnung wird für k = 0,1 durchgeführt. M. Wiedemann.

8970 I. Braun, F. C. Frank, S. Marshall and G. Meyrick. Electromagnetic stirring in zone refining. Phil. Mag. (8) 3, 208-209, 1958, Nr. 26. (Febr.) (Bristol, Univ., H. H. Wills Phys. Lab.) Das Zonenschmelzverfahren von Aluminium-Barren, 3/8 inch Durchmesser, 44 cm Länge und 99,99 % Reinheit wurde durch Rühren in der Schmelzzone mittels eines rotierenden Magnetfelds von etwa 100 Oerstedt verbessert. Das Magnetfeld wurde durch drei im Winkel von 120° um den Ofen gewundenen Kupferspulen, die mit dreiphasigem Wechselstrom von 50 Hz gespeist wurden, erzeugt. Die Rekristallisationszeit war bei den von den Enden des Barrens genommenen Proben deutlich verkürzt. M. Wiedemann.

8971 F. H. Scott. An X-ray investigation of alloy phases in soldered joints. Cah. Phys. 11, 333—346, 1957, Nr. 86/87. (Okt./Nov.) Die Haltbarkeit von Lotverbindungen ist durch Legierungsbildung und Diffusion begrenzt. Für die Untersuchung dienten spektroskopisch reines Zinn, Blei, Cadmium und Zink als Lote, die zu verbindenden Metalle waren Stäbe aus Kupfer bzw. Zink. Durch metallographische und röntgenographische Methoden wurde festgestellt, daß in den intermediären Phasen des Gleichgewichtssystems, welches in dünnen Schichten zwischen Lot und gelötetem Metall gebildet wird, Bruch eintrat. Scharnow.

8972 Werner Espe. Schweißen in der Vakuumtechnik. II. Teil. Vakuum-Tech. 6, 123-129, 1957, Nr. 6. (Sept.) In diesem 2. Teil (1. Teil s. Vakuum-Tech. 6, 91, 1957) werden behandelt: Lichtbogen-, Gasschmelz-(Flammen-) Schweißung. H. Ebert.

## IX. Biophysik

8973 W. Pohlit und H. Schittko. Zur Papierelektrophorese in feuchter Kammer. I. Kolloidzschr. 156, 71-73, 1958, Nr. 1.

W. Pohlit und H. Schlttko. Eine Methode zur Messung der Beweglichkeit von Eiweißmolekülen bei der Papierelektrophorese. II. Ebenda S. 73—76. (Frankfurt) Main, Max-Planck-Inst. Biophys.) Die elektrophoretische Wanderung (im Beispiel von Eiweißkörpern) auf Papier in einer feuchten Kammer wird rechnerisch dargestellt, so daß die günstigsten Trennungsbedingungen angegeben werden können. Im Experiment zeigen sich das Vorhandensein einer "freien" Elektrophorese und die Möglichkeit, durch eine einfache, auf graphischem Wege durchgeführte Berücksichtigung der Elektrolytbewegung genaue Werte der Beweglichkeit zu erhalten. H. Ebert.

8974 L. E. Curtiss, Basil Hirschowitz and C. W. Peters. A long fiberscope for internal medical examinations. J. opt. Soc. Amer. 47, 117, 1957, Nr. 1. (Jan.) (S. B.) (Ann Arbor, Mich., Univ.,) Beggerow.

Georg v. Hevesy. Die Bedeutung der Radio-Isotopen-Forschung für Medizin und Biologie. Strahlentherapie 102, 341-354, 1957, Nr. 3. (März.) (Stockholm.) V. Weidemann.

8976 Frederick W. Hebbard and Elwin Marg. Physiological nystagmus in cats. J. opt. Soc. Amer. 47, 112, 1957, Nr. 1. (Jan.) (S. B.) (Berkeley, Calif., Univ., School Optom.)

8977 R. Wagner und A. Bleichert. Über den Frequenzgang der Pupillenreaktion auf Licht. Naturwissenschaften 44, 227-228, 1957, Nr. 7. (Apr.) (München, Univ., Physiol. Inst.) Bei periodischer Änderung der Beleuchtungsstärke mit Amplituden von 9,51x und 4,51x und Frequenzen zwischen 0,067 und 3 Hz wurde durch Infrarotkinematographie die Anderung der Pupillenweite des menschlichen Auges bestimmt. Der Frequenzgang in Polarkoordinaten zeigt, daß der Phasenwinkel π zwischen der Änderung der Beleuchtungsstärke und den dazu gehörigen Änderungen der Pupilienfläche bereits zwischen 1 und 2 Hz erreicht wird. M. Wiedemann.

8978 C. E. M. Hansel. Combination of photoreceptor responses in the photopic

luminosity characteristic. Nature, Lond. 179, 1290-1291, 1957, Nr. 4573. (22. Juni.) (Univ. Manchester, Dep. Phys.) Die phototopische Lichtstärken (P)-Charakteristik gibt die Lichtstärken bei verschiedenen Wellenlängen an, die

- dem Beobachter von gleicher Helligkeit erscheinen. Bei Gültigkeit des Weber-Gesetzes folgt zwischen Empfindung und Reiz die Beziehung 3 log P = log B + log G + log R mit B, G, R = Lichtabsorption der Farbrezeptoren, die gewisse Schwierigkeiten bietet.

  M. Wiedemann.
- 8979 Gerald Westhelmer. Accommodation measurements in empty fields. J. opt. Soc. Amer. 47, 112, 1957, Nr. 1. (Jan.) (S. B.) (Columbus, O., State Univ., School Optom.)
- 8980 Jay Martin Enoch. Summated response of the retina to light entering different parts of the pupil. J. opt. Soc. Amer. 47, 114, 1957, Nr. 1. (Jan.) (S. B.) (Columbus, O., State Univ., School Optom.)
- 8981 A. B. Kristofferson and H. Richard Blackwell. Effects of target size and shape on visual detection. I. Continuous foveal targets at moderate background luminance. J. opt. Soc. Amer. 47, 114, 1957, Nr. 1. (Jan.) (S. B.) (Ann Arbor, Mich., Univ., Vision Res. Lab.)
- 8982 Stanley W. Smith and H. Richard Blackwell. Effects of target size and shape on visual detection. II. Continuous foveal targets at zero background luminance. J. opt. Soc. Amer. 47, 114, 1957, Nr. 1. (Jan.) (S. B.) (Ann Arbor, Mich., Univ., Vision Res. Lab.)
- 8083 H. Richard Blackwell. A literature survey of the effects of target size and shape upon visual detection. J. opt. Soc. Amer. 47, 115, 1957, Nr. 1. (Jan.) (S. B.) (Ann Arbor, Mich., Univ., Vision Res. Lab.)

  Beggerow.
- 8984 Yves le Grand. La vision binoculaire aux faibles excitations. Col. Probl. Opt. Vision, Inst. Optica Madrid. I., S. 55—63, 1953. (S. B.) (Paris, Mus. Nat. Histor. Natur., Inst. Opt.)
- 8985 W. S. Stiles. Further studies of visual mechanisms by the two-colour threshold method. Col. Probl. Opt. Vision, Inst. Optica Madrid, I., S.65—103, 1953. (S. B.) (London, Nat. Phys. Lab.)
- 8986 Ragnar Granit. Research on chromatic vision by electrophysiological means. Col. Probl. Opt. Vision, Inst. Optica Madrid. I., S. 105—132, 1953. (S. B.) (Stockholm, Nobel Inst. Neurophysiol.)

  Leisinger.
- 8987 Dorothea Jameson and Leo M. Hurvich. Perceived color in small foveal fields. J. opt. Soc. Amer. 47, 116, 1957, Nr. 1. (Jan.) (S. B.) (Rochester, N. Y., Eastman Kodak Co.)
- 8988 Leo M. Hurvich and Dorothea Jameson. A theoretical analysis of anomalous trichromatic color vision. J. opt. Soc. Amer. 47, 116—117, 1957, Nr. 1. (Jan.) (S. B.) (Rochester, N. Y., Eastman Kodak Co.)
- 9889 C. L. Sanders. Color preferences for natural objects. J. opt. Soc. Amer. 47, 116, 1957, Nr. 1. (Jan.) (S. B.) (Ottawa, Can., Nat. Res. Counc., Div. Appl. Phys.)
- 8990 R. E. Bedford, Hanna T. Gottfried, W. E. Knowles Middleton and G. W. Wyszecki. Nonadditivity of brightness for colored point sources. J. opt. Soc. Amer. 47, 116, 1957, Nr. 1. (Jan.) (S. B.) (Ottawa, Can., Nat. Res. Counc., Div. Appl. Phys.)
- 8991 C. L. Sanders and G. Wyszecki. Relationship between lightness and tristimulus values. J. opt. Soc. Amer. 47, 121, 1957, Nr. 1. (Jan.) (S. B.) (Ottawa, Can., Nat. Res. Counc., Div. Appl. Phys.)
- 8992 John F. Dreyer. Color and the periodic table. J. opt. Soc. Amer. 47, 122-1957, Nr. 1. (Jan.) (S. B.) (Blue Ash, O., Polacoat Inc.) Beggerow.

8993 R. W. Burnham, Joyce R. Clark and S. M. Newhall. The space error in color matching. J. opt. Soc. Amer. 47, 121, 1957, Nr. 1. (Jan.) (S. B.) (Rochester, N. Y., Eastman Kodak Co., Color Technol. Dic.)

8994 Bentley T. Barnes. Band systems for appraisal of color rendition. J. opt. Soc. Amer. 47, 121, 1957, Nr. 1. (Jan.) (S. B.) (Cleveland, O., Gen. Electr. Co.)

8995 I. Nimeroff. Propagation of errors in tristimulus colorimetry. J. opt. Soc. Amer. 47, 121—122, 1957, Nr. 1. (Jan.) (S. B.) (Washington, D. C., Nat. Bur. Stand.)

8996 David L. MacAdam. Analytical approximations for color metric coefficients. J. opt. Soc. Amer. 47, 122, 1957, Nr. 1. (Jan.) (S. B.) (Rochester, N. Y., Eastman Kodak Co., Res. Lab.)

8997 George P. Bentley and Sumner Ackerman. Electric computation for differential colorimetry. J. opt. Soc. Amer. 47, 122, 1957, Nr. 1. (Jan.) (S. B.) (Ettleboro, Mass., Instr. Devel. Lab.)

8998 Henry Hemmendinger and Hugh R. Davidson. Calibration of a spectrophotometer and tristimulus computer for colorimetry. J. opt. Soc. Amer. 47, 122, 1957, Nr. 1. (Jan.) (S. B.) (Easton, Penn., Davidson and Hemmendinger.)

8999 Louise S. Sloan. New methods of rating and prescribing reading aids for the partially blind. J. opt. Soc. Amer. 47, 112, 1957, Nr. 1. (Jan.) (S. B.) (Baltimore, Maryl., Johns Hopkins Med. School, Ophthalmol. Inst.) Beggerow.

9000 M. L. Randolph. Energy deposition in tissue and similar materials by 14.1-Mev neutrons. Radiat. Res. 7, 47-57, 1957, Nr. 1. (Juli.) (Oak Ridge, Tenn., Nat. Lab., Biol. Div.) Es wird eine Methode zur Ermittlung von Dosiswerten bei Neutronenbestrahlung dargestellt. Mit ihrer Hilfe kann durch Messung des Neutronen-Flusses unter Berücksichtigung aller elastischen und unelastischen Kernreaktionen die Dosisleistung berechnet werden. Für die 14,1 MeV-Elektronen der Kernreaktion H3(d, n)He4 werden Werte der Dosis pro Neutronenfluß in Gewebe, gewebeähnlichen Materialien und einigen anderen H-haltigen Substanzen angegeben. Bei dieser Berechnung werden die im Gewebe hauptsächlich vorkommenden Elemente H1, C12, N14, O16 zugrunde gelegt. Mit Hilfe dieser Methode besteht die Möglichkeit, Dosiswerte, die mit nicht gewebeäquivalenten Ionisationskammern gemessen wurden, zu korrigieren, ferner die Gewebe-Äquivalenz eines Materials zu überprüfen.

Josef Eberl. Zum Dosismaximum in der Bewegungsbestrahlung. Strahlentherapie 104, 94-102, 1957, Nr. 1. (Sept.) (München, Univ., Inst. Poliklinik phys. Therapie u. Röntgenol.) Die Dosisverteilung bei der Rotations- und der Pendelbestrahlung wird an Hand eines Phantoms diskutiert. Die Form des Dosisverlaufs im Inneren des Phantoms ist bei der Bewegungsbestrahlung abhängig von der Feldbreite, dem Radius des durchstrahlten Objekts und der Feldbreite, dem Radius des durchstrahlten Objekts und der Strahlenqualität. Bei der Rotationsbestrahlung läßt sich stets ein derartiger Dosisverlauf erzielen, daß ein entsprechender Herd die Maximaldosis, bzw. eine davon nur wenig abweichende Dosis erhält. Während man bei der Rotationsbestrahlung stets eine räumlich ausgedehnte homogene Dosisverteilung im Maximum erreichen kann, besteht bei der Pendelbestrahlung mit Pendelwinkel kleiner als 360° immer eine spitz zulaufende Dosisverteilung. Es wird daher die Wahl einer bestimmten Isodosenlinie als maßgeblich für die Berechnung der Herdbelastung vorgeschlagen. Dosismaximum und Zentrum der Isodosen fallen nicht zusammen.

9002 F. W. Tranter. The design of wedge filters for use with a 4-MeV linear accelerator. Brit. J. Radiol. 30, 329-330, 1957, Nr. 354. (Juni.) (Manchester, Christie Hosp., M. R. C. Betatron Res. Unit.) Bei therapeutischen Bestrahlungen ist es manchmal wünschenswert, daß die Isodosenkurven nicht rechtwinklig. sondern schräg zur Achse des Primärstrahls verlaufen. Dies wird mit Hilfe von Keilfiltern erreicht. Es wird das Verfahren beschrieben, nach dem die bei dem 4-MeV-Linearbeschleuniger in Manchester verwendeten Keilfilter aus Aluminium aus dem Isodosendiagramm ohne Keilfilter und dem gewünschten modifizierten Diagramm mit schrägen Isodosenkurven konstruiert werden. Verschiedene Vorund Nachteile dieser Filter werden diskutiert. Weiterhin wird ein Verfahren zur Konstruktion des Isodosendiagramms für ein vorhandenes Keilfilter und verschiedene Feldgrößen angegeben. Auf Grund verschiedener Fehlerquellen weicht die gemessene von der berechneten Isodosenverteilung gewöhnlich etwas ab. Zur Berücksichtigung dieser Abweichung genügt es, die "effektive Keildurchlässigkeit" durch Messung der durch den Keil veränderten Dosisverteilung in einer Tiefenebene zu bestimmen. Schmidt.

R. M. Sievert, S. Gustafsson and C. G. Rylander. Gamma radiation from some Swedish foodstuffs. Ark. Fys. 12, 481-489, 1957, Nr. 5. (5. Sept.) Zur Messung dienten zwei Apparaturen, jede bestehend aus einer zylindrischen Ionisationskammer von ca. 3 m³ Volumen gefüllt mit 20 at N<sub>2</sub> + CO<sub>2</sub>. Sie waren in einem unterirdischen Labor aufgestellt und dementsprechend allseitig von 1 m Wasser und mehr als 50 m Granit umgeben. Die Untersuchung erstreckte sich auf die totale γ-Strahlung von Milchpulver, Rindfleisch, Kalbsknochen, Hafer, Äpfeln, Hagebutten aus den Jahren 1952 bis 1956. Die Ergebnisse zeigen ein deutliches Ansteigen der y-Strahlung in diesem Zeitraum. Die Abschätzung der Beiträge einzelner Isotope erfolgte lediglich auf Grund der Bestimmung des K-Gehalts und qualitativer Überlegungen. Wahrscheinlich spielt in alten Proben Cs137 eine Rolle, während bei frischen nach Messungen an Schilddrüsengewebe auch J<sup>131</sup> vorkommt. Außerdem wurden Kinder auf y-Strahlung untersucht, wobei im Vergleich zu früheren Messungen an Kindern in gleichen Alters- und Gewichtsklassen keine Steigerung gefunden wurde. G. Schumann.

9004 Hedt Fritz-Niggli. Strahlenschäden und Schutzmaßnahmen bei der medizinischen Anwendung der Radio-Isotope. Strahlentherapie 102, 355—369, 1957, Nr. 3. (März.) (Zürich, Kantonspital, Radiotherap. Klin., Strahlenbiol. Lab.) V. Weidemann.

## X. Astrophysik

9005 M. Schwarzschild, R. Howard and R. Härm. Inhomogeneous stellar models. V. A solar model with convective envelope and inhomogeneous interior. Astrophys. J. 125, 233—241, 1957, Nr. 1. (Jan.) (Princeton Univ. Obs.) Es wird ein Modell für den inneren Aufbau der Sonne berechnet. Dabei wird im Gegensatz zu früheren Untersuchungen folgendes berücksichtigt: 1. Die Sonne besitzt eine ziemlich ausgedehnte äußere Wasserstoffkonvektionszone; und 2. die chemische Zusammensetzung der Sonne ist — infolge ihrer bisherigen Entwicklung — nicht mehr homogen. Die Rechnung wird folgendermaßen durchgeführt: Zunächst wird ein Modell konstruiert für die Zeit vor 5·10° Jahren, als die Zusammensetzung der Sonne noch homogen war. Für jeden Punkt dieses Modells werden die Reaktionsraten berechnet. So ergibt sich die Verteilung der chemischen Zusammensetzung,

die jetzt in der Sonne herrscht. Damit kann schließlich das endgültige Sonnenmodell berechnet werden. - Die Randbedingungen können nur erfüllt werden, wenn man amimmt, daß der Mischungsweg in der Wasserstoffkonvektionszone K. H. Böhm. etwa 1,5 Äquivalenthöhen beträgt.

9006 Richard N. Thomas. The source function in a non-equilibrium atmosphere. I. The resonance lines. Astrophys. J. 125, 260-274, 1957, Nr. 1. (Jan.) (Harvard Coll. Obs.) Die Kerne einer Reihe von Metallinien entstehen in der Chromosphäre. Es ist daher wichtig, folgende Probleme zu untersuchen: 1. Durch welchen Mechanismus entstehen die Kerne von Resonanzlinien in der Chromosphäre. 2. Wie groß ist die Ergiebigkeit bzw. welche Frequenzabhängigkeit zeigt sie in der Umgebung des Linienkerns? Speziell wird die Frage erörtert, wie die Restintensitäten beeinflußt werden, falls die Elektronentemperatur höher ist als die Temperatur des Strahlungsfeldes. Es zeigt sich: Im Doppler-Kern der in Frage kommenden Resonanzlinien folgt die Reemission in guter Näherung dem Mechanismus der vollständig inkohärenten Streuung; damit kann die Ergiebigkeit im Bereich eines Linienkerns als näherungsweise frequenzunabhängig betrachtet werden. Vermutlich sind die Stöße - im Falle der Linien, deren Kerne in der Sonnenchromosphäre gebildet werden - wesentlich an der Entstehung der K. H. Böhm. Restintensitäten beteiligt.

9007 Arnold M. Heiser. The prediction of model atmosphere line profiles with an electronic computer. Astrophys. J. 125, 470-477, 1957, Nr. 2. (März.) (Indiana Univ., Goethe Link Obs.) Die Programmierung der Berechnung von Linien-profilen für eine gegebene Modellatmosphäre wird beschrieben. Es wird angenommen, daß die Linien durch wahre Absorption entstehen. Die detaillierte Berechnung der Linienverbreiterung durch Doppler-Effekt und Dämpfung ist in dem Programm enthalten. Eine beliebige Modellatmosphäre kann für die Rechnung benutzt werden. Im Rahmen der hier gemachten Angaben ist die Rechnung exakt. Als Beispiel wurde das Profil der Linie Mg I 5184 Å im Sonnenspektrum berechnet. K. H. Böhm.

9008 M. G. Adam. Interferometric measurements of wave-lengths. II. Measurements at 6500 A and a general discussion of the solar red shift. Mon. Not. R. astr. Soc. 115, 405-421, 1955, Nr. 4. (Oxford, Univ. Obs.) Nach der vom Vf. früher beschriebenen Methode (Ber. 32, 1488, 1953) werden die Wellenlängen einiger solarer Linien im Bereich 116400 bis 6600 gemessen. Zusammen mit den früheren Messungen (loc. cit.) sind damit die Rotverschiebungen △ (Milliangström) von 20 Linien des Sonnenspektrums im Bereich 11 5080 bis 6580 bekannt. Es ist keine Korrelation zwischen \( \Delta \) und \( \lambda \) vorhanden. Die Intensit\( \text{aten der Linien werden } \) in absoluten Energieeinheiten (Äquivalent "erg") angegeben. Es zeigt sich, daß Korrelationen zwischen  $\Delta$ ,  $\Delta/\lambda$ ,  $\Delta/\lambda^2$  und dem Logarithmus der Äquivalent "erg" bestehen. Die Korrelation zwischen △/ 12 und log(Äquivalent "erg") ist am stärksten (Korrelationskoeffizient 0,75). Eine Ausdehnung der Untersuchung auf 158 Rotverschiebungen (gemessen vom Allegheny Observatory-Bureau of Standards) zeigt die gleichen Korrelationen für einen Wellenlängenbereich von über 2000 Å. Groth.

9009 M. G. Adam. Interferometric measurements of wave-lengths. III. A note on observational technique in the method of circular channels. Mon. Not. R. astr. Soc. 115, 422-426, 1955, Nr. 4. (Oxford, Univ. Obs.) Es wird gezeigt, daß bei interferometrischen Wellenlängenmessungen nach der früher vom Vf. genauer beschriebenen Methode (Ber. 32, 1488, 1953) systematische Fehler der Wellenlängen von etwa 0,004 Å auftreten können. Diese Fehler werden auf Unebenheiten der Interferometerplatten zurückgeführt. Mit einer geringfügig geänderten Meßanordnung können die Fehler auf weniger als 0,001 Å reduziert werden.

 ${f Groth}$ 

9010 E. Finlay-Freundlich. Du deplacement général vers le rouge des raies du spectre solaire. Ann. Phys., Paris (13) 2, 765-777, 1957, Nr. 11/12. (Nov./Dez.) Vf. diskutiert Beobachtungen der Rotverschiebung an Linien im Sonnenspektrum um — ohne Zusatzhypothesen, wie Zeeman-Effekt, Einstein-Effekt - den allgemeinen Charakter der Rotverschiebung klarzustellen. Der aus den wohl genausten Oxforder Beobachtungen an 14 um 6100 Å liegenden von ADAM 1948 abgeleitete und in den älteren Potsdamer Beobachtungen (1930) bestätigte Gang der Rotverschiebung von Sonnenmitte zum Rand läßt sich darstellen durch  $\Delta \lambda_{obs} = \Delta \lambda_c + \Delta \lambda_i$  f( $\Theta$ , R/I) mit  $\Delta \lambda_i = 2 \cdot 10^{-3}$  Å und  $\Delta \lambda_c$  je nach der Wellenlänge zwischen -2,4·10-3 bis 6,6·10-3 Å. Bei relativistischer Rotverschiebung müßten sich die  $\Delta \lambda_c$ -Werte um 12,9·10-3 Å gruppieren. Die Funktion  $f(\Theta, R/l_0)$ mißt die geometrische Länge der Bahn eines Photons in der Sonnenatmosphäre, das in der Tiefe lo unter dem Winkel O (Breite) startet. Aus Beobachtungen von W. Adams 1910 ermittelt Vf. Zusammenhänge der Δλ, mit der Wellenlänge und Anregungsenergie, die sich, wie die Darstellung der Oxforder und Potsdamer Beobachtungen durch  $f(\Theta, R/I_0)$  mit Hilfe der astrophysikalischen Hypothese des Vf., daß Photonen im Strahlungsfeld einen T4 proportionalen Energieverlust erleiden, deuten lassen. Bartholomeyczyk.

9011 Herbert P. Broida and Charlotte E. Moore. Molecules in the solar spectrum. Introductory report. Mém. Soc. Sci. Liège 18, 217-230, 267-269, 1957, Nr. 1. (Washington, Nat. Bur. Stand.) Der erste Abschnitt der vorliegenden Untersuchung ist den im FRAUNHOFER-Spektrum beobachteten terrestrischen Linien und Banden gewidmet, welche die in der Erdatmosphäre vorkommenden Moleküle dem eigentlichen Sonnenspektrum aufprägen. Es wird eine kurze Übersicht der neueren Arbeiten über dieses Gebiet gegeben, wobei vor allem die Moleküle HDO neben H<sub>2</sub>O sowie OC13O und OCO18 neben gewöhnlichem CO<sub>2</sub> bemerkenswert sind. Der nächste Abschnitt beschäftigt sich dann mit den Molekülen, die sich im Sonnenspektrum bemerkbar machen, wie CO, CH, CN etc. In Sonnenflecken (wo die Temperatur wesentlich niedriger ist, als in der ungestörten Sonnenphotosphäre) werden noch eine ganze Reihe weiterer Moleküle, vor allem Hydride und Oxyde wie SiH, MgH, TiO etc. beobachtet. Tabellen mit der Identifikation und mit ausführlichen Literaturhinweisen sind beigefügt. Aus diesen solaren Molekülspektren lassen sich mit mehr oder weniger guter Genauigkeit Anregungstemperaturen für die emittierenden Schichten ermitteln, welche zwischen 5600 und 4000° liegen. Der letzte Abschnitt beschäftigt sich vornehmlich mit den Schwierigkeiten und Möglichkeiten der Identifikation solarer Moleküle, wie sie im Zusammenhang mit der zur Zeit vorgenommenen Revision der alten Rowland-Tables von Bedeutung sind. Ein Literaturverzeichnis mit 57 Nummern ist bei-

9012 Charlotte E. Moore and Herbert P. Broida. Rotational lines of CH, OH, and CN in the solar spectrum. Mém. Soc. Sci. Liège 18, 252—263, 1957, Nr. 1. (Washington, Nat. Bur. Stand.) Die Bearbeitung der beobachteten Bandenspektren in den Atmosphären der Sterne bzw. der Sonne ist weitgehend durch unsere bisher recht ungenügende Kenntnis der Energieniveaus erschwert. Um auf diesem Gebiet weiterzukommen, ist eine ausführliche Beschäftigung mit den für die Astrophysik wesentlichen Molekülen im Laboratorium unerläßlich. Vff. geben in der vorliegenden Note revidierte Identifikationen einer Reihe von Banden an, nämlich für die Elektronenübergänge von CH:  $A^2\Delta - X^2\Pi$ ,  $B^2\Sigma - X^2\Pi$  und  $C^2\Sigma^+ - X^2\Pi$ ; OH:  $A^2\Sigma^+ - X^2\Pi$  und CN:  $B^2\Sigma^+ - X^2\Sigma^+$ . Als Beispiel

ist der CH-(0,0)-Übergang B<sup>2</sup> Z<sup>-</sup>-X<sup>2</sup>  $\Pi$  ausführlich angegeben: Intensität und Wellenlänge im Laboratorium und auf der Sonne sowie Identifikation mit eventuellen Blends. In weiteren Tabellen werden Zählungen der Linien aus den oben angegebenen Banden angegeben, aufgeteilt nach beobachteten Laboratoriumsintensitäten. Schließlich werden die Ergebnisse noch einmal nach Vibrationsübergängen und getrennt nach der Sicherheit der solaren Identifikation aufgeschlüsselt.

9013 Constantin Macris. Sur la grandeur et la vie moyenne des spicules en projection sur le disque solaire. R. C. Accad. Lincei 21, 419-420, 1956, Nr. 6. (Dez.) Vf. beschreibt in der vorliegenden Note das gesamte Material und die Ergebnisse über Spicules auf der Sonnenscheibe. Im einzelnen wurden am Sonnenturm des Observatoriums Arcetri auf einem Sonnenbild von 166 mm Durchmesser, bei einer Fokallänge von 18 m mit dem Spektroheliographen Aufnahmen ungestörter Gebiete entsprechend einer Dimension von etwa 50" auf der Sonne gemacht, wobei der Spektrograph etwas neben der Mitte von Hα eingestellt war. Die Aufnahmen sollten deswegen etwa die mittlere Chromosphäre wiedergeben. Auf einer Platte befinden sich 10 bis 14 Aufnahmen derselben Stelle auf der Sonne, die in einem Zeitraum von 7 bis 9 min hintereinander aufgenommen wurden. Jede Platte ist standardisiert. Als erstes Ergebnis aus dem offenbar sehr großen Material fand Vf. für Spicules von der Größe 2 bis 12" Lebensdauern zwischen 2 und 10 min. Anscheinend besteht ein enger Zusammenhang zwischen Größe und Lebensdauer. Größere Gebilde mit Lebensdauern über 15 min scheinen nicht Spicules im eigentlichen Sinn, sondern Protuberanzen ähnlich zu sein.

9014 H. H. Plaskett. Physical conditions in the solar photosphere. Suppl. J. atmos. terr. Phys., Vistas i. Astr. "1, 637—647, 1955, Nr. 3. (Oxford, Univ. Obs.) Im Anschluß an eine von Sykes (Ber. 33, 1334, 1954) vorgeschlagene Methode und unter Benutzung der hydrostatischen Grundgleichung werden die Temperatur- und Druckschichtung in der Sonnenphotosphäre aus Beobachtungen der Mitte-Rand-Variation im Kontinuum bei 5485 Å abgeleitet. Die Ergebnisse werden in Form einer außführlichen Tabelle wiedergegeben. K. H. Böhm.

9015 D. V. Thomas. A determination of the excitation temperature of the low chromosphere using the ultraviolet CN bands. Mém. Soc. Sci. Liège 18, 264, 267-269, 1957, Nr. 1. (Cambridge, Obs.) Zusammenfassung einer nicht mit vollem Manuskript veröffentlichten Arbeit. Vf. bearbeitete Aufnahmen des Flashspektrums, welche REDMAN 1952 bei der Sonnenfinsternisexpedition nach Karthum im Sudan mit einer linearen Dispersion von 2,4 Å/mm erhielt. Die Spektren besaßen eine relative Intensitätskalibrierung und zeigen bei 1 3883 das Bandensystem des CN-Moleküls. Es wurde an drei Punkten entlang des Spalts registriert, wobei die effektiven chromosphärischen Höhen < 50 km, < 100 km und etwa 600 km betragen haben. Aus der Rotationsintensitätsverteilung der (0,0)-Bande wurden Anregungstemperaturen abgeleitet, wobei Korrekturen auf Selbstabsorption angebracht werden mußten. Für die drei oben erwähnten Chromosphärenniveaus ergaben sich 7000, 4500 und 4500°. Vf. kündigt ein Modell an, welche die 7000° der untersten Chromosphärenschichten mit den von anderen gemessenen 4500° in der Photosphäre in Einklang zu bringen vermag. Oster.

9016 Sydney Chapman. Notes on the solar corona and the terrestrial ionosphere. Smithson. Contr. Astrophys. 2, 1—12, 1957, Nr. 1. (Boulder, Col., High Altit. Obs.) In einem Modell der Sonnenkorona wird die radiale Temperatur- und Dichteverteilung betrachtet. Wenn das Koronagas nur aus Protonen und Elektronen

besteht, ändert sich die thermische Leitfähigkeit mit T<sup>5/2</sup> und hängt wenig von der Teilchendichte n ab. Die Temperatur ändert sich mit 1/r<sup>2/7</sup>. Für das interplanetare Gas in der Nähe der Erde ergibt sich eine Temperatur von etwa 200000°. Möglicherweise ist das heiße Koronagas, welches die Erde umgibt, die Ursache für den Wärmestrom unterhalb der F<sub>2</sub>-Schicht der Ionosphäre.

Groth

9017 Harold Zirin. Supplementary Note. Smithson. Contr. Astrophys. 2, 13—14, 1957, Nr. 1. (Boulder, Col., High Altit. Obs.) Zusatz zur vorst. Arbeit.

Groth.

9018 David Layzer. Energy levels in Ca XV. Mon. Not. R. astr. Soc. 114, 692—699, 1954, Nr. 6. (Cambridge, Mass., Harvard Coll. Obs.) Auf Grund einer verbesserten Theorie, welche die Vermischung der Konfigurationen berücksichtigt, werden die Wellenlängen der CaXV-Linien berechnet. Die Übereinstimmung mit den Wellenlängen der beiden gelben Koronalinien (λ 5694, λ 5445) ist so gut, daß die Identifikation von Edlén und Waldmeier gesichert sein dürfte.

9019 Bengt Edlén. On the identification of Ca~XV and A~XIV in the solar corona. Mon. Not. R. astr. Soc. 114, 700—703, 1954, Nr. 6. (Lund, Univ., Dep. Phys.) Die Identifikation der Koronalinien  $\lambda$  5694 und  $\lambda$  5445 als CaXV wird durch neue isoelektronische Daten über die Niveauabstände bestärkt. Die Identifikation A~XIV muß der Linie  $\lambda$  4412 an Stelle von  $\lambda$  4359 zugeordnet werden.

Groth.

- 9020 A. H. Jarrett and H. von Klüber. Interferometric measurements of the green corona line during the total solar eclipse of 1954 June 30. Mon. Not. R. astr. Soc. 115, 343—362, 1955, Nr. 4. (Cambridge, Obs.; St. Andrews, Univ. Obs.) Vff. beschreiben eine Anordnung zur Beobachtung von Interferenzringen der grünen Koronalinie (λ 5303). Die optische Anordnung und die Auswahl der Filter und photographischen Emulsionen zur Erreichung optimaler Intensitäten und optimalen Kontrastes wird ausführlich diskutiert. Fünf Aufnahmen, die während der totalen Sonnenfinsternis von 1954 Juni 30 erhalten wurden, werden beschrieben. Die gemessenen Breiten der grünen Koronalinie werden diskutiert. Die Linienbreite nimmt mit wachsendem Abstand von der Sonne ab. Im Mittel entsprechen die Werte einer kinetischen Temperatur von 2,5·106 im Abstand von 1,05 bis 1,3 Sonnenradien vom Zentrum der Sonne.
- 9021 H. von Klüber. Spectroscopic measurements of magnetic fields on the sun. Suppl. J. atmos. terr. Phys.,,Vistas i. Astr. 1, 751—776, 1955, Nr. 3. (Cambridge, Obs.) Es werden die Apparaturen und Methoden zur Messung der solaren Magnetfelder beschrieben (Felder der Sonnenflecken und allgemeines Magnetfeld der Sonne). Die Ergebnisse werden referiert und diskutiert.
- 9022 L. Marshall. Coronal streaming in solar sunspot prominences. Astrophys. J. 126, 177—184, 1957, Nr. 1. (Juli.) (Chicago, Univ., Enrico Fermi Inst. Nucl. Studies.) In Protuberanzen, insbesondere in aktiven Gebieten auf der Sonne, welche mit Fleckengruppen zusammenhängen, werden häufig rasch verlaufende Änderungen in der Ausstrahlung der roten Wasserstofflinie Hα beobachtet. Setzt man konstante optische Dicke voraus, so muß man Änderungen der Anregungs- bzw. Ionisationsverhältnisse, d. h. Änderungen der Temperatur in diesen Gebieten annehmen. Auf diese Weise läßt sich das beobachtete Aufleuchten eines Protuberanzenknotens auf eine Änderung der Temperatur zurückführen, welche die Mehrzahl der Wasserstoffatome aus dem ionisierten in den neutralen Zustand zurückbringt. Vf. schlägt nun als Ursache der Temperaturänderungen Schwankungen des Magnetfeldes in den Höhen vor, welche der Protuberanzen-

9023-9025

aktivität entsprechen. Er rechnet sich für ein Sonnenflecken-Dipolfeld von 50000 Gauß aus, daß in einer Höhe von 50000 km die magnetische Feldstärke noch ungefähr 4 Gauß beträgt und die hieraus folgende magnetische Energie die Protuberanzenteilchen merklich übersteigt. Ausgehend von diesen Abschätzungen erhält Vf. das Ergebnis, daß eine Abnahme des Feldes auf 2 Gauß auf Grund induzierter elektrischer Felder eine Temperaturerniedrigung um 50 % zur Folge hat, welche ihrerseits das Verhältnis  $H^+$ : H in solcher Weise verändert, daß die Emission in H $\alpha$  um einen Faktor 10 ansteigt. Anschließend setzt sich Vf. ausführlich mit der Frage auseinander, in welcher Weise und insbesondere in welchen Zeiten sich eine Änderung des primären Fleckenfeldes in die Korona hinein fortsetzen kann und vermutet, daß entstehende Stoßwellen und hydromagnetische Wellenerscheinungen die Ursache der vielseitigen Strömungen in der Korona sind.

9023 M. A. Ellison. Solar flares. Suppl. J. atmos. terr. Phys. ,, Vistas i. Astr. "2, 799-807, 1956, Nr. 4. (Edinburgh, Royal Obs.) Kurze Übersicht über die wichtigsten heute bekannten Eigenschaften von Sonneneruptionen. Vf. bespricht der Reihe nach das heute üblich gewordene Klassifikationsschema der "Importances" und die zu wünschenden Verbesserungen, das zeitliche Verhalten, das Spektrum insbesondere die zum Teil sehr erhebliche Breite der Ha-Linie und ihre Asymmetrie, die ionosphärischen Effekte, welche sich sowohl durch die Beeinflussung der kosmischen und terrestrischen Radiostrahlung, wie durch Unregelmäßigkeiten des Erdmagnetfeldes bemerkbar machen. Ein weiterer Abschnitt ist den im Verlauf einer Sonneneruption ausgesandten Partikeln gewidmet, deren Energie über viele Zehnerpotenzen variiert: Teilchen, die Nordlichter erregen, Höhenstrahlungspartikel etc. Schließlich wird eine kurze Übersicht über die beobachteten Radioemissionen im Zentimeter- und Meterbereich gegeben und einige Bemerkungen zu den vorgeschlagenen Eruptionstheorien angeschlossen. Abbildungen einiger charakteristischer Beobachtungsergebnisse sind beigefügt. Oster.

9024 Sir Harold Spencer Jones. Solar activity and its terrestrial effects. Smithson. Rep., Wash. 1956, S. 227-240, Publ. Nr. 4236. Der vorliegende Aufsatz ist ein Abdruck der James Arthur Lecture, welche Vf. 1955 unter den Auspizien der Smithsonian Institution gehalten hat. Er beginnt mit einer historischen Übersicht über die Entwicklung der Sonnenphysik seit den Tagen GALILEIS und bespricht sodann das allgemeine Erscheinungsbild der Sonnenflecken, die 11- bzw. 22jährige Aktivitätsperiode und die Breitenwanderung der Flecke im Verlauf eines Zyklus'. Von hier aus geht Vf. auf die moderneren Beobachtungsmethoden der Sonnenphysik unter Benützung des Lichtes verschiedener Spektrallinien über und bespricht in diesem Zusammenhang die mannigfachen Erscheinungen, die mit der Fleckentätigkeit der Sonne verknüpft sind: Fackeln, Protuberanzen, Eruptionen. Daran schließt sich eine Diskussion der terrestrischen Auswirkungen der Sonnenaktivität, des Einflusses auf das geomagnetische Feld und die Ionosphäre und des Zusammenhanges mit Nordlichterscheinungen an. Den Abschluß bildet ein kurzer Überblick über die solare Radiostrahlung der ruhigen Sonne sowie gestörter Gebiete und schließlich über den Zusammenhang mit der Sonnenkorona, deren wichtigste physikalische Züge kurz geschildert werden.

Oster.

Bd. 37, 8

9025 Horace W. Babcock. The sun's general magnetic field. Nature, Lond. 178, 533, 1956, Nr. 4532. (8. Sept.) (Pasadena, Calif., Mount Wilson Palomar Obs.) Vf. versucht die von H. Alfven vertretene Meinung zu widerlegen, daß es unmöglich sei, aus spektroskopischen Beobachtungen einen Wert für das allgemeine Magnetfeld der Sonne abzuleiten.

A. McKellar. Molecules in the solar system: Introductory report. Mém. Soc. Sci. Liège 18, 15-30, 1957, Nr. 1. (Victoria, Can., Dominion Astrophys. Obs.) Vf. teilt sein Referat in zwei Hauptabschnitte ein: Moleküle in Kometen und Moleküle in Planetenatmosphären, die Erde in letzter Gruppe eingeschlossen. Wenn sich Kometen der Sonne nähern, erscheinen in ihrem Spektrum - das zunächst einfach das reflektierte Sonnenlicht wiedergibt - Emissionsbanden von C2, CN, CH, CH+, OH, OH+ etc. Mit abnehmendem Abstand von der Sonne werden diese Emissionsbanden immer stärker und verändern in entsprechender Weise ihre relativen Intensitäten. Die einleuchtendste Erklärung ihrer Entstehung ist das Schmelzen bzw. Verdampfen der Kometenoberfläche mit teilweiser Photodissoziation in Radikale, wobei der Komet ursprünglich aus einem Eisgemisch von H<sub>2</sub>O, NH<sub>3</sub>, CO<sub>2</sub> etc. bestehen soll, in das schwerere Teilchen, Staubpartikel und Gesteinsbrocken eingeschlossen sind. Die Anregung der Banden sollte dann im wesentlichen durch Fluoreszenz stattfinden. Theoretische Rechnungen entsprechend dieser Anschauung ergaben gute Resultate, auf die im einzelnen eingegangen wird. Für die Ionisationsverhältnisse in Kometen ist die Kenntnis des Ultraviolettexzesses der Sonne wesentlich, sodann spielt die Teilchenemission der Sonne vor allem im Hinblick auf mögliche Beschleunigungseffekte eine große Rolle. Im zweiten Teil seines Referates geht Vf. dann ausführlich auf unsere heutige Kenntnis der Zusammensetzung der Erdatmosphäre ein, die durch eine genaue Untersuchung der terrestrischen Linien im Sonnenspektrum, die Messungen in Raketen sowie vor allem durch die Untersuchung des Nachthimmelsleuchtens und der Nordlichtspektren gewonnen wurde. Bezüglich der Venusatmosphäre brachten die letzten Jahre ausführliche Untersuchungen der CO<sub>2</sub>-Banden sowie die Entdeckung von N<sub>2</sub>. Wesentlich weniger ist auch heute noch über Mars bekannt, dessen Spektrum schwache CO2-Banden aufweist. Der letzte Abschnitt beschäftigt sich schließlich mit den untereinander sehr ähnlichen Spektren von Jupiter, Saturn, Uranus und Neptun, wo neben CH4 und NH3 in den letzten Jahren vor allem H2 festgestellt wurde. Möglicherweise spielt auch Helium eine gewisse Rolle. Oster.

Satellites. J. Instn elect. Engrs (NS) 4, 82-83, 110, 1958, Nr. 38. (Febr.) Es handelt sich um einen Bericht über eine Sondertagung der britischen Funk- und Fernseh-Wissenschaftler über Beobachtungsergebnisse an den russischen Erdsatelliten Sputnik I (S I) und Sputnik II (S II). Als Zweck des russischen Satellitenprogramms im Rahmen des geophysikalischen Jahres wurde angegeben: SI - Prüfung der Funkverbindung Erde-Satellit; Beobachtung über die Form der Erde; Ermittlung der Bremsung und des Luftwiderstandes in den Höhen der Flugbahn. S II — Erkundung über die Schwierigkeiten von Raumreisen, Wirkung von Beschleunigung, Schwerelosigkeit und kosmischer Strahlung auf den lebenden Organismus. - Weitere Aufgaben der Satelliten: Ermittlung der Schwerkraftwirkung von Sonne, Mond und anderen Himmelskörpern auf den Satelliten, Beobachtung der elektromagnetischen Dämpfung der Rotation infolge von Wirbelströmen, die bei Aufladung des Satelliten durch Photoemission unter Einwirkung der UV-Strahlung entstehen. Raumladung entgegengesetzten Vorzeichens bewirkt Satellitenschweif. Für S I, der auf den Frequenzen 40 MHz (2 W) und 20 MHz (1 W) Signale aussandte, werden folgende Meßergebnisse angegeben: maximale Höhe 900 km, Inklination der Kreisbahn etwa 65°, Umlaufzeit etwa 96 min. Abnahme der Umlaufzeit 2 s pro Tag, — S II hat bei mehr elliptischer Bahn eine Umlaufzeit von 103 min und seine größte Erdferne bei 1600 km. Die Bahnbestimmung bei S I erfolgte in Cambridge aus Beobachtung der höheren Frequenz mit Hilfe einer Interferometermethode. Das Radar-Echo des ersten Satelliten wurde aufgenommen und abgebildet. Die beobachteten regelmäßigen Fading-Erscheinungen sind auf die Eigenrotation und Drehung

der Polarisationsebene infolge Faraday-Effekts in der Ionosphäre unter Einwirkung des erdmagnetischen Feldes zu erklären. Auf die außerordentliche Reichweite der Signale, die z. B. in England schon beim Überfliegen von Montevideo aufgenommen werden konnten, wird besonders hingewiesen. Es werden Erklärungsversuche gegeben, die aber nicht voll befriedigen (Vielsprung-Fortpflanzungsmethode, Hohlleiterwirkung zwischen E- und F-Schicht oder innerhalb der F-Region). Über Doppler-Verschiebungsmessungen beim Passieren des Beobachtungsortes wird berichtet. — Feldstärkemessungen bei S I ergaben regelmäßige Périoden von 10 s. — Mit einem Bericht über die anschließende Diskussion schließt die Arbeit.

9028 F. Hernegger und H. Wänke. Über den Urangehalt der Steinmeteorite und deren "Alter". Z. Naturf. 12a, 759-762, 1957, Nr. 10. (Okt.) (Mainz, Max-Planck-Inst. Chem.) Nach einer Zusammenstellung der wichtigsten Arbeiten über den Urangehalt von Eisen- und Steinmeteoriten, aus der man die großen Unterschiede der angegebenen Urangehalte entnimmt, beschreiben Vff. ausführlich ihre eigene Untersuchung an drei Chondriten, die nach der Methode der Neutronenaktivierung durchgeführt wurde. Die gefundenen Werte liegen zwischen 0,9 und 2,8 · 10-8 g Uran pro g Gesamtsubstanz. Bei zwei Meteoriten war der U-Gehalt schon früher nach einer andern Methode bestimmt worden; in einem Fall besteht Übereinstimmung, im andern liegt der Wert der Vff. um den Faktor vier tiefer. Vff. sprechen die Vermutung aus, daß die großen Unterschiede der gemessenen U-Gehalte insbesondere bei Chondriten nicht reell sind, sondern auf Meßfehlern beruhen. Als Nebenprodukt ergab sich bei zwei Meteoriten der Bariumgehalt zu 4,8 bzw.  $2.5 \cdot 10^{-6}$  g Ba/g. Ebenfalls für zwei Meteoriten lagen bereits Bestimmungen des Heliumgehalts vor. Unter der Annahme einer Thoriumkonzentration in dreifacher Höhe der Urankonzentration konnten Vff. für diese beiden Meteoriten ein nach der Heliummethode bestimmtes Alter von 3,6 bzw.  $3.8 \cdot 10^9$  a angeben. Daniel.

g029 K. H. Ebert, H. König und H. Wänke. Eine neue Methode zur Bestimmung kleinster Uranmengen und ihre Anwendung auf die Urananalyse von Steinmeteoriten. Z. Naturf. 12a 763—765, 1957, Nr. 10. (Okt.) (Mainz, Max-Planck-Inst. Chem.) Es wird eine neue Methode zur Bestimmung kleinster Uranmengen in Steinmeteoriten beschrieben, bei welcher das durch die Spaltung des U<sup>236</sup> entstandene Xc<sup>138</sup> gemessen wird. Die Aufarbeitung der bestrahlten Proben und die zur Abtrennung des aktiven Xenons dienende Hochvakuumapparatur werden eingehend erläutert. Es wurden drei Chondrite nach dieser Methode auf ihren Urangehalt untersucht. Mögliche Fehlerquellen, wie Verluste an aktivem Xenon oder Schatteneffekte bei der Bestrahlung, wurden berücksichtigt. Bei zwei Meteoriten lagen bereits Werte nach der Bariummethode, bei einem sogar noch nach der Fluoreszenzmethode vor. Die Übereinstimmung ist gut. Insbesondere bei Reihenanalysen dürfte die von den Vff. entwickelte Xenon-Methode allen andern Methoden hinsichtlich des Zeitaufwands und der Zuverlässigkeit und Einfachheit der Abtrennung des zu messenden Isotops überlegen sein. Daniel.

9030 K. H. Ebert und H. Wänke. Über die Einwirkung der Höhenstrahlung auf Eisenmeteorite. Z. Naturf. 12a, 766—773, 1957, Nr. 10. (Okt.) (Mainz, Max-Planck-Inst. Chem.) Sowohl Helium als auch Neon entstehen in Eisenmeteoriten als Reaktionsprodukte bei der Wechselwirkung von Teilchen der Höhenstrahlung mit den Atomkernen der Meteorite. Zweck der vorliegenden Arbeit war es, den He- und Ne-Gehalt einer Reihe von Eisenmeteoriten möglichst genau zu bestimmen, um daraus nähere Kenntnisse über den Ablauf der durch die Höhenstrahlung ausgelösten Reaktionen zu erhalten. Alle Bestimmungen wurden mit

einer Apparatur ausgeführt, die der von Chackett et al. sehr ähnlich war. Wie aus den tabellierten Ergebnissen ersichtlich, bleiben die Verhältnisse He/Ne und He³/Ne ziemlich konstant, während die absoluten Gehalte etwa um den Faktor 20 variieren. Der Massenverlust der Meteorite beim Durchgang durch die Atmosphäre konnte berechnet werden; er beträgt etwa 78 %. Unter der Annahme einer zeitlichen und räumlichen Konstanz der Höhenstrahlung ( $J_0 = 0.25$  Teilchen cm-² s-¹ sterad-¹) ergab sich bei einem der Meteorite (Mt. Ayliff) aus dem Neongehalt für die Dauer der Einwirkung der Höhenstrahlung ein Zeitraum von 920 Millionen Jahren.

S. F. Singer. Crucial experiment concerning the origin of meteorites. Phys. Rev. (2) 105, 765-766, 1957, Nr. 3. (1. Febr.) (College Park, Maryl., Univ., Phys. Dep.) Das in Eisenmeteoriten gefundene He hat zwei Entstehungsursachen: 1. Reaktionsprodukt von Kernprozessen, die durch die Höhenstrahlung verursacht wurden, 2. Zerfallsprodukt des im Meteoriten ebenfalls vorhandenen Urans. Im ersten Fall entsteht das Helium in der Zeit vom Zerplatzen des Planeten bis zum Aufschlagen auf die Erde, im zweiten Fall in der Zeit vom Festwerden der Planetenoberfläche bis heute. Aus der Kenntnis der Höhenstrahlungsintensität läßt sich der Zeitpunkt des Auseinanderplatzens des Planeten berechnen. Nach Abzug des durch die Höhenstrahlung entstandenen He-Anteils läßt sich aus der verbleibenden radiogenen Heliummenge und dem Urangehalt des Meteoriten auch der Zeitpunkt des Festwerdens berechnen. Bei Zugrundelegung der heutigen Höhenstrahlungsintensität ergeben sich dabei auffallend niedrige Altersangaben. Vf. lehnt die Annahme ab, daß die Höhenstrahlungsintensität in früheren Zeiten wesentlich höher war als heute und gibt statt dessen folgende Interpretation: Da sich Uran hauptsächlich in den Korngrenzen festsetzt, kann das radiogene Helium leichter nach außen diffundieren, während das durch die Höhenstrahlung entstehende Helium im ganzen Kristallgefüge gleichmäßig gebildet wird. Zur Prüfung dieser Hypothese schlägt Vf. vor, das He3/He4-Verhältnis vor und nach dem Ausheizen des Meteoriten zu messen. Da radiogenes He4 leichter nach außen diffundieren sollte, ist zu erwarten, daß durch das Ausheizen das He3/He4-Verhältnis vergrößert wird. Taubert.

9032 R. S. Kushwaha. The evolution of early main-sequence stars. Astrophys. J. 125, 242—259, 1957, Nr. 1. (Jan.) (Princeton Univ. Obs.) Die Entwicklung von Sternen mit 2,5; 5 und 10 Sonnenmassen wird — beginnend auf der Hauptsequenz — rechnerisch verfolgt. Dabei wird der Strahlungsdruck berücksichtigt. Überall im Stern wird mit der Summe aus einer modifizierten Kramersschen Opazität und der Elektronenstreuung gerechnet. — Auf der Hauptsequenz bestehen die Sterne aus einem konvektiven Kern mit Energieerzeugung durch den CN-Zyklus und einer Hülle im Strahlungsgleichgewicht. Im Laufe der Entwicklung schrumpft der konvektive Kern zusammen, so daß zwischen ihm und der Hülle ein Gebiet mit variabler chemischer Zusammensetzung entsteht. Die mit Hilfe der berechneten Modelle konstruierten HERTZSPRUNG-RUSSELL-Diagramme stimmen gut mit den in offenen Sternhaufen beobachteten überein.

K. H. Böhm.

9033 R. P. Singh. Electron interactions in white dwarf stars. Astrophys. J. 126, 213—223, 1957, Nr. 1. (Juli.) (Ottawa, Can., Nat. Res. Council, Div. Pure Phys.) Im Inneren weißer Zwergsterne, wo die Materie im Endzustand nur noch aus vollständig ionisierten Atomkernen und freien Elektronen besteht, welche im Sinne der Fermi-Dirac-Statistik vollständig entartet sind, ist neben der Dichte vor allem die Anzahl der Elektronen sehr hoch und sollte in der Gegend von 1030 cm<sup>-3</sup> liegen. 1929 wurde von Stoner die Grenzdichte vollständig ionisierter Materie unter diesen Bedingungen berechnet, wobei sich für die Anzahl der

Elektronen 9,46·10<sup>20</sup> (M/M<sub>0</sub>)<sup>2</sup> cm<sup>8</sup> ergab, mit M/M<sub>0</sub> als Sternmasse in Einheiten der Sonnenmasse. Bei diesen Rechnungen wurde die kinetische Energie des entarteten Elektronengases sowie die Gravitationsenergie des Sterns berücksichtigt, nicht jedoch die elektrostatische Potentialenergie. Vf. begründet in der vorliegenden Arbeit diese Vernachlässigung mit Hilfe der von Bohm und PINES entwickelten wellenmechanischen Methode der kollektiven Beschreibung eines entarteten Elektronengases, wie sie bisher mit Erfolg auf Metallelektronen angewandt wurde. Explizite Ergebnisse werden für die Sterne Sirius B, 40 Eridani B und Van Maanen 2 mitgeteilt, bei denen die elektrostatische Korrektur am Elektronendruck überall unter 1 % bleibt.

9034 Frank N. Edmonds jr. The coefficients of viscosity and thermal conductivity in the hydrogen convection zone. Astrophys. J. 125, 535—549, 1957, Nr. 2. (März.) (Austin, Texas, Univ., Dep. Math. Astron.) Im Hinblick auf eine Anwendung bei Untersuchungen von Wasserstoffkonvektionszonen wurde der Viskositätskoeffizient sowie die gaskinetische und die Strahlungswärmeleitfähigkeit berechnet. Es wurde eine chemische Zusammensetzung der stellaren Materie von 85 % Wasserstoff und 15 % Helium (nach Teilchenzahlen) angenommen. Die angegebenen Tabellen überdecken im wesentlichen einen Temperaturbereich von 3600° bis 100000° und einen Druckbereich von 10³ bis 10¹¹¹ dyn/cm².

K. H. Böhm.

9035 Jerry B. Marion and William A: Fowler. Nuclear reactions with the neon isotopes in stars. Astrophys. J. 125, 221—232, 1957, Nr. 1. (Jan.) (Pasadena, Calif. Inst. Technol., Kellogg Radiat. Lab.) Die Reaktionsraten für folgende Reaktionen werden unter Benutzung neuer, experimentell gewonnener Informationen berechnet:  $Ne^{20}(p,\gamma)Na^{21}$ ,  $Ne^{21}(p,\gamma)Na^{22}$ ,  $Ne^{22}(p,\gamma)Na^{23}$  und  $Ne^{21}(\alpha,n)Mg^{24}$ . Im Hinblick auf die Frage der Elementsynthese in Sternen ergibt sich aus diesen Rechnungen:  $Ne^{21}$  kann aus  $Ne^{20}$  — über die Reaktion  $Ne^{20}(p,\gamma)Na^{21}(\beta^+)Ne^{21}$  — nur in merklichen Mengen gebildet werden, falls in dem betreffenden Bereich des Sternes kein  $Cl^2$  vorliegt. Andernfalls würden, bevor ohige Reaktionen hinreichend häufig stattfinden können, durch den C-N-Zyklus alle in Frage kommenden Protonen in  $\alpha$ -Teilchen umgewandelt werden. K. H. Böhm.

9036 Jean I. F. King. The source function for an equilibrium gray atmosphere. Astrophys. J. 124, 406—411, 1956, Nr. 2. (Sept.) (Bedford, Mass., Air Force Cambridge Res. Center, Geophys. Res. Direct.) Ein exakter Ausdruck für die Tiesenabhängigkeit der Ergiebigkeit in einer grauen Atmosphäre endlicher Dicke wird abgeleitet. Es zeigt sich, daß Hopfs Funktion q(\tau) der Summe der zweiten Momente der Chandrasekharschen Funktionen X und Y proportional ist.

K. H. Böhm.

9037 K. Wurm. Molecules in stars. Introductory report. Mem. Soc. Sci. Liège 18, 231—251, 267—269, 1957, Nr. 1. (Hamburg-Bergedorf.) Vf. greift in einem ersten und zweiten Abschnitt zwei Hauptprobleme der Molekülphysik in Sternatmosphären heraus: Einmal die Bedeutung der Molekülbanden für die Spektralklassifikation der "späten", d. h. kühlen Sterntypen und zum anderen die Frage nach der Häufigkeit der verschiedenen Atome und Isotopen in diesen Sternen. In einem dritten und vierten Abschnitt gibt Vf. dann einen kurzen Überblick über die in den letzten Jahren über das Gebiet der kühlen Kohlenstoffsterne erschienenen Arbeiten sowie über einige spektroskopische Untersuchungen unter Zuhilßenahme von optischen Anordnungen hoher Dispersion. Der erste Abschnitt bespricht zunächst die Erscheinungsformen der CN- und CH-Moleküle, welche charakteristisch für die Spektraltypen G und K sind. Den neueren Ergebnissen über TiO- und ZrO-Banden in M- und S-Sternen ist ein eigenes Kapitel gewidmet, desgleichen der zusammenfassenden Darstellung unserer heutigen Kenntnis der

Kohlenstoffsterne entsprechend der älteren Klassifikation nach R- und N-Typen deren wichtigste Banden von CN und C<sub>2</sub> stammen. Hier wird vor allem die Frage untersucht, inwieweit sich in diesen Gruppen eine Temperatursequenz anzeigt und welche theoretischen Schlüsse man aus der beobachteten Bandenstruktur auf die Temperatur ziehen kann. Eine Ausdehnung der heute üblichen Untersuchungsmethoden auf das nahe Infrarot dürfte wichtige Ergänzungen bringen. Der Abschnitt über die relativen Häufigkeiten beschäftigt sich vor allem mit der Isotopenstruktur: Während auf der Erde das Isotopenverhältnis C<sup>12</sup>:C<sup>13</sup> etwa 90:1 beträgt, scheint es in einer großen Zahl von Sternen bei 3:1 zu liegen. Demgegenüber scheint die Isotopenverteilung von Titan derjenigen auf der Erde weitgehend zu entsprechen. Neue Probleme hat das Auftreten von Technetium — Halbwertszeit der stabilsten Isotopen 3·10<sup>5</sup> Jahre — aufgeworfen. Ein ausführliches Literaturverzeichnis ist beigegeben.

9038 Rupert Wildt. Molecules in stars: Theoretical aspects. Mém. Soc. Sci. Liège 18, 319-331, 392-394, 1957, Nr. 1. (New Haven, Yale Univ. Obs.) Vf. greift für seinen Bericht aus der Fülle von Problemen, welche der Vergleich von Theorie und Beobachtung von Molekülen in Sternatmosphären stellt, die Frage heraus, wie die Molekülbildung die Druck- und Temperaturschichtung in Sternatmosphären zu beeinflussen vermag. Diese Dinge spielen sicher eine Rolle bei den "späten", d. h. kühlen Sterntypen. Es fragt sich nun einmal, bei welchen Sterntypen der kontinuierliche Absorptionskoeffizient der Moleküle bei der Berechnung von Emission und Absorption wesentlich wird, und zum anderen, unter welchen Verhältnissen die Dissoziation der H2-Moleküle eine konvektive Instabilität bewirken kann. Auf die erste Frage läßt sich heute noch keine eindeutig befriedigende Antwort geben. Wie man aus der Beobachtung weiß, erhalten die Bandenspektren unterhalb etwa 4000° ein größeres Gewicht, wobei diese Spektren eigentlich das Analogon zu den Atomlinienspektren darstellen, wegen ihrer Häufung dagegen ähnlich wie Kontinua wirken dürften. Da die Ionisationsenergien der meisten zweiatomigen Moleküle oberhalb 10 eV liegen, dürften die eigentlichen Ionisationsgrenzkontinua keine allzugroße Bedeutung besitzen. Bei nicht allzu kühlen Sternen sollte man das Hauptaugenmerk neben dem H-Atom auf die RAYLEIGH-Streuung an H und H2 und auf die Frei-frei-Übergänge von H<sub>2</sub> legen. Untersuchungen im Infraroten sind hier unbedingt erforderlich. - Auf die Frage nach der Konvektionsinstabilität läßt sich dagegen eine sichere Antwort geben. Zunächst sieht man sofort, daß die Gebiete, in welchen eine Konvektionsinstabilität wegen der Ionisation bzw. der Dissoziation von H bzw. von H2 auftreten kann, deutlich getrennt sind. Das Auftreten der H2-Moleküle bei kühlen Sternen hat also eine Vergrößerung der Konvektionszone in die äußeren Photosphärengebiete der Sterne zur Folge, wie sie aus verschiedenen Beobachtungstatsachen nahegelegt wird.

9039 C. de Jager and L. Neven. The abundances of diatomic molecules of H, C, N and O and of  $H_2O$  in stellar atmospheres. Mém. Soc. Sci. Liège 18, 357—394, 1957, Nr.1. (Utrecht, Sterrewacht; Uccle, Obs. Royal.) In der vorliegenden Arbeit werden Tabellen mitgeteilt, die in Abhängigkeit von Druck und Temperatur die Häufigkeit folgender Moleküle angeben:  $H_2$ , CH, NH, OH,  $C_2$ , CN, CO,  $N_2$ , NO,  $N_2$  und  $N_2$ . Im Gegensatz zu älteren Tabellen dieser Art wurden die heute als gültig angesehenen Werte der Dissoziationsenergie bzw. der Dissoziationskonstanten benützt, wobei für  $N_2$  die beiden Werte 4,35 und 6,7 eV zur Auswahl gestellt wurden. Für die Gasdrucke wurden folgende Werte berücksichtigt: Es soll  $N_2$  der Wasserstoffpartialdruck unter der fiktiven Annahme, daß der Wasserstoff vollständig dissoziiert ist — Werte zwischen +1 und +6 besitzen. Für die Temperatur T sind ebenfalls sechs Werte angenommen:  $N_2$ 0, entsprechend Temperaturen zwischen 6400° und

2500°. Für die Berechnung der Dissoziation sind weiter die Partialdrucke der einzelnen Gaskonstituenten wesentlich, in diese wiederum geht die relative Häufigkeit der einzelnen Atomsorten ein. Vff. haben ihre Rechnungen für sechs relative Häufigkeiten durchgeführt, um eventuelle Variationen der kosmischen Häufigkeitsverhältnisse bei verschiedenen Sterngruppen berücksichtigen zu können. Bezogen auf log NH = 0 wurden für log NC (die Häufigkeit des Kohlenstoffs nach Atomzahlen) Werte zwischen -4,0 und 0,0, für log N<sub>N</sub> Werte zwischen -4,0 und -1,0 und für log No Werte zwischen -3,6 und -2,3 angenommen. Wegen der unsicheren Dissoziationsenergie des C2 werden also insgesamt acht Fälle durchgerechnet. In Tabellenform sind dann für diese acht Gruppen in Abhängigkeit von log P(H) und O die Logarithmen der Partialdrucke der freien Atome H, C, N und O sowie der oben angegebenen elf Moleküle zusammengestellt, die wesentlichen Ergebnisse sind noch durch graphische Darstellungen veranschaulicht. Im Anschluß daran werden einige Schlüsse auf Grund der heute vorhandenen experimentellen und theoretischen Kenntnisse der Physik der verschiedenen Sternatmosphären gezogen. So scheinen Beobachtungen der Spektren von C-Molekülen auf der Sonne für den größeren Wert der Dissoziationsenergie zu sprechen. Diese Beobachtungen legen weiterhin eine Gruppe von im einzelnen aufgeführten Sf-Werten nahe, und zwar für CN, C2, CH, NH und OH; die Sf-Werte sind das Produkt aus Oszillatorenstärke einer bestimmten Bande multipliziert mit der Anzahl der Moleküle der entsprechenden Sorte über einem cm² der Sternoberfläche. Schließlich werden noch einige Abschätzungen bezüglich der möglichen Häufigkeitsunterschiede der Nichtmetallelemente in den Atmosphären der Sterne durchgeführt, welche zur Population der Milchstraßenscheibe (Sonne) bzw. der Population II (Schnelläufer) gehören.

9040 P. L. Bhatnagar, M. Krook, D. H. Menzel and R. N. Thomas., "Turbulence", kinetic temperature, and electron temperature in stellar atmospheres. Suppl. J. atmos. terr. Phys., Vistas i. Astr." 1, 296—303, 1955, Nr. 3. (Cambridge, Mass., Harvard Coll. Obs.) Es wird untersucht, ob in einer Wasserstoffatmosphäre mit starken (Überschall-)Strömungen — infolge der ständigen Umwandlung von hydrodynamischer in thermische Energie — eine Differenz zwischen der kinetischen Temperatur der schweren Teilchen und der Elektronentemperatur aufrechterhalten werden kann. Dazu wird das stationäre Gleichgewicht zwischen folgenden Prozessen diskutiert: 1. Energieübertragung von den schweren Teilchen auf Elektronen infolge elastischer Stöße, 2. Energiedissipation der Elektronen bei Strahlungsprozessen und 3. Einfangprozesse. — Es zeigt sich, daß im stationären Gleichgewicht die Elektronentemperatur sich nur wenig von der kinetischen Temperatur der schweren Teilchen unterscheiden kann. K. H. Böhm.

9041 M. G. J. Minnaert. Reports on the progress of astronomy. The determination of cosmic abundances. Mon. Not. R. astr. Soc. 117, 315—335, 1957, Nr. 3. Es wird zusammenfassend über die bisher durchgeführten Untersuchungen zur Bestimmung der chemischen Zusammensetzung kosmischer Objekte berichtet. Nach den an Planeten und Meteoriten gewonnenen Ergebnissen kommt die Spektralanalyse von normalen und abnormalen Sternen ausführlich zur Sprache. Außerdem sind die Informationen, die sich für das Sterninnere, für Gasnebel, die interstellare Materie und die kosmische Strahlung gewinnen lassen, zusammengestellt. Ein weiterer Abschnitt beschäftigt sich mit der Isotopenhäufigkeit, die nur für wenige Elemente einigermaßen bekannt ist. In mehreren Tabellen werden die verschiedenen Ergebnisse verglichen. Reelle Unterschiede in der Elemente als gesichert gelten, die bei der Energieproduktion durch Kernprozesse beteiligt sind.

Roger Bouigue. Remarques comparatives sur les étoiles de types S et C. 9042 Mém. Soc. Sci. Liège 18, 346-351, 392-394, 1957, Nr. 1. (Toulouse, Obs.) Vf. sucht nach einer Erklärung der in den Sternspektren der Typen M, S und C beobachteten Unterschiede im Auftreten und in der Stärke der charakteristischen Banden, insbesondere der C2-, CN-, TiO- und ZrO-Banden. Er kommt zu dem Schluß, daß man mindestens zwei verschiedene Werte für die relative Häufigkeit des Elementes Zirkonium annehmen muß, und stellt fest, daß die relative Häufigkeit des Kohlenstoffs einen starken Einfluß auf die Stärke der ZrO- und TiO-Banden besitzt. Die Ergebnisse werden auf Neuberechnungen der molekularen Gleichgewichte der angegebenen vier Moleküle aufgebaut. In der Arbeit sind Tabellen hierfür mitgeteilt, und zwar berechnet für den Temperaturbereich 4000° bis 1800° ( $\Theta = 5040/T = 1,3;1,5;1,7;1,9;2,1;2,3;2,5;2,8$ ) und für verschiedene relative Häufigkeiten des Kohlenstoffs, deren Werte sich um maximal einen Faktor fünf unterscheiden. Nach unten ist der Temperaturbereich begrenzt, da das Auftreten von mehr als zweiatomigen Kohlenstoffmolekülen nicht berücksichtigt wird. Vf. kündigt als Fortsetzung der vorliegenden Untersuchung Spektralaufnahmen von M- und S-Sternen im Infraroten, Arbeiten zur Bestimmung der Dissoziationsenergie von C2, CO, CN, TiO und ZrO und Untersuchungen an mehratomigen Molekülen zur Erweiterung des Temperaturbereichs an.

Oster.

9043 Sueno Ueno. The formation of absorption lines by coherent and non-coherent scattering. I. The solution of the equation of transfer by the Laplace transform method. II. The solution of the equation of transfer by Ambarzumian's first method. III. The solution of the equation of transfer by the method of discrete ordinates. IV. The solution of the equation of transfer by the probabilistic method. Contr. Inst. Astrophys. Univ. Kyoto 1955/56, Nr. 58, 62/63/64, S. 1-36/1-22. I. Die Schwarz-SCHILDsche Integralgleichung für ein MILNE-EDDINGTON-Modell, in dem die KIRCHHOFF-PLANCK-Funktion als ein Polynom der optischen Tiefe dargestellt werden kann, wird für den Fall kohärenter und inkohärenter Streuung mit Hilfe der Laplace-Transformation gelöst. (Im inkohärenten Fall muß außerdem von Ambarzumians "erstem Verfahren" — Astr. J. USSR 19, 30, 1942 — Gebrauch gemacht werden.) Das Ergebnis (d. h. die Mitte-Rand-Variation der Linienprofile) läßt sich mit Hilfe der Chandrasekharschen H-Funktionen darstellen. II. Die exakte Lösung des analogen Problems für den Fall, daß die KIRCHHOFF-PLANCK-Funktion linear von der optischen Tiefe abhängt, wird nach Ambarzumians Methode (s. o.) gewonnen. Das Ergebnis stimmt mit denjenigen von I. W. Busbridge und V. V. Sobolev überein. III. Das gleiche Problem wie in II. wird nach der Methode der diskreten Ordinaten (mit Grenzübergang) behandelt. IV. Mit Hilfe der von V. V. Sobolev (Astr. J. USSR 28, 355, 1951 u. a.) entwickelten stochastischen Methode wird das Problem der kohärenten und inkohärenten Linienentstehung erneut behandelt. Dabei wird angenommen, daß die Tiefenabhängigkeit der Kirchhoff-Planck-Funktion entweder durch ein Polynom oder durch die Summe aus einer linearen und einer Exponentialfunktion gegeben wird. Die gefundenen Lösungen gehen im Grenzfall einer linearen Tiefenabhängigkeit der KIRCHHOFF-PLANCK-Funktion wieder in die von J. W. Busbridge und V. V. Sobolev gefundenen Lösungen über.

K. H. Böhm.

9044 P. Wellmann. The intensity of emission lines in stellar spectra. Suppl. J. atmos. terr. Phys. "Vistas i. Astr." 1, 303—313, 1955, Nr. 3. (Hamburg-Bergedorf, Hamb. Sternw.) Die Bedingungen in einer ausgedehnten Sternatmosphäre werden durch die Theorie der verdünnten Strahlung beschrieben. Es wird die Theorie der Wachstumskurve für die Intensitäten der Emissionslinien hergeleitet

und auf einige Sterne angewendet. Ferner wird die Theorie des gesamten Hüllenspektrums eines Be-Sternes besprochen und die Ionisation durch die verdünnte Strahlung untersucht.

9045 E. A. Kreiken and Dilhan Ege. A statistical study of pulsating stars. Mon. Not. R. astr. Soc. 117, 72-84, 1957, Nr. 1. (Ankara, Astron. Inst.) Die Autokorrelation wird auf eine große Anzahl von RR Lyr und δ-Cephei-Sternen angewandt. Nach einer kurzen Beschreibung der Methode werden die erhaltenen Intensitäten des ersten Obertones in Abhängigkeit vom Logarithmus der Periode diskutiert.

9046 G. R. Burbidge. On cluster-type variables and magnetic fields. Astrophys. J. 124, 412-415, 1956, Nr. 2. (Sept.) (Washington, Calif. Inst. Technol., Carnegie Inst. Wash., Mount Wilson Palomar Obs.) Der Einfluß eines inneren Magnetfeldes auf die theoretisch zu erwartenden Perioden der RR-Lyrae-Sterne wird mit Hilfe des Virialsatzes abgeschätzt. Unter sehr vereinfachenden Modellannahmen und falls die Feldstärke im Sternzentrum um einen Faktor 103 größer ist als an der Oberfläche, ergeben sich Periodenänderungen von einigen Prozent.

K. H. Böhm.

9047 Edward M. Purcell and George B. Field. Influence of collisions upon population of hyperfine states in hydrogen. Astrophys. J. 124, 542-549, 1956, Nr. 3. (Nov.) (Harvard Univ.; Harvard Coll. Observ.) Die Prozesse, die im interstellaren Gas für die Besetzung des oberen Hyperfeinstrukturniveaus des Grundtermes des Wasserstoffatoms maßgebend sind, werden untersucht. Dabei wird besonders auf die Bedeutung des folgenden Prozesses hingewiesen: Beim Zusammenstoß zweier Wasserstoffatome, die sich im Grundzustand befinden, kann ein "Spinaustausch" stattfinden. Der Wirkungsquerschnitt für diese Reaktion wurde berechnet. Das Gleichgewicht zwischen diesem Prozeß und der Ausstrahlung der 21 cm-Linie wird betrachtet. Numerische Abschätzungen für typische HI-Regionen werden angegeben. K. H. Böhm.

G. R. Ellis. Cosmic radio-noise intensities below 10 Mc/s. J. geophys. Res. 62, 229-234, 1957, Nr. 2. (Juni.) (Brisbane, Queensland, Austr., Univ. St. Lucia, Phys. Dep.) Wenn die Grenzfrequenz der F2-Schicht nachts weit genug absinkt, läßt sich die kosmische Radiostrahlung unter günstigen Umständen bis unter 1 MHz herab empfangen. Mit Hilfe eines kürzlich entwickelten Verfahrens (Ber. S. 365), durch das sich die überlagerten Atmospherics eliminieren lassen. wurde im Sommer 1956 das kosmische Rauschen in Hobart (Tasmanien) mit je 4,2 kHz Bandbreite mit λ/2-Dipolen bei 10,05, 5,65 und 4,4 MHz und mit einer Dipolanordnung von 26° Bündelöffnung in Richtung W 38°N und 50° in Richtung N38°O bei 3,8 MHz gemessen. Es wurden nur Registrierungen ausgewertet, hei denen die Rauschintensität einen konstanten oberen Grenzwert erreichte; dies war z.B. bei 3,8 MHz regelmäßig der Fall, sobald die kritische Frequenz für die ordentliche Welle abends unter 2 MHz abgesunken war. Zusammen mit früheren Messungen bei 2,13, 1,43 und 0,9 MHz sowie bei höheren Frequenzen bis 100 MHz ergibt sich, daß die Intensität des kosmischen Rauschens in den Gegenden um das galaktische Zentrum und um das Antizentrum für die Frequenzen unterhalb 10 MHz konstant etwa 2·10-19 W/m2Hz beträgt, während sie nach höheren Frequenzen abfällt; die Äquivalenttemperatur der kosmischen Untergrundstrahlung steigt von 6.105 Grad bei 10 MHz auf 3.107 Grad bei 0.9 MHz.

9049 G. A. Harrower. A consideration of radio star scintillations as caused by interstellar particles entering the ionosphere. Part III. The kind, number, and apparent radiant of the incoming particles. Canad. J. Phys. 35, 792-798, 1957,

Nr. 7. (Juli.) In den Teilen 1 und 2 wurde auf Grund der Analyse der gemessenen Szintillationen einer Radioquelle in der Cassiopeia vermutet, daß interstellare Materie, die vom Gravitationsfeld der Sonne eingefangen wird, zu den beobachteten Tatsachen beiträgt. Die in diesem Teil dargebotenen Argumente führen zu dem Schluß, daß solche Teilchen Wasserstoffatome sein müssen. Die Zahl der Wasserstoffatome, welche die Erde erreichen, wird zu  $6\cdot10^{16}$  m<sup>-2</sup>s<sup>-1</sup> abgeschätzt. Der Mittelwert der Energie ist 9 oder 22 eV, je nachdem ob sie ionisiert oder nicht ionisiert sind. Der Einfall solcher Teilchen in die Ionosphäre soll die beobachteten Szintillationen erzeugen. Die Lokalisierung des Radianten soll 17 h, —30° ergeben, wobei sich allerdings Fehlermöglichkeiten einschleichen können. Daraus ergibt sich für die Geschwindigkeit interstellarer Wasserstoffatome in der Nähe der Sonne: Tangential 28·10<sup>4</sup> m/s, radial 2·10<sup>4</sup> m/s und transversal 0,2·10<sup>4</sup> m/s, bezogen auf unser galaktisches System. Leisinger.

9050 J. M. A. Danby and G. L. Camm. Statistical dynamics and accretion. Mon. Not. R. astr. Soc. 117, 50—71, 1957, Nr. 1. (Manchester, Univ., Dep. Math.) Im ersten Teil wird die Geschwindigkeitsverteilung in einer Partikelwolke, deren Teilchen nicht unter Wechselwirkung stehen, im Gravitationsfeld einer Punktmasse untersucht. In großen Abständen wird Maxwell-Verteilung angenommen. Wolke und Punktmasse befinden sich relativ zueinander in gleichförmiger Bewegung. Es werden Werte für die Dichte, die mittlere Geschwindigkeit und die Geschwindigkeitsstreuung in Punkten auf der Symmetrieachse nahe dem Anziehungszentrum abgeleitet. Im zweiten Teil werden die Ergebnisse angewandt auf das Problem der Aufsammlung interstellarer Materie durch Sterne. Es wird gefunden, daß die aufgesammelte Masse vernachlässigbar klein ist. Groth.

9051 C. Carstens/Hilbig. Zur kosmologischen Zeitskala. Z. Naturf. 12a, 659—660, 1957, Nr. 8. (Aug.) (Fredelsloh/Northeim.) Betrachtungen über die Zahlenwerte der Größenordnung 10<sup>40</sup>, die beim Vergleich charakteristischer Größen aus Atomphysik und Kosmologie auftreten.

9052 E. Schücking. Homogene scherungsfreie Weltmodelle in der relativistischen Kosmologie. Naturwissenschaften 44, 507, 1957, Nr. 19. (1. Okt. H.) (Hamburg-Bergedorf, Sternwarte.) Es wird gezeigt, daß es im Gegensatz zur Newtonschen Kosmologie nach den Einsteinschen Feldgleichungen keine räumlich homogenen, druck- und scherungsfreien kosmologischen Modelle mit gleichzeitiger Rotation und Expansion gibt.

9053 G. C. McVittle. Cosmology. Studium gen. 10, 455-463, 1957, Nr. 8. (Urbana, Ill., Univ. Observ.) In der vorliegenden Untersuchung wird der heutige Stand des Wissens und der Forschung auf dem Gebiet der Kosmologie aufgezeigt. Nach einer kurzen allgemeinen Einleitung geht Vf. auf die experimentellen und beobachtungstechnischen Fortschritte ein, die in den letzten Jahren erreicht wurden, insbesondere auf die Ergebnisse, die das 200 inch-Teleskop auf dem Mount Palomar bietet. Es werden die wesentlichen Daten über die Galaxien in ihrer Gesamtheit mitgeteilt und die Untersuchungsmethoden besprochen, mit denen man zu Aussagen vor allem über ihre Verteilung und ihre Bewegungen im Raum kommt: Die Rotverschiebung der Spektrallinien, die Ergebnisse der bisherigen Abzählversuche etc. Hieran schließt sich ein mehr theoretischer Teil an, in welchem Vf. die Resultate von einem zusammenfassenden und kritischen Standpunkt aus sichtet. Es werden die Modelle besprochen, die ausgehend vom Konzept der Allgemeinen Relativitätstheorie eine Darstellung der beobachteten Verteilungen und Geschwindigkeiten versuchen, sowie auf der anderen Seite deutlich gemacht, warum es heute noch unmöglich ist, lediglich auf Grund der Beobachtungen zu einem bestimmten Modell des Kosmos zu gelangen.

Oster.

E. J. Opik. The time scale of our universe. Smithson. Rep., Wash. 1956, S. 203-226, Publ. Nr. 4235. (Armagh, N. Ireland, Obs.) Die Erkenntnis, daß das zeitliche Verhalten der Welt im Gesamten ein physikalisches Problem darstellt, ist verhältnismäßig jung. Obwohl man schon nach der Entdeckung des zweiten Hauptsatzes der Thermodynamik auf diesen Weg verwiesen wurde, kam die eigentliche Problematik den Physikern und Astronomen erst zu Bewußtsein, als von der Beobachtung her die Flucht der Spiralnebel als gesichert gelten konnte. Vor diesem historischen Hintergrund breitet Vf. unsere heutige Einsicht in die Frage nach dem Alter der Welt aus: Aus den verschiedensten Gebieten kam man zu weitgehend übereinstimmenden Schlußfolgerungen. Das Alter radioaktiver Gesteine aus den ältesten Schichten der Erde und das Verhältnis der Isotopen erbrachte Zeiten zwischen 3 und 5 Milliarden Jahren und ein ähnliches Alter fand sich auch für die Meteoriten. Auf diese Weise konnte die Zeitskala für unser Sonnensystem von zwei Seiten unabhängig voneinander gestützt werden. Von der Seite der Astrophysik her erkannte man in den Unterschieden der Population I- und Population II-Sterne bzw. -Sternsysteme und ihren verschiedenen HERTZSPRUNG-RUSSELL-Diagrammen einen wichtigen Hinweis auf ihr Alter und ihre Herkunft. Auch die Frage nach der Stabilität von Sternhaufen setzte für das Alter der Welt eine obere Grenze gleicher Größenordnung. Einen längeren Abschnitt widmet Vf. der theoretischen Deutung der Flucht der Spektralnebel. Nach der Erwähnung der von Stebbins und Whitford bemerkten entfernungsproportionalen Rötung entfernter Spiralnebel schließt der Aufsatz mit einer kurzen Diskussion der Spekulationen über den vergangenen und zukünftigen Verlauf der zeitlichen Entwicklung: Reine Expansion oder Oszillationen, unbegrenzte oder begrenzte Welt.

### XI. Geophysik

9055 B. Čerček. Determination of radon in thermal springs. Rep. J. Stefan Inst. (jugosl.) 3, 79—85, 1956, Okt. Die hier beschriebene Anlage zur quantitativen Bestimmung des Radon-Gehaltes von Flüssigkeiten besteht aus Emanationseinrichtung, Ionisationskammer, Impulsverstärker, Diskriminator und Zählgerät. Ein zweiter Diskriminator mit Mittelwertmesser ist für den Anschluß eines Registriergerätes vorgesehen. Die Konstruktion der Ionisationskammer und der Emanationsapparatur, sowie deren Wirkungsweise werden eingehend erläutert. Bei der Kalibrierung der Anlage ergab sich ein Gesamtwirkungsgrad von 44 % für den Nachweis von Radon und seiner Zerfallsprodukte. Die untere Nachweisgrenze liegt bei einer Radon-Aktivität von 10-11 c. — Die Radioaktivität der bedeutendsten Thermal-Quellen Sloweniens wurde untersucht, die Ergebnisse sind in einer Tabelle zusammengestellt.

9056 R. Montalbetti. Rotational temperatures measured in aurorae at Churchill, Manitoba. Canad. J. Phys. 35, 831—836, 1957, Nr. 8. (Aug.) (Saskatoon, Univ. Saskatchewan, Phys. Dep.) Die 0,0-Bande des  $N_2^+$  wurde in dritter Ordnung mit einer Dispersion von 18 Å/mm photographiert. Mit der Auflösung konnte die Rotations-Feinstruktur für Rotationsquantenzahlen > 6 bestimmt werden, in der Nähe der Bandenköpfe verhinderte die Überlappung die Ermittlung der relativen Intensitäten. Die Temperaturen wurden bestimmt einmal mit Hilfe der Rotationsquantenzahl, die der Maximalintensität des R-Zweiges entsprach, und zweitens aus der Änderung der relativen Intensität der Komponenten des

1958

R-Zweiges mit der Rotationsquantenzahl. Sie lagen bei den Beobachtungen in Churchill (52° n. Br.) im gleichen Bereich (230 bis 480°K) wie über Saskatoon (59° n. Br.). Daraus wird geschlossen, daß die von VEGARD vermutete breitenabhängige Anregung der No+-Banden durch Protonen keinen wesentlichen Beitrag liefert oder das thermische Gleichgewicht nicht berührt. Als vertikaler Temperaturgradient folgt aus den Messungen 6°/km. G. Schumann.

9057 T. R. Kaiser. The geometry of auroral ionization. J. geophys. Res. 62. 297-298, 1957, Nr. 2. (Juni.) (Sheffield, Univ., Dep. Phys.) An Hand von zwei Kurzwellen-Reflexionsdiagrammen wird gezeigt, daß Polarlicht- und polarlichtähnliche Ionisationen in der E- und F-Schicht im Bereich von U-förmigen Bögen symmetrisch zum jeweiligen magnetischen Meridian auftreten. Entgegen andersartigen Deutungsversuchen seien diese Erscheinungen mit der Hypothese von entsprechenden Ionisationsabschnitten parallel zu den geomagnetischen Breitenkreisen am besten zu erklären.

9058 A. Omholt. Considerations regarding the sodium lines in the nightglow and twilight. J. geophys. Res. 62, 207-212, 1957, Nr. 2, (Juni.) (Williams Bay. Wisc., Univ. Chicago, Yerkes Observ.) Es werden einige für Entstehung der Na-Linienemissionen im Dämmerungslicht und Nachthimmelleuchten wesentliche photochemische Prozesse behandelt. Als wichtigster Oxydationsvorgang wird die Dreierstoßreaktion Na +  $O_3$  + M  $\rightarrow$  Na $O_2$  + M (mit M als 3. Stoßpartner) angesehen. Die quantitativ exakte Behandlung des Problems scheitert vorerst an fehlender Kenntnis der diesbezüglichen Reaktionskonstanten sowie der jonosphärischen D-Schicht-Parameter (insbesondere der Elektronendichte). Wenn auch die Bildung der Emissionsschichten und ihre Höhenlage durch photochemische Prozesse erklärt werden kann, so läßt sich vorerst keine befriedigende Deutung für die starken jahreszeitlichen Schwankungen der Na-Emission im Verhältnis von rd. 1:30 zwischen Sommer und Winter geben; sowohl photochemische Prozesse als auch eine Photoionisation des hochatmosphärischen Na vermögen diese Beobachtungsergebnisse nicht zu erklären. Auf die Notwendigkeit vermehrter einschlägiger Meßserien wird hingewiesen.

H. G. Macht.

J. A. Scrimger and D. M. Hunten. Absorption of sunlight by atmospheric sodium. Canad. J. Phys. 35, 918-927, 1957, Nr. 8. (Aug.) (Esquimalt, B. C., Defence Res. Board, Pacific Naval Lab.) Licht von der Sonne oder von einer Glühlampe wird an Natriumdampf geringer Dichte gestreut und von einem photoelektrischen Spektrometer registriert, das nur in der Nähe der NaD-Linien arbeitet und die beiden Linien auflöst. Mit dem Licht der Glühlampe wird der Effekt des Streulichtes bestimmt und eliminiert. Die Intensität im Minimum der Fraunhoferschen Linien des Sonnenspektrums wird relativ zum Kontinuum geringer mit der Annäherung der Sonne an den Horizont. Daraus schließt man auf 3 bis 9:109 Natriumatome pro cm2 im Winter und 1:109 im April. Die Abnahme der Intensität in den FRAUNHOFERSchen Linien, gemittelt über die ganze Sonnenscheibe, ergibt sich zu (5.90 + 0.46) % für D1 und  $(5.06 \pm 0.24)$  % für D2.

9060 Richard A. Silverman. Turbulent mixing theory applied to radio scattering. J. appl. Phys. 27, 699-705, 1956, Nr. 7. (Juli.) (New York, Univ., Inst. Math. Sci.) Die Streuung von Radiowellen auf Grund örtlicher Inhomogenitäten des Brechungsindexes wird durch eine statistische Theorie der "turbulenten Mischung" von Obukhoff behandelt. Man erhält größenordnungsmäßige Übereinstimmung mit beobachteten Werten, wenn man die Streuung in der Ionosphäre turbulenzbedingten Änderungen der Elektronendichte an der unteren Kante der E-Schicht,

Bd. 37, 8

in der Troposphäre — je nach Jahreszeit — Inhomogenitäten der Temperatur, bzw. der Feuchtigkeit zuschreibt. Im Vergleich mit den heuristischen Theorien von VILLARS-WEISSKOPF und GALLET ergeben sich höhere Streuungsintensitäten.

- 9061 Artur Aron und Bernhard Gross. Eine Beobachtung über die von Kernbombenversuchen herrührende Radioaktivität der Luft. Z. Naturf. 12a, 944—945, 1957, Nr. 11. (Nov.) (Rio de Janeiro, Bras., Inst. Nac. Tecnol.) Seit Mitte 1956 in Rio de Janeiro ausgeführte "fall out"-Messungen zeigten bis auf einen Fall keinen positiven Befund. In diesem Ausnahmefall (25. 6. 57) übertraf die Filteraktivität die vorher und nachher gemessene Höchstaktivität um rund das Zehnfache. Die gemessene  $\beta$ -Abfallkurve  $I(t) = \text{const} (t + t_0)^{-1/3}$  weist auf die Wasserstoffbombenexplosion am 15. 5. 57 auf der Christmas-Insel hin. Eine autoradiographische Untersuchung des Filters zeigte, daß praktisch die gesamte Aktivität von einem einzigen Teilchen auf dem Filter herrührte. Knecht.
- 9062 S. M. Greenfield. Rain scavenging of radioactive particulate matter from the atmosphere. J. Met. 14, 115–125, 1957, Nr. 2. (Apr.) Für den Ausfall radioaktiver Bestandteile mit einem Durchmesser  $<20~\mu$  aus der Atmosphäre durch Regen wird ein Modell angegeben. Danach kann der Ausfall der größeren Teile auf Grund der Langmuirschen Theorie der wirksamen Ansammlung (an Regentropfen) nach einigen Änderungen in dieser Theorie erklärt werden; für die kleineren Teile (Durchmesser  $<1~\mu$ ) hingegen muß angenommen werden, daß sie bereits vor dem Regenfall mit Wolkenwasser gemischt sind. Bei vorgegebener Größenverteilung des radioaktiven Materials sowie bekannter Niederschlagsmenge und Niederschlagsdauer können die prozentualen Anteile des Ausfalles für die einzelnen Partikelgrößen angegeben werden.
- 9063 L. Machta, H. L. Hamilton jr., L. F. Hubert, R. J. List and K. M. Nagler. Airborne measurements of atomic debris. J. Met. 14, 165—175, 1957, Nr. 2. (Apr.) Im Flugzeug vorgenommene Filtermessungen der radioaktiven Bestandteile der Luft nach den Atombombenexplosionen 27. 1. bis 6. 2. 1951 in der Nevadawüste werden mitgeteilt. Nach diesen Messungen werden die meteorologischen Trajektorien geprüft und Schlüsse auf den turbulenten Diffusionskoeffizienten gezogen. Wippermann.
- 9064 Friedrich Begemann and W. F. Libby. Continental water balance, ground water inventory and storage times, surface ocean mixing rates and world-wide water circulation patterns from cosmic-ray and bomb tritium. Geochim. et cosmoch. Acta 12, 277—296, 1957, Nr. 4. (Chicago, Illinois, Univ., Enrico Fermi Inst. Nuclear Stud.)

  V. Weidemann.
- 9065 L. Cagniard. Sur la théorie de la mesure électromagnétique des courants marins. Ann. Géophys. 13, 155—157, 1957, Nr. 2. (Apr./Juni.) Anwendung der LORENTZ-Transformation zur Berechnung des elektrischen Feldes in einer Meeresströmung (unter Berücksichtigung des Erd-Magnetfelds). Rawer.
- 9066 K. R. Wadleigh and R. A. Oman. Instrumentation to measure gas-phase composition of high velocity, two-phase, two-component flows. J. Amer. Rocket Soc. 27, 769—775, 1957, Nr. 7. (Juli.) (Cambridge, Mass., Inst. Technol.) Es wird eine Anordnung zur Bestimmung des lokalen Wasserdampfpartialdruckes schnell strömender Wasser-Luft-Gemische beschrieben: Kontinuierliche Probenentnahme mit Hilfe eines quer in die Strömung gehaltenen Mantelrohres. Die in die Seele des Rohres gesaugte Probe enthält praktisch keine Wassertropfen. Durch Absaugung im Mantel wird verhindert, daß Wasser von der Rohrwand in die Seele fließt. Messung des Wasserdampfpartialdruckes der Probe mit Hilfe eines handelsüblichen elektrischen LiCl-Hygrometers. Eichkurven. Fehlerabschätzung.

9061-9066

Das Mantelrohr eignet sich auch zur Probenentnahme in anderen Zweiphasenströmungen.

9067 W. Hering. Betrachtungen über die Veränderlichkeit der Aufstiegsgeschwindigkeit der Radiosonden-Ballone. Z. Met. 10, 57—62, 1956, Nr. 2. (Febr.) (Lindenberg, Radiosonden-Aufstiegstelle.)

9068 H. Fortak. Staubtransporte über staubaktiver Erdoberfläche. Z. Met. 11, 19—27, 1957, Nr. 1. (Jan.) (Berlin, Humbold-Univ., Inst. Meteor. u. Geophys. Berlin-Friedrichshagen.) Vf. behandelt das Austauschproblem der vom Erdboden aufgenommenen und durch Luftbewegung in der Atmosphäre transportierten Staubpartikelchen, denen außerdem eine gewisse Sinkgeschwindigkeit zugeordnet wird. Die Differentialgleichung dieses Vorganges wird operatorenmäßig gelöst. Die Lösung wird den Randbedingungen einiger Spezialfälle angepaßt.

H. Israel.

9069 Chla-Shun Yih. On stratified flows in a gravitational field. Tellus 9, 220 bis 228, 1957, Nr. 2. (Mai.) Im ersten Teil wird gezeigt, daß die Modelle für Potentialströmungen mit freien Oberflächen in einem Schwerefeld von RICHARDSON, LEWY und TONG identisch sind mit einem solchen für eine zweischichtige Potentialströmung mit gemeinsamer Berührungsfläche. Während sich im zweitem Teil dieses Modell als Spezialfall des Longschen für eine zweidimensionale, inhomogene Strömung erweist, wird im dritten Teil ein Kriterium für die Stabilität einer periodischen Störung in einer parallelen Strömung mit kontinuierlicher Dichteänderung abgeleitet.

9070 Jerome Spar. A note on the stability of baroclinic waves. J. Met. 14, 136 bis 140, 1957, Nr. 2. (Apr.) (New York, Univ.) Die Kriterien für die Stabilität barokliner Wellen (im Spezialfall einer thermotropen Atmosphäre) sind für verschiedene vertikale Windprofile ausgewertet worden. Dabei zeigt sich, daß die kritische Wellenlänge je nach der Form des Windprofiles beträchtlich schwanken kann.

9071 E. Palmén and Herbert Riehl. Budget of angular momentum and energy in tropical cyclones. J. Met. 14, 150—159, 1957, Nr. 2. (Apr.) (Academy of Finland; Chicago, Univ.) Die für den Impulshaushalt wichtige Schubspannung am Boden wird als Funktion des Radius der tropischen Zyklone ermittelt und diese dabei in einen Anteil der symmetrischen und einen der asymmetrischen Zirkulation zerlegt. Der Transport von Bewegungsgröße zum Zentrum hin wird im Wesentlichen vom ersten Anteil besorgt. — Bei der Aufstellung des Haushaltes der kinetischen Energie zeigt sich, daß die Zyklone einen warmen Kern haben muß, um die notwendigen Energiemengen erzeugen zu können. Überlegungen hinsichtlich der Wirkung lokaler Wärmequellen schließen sich an. Wippermann.

9072 Isaac van der Hooven. Power spectrum of horizontal wind speed in the frequency range from 0.0007 to 900 cycles per hour. J. Met. 14, 160—164, 1957, Nr. 2. (Apr.) Die Analyse des Energiespektrums ergibt zwei Spitzen, nämlich bei etwa 4 Tagen und bei 1 min. Die Gestalt des Spektrums in dem Bereich der Frequenzen 1 Schwingung/h bis zu 10 Schwingungen/h scheint von der jeweiligen synoptischen Situation wie auch vom Geländeeinfluß unabhängig zu sein.

Wippermann.

9073 Y. Ogura. The influence of finite observation intervals on the measurements of turbulence diffusion parameters. J. Met. 14, 176—181, 1957, Nr. 2. (Apr.) Die Korrelationsfunktionen, die aus begrenzten Beobachtungsreihen erhalten werden, lassen sich auch darstellen in Abhängigkeit einerseits von der Länge der Beobachtungsreihen, zum andern von den Korrelationsfunktionen der zugrunde gelegten stationären Zufallsvariablen. Dieses Ergebnis wird auf Probleme der Diffusion in turbulenten Strömungen angewandt.

9074 D. O. Staley. Some comments on physical processes at and near the tropopause. Arch. Met., Wien (A) 10, 1-19, 1957. Die grundlegenden physikalischen Prozesse an der Tropopause - Strahlung, Konvektion, vertikale Konvergenz und Advektion - werden analysiert. Keinem dieser Prozesse kann das Entstehen der Tropopause zugeschrieben werden. Während Strahlung und Turbulenz das Temperaturprofil auszugleichen suchen, haben vertikale Konvergenz und Advektion höchstens Einfluß auf interdiurne Schwankungen der Stabilität über Michalowsky. und unter der Tropopause.

L. N. Gutman. Theoretisches Modell der Windhose. Bull. Acad. Sci. SSSR., Sér. Geophys., 1957, S. 79-93, Nr. 1. Auf Grund von Lösungen der nichtlinearen Gleichungen der Thermo-Hydrodynamik der Atmosphäre wurde ein idealisiertes Modell der Windhose sowie des Prozesses, der durch den Einfluß großer Drehmomente in der Atmosphäre und durch eine scharf ausgeprägte Instabilität H. Weidemann. bedingt ist, entworfen.

9076 Richard H. Milburn. Theory of evaporating water clouds. J. Colloid Sci. 12, 378-388, 1957, Nr. 4. (Aug.) (Cambridge Mass., Harvard Univ., Dep. Phys.)

9077 R. Sawada and B. Haurwitz. The lunar air tide. Ann. Géophys. 11, 145 bis 147, 1955, Nr. 2. (Apr./Juni.) (New York, Univ., Dep. Meteorol. a. Oceanogr.)

9078 E. Peters. Eine neue Methode zur Bestimmung des Gehaltes an flüssigem Wasser in Wolken und Nebeln nach F. Albrecht. Z. Met. 11, 118-124, 1957, Nr. 4. (Apr.) (Berlin-Lichtenberg 4, Zentralst. Radiosondendienst DDR.) Nach einer Methode von Albrecht wird der Gehalt an flüssigem Wasser in Wolken und Nebeln durch die Abkühlung beheizter, senkrecht zur Strömung stehender, zylindrischer Stäbe bestimmt. Die Abkühlung ist durch die Verdampfung der auftreffenden Wolkenelemente bedingt und wird mit einer Brückenschaltung gemessen. - Die Meßergebnisse von drei Tagen werden ausführlich mitgeteilt. Die Wassergehalte schwanken zwischen 0,03 und 0,10 g/m³. — Eine Fehlerbetrachtung befaßt sich mit dem Umströmeffekt. Bei einer Anströmung von 20 m/s werden nur Tropfen größer 2,9 μ abgelagert. Mit dieser Zahl wird der wahrscheinliche Fehler auf maximal 10 % abgeschätzt. (Diese Rechnung dürfte nicht allgemein gültig sein: von der Grenzgröße der nicht mehr abgelagerten Tropfen zu den großen Tropfen ist ein stetiger Übergang. Tropfen von 6,0 µ Durchmesser werden zu 40 %, solche von 12,0 μ zu 73 % abgelagert. Die Extrapolation von BEST ist nicht zulässig. Berücksichtigt man diese Korrektur, dann werden die sehr geringen Wassergehalte verständlich. D. Ref.) Die Methode ist nur dann anwendbar, wenn die Anströmgeschwindigkeit hoch ist. Bei kleinen Windgeschwindigkeiten versagt die Methode, da ein Großteil der Tropfen nicht mehr zur Ablagerung gelangt.

9079 R. H. Douglas, K. L. S. Gunn and J. S. Marshall. Pattern in the vertical of snow generation. J. Met. 14, 95-114, Nr. 2. (Apr.) Mit einem in den Zenit gerichteten 3 cm-Radar wurde während sieben Winterwochen das Verhältnis Höhe/Zeit von Schnee-Echos gemessen und die Meßwerte mit den entsprechenden Beobachtungsergebnissen der meteorologischen Radiosondenaufstiege korreliert. Dieses Material läßt eine Reihe von Schlüssen hinsichtlich der Entstehungshöhe, Temperatur, Luftmasse und Aufwinde, Wachstum der Eiskristalle usw. zu.

Wippermann.

9080 Fritz Bernhardt. Darstellung einer Luftdruckverteilung durch Kugelfunktionen. I. Z. Met. 11, 65-69, 1957, Nr. 3. (März.) (Potsdam, Inst. Großwetterforschg.) Die Verteilung des langjährigen Januarmittels des Luftdruckes im Meeresniveau wird durch Kugelfunktionen dargestellt. Dabei werden die Verhältnisse auf der Südhalbkugel als zu denen der Nordhalbkugel symmetrisch angenommen. Die numerische Auswertung der Koeffizienten geht bis zu P<sup>8</sup><sub>8</sub> (zugeordnete Legendre-Funktionen). Der Vergleich der Darstellungen der wirklichen Mittelwerte und der durch Kugelfunktionen gegebenen Mittelwerte des Luftdruckes läßt in seiner Übereinstimmung zu wünschen übrig.

9081 H. Charnock, J. R. D. Francis and P. A. Sheppard. An investigation of wind structure in the trades: Anegada 1953. Phil. Trans. (A) 249, 179—234, 1956, Nr. 963. (Wormley, Surrey, Nat. Inst. Oceanogr.; London, Imp. Coll.Sci.)

H. Ebert.

- 9082 William A. Arvola. Refractive index profiles and associated synoptic patterns. Bull. Amer. met. Soc. 38, 212—220, 1957. Untersuchung einiger synoptischer Situationen, die mit einem mit der Höhe abnehmendem Refraktionsindex auftreten.

  Michalowsky.
- 9083 T. R. Kaiser and S. Evans. Upper atmospheric data from meteors. Ann. Géophys. 11, 148—152, 1955, Nr. 2. (Apr./Juni.) (Manchester, Univ., Jodrell Bank Exp. Stat.)

  Weidemann.
- 9084 H. A. Panofsky and P. Wolff. Spectrum and cross-spectrum analysis of hemispheric westerly index. Tellus 9, 195—200, 1957, Nr. 2. (Mai.) Der hemisphärische Zonalindex in den Breiten von 25°N, 40°N und 60°N in 500 mb wurde der obigen Analyse unterworfen; die Resultate erlauben folgende Schlüsse: 1. Die Schwankungen des Zonalindex werden hauptsächlich durch Oszillationen mit einer Periode von 25 Tagen verursacht. 2. Die Indizes in 60°N und 40°N sind negativ korreliert, der wesentliche Anteil an dieser Korrelation wird durch Oszillationen mit einer Periode von 25 Tagen gegeben. 3. Die langperiodischen Schwankungen der Indizes in 40°N sind etwas phasenverschoben (später) gegenüber denjenigen in 60°N.
- 9085 Bo R. Döös and Max A. Eaton. Upper-air analysis over ocean areas. Tellus 9, 184—194, 1957, Nr. 2. (Mai.) (Stockholm, Int. Meteorol. Inst.) Die zum Zwecke der sogenannten numerischen Vorhersage vorzunehmende objektive Analyse des Ausgangsfeldes (mittels elektronischem Rechenautomaten) weist im Bereich des Atlantik wegen der dort spärlichen Druck- und Windmessungen in der Höhe häufig Fehler auf. Die Anzahl der Meßwerte in diesem Bereich läßt sich durch eine Mitverwendung der wesentlich häufigeren Beobachtungen im Niveau der Meeresoberfläche bei gleichzeitiger Anwendung eines Mittelwertes der vertikalen Temperaturänderung vergrößern.
- 9086 E. T. Byram, T. A. Chubb and H. Friedman. The solar X-ray spectrum and the density of the upper atmosphere. J. geophys. Res. 61, 251—263, 1956, Nr. 2, Teil 1. (Juni.) (Washington, U. S. Naval Res. Lab.) Photozähler mit verschiedenen Fenstern und Füllgasen (genauer beschrieben) isolieren die Bereiche 8—20, 44—60 und 44—100 Å. Die Zähler waren im Mantel einer Rakete eingebaut; der Drall der Rakete sorgte dafür, daß immer wieder direktes Sonnenlicht einfiel. Die Anzeige wurde durch Telemeter zum Boden übertragen. Nach Korrektur auf Einfall senkrecht zum Fenster und auf den Rand der Atmosphäre wird aus den Intensitäten der drei Spektralbereiche eine Plancksche Spektralfunktion mit der Temperatur 7·10<sup>5°</sup> K und der Gesamtintensität 10³ erg m<sup>-2</sup> s<sup>-1</sup> erhalten. Verschiedene Flüge zeigten erhebliche Unterschiede, die mit den Schwankungen der Koronahelligkeit verknüpft zu sein scheinen. Aus der Höhe nvariation der Intensität kann die Luftdichte erhalten werden. Sie liegt etwa um einen Faktor drei unter den Werten des "Rocket Panel"; Richtwert für 100 km Höhe ist etwa 2·10<sup>-7</sup> kg m<sup>-3</sup>. Diskussion weiterer experimenteller Möglichkeiten.

9087 Darrell E. Burch and John H. Shaw. Infrared emission spectra of the atmosphere between 14.5  $\mu$  and 22.5  $\mu$ . J. opt. Soc. Amer. 47, 227—229, 1957, Nr. 3. (März.) (Columbus, O., State Univ., Dep. Phys. Astr.) Das Emissionsspektrum der Atmosphäre wird im Spektralbereich von 15 bis 22,5  $\mu$  untersucht. Die beobachteten Banden werden durch Vergleich mit Absorptionsspektren dentifiziert.

Bd. 37, 8

- 9088 Vincent J. Stakutis. Atmospheric illumination of vertical surfaces at high altitudes. J. opt. Soc. Amer. 47, 111—112, 1957, Nr. 1. (Jan.) (S. B.) (Bedford, Mass., Air Force Cambridge Res. Center, Geophys. Res. Direct., Atmosph. Phys. Lab.)
- 9089 Vincent J. Stakutis. Sky luminance values. J. opt. Soc. Amer. 47, 112, 1957, Nr. 1. (Jan.) (S. B.) (Bedford, Mass., Air Force Cambridge Res. Center, Geophys. Direct., Atmosph. Phys. Lab.)
- 9090 Robert B. Toolin. Special distribution of earth-reflected solar visible radiation as a function of altitude and terrain. J. opt. Soc. Amer. 47, 112, 1957, Nr. 1. (Jan.) (S. B.) (Bedford, Mass., Air Force Cambridge Res. Center, Geophys. Res. Direct.)
- 9091 A. J. Drummond. Measurement of natural illumination and the luminous efficiency of daylight. J. opt. Soc. Amer. 47, 113—114, 1957, Nr. 1. (Jan.) (S. B.) (Newport, Rhode Isl., Eppley Lab.)
- 9092 Harold W. Yates. Atmospheric refraction over water. J. opt. Soc. Amer. 47, 113, 1957, Nr. 1. (Jan.) (S. B.) (Washington, D. C., Naval Res. Lab., Opt. Div.)
- 9093 J. A. Curcio and G. L. Knestrick. Atmospheric transmission measurements with an optical pyrometer. J. opt. Soc. Amer. 47, 113, 1957, Nr. 1. (Jan.) (S. B.) (Washington, D. C., Naval Res. Lab., Opt. Div.)
- 9094 J. A. Curcio, G. L. Knestrick and L. F. Drummeter. Back-scattering measurements in the atmosphere. J. opt. Soc. Amer. 47, 113, 1957, Nr. 1. (Jan.) (S. B.) (Washington, D. C., Naval Res. Lab., Opt. Div.)
- 9095 B. S. Pritchard and W. G. Elliott. Two instruments for atmospheric optics measurements. J. opt. Soc. Amer. 47, 113, 1957, Nr. 1. (Jan.) (S. B.) (Ann Arbor, Mich., Univ., Vision Res. Lab.)

  Beggerow.
- 2096 Eugen Blum. Fundamentale Probleme bei der quantitativen Auswertung elektrischer Bohrlochdiagramme. Erdöl u. Kohle 9, 834—836, 1956, Nr. 12. (Dez.) (S. B.) (Hannover, Preuß. Bergw.- u. Hütten AG., Zweigniederl. Erdöl Bohrverwaltg.)
- 9097 Volker Fritsch. Grenzgebiete der angewandten Geoelektrik. Wiss. Z. Hochsch. Elektrotech. Ilmenau 3, 121—127, 1957, Nr. 2. (Wien, T. H.) H. Ebert.
- 9098 J. Berbézler et P. Fabre. Le matériel radioélectrique dans la recherche des minerais radioactifs. Rev. gén. Elect. (40) 65, 467—479, 1956, Nr. 8. (Aug.)
- 9099 Robert G. van Nostrand. Kontinuierliche Geschwindigkeitsmessung in Bohrungen. Erdöl u. Kohle 9, 583—587, 1956, Nr. 9. (Sept.) (S. B.) (Dallas, Tex., Magnolia Petrol. Co.) Weidemann.

9087-9099

#### Stoffgliederung der Physikalischen Berichte, Heit 8, 1958

	Seite		Seite
I. A	llgemeines	V. Aufbau der Materie	
1	Allgemeines —	1. Allgemeines	
	Lehrbücher 1309	2. Kernphysikalische Meß-	
	Biographisches 1310	verfahren	1360
4	Unterricht	3. Kernphysikalische	
5	. Mathematik 1311	Beschleunigungsmethoden	1365
	Relativitätstheorie 1312	4. Technik der Kernenergie	1367
	Quanten- und Wellen-	5. Elementarteilchen	
	mechanik	6. Atomkerne	
0	Allgemeine theoretische	7. Kernreaktionen	
0.		8. Kosmische Strahlung	1310
	Ansätze		
	Philosophische Grenzfragen . 1325	9. Korpuskularstrahlen	
10.	Größen — Definitionen	10. Atome (Atomspektren)	
	(Dimensionen)	11. Moleküle	
11.	Einheiten 1325	12. Kristalle	
12.	Allgemeine Konstanten —	13. Flüssigkeiten	1419
	Auswertung von Messungen	14. Anisotrope Flüssigkeiten	
	Labortechnik 1326	15. Makromoleküle	
	200000000000000000000000000000000000000	16. Grenzflächen und dünne	11.0
		Schichten	1494
H. Me	ehanik		
1.	Allgemeines 1328	17. Disperse Systeme	1426
ີ່	Mechanik fester Körper,	VI. Elektrizität und Magnetismus	
24.			
0.	Elastizität	1. Allgemeines	
J.	Plastizität, Viskosität,	2. Meßmethoden und	
	mechanische Relaxation 1332	Instrumente	
	Hydro- und Aerodynamik 1338	3. Elektrostatik	1428
	Technische Mechanik 1344	4. Magnetostatik	
6.	Ballistik 1345	5. Magnetismus	1428
		6. Elektrodynamik	
II. Ak		7. Metallische Leitung	
II. AH	USLIK	8. Supraleitung	
1.	Allgemeines 1345	a. Halbleiter	1436
2.	MeBverfahren —		1.490
3.	Schallerzeugung —	10. Ionenleitung in	
	Schallausbreitung 1345	Flüssigkeiten	
	Schallempfang 1347	11. Leitung in Gasen	
6.	Schallaufzeichnung —	12. Dielektrika	
	Infra-Ultraschall	13. Grenzflächen	1452
- 1.	Imira-Ordaschair	14. Schwachstromtechnik	
		15. Starkstrom- und	
[V. Wä	irme	Hochspannungstechnik	1452
1.	Allgemeines	16. Physik der elektrischen	
	Temperaturmessung	Wellen	1454
	Wärmemengenmessung 1348	17. Röhrentechnik	
		17. Ronrentechnik	1401
4.	Wärmeleitung, Wärmeüber-	VII. Optik	
_	gang, Wärmeaustausch 1351		4405
5.	Einfluß der Temperatur auf	1. Allgemeines	
	Volumen und Struktur der	2. Meßtechnik und Instrumente	1466
	Materie 1354	3. Interferenz, Beugung,	
6.	Thermodynamik 1355	Streuung	1468
	Hygrometrie 1358	4. Brechung, Dispersion,	
	Wärmestrahlung 1358	Reflexion	1468
	Statistische Thermodynamik 1358	5. Absorption, Emission,	
	Kinetische-Gastheorie 1359	Remission	1469
10.	Kineusche-Gastneorie 1333	Atomission	1 100

			Seite	5	Seit
	6.	Geometrische Optik	1470	X. Astrophysik	
	7.	Kristalloptik, Polarisation,		1. Allgemeines	
		Doppelbrechung		2. Sonne	148
	8.	Optik bewegter Körper			148
	9.	Lichttechnik	1470		149
	10.	Photochemische Reaktionen			491
		(Photographie)	1470	6. Fixsterne und galaktische	
		Materiewellen	1471	Objekte	149
	12.	Lumineszenz in konden-			149
		sierten Phasen	1472	8. Stellarstatistik	
				9. Sternsystem	
THE	. W	erkstoffe		10: Außergalaktische Objekte	_
					149
		Allgemeines	1/72	12. Kosmogonie	-
		Metallen, Legierungen			
			1478	XI. Geophysik	
		Gesteine und Mineralien	1210	1. Allgemeines	
		Organische Werkstoffe		2. Erdkörper, Schwere	
		Brennstoffe, Öle, Schmier-		3. Erdkruste, Seismik,	
	•		1479		149
	8.	Aufbereitung, Alterung,	1410	4. Erdmagnetismus, Erdströme	1 20
	٠.	Technologie	1479	5. Polarlicht, Nachthimmel-	
	9.	Technische Anwendungen,	1210		149
	•	Bearbeitung	1480	6. Luftelektrizität, Radioakti-	140
			1100		150
IX.	Blo	physik		7. Physik der Gewässer,	
		*	4400		150
	9.	Allgemeines	1480	8. Physik der Atmosphäre 1	
	2.	Physiologische Akustik	_	9. Angewandte Geophysik 1	
		Physiologische Wärme		or amgonantic Geophysik, i	
	5	Physiologische Elektrizität	1400		
	6	Physiologische Optik	1480		

## Namenregister zu Heft 8, Band 37, 1958, der Physikalischen Berichte

Abaulina-		Artsdalen,		Baumann, F	1435	Bleichert, A	148
Zavaritskaia		E. R. van 1	1350	Bayer, H		Blin, J	
E. I	1443	Arvola, W. A 1	1503	Beale, J. R. A.	1446	Bloembergen,	
Abe, T		Asaro, F 1	1382	Beauregard,		N	1432
Ackerman, S		Aschen, R 1	1427	O. C. de	1317	Blohincev,	
Adam, M. G	1484	Aschmoneit,		Beckmann, P.	1455	D. L	1318
Adawi, I	1394	EK 1		Beckurts,		Bloom, A. L	1429
Adler, R. B		Ascoli, R 1		K. H	1392	Bloom, M	1453
Ado, I. M	1366	Ashmore, A 1	1392	Bedford, R. E.		Bloom, S	
Aeschlimann,		Aten,		Beer, A. C		Blum, E	1504
F		A. H. W. jr. 1		Beetz, W	1310	Bocchieri, P	
Agarwal, B. K.	1469	Aubry, J 1		Begemann, F		1316,	1321
Agranovskaia,	'-	Auwärter, M 1	1309	Beiser, A		Bockelmann,	
A. I		Averbach,		Bell, R. L		C. K	
Agron, P. A	1415	B. L 1		Bell, W. E	1429	Böbel, G	
Airapetiants,		Ayres, W. P 1		Belous, V	1351	Böhm, E	1435
。 S. V		Azuma, R. E 1	1388	Benson, J. L.	1377	Boehm, F.	
Akerlind, L	1409	73.1		Bentley, G. P.		1385,	1395
Akimov, E. M.		Babcock,		Bentz, D. R		Boer, J. de	
Akpinar, S		H. W 1	1488	Berbézier, J	1504	1325,	1359
Alexander, G.	1372	Backenstoss,		Bereznyak,	4140	Boeschoten, F.	1353
Alikhanov,	4000	G		N. G		Bösenberg, W.	1439
R. A	1350	Backhaus, H.+ 1		Berger, J. M.		Bogdandy,	4.450
Alsop, L. E		Bächler, W 1	1326	Bergmann, L	1310	L. v	1479
Ambler, E	1385	Bäckström,	4 / 17 4	Bergmann,	4000	Bogdanov,	4450
Amelinckx,	4140	H 1	1471	P. G	1320	S. V	1452
S	1416	Bäckström,	4070	Bernhardt, F		Bohm, D	1312
Ames, D. C		M 1		Berning, P. H.		Bohnenkamp,	4/00
Amiel, S	1382	Bagley, E. G 1		Bernstein, J.	1377	K	1439
Amphlett,	4074	Bain, M. B 1		Berry, D. S	1333	Bonnickson,	1950
C. B	1371	Bak, B 1	1404	Bersohn, R	1406	K. R	1350
Anderson,	40/0	Balabina,	1000	Bertotti, B.	4945	Bontinck, W.	
A. R	1348	G. V 1		1314,		Booth, D. L	
Anderson,	4000	Balloffet, G 1	1474	Betts, D. D	1414	Booth, G. L	1349
C. E	1382	Bane, W. T 1	1344	Beuchelt, R.	4495	Boothroyd,	4440
Anderson, F	1372	Baranowski,	1400	1403,		A. R	
Anderson,	4 / 4 0	B:	1420	Bhanot, V. B.	1511	Boop, F	
J. M	1410	Barford, N. C 1		Bhatia, A. B.	1414	Borg, H	
Andrews,	4100	Barkow, A. G. 1	1400	Bhatnagar,	4404	Botzen, A	
E. H	1420	Barlow, G. S 1	1431	P. L	1994	Bouigue, R	1970
Angelopoulos,	4179	Barnes, B. T 1		Bhatt, S. N	1911	Bowman, H. R.	13/9
M	1453	Barnes, C. A 1	1390	Bhattacharya,	1915	Braams, C. M.	1200
Anghelache,	4024	Barnes, R. S 1		S	1313	1376, Bradfield, G.	
Ď			1387	Biberman,	1465	Brahmachary,	1001
Arbenz, K	1311	Barrow, R. F.	4 5 4 0	L. M			1215
Archard, J. F	1345	1409, 1		Biel, S. J		R. L Bransden,	1010
Armstrong,	4668	Bartels, H		Bienlein, H	1999	B. H	1322
H. L	1445	Barton, J. C 1		Bildwell,	1260		
Armstrong,	4400	Barton, M. V 1		R. M	1000	Braun, I Bredig, M. A	1415
J. A	1430	Bartz, G. A 1		Billmeyer, F. W. jr	1468	Breit, G	1378
Arnold, R. N.	1332	Bass, F. G 1				Brenner, A. E.	
Arnowitt, R	1525	Bassett, G. A 1	1417	Bincer, A. M Biswas, S		Brice, J. C	
Aron, A.		Batchelder,	1477	Blackwell,	1001	Bridgman,	V-1-10
Arthurs, A. M.	1403	F. W. v 1		H. R	1481	P. W	1477
Artmann, K.†	1404	Bates, L. F 1 Bauer, F. L 1		Blanc, D		Brix, P	
1310,	1404	Dader, F. D	1012	Diane, D	2000	2	

Donathana							
	Christo	ffel.		Deeleman, A	1468	Elliott, W. G	1504
Brockhouse,	O D A	,	1479	Deigen, M. F	1415	Ellia G. R.	1496
B. N 14	EU D. A.		14/0		1410	Ellis, G. R Ellison, C. V	1260
B. N 14 Broer, L. J. F. 14	38 Chubb,	T. A	1503	Deresiewicz,		Ellison, t. v	1909
Broida, H. P 14 Brosch, F 13 Brown, A. B 14	35 Cirilov.	S. D	1392	H	1331	Ellison, M. A Ende, W Endt, P. M	1488
Divida, II. II. 12	Classic 4	0	1400	De-Shalit, A. 1375,		Ende W	1367
Brosch, F 13	or Clark, t	DT	1400	De-Shant, A.	4000	E la D M	4970
Brown, A. B. , 14	79 Clark, J	. R	1482	1375,	1393	Enat, P. M	13/0
Brown, D 13 Brown, G. B 13 Brown, R. H 14 Browne, C. P. 13	() Clarke	J. K	1360	Destouches,		Engel, A. v.	
Drown, D 13	Clarke,	T3	4045	T T	1291	1310,	1448
Brown, G. B 13	35 Glauser	, E	1919	JL	1321		1440
Brown, R. H 14	88 Clemmo	w.		Deutsch, S	1359	Engell, HJ.	1439
Drawns C D 12	D C		1371	Deutscher, K	1465	Engelsberg, S. Engelter, A	1366
Browne, G. F. 15	70 71.0.		1011	Deutscher, It.	1250	Engelton A	1499
Brugge,	Clogston			Dever, J. L	1330	Engetter, A	1423
J. F. van der 13	3 A. M.		1430	Dever, J. L Dickens, P. G. Dingle, R. B	1316	Enoch, J	1373
Donatala D 49	4 Claw L	7	1479	Dingle R R	1311	Enoch, J. M	1481
Bruniak, R 13	er Glow, r	1	1470	Dingie, R. D.	1011	Enoch, J. M.	4 6 0 77
Brunsden,	Clusius,	K	1377	Ditmars, D. A.	1352	Eppley, M	1467
R S 13	8 Cochran	H	1412	Ditmars, D. A. Dittrich, S	1418	Epstein, L. F	1350
B. S 13 Brunson, G. S. 13	of Collina	7 36	4407	Dasa B B	1502	Epstein, R. J	1393
Brunson, G. S. 13	ol Codina,	J. M	1441	Döös, B. R		Epstein, R. J	1020
Bryant, T. H. E 14	Cohen.	B. L	1380		1355	Erdős, P	1359
T H E 14	7 Cohen	E G D	1359	Douglas, A. S	1412	Eselson, B. N. Espe, W Ettenberg, M	1419
1. 11. 12 14	Conen,	D. U. D.	4404	Douglas, IL. U.		E W	4400
Buck, D. C 14	63 Gohen,	S. A	1464	Douglas, R. H.	1502	Espe, w	1480
Budzinski,	Collette	, G	1342	Douglas, T. B.	1350	Ettenberg, M	1464
	Collin 1	R. E	1450	Dunta A F	1369	Euler B	1334
E. E 13	es Collin,	n. E	1400	Diate, A. F	1002	Education, It.	1501
Buechner,	Collins,	C. B	1441	Douglas, T. B. Dratz, A. F Drechsel, H. E.	1356	Euler, R Evans, S	1503
W W 1376 13	0 Compto	n		Dreeskamp, H.	1448	Everling, F	1362
D. II	o dompto	***	4944			Even I	1400
Bullen, M. A 13	98 A. H.		1311	Dresselhaus,		Eyer, J. A	1408
Buechner, W. W. 1376, 13 Bullen, M. A. 13 Buneman, O. 14	Connor.	R. D	1387	G Dreyer, J. F	1418		
Rushidge	Cooper	K. A	1355	Drever J F	1481	Fabre, P	1504
Burbidge,	Cooper,	к. л	1000	Diejei, J. F	1.401	Table, I	1304
G. R 14	6 Cooper,			Dropesky,		Fairweather,	
Burch D E 15	4 P. F.	ir	1366	B. J	1387	I. L	1387
D. W. W. 12	2 Candone	167	1450	Drongond		Falla D F	1979
G. R 14 Burch, D. E 15 Burgy, M. T 13	io Cordero	jr , F desi, E. P. G , A. H.	1400	Drougard,		Falla, D. F	1314
Burnham,	Corinale	desi, E.	1372	M. E	1450	Fastie, W. G.	1325
R. W 14	2 Corran.	P. G.	1346	Drukarev,		Feldman, G	1323
Dunnhaute	C-4411	A TT	4200	G. F	4404	Fanning.	
Burshtein,	Couren	, а. п.	1399	_ U. F	1401	Fenning,	
E. L 13	6 Cottrell	, T. L. , J. E.	1347	Drummeter,		F. W Ferguson,	1367
Burton I A 14	d Consine	J 12	1397	L. F	1504	Fermison	
Durton, J. A 14	C C C	, 0. 1	1001	P. M. T	1004	T CIE GOOM,	4000
E. L 13 Burton, J. A 14 Bycroft, G. N. 13 Byram, E. T 15	12 Coutant	i, J	1365	Drummond,		D. E Ferrell, R. A	1368
Byram, E. T. , 15	3 Cowan,			A. J	1504	Ferrell, R. A.	1374
	CT	jr	4979	Dubrovin,		Feyerabend,	
	0. 1.	1	1010	A. V Duggal, V. P Dumke, W. P.	4000	reyeranend,	
Complete S. T. AM	COX, E.	G	1411	A. V	1362	P. K	1316
Cagniard, L 15	Cox. J.	T	1466	Duggal, V. P.	1393	Feynman,	
Calame, G 13	Canic L	I	1991	Dumles W D		D D	4490
	Graig, 1	1	1301	Dumke, W. F.		N. P	
Camazon							
Cameron,	Craig, F	. P	1419	1346,	1437	Field, G. B	1496
Cameron, A. G. W 13	Craig, F			Duning A A	1431	Field, G. B	1496
Cameron, A. G. W 13 Camm. G. L 14	Craig, F	R. S	1354	Duning A A	1431	Fields, P. R	1496 1380
Cameron, A. G. W 13 Camm, G. L 14	Craig, F	R. S	1354	Duning A A	1431	Field, G. B Fields, P. R Finch, J. N	1496 1380 1407
Cammerer,	Craig, F Craig, F Craw, I Crook,	R. S D. A A. W	1354	Duning A A	1431	R. P Field, G. B Fields, P. R Finch, J. N Finlay-	1496 1380 1407
Cammerer,	Craig, F Craig, F Craw, I Crook,	R. S D. A A. W	1354	Duning A A	1431	Finlay-	1496 1380 1407
J. S 13:	Craig, F Craig, F Craw, I Crook,	R. S D. A A. W hank	1354 1356 1343	Dunina, A. A Duwez, P Dvoretzky, A Dworkin A. S	1444 1327 1359 1350	Freundlich.	
Cammerer, J. S 13: Cammerer,	Craig, F Craig, F Craw, I Crook,	R. S D. A A. W hank	1354 1356 1343	Dunina, A. A Duwez, P Dvoretzky, A Dworkin A. S Dyson, F. J	1444 1327 1359 1350	Freundlich.	
Cammerer, J. S 13: Cammerer, W. F 13:	Craig, F Craig, F Craw, I Crook, Cruicks D. W	R. S D. A A. W hank	1354 1356 1343	Dunina, A. A Duwez, P Dvoretzky, A Dworkin A. S Dyson, F. J	1444 1327 1359 1350	Freundlich.	
Cammerer, J. S 13: Cammerer, W. F 13:	Craig, F Craig, F Craw, I Crook, Cruicksi D. W	R. S D. A A. W	1354 1356 1343	Dunina, A. A Duwez, P Dvoretzky, A Dworkin A. S Dyson, F. J Dzialoshinskii,	1444 1327 1359 1350 1319	Freundlich, E Fiorini, E	1485 1361
Cammerer, J. S 13: Cammerer, W. F 13: Campan, T. I 13:	Craig, F Craig, F Craw, I Crook, Cruicksl D. W 8 Csokán, 1 Cujec-	R. S D. A A. W hank, J P	1354 1356 1343	Dunina, A. A Duwez, P Dvoretzky, A Dworkin A. S Dyson, F. J Dzialoshinskii,	1444 1327 1359 1350	Freundlich, E Fiorini, E	1485 1361
Cammerer, J. S 13: Cammerer, W. F 13: Campan, T. I 13: Carini, G 14:	Craig, F Craig, F Craw, I Crook, Cruicksi D. W Scokán, Coujec- Dobo	R. S	1354 1356 1343 1411 1447	Dunina, A. A Duwez, P Dvoretzky, A Dworkin A. S Dyson, F. J Dzialoshinskii, I. A Dzung, L. S.	1444 1327 1359 1350 1319	Freundlich, E Fiorini, E	1485 1361
Cammerer, J. S 13: Cammerer, W. F 13: Campan, T. I 13: Carini, G 14: Carlan, A 14:	Craig, F Craig, F Craw, I Crook, Cruicksi D. W Scokán, Coujec- Dobo	R. S	1354 1356 1343 1411 1447	Dunina, A. A Duwez, P Dvoretzky, A Dworkin A. S Dyson, F. J Dzialoshinskii, I. A Dzung, L. S.	1444 1327 1359 1350 1319	Freundlich, E Fiorini, E	1485 1361
Cammerer, J. S 13: Cammerer, W. F 13: Campan, T. I 13: Carini, G 14: Carlan, A 14:	Craig, F Craig, F Craw, I Crook, Cruicksi D. W Csokán, Cujec- Dobo B.	R. S	1354 1356 1343 1411 1447	Dunina, A. A Duwez, P Dvoretzky, A Dworkin A. S Dyson, F. J Dzialoshinskii,	1444 1327 1359 1350 1319	Finlay- Freundlich, E	1485 1361 1472 1325
Cammerer, J. S	Craig, F Craig, F Craw, I Crook, Cruicksi D. W Csokán, Cujec- Dobo B.	R. S	1354 1356 1343 1411 1447	Dunina, A. A Duwez, P Dvoretzky, A Dworkin A. S Dyson, F. J Dzialoshinskil, I. A Dzung, L. S. 1348,	1444 1327 1359 1350 1319 1435	Finiay- Freundlich, E	1485 1361 1472 1325
Cammerer, J. S 13: Cammerer, W. F 13: Campan, T. I 13: Carini, G 14: Carlan, A 14: Carlson, B. C 13: Carlson, R. O 14:	Craig, F Craig, F Craw, I Crook, Cruicks D. W Schanner Capec- Dobo B. Curcio,	R. S	1354 1356 1343 1411 1447 1379 1504 1384	Dunina, A. A Duwez, P Dvoretzky, A Dworkin A. S Dyson, F. J Dzialoshinskil, I. A Dzung, L. S. 1348,	1444 1327 1359 1350 1319 1435	Finiay- Freundlich, E	1485 1361 1472 1325
Cammerer, J. S 13: Cammerer, W. F 13: Campan, T. I 13: Carini, G 14: Carlan, A 14: Carlson, B. C 13: Carlson, R. O 14:	Craig, F Craig, F Craw, I Crook, Cruicks D. W Schanner Capec- Dobo B. Curcio,	R. S	1354 1356 1343 1411 1447 1379 1504 1384	Dunina, A. A Duwez, P Dvoretzky, A Dworkin A. S Dyson, F. J Dzialoshinskil, I. A Dzung, L. S. 1348,	1444 1327 1359 1350 1319 1435	Finlay- Freundlich, E Florini, E Fischer, A Fischer, J. 1310, Fladt-Seitz Fleischmann,	1485 1361 1472 1325 1309
Cammerer, J. S 13: Cammerer, W. F 13: Campan, T. I 13: Carini, G 14: Carlan, A 14: Carlson, B. C 13: Carlson, R. O 14:	Craig, F Craw, I Crook, Cruicks D. W 8 Csokán, Cujec- Dobo B. Curcio, Curcio, Curcis, Curcis,	R. S	1354 1356 1343 1411 1447 1379 1504 1384	Dunina, A. A Duwez, P. Dvoretzky, A. Dworkin A. S. Dyson, F. J. Dzialoshinskii, I. A. Dzung, L. S. 1348, Earl, J. Easley, J. W.	1437 1444 1327 1359 1350 1319 1435 1355 1400 1445	Freundlich, E. Florini, E. Fischer, A. Fischer, J. 1310, Fladt-Seitz . Fleischmann, R.	1485 1361 1472 1325 1309
Cammerer, J. S 13: Cammerer, W. F 13: Campan, T. I 13: Carini, G 14: Carlson, B. C 13: Carlson, R. O 14: Carstens, C 14: Carstens, C 14:	Graig, F Craw, I Crook, Crulcksi D. W Csokán, Cujec- Dobo B. Curcio, Curtis, Curtis, Curtis,	R. S	1354 1356 1343 1411 1447 1379 1504 1384 1480	Dunina, A. A  Duwez, P  Dvoretzky, A  Dworkin A. S  Dyson, F. J  Dzialoshinskil,  I. A  Dzung, L. S.  1348,  Earl, J  Eastey, J. W  Eastenn, P. C.	1437 1444 1327 1359 1350 1319 1435 1355 1400 1445 1437	Freundlich, E. Florini, E. Fischer, A. Fischer, J. 1310, Fladt-Seitz . Fleischmann, R.	1485 1361 1472 1325 1309
Cammerer, J. S 13: Cammerer, W. F 13: Campan, T. I 13: Carini, G 14: Carlson, B. C 13: Carlson, R. O 14: Carstens, C 14: Carstens, C 14:	Graig, F Craw, I Crook, Crulcksi D. W Csokán, Cujec- Dobo B. Curcio, Curtis, Curtis, Curtis,	R. S	1354 1356 1343 1411 1447 1379 1504 1384 1480	Dunina, A. A  Duwez, P  Dvoretzky, A  Dworkin A. S  Dyson, F. J  Dzialoshinskil,  I. A  Dzung, L. S.  1348,  Earl, J  Eastey, J. W  Eastenn, P. C.	1437 1444 1327 1359 1350 1319 1435 1355 1400 1445 1437	Finiay- Freundlich, E. Florini, E. Fischer, A. Fischer, J. 1310, Fladt-Seitz Fleischmann, R. Flinn, R. A.	1485 1361 1472 1325 1309 1393 1354
Cammerer, J. S 13: Cammerer, W. F 13: Campan, T. I 13: Carini, G 14: Carlson, B. C 13: Carlson, R. O 14: Carstens, C 14: Carstens, C 14:	Graig, F Craw, I Crook, Crulcksi D. W Csokán, Cujec- Dobo B. Curcio, Curtis, Curtis, Curtis,	R. S	1354 1356 1343 1411 1447 1379 1504 1384 1480	Dunina, A. A  Duwez, P  Dvoretzky, A  Dworkin A. S  Dyson, F. J  Dzialoshinskil,  I. A  Dzung, L. S.  1348,  Earl, J  Eastey, J. W  Eastenn, P. C.	1437 1444 1327 1359 1350 1319 1435 1355 1400 1445 1437	Freundlich, E. Fiorini, E. Fischer, A. Fischer, J. 1310, Fladt-Seltz . Fleischmann, R. Flinn, R. A. Flodmark, S. Flodmark, S.	1485 1361 1472 1325 1309 1393 1354 1405
Cammerer, J. S 13: Cammerer, W. F 13: Campan, T. I 13: Carlin, G 14: Carlan, A 14: Carlson, B. C 13: Carman, P. D. 14: Carstens, C 14: Carter, C 13: Castillejo, L 13	Craig, F Craig, F Crook, Crook, Crock, D, W Csokán, Cujec- Dobo B. Curtis, Curtis, Curtis, Curtis, Curtis, Curtis, Curtis, Curtis,	R. S	1354 1356 1343 1411 1447 1379 1504 1384 1480	Dunina, A. A  Duwez, P  Dvoretzky, A  Dworkin A. S  Dyson, F. J  Dzialoshinskil,  I. A  Dzung, L. S.  1348,  Earl, J  Eastey, J. W  Eastenn, P. C.	1437 1444 1327 1359 1350 1319 1435 1355 1400 1445 1437	Freundlich, E. Fiorlni, E. Fischer, A. Fischer, J. 1310, Fladt-Seitz Fleischmann, R. Flinn, R. A. Flodmark, S. Floros, C.	1485 1361 1472 1325 1309 1393 1354 1405 1453
Cammerer, J. S	Craig, F. Craig, F. Craok, I. Crook, Cruicks D. W. Saokán, Cujec- Dobo B. Curtis, Curtiss, Curtiss, Curtiss, Curtiss, Curtiss, Canden A. W. Dalltz,	R. S	1354 1356 1343 1411 1447 1379 1504 1384 1480 	Dunina, A. A  Duwez, P  Dvoretzky, A  Dvoretin A. S  Dyson, F. J  Dzialoshinskil,  I. A  Dzung, L. S.  1348,  Earl, J  Easley, J. W  Eastman, P. C.  Eaton, M. A  Eberl, J  Eberl, J	1437 1444 1327 1359 1350 1319 1435 1355 1400 1445 1437	Freundlich, E. Fiorlni, E. Fischer, A. Fischer, J. 1310, Fladt-Seitz Fleischmann, R. Flinn, R. A. Flodmark, S. Floros, C.	1485 1361 1472 1325 1309 1393 1354 1405 1453
Cammerer, J. S 13: Cammerer, W. F 13: Campan, T. I 13: Carlin, G 14: Carlan, A 14: Carlson, B. C 13: Carlson, R. O 14: Carstens, C 14: Carter, C 13: Catillejo, L 13: Catalan, M. A. 13: Cazznave B. 13:	Craig, F. Craig, F. Craig, F. Crook, Cruicks B. Csokán, Cuicks B. Caskán, Cuicc- Dobo B. Curtis, Curti	R. S	1354 1356 1343 1411 1447 1379 1504 1384 1480 	Dunina, A. A  Duwez, P  Dvoretzky, A  Dvoretin A. S  Dyson, F. J  Dzialoshinskil,  I. A  Dzung, L. S.  1348,  Earl, J  Easley, J. W  Eastman, P. C.  Eaton, M. A  Eberl, J  Eberl, J	1437 1444 1327 1359 1350 1319 1435 1355 1400 1445 1437	Finiay- Freundlich, E. Florini, E. Fischer, A. Fischer, J. 1310, Fladt-Seitz Fleischmann, R. Flinn, R. A. Flodmark, S. Floros, C. Flunkert, H.	1485 1361 1472 1325 1309 1393 1354 1405 1453
Cammerer, J. S 13: Cammerer, W. F 13: Campan, T. I 13: Carlin, G 14: Carlan, A 14: Carlson, B. C 13: Carlson, R. O 14: Carstens, C 14: Carter, C 13: Catillejo, L 13: Catalan, M. A. 13: Cazznave B. 13:	Craig, F. Craig, F. Craig, F. Crook, Cruicks B. Csokán, Cuicks B. Caskán, Cuicc- Dobo B. Curtis, Curti	R. S	1354 1356 1343 1411 1447 1379 1504 1384 1480 	Dunina, A. A Duwez, P Dvoretzky, A Dworkin A. S Dyson, F. J Dzialoshinskii, I. A Dzung, L. S. 1348, Earl, J Easley, J. W. Eastman, P. C. Eaton, M. A. Eberl, J. Ebert, K. H.	1437 1444 1327 1359 1350 1319 1435 1435 1400 1445 1437 1503 1482 1490	Finiay- Freundlich, E. Fiorini, E. Fischer, A. Fischer, J. 1310, Fladt-Seltz Fleischmann, R. Flinn, R. A. Flodmark, S. Floros, C. Flunkert, H. Folinsbee,	1485 1361 1472 1325 1309 1393 1354 1405 1453 1450
Cammerer, J. S 13: Cammerer, W. F 13: Campan, T. I 13: Carlin, G 14: Carlan, A 14: Carlson, B. C 13: Carlson, R. O 14: Carstens, C 14: Carter, C 13: Catillejo, L 13: Catalan, M. A. 13: Cazznave B. 13:	Craig, F. Craig, F. Craig, F. Crook, Cruicks B. Csokán, Cuicks B. Caskán, Cuicc- Dobo B. Curtis, Curti	R. S	1354 1356 1343 1411 1447 1379 1504 1384 1480 	Dunina, A. A Duwez, P. Dvoretzky, A. Dworkin A. S. Dyson, F. J. Dzialoshinskii, I. A. Dzung, L. S. 1348, Earl, J. Easley, J. W. Eastman, P. C. Eaton, M. A. Eberl, J. Ebert, K. H. Eckert, E. R. G.	1434 1327 1359 1350 1319 1435 1355 1400 1445 1437 1503 1482 1490	Finiay- Freundlich, E. Florini, E. Flischer, A. Fischer, J. 1310, Fladt-Seitz Fleischmann, R. Flinn, R. A. Flodmark, S. Floros, C. Flunkert, H. Folinsbee,	1485 1361 1472 1325 1309 1393 1354 1405 1453 1450
Cammerer, J. S 13: Cammerer, W. F 13: Campan, T. I 13: Carlin, G 14: Carlan, A 14: Carlson, B. C 13: Carlson, R. O 14: Carstens, C 14: Carter, C 13: Catillejo, L 13: Catalan, M. A. 13: Cazznave B. 13:	Craig, F. Craig, F. Craig, F. Crook, Cruicks B. Csokán, Cuicks B. Caskán, Cuicc- Dobo B. Curtis, Curti	R. S	1354 1356 1343 1411 1447 1379 1504 1384 1480 	Dunina, A. A Duwez, P. Dvoretzky, A. Dworkin A. S. Dyson, F. J. Dzialoshinskii, I. A. Dzung, L. S. 1348, Earl, J. Easley, J. W. Eastman, P. C. Eaton, M. A. Eberl, J. Ebert, K. H. Eckert, E. R. G.	1434 1327 1359 1350 1319 1435 1355 1400 1445 1437 1503 1482 1490	Finiay- Freundlich, E. Florini, E. Flischer, A. Fischer, J. 1310, Fladt-Seitz Fleischmann, R. Flinn, R. A. Flodmark, S. Floros, C. Flunkert, H. Folinsbee,	1485 1361 1472 1325 1309 1393 1354 1405 1453 1450
Cammerer, J. S 13: Cammerer, W. F 13: Campan, T. I 13: Carlin, G 14: Carlan, A 14: Carlson, B. C 13: Carlson, R. O 14: Carstens, C 14: Carter, C 13: Catillejo, L 13: Catalan, M. A. 13: Cazznave B. 13:	Craig, F. Craig, F. Craig, F. Crook, Cruicks B. Csokán, Cuicks B. Caskán, Cuicc- Dobo B. Curtis, Curti	A. S	1354 1356 1343 1411 1447 1379 1504 1384 1480 1329 1319 1497 1371	Dunina, A. A., Duwez, P Dworetzky, A., Dworkin A. S., Dyson, F. J Dzialoshinskil, I. A Dzung, L. S., 1348, Earl, J Easley, J. W., Eastman, P. C., Eaton, M. A., Eberl, J Ebert, K. H., Eckert, E. R. G., Edlén, B.	1434 1327 1359 1350 1319 1435 1355 1400 1445 1437 1503 1482 1490	Finiay- Freundlich, E. Florini, E. Flischer, A. Fischer, J. 1310, Fladt-Seitz Fleischmann, R. Flinn, R. A. Flodmark, S. Floros, C. Flunkert, H. Folinsbee,	1485 1361 1472 1325 1309 1393 1354 1405 1453 1450
Cammerer, J. S 13: Cammerer, W. F 13: Campan, T. I 13: Carlin, G 14: Carlan, A 14: Carlson, B. C 13: Carlson, R. O 14: Carstens, C 14: Carter, C 13: Catillejo, L 13: Catalan, M. A. 13: Cazznave B. 13:	Craig, F. Craig, F. Craig, F. Crook, Cruicks B. Csokán, Cuicks B. Caskán, Cuicc- Dobo B. Curtis, Curti	A. S	1354 1356 1343 1411 1447 1379 1504 1384 1480 1329 1319 1497 1371	Dunina, A. A Duwez, P Dvoretzky, A Dvoretzky, A Dyson, F. J Dzialoshinskii, I. A Dzung, L. S 1348, Earl, J Eastey, J. W Eastman, P. C. Eaton, M. A Eberl, J Ebert, K. H Eckert, E. R. G. Edlén, B Edmonds,	1437 1444 1327 1359 1350 1319 1435 1355 1400 1445 1437 1503 1482 1490	Finiay- Freundlich, E. Florini, E. Flischer, A. Fischer, J. 1310, Fladt-Seitz Fleischmann, R. Flinn, R. A. Flodmark, S. Floros, C. Flunkert, H. Folinsbee, R. E. Foner, S. Ford, G. W.	1485 1361 1472 1325 1309 1393 1354 1405 1453 1450
Cammerer, J. S 13: Cammerer, W. F 13: Campan, T. I 13: Carlin, G 14: Carlan, A 14: Carlson, B. C 13: Carlson, R. O 14: Carstens, C 14: Carter, C 13: Catillejo, L 13: Catalan, M. A. 13: Cazznave B. 13:	Craig, F. Craig, F. Craig, F. Crook, G. Crook, G. D. W. Coulcks B. Caskán, Cujec- Dobo B. Curtis, Curtis, Curtis, Curtis, Curtis, Carnder A. W. Danlet,	A. S	1354 1356 1343 1411 1447 1379 1504 1389 1319 1497 1371 1403 1399	Dunina, A. A Duwez, P. Dvoretzky, A. Dworkin A. S. Dyson, F. J. Dzialoshinskii, I. A. Dzung, L. S. 1348, Earl, J. Easley, J. W. Eastman, P. C. Eaton, M. A. Eberl, J. Ebert, K. H. Eckert, E. R. G. Edlén, B. Edmonds, F. N. jr.	1437 1444 1327 1359 1350 1319 1435 1355 1400 1445 1437 1503 1482 1490	Finiay- Freundlich, E. Florini, E. Flischer, A. Fischer, J. 1310, Fladt-Seitz Fleischmann, R. Flinn, R. A. Flodmark, S. Floros, C. Flunkert, H. Folinsbee, R. E. Foner, S. Ford, G. W.	1485 1361 1472 1325 1309 1393 1354 1405 1453 1450
Cammerer,     J. S	Craig, F Craig, F Craw, I Crook, Crock, B Csokán, Cuciec- Dobo B B Curcio, Curtis, Curtis, Curtis, Curtis, Curtis, Curtis, Dublet, Daniel, Daniel,	A. S	1354 1356 1343 1411 1447 1379 1504 1389 1319 1497 1371 1403 1399	Dunina, A. A Duwez, P. Dvoretzky, A. Dworkin A. S. Dyson, F. J. Dzialoshinskii, I. A. Dzung, L. S. 1348, Earl, J. Easley, J. W. Eastman, P. C. Eaton, M. A. Eberl, J. Ebert, K. H. Eckert, E. R. G. Edlén, B. Edmonds, F. N. jr.	1437 1444 1327 1359 1350 1319 1435 1355 1400 1445 1437 1503 1482 1490	Finiay- Freundlich, E. Fischer, A. Fischer, J. 1310, Fladt-Seitz Fleischmann, R. Flinn, R. A. Flodmark, S. Floros, C. Flunkert, H. Folinsbee, R. E. Foner, S. Ford, G. W. Ford, H.	1485 1361 1472 1325 1309 1393 1354 1405 1453 1450 1364 1434 1395
Cammerer,     J. S	Craig, F Craig, F Craw, I Crook, Crock, B Csokán, Cuciec- Dobo B B Curcio, Curtis, Curtis, Curtis, Curtis, Curtis, Curtis, Dublet, Daniel, Daniel,	A. S	1354 1356 1343 1411 1447 1379 1504 1384 1480 1329 1319 1497 1371 1403 1399 1492	Dunina, A. A Duwez, P Dworetzky, A Dworkin A. S Dyson, F. J Dzialoshinskii, I. A Dzung, L. S. 1348, Earl, J Easley, J. W. Eastman, P. C. Eaton, M. A. Ebert, K. H. Eckert, E. R. G. Eddén, B. Edmonds, F. N. jr. Edmonds,	1437 1444 1327 1359 1350 1319 1435 1355 1400 1445 1437 1503 1487 1490	Finiay- Freundlich, E. Florini, E. Flischer, A. Fischer, J. 1310, Fladt-Seltz Fleischmann, R. Flinn, R. A. Flodmark, S. Floros, C. Flunkert, H. Folinsbee, R. E. Foner, S. Ford, G. W. Ford, H. 1332.	1485 1361 1472 1325 1309 1393 1354 1405 1453 1450 1364 1434 1395
Cammerer,     J. S	Craig, F Craig, F Craw, I Crook, Crock, B Csokán, Cuciec- Dobo B B Curcio, Curtis, Curtis, Curtis, Curtis, Curtis, Curtis, Dublet, Daniel, Daniel,	A. S	1354 1356 1343 1411 1447 1379 1504 1384 1480 1329 1319 1497 1371 1403 1399 1492	Dunina, A. A Duwez, P. Dvoretzky, A. Dworkin A. S. Dyson, F. J. Dzialoshinskii, I. A. Dzung, L. S. 1348, Earl, J. Easley, J. W. Eastman, P. C. Eaton, M. A. Eberl, J. Eberl, J. Eckert, E. R. G. Edlén, B. Edmonds, F. N. jr. Edmonds, P. D.	1437 1444 1327 1359 1350 1319 1435 1355 1400 1445 1437 1503 1487 1490	Finiay- Freundlich, E. Florini, E. Flischer, A. Fischer, J. 1310, Fladt-Seltz Fleischmann, R. Flinn, R. A. Flodmark, S. Floros, C. Flunkert, H. Folinsbee, R. E. Foner, S. Ford, G. W. Ford, H. 1332.	1485 1361 1472 1325 1309 1393 1354 1405 1453 1450 1364 1434 1395
Cammerer,     J. S	Craig, F Craig, F Craw, I Crook, Crock, B Csokán, Cuciec- Dobo B B Curcio, Curtis, Curtis, Curtis, Curtis, Curtis, Curtis, Dublet, Daniel, Daniel,	A. S	1354 1356 1343 1411 1447 1379 1504 1384 1480 1329 1319 1497 1371 1403 1399 1492	Dunina, A. A Duwez, P. Dvoretzky, A. Dworkin A. S. Dyson, F. J. Dzialoshinskii, I. A. Dzung, L. S. 1348, Earl, J. Easley, J. W. Eastman, P. C. Eaton, M. A. Eberl, J. Eberl, J. Eckert, E. R. G. Edlén, B. Edmonds, F. N. jr. Edmonds, P. D.	1437 1444 1327 1359 1350 1319 1435 1355 1400 1445 1437 1503 1487 1490	Finiay- Freundlich, E. Florini, E. Flischer, A. Fischer, J. 1310, Fladt-Seltz Fleischmann, R. Flinn, R. A. Flodmark, S. Floros, C. Flunkert, H. Folinsbee, R. E. Foner, S. Ford, G. W. Ford, H. 1332.	1485 1361 1472 1325 1309 1393 1354 1405 1453 1450 1364 1434 1395
Cammerer,     J. S	Craig, F. Craig, F. Craig, F. Crook, G. Crook, G. D. W. Couleks D. W. Cucles Dobo B. Curtis, Curtis, Curtis, Curtis, Curtis, Danby, Daniel, Daniel, Daniels, Danuss, Dany Daniels, Danuss, Danuss, Dany Daniels, Danuss, Dany Daniels, Danuss, Dany Daniels, Danuss, Danuss, Dany Daniels, Danuss, Dany Daniels, Danuss, Dany Daniels, Danuss, Dan	A. S	1354 1356 1343 1411 1447 1379 1504 1384 1480 1329 1319 1497 1371 1403 1399 1422 1406	Dunina, A. A., Duwez, P Dworetzky, A., Dworkin A. S., Dyson, F. J Dzialoshinskil, I. A Dzung, L. S. 1348, Earl, J Easley, J. W. Eastman, P. C. Eaton, M. A. Ebert, J Ebert, K. H. Eckert, E. R. G. Edlén, B. Edmonds, F. N. jr. Edmonds, P. D. Efremov,	1437 1444 1327 1359 1350 1319 1435 1400 1445 1447 1503 1448 1482 1490 1353 1487 1492	Finiay- Freundlich, E. Florini, E. Flischer, A. Fischer, J. 1310, Fladt-Seltz Fleischmann, R. Flinn, R. A. Flodmark, S. Floros, C. Flunkert, H. Folinsbee, R. E. Foner, S. Ford, G. W. Ford, H. 1332.	1485 1361 1472 1325 1309 1393 1354 1405 1453 1450 1364 1434 1395
Cammerer,  J. S 13: Cammerer,  W. F 13: Carini, G 14: Carlan, A 14: Carlson, B. C 13: Carlson, B. C 13: Carlson, B. C 14: Carstens, C 14: Carstens, C 14: Carter, C 13: Catalan, M. A 13: Catalan, M. A 13: Cazenave, R 13: Cercek, B 14: Cennigoi, C 13: Chamany, B 14: Chaney, J. G 14: Chanson, P 14: Chanson, P 14: Chapman, S. S. L. 14: Chapman, S	Craig, F. Craig, F. Craig, F. Crook, Crook, Crook, Cruck, B. Csokán, Cuiec- Dobo B. Curtis, Cu	A. S	1354 1356 1343 1411 1447 1379 1504 1384 1480 1329 1319 1497 1371 1403 1399 1422 1406	Dunina, A. A., Duwez, P Dworetzky, A., Dworkin A. S., Dyson, F. J Dzialoshinskil, I. A Dzung, L. S. 1348, Earl, J Easley, J. W. Eastman, P. C. Eaton, M. A. Ebert, J Ebert, K. H. Eckert, E. R. G. Edlén, B. Edmonds, F. N. jr. Edmonds, P. D. Efremov,	1437 1444 1327 1359 1350 1319 1435 1355 1400 1445 1437 1503 1487 1490	Finiay- Freundlich, E. Florini, E. Flischer, A. Fischer, J. 1310, Fladt-Seltz Fleischmann, R. Flinn, R. A. Flodmark, S. Floros, C. Flunkert, H. Folinsbee, R. E. Foner, S. Ford, G. W. Ford, H. 1332.	1485 1361 1472 1325 1309 1393 1354 1405 1453 1450 1364 1434 1395
Cammerer, J. S	Craig, F. Craig, F. Craig, F. Crook, I. Crook, E. D. W. Crolcks B. Crook, I. Curtis, I. Crook, I. Croo	A. S	1354 1356 1343 1411 1447 1379 1504 1384 1480 1329 1319 1497 1371 1403 1399 1422 1406	Dunina, A. A Duwez, P Dvoretzky, A. Dworkin A. S Dyson, F. J Dzialoshinskii, I. A Dzung, L. S 1348, Earl, J Eastey, J. W Eastman, P. C. Eaton, M. A Eberl, J Ebert, K. H Eckert, E. R. G Edlén, B Edmonds, F. N. jr Edmonds, P. D Efremov, D. V Egan, E. P. jr .	1437 1444 1327 1350 1319 1435 1355 1400 1445 1447 1503 1482 1490 1353 1487 1492 1346 1366	Finiay- Freundlich, E. Fischer, A. Fischer, J. 1310, Fladt-Seltz Fleischmann, R. Flinn, R. A. Flodmark, S. Floros, C. Flunkert, H. Folinsbee, R. E. Foner, S. Ford, G. W. Ford, H. Fortak, H. Fortak, H. Fowler, W. A.	1485 1361 1472 1325 1309 1393 1354 1405 1453 1450 1364 1434 1395 1475 1345 1501 1492
Cammerer, J. S	Craig, F. Craig, F. Craig, F. Crook, I. Crook, E. D. W. Crolcks B. Crook, I. Curtis, I. Crook, I. Croo	A. S	1354 1356 1343 1411 1447 1379 1504 1384 1480 1329 1319 1497 1371 1403 1399 1422 1406	Dunina, A. A Duwez, P Dvoretzky, A. Dworkin A. S Dyson, F. J Dzialoshinskii, I. A Dzung, L. S 1348, Earl, J Eastey, J. W Eastman, P. C. Eaton, M. A Eberl, J Ebert, K. H Eckert, E. R. G Edlén, B Edmonds, F. N. jr Edmonds, P. D Efremov, D. V Egan, E. P. jr .	1437 1444 1327 1350 1319 1435 1355 1400 1445 1447 1503 1482 1490 1353 1487 1492 1346 1366	Finiay- Freundlich, E. Fischer, A. Fischer, J. 1310, Fladt-Seltz Fleischmann, R. Flinn, R. A. Flodmark, S. Floros, C. Flunkert, H. Folinsbee, R. E. Foner, S. Ford, G. W. Ford, H. Fortak, H. Fortak, H. Fowler, W. A.	1485 1361 1472 1325 1309 1393 1354 1405 1453 1450 1364 1434 1395 1475 1345 1501 1492
Cammerer, J. S	Craig, F. Craig, F. Craig, F. Crook, I. Crook, E. D. W. Crolcks B. Crook, I. Curtis, I. Crook, I. Croo	A. S	1354 1356 1343 1411 1447 1379 1504 1384 1480 1329 1319 1497 1371 1403 1399 1422 1406	Dunina, A. A Duwez, P Dworetzky, A. Dworkin A. S. Dyson, F. J Dzialoshinskil, I. A. Dzung, L. S. 1348, Earl, J Easley, J. W. Eastman, P. C. Eaton, M. A. Ebert, K. H. Eckert, E. R. G. Eddien, B. Edmonds, F. N. jr. Edmonds, P. D. Efremov, D. V Egan, E. P. jr. 1348,	1437 1444 1327 1359 1350 1319 1435 1435 1435 1400 1445 1437 1482 1490 1353 1482 1492 1346 1366	Finiay- Freundlich, E. Fischer, A. Fischer, J. 1310, Fladt-Seltz Fleischmann, R. Flinn, R. A. Flodmark, S. Floros, C. Flunkert, H. Folinsbee, R. E. Foner, S. Ford, G. W. Ford, H. Fortak, H. Fortak, H. Fowler, W. A.	1485 1361 1472 1325 1309 1393 1354 1405 1453 1450 1364 1434 1395 1475 1345 1501 1492
Cammerer,  J. S	Craig, F. Craig, F. Craig, F. Crook, Croicki B. Crook, Crucki B. Csokán, Cuiec- Dobo B. Curtis, Curtis	A. S	1354 1356 1343 1411 1447 1379 1504 1384 1480 1329 1319 1497 1403 1399 1422 1406 1349 1482 1479	Dunina, A. A Duwez, P. Dvoretzky, A. Dworkin A. S. Dyson, F. J. Dzialoshinskii, I. A. Dzung, L. S. 1348, Earl, J. Easley, J. W. Eastman, P. C. Eaton, M. A. Eberl, J. Ebert, K. H. Eckert, E. R. G. Eddén, B. Edmonds, F. N. jr. Edmonds, P. D. Efremov, D. V. Egan, E. P. jr. 1348, Ege, D.	1437 1444 1327 1359 1350 1319 1435 1435 1435 1445 1437 1448 1490 1353 1487 1492 1346 1366 1350 1496	Finiay- Freundlich, E. Fischer, A. Fischer, J. 1310, Fladt-Seltz Fleischmann, R. Flinn, R. A. Flodmark, S. Floros, C. Flunkert, H. Folinsbee, R. E. Foner, S. Ford, G. W. Ford, H. Fortak, H. Fortak, H. Fowler, W. A.	1485 1361 1472 1325 1309 1393 1354 1405 1453 1450 1364 1434 1395 1475 1345 1501 1492
Cammerer,  J. S	Craig, F. Craig, F. Craig, F. Crook, Crook, Crook, B. Crook, D. W. Crook, D. W. Crook, Cructo, Curtis, Curtis, Curtis, Curtis, Curtis, Danby, Daniel, Davies, La Davies,	A. S	1354 1356 1343 1411 1447 1379 1504 1384 1480 1329 1319 1497 1371 1403 1399 1422 1406 1349 1482 1478	Dunina, A. A Duwez, P. Dvoretzky, A Dworkin A. S Dyson, F. J. Dzialoshinskil, I. A. Dzung, L. S. 1348, Earl, J. Easley, J. W. Easley, J. W. Eastman, P. C. Eaton, M. A. Ebert, J. Eckert, E. R. G. Edlén, B. Edmonds, F. N. jr. Edmonds, P. D. Efremov, D. V. Egan, E. P. jr. 1348, Ege, D. Ehrlich, G.	1437 1444 1327 1359 1350 1319 1435 1435 1435 1445 1445 1445 1445 1448 1482 1490 1353 1487 1492 1346 1366	Finiay- Freundlich, E. Fischer, A. Fischer, J. 1310, Fladt-Seltz Fleischmann, R. Flinn, R. A. Flodmark, S. Floros, C. Flunkert, H. Folinsbee, R. E. Foner, S. Ford, G. W. Ford, H. Fortak, H. Fortak, H. Fowler, W. A.	1485 1361 1472 1325 1309 1393 1354 1405 1453 1450 1364 1434 1395 1475 1345 1501 1492
Cammerer,  J. S	Craig, F. Craig, F. Craig, F. Craig, F. Crook, Crook, Crook, Crook, D. W. Colec- Dobo B. Curcio, Curtis, Curti	A. S	1354 1356 1343 1411 1447 1379 1504 1384 1480 1329 1319 1497 1371 1403 1399 1497 1371 1403 1399 1447 1479 1479 1479 1479	Dunina, A. A Duwez, P. Dvoretzky, A Dworkin A. S Dyson, F. J. Dzialoshinskil, I. A. Dzung, L. S. 1348, Earl, J. Easley, J. W. Easley, J. W. Eastman, P. C. Eaton, M. A. Ebert, J. Eckert, E. R. G. Edlén, B. Edmonds, F. N. jr. Edmonds, P. D. Efremov, D. V. Egan, E. P. jr. 1348, Ege, D. Ehrlich, G.	1437 1444 1327 1359 1350 1319 1435 1435 1435 1445 1445 1445 1445 1448 1482 1490 1353 1487 1492 1346 1366	Finiay- Freundlich, E. Fischer, A. Fischer, J. 1310, Fladt-Seltz Fleischmann, R. Flinn, R. A. Flodmark, S. Floros, C. Flunkert, H. Folinsbee, R. E. Foner, S. Ford, G. W. Ford, H. Fortak, H. Fortak, H. Fowler, W. A.	1485 1361 1472 1325 1309 1393 1354 1405 1453 1450 1364 1434 1395 1475 1345 1501 1492
Cammerer, J. S	Craig, F. Craig, F. Craig, F. Craig, F. Crook, Crook, Crook, Crook, D. W. Colec- Dobo B. Curcio, Curtis, Curti	A. S	1354 1356 1343 1411 1447 1379 1504 1384 1480 1329 1319 1497 1371 1403 1399 1497 1371 1403 1399 1447 1479 1479 1479 1479	Dunina, A. A Duwez, P. Dvoretzky, A Dworkin A. S Dyson, F. J. Dzialoshinskil, I. A. Dzung, L. S. 1348, Earl, J. Easley, J. W. Easley, J. W. Eastman, P. C. Eaton, M. A. Ebert, J. Eckert, E. R. G. Edlén, B. Edmonds, F. N. jr. Edmonds, P. D. Efremov, D. V. Egan, E. P. jr. 1348, Ege, D. Ehrlich, G.	1437 1444 1327 1359 1350 1319 1435 1435 1435 1445 1445 1445 1445 1448 1482 1490 1353 1487 1492 1346 1366	Finiay- Freundlich, E. Fischer, A. Fischer, J. 1310, Fladt-Seltz Fleischmann, R. Flinn, R. A. Flodmark, S. Floros, C. Flunkert, H. Folinsbee, R. E. Foner, S. Ford, G. W. Ford, H. Fortak, H. Fortak, H. Fowler, W. A.	1485 1361 1472 1325 1309 1393 1354 1405 1453 1450 1364 1434 1395 1475 1345 1501 1492
Cammerer,  J. S	Craig, F. Craig, F. Craig, F. Craw, I. Crook, Crook, D. W. Crook, B. Csokán, Cuciec- Dobo B. Curcio, Curtis, C	R. S	1354 1356 1343 1411 1447 1379 1504 1384 1480 1329 1319 1497 1371 1403 1399 1422 1406 1349 1478 1478 1343	Dunina, A. A Duwez, P. Dvoretzky, A Dworkin A. S Dyson, F. J. Dzialoshinskil, I. A. Dzung, L. S. 1348, Earl, J. Easley, J. W. Easley, J. W. Eastman, P. C. Eaton, M. A. Ebert, J. Eckert, E. R. G. Edlén, B. Edmonds, F. N. jr. Edmonds, P. D. Efremov, D. V. Egan, E. P. jr. 1348, Ege, D. Ehrlich, G.	1437 1444 1327 1359 1350 1319 1435 1435 1435 1445 1445 1445 1445 1448 1482 1490 1353 1487 1492 1346 1366	Finiay- Freundlich, E. Fischer, A. Fischer, J. 1310, Fladt-Seltz Fleischmann, R. Flinn, R. A. Flodmark, S. Floros, C. Flunkert, H. Folinsbee, R. E. Foner, S. Ford, G. W. Ford, H. Fortak, H. Fortak, H. Fowler, W. A.	1485 1361 1472 1325 1309 1393 1354 1405 1453 1450 1364 1434 1395 1475 1345 1501 1492
Cammerer, J. S	Craig, F. Craig, F. Craig, F. Craw, I. Crook, Crook, D. W. Crook, B. Csokán, Cuciec- Dobo B. Curcio, Curtis, C	A. S	1354 1356 1343 1411 1447 1379 1504 1384 1480 1329 1319 1497 1371 1403 1399 1422 1406 1349 1478 1478 1343	Dunina, A. A Duwez, P. Dvoretzky, A. Dworkin A. S. Dyson, F. J. Dzialoshinskii, I. A. Dzung, L. S. 1348, Earl, J. Easley, J. W. Eastman, P. C. Eaton, M. A. Eberl, J. Ebert, K. H. Eckert, E. R. G. Eddén, B. Edmonds, F. N. jr. Edmonds, P. D. Efremov, D. V. Egan, E. P. jr. 1348, Ege, D.	1437 1444 1327 1359 1350 1319 1435 1435 1435 1445 1445 1445 1445 1448 1482 1490 1353 1487 1492 1346 1366	Finiay- Freundlich, E. Florini, E. Flischer, A. Fischer, J. 1310, Fladt-Seltz Fleischmann, R. Flinn, R. A. Flodmark, S. Floros, C. Flunkert, H. Folinsbee, R. E. Foner, S. Ford, G. W. Ford, H. 1332.	1485 1361 1472 1325 1309 1393 1354 1405 1453 1450 1364 1434 1395 1475 1345 1501 1492

Frederikse,	Gove, H. E 1382	Harbeke, G '1443	Horner F 1455
H. P. R 1440 French, A. P 1390	Grand, Y. le 1481	Hardison,	Horner, F 1455 Horst, R. W 1329 Horton, G. K.
Franch A D 4200	Caralle D 4404	Hardison,	Horst, R. W 1529
French, A. F 1590	Granit, R 1481 Grant, E. H 1447	H. V 1361	Horton, G. K.
Friedlander,	Grant, E. H 1447	Harrower,	1413, 1414
M. W 1372	Grechukhin,	G. A 1496	Horváth, J. I. 1314
Friedman,	D.P. 1431	Hartmann, J 1358	
A & 4050	D. P 1431 Green, A. E. S. 1386	II artmann, J 1990	Hosemann, R. 1413
A. S 1352 Friedman, H 1503 Fritsch, V 1504	Green, A. E. S. 1380	Harvey, J. A. 1382 Hass, G. 1466, 1469	Hosler, W. R 1440
Friedman, H 1503	Green, D. H 1398	Hass, G. 1466, 1469	Hostettler,
Fritsch, V 1504	Greenberg,	Haurwitz, B 1502	HU 1377
Fritz-Niggli,	I. N 1436	Haus, H. A 1457	Housiet A 1999
U 4409	Caractical	IIaus, II. A 1401	Houriet, A 1322
H 1483 Fröman, P. O.	Greenfield,	Hayes, S 1417 Hayes, W 1409	Howard, J. A. 1469 Howard, R 1483 Howland, W. H. 1350 Hoyland, P. J. 1442
Fröman, P. O.	S. M 1500	Hayes, W 1409	Howard, R 1483
1382, 1386 Froese, C 1323 Fujita, H 1426	Greening, W. D. B 1372	Hayward,	Howland, W. H. 1350
Froese C 1323	W D B 1372	B W 1995	Howland D I 1449
E	Consented to the contract of t	R. W 1385 Heaps, H. S 1346	Hoyland, F. J. 1442
Fujica, H 1420	Greenlees,	Heaps, H. S 1346	Hubbard, J 1324 Hubert, L. F 1500
Fulbright,	G. W 1389	Hebbard,	Hubert, L. F 1500
H. W 1390 Fuliński, A 1420 Fulmer, C. B 1380	Greenler,	F. W 1480	Hudson, R. P. 1385 Hückel, E 1406
Fulicaki A 1420	R. G 1467	Heber, G 1319	Hückel E 1406
Fulmon C D 1990	Cnome IF C 4909	TI	TT" D 4076
Fulmer, G. B 1380	Gregg, E. C 1398	Hegarty, J. C. 1340 Heine, V 1355	Hüper, R 1374 Hughes, W. F. 1339
Fumi, F. G 1416	Greinacher, H. 1466	Heine, V 1355	Hughes, W. F. 1339
	Greiner, H 1467	Heineken,	Hulet, E. K 1379 Hull, D. E 1329
Gabbay, E. J 1340	Grenier, G 1350		Hall D E 1990
Cabanish	C	F. W 1459	11uli, D. E 1525
Gabovich,	Grenville-	Heisenberg, W. 1319	Humphreys,
M. M 1365	Wells, J 1411	ILUISUI, A. M ITOT	C. J 1402
M. M 1365 Gartenhaus, S. 1316 Gashev, M. A 1366	Wells, J 1411 Griffin, J. J. 1374, 1375	Heiser, D. A 1348	Hunter, A. N 1347
Gashay M A 1366	1974 1975	Heitler, W.	Hunton D M 1400
Catte D	C 35 4470	4040 4040	Hunter, D. M. 1499 Hunter, R. S. 1468 Hunter, W. R. 1469
Gatto, R.	Grosjean, M 1472	1310, 1318	Hunter, R. S. 1468
1373, 1383	Gross, B 1500	Held, E. F. M.	Hunter, W. R. 1469
Gavrilovskii,	Gross, D 1328	van der 1353 Helfrey, P. F 1348	Hurlbut, F. C. 1339
B. V 1389	Grove, R 1466	Holfman D F 1948	Humat C 1416
D. V 1000	0. 1. 1. 1. 1. 1. 1. 1. 1. 1. 1. 1. 1. 1.	Henrey, F. F., 1346	Huist, C 1410
Geisel, H 1354	Gryzińsky, M. 1388	Hemmendinger	Hurst, R 1367
Genensky,	Gürsey, F 1394	Н 1482	Hurst, C 1416 Hurst, R 1367 Hurter, T 1426
S. M 1351	Guillemin, G 1413	Henley, E. M., 1385	Hurvich,
S. M 1351 Gerlach, W.	Guillon, H 1360	Henley, E. M 1385 Hering, W 1501	T. M 1481
1310, 1311	Guironnian B 1454	Harriagen F 1400	L. M 1481 Husain, S. A. 1396
	Guizonnier, R. 1454 Gulmanelli, P. 1321	Hernegger, F. 1490	Trusalli, S. A., 1980
Gerstein, G. L. 1366	Guimaneili, P. 1321	Herpin, A 1393	Hutchinson,
Geschwind, S. 1430	Gundlach,	Hertwig, H 1405	W. P 1348
Ghose, R. N 1460	F. W 1462	Hertz, H 1311 Heumann, T 1418	Huybrechts,
Ghose, T 1431 Ghosh, S. K 1431	Gunn, K. L. S. 1502	Haumann T. 1418	M 1360 Hyslop, J 1403
Ghosh S K 1/31	Gunn, R 1426	HOTOGE G T 1480	Hyglon I 1403
Circle Andre	C C D 4200	Hevesy, G. v 1480	Hystop, 5 1405
Giacalone, A 1355 Giacconi, R 1361	Gunn, S. R 1380	Heydenburg,	T
Glacconi, R 1361	Gurevich,	N. P 1382	Iernetti, G 1372
Giaccoletto,	M. A 1412	Heyligers, A 1383 Hicks, H. G 1380	Iizuka, K 1473
L. J 1461 Giese, C. F 1377	Gushchin,	Hicks, H. G 1380	Infeld, L 1313 Ioffe, A. F.
Gioso C F 1377	Y. V 1364	Hidnert, P 1354	Toffe A F
Ciese, C. F 1011	C4-6 © 4602		4407 4400
Giguère, P. A 1357	Gustaisson, 5. 1485	Hiernonymus,	1437, 1438
Ginnings,	Gustafsson, S. 1483 Gutman, L. N. 1502	Н 1427	Ioffe, A. V 1438
D. C 1352		Hiida, K 1318	Ioffe, A. V 1438 Ioffe, B. L 1397
Ginghung	Haag, R 1319	Hill E I. 1916	Irvine, T. F 1353
Ginzburg,	TI TI ADDR	TT111 TO 4000 4004	Tourist Transport
V. L 1419	Haas, H 1327	Hilda, K 1318 Hill, E. L 1316 Hill, R. 1330, 1331 Hill, R. S 1390	Irvine,
Giordmaine,	Haase, R 1452	Hill, R. S 1390	T. F. jr 1353
J. A 1459	Haase, R 1452 Haasen, P 1333	Hilmer, U 1349	Ishikawa, M 1358
Givens M D 1460	Haberland, G 1331	Hilmi A K 1996	Ishikawa, M 1358 Ishikawa, Y 1451
Clarent, M. F., 1405	TIE-m D 4400	Hilml, A. K 1396 Hinds, S 1391	Incomplet W 4990
Glaser, H 1352	Härm, R 1483	Hinas, S 1391	180Zaki, K 1556
Glaser, V 1396	Hahn, D 1473	Hirschowitz,	Isupov, V. A., 1450
Givens, M. P. 1459 Givens, M. P. 1469 Glaser, H. 1352 Glaser, V. 1396 Glaser, W. 1310, 1312	Hahn, D 1473 Hall, J. G 1340 Halperin, J 1368 Halton, J. H 1344 Hama, F. R 1340	B 1480 Hoare, F. E 1349	Isozaki, K 1338 Isupov, V. A. 1450 Ito, Y 1338 Itoh, T 1431
1910 1919	Halperin T 1368	Hoore F E 1349	Itoh T 1431
Cl T T . 4240	Walton T W 4966	Hochman	Itterbeek,
Glass, I. I 1340 Glassman, I 1344	namon, J. n. 1344	Hochman,	A. van 1345
Glassman, I 1344	Hama, F. R 1340	'R. F 1440	A. van 1345
Trolay.			Ivanenko,
	Hamilton,	Hodge,	I vanciino,
M J E 1312	Transferon,	Hodge, P. G. ir 1333	D. D 1376
M. J. E 1312	H. L. jr 1500	P. G. ir 1333	D. D 1376
M. J. E 1312 Gold, L. 1461, 1462	H. L. jr 1500 Hamilton,	P. G. ir 1333	D. D 1376 Ivanov, P. P 1366
M. J. E 1312 Gold, L. 1461, 1462 Goldblatt, M 1329	H. L. jr 1500 Hamilton, J. H 1386	P. G. ir 1333	D. D 1376 Ivanov, P. P 1366 Ivanova, N. S. 1380
M. J. E 1312 Gold, L. 1461, 1462 Goldblatt, M 1329 Gol'fand, I. A. 1322	H. L. jr 1500 Hamilton, J. H 1386	P. G. ir 1333	D. D 1376 Ivanov, P. P 1366 Ivanova, N. S. 1380 Iyengar, P. K. 1440
M. J. E 1312 Gold, L. 1461, 1462 Goldblatt, M 1329 Gol'fand, I. A. 1322	H. L. jr 1500 Hamilton, J. H 1386 Hammer, O 1466 Hancov R 1454	P. G. jr 1333 Hönl. H 1313 Hoff, R. W 1379 Hogarth, C. A. 1442	D. D 1376 Ivanov, P. P 1366 Ivanova, N. S. 1380 Iyengar, P. K. 1440
M. J. E 1312 Gold, L. 1461, 1462 Goldblatt, M 1329 Gol'fand, I. A. 1322 Golubenkov.	H. L. jr 1500 Hamilton, J. H 1386 Hammer, O 1466 Hancov R 1454	P. G. jr 1333 Hönl. H 1313 Hoff, R. W 1379 Hogarth, C. A. 1442 Holmboe.	D. D 1376 Ivanov, P. P 1366 Ivanova, N. S. 1380 Iyengar, P. K. 1440
M. J. E 1312 Gold, L. 1461, 1462 Goldblatt, M 1329 Gol'fand, I. A. 1322 Golubenkov.	H. L. jr 1500 Hamilton, J. H 1386 Hammer, O 1466 Hancox, R 1454 Hanna S. S 1394	P. G. jr 1333 Hönl. H 1313 Hoff, R. W 1379 Hogarth, C. A. 1442 Holmboe.	D. D 1376 Ivanov, P. P 1366 Ivanova, N. S. 1380 Iyengar, P. K. 1440 Jack. W 1379
M. J. E 1312 Gold, L. 1461, 1462 Goldblatt, M 1329 Gol'fand, I. A. 1322 Golubenkov, V. N 1317 Good, J. J 1312	H. L. jr 1500 Hamilton, J. H 1386 Hammer, O 1466 Hancox, R 1454 Hanna S. S 1394	P. G. jr 1333 Hönl. H 1313 Hoff, R. W 1379 Hogarth, C. A. 1442 Holmboe.	D. D
M. J. E 1312 Gold, L. 1461, 1462 Goldblatt, M 1329 Gol'fand, I. A. 1322 Golubenkov, V. N 1317 Good, J. J 1312	H. L. jr 1500 Hamilton, J. H 1386 Hammer, O 1466 Hancox, R 1454 Hanna S. S 1394	P. G. jr 1333 Hönl, H 1313 Hoff, R. W 1379 Hogarth, C. A. 1442 Holmboe, L. W 1464 Holthusen, H 1310 Honig, J. M 1329	D. D
M. J. E 1312 Gold, L. 1461, 1462 Goldblatt, M 1329 Gol'fand, I. A. 1322 Golubenkov, V. N 1317 Good, J. J 1312	H. L. jr 1500 Hamilton, J. H 1386 Hammer, O 1466 Hancox, R 1454 Hanna S. S 1394	P. G. jr 1333 Hönl, H 1313 Hoff, R. W 1379 Hogarth, C. A. 1442 Holmboe, L. W 1464 Holthusen, H 1310 Honig, J. M 1329	D. D
M. J. E 1312 Gold, L. 1461, 1462 Goldblatt, M 1329 Gol'fand, I. A. 1322 Golubenkov, V. N 1317 Good, I. J 1312 Good, W. D 1348, 1350	H. L. jr	P. G. jr 1333 Hönl. H 1313 Hoff, R. W 1379 Hogarth, C. A. 1442 Holmboe, L. W 1464 Holthusen, H 1310 Honlg, J. M 1329 Hooven,	D. D
M. J. E 1312 Gold, L. 1461, 1462 Goldblatt, M 1329 Gol'fand, I. A. 1322 Golubenkov, V. N 1317 Good, I. J 1312 Good, W. D 1348, 1350 Gordon, J. P 1459	H. L. jr	P. G. jr 1333 Hönl. H 1313 Hoff, R. W 1379 Hogarth, C. A. 1442 Holmboe, L. W 1464 Holthusen, H 1310 Honlg, J. M 1329 Hooven,	D. D
M. J. E 1312 Gold, L. 1461, 1462 Goldblatt, M 1329 Gol'fand, I. A. 1322 Golubenkov, V. N 1317 Good, I. J 1312 Good, W. D 1348, 1350	H. L. jr	P. G. jr 1333 Hönl. H 1313 Hoff, R. W 1379 Hogarth, C. A. 1442 Holmboe, L. W 1464 Holthusen, H 1310 Honig, J. M 1329 Hooven, I. van der 1501 Hopkins, R. E.	D. D
M. J. E	H. L. jr	P. G. jr 1333 Hönl. H 1313 Hoff, R. W 1379 Hogarth, C. A. 1442 Holmboe, L. W 1464 Holthusen, H 1310 Honlg, J. M 1329 Hooven, I. van der 1501 Hopkins, R. E	D. D
M. J. E 1312 Gold, L. 1461, 1462 Goldblatt, M 1329 Gol'fand, I. A. 1322 Golubenkov, V. N 1317 Good, I. J 1312 Good, W. D 1348, 1350 Gordon, J. P 1459	H. L. jr	P. G. jr 1333 Hönl. H 1313 Hoff, R. W 1379 Hogarth, C. A. 1442 Holmboe, L. W 1464 Holthusen, H 1310 Honlg, J. M 1329 Hooven,	D. D

Janke, W 1479	Kiselev, V. F 1425 Kitao, K 1399	Kuo, L. G 1389	Löcherer,
Jansen, J 1428	Kitao, K 1399	Kuperman, S 1393	К. Н 1351
January K 1342	Kladnik R 1368	Kurase, K 1337	Lohmann, A 1400
Janke, W 1479 Jansen, J 1428 Jarmolow, K 1342 Jarrett, A. H 1487 Jarrys, R. G 1392 Javan, A 1429 Jaynes, E. T 1359 Jessup, R. S 1348 Jindra, F 1330 John, W 1372 Johnson, D. P. 1458 Johnson, D. S. 1353 Johnson, J. W. 1415 Johnson, M 1403 Johnson,	Klátil, J 1351 Kleesattel, G. 1347 Kleitman, D	Kushwaha,	Loinger, A 1316
Jarrett, A. n 1467	Klath, J 1901	R. S 1491	Long, J. D 1340
Jarry, R. L 1336	Kleesattel, G. 1547	10. 0 1101	Lonsdale, K 1411
Jarvis, R. G 1392	Kleitman, D.	T 1 T 40/0	
Javan, A 1429	1319, 1440	Labrousse, R 1342	Loshakov,
Jaynes, E. T. , 1359	Klemens, P. G. 1433	Lacam, A 1472	L. N 1465
Jessup B S. 1348	Kleppa, O. J., 1348	Lagerquist, A. 1409	Lovett, J. E 1378
Jindra F 1990	Kleppa, O. J 1348 Klotter, K 1330	Lagerquist, A. 1409 Laitone, E. V. 1342	Luck. W 1406
7-L W 1979	Klüber, H. v 1487	Lamb, J 1346	L. N 1465 Lovett, J. E 1378 Luck, W 1406 Ludwig, G 1313
John, W 13/2	Kluber, H. V. 1407	Tambert T D 1946	Tildows G 1384
Johnson, D. P. 1458	Knestrick,	Lambert, J. D. 1346	Lüders, G 1384 Lüttke, W 1408
Johnson, D. S. 1353	G. L 1504 Knight, J. R 1402	Lamoral, R 1347	
Johnson, J. W. 1415	Knight, J. R 1402	Landau, L. D 1324	Lundqvist,
Johnson, M 1403	Knipper, A. C. 1383 Koch, W 1476	Landauer, R 1450	S. O 1414
Johnson,	Koch W. 1476	Landsberg,	Lyons, P. A 1420
Johnson,	Kochanovská,	РТ 1442	
W. H. jr.	A 4676	P. T 1442 Lane, J. A 1456	Mabboux, C 1447
1376, 1377	A 1474	Lane, J. A 1450	
Johnston,	Kochendörfer,	Lange, F. H 1311	MacAdam,
R. H. W 1372	A 1473, 1475 Koehler, A. M. 1366	Langenberg,	D. L 1482
Jones, D. A 1417	Koehler, A. M. 1366	D. N 1434 Langer, J. S 1322	McCarvill,
Jones	König H. 1490	Langer, J. S 1322	P. D 1409
C: U C 1400	Kohlon M 1432	Langer, L. M.	McDaniel,
Jones, Sir H. S 1488	Kohler, M 1432 Kolm, C 1440	1386, 1387	R. E 1400
Dougetter, M. IV. ATTO	Kolin, G 1440	Tamenta IV 4407	
Jovanović,	Kolomenskii,	Laporte, H 1465	Macdonald,
D. T 1360 Jurić, M. K.	A. A 1366	Laporte, H 1465 Laranjeira, M. 1387 Large, M. I 1447 Laurent, B. E. 1321	D. E 1471
Jurić, M. K.	Kolomensky,	Large, M. I 1447	MacDonald,
1391, 1392	A. A 1366	Laurent, B. E. 1321	D. K. C 1358
Just, K.	Kolomets,	Lautz, G 1443 Lawson, J. D 1367	Macfarlane,
1313, 1315	N. V 1438	Lawson I D 1367	G. G 1441
1313, 1313	W. V 1430	Lawson, J. D 1001	
T	Kompaneets,	Lawton, H 1341	McGowan,
Kaeppeler, H. J. 1371, 1448	A. S 1323	Lax, B 1441	F. K 1388
H. J. 1371, 1448	Kondratenko,	Layzer, D 1487	Machta, L 1500
Kästner, S 1332 Kaiser, T. R.	V. M 1438	LeCraw, R. C. 1430 Lee, T. H 1449	Machta, L 1500 MacKay, J. R. 1329 McKay, R. W. 1410
Kaiser, T. R.	Konjin, J 1383	Lee, T. H 1449	McKay, R. W. 1410
1499, 4503	Korolev, F. A. 1366	Lees, D. G 1441	McKeller A 1489
Kalutani S 1250	Kozlowskii,	Lagrange	McKellar, A 1489 Mackie, A. G 1339
Kakutani, S 1359	NULIUWSKII,	Leeuwen, J. M. J. van 1359	Mackie, A. G., 1999
Kambe, K 1431 Kaminsky, M 1334	V. K 1451	J. M. J. van 1559	McLaughlin,
Kaminsky, M., 1334	Kozowski, L 1477	Legay, F 1407 Legge, R. D 1347	E 1335 McLean, T. P. 1441 McLellan, C. H. 1356
Kammer,	Krasikov,	Legge, R. D 1347	McLean, T. P. 1441
E. W 1452 Kapany, N. S. 1468	B. S 1424	Legrand, M 1472	McLellan, C. H. 1356
Kapany, N. S. 1468	Krasil'nikow,	Lehmann, G 1452	MacLusky.
Kapitonova,	K G 1425	Lehmann, G 1452 Leigh, R. S 1433	G I B 1369
N. V 1425	K. G 1425 Kraushaar, W. 1400	Loise T F 1204	MacLusky, G. J. R 1369 McNish, A. G. 1325 Macris, C 1486 McVittia
Vanamanaia	Vacable F	Leiss, J. E 1394 Lemmer, R. H. 1375	MCNISH, A. G. 1525
Karagounis,	Krauß, F 1349 Kreiken, E. A 1496	Lemmer, R. H. 1375	Macris, G 1486
G 1408 Karoli, A. R 1467 Kavadas, A. D. 1410	Kreiken, E. A., 1496	Lenard, A 1319 Leroy, J. L 1447 Levenbach,	
Karoli, A. R., 1467	Kreith, F 1336	Leroy, J. L 1447	G. C 1497 Madigan, J. R. 1441
Kavadas, A. D. 1410	Kreyszig, E 1330	Levenbach.	Madigan, J. R. 1441
Kawata, M.	Krisch, A 1476	G. J. 1427	Maenhout-
1337, 1338	Krishnamurty,	G. J 1427 Levi, F. A 1331 Levy, H. B 1380	van der
Kazas F 1207	D U 1940	Levi, F. A 1331	Van der
Kazes, E 1397 Keim, R. E 1468	В. Н 1346	Levy, II, D 1380	V OTNL. W 1410
	Kalahaan	Tambe C 35 4000	36
Keim, R. E 1408	Krishnan,	Lewis, G. M 1388	Vorst, W 1416 Magnan, C 1472
Kelster, G. L., 1442	R. S 1468	Lewis, G. M 1388 Lewis, R. R 1384	Mahendroo,
Kelster, G. L., 1442	R. S 1468 Kristofferson,	Lewis, G. M 1388 Lewis, R. R 1384	Mahendroo,
Kelster, G. L., 1442	R. S 1468 Kristofferson, A. B 1481	Lewis, G. M 1388 Lewis, R. R 1384	Mahendroo, P. P 1347 Maier-
Kelster, G. L., 1442	R. S 1468 Kristofferson, A. B 1481 Krivoglaz.	Lewis, G. M 1388 Lewis, R. R 1384 Lianis, G 1332 Libby, W. F 1500	Mahendroo, P. P 1347 Maier-
Kelster, G. L., 1442	R. S 1468 Kristofferson, A. B 1481 Krivoglaz,	Lewis, G. M 1388 Lewis, R. R 1384 Lianis, G 1332 Libby, W. F 1500 Lichtenberg,	Mahendroo, P. P 1347 Maier-
Keister, G. L. 1442 Keller, A 1422 Keller, J. M 1324 Kemula, V 1311 Kerimov, B. K. 1376	R. S 1468 Kristofferson, A. B 1481 Krivoglaz,	Lewis, G. M. 1388 Lewis, R. R. 1384 Lianis, G. 1332 Libby, W. F. 1500 Lichtenberg, D. B. 1378	Mahendroo, P. P 1347 Maier-
Kelster, G. L. 1442 Keller, A 1422 Keller, J. M 1324 Kemula, V 1311 Kerimov, B. K. 1376 Kerman, R. O. 1390	R. S 1468 Kristofferson, A. B 1481 Krivoglaz, M. A 1412 Krohn, V. E 1323	Lewis, G. M. 1388 Lewis, R. R. 1384 Lianis, G. 1332 Libby, W. F. 1500 Lichtenberg, D. B. 1378	Mahendroo, P. P 1347 Maier- Leibnitz, H. 1367 Majewski, M 1395 Malitson, I. H. 1478
Kelster, G. L. 1442 Keller, A 1422 Keller, J. M 1324 Kemula, V 1311 Kerimov, B. K. 1376 Kerman, R. O. 1390	R. S 1468 Kristofferson, A. B 1481 Krivoglaz, M. A 1412 Krohn, V. E 1323 Króllkowski,	Lewis, G. M 1388 Lewis, R. R 1384 Lianis, G 1332 Libby, W. F 1500 Lichtenberg, D. B 1378 Lienard, P 1331 Limentani, S 1372	Mahendroo, P. P 1347 Maier- Leibnitz, H. 1367 Majewski, M 1395 Malitson, I. H. 1478
Kelster, G. L. 1442 Keller, A 1422 Keller, J. M 1324 Kemula, V 1311 Kerimov, B. K. 1376 Kerman, R. O. 1390 Khan, M. A 1409 Khelfets, V. L. 1424	R. S 1468 Kristofferson, A. B 1481 Krivoglaz, M. A 1412 Krohn, V. E 1323 Królikowski, W	Lewis, G. M 1388 Lewis, R. R 1384 Lianis, G 1332 Libby, W. F 1500 Lichtenberg, D. B 1378 Lienard, P 1331 Limentani, S 1372	Mahendroo, P. P 1347 Maier- Leibnitz, H. 1367 Majewski, M 1395 Malitson, I. H. 1478
Kelster, G. L. 1442 Keller, A 1422 Keller, J. M 1324 Kemula, V 1311 Kerimov, B. K. 1376 Kerman, R. O. 1390 Khan, M. A 1409 Kheifets, V. L. 1424 Khutsishvill,	R. S 1468 Kristofferson, A. B 1481 Krivoglaz, M. A 1412 Krohn, V. E 1323 Królikowski, W	Lewis, G. M 1388 Lewis, R. R 1384 Lianis, G 1332 Libby, W. F 1500 Lichtenberg, D. B 1372 Liénard, P 1331 Limentani, S. 1372 Linhardt, F 1345 Linnett, J. W 1316	Mahendroo, P. P 1347 Maier- Leibnitz, H. 1367 Majewski, M 1395 Malitson, I. H. 1478
Kelster, G. L. 1442 Keller, A 1422 Keller, J. M 1324 Kemula, V 1311 Kerimov, B. K. 1376 Kerman, R. O. 1390 Khan, M. A 1409 Khelfets, V. L. 1424 Khutsishvill, G. R 1431	R. S	Lewis, G. M 1388 Lewis, R. R 1384 Lianis, G 1332 Libby, W. F 1500 Lichtenberg, D. B 1372 Liénard, P 1331 Limentani, S. 1372 Linhardt, F 1345 Linnett, J. W 1316	Mahendroo, P. P 1347 Maier- Leibnitz, H. 1367 Majewski, M 1395 Malitson, I. H. 1478
Kelster, G. L. 1442 Keller, A 1422 Keller, J. M 1324 Kemula, V 1311 Kerimov, B. K. 1376 Kerman, R. O. 1390 Khan, M. A 1409 Kheifets, V. L. 1424 Khutsishvill,	R. S	Lewis, G. M 1388 Lewis, R. R 1384 Lianis, G 1332 Libby, W. F 1500 Lichtenberg, D. B 1372 Liénard, P 1331 Limentani, S. 1372 Linhardt, F 1345 Linnett, J. W 1316	Mahendroo, P. P 1347 Maier- Leibnitz, H. 1367 Majewski, M 1395 Malitson, I. H. 1478
Kelster, G. L. 1442 Keller, A 1422 Keller, J. M 1324 Kemula, V 1311 Kerimov, B. K. 1376 Kerman, R. O. 1390 Khan, M. A 1409 Khelfets, V. L 1424 Khutsishvill, G. R 1431 Kibble,	R. S	Lewis, G. M 1388 Lewis, R. R 1384 Lianis, G 1332 Libby, W. F 1500 Lichtenberg, D. B 1372 Liénard, P 1331 Limentani, S. 1372 Linhardt, F 1345 Linnett, J. W 1316	Mahendroo, P. P
Kelster, G. L. 1442 Keller, A 1324 Kemula, V 1311 Kerimov, B. K. 1376 Kerman, R. O. 1390 Khan, M. A 1409 Kheifets, V. L. 1424 Khutsishvill, G. R 1431 Kibble, T. W. B 1317	R. S	Lewis, G. M 1388 Lewis, R. R 1384 Lianis, G 1332 Libby, W. F 1500 Lichtenberg, D. B 1372 Liénard, P 1331 Limentani, S 1372 Linhardt, F 1345 Linnett, J. W. 1316 Linsley, J 1400 Lipkin, H. J 1393 Lipowieckl, T. 1433	Mahendroo, P. P
Kelster, G. L. 1442 Keller, A 1422 Keller, J. M 1324 Kemula, V 1311 Kerlmov, B. K. 1376 Kerman, R. O. 1390 Khan, M. A 1409 Khelfets, V. L. 1424 Khutsishvill, G. R 1431 Kibble, T. W. B 1317	R. S	Lewis, G. M 1388 Lewis, R. R 1384 Lianis, G 1332 Libby, W. F 1500 Lichtenberg, D. B 1378 Lienard, P 1331 Limentani, S 1372 Linhardt, F 1345 Linnett, J. W 1316 Linsley, J 1400 Lipkin, H. J 1393 Lipowieckl, T. 1433 Lipowieckt, T. 1433	Mahendroo, P. P
Kelster, G. L. 1442 Keller, A 1422 Keller, J. M 1324 Kemula, V 1311 Kerimov, B. K. 1376 Kerman, R. O. 1390 Khan, M. A 1409 Khelfets, V. L. 1424 Khutsishvili, G. R 1431 Kibble, T. W. B 1317 Kieffer, R 1310 King, E. G 1350	R. S	Lewis, G. M 1388 Lewis, R. R 1384 Lianis, G 1332 Libby, W. F 1500 Lichtenberg, D. B 1378 Lienard, P 1331 Limentani, S 1372 Linhardt, F 1345 Linnett, J. W 1316 Linsley, J 1400 Lipkin, H. J 1393 Lipowieckl, T. 1433 Lipowieckt, T. 1433	Mahendroo, P. P
Kelster, G. L. 1442 Keller, A 1422 Keller, J. M 1324 Kemula, V 1311 Kerimov, B. K. 1376 Kerman, R. O. 1390 Khan, M. A 1409 Kheifets, V. L. 1424 Khutsishvill, G. R 1431 Kibble, T. W. B 1317 Kieffer, R 1310 King, E. G 1350 King, J. I. F 1492	R. S	Lewis, G. M 1388 Lewis, R. R 1384 Lianis, G 1332 Libby, W. F 1500 Lichtenberg, D. B 1378 Lienard, P 1331 Limentani, S 1372 Linhardt, F 1345 Linnett, J. W 1316 Linsley, J 1400 Lipkin, H. J 1393 Lipowieckl, T. 1433 Lipowieckt, T. 1433	Mahendroo, P. P
Kelster, G. L. 1442 Keller, A 1422 Keller, J. M 1324 Kemula, V 1311 Kerimov, B. K. 1376 Kerman, R. O. 1390 Khan, M. A 1409 Khelfets, V. L. 1424 Khutsishvili, G. R 1431 Kibble, T. W. B 1317 Kieffer, R 1310 King, E. G 1350 King, J. I. F 1492 King, J. I. F 1492	R. S	Lewis, G. M 1388 Lewis, R. R 1384 Lianis, G 1332 Libby, W. F 1500 Lichtenberg, D. B 1378 Lienard, P 1331 Limentani, S 1372 Linhardt, F 1345 Linnett, J. W 1316 Linsley, J 1400 Lipkin, H. J 1393 Lipowieckl, T. 1433 Lipowieckt, T. 1433	Mahendroo, P. P
Kelster, G. L. 1442 Keller, A 1422 Keller, J. M 1324 Kemula, V 1311 Kerimov, B. K. 1376 Kerman, R. O. 1390 Khan, M. A 1409 Khelfets, V. L. 1424 Khutsishvili, G. R 1431 Kibble, T. W. B 1317 Kieffer, R 1310 King, E. G 1350 King, J. I. F 1492 King, J. I. F 1492	R. S	Lewis, G. M 1388 Lewis, R. R 1384 Lianis, G 1332 Libby, W. F 1500 Lichtenberg, D. B 1378 Liénard, P 1331 Limentani, S 1372 Linhardt, F 1345 Linnett, J. W. 1316 Linsley, J 1400 Lipkin, H. J. 1393 Lipowiecki, T. 1433 Lippincott, E. R 1407 Lipson, J 1364 List, R. J 1500	Mahendroo, P. P
Kelster, G. L. 1442 Keller, A 1422 Keller, J. M 1324 Kemula, V 1311 Kerimov, B. K. 1376 Kerman, R. O. 1390 Khan, M. A 1409 Khelfets, V. L. 1424 Khutsishvili, G. R 1431 Kibble, T. W. B 1317 Kieffer, R 1310 King, E. G 1350 King, J. I. F 1492 King, L. D. P 1369 King, T. A 1478	R. S	Lewis, G. M 1388 Lewis, R. R 1384 Lianis, G 1332 Libby, W. F 1500 Lichtenberg, D. B 1378 Liénard, P 1331 Limentani, S 1372 Linhardt, F 1345 Linnett, J. W. 1316 Linsley, J 1400 Lipkin, H. J 1393 Lippincott, E. R 1407 Lipson, J 1364 List, R. J 1500 Litherland,	Mahendroo, P. P
Kelster, G. L. 1442 Keller, A 1422 Keller, J. M 1324 Kermula, V 1311 Kerimov, B. K 1376 Kerman, R. O. 1390 Khan, M. A 1409 Kheifets, V. L. 1424 Khutsishvill, G. R 1431 Kibble, T. W. B 1317 Kieffer, R 1310 King, E. G 1350 King, J. I. F 1492 King, L. D. P 1369 King, T. A 1478 Kip, A. F 1434	R. S	Lewis, G. M. 1388 Lewis, R. R. 1384 Lianis, G. 1332 Libby, W. F. 1500 Lichtenberg, D. B 1378 Liénard, P. 1331 Limentani, S. 1372 Linhardt, F. 1345 Linnett, J. W. 1316 Linsley, J. 1400 Lipkin, H. J. 1393 Lipowiecki, T. 1433 Lippincott, E. R 1407 Lipson, J. 1364 List, R. J. 1500 Litherland, A. E 1382	Mahendroo, P. P
Kelster, G. L. 1442 Keller, A 1422 Keller, J. M 1324 Kemula, V 1311 Kerimov, B. K. 1376 Kerman, R. O. 1390 Khan, M. A 1409 Khaifets, V. L. 1424 Khutsishvili, G. R 1431 Kibble, T. W. B 1317 Kieffer, R 1310 King, E. G 1350 King, J. I. F 1492 King, J. I. F 1492 King, T. A 1478 Kip, A. F 1434 Kirschenhofer,	R. S	Lewis, G. M 1388 Lewis, R. R 1384 Lianis, G 1332 Libby, W. F 1500 Lichtenberg, D. B 1378 Limentani, S 1372 Linhardt, F. 1345 Linnett, J. W. 1316 Linsley, J. 1400 Lipkin, H. J. 1393 Lipowiecki, T. 1433 Lippincott, E. R 1407 Lipson, J. 1364 List, R. J. 1500 Litherland, A. E 1382 Liewellyn,	Mahendroo, P. P
Kelster, G. L. 1442 Keller, A 1422 Keller, J. M 1324 Kemula, V 1311 Kerimov, B. K. 1376 Kerman, R. O. 1390 Khan, M. A 1409 Khelfets, V. L. 1424 Khutsishvili, G. R 1431 Kibble, T. W. B 1317 Kieffer, R 1310 King, E. G 1350 King, J. I. F 1492 King, L. D. P 1369 King, T. A 1478 Kip, A. F 1434 Kirschenhofer, O 1367	R. S	Lewis, G. M 1388 Lewis, R. R 1384 Lianis, G 1332 Libby, W. F 1500 Lichtenberg, D. B 1378 Limentani, S 1372 Linhardt, F. 1345 Linnett, J. W. 1316 Linsley, J. 1400 Lipkin, H. J. 1393 Lipowiecki, T. 1433 Lippincott, E. R 1407 Lipson, J. 1364 List, R. J. 1500 Litherland, A. E 1382 Liewellyn,	Mahendroo, P. P
Kelster, G. L. 1442 Keller, A 1422 Keller, J. M 1324 Kemula, V 1311 Kerimov, B. K. 1376 Kerman, R. O. 1390 Khan, M. A 1409 Khaifets, V. L. 1424 Khutsishvili, G. R 1431 Kibble, T. W. B 1317 Kieffer, R 1310 King, E. G 1350 King, J. I. F 1492 King, J. I. F 1492 King, T. A 1478 Kip, A. F 1434 Kirschenhofer,	R. S	Lewis, G. M. 1388 Lewis, R. R. 1384 Lianis, G. 1332 Libby, W. F. 1500 Lichtenberg, D. B 1378 Liénard, P. 1331 Limentani, S. 1372 Linhardt, F. 1345 Linnett, J. W. 1316 Linsley, J. 1400 Lipkin, H. J. 1393 Lipowiecki, T. 1433 Lippincott, E. R 1407 Lipson, J. 1364 List, R. J. 1500 Litherland, A. E 1382	Mahendroo, P. P

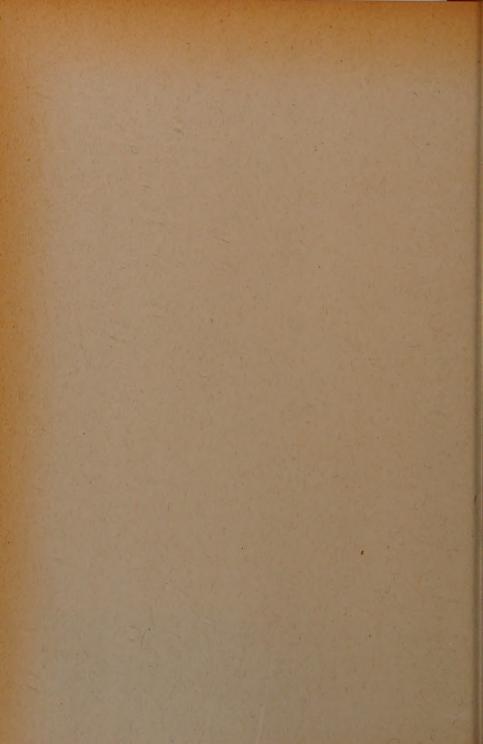
Marshak, R. E.	1376	Moorhouse,	O'Brien, P. F.	Permingeat, F. 1413
Marshall, J. S. Marshall, L	1502	R. G 1322	1312, 1469	Perrier, F 1427
Marshall, L	1487	Managlia C. 4400	O'Ceallaigh, C. 1372	Peter. O 1408
Marshall, S Martin, D. L Martin, P. E	1479	Morita, M 1384 Morita, R. S 1384 Morris, D. F. C. 1413	Öpik, E. J 1498	Peterlin A 1368
Martin, D. L.	1349	Morita B. S. 1384	Offerhaus,	Potors C W 1480
Martin P E	1347	Mornie D F C 1412	M T 4950	Determ E 4500
Martirosyan,	1021	Monnison	M. J	Peterlin, A 1368 Peters, C. W 1480 Peters, E 1502 Petravić, M 1389
Marinosyan,	4200	Morrison,	Ogawa, K 1399	Petravic, M 1389
K. A Maschke, E. K.	1320	R. B 1345	Ogura, Y 1501	Petropoulos,
Maschke, E. K.	1379	Moskalev,	Ohara, T 1432	G. M 1453
Mason, R	1411	V. I 1389	Ohnuma, S 1390	Petrović,
Mataré, H. F.	1438	Moszkowski,	Oka, S.	M. M 1391
Mather, D. S. Matheson, H. Matsukawa, E. Matsuura, K. Matz, W. Maue, AW.	1392	S. A 1469	1337, 1420, 1421	Petukhov,
Matheson, H.	1458	Motz, H 1433	Oh-d- W 4950	V. A 1366
Matsukawa, E.	1347	Müller F. H 1423	Okada, K 1358	V. A 1366 Peuchot, M 1407
Mateuma K	1225	Müller K 4474	Olson, O. H 1467	Peyssou, J 1347
Matsuura, IX	1951	Mallon V A 4907	Olving, S 1464	Desiden II
Macz, w	4949	S. A. 1469 Motz, H 1433 Müller, F. H. 1423 Müller, K 1471 Müller, K. A. 1367 Müller, R 1470 Müser, H. A. 1430	Olving, S 1464 Oman, R. A 1500	Pfeifer, H 1428 Phariseau, P 1348 Phipps, L. W 1348 Pieper, G. F 1382 Pieterse, A. C. 1381 Plaskett, H. H 1486
Maue, AW	1515	Muller, R 1470	Omholt, A 1499	Phariseau, P. 1348
Maupin, J. T.	1445	Muser, H. A.	Orlamünder,	Phipps, L. W., 1348
Maupin, J. T Mayer, F	1455		E 1367	Pieper, G. F 1382
Meadows.		Mukerjee, P 1426	Ormont, B. F. 1412	Pieterse, A. C. 1381
J. W Meetz, K.	1366	Mullin, C. J 1395 Munakata, M 1354 Murphy, B. T 1349	Ormont, B. F. 1412	Plaskett, H. H. 1486
Meetz, K.		Munakata, M., 1354	Osterberg, H. 1469, 1470	Pless. T. A 1372
1338 1339	1367	Murphy R T 1349	1469, 1470	Plaston D W 13/8
1338, 1339, Meister, H. J	1212	Myasnikov,	Osterle, J. F 1339	Doblis W7 4400
Meister, H. J.	1010		Ostroumov,	Pless, I. A 1372 Plester, D. W. 1348 Pohlit, W 1480 Poiani, G 1372 Pointon, A. J., 1397
Meixner, J Melchor, J. L Meltzer, B Meltzer, L. V	1357	I. A 1443	A. G 1354	Polani, G 1372
Melchor, J. L	1458		Ostroumov,	Pointon, A. J., 1397
Meltzer, B	1461	Nagakura, S 1356 Nagler, K. M 1500	Ostroumov,	Pokrovskii,
Meltzer, L. V	1364	Nagler, K. M., 1500	V. I 1381	V. L 1322
Menter, J. W Menzel, D. H	1417	Nakaji, Y 1327 Nakamura, T 1350	Oswatitsch, K. 1338	Polkinghorne, J. C. 1317, 1318
Menzel, D. H.	1494	Nakamura, T., 1350		J. C. 1317, 1318
Mercereau,		Namhu V 1318	Packer D M 1467	Pollermann,
T E	1490	Nambu, Y 1318 Namikawa, H. 1354	Packer, D. M. 1467 Paemel, O. van 1338	M 4967
J. E Merker, R. L	4990	Mannikawa, II. 1554	Dogo D E 4666	M 1367 Pollock, M. D. 1367 Polo, S. R 1406
Merker, R. L	1336	Narasimhan,	Page, D. F 1446	Pollock, M. D. 1367
Meyerott,		S 1356	Page, J. G 1363	Polo, S. R 1406
R. E	1469	Narayanan, . P. S 1468	Pahl, M 1448 Palacios, J 1315 Palma, M. U. 1427	Pomeranchuk,
Meyrick, G Michel, M. C	1479	P. S 1468	Palacios, J 1315	I. I 1397
Michel, M. C.	1379	Naravanaswamy.	Palma, M. U., 1427	Pomeranchuk
Michels, A Middleton, D Middleton, R	1352	Narayanaswamy, C. K 1468	Palma-	I. Y 1320
Middleton D	1457	Nach W F 1907	Vittorelli,	Pomerancuk, I. 1320
Middleton, D	1407	Note to 1200		
Middleton, R	1391	Nash, W. F 1397 Nath, A 1399 Nathan, O 1395 Nesphor, V. S. 1435	M. B 1427	Pomeranzew,
Middleton,		Nathan, U 1395	Palmén, E 1501	N. M 1432
W. E. K	1481	Nesphor, V. S. 1435	Palumbo, D 1427	Pontarelli,
Miethke, E	1410	Neugebauer,	Panofsky,	D. A 1467
Miethke, E Milburn, R. H.		H. E. J 1470	H. A 1503	Poppema, O. J. 1383
1372,	1502	Neven I. 1493	Pao, YH 1332	Poppema, O. J. 1383 Porter, W. C. 1389 Posener, D. W. 1408
Mileikowsky,	1002	Neven, L 1493 Nevin, T. E 1409	Papadopoulos,	Posener D W 1408
Mileikowsky,	4000	Manage L. 12 1400	V. M 1456	Down D 1909
C	1362	Nevyazhasky,		Povh, B 1392 Prange, R. E. 1316 Prasad, N. D. 1361
Milne, G Mindlin, R. D	1467	I. K 1366	Papapetrou, A. 1313	Prange, R. E 1316
Mindlin, R. D	1331	Newby, D 1367	Pappalardo,	Prasad, N. D 1361
Minnaert,		Newhall,	R 1418	Pratt, R. H 1316 Praxmarer, W. 1326
M. G. J	1494	S. M 1482	Paris, C. H 1376	Praxmarer, W. 1326
Mintrop, H	1330	S. M 1482 Newman, P. C. 1443	Park, D 1414	Premaswarup,
Mints A L	1366	Nicholls, J. A. 1345	Parmenter,	D 1409
Mintant, R. B. Minnaert, M. G. J Mintrop, H Mints, A. L Mishra, R. S Mitchell, J. W. Mitchell, K. B.	1215	Nicolet M . 1978	R. H 1436	Preston, R. S., 1394
Mishra, R. S.	1615	NICOIEC, 191 1010	Parodi, M 1311	Preston.
Mitchell, J. W.	1:11	Nier, A. U 1570	Danier C 4204	
Mitchell, K. B.	1467	Nikolic, M. M. 1392	Parry, G 1391	Thomas, H. 1349
Mitra, S Mitra, S. S	1361	Nicholls, J. A. 1345 Nicholls, M 1378 Nier, A. O 1376 Nikolić, M. M. 1392 Nilson, R 1390	Parthasarathy,	Preuss, H.
Mitra, S. S	1466	Nimeroii, 1, 1482	S 1347 Pashley, D. W. 1417 Patat, F 1358	1404, 1405
Mittelstaedt,		Nishioka, A 1423	Pashley, D. W. 1417	Prévot, F 1365 Price, F. V 1390 Primich, R. I 1455
P	1397	Nissan, A. H.	Patat, F 1358	Price, F. V 1390
Mladjenovic,		1333, 1334	Patrushev,	Primich, R. L., 1455
M S	1363	Nöller H. G. 1326	V. L 1458	Prine L. 1358
Massis D	1/12	Nöller, H. G., 1326 Nogami, Y., 1376	Patter	Pritchard
M. S Moccia, R Moliner, F. G Molozzi, A. R.	1413	Nogami, x 1576	Patter, D. M. van 1389	P & 1/40 4504
Moliner, F. G.	1433	Nooijen,	D. M. van 1389	D. 3. 1400, 1004
Molozzi, A. R.	1446	B. van 1383	Paul, E. jr 1402	Proca, A 1320
Monoszon,		B. van 1383 Nordfors, B 1469	Pavlovskii,	Pritchard, B. S. 1468, 1504 Proca, A 1320 Pucel, R. A 1458
N. A	1366	Nostrand,	E. S 1323 Pearson, W. B. 1478	Furcen, E. M.
Monsonego, G.	1454		Pearson, W. B. 1478	1373, 1496
Montalbetti,		R. G. van 1504 Novey, T. B.	Pecker, J. C 1407	Puri S M 1393
	1400	1323, 1395	Pellam, J. R. , 1419	Purucker, S. 1423
R	1900	Mossodner II 4940	Dannan S 1204	Pusterla M 1306
Montaldi, E Moore, C. E	1396	Nowothy, Ft 1310	Penner, S 1394 Perfilov, N. A. 1381	Dutnam T 1467
Moore, C. E	1485	Nowotny, H 1310 Nuding, E 1373 Nuttall, R. L 1352	Permov, N. A. 1581	Purucker, S 1423 Pusterla, M. 1396 Putnam, T 1467 Pytte, A 1386
Moore, W. R				
MOOFF, W. R.	1350	Nuttail, R. L., 1352	Perlman, I 1382	L'Atte, W. 12.11. 1200

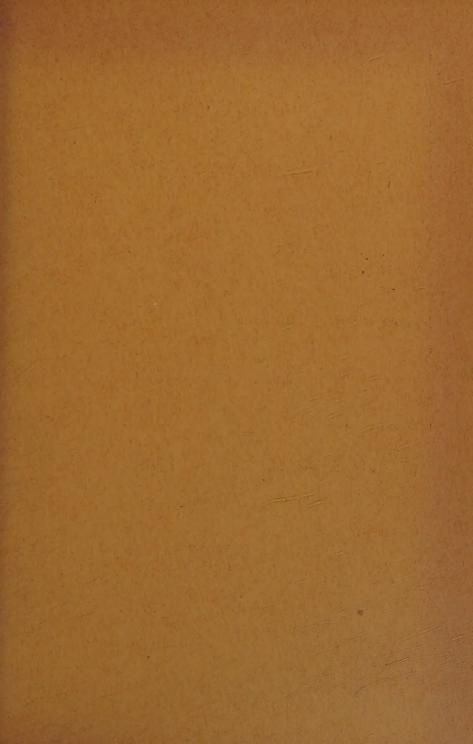
				a 11 15 C
Quarrington,		Ross, B 1441 Ross, M. H 1378	Schwarzschild,	Sodha, M. S.
J. E	1441	Ross, M. H 1378	M 1483 Schweikert, G. 1359 Schwieger, H. 1331 Scott, D. W.	1437, 1466
		Rossi, B 1400	Schweikert, G 1359	Sokolov, A. A. 1454
K. S	1377	Roth, L. M 1441	Schwieger, H 1331	Solov'ev, L. S. 1366
IE. D	20	Bothem, T 1393	Scott, D. W.	Solt. I. H. Ir 1429
Rabinovich,		Rothem, T 1393 Rothman, M. A. 1389		Spar, J 1501
Madinovich,	1266	Rowlands, G 1428	Scott, F. H 1480 Scott, M. J 1336 Scrimger, J. A. 1499	Sparks, J. W. 1479 Spencer, E. 1430 Spengler, W. 1453 Sperduto, A
M. S	1300	Rowntree,	Scott M J 1336	Spencer, E 1430
Raeuchle, R. F	44.00	R. F 1466	Scrimger J A 1499	Spengler, W 1453
_ R. F	14//	R. F 1466 Roy, D. K 1431	Sachi-Zonn B 1372	Sperduto A.
Rajewsky, D	1311	Roy, D. K 1451	Secular D 1395	1376, 1390
Rajopadhye,		Rubchinsky,	Calidar V W 1498	Spreadhorough
V. Y	1400	S. M 1366	Sechi-Zorn, B. 1372 Segall, B 1325 Seildov, K. M. 1428	J 1477 Springer, T 1392 Squire, H. B 1342
Raman,		Rubin, H 1328 Ruch, E 1404	Selin, LE 1409	Carings T 1202
Sir, C. V	1349	Ruch, E 1404	Sen, S. K 1392	Springer, 11392
Ramaseshan,		Rudik. A. P 1397	Sengers, J. V. 1352	Squire, H. B 1342
S	1412	Rudolph, H 1467	Sequenz, H 1369	
Ramdas, L. A. Ramsey, N. F. Randolph,	1356	Rüchardt, E 1310	Seildov, K. M. 1428 Selin, LE. 1409 Sen, S. K. 1392 Sengers, J. V. 1352 Sequenz, H. 1369 Servi, I. S. 1417 Seward, F. D. 1390 Seward, F. D. 1356	K. P 1352
Ramsev, N. F.	1373	Rush, R. I 1329	Seward, F. D 1390	Stakutis, V. J1504
Randolph.		Russell, G 1470	Seward, R. P 1356	Staley, D. O 1502
M. L	1482	Russell, G 1470 Russell, R. D 1364	Shamovskii,	K. P 1352 Stakutis, V. J1504 Staley, D. O 1502 Standley, K. J. 1431 Staritz, R. F 1327
Ravenhall.		Rvde, H 1382	L. M 1444	Staritz, R. F 1327
D. G	1396	Ryde, H 1382 Ryder, F. D 1361	Shankar, J 1399 Shapiro, A. M. 1372	Standenmaier.
Baynor G V	1416	Rylander, C. G. 1483	Shapiro, A. M. 1372	W 1467
Razbach R I	1452	Rzewuski, J 1321	Sharn, B. B 1390	Stech. B 1395
D. G Raynor, G. V. Razbash, R. I. Ream, N	1364	Table de la constante de la co	Shaw, J. H. 1504	Stein, W. E 1380
Redding, G. B.	1399	Sachs, G 1474	Sharp, R. R 1390 Shaw, J. H 1504 Shearer, A. E 1311	W 1467 Stech, B 1395 Stein, W. E 1380 Steinhaus,
Poich. C.	1226	Sache D C 1272	Sheppard,	D W 1467
Deta W W	1320	Sachs, R. G 1373	D A 1503	D. W 1467 Stelson, P.H 1388
Reich; G Reid, W. H Reik, H. G.	1340	Sage, B. H 1348 Salkovitz, E. I. 1452	P. A 1503 Shercliff, J. A. 1339	Stephen, M. J. 1405
1957 4950	1950	Salkovitz, E. I. 1432	Shevelov,	Stephens,
1357, 1358,	1405	Salter, R 1346 Samal, E 1328	Y. V 1424	F. S. jr 1382
1357, 1358, Reimer, L Reines, F	4979	Samoilovich,	Shillibeer,	Stephenson,
Renard, GA.	1313	A. G 1438	H A 1964	C. C 1350
Darraclda		Samsonov,	H. A 1364 Shirakawa, Y. 1432	Stephenson,
T E	1964	C W 449E	Shumilovaler	W. L 1446
Rice O K	1410	Sandona C T 1491	Shumilovsky,	W. L 1446 Stetter, H. J 1341 Steubing, W 1310
Richton G	1453	Sanwal T 1240	N. N 1364 Siegman, A. E. 1464	Steubing, W 1310
Piekerren G	1400	Sames D T 4950	Siema D 4222	Stevenson,
Biobl W	1501	G. V 1435 Sanders, C. L 1481 Sanyal, L 1340 Sasmor, D. J 1350 Saunders, J. B. 1467	Siems, R 1333 Sievert, R. M. 1483 Signell, P. S. 1376	D. A 1350
Biobl N	1967	Saunders, J. D. 1407	Signall D C 4276	Stevenson,
J. H	1901	Sawada, R 1502 Sawada, S 1451 Sawamura, M 1318 Schaefer, C 1310 Schäffer E 1467 Schenk, J 1335	Silverman,	D C 1200
		Sawaua, S 1451	D A 4400	Stawart H W 14449
W. B Rietdijk, J. A.	1468	Schooler C 1210	R. A 1499 Simkin, J 1336	P. C
Rioty, D	1947	Schäffen E 4407	Simple ilease	Calles 317 C 4404
Riozlan W	1200	School T 4995	Sinelnikov,	Stockhausen,
Riety, P Riezler, W Riguet, J Risch, K	1459	Schaffer E 1467 Schenk, J 1335 Scherb, F 1400 Scherrer, W 1314 Schiff, H.	K. D 1366 Singer, S. F 1491 Singh, R. P 1491 Sinn, H 1407	T W 1404
Risch K	1402	Schennen W 1914	Single D D 4404	J. H 1401 Stolov, A. M 1366
Rivault, R	1455	Schiff U	Singh, R. F 1431	Stolow, A. M 1300
Roof D	1200	4940 4449	Single E 4207	Stoley, A 1382 Stolte, H 1335 Stone, A. P 1320
Roaf, D Roberts, J. H.	1390	Sabilcambi W 4207	Sirach, F 1367 Skaupy, F 1310 Skidmore, I. G. 1341	Storie, n 1333
Roberts T	1970	Schimark II 4940	Skaupy, F 1310	Stone, A. P 1320
Roberts, J. U.	1644	Schindles A 7 4470	Skidmore, 1. G. 1341	Stoppini, G 1372
Roberts, J. O. Roberts, V Robin, J Robinson, C. S.	1401	1349, 1413 Schikarski, W. 1397 Schimank, H. 1310 Schindler, A. I. 1452 Schittko, H 1480 Schliephake, D. 1425	Slaus, I 1390 Sloan, L. L 1482	Stoppini, G 1372 Stott, J. B 1348 Stoughton,
Dobinson C. C.	1201	Schittko, H 1480	Sloan, L. L 1482	Stoughton,
Robinson, C. S.	1394	Schliephake, D. 1425	Smith, A. B. 1380 Smith, B. A. 1441 Smith, D. F. 1350 Smith, F. D. 1467 Smith, F. M. 1479 Smith, J. H. 1373 Smith, P. L. 1349 Smith, P. L. 1349	R. W 1368 Stoyko, N 1455
Moninson,		Schlitt, H 1351	Smith, B. A 1441	Stoyko, N 1455
E. S	1329	Schlosser, E 1332	Smith, D. F 1350	Strandberg,
Robinson,	4000	Schmillen, A 1473	Smith, F. D 1467	M. W. P 1459
R. L	1386	Schmutzer, E. 1314	Smith, F. M 1479	Strauch, K.
Robson, A. E.	1448	Schnelder, A 1349	Smith, J. H 1373	1366, 1372
Roaney, W. S.	1478	Schopf, HG. 1432	Smith, P. L 1349	Street, J. C 1372
Rogers, J. L.	1356	Scholl, H 1475	Smith, R. S 1449	Street, J. C 1372 Stribel, T 1387
Rodney, W. S. Rogers, J. L. Rogers, S. E. Rohrbach, W. Rohrlich, F.	1348	Schliephake, D. 1425 Schlitt, H	Smith, R. W 1416	Strong, J 1467 Stuart, G. A 1461 Styan, G. E 1350
Rohrbach, W.	1348	Schramm, M 1310	Smith, S. W 1481	Stuart, G. A 1461
Ronrilen, F	1398	Schraud, A 1369	Smith, T 1354	Styan, G. E 1350
Rull, A	1433	Schreiner, H 1452	Smith, R. S 1449 Smith, R. W 1416 Smith, S. W 1481 Smith, T 1354 Smith, V. N 1363 Smith, W. G 1386	Succi, C 1361 Sudakov, V. V. 1320
Romand, M. J.	1474	Schucking, E. 1497	Smith, W. G 1386	Sudakov, V. V. 1320
Romano, M	1328	Schützer, W 1312	Sinolenskii,	Sunrmann, H., 1425
Roos, B. W	1359	Schuh, H 1351	G. A 1450	Suquet, P 1341
Roos, B. W Rop, W. de Rose, M. E	1345	Schramm, M. 1310 Schraud, A. 1369 Schreiner, H. 1452 Schücklung, E. 1497 Schützer, W. 1312 Schuh, H. 1351 Schulze, D. 1424	Smoluchowski,	Suquet, P 1341 Suran, J. J 1463
Rose, M. E	1377	Schurmann,	R 1417	Sutton, G. P 1344
Rosenberg,	4404	E. E. H 1343	Smorodinskii,	Suura, H 1375
H. M	1434	Schurz, J 1421 Schwartz, G 1316	I. A 1317	Svensson,
Rosenblum, B.	1434	Schwartz, G 1316	Sobra, K 1447	N. L1423

Swart, J. J 1376		Wang, T. C 1459	Wilson, R 1366
Sysoev, E. A 1425	Umstätter, H 1335	Wapstra, A. H.	Wink, W
Szalay, L. v 1351	Ungar, P 1328	1383, 1385	1473, 1475
	Uryû, N 1350	Warburton, B. 1346	Winkler,
<b>T</b> akami, A 1420		Warburton,	H. G. F 1334
Taniguchi, S 1478	37.233	G. B 1332	Winterberg, F. 1374
Tassie, L. J 1393	vainancourt,	Ward, W. H 1422	Winternitz, J. 1409
Tatsuzaki, I 1431	R. M 1456	Warncke, H 1349	Wisseroth, K 1406
Taylor, S. J 1359	vanurey, J. r. 1343	Watanabe, M. 1423	Wolcott, N. M. 1349
Taylor, W 1357	vanck, J 1552	Waters,	Wolfendale, E. 1446
Teale, R. W 1428	varma, J 1579	W. E. jr 1462	
Telegdi, V. L. 1323			Wolff, P 1503
Temmer, G. M. 1395		Watkins, D. A. 1464	Wolff, P. M. de 1411
	Veisbein, M. M. 1366	Watkinson,	Wollam, J. S 1330
Temperley,	Vejvodová, J 1471	J. G 1355	Wodds, J.
H. N. V 1428	77 - 1-1 1	Watson, J. T 1471	1444, 1472
Terashima, Y. 1399	TD A 440F	Watson, K. M. 1355	Woods, S. B.
Terletskii, I. P. 1322	Veksler, V. I 1366	Watts, A. B 1475	1352, 1434
Ter-Martiro-	· Vanabla	Weber, G 1367	Woolley, J. G 1441
sian, K. A 1318	W H in 1261	Wedler, G 1425	Wright,, H. C 1443
Ternov, I. M 1454	Vankatagan	Wegener, H 1393	Wu, T. T 1388
Terres, E 1355	V 4440	Wegener,	Wurm, K 1492
Thieberger, R 1375	Venkateswarlu,	H. A. R 1438	Wykoff, W. R. 1369
Thirring, H 1310		Weimer, U 1448	Wyman, M 1414
Thomas, D. V. 1486	K. S 1399	Weinberg, F. J. 1356	Wyszecki, G 1481
Thomas, P. M. 1410	Alener, W 1909	Weiss, H 1427	Wyszecki,
Thomas, R. N.	Vincent, D 1324	Weiss, J 1399	G. W 1481
1484, 1494	Vitagliano, V. 1420	Weissenberg,	
Thompson,	viiet, K. M.	G 1439	
H. W. 1408, 1413	van 1437	Weissmann, S. 1474	Yamamoto, K. 1473
Thompson,	Vodopyanov,	Weitzenmiller,	Yamamoto, M. 1478
L. T 1478	F. A 1366	F 1426	Yamamoto, M. 1478 Yamatogl, Y. 1337 Yates, H. W. 1504
Thomson,	Vogtherr, K 1312	Wellmann, P 1495	Yates, H. W 1504
W. T 1344	Vojinović,	Wells, F. H 1363	Yearian, H. J 1440
Tietz, T.	M. M 1360		Yennie, D. R 1396
1323, 1395	Vonsovskii,	Wells, I 1367	Yih, CS 1501
	S. V 1428	Wende, H 1362	Yokozama, Y. 1431
Tillieu, J. 1405, 1407	Vul, B. M 1452	Wepner, W 1476	Young, D. R 1450
Tolokonnikov,	•	Westberg, V 1470	Young, L. A 1372
M. L 1364	TT7 1 TT 1 4000	Westheimer, G. 1481	g,
Tomovich, R 1312	Waard, H. de . 1383	Westrum,	
Toolin, R. B 1504	Waddington,	E. F. jr 1350	Zanker, V 1410
Tosi, M. P 1416	C. J 1400	Wetterstrom,	Zawels, J 1446
Tousey, R 1469	Waddington, G.	E 1331	Zeeman, P. B.
Townes, C. H. 1459	1348, 1350	Wheeler, J. A 1374	1409, 1410
Townsend,	Wadleigh,	White, A. G 1348	Zeidlits, A. I. 1366
Sir, J. † 1310	K. R 1500	White, G. K.	Zhdanova,
Tranter, F. W. 1483	Wänke, H 1490	1352, 1434	N. F 1337
Trytten, G. W. 1468	Wagner, R 1480	White, L. D 1459	Zil'berman,
Tsai-Chü 1361	Wagoner, G 1434	White, R. L 1429	G. E 1415
Tschistjakow, , 1327	Waite, R. J 1348	Wieser, A 1367	Ziock, K 1326
Tsidil'kovskii,	Wakefield,	Wildt, R 1493	Zirin, H 1487
I. M 1438	Z. T 1350	Wilkinson,	Zitka, B. H 1447
Twiss, R. Q 1468	Walcher, W 1309	H. R 1345	Zizka, E 1449
2 11200, 211 Q: 11 1100	Wali, K. C 1373	Williams, H. B. 1371	Zubarev, D. N. 1317
Ubbelohde,	Wallace, W. E.	Williams, R. W. 1372	Župančič, Č 1392
A. R.	1330, 1354	Williams, It. W. 1372	Zweig, H. J 1471
1335, 1348, 1360	Wallmark,	W. E 1456	Zwerdling, S 1441
Ueberreiter, K. 1423	JT 1446	Willson, A. J. 1371	Zwicker, H 1449
Cenerretter, A. 1425	D	V 1311	Zwicker, 11 1445

Redaktion und verantwortlich für den Inhalt: Oberregierungsrat Dr. Hermann Ebert. Anschrift der Redaktion: Braunschweig, Bundesallee 100, Fernsprecher: Braunschweig 20521 und Prof. Dr. Michael Schön. Anschrift der Redaktion: Augsburg, Obere Lechdammstraße 65, Fernsprecher Augsburg 8862. Hannover Nr. 227. Bezugspreis: Jahresabonnement einschließlich Register DM 118,-. Die Physikalischen Berichte erscheinen monatlich. Abbestellungen können nur bis vier Wochen vor Quartalsende Vervielfältigungen, Mikrofilme, Mikrofotos von ganzen Heften, einzelnen Referaten oder Teilen daraus sind ohne ausdrückliche Genehmigung des Verlages nicht gestattet.







#### REGISTER

zu den

# PHYSIKALISCHEN BERICHTEN

erleichtern Ihnen das Nachschlagen!

Bis Band 35 (1956) liegen nunmehr auch alle Registerhefte

vollständig vor.

Der Preis beträgt DM 34,- je Heft.

Sie enthalten:

Liste der Mitarbeiter

Verzeichnis der referierten Zeitschriften

Stoffgliederung

Alphabetisches Namenregister

Systematisches Register

zum laufenden Jahrgang.

Alle seit 1950 erschienenen Text-Hefte sind ebenfalls noch lieferbar.

Bitte überprüfen Sie Ihre Sammlung!

Bestellungen erbeten

VERLAG FRIEDR. VIEWEG & SOHN
BRAUNSCHWEIG